

ชีวานุกรมวิธานของชงโคคำ

Bauhinia pottsii G.Don

ในประเทศไทย

สุพจน์ แสงมณี

P38

INVESTIGATOR  
SEARCHED INDEXED SERIALIZED FILED  
FEB 12 1968 BY [signature]

F 3 G.A. 2543

ชีวานุกรมวิธานของซงโคค่า *Bauhinia pottsii* G.Don ในประเทศไทย

ว่าที่ร้อยตรีสุพจน์ แสงมณี

วิทยานิพนธ์นี้เป็นส่วนหนึ่งของการศึกษาตามหลักสูตรปริญญาวิทยาศาสตรดุษฎีบัณฑิต  
สาขาวิชาวิทยาศาสตร์ชีวภาพ หลักสูตรวิทยาศาสตร์ชีวภาพ  
คณะวิทยาศาสตร์ จุฬาลงกรณ์มหาวิทยาลัย  
ปีการศึกษา 2542  
ISBN 974-334-558-2  
ลิขสิทธิ์ของ จุฬาลงกรณ์มหาวิทยาลัย

**BIOSYSTEMATICS OF *Bauhinia pottsii* G. Don IN THAILAND**

Acting sub-lieutenant Supot Saengmanee

A Dissertation Submitted in Partial Fulfillment of the Requirements  
for the Degree of Doctor of Philosophy in Biological Sciences

Faculty of Science

Chulalongkorn University

Academic year 1999

ISBN 974-334-558-2

หัวข้อวิทยานิพนธ์ ชีวानุกรรมวิรานของซงโคคำ *Bauhinia pottsii* G.Don ในประเทศไทย  
โดย ว่าที่ร้อยตรีสุพจน์ แสงมณี  
หลักสูตร วิทยาศาสตร์ชีวภาพ  
อาจารย์ที่ปรึกษา รองศาสตราจารย์ ดร.ทวีศักดิ์ บุญเกิด  
อาจารย์ที่ปรึกษาร่วม รองศาสตราจารย์ ดร.อบจันทร์ ไทยทอง

---

คณะวิทยาศาสตร์ จุฬาลงกรณ์มหาวิทยาลัย อนุมัติให้นับวิทยานิพนธ์ฉบับนี้เป็นส่วนหนึ่ง  
ของการศึกษาตามหลักสูตรปริญญาดุษฎีบัณฑิต

.....คณะบดีคณะวิทยาศาสตร์  
( รองศาสตราจารย์ ดร.วนิชัย พోర్పితిత )

คณะกรรมการสอบวิทยานิพนธ์

.....ประธานกรรมการ

( ศาสตราจารย์ ดร. สิริวนันต์ วงศ์ศิริ )

.....อาจารย์ที่ปรึกษา

( รองศาสตราจารย์ ดร.ทวีศักดิ์ บุญเกิด )

.....อาจารย์ที่ปรึกษาร่วม

( รองศาสตราจารย์ ดร.อบจันทร์ ไทยทอง )

.....กรรมการ

( รองศาสตราจารย์ ดร.ประคง ตั้งประพุทธ์กุล )

.....กรรมการ

( อาจารย์ ดร.ต่อศักดิ์ สีลานันท์ )

.....กรรมการ

( ดร.กองกานดา ชัยามฤต )

สุพจน์ แสงณี : ชีวานุกรมวิธานของชงโคง่า *Bauhinia pottsii* G.Don  
ในประเทศไทย (BIOSYSTEMATICS OF *Bauhinia pottsii* G.Don IN  
THAILAND) อ.ที่ปรึกษา : รศ.ดร.ทวีศักดิ์ บุญเกิด; อ.ที่ปรึกษาร่วม : รศ.  
ดร.อุบลันท์ ไทยทอง; 296 หน้า. ISBN 974-334-558-2

ชงโคง่าเป็นไม้พุ่มที่เจริญบริเวณชายป่าดิบชื้นที่ความสูงจากระดับน้ำทะเล  
ไม่เกิน 200 เมตร ในประเทศไทยมีชงโคง่า 5 พันธุ์ คือ *B. pottsii* var. *pottsii* G. Don,  
*B. pottsii* var. *velutina* (Wall. ex Benth.) K. & S.S. Larsen, *B. pottsii* var. *mollissima*  
(Wall. ex Prain) K. & S.S. Larsen, *B. pottsii* var. *subsessilis* (Craib) de Wit และ  
*B. pottsii* var. *decipiens* (Craib) K. & S.S. Larsen ชงโคง่าแต่ละพันธุ์มีความแปรผันของ  
ลักษณะสัณฐานวิทยาของใบ ดอกและเรณูแตกต่างกัน จึงได้ทำการตรวจสอบสถานะทาง  
อนุกรมวิธานของชงโคง่า 4 พันธุ์ ยกเว้น *B. pottsii* var. *decipiens* ซึ่งสำรวจไม่พบในการ  
ศึกษาครั้งนี้ โดยการศึกษาทาง numerical taxonomy ด้วยเทคนิคการวิเคราะห์ตัวแปร  
พหุคุณ 3 วิธี คือการวิเคราะห์ปัจจัย การวิเคราะห์จัดกลุ่มและการวิเคราะห์จัดจำแนก โดยใช้  
ข้อมูลจากลักษณะสัณฐานวิทยาของใบ 7 ลักษณะ ดอก 41 ลักษณะ เรณู 11 ลักษณะ และ  
ลักษณะแบบแผนไฮโซไซม์ 36 ลักษณะจากไฮโซไซม์ 6 ระบบ (acid phosphatase,  
esterase, glutamate oxaloacetate transaminase, malate dehydrogenase, peroxidase  
และ shikimate dehydrogenase) พบว่าสามารถจำแนกชงโคง่าออกเป็น 3 กลุ่ม คือ

1. *B. pottsii* var. *pottsii*
2. *B. pottsii* var. *subsessilis*
3. *B. pottsii* var. *velutina*

และ *B. pottsii* var. *mollissima* โดยลักษณะที่มีความสำคัญในการจัดจำแนกประกอบด้วย

- ลักษณะดอก 3 ลักษณะ ลักษณะเรณู 2 ลักษณะและลักษณะแบบแผนไฮโซไซม์ 14 ลักษณะ

เมื่อเปรียบเทียบสถานะทางอนุกรมวิธานกับชงโคง่าและกาหลงโดยใช้ลักษณะสัณฐานวิทยา  
ของใบ ดอก เรณู ฝัก และเมล็ด รวมทั้งสิ้น 74 ลักษณะ วิเคราะห์ด้วยเทคนิคเดียวกัน ผล  
การวิจัยพบว่าสามารถใช้เฉพาะลักษณะสัณฐานวิทยาในการจัดจำแนกชงโคง่าซึ่งมีสถานะ

- ทางอนุกรมวิธานอยู่ในระดับชนิด (species) ออกเป็น 3 พันธุ์ (variety) คือ 1. *B. pottsii*  
var. *pottsii* 2. *B. pottsii* var. *subsessilis* และ 3. *B. pottsii* var. *velutina*

หลักสูตร ..... วิทยาศาสตร์ชีวภาพ ..... รายมือชื่อนิสิต ..... *พชรพันธุ์*  
สาขาวิชา ..... วิทยาศาสตร์ชีวภาพ ..... รายมือชื่ออาจารย์ที่ปรึกษา ..... *พชรพันธุ์*  
ปีการศึกษา ..... 2542 ..... รายมือชื่ออาจารย์ที่ปรึกษาร่วม ..... *อนันดา ไกรทอง*

## #C 825022 : MAJOR BIOLOGICAL SCIENCE

KEY WORD : BIOSYSTEMATICS / *Bauhinia pottsii* G.Don

SUPOT SAENGMANEE : BIOSYSTEMATICS OF *Bauhinia pottsii* G.Don  
 IN THAILAND. THESIS ADVISOR : ASSOC. PROF. THAWEESAKDI  
 BOONKERT, Ph.D.; THESIS CO-ADVISOR : ASSOC.PROF.OBCHANT  
 THAITHONG, Ph.D. 296 pp. ISBN 974-334-558-2

*Bauhinia pottsii* G.Don is a shrub which occurs naturally along the edge of evergreen forest below 200 meters ASL. In Thailand, five varieties of this species were recorded : *B. pottsii* var. *pottsii* G. Don, *B. pottsii* var. *velutina* (Wall. ex Benth.) K. & S. S. Larsen, *B. pottsii* var. *mollissima* (Wall. ex Prain) K. & S.S. Larsen, *B. pottsii* var. *subsessilis* (Craib) de Wit, and *B. pottsii* var. *decipiens* (Craib) K. & S. S. Larsen. Each variety exhibits somewhat a wide range of morphological plasticity. In order to clarify their taxonomic status, all varieties except *B. pottsii* var. *decipiens* which was not found, were investigated by numerical taxonomic studies, consisting of 3 multivariate analyses, namely factor analysis, cluster analysis and discriminant analysis. These analyses focused on morphological characters as follows: 7 characters of leaf, 41 characters of flower and 11 characters of pollen as well as 36 characters from 6 isozyme systems (acid phosphatase, esterase, glutamate oxaloacetate transaminase, malate dehydrogenase, peroxidase and shikimate dehydrogenase). The results show that this species should be classified into 3 groups -- i) *B. pottsii* var. *pottsii*, ii) *B. pottsii* var. *subsessilis*, and iii) *B. pottsii* var. *velutina* and *B. pottsii* var. *mollissima* – based on 3 characters of flower, 2 characters of pollen and 14 characters from isozyme pattern. To compare taxonomic status with *B. purpurea* and *B. acuminata* by analyses 74 morphological characters of leaf, flower, pollen, pod, and seed by the same techniques. The results from morphological characters alone suggest that 3 groups of *B. pottsii* should be recognized as 3 distinct varieties: i) *B. pottsii* var. *pottsii*, ii) *B. pottsii* var. *subsessilis* and iii) *B. pottsii* var. *velutina*.

หลักสูตร ..... วิทยาศาสตร์ชีวภาพ ..... ลายมือชื่อนิสิต ..... *นายสุรศักดิ์ ใจดี*

สาขาวิชา ..... วิทยาศาสตร์ชีวภาพ ..... ลายมือชื่ออาจารย์ที่ปรึกษา ..... *ดร.พิริยะ เจริญ*

ปีการศึกษา ..... 2542 ..... ลายมือชื่ออาจารย์ที่ปรึกษาร่วม ..... *ดร.ศรีกานต์ ไกรนกนก*

## กิตติกรรมประกาศ

วิทยานิพนธ์ฉบับนี้สำเร็จลุล่วงด้วยดี เนื่องจากความช่วยเหลืออย่างดียิ่งของบุคคลหลายฝ่ายด้วยกัน ผู้เขียนขอกราบขอบพระคุณเป็นอย่างสูงต่อ รองศาสตราจารย์ ดร.ทวีศักดิ์ บุญเกิด และรองศาสตราจารย์ ดร.อนันต์ ไทยทอง ที่ให้ความกรุณาไว้เป็นอาจารย์ที่ปรึกษา คอยดูแลและควบคุมงานวิจัย ให้คำปรึกษาและข้อเสนอแนะที่มีคุณค่าให้ความช่วยเหลือในการออกแบบเก็บตัวอย่างในต่างจังหวัดและเป็นกำลังใจในการแก้ไขปัญหาทุกด้าน รวมทั้งให้ยืมเอกสารประกอบการวิจัยเป็นส่วนใหญ่ตลอดระยะเวลาของการศึกษาวิจัยครั้งนี้

ขอกราบขอบพระคุณเป็นอย่างสูงต่อ ศาสตราจารย์ ดร.สิริวัฒน์ วงศ์ศิริ ประธานกรรมการสอบวิทยานิพนธ์ รองศาสตราจารย์ ดร.ประคง ดังประพฤทธิ์กุล อาจารย์ ดร.ก่องกานดา ชัยมงคลและอาจารย์ ดร.ต่อศักดิ์ สิลันันท์ ซึ่งเป็นกรรมการสอบวิทยานิพนธ์ ที่ได้กรุณาร่วมสอบและให้คำแนะนำแก้ไขข้อบกพร่องต่างๆ ทำให้วิทยานิพนธ์ฉบับนี้มีความสมบูรณ์มากยิ่งขึ้น

ขอกราบขอบพระคุณเป็นอย่างสูงต่อ ศาสตราจารย์ ดร.ถาวร วัชราภัย รองศาสตราจารย์โภสุມ พีระมาน รองศาสตราจารย์บุศบรรณ ณ สงขลา รองศาสตราจารย์ วิยดา เทพหัสดี รองศาสตราจารย์มนทกานติ วัชราภัย และรองศาสตราจารย์ ดร.ปรีดา บุญ-หลง ที่ให้ความรู้เป็นต้นทางด้านพฤกษาศาสตร์ซึ่งเป็นพื้นฐานสำคัญให้ผู้เขียนนำมาใช้ในการศึกษาวิจัยจนสำเร็จลุล่วงตามเป้าหมายได้

ขอขอบคุณอาจารย์ ดร.ชุมพล คุณวาสี ที่ให้คำปรึกษาและข้อคิดเห็นที่เป็นประโยชน์ ให้ความช่วยเหลือในการออกแบบเก็บตัวอย่างในต่างจังหวัดและให้ยืมเอกสารบางส่วนประกอบการวิจัย อาจารย์ ดร.ศุภจิตร ชัชวาลย์ ที่ให้ความรู้เกี่ยวกับเทคนิคอิเลคโทรโฟรีซิส ให้ข้อเสนอแนะที่มีประโยชน์ ให้ยืมอุปกรณ์และสารเคมี รวมทั้งเอกสารบางส่วนประกอบการศึกษาวิจัยในครั้งนี้

ขอขอบคุณอาจารย์ชวนพิศ อรุณรังสิกุล มหาวิทยาลัยเกษตรศาสตร์ วิทยาเขตกำแพงแสน ที่ให้คำแนะนำเทคนิคการใช้อิเลคโทรโฟรีซิสในการจำแนกพืชหลายชนิด ช่วยให้ผู้เขียนศึกษาวิจัยเกี่ยวกับไฮโซไซเมิร์ของพืชได้สมบูรณ์ยิ่งขึ้น

ขอขอบคุณ ดร.พิชิตชนันต์ ศิริพานิช คณะสกิดิประยุกต์ สถาบันบัณฑิตพัฒนบริหารศาสตร์ และอาจารย์มาลี จิตติวุฒิการ ที่ให้ความช่วยเหลือในการวิเคราะห์ข้อมูล

ขอขอบคุณอาจารย์อุไร ดำรง อาจารย์สุวัฒน์ ชีรพงษ์ธนกร อาจารย์บุญสนอง ช่วยแก้ว คุณปิยะชาติ ไตรสารครี คุณหนงศักดิ์ จงธุรักษ์ อาจารย์อลกฤต แทนออมทอง อาจารย์อุดมศักดิ์ ธรรมาก อาจารย์เรืองวิทย์ บรรจงรัตน์ อาจารย์สริน

พลวัฒน์ คุณปริญญา กลินัดน์ อาจารย์วันชัย สังฆ์สุข คุณปิยพงศ์ ราชดา คุณกัญดา เกษตรสินสมบัติ คุณรัฐพงษ์ พวงทับทิม คุณสุชาดา วงศ์ภาคำ คุณอังคณา ณีกุล คุณ สพัฒน์ โปษยะวัฒนากุล และคุณยุธยา ออยู่เย็น ที่ให้ความช่วยเหลือในการเก็บตัวอย่างใน ต่างจังหวัด การเตรียมตัวอย่างสำหรับการศึกษาไฮโตรไซด์ เป็นกำลังใจและให้ข้อคิดเห็นที่เป็น ประโยชน์

ขอขอบคุณรุจิพร ประทีปเสน ที่ช่วยเหลือในการเตรียมตัวอย่างและการ ถ่ายรูปตัวอย่างจากกล้องจุลทรรศน์อิเล็กตรอนแบบส่องกราด คุณสหัส จันทนารพินทร์ ที่ช่วย ถ่ายรูปและแนะนำการถ่ายรูปจากกล้องจุลทรรศน์แบบใช้แสง

ขอขอบคุณคุณประชานันท์ นันท์ธนาวนิช บรรณารักษ์ห้องสมุดภาควิชา พฤกษาศาสตร์ คณะวิทยาศาสตร์ จุฬาลงกรณ์มหาวิทยาลัย ที่ให้ความเอื้อเพื่อช่วยเหลือและ อำนวยความสะดวกในการยืมเอกสารอ้างอิงประกอบการวิจัย

ขอขอบคุณคุณสมามา บินยาซัน คุณมนหารพ สุธรรม คุณมานิต คิตอยู่ และคุณอรุณรัตน์ มีกิจเจริญโรจน์ ที่ช่วยพิมพ์วิทยานิพนธ์จนสำเร็จลุล่วงด้วยดี

ขอขอบคุณพิพิชภัณฑ์พิชศาสตราจารย์ยกสิน ศุภะพันธุ์ และภาควิชาพฤกษาศาสตร์ คณะวิทยาศาสตร์ จุฬาลงกรณ์มหาวิทยาลัย ที่ใช้เป็นแหล่งศึกษาวิจัยตลอดระยะเวลา ของการทำวิทยานิพนธ์ พิพิชภัณฑ์พิชหอพวรรณไม้ม กรมป่าไม้และพิพิชภัณฑ์พิช กรมวิชาการ เกษตร ที่ให้ความสะดวกในการตรวจสอบศึกษาพันธุ์ไม้

ขอขอบคุณกรรมสามัญศึกษา กระทรวงศึกษาธิการ ที่อนุญาตให้ผู้เขียนลา ศึกษาต่อในบ้านที่ดีวิทยาลัย จุฬาลงกรณ์มหาวิทยาลัย ผู้อำนวยการเดติม สุวรรณโพธิ์ อดีต ผู้อำนวยการโรงเรียนเตรียมอุดมศึกษาน้อมเกล้า ผู้อำนวยการสิทธิรักษ์ จันทร์สว่าง ผู้อำนวย การโรงเรียนเตรียมอุดมศึกษาน้อมเกล้า อาจารย์บุปผา ผู้พัฒนา ผู้ช่วยผู้อำนวยการฝ่ายวิชา การโรงเรียนเตรียมอุดมศึกษาน้อมเกล้า อาจารย์สุภา ยิ่มสรวลและอาจารย์ยุวารี วิศวะเมธี อดีตหัวหน้าหมวดวิชาชีววิทยาศาสตร์ ตลอดจนคณาจารย์หมวดวิชาชีววิทยาศาสตร์ โรงเรียน เตรียมอุดมศึกษาน้อมเกล้าทุกท่าน ที่กรุณาสนับสนุนและให้ความช่วยเหลือในการลาศึกษาต่อ

ผลงานวิจัยนี้ได้รับทุนสนับสนุนจากโครงการพัฒนาองค์ความรู้และศึกษา นโยบายการจัดการทั่วไปการชีวภาพในประเทศไทยซึ่งร่วมจัดตั้งโดยสำนักงานกองทุน สนับสนุนการวิจัยและศูนย์พันธุวิศวกรรมและเทคโนโลยีชีวภาพแห่งชาติ รหัสโครงการ BRT 542001 และสำนักงานพัฒนาวิทยาศาสตร์และเทคโนโลยีแห่งชาติ (สวทช.) จึงขอขอบพระคุณ เป็นอย่างสูงมา ณ ที่นี้ด้วย

## สารบัญ

หน้า

บทคัดย่อภาษาไทย.....	๕
บทคัดย่อภาษาอังกฤษ.....	๖
กิตติกรรมประกาศ.....	๗
สารบัญ.....	๘
สารบัญตาราง.....	๙
สารบัญแผนภาพ.....	๑๖

### บทที่

1. บทนำ.....	1
2. เอกสารและงานวิจัยที่เกี่ยวข้อง.....	8
3. วัสดุ อุปกรณ์ ละวิธีดำเนินการวิจัย.....	15
4. ผลการวิจัย.....	42
5. อภิปรายผลการวิจัย.....	161
6. สิ่งที่ได้จากการวิจัยและข้อเสนอแนะ.....	197
รายการอ้างอิง.....	203
ภาคผนวก.....	210
ประวัติผู้วิจัย.....	296

## สารบัญตาราง

ตารางที่	หน้า
3.1 แหล่งเก็บตัวอย่างประชากรชงโคง่า ชงโโค และกาหลงในประเทศไทย.....	22
3.2 สารเคมีที่ใช้ในการเตรียม polyacrylamide gel.....	28
3.3 ส่วนประกอบของ extraction buffer.....	30
3.4 ระบบไอโซไซม์ที่ศึกษาในชงโคง่า.....	32
3.5 ลักษณะสัณฐานวิทยาของใบ ดอก เรณู ฝัก และเมล็ดที่เป็นข้อมูลเชิงคุณภาพ.....	35
3.6 ลักษณะสัณฐานวิทยาของใบ ดอก เรณู ฝัก และเมล็ดที่เป็นข้อมูลเชิงปริมาณ.....	39
4.1 การกระจายพันธุ์ของชงโคง่าที่สำรวจพบในประเทศไทย.....	42
4.2 เปรียบเทียบค่า Rf ของไอโซไซม์ 6 ระบบที่พับในชงโคง่า.....	83
4.3 ค่าต่ำสุด ค่าเฉลี่ย ค่าสูงสุด และค่าเบี่ยงเบนมาตรฐานของลักษณะสัณฐานวิทยาของใบ ดอกและเรณูของชงโคง่าในประเทศไทย.....	211
4.4 ค่าไอเกนของแกนปัจจัยและค่าความแปรผันจากการวิเคราะห์ปัจจัยของลักษณะสัณฐานวิทยาของใบชงโคง่าในประเทศไทย.....	214
4.5 ค่า factor loading ของลักษณะต่างๆของใบในแกนปัจจัย (ก่อนการหมุนแกน) และค่า communality จากการวิเคราะห์ปัจจัยลักษณะสัณฐานวิทยาของใบชงโคง่าในประเทศไทย.....	214
4.6 ค่า factor loading ของลักษณะต่างๆของใบในแกนปัจจัย (หลังการหมุนแกน) จากการวิเคราะห์ปัจจัยลักษณะสัณฐานวิทยาของใบชงโคง่าในประเทศไทย.....	215
4.7 ค่าสถิติของสมการจัดจำแนกจากการวิเคราะห์ลักษณะสัณฐานวิทยาของใบชงโคง่าในประเทศไทย เมื่อใช้ข้อมูลจากแกนปัจจัยที่ 1-2 ซึ่งมีค่าไอเกนมากกว่า 1 .....	215
4.8 ค่าสัมประสิทธิ์ของสมการการจัดจำแนกที่เป็นคะแนนมาตรฐานจากการวิเคราะห์ลักษณะสัณฐานวิทยาของใบชงโคง่าในประเทศไทย เมื่อใช้ข้อมูลจากแกนปัจจัยที่ 1-2 .....	216
4.9 ค่าสัมประสิทธิ์สหสัมพันธ์ระหว่างลักษณะสัณฐานวิทยาของใบชงโคง่าในประเทศไทยที่ใช้ในการวิเคราะห์จัดจำแนกกับสมการจัดจำแนก.....	216

## สารบัญตาราง (ต่อ)

ตารางที่	หน้า
4.10 เปอร์เซ็นต์การทำนายกลุ่มประชากรจากสมการที่ได้จากการวิเคราะห์จัดจำแนกลักษณะสัณฐานวิทยาของใบชงโคงคำในประเทศไทย เมื่อใช้ข้อมูลจากแกนปัจจัยที่ 1-2.....	217
4.11 ค่าไオเกนของแกนปัจจัยและค่าความแปรผันจากการวิเคราะห์ปัจจัยลักษณะสัณฐานวิทยาของดอกชงโคงคำในประเทศไทย.....	218
4.12 ค่า factor loading ของลักษณะต่างๆ ของดอกในแกนปัจจัย (ก่อนการหมุนแกน) และค่า communality จากการวิเคราะห์ปัจจัยลักษณะสัณฐานวิทยาของดอกชงโคงคำในประเทศไทย.....	218
4.13 ค่า factor loading ของลักษณะต่างๆ ของดอกในแกนปัจจัย (หลังการหมุนแกน) จากการวิเคราะห์ปัจจัยลักษณะสัณฐานวิทยาของดอกชงโคงคำในประเทศไทย.....	220
4.14 ค่าสถิติของสมการจัดจำแนกจากการวิเคราะห์ลักษณะสัณฐานวิทยาของดอกชงโคงคำในประเทศไทย เมื่อใช้ข้อมูลจากแกนปัจจัยที่ 1-5 ซึ่งมีค่าไオเกนมากกว่า 1.....	221
4.15 ค่าสัมประสิทธิ์ของสมการจัดจำแนกที่เป็นคะแนนมาตรฐานจากการวิเคราะห์ลักษณะสัณฐานวิทยาของดอกชงโคงคำในประเทศไทย เมื่อใช้ข้อมูลจากแกนปัจจัยที่ 1-5.....	222
4.16 ค่าสัมประสิทธิ์สหสัมพันธ์ระหว่างลักษณะสัณฐานวิทยาของดอกชงโคงคำในประเทศไทยที่ใช้ในการวิเคราะห์จัดจำแนกกับสมการจัดจำแนก เมื่อใช้ข้อมูลจากแกนปัจจัยที่ 1-5.....	222
4.17 เปอร์เซ็นต์การทำนายกลุ่มประชากรจากสมการที่ได้จากการวิเคราะห์จัดจำแนกลักษณะสัณฐานวิทยาของดอกชงโคงคำในประเทศไทย เมื่อใช้ข้อมูลจากแกนปัจจัยที่ 1-5 .....	224
4.18 ค่าไオเกนของแกนปัจจัยและค่าความแปรผันจากการวิเคราะห์ปัจจัยลักษณะสัณฐานวิทยาของเรณูชงโคงคำในประเทศไทย.....	225

## สารบัญตาราง (ต่อ)

ตารางที่	หน้า
4.19 ค่า factor loading ของลักษณะต่างๆ ของเรณูในแกนปัจจัย (ก่อนการหมุนแกน) และค่า communality จากการวิเคราะห์ปัจจัย ลักษณะสัณฐานวิทยาของเรณูชงโคงคำในประเทศไทย.....	225
4.20 ค่า factor loading ของลักษณะต่างๆของเรณู ในแกนปัจจัย (หลังการหมุนแกน) จากการวิเคราะห์ปัจจัยลักษณะสัณฐานวิทยาของเรณู ชงโคงคำในประเทศไทย.....	226
4.21 ค่าสถิติของสมการจัดจำแนกจากการวิเคราะห์ลักษณะสัณฐานวิทยาของเรณู ชงโคงคำในประเทศไทย เมื่อใช้ข้อมูลจากแกนปัจจัยที่ 1-2 ซึ่งมีค่าไอลเกน มากกว่า 1.....	226
4.22 ค่าสัมประสิทธิ์ของสมการจัดจำแนกที่เป็นคะแนนมาตรฐาน จากการวิเคราะห์ลักษณะสัณฐานวิทยาเรณูชงโคงคำในประเทศไทย เมื่อใช้ข้อมูล จากแกนปัจจัยที่ 1-2.....	227
4.23 ค่าสัมประสิทธิ์สหสัมพันธ์ระหว่างลักษณะสัณฐานวิทยาของเรณูชงโคงคำ ในประเทศไทยที่ใช้ในการวิเคราะห์จัดจำแนกกับสมการจัดจำแนก.....	227
4.24 เปอร์เซ็นต์การทำนายกลุ่มประชากรจากสมการที่ได้จากการวิเคราะห์ จัดจำแนกลักษณะสัณฐานวิทยาของเรณูชงโคงคำในประเทศไทย เมื่อใช้ข้อมูลจากแกนปัจจัยที่ 1-2.....	228
4.25 ค่าไอลเกนของแกนปัจจัยและค่าความแปรผันจากการวิเคราะห์ปัจจัย ลักษณะสัณฐานวิทยาของดอกและเรณูของชงโคงคำในประเทศไทย.....	229
4.26 ค่า factor loading ของลักษณะต่างๆของดอกและเรณูในแกนปัจจัย (ก่อนการหมุนแกน) และค่า communality จากการวิเคราะห์ปัจจัยลักษณะ สัณฐานวิทยาของดอกและเรณูของชงโคงคำในประเทศไทย.....	230
4.27 ค่า factor loading ของลักษณะต่างๆของดอกและเรณูในแกนปัจจัย (หลังการหมุนแกน) จากการวิเคราะห์ปัจจัยลักษณะสัณฐานวิทยาของ ดอกและเรณูของชงโคงคำในประเทศไทย.....	232

## สารบัญตาราง (ต่อ)

ตารางที่	หน้า
4.28 ค่าสถิติของสมการจัดจำแนกจากการวิเคราะห์ลักษณะสัณฐานวิทยาของดอกและเรณุของชงโคงคำในประเทศไทย เมื่อใช้ข้อมูลจากแกนปัจจัยที่ 1-6 ซึ่งมีค่าไオเกนมากกว่า 1.....	234
4.29 ค่าสัมประสิทธิ์ของสมการจัดจำแนกที่เป็นคะแนนมาตรฐาน จากการวิเคราะห์ลักษณะสัณฐานวิทยาของดอกและเรณุของชงโคงคำในประเทศไทย เมื่อใช้ข้อมูลจากแกนปัจจัยที่ 1-6.....	235
4.30 ค่าสัมประสิทธิ์สหสัมพันธ์ระหว่างลักษณะสัณฐานวิทยาของดอกและเรณุของชงโคงคำในประเทศไทยที่ใช้ในการวิเคราะห์จัดจำแนกกับสมการจัดจำแนก เมื่อใช้ข้อมูลจากแกนปัจจัยที่ 1-6.....	236
4.31 เปอร์เซ็นต์การทำนายกลุ่มประชากรจากสมการที่ได้จากการวิเคราะห์จัดจำแนกลักษณะสัณฐานวิทยาของดอกและเรณุของชงโคงคำในประเทศไทย เมื่อใช้ข้อมูลจากแกนปัจจัยที่ 1-6.....	238
4.32 ค่าไอเกนของแกนปัจจัยและค่าความแปรผันจากการวิเคราะห์ปัจจัยลักษณะสัณฐานวิทยาของใบ ดอก และเรณุของชงโคงคำในประเทศไทย.....	239
4.33 ค่า factor loading ของลักษณะต่างๆของใบ ดอก และเรณุในแกนปัจจัย (ก่อนการหมุนแกน) และค่า communality จากการวิเคราะห์ปัจจัยลักษณะสัณฐานวิทยาของใบ ดอก และเรณุของชงโคงคำในประเทศไทย.....	240
4.34 ค่า factor loading ของลักษณะต่างๆ ของใบ ดอก และเรณุในแกนปัจจัย (หลังการหมุนแกน) จากการวิเคราะห์ปัจจัยลักษณะสัณฐานวิทยาของใบ ดอก และเรณุของชงโคงคำในประเทศไทย.....	242
4.35 ค่าสถิติของสมการจัดจำแนกจากการวิเคราะห์ลักษณะสัณฐานวิทยาของใบ ดอก และเรณุของชงโคงคำในประเทศไทย เมื่อใช้ข้อมูลจากแกนปัจจัยที่ 1-7 ซึ่งมีค่าไอเกนมากกว่า 1 .....	244

## สารบัญตาราง (ต่อ)

ตารางที่	หน้า
4.36 ค่าสัมประสิทธิ์ของสมการจัดจำแนกที่เป็นคะแนนมาตรฐานจากการวิเคราะห์ลักษณะสัณฐานวิทยาของใบ ดอก และเรณูของชงโคงคำในประเทศไทย เมื่อใช้ข้อมูลจากแกนปัจจัยที่ 1-7.....	244
4.37 ค่าสัมประสิทธิ์สัมพันธ์ระหว่างลักษณะสัณฐานวิทยาของใบ ดอก และเรณู ของชงโคงคำในประเทศไทยที่ใช้ในการวิเคราะห์จัดจำแนกกับสมการจัดจำแนก.....	246
4.38 เปอร์เซ็นต์การทำนายกลุ่มประชากรจากการสมการที่ได้จากการวิเคราะห์จัดจำแนกลักษณะสัณฐานวิทยาของใบ ดอก และเรณูของชงโคงคำ ในประเทศไทย เมื่อใช้ข้อมูลจากแกนปัจจัยที่ 1-7.....	248
4.39 ค่าไอเกนของแกนปัจจัยและค่าความแปรผันจากการวิเคราะห์ปัจจัยของลักษณะแบบแผนไอโซไซม์ 6 ระบบของชงโคงคำในประเทศไทย.....	249
4.40 ค่า factor loading ของลักษณะแบบแผนไอโซไซม์ในแกนปัจจัย (ก่อนการหมุนแกน) และค่า communality จากการวิเคราะห์ปัจจัย ลักษณะแบบแผนไอโซไซม์ 6 ระบบของชงโคงคำในประเทศไทย.....	249
4.41 ค่า factor loading ของลักษณะแบบแผนไอโซไซม์ในแกนปัจจัย (หลังการหมุนแกน) จากการวิเคราะห์ปัจจัยลักษณะแบบแผนไอโซไซม์ 6 ระบบของชงโคงคำในประเทศไทย.....	251
4.42 ค่าสถิติของสมการจัดจำแนกจากการวิเคราะห์ลักษณะแบบแผนไอโซไซม์ 6 ระบบของชงโคงคำในประเทศไทย เมื่อใช้ข้อมูลจากแกนปัจจัยที่ 1-7 ซึ่งมีค่าไอเกนมากกว่า 1.....	252
4.43 ค่าสัมประสิทธิ์ของสมการจัดจำแนกที่เป็นคะแนนมาตรฐานจากการวิเคราะห์ลักษณะแบบแผนไอโซไซม์ 6 ระบบของชงโคงคำในประเทศไทย เมื่อใช้ข้อมูลจากแกนปัจจัยที่ 1-7 .....	253
4.44 ค่าสัมประสิทธิ์สัมพันธ์ระหว่างลักษณะแบบแผนไอโซไซม์ 6 ระบบ ของชงโคงคำในประเทศไทยที่ใช้ในการวิเคราะห์จัดจำแนกกับสมการจัดจำแนก เมื่อใช้ข้อมูลจากแกนปัจจัยที่ 1-7.....	253

## สารบัญตาราง (ต่อ)

ตารางที่	หน้า
4.45 เปอร์เซ็นต์การทำนายกลุ่มประชากรจากสมการที่ได้จากการวิเคราะห์จัดจำแนกลักษณะแบบแผนไอโซไซม์ ๖ ระบบของชงโคง์ด้านประเทศไทย เมื่อใช้ข้อมูลจากแกนปัจจัยที่ 1-7.....	255
4.46 ค่าไอกenenของแกนปัจจัยและค่าความแปรผันจากการวิเคราะห์ปัจจัยลักษณะสัณฐานวิทยาของใน ดอก เรณู และลักษณะแบบแผนไอโซไซม์ ของชงโคง์ด้านประเทศไทย.....	256
4.47 ค่า factor loading ของลักษณะต่างๆ ในแกนปัจจัย (ก่อนการหมุนแกน) และค่า communality จากการวิเคราะห์ปัจจัยลักษณะสัณฐานวิทยาของใน ดอก เรณู และแบบแผนไอโซไซม์ของชงโคง์ด้านประเทศไทย.....	257
4.48 ค่า factor loading ของลักษณะต่างๆ ในแกนปัจจัย (หลังการหมุนแกน) จากการวิเคราะห์ปัจจัยลักษณะสัณฐานวิทยาของใน ดอก เรณู และแบบแผนไอโซไซม์ของชงโคง์ด้านประเทศไทย.....	263
4.49 ค่าสถิติของสมการจัดจำแนกจากการวิเคราะห์ลักษณะสัณฐานวิทยาของใน ดอก เรณู และลักษณะแบบแผนไอโซไซม์ของชงโคง์ด้านประเทศไทย เมื่อใช้ข้อมูลจากแกนปัจจัยที่ 1-12 ซึ่งมีค่าไอกenenมากกว่า 1.....	269
4.50 ค่าสัมประสิทธิ์ของสมการจัดจำแนกที่เป็นคะแนนมาตรฐานจากการวิเคราะห์ลักษณะสัณฐานวิทยาของใน ดอก เรณู และลักษณะแบบแผนไอโซไซม์ ของชงโคง์ด้านประเทศไทย เมื่อใช้ข้อมูลจากแกนปัจจัยที่ 1-12.....	269
4.51 ค่าสัมประสิทธิ์สหสัมพันธ์ระหว่างลักษณะสัณฐานวิทยาของใน ดอก เรณู และลักษณะแบบแผนไอโซไซม์ของชงโคง์ด้านประเทศไทย ที่ใช้ในการวิเคราะห์จัดจำแนกับสมการจัดจำแนก.....	270
4.52 เปอร์เซ็นต์การทำนายกลุ่มประชากรจากสมการที่ได้จากการวิเคราะห์จัดจำแนกลักษณะสัณฐานวิทยาของใน ดอก เรณู และลักษณะแบบแผนไอโซไซม์ของชงโคง์ด้านประเทศไทย เมื่อใช้ข้อมูลจากแกนปัจจัยที่ 1-12.....	273

## สารบัญตาราง (ต่อ)

ตารางที่	หน้า
4.53 ค่าไอเกนของแแกนปัจจัยและค่าความแปรผันจากการวิเคราะห์ปัจจัยลักษณะสัณฐานวิทยาของใบ ดอก เรณู และฝักของชงโคคำ ชงโโค และกาหลง.....	274
4.54 ค่า factor loading ของลักษณะต่างๆของใบ ดอก เเรณู และฝัก ในแแกนปัจจัย (ก่อนการหมุนแแกน) และค่า communality จากการวิเคราะห์ปัจจัยลักษณะสัณฐานวิทยาของใบ ดอก เเรณู และฝักของชงโคคำ ชงโโค และกาหลง.....	274
4.55 ค่า factor loading ของลักษณะต่างๆ ของใบ ดอก เเรณู และฝัก ในแแกนปัจจัย (หลังการหมุนแแกน) จากการวิเคราะห์ปัจจัยลักษณะสัณฐานวิทยาของใบ ดอก เเรณู และฝัก ของชงโคคำ ชงโโค และกาหลง.....	277
4.56 ค่าสถิติของสมการจัดจำแนกจากการวิเคราะห์ลักษณะสัณฐานวิทยาของใบ ดอก เเรณู และฝักของชงโคคำ ชงโโค และกาหลง เมื่อใช้ข้อมูลจากแแกนปัจจัยที่ 1-7 ซึ่งมีค่าไอเกนมากกว่า 1.....	279
4.57 ค่าสัมประสิทธิ์ของสมการจัดจำแนกที่เป็นคะแนนมาตรฐาน จากการวิเคราะห์ลักษณะสัณฐานวิทยาของใบ ดอก เเรณู และฝัก ของชงโคคำ ชงโโค และกาหลง เมื่อใช้ข้อมูลจากแแกนปัจจัยที่ 1-7 .....	280
4.58 ค่าสัมประสิทธิ์สหสัมพันธ์ระหว่างลักษณะสัณฐานวิทยาของใบ ดอก เเรณู และฝักของชงโคคำ ชงโโค และกาหลงที่ใช้ในการวิเคราะห์จัดจำแนก กับสมการจัดจำแนก .....	281
4.59 เปอร์เซ็นต์การทำนายกลุ่มประชากรจากสมการที่ได้จากการวิเคราะห์จัดจำแนกลักษณะสัณฐานวิทยาใน ดอก เเรณู และฝัก ของชงโคคำ ชงโโค และกาหลง เมื่อใช้ข้อมูลจากแแกนปัจจัยที่ 1-7 .....	283
5.1 เปรียบเทียบลักษณะสัณฐานวิทยาของใบ ดอก เเรณู ฝัก และเมล็ด ที่เป็นข้อมูลเชิงคุณภาพของชงโคคำ ชงโโค และกาหลง.....	189

## สารบัญแผนภาพ

แผนภาพที่		หน้า
3.1	การกระจายพันธุ์และแหล่งเก็บตัวอย่างประชากรช่วงโภคดำเนินประเทศไทย.....	23
3.2	การวัดลักษณะสัณฐานวิทยาของ ใน ดอก เรณู ผัก และเมล็ดของชงโภคดำเนินประเทศไทย.....	41
4.1	แหล่งที่อยู่และลักษณะวิสัยของชงโภคดำเนินประเทศไทย.....	56
4.2	ลักษณะกิจ และช่องทางศูนย์บริเวณเปลือกของชงโภคดำเนิน เมื่อใช้กล้องจุลทรรศน์ อิเลคตรอนแบบส่องgraphic.....	57
4.3	ลักษณะใบและขนใบด้านบนของชงโภคดำเนิน เมื่อใช้กล้องจุลทรรศน์อิเลคตรอน แบบส่องgraphic.....	58
4.4	ลักษณะใบและขนใบด้านล่างของชงโภคดำเนิน เมื่อใช้กล้องจุลทรรศน์อิเลคตรอน แบบส่องgraphic.....	59
4.5	ลักษณะดอกดูมและชุดดอกของชงโภคดำเนินประเทศไทย.....	60
4.6	ลักษณะขันบนดอกดูมของชงโภคดำเนิน เมื่อใช้กล้องจุลทรรศน์แบบสเตอริโอ <sup>1</sup> และกล้องจุลทรรศน์อิเลคตรอนแบบส่องgraphic.....	61
4.7	ลักษณะขันบนผิวด้านนอกและผิวด้านในของกลีบเลี้ยงชงโภคดำเนิน เมื่อใช้กล้องจุลทรรศน์อิเลคตรอนแบบส่องgraphic.....	62
4.8	ลักษณะผิวด้านบนและผิวด้านล่างของกลีบดอกชงโภคดำเนิน เมื่อใช้กล้อง <sup>2</sup> จุลทรรศน์อิเลคตรอนแบบส่องgraphic.....	63
4.9	ลักษณะเกรสรเพศผู้ ผิวอับเรณู และผิวถ่านชูอับเรณูของชงโภคดำเนิน เมื่อใช้กล้องจุลทรรศน์อิเลคตรอนแบบส่องgraphic.....	64
4.10	ลักษณะยอดเกรสรเพศเมียของชงโภคดำเนิน เมื่อใช้กล้องจุลทรรศน์อิเลคตรอน แบบส่องgraphic และรังไข่กับอวุล เมื่อใช้กล้องจุลทรรศน์แบบสเตอริโอ.....	65
4.11	ลักษณะขันบนรังไข่ของชงโภคดำเนิน เมื่อใช้กล้องจุลทรรศน์อิเลคตรอนแบบส่องgraphic.....	66
4.12	ลักษณะผัก เมล็ด และผิวของเมล็ดชงโภคดำเนิน เมื่อใช้กล้องจุลทรรศน์ อิเลคตรอนแบบส่องgraphic.....	67
4.13	รูปร่างลักษณะและลวดลายผิวของเรณูชงโภคดำเนิน เมื่อใช้กล้องจุลทรรศน์ อิเลคตรอนแบบส่องgraphic.....	71

## สารบัญแผนภาพ (ต่อ)

แผนภาพที่	หน้า
4.14 แบบแผนไฮโซไซม์ acid phosphatase ของชงโคงคำในประเทศไทย.....	77
4.15 แบบแผนไฮโซไซม์ esterase ของชงโคงคำในประเทศไทย.....	78
4.16 แบบแผนไฮโซไซม์ glutamate oxaloacetate transaminase ของชงโคงคำ ในประเทศไทย.....	79
4.17 แบบแผนไฮโซไซม์ malate dehydrogenase ของชงโคงคำในประเทศไทย.....	80
4.18 แบบแผนไฮโซไซม์ peroxidase ของชงโคงคำในประเทศไทย.....	81
4.19.1 แบบแผนไฮโซไซม์ shikimate dehydrogenase ของชงโคงคำในประเทศไทย.....	82
4.19.2 เปรียบเทียบลักษณะใบ ดอก เรณู ผักและเมล็ดของชงโคงและกาหลง.....	125
4.20 กราฟแสดงความสัมพันธ์ระหว่างแกนปัจจัยจากการวิเคราะห์ปัจจัยลักษณะสัณฐาน วิทยาของใบและลักษณะสัณฐานวิทยาของดอกของชงโคงคำในประเทศไทย.....	132
4.21 กราฟแสดงความสัมพันธ์ระหว่างแกนปัจจัยจากการวิเคราะห์ปัจจัยลักษณะ สัณฐานวิทยาของดอก ลักษณะสัณฐานวิทยาของเรณูและลักษณะสัณฐานวิทยา ของดอกกับเรณูของชงโคงคำในประเทศไทย.....	133
4.22 กราฟแสดงความสัมพันธ์ระหว่างแกนปัจจัยจากการวิเคราะห์ปัจจัยลักษณะดอก กับเรณูของชงโคงคำในประเทศไทย.....	134
4.23 กราฟแสดงความสัมพันธ์ระหว่างแกนปัจจัยจากการวิเคราะห์ปัจจัยลักษณะ สัณฐานวิทยาของดอกกับเรณู และลักษณะสัณฐานวิทยาของใบ ดอก และเรณู ของชงโคงคำในประเทศไทย.....	135
4.24 กราฟแสดงความสัมพันธ์ระหว่างแกนปัจจัยจากการวิเคราะห์ปัจจัยลักษณะ สัณฐานวิทยาของใบ ดอกและเรณูของชงโคงคำในประเทศไทย.....	136
4.25 กราฟแสดงความสัมพันธ์ระหว่างแกนปัจจัยจากการวิเคราะห์ปัจจัยลักษณะ สัณฐานวิทยาของใบ ดอก และเรณูของชงโคงคำในประเทศไทย.....	137
4.26 กราฟแสดงความสัมพันธ์ระหว่างแกนปัจจัยจากการวิเคราะห์ปัจจัยลักษณะ แบบแผนไฮโซไซม์ ๖ ระบบของชงโคงคำในประเทศไทย.....	138
4.27 กราฟแสดงความสัมพันธ์ระหว่างแกนปัจจัยจากการวิเคราะห์ปัจจัยลักษณะ แบบแผนไฮโซไซม์ ๖ ระบบของชงโคงคำในประเทศไทย.....	139

## สารบัญแผนภาพ (ต่อ)

## สารบัญแผนภาพ (ต่อ)

แผนภาพที่	หน้า
4.38 ภาพแสดงความสัมพันธ์ระหว่างแกนปัจจัยจากการวิเคราะห์ปัจจัยลักษณะสัณฐานวิทยาของใน ดอก เรณู ผัก และเมล็ดของชงโคงคำ ชงโคงและกาหลง.....	150
4.39 ภาพแสดงความสัมพันธ์ระหว่างแกนปัจจัยจากการวิเคราะห์ปัจจัยลักษณะสัณฐานวิทยาของใน ดอก เรณู ผัก และเมล็ดของชงโคงคำ ชงโคงและกาหลง.....	151
4.40 เดินโครงการแสดงผลการวิเคราะห์ลักษณะสัณฐานวิทยาของในชงโคงคำในประเทศไทยด้วยเทคนิคการวิเคราะห์จัดกลุ่ม.....	152
4.41 เดินโครงการแสดงผลการวิเคราะห์ลักษณะสัณฐานวิทยาของดอกชงโคงคำ ในประเทศไทยด้วยเทคนิคการวิเคราะห์จัดกลุ่ม.....	153
4.42 เดินโครงการแสดงผลการวิเคราะห์ลักษณะสัณฐานวิทยาของเรณูชงโคงคำ ในประเทศไทยด้วยเทคนิคการวิเคราะห์จัดกลุ่ม.....	154
4.43 เดินโครงการแสดงผลการวิเคราะห์ลักษณะสัณฐานวิทยาของดอกและเรณู ของชงโคงคำในประเทศไทยด้วยเทคนิคการวิเคราะห์จัดกลุ่ม.....	155
4.44 เดินโครงการแสดงผลการวิเคราะห์ลักษณะสัณฐานวิทยาของใน ดอก และเรณู ของชงโคงคำในประเทศไทยด้วยเทคนิคการวิเคราะห์จัดกลุ่ม.....	156
4.45 เดินโครงการแสดงผลการวิเคราะห์ลักษณะแบบแผนไอโซไซม์ของชงโคงคำ ในประเทศไทยด้วยเทคนิคการวิเคราะห์จัดกลุ่ม.....	157
4.46 เดินโครงการแสดงผลการวิเคราะห์ลักษณะสัณฐานวิทยาของใน ดอก เรณู และ ลักษณะแบบแผนไอโซไซม์ของชงโคงคำในประเทศไทย ด้วยเทคนิคการวิเคราะห์ จัดกลุ่ม.....	158
4.47 เดินโครงการแสดงผลการวิเคราะห์ลักษณะสัณฐานวิทยาของใน ดอก เรณู ผัก และเมล็ดของชงโคงคำ ชงโคง และกาหลง ด้วยเทคนิคการวิเคราะห์จัดกลุ่ม.....	159
4.48 ภาพแสดงผลการวิเคราะห์จัดจำแนกประชากรชงโคงคำในประเทศไทยและ ผลการวิเคราะห์จัดจำแนกประชากรชงโคงคำ ชงโคง และกาหลง เมื่อใช้ลักษณะสัณฐานวิทยาของใน ดอก เรณู ผัก และเมล็ด.....	160

## บทที่ 1

### บทนำ

ชงโคงคำ *Bauhinia pottsii* G.Don เป็นไม้พุ่มหรือไม้กึ่งรอเลือยที่ไม่มีมือจับ (tendril) (Larsen, Larsen และ Vidal, 1984) แต่สามารถเกาะต้นไม้อื่นที่อยู่ใกล้เคียงขึ้นไปได้ สูงถึง 30 เมตร (de Wit, 1956) มีชื่อเรียกในแต่ละท้องถิ่นแตกต่างกัน เช่น ชงโคง ชงโคงขาว ชงโคงไฟ เป็นต้น พบกระจาดพันธุ์อยู่ทั่วไปบริเวณชายป่าดิบชื้นที่มีความสูงจากระดับน้ำทะเลไม่เกิน 200 เมตรในประเทศไทยและเอเชียตะวันออกเฉียงใต้ เช่น หมู่ มาเลเซีย กัมพูชา อินโดนีเซียและไทย (Larsen และ Larsen, 1973) ส้าหัวนั่นประเทศไทยนั้นมีรายงานว่า พบเฉพาะในแถบภาคตะวันออกและภาคใต้เท่านั้น (Larsen, Larsen และ Vidal, 1984)

ชงโคงคำเป็นพืชชนิดหนึ่งที่มีความแปรผันของลักษณะสัณฐานวิทยาหลายประการ เช่น ในอาจมีรูปร่างค่อนข้างกลมหรือคล้ายรูปไข่ มีจำนวนเส้นใบแตกต่างกันตั้งแต่ 9-15 เส้น ผิวใบมีขันปักคลุมหลากรูปแบบ กลีบดอกอาจมีสีขาวหรือสีแดง มีรูปร่างแบบใบหอกหรือแบบช้อน ดอกดูมอาจมีสีเขียวหรือสีเขียวอมน้ำตาลและมีรูปร่างคล้ายกระบอกหรือคล้ายทรงกระบอกปลายเรียวแหลม ผักมีลักษณะแบบ ปลายเรียวแหลมเป็นจะอยู่ อาจมีหรือไม่มีสันตามแนวยาว เป็นต้น จึงได้มีการจำแนกชงโคงคำออกเป็น 3 พันธุ์ (variety) คือ *B. pottsii* var. *pottsii* G.Don, *B. pottsii* var. *elongata* (Korth) de Wit และ *B. pottsii* var. *subsessilis* (Craib) de Wit โดยพบว่า *B. pottsii* var. *elongata* นั้นแตกต่างจาก *B. pottsii* var. *pottsii* ตรงที่มีผิวใบเรียบมันกว่า กลีบดอกแคบกว่าและมีเกรสรูปผู้สั้นกว่า ในขณะที่ *B. pottsii* var. *subsessilis* นั้นแตกต่างจาก *B. pottsii* var. *pottsii* กับ *B. pottsii* var. *elongata* ตรงที่มีกลีบดอกสีขาว (de Wit, 1956) ต่อมาเมื่อการจัดให้ *B. pottsii* var. *decipiens* ซึ่งเป็นพืชถิ่นเดียวพบเฉพาะที่จังหวัดตราดเท่านั้นเป็นอีกพันธุ์หนึ่งของชงโคงคำ เพราะมีลักษณะโดยทั่วไปเหมือนกับ *B. pottsii* var. *subsessilis* ต่างกันเฉพาะบนบนรังไข่ที่ไม่มีขันแข็งอ่อนปักคลุม จึงทำให้ชงโคงคำในประเทศไทยมีทั้งหมด 4 varieties (Larsen และ Larsen, 1973)

เมื่อมีการจัดทำ Flora of Thailand จึงได้มีการจัดจำแนกสถานะทางอนุกรมวิธานของชงโคงคำแต่ละพันธุ์ใหม่ โดยมีการจัดให้ *B. pottsii* var. *elongata* เป็นกลุ่มเดียวกับ *B. pottsii* var. *pottsii* และจัดให้ *B. mollissima* และ *B. velutina* เป็นพันธุ์หนึ่งของชงโคงคำอีกด้วย ดังนั้นในปัจจุบันชงโคงคำจึงถูกจัดจำแนกออกเป็น 5 พันธุ์ คือ *B. pottsii* var. *pottsii* G.Don, *B. pottsii* var. *velutina* (Wall. ex Benth.) K. & S.S. Larsen, *B. pottsii* var.

*mollissima* (Wall. ex Prain) K. & S.S. Larsen, *B. pottsii* var. *subsessilis* (Craib) de Wit และ *B. pottsii* var. *decipiens* (Craib) K. & S.S. Larsen (Larsen, Larsen และ Vidal, 1984)

การจัดให้ *B. velutina*, *B. decipiens* และ *B. subsessilis* ซึ่งในอดีตมีสถานะทางอนุกรมวิธานอยู่ในระดับชนิด (species) (Fisher, 1927) เช่นเดียวกับ *B. elongata* ซึ่งมีรายงานว่าเป็นพืชอีกชนิดหนึ่งเช่นกัน (Craib, 1928) กลับมีสถานะทางอนุกรมวิธานอยู่ในระดับพันธุ์ (variety) ของชงโคงคำนั้น (Larsen, Larsen และ Vidal, 1984) ถือว่ายังไม่มีความชัดเจน นักทั้งนี้ เพราะความแปรผันระหว่างประชากรของชงโคงคำบางพันธุ์ มีความแตกต่างกันอย่างเด่นชัดหลายประการ เช่น *B. pottsii* var. *pottsii* กับ *B. pottsii* var. *mollissima* มีความแตกต่างกันทั้งลักษณะรูปร่างของกลีบดอก กลีบเลี้ยง เกสรเพศผู้ เกสรเพศเมีย ดอกคุณและฝัก ในขณะที่ *B. pottsii* var. *mollissima* กับ *B. pottsii* var. *velutina* มีลักษณะโดยทั่วไปคล้ายกันมาก ความแตกต่างที่เห็นเด่นชัดก็คือรูปร่างลักษณะของดอกคุณเท่านั้น เช่นเดียวกับ *B. pottsii* var. *subsessilis* และ *B. pottsii* var. *decipiens* ซึ่งมีความแตกต่างที่เด่นชัดเพียงประการเดียว เช่นกันคือลักษณะบนรังไข่ (Larsen, Larsen และ Vidal, 1984) แสดงให้เห็นว่าชงโคงคำแต่ละพันธุ์ มีความแปรผันของลักษณะต่างๆ ไม่เท่ากัน ดังนั้นการจัดให้ชงโคงคำหั้ง 5 พันธุ์อยู่ในหน่วยอนุกรมวิธานเดียวกันจึงเป็นปัญหาทางอนุกรมวิธานที่จะต้องทำการตรวจสอบว่ามีความเหมาะสมหรือไม่อย่างไร

วิธีการหนึ่งที่สามารถนำมาใช้ในการตรวจสอบสถานะทางอนุกรมวิธานของพืชได้ก็คือการศึกษาด้านชีวานุกรมวิธานหรือ Biosystematics ซึ่งเสนอโดย Camp และ Gilly ในปี ค.ศ. 1943 (อ้างถึงใน Jones และ Luchsinger, 1987) มีใจความว่าเป็นวิธีการสร้างหน่วยชีวภาพในธรรมชาติโดยเฉพาะหน่วยของวิัฒนาการมาใช้ในการจัดจำแนกชนิดโดยอาศัยความสัมพันธ์ทางสายพันธุ์และความแปรผันของโครงสร้างต่างๆ ของสิ่งมีชีวิต

ต่อมาจึงมีการศึกษาด้านชีวานุกรมวิธานมากขึ้นและได้มีผู้กำหนดความหมายของคำว่า “ชีวานุกรมวิธาน” ไว้มากมาย สรุปได้ดังนี้

Lawrence (1967) กล่าวถึงชีวานุกรมวิธานว่า เป็นการกำหนดขอบเขตของหน่วยชีวภาพในธรรมชาติให้มีความเด่นชัด โดยใช้ข้อมูลทางด้านเคมี พันธุศาสตร์ เชลล์วิทยา สัณฐานวิทยา สรีร์วิทยา นิเวศวิทยา และการกระจายพันธุ์ รวมทั้งการสังเกตในสภาพธรรมชาติและภายใต้สภาวะที่มีการควบคุมอีกด้วย

Solbrig (1970) กล่าวถึงชีวานุกรมวิธานว่าเป็นการประยุกต์ใช้ความรู้ด้านพันธุศาสตร์ เคมี และสถิติ มาอธิบายปัญหาด้านอนุกรมวิธานเกี่ยวกับความหลากหลายของสิ่งมีชีวิตในแต่ละภูมิภาคและการ

Jones และ Luchsinger (1987) กล่าวถึงชีวานุกรมวิธานว่าเป็นการประยุกต์วิธีการทดลองด้านพันธุศาสตร์ และเชลล์วิทยา มาใช้ในการศึกษาอนุกรมวิธานในระดับชนิด (species) หรือต่ำกว่าระดับชนิด (infraspecific level)

Stace (1989) กล่าวถึงชีวานุกรมวิธานว่าเป็นการศึกษาอนุกรมวิธานที่เกี่ยวข้องกับการศึกษาด้านพันธุศาสตร์ เชลล์วิทยาและนิเวศวิทยา รวมทั้งการศึกษาในห้องทดลอง และการศึกษาในภาคสนามอีกด้วย โดยแบ่งออกเป็น 2 วิธีการ คือ

1. Numerical taxonomy เป็นการศึกษาโดยการนำเทคนิคทางสถิติมาใช้ในการประมวลผลข้อมูลที่ได้จากการศึกษาลักษณะต่างๆ ของสิ่งมีชีวิต เช่น ลักษณะสัณฐานวิทยา ลักษณะกายวิภาคศาสตร์ ลักษณะนิเวศวิทยา เป็นต้น ดังนั้นจึงมีการใช้ทั้งข้อมูลเชิงคุณภาพ (qualitative character) และข้อมูลเชิงปริมาณ (quantitative character) ในการวิเคราะห์

2. Chemical taxonomy เป็นการศึกษาถึงองค์ประกอบทางเคมีของสิ่งมีชีวิตเพื่อนำมาใช้ในการศึกษาด้านอนุกรมวิธาน

ในการตรวจสอบสถานะทางอนุกรมวิธานของชงโคล์ด้าในประเทศไทยนั้น เลือกใช้วิธี numerical taxonomy ซึ่งมีการตีพิมพ์ในหนังสือ principles of numerical taxonomy ในปี ค.ศ. 1963 โดย P.H.A. Sneath และ R.R. Sokal ซึ่งเข้าได้กับกล่าวถึง numerical taxonomy ว่าเป็นการใช้วิธีการทางคณิตศาสตร์มาจัดกลุ่มทางอนุกรมวิธานบนพื้นฐานของสถานะของหน่วยอนุกรมวิธานนั้นๆ รวมทั้งการหาความสัมพันธ์ทางสายพันธุ์อีกด้วย ซึ่งสอดคล้องกับ Jones และ Luchsinger (1987) ซึ่งกล่าวว่า numerical taxonomy เป็นการตีความหมายของลักษณะต่างๆ ทางอนุกรมวิธานให้เป็นข้อมูลเชิงคณิตศาสตร์เพื่อให้สามารถนำไปวิเคราะห์ด้วยเทคนิคทางคอมพิวเตอร์ได้

นอกจากนี้ Sneath และ Sokal (1973) ยังได้อธิบายถึงข้อดีของการใช้วิธีการ numerical taxonomy ในการแก้ปัญหาทางอนุกรมวิธานอีกด้วย สรุปได้ดังนี้

1. สามารถนำข้อมูลจากการศึกษาหลายด้านมาใช้ในการศึกษาอนุกรมวิธานได้ เช่น ด้านสัณฐานวิทยา กายวิภาคศาสตร์ สิรริวิทยา เคมี รวมทั้งลำดับกรดอะมิโนของโปรตีนหรือลำดับเบสของ DNA ก็ได้

2. เป็นวิธีการศึกษาที่ใช้เทคนิคอัตโนมัติที่มีประสิทธิภาพสูง ดังนั้นผู้ที่ไม่มีความชำนาญด้านอนุกรมวิธานมากก็สามารถศึกษาและนำไปใช้งานได้
3. การกำหนดสถานะของลักษณะต่างๆ เป็นด้วเลขทำให้สามารถวิเคราะห์ประมวลผลด้วยคอมพิวเตอร์ และนำไปใช้ในการสร้างคำบรรยายและรูปวิธานได้
4. การวิเคราะห์ข้อมูลเชิงปริมาณช่วยให้จัดจำแนกหน่วยทางอนุกรมวิธานได้ชัดเจนและสามารถตรวจสอบได้
5. ช่วยให้เกิดความคิดใหม่ๆ ในการแปลผลทางด้านอนุกรมวิธานและสามารถแก้ปัญหาทางด้านชีววิทยาและวิวัฒนาการได้

การศึกษาด้าน numerical taxonomy เพื่อจัดจำแนกหน่วยทางอนุกรมวิธาน ในปัจจุบันนั้นนิยมใช้เทคนิคการวิเคราะห์ความแปรปรวนพหุคุณ (multivariate analysis) ซึ่งมีอยู่หลายวิธี สำหรับการตรวจสอบสถานะทางอนุกรมวิธานของชงโคล daneen เลือกใช้ 3 วิธี คือ

1. การวิเคราะห์ปัจจัย (factor analysis)
2. การวิเคราะห์จัดกลุ่ม (cluster analysis)
3. การวิเคราะห์จัดจำแนก (discriminant analysis)

ซึ่งมีหลักการสำคัญโดยสรุปดังนี้

**การวิเคราะห์ปัจจัย** เป็นเทคนิคทางสถิติที่ใช้ในการลดจำนวนตัวแปรโดยการสร้างกลุ่มตัวแปรใหม่จากกลุ่มตัวแปรเดิมหลายๆ ตัวซึ่งมีความสัมพันธ์กันมากที่สุด (Norusis, 1985) หรืออาจกล่าวได้ว่าเป็นวิธีการทางสถิติที่ใช้ในการลดจำนวนข้อมูลให้น้อยลง เพื่อให้อ่ายในสภาพที่สามารถเข้าใจได้ง่ายและจัดการกับข้อมูลได้ง่ายขึ้นด้วย (สุชาติ ประสิทธิ์ รัฐสิเนช์ และกรรณิกา รุ่งเณร, 2533)

วัตถุประสงค์หลักของการวิเคราะห์ปัจจัย คือ

1. เพื่อลดจำนวนตัวแปรให้อยู่รวมกันเป็นปัจจัย (factor) และสามารถนำตัวแปรใหม่ที่เป็นปัจจัยนั้นไปใช้ในการวิเคราะห์จัดจำแนกได้
2. เพื่อศึกษารูปแบบการรวมกลุ่มของตัวแปรแต่ละปัจจัยและหน้าที่ของตัวแปรแต่ละตัวแปรในแต่ละปัจจัยได้
3. เพื่อแก้ไขปัญหาความสัมพันธ์ระหว่างตัวแปรอิสระ ในการวิเคราะห์ปัจจัยนั้นมีขั้นตอนของการวิเคราะห์ข้อมูลดังนี้

1. การสร้างเมตริกความสัมพันธ์ระหว่างคู่ของตัวแปรทุกด้วย (correlation matrix) เป็นการศึกษาดูความสัมพันธ์ระหว่างคู่ของตัวแปรซึ่งก็คือความสัมพันธ์แบบง่ายนั้นเอง (simple correlation) ซึ่งจะช่วยให้ทราบว่าตัวแปรใดมีความสัมพันธ์กับตัวแปร

ไดมากน้อยเพียงใดและช่วยให้ตัดสินได้ว่าควรตัดตัวแปรใดที่มีความสัมพันธ์กับตัวแปรอื่นน้อยมากออกไป เพื่อให้มีปัจจัยน้อยลงและสามารถอธิบายความผันแปรของข้อมูลได้ดีขึ้น

2. การสกัดปัจจัย (factor extraction) เป็นการวิเคราะห์หาความร่วมกัน (communality) ระหว่างตัวแปรแต่ละตัว เพื่อนำมาสร้างเป็นปัจจัยจนสามารถอธิบายความผันแปรของข้อมูลจากตัวแปรได้ครบ ซึ่งมีอยู่หลายวิธี เช่น วิธีองค์ประกอบหลัก (principal component method) วิธีแกนหลัก (principal axis factoring) วิธีความเป็นไปได้สูงสุด (maximum likelihood) เป็นต้น

3. การหมุนแกนปัจจัย (factor rotation) เป็นการทำให้ปัจจัยมีความหมายเด่นชัดขึ้นและง่ายต่อการเข้าใจ ซึ่งมีอยู่ 2 แนวทางคือ

3.1 การหมุนแบบมุมฉาก (orthogonal rotation) เพื่อให้ปัจจัยที่สกัดได้จากการวิเคราะห์ไม่มีความสัมพันธ์กัน มีอยู่หลายวิธีเช่น varimax, quartimax, equamax เป็นต้น

3.2 การหมุนแบบมุมเหล็ม (oblique rotation) เพื่อให้ปัจจัยที่สกัดได้จากการวิเคราะห์มีความสัมพันธ์กัน

4. การสร้างคะแนนปัจจัย(factor score)มีหลายวิธีเช่นวิธีการวิเคราะห์ถดถอย (regression) วิธีบาร์ทเล็ท (bartlett) เป็นต้น คะแนนปัจจัยที่ได้จากการวิเคราะห์สามารถนำไปตรวจสอบดูการกระจายของตัวแปรต่างๆ ได้

ผลที่ได้จากการวิเคราะห์ปัจจัยซึ่งนิยมนำมาใช้ในการอธิบายความหมายของข้อมูล ได้แก่

1. ค่าไอกenen (eigenvalue) เป็นค่าที่แสดงความแปรปรวนของข้อมูลที่สามารถอธิบายได้โดยปัจจัยแต่ละปัจจัยค่าไอกenenค่าแรกจะมีค่ามากที่สุดและเป็นค่าแสดงความแปรปรวนที่ปัจจัยที่ 1 สามารถอธิบายได้ ส่วนค่าไอกenenลำดับถัดมาจะมีค่ารองลงมาตามลำดับและเป็นค่าแสดงความแปรปรวนที่ปัจจัยลำดับถัดมาสามารถอธิบายได้หลังจากตัดความแปรปรวนที่ปัจจัยแรกอธิบายได้ออกไปแล้ว ดังนั้นจึงสามารถใช้ค่าไอกenenมาพิจารณาคัดเลือกปัจจัยที่ไม่สำคัญออกไป โดยกำหนดว่าปัจจัยใดที่มีค่าไอกenenน้อยกว่า 1 แสดงว่าอธิบายความแปรปรวนได้ไม่ดีไม่ควรนำมาพิจารณา

2. ค่า communality เป็นค่าแสดงความสัมพันธ์กันหรือแสดงลักษณะที่มีความร่วมกันจึงจัดให้เป็นปัจจัยเดียวกัน ซึ่งทำให้ปัจจัยนั้นมีความหมายมากขึ้น

การวิเคราะห์จัดกลุ่ม เป็นเทคนิคทางสถิติที่ใช้ในการจัดสิ่งที่มีความคล้ายกันหรือมีความสัมพันธ์กันเข้าร่วมเป็นกลุ่มเดียวกันซึ่งโดยมากจะใช้วิธีการวัดความห่างกัน (distance) หรือดูจากความคล้ายกัน (similarity) ก็ได้ โดยไม่ทราบความเป็นสมาชิกของกลุ่มมาก่อน

วิธีการวัดความห่างมีอยู่หลายวิธี เช่น การวัดความห่างยูคลิดกำลังสอง (squared euclidean distances) ความห่างยูคลิด (euclidean distance) บล็อก (city-block หรือ manhattan distances) เป็นต้น สำหรับการสร้างกลุ่มนั้นนิยมใช้วิธีการวิเคราะห์จัดซึ่งชั้น (hierarchical cluster analysis) ซึ่งมีอยู่หลายวิธี เช่น วิธีการเชื่อมโยงระหว่างกลุ่มโดยเฉลี่ย (average linkage between group method) หรืออาจเรียกว่าวิธีการจับคู่กลุ่มไม่ปรับน้ำหนักโดยใช้ค่าเฉลี่ยเลขคณิต (unweighted pairgroup method using arithmetic averages: UPGMA), วิธีการของวอร์ด (Ward's method), วิธีการศูนย์กลุ่ม (centroid clustering: UPGMC) เป็นต้น

ผลที่ได้จากการวิเคราะห์จัดกลุ่มอาจแสดงในรูปเดโนดรограм (dendrogram) ซึ่งเป็นแผนภาพแสดงการรวมกลุ่มของค่าสังเกตแต่ละค่าเข้าเป็นกลุ่มๆ โดยมีค่าระยะห่างเปรียบเทียบว่าค่าสังเกตแต่ละค่ามีความเหมือนกันมากน้อยเท่าใดถ้ามีค่าระยะห่างน้อยแสดงว่ามีความเหมือนหรือคล้ายกันมาก บางครั้งอาจเสนอในรูปจุดย้อยแนวตั้ง (vertical icicle) หรือจุดย้อยแนวนอน (horizontal icicle) ซึ่งจะช่วยให้เห็นถึงการรวมกลุ่มในแต่ละขั้นตอนได้

การวิเคราะห์จัดจำแนก เป็นเทคนิคทางสถิติที่ใช้ในการจำแนกประเภทเมื่อทราบความเป็นสมาชิกของแต่ละกลุ่มแล้วโดยใช้ดัชนี้แปรที่มีความสำคัญในการจำแนกกลุ่มประชากรตามลักษณะของดัชนี้แปรนั้นและมีการระบุความเป็นสมาชิกของแต่ละกลุ่มได้ถูกต้อง โดยทั่วไปนิยมใช้วิธีการวิเคราะห์แบบขั้นตอน (stepwise method) ซึ่งเป็นการทดสอบที่คัดเอ้าเฉพาะดัชนี้แปรที่มีนัยสำคัญทางสถิติในการจำแนกเท่านั้น เข้ามาในสมการจัดจำแนก

#### วัตถุประสงค์หลักของการวิเคราะห์จัดจำแนก คือ

1. เพื่อระบุว่าลักษณะใดเป็นดัชนี้แปรที่มีความสำคัญในการจัดจำแนก หรือมีบทบาทในการบอกความเป็นสมาชิกของกลุ่มได้

2. เพื่อประเมินความถูกต้องของการจัดประชากรเข้ากลุ่มตามลักษณะที่วัด โดยการระบุความเป็นสมาชิกของแต่ละกลุ่มได้อย่างถูกต้อง

ผลที่ได้จากการวิเคราะห์จัดจำแนกซึ่งนิยมนำมาใช้ในการอธิบายความหมายของข้อมูล ได้แก่

1. ค่าสัมประสิทธิ์ที่เป็นคะแนนมาตรฐาน เป็นค่าที่บ่งบอกน้ำหนักของดัชนี้แปรนั้นๆ ที่ใช้ในการจำแนกกลุ่ม

2. ค่าไอเกนเป็นค่าที่บ่งบอกความสามารถในการอธิบายความผันแปรของดัชนี้แปรทั้งหมด ถ้ามีค่าสูงแสดงว่าอธิบายความผันแปรของดัชนี้แปรได้มากสมการนั้นเหมาะสมที่จะใช้ในการจำแนกประชากรซึ่งแสดงให้เห็นว่ามีความแปรผันระหว่างประชากรมากกว่าความแปรผันภายในประชากร

3.ค่าสหสัมพันธ์ค่าโนนิคอล (canonical correlation) เป็นค่าที่บ่งความสัมพันธ์ของด้วยแปรต่ละกลุ่มกับสมการแฉลลสมการ ถ้ามีค่ามากแสดงว่าสมการนั้นใช้ในการจำแนกประชากรได้ดีหรือถ้าค่าสหสัมพันธ์ค่าโนนิคอลยกกำลังสองแล้วมีค่าสูงแสดงว่าสมการนั้นใช้ในการทำนายกลุ่มได้ดีนั้นเอง

4.ค่าวิลค์แอลมาดา (Wilk's lambda) เป็นค่าที่ใช้ทดสอบค่าเฉลี่ยของกลุ่มที่ได้จากการจัดจำแนก ถ้าค่าวิลค์แอลมาดามีค่าน้อยกว่า 1 แสดงว่าสมการนั้นมีความแปรผันระหว่างกลุ่มประชากรมากกว่าภายในกลุ่มประชากร แต่ถ้าค่าวิลค์แอลมาดามีค่าเท่ากับ 1 แสดงว่ามีเฉพาะความแปรผันภายในกลุ่มประชากรเท่านั้น

5.ค่าไคสแควร์ (chi-square) เป็นค่าที่บ่งความแตกต่างระหว่างกลุ่มตั้งแต่ 2 กลุ่มขึ้นไป ถ้าค่าไคสแควร์มีความแตกต่างอย่างมีนัยสำคัญ เช่น  $P < 0.05$  แสดงว่ามีความแปรผันภายในกลุ่มน้อยมาก แต่มีความแปรผันระหว่างกลุ่มสูงมาก

อย่างไรก็ตามในการพิจารณาค่าสถิติของสมการจัดจำแนกนั้นต้องพิจารณาหลายๆค่าประกอบกัน กล่าวคือสมการใดที่มีค่าไอเกนและค่าสหสัมพันธ์ค่าโนนิคอลสูง และมีค่าวิลค์แอลมาดาต่ำและค่าไคสแควร์มีนัยสำคัญ แสดงว่าสมการนั้นใช้ทำนายกลุ่มประชากรได้ดีและเมื่อทดสอบโดยการหาเปอร์เซ็นต์การทำนายกลุ่มประชากร ถ้าพบว่ามีค่าสูงก็แสดงว่าสมการนี้มีอำนาจการจัดจำแนกสูง ถ้าสมการนั้นมีค่าไอเกนและค่าสหสัมพันธ์ค่าโนนิคอลต่ำแต่มีค่าวิลค์แอลมาดามากค่าไคสแควร์จะมีนัยสำคัญก็ไม่สามารถมาใช้ในการทำนายกลุ่ม เพราะสมการนี้มีอำนาจการจัดจำแนกต่ำอาจทำให้มีการทำนายกลุ่มผิดได้

## วัดถุประสงค์

ในการศึกษาชีวานุกรมวิธานของชงโคงดำในประเทศไทยครั้งนี้มีวัดถุประสงค์เพื่อตรวจสอบสถานะทางอนุกรมวิธานของชงโคงดำในประเทศไทยด้วยเทคนิคการวิเคราะห์ปัจจัย การวิเคราะห์จัดกลุ่มและการวิเคราะห์จัดจำแนกโดยใช้ข้อมูลจากการศึกษาด้านสัณฐานวิทยาของใบ ดอก เรณูและแบบแผนไอโซไซม์ของชงโคงดำและคัดเลือกลักษณะที่มีความสำคัญในการจัดจำแนกประชากรชงโคงดำอย่างมีนัยสำคัญทางสถิติมาใช้ในการสร้างรูปวิธานจัดจำแนกชงโคงดำในประเทศไทยรวมทั้งการศึกษาเปรียบเทียบสถานะทางอนุกรมวิธานของชงโคงดำกับชงโคง (*B. purpurea* L.) และกาหลง (*B. acuminata* L.) เพื่อใช้ในการกำหนดสถานะทางอนุกรมวิธานของชงโคงพันธุ์ต่างๆในประเทศไทย

## บทที่ 2

### เอกสารและงานวิจัยที่เกี่ยวข้อง

ความแปรผันของพืชในธรรมชาติอาจเกิดจากสภาพแวดล้อม(environment variation)พันธุกรรม (genetic variation) หรือพัฒนาการของพืชเอง (development variation) ก็ได้อันเป็นสาเหตุสำคัญที่ก่อให้เกิดความหลากหลายและความซับซ้อนของพันธุ์พืชชนิดต่างๆ ซึ่งนอกจากจะเป็นพื้นฐานของวิถีการแล้วยังอาจก่อให้เกิดปัญหาในการจัดกลุ่มหรือการจำแนกชนิดของพืชได้ (Jones และ Luchsinger, 1987) นักชีววิทยาจึงได้นำวิธีการศึกษาด้านชีวานุกรมวิธานมาใช้ในการแก้ปัญหาทางด้านอนุกรมวิธานโดยการใช้ข้อมูลทั้งทางด้านสัณฐานวิทยา (morphology) ด้านกายวิภาคศาสตร์ (anatomy) เชลล์วิทยา (cytology) พันธุศาสตร์ (genetics) เรณูวิทยา (palynology) สุริวิทยา (physiology) นิเวศวิทยา (ecology) บรรพพฤกษวิทยา (palaeobotany) และองค์ประกอบทางเคมี (chemosystematics) มาประมวลผลด้วยวิธีการทางสถิติทำให้สามารถจัดจำแนกหรือกำหนดสถานะทางอนุกรมวิธานของสิ่งมีชีวิตได้

ในปัจจุบันได้มีการนำเทคโนโลยีการศึกษาด้านชีวานุกรมวิธานมาใช้ในการแก้ปัญหาทางด้านอนุกรมวิธานของสิ่งมีชีวิตอย่างแพร่หลาย สรุปได้ดังนี้

ปรีชา ประเทพา (2533) ศึกษานิเวศน์พันธุศาสตร์ของถั่วแปบช้าง (*Afgekia sericea* Craib) และกันภัย (*Afgekia mahidolae* Bunt & Chermisirivatthana) เพื่อหาความสัมพันธ์ด้านวิถีการของพืชทั้งสองชนิดนี้โดยการวิเคราะห์ลักษณะสัณฐานวิทยา ลักษณะทางสุริวิทยา ประสานรากและลักษณะทางเชลล์พันธุศาสตร์ พบว่าสามารถใช้ลักษณะสัณฐานวิทยา 16 ลักษณะในการจัดจำแนกพืชทั้งสองชนิดนี้ได้ โดยข้อมูลด้านสัณฐานวิทยาและด้านเชลล์พันธุศาสตร์แสดงให้เห็นว่าพืชสองชนิดนี้มีสายสัมพันธ์ทางวิถีการใกล้เคียงกันส่วนข้อมูลด้านสุริวิทยาแสดงให้เห็นว่าในอดีตพืชทั้งสองชนิดนี้ได้ผ่านการปรับตัวให้เหมาะสมกับสภาพแวดล้อมของแต่ละถิ่นอาศัยมาแล้ว

ต่อศักดิ์ สีลานันท์ (2535) ทำการศึกษาใบโอดิสเทมาดิกส์ของโคลงเคลงชน (*Melastoma villosum* Lodd.) ในประเทศไทยโดยใช้วิธี numerical taxonomy ศึกษาลักษณะสัณฐานวิทยาของลำต้น ใบ ดอก เรณู และเมล็ด ด้วยเทคนิคการวิเคราะห์ปัจจัย การวิเคราะห์จัดกลุ่มและการวิเคราะห์จัดจำแนกพบว่าความแปรผันภายในประชากรและระหว่างประชากร

โคลงเคลงขนซึ่งพบกระจาอยู่ในภาคตะวันออกและภาคตะวันออกเฉียงเหนือของประเทศไทย ไม่มากพอที่จะแยกประชากรโคลงเคลงขนเป็นระดับต่ำกว่าชนิดหรือเป็นชนิดใหม่ได้ ส่วนการศึกษาแบบแผนไอกไซด์ peroxidase กับ esterase ของประชากรโคลงเคลงขน พบว่ามีความแปรผันทางพันธุกรรมภายในประชากรเดียวกันมาก ซึ่งน่าจะเกิดจากการผสมข้ามประชากรโดยแบ่งทำให้ความแปรผันระหว่างประชากรน้อยลง

รสริน พลวัฒน์ (2539) ศึกษาใบโอลิสเทมาติกส์ของประชากรเฟิร์นลิน្ឌกุรัม *Pyrrosia eberhardtii* (Christ) Ching ในประเทศไทย โดยใช้วิธี numerical taxonomy ศึกษาลักษณะสัณฐานวิทยาของใบ ลำต้น สกุล ลักษณะกายวิภาคของใบ ลำต้นและโครงสร้างที่ใช้ในการสืบพันธุ์ด้วยเทคนิคการวิเคราะห์ปัจจัย การวิเคราะห์จัดกลุ่มและการวิเคราะห์จัดจำแนกพบว่าความแปรผันภายในและระหว่างประชากรเฟิร์นลิน្ឌกุรัมยังไม่มากพอที่จะแยกเฟิร์นชนิดนี้ออกเป็นระดับต่ำกว่าชนิดหรือชนิดใหม่ได้

Hanks และ Fryxell (1979) พบว่า *Herissantia tiubae* มีลักษณะสัณฐานวิทยาเหมือนพืชที่อยู่ในสกุลเดียวกัน แต่มีจำนวนโครโนโซมเท่ากับพืชในสกุล Gaya คือ  $2n = 12$  ทั้งๆที่พืชในสกุล *Herissantia* มีจำนวนโครโนโซม  $2n = 14$  จึงเกิดปัญหาว่าควรจัดพืชชนิดนี้ไว้ในสกุลใด เมื่อนำลักษณะเรณู 9 ลักษณะจากพืชทั้ง 2 สกุล จำนวน 10 ชนิด มาวิเคราะห์ด้วยเทคนิคการวิเคราะห์จัดกลุ่มก็พบว่า *H. tiubae* มีความใกล้ชิดกับพืชในสกุลเดียวกันมากกว่า จึงสรุปให้พืชชนิดนี้อยู่ในสกุลเดิม

Robbins, Dickinson และ Rhodes (1979) ศึกษาลักษณะเรณูของพืชในสกุล *Ambrosia* โดยใช้ลักษณะ 6 ลักษณะ ซึ่งได้จากการถ่ายจากกล้องจุลทรรศน์อิเลคตรอน แล้วนำมาวิเคราะห์ด้วยเทคนิคการวิเคราะห์จัดจำแนกพบว่าสามารถทำนายกลุ่มประชากรของเรณูจากสมการได้และนำสมการมาทำนายกลุ่มประชากรของเรณูที่ได้จากการดูอย่างแห้งได้ถูกต้อง จึงสรุปได้ว่าสามารถใช้ลักษณะสัณฐานวิทยาของเรณูตรวจสอบชนิดของพืชสกุลนี้ได้

Doebley และ Iltis (1980) พบว่าการใช้ลักษณะดอกเพคเมียเป็นเกณฑ์ในการแบ่งพืชสกุล *Zea* จำนวน 4 ชนิดนั้น มีการเปลี่ยนแปลงได้่ายถ้ามีการปรับปรุงพันธุ์ เขาจึงใช้ลักษณะของดอกเพคผู้ 10 ลักษณะมาศึกษาโดยใช้เทคนิคการวิเคราะห์จัดจำแนกพบว่าสามารถแบ่งพืชสกุลนี้ออกเป็น 2 กลุ่ม โดยมีหน่วยอนุกรมวิธานเป็น section

Reynold และ Crawford (1980) ใช้เทคนิคการวิเคราะห์จัดกลุ่มตรวจสอบความแปรผันของพืชชนิดซับซ้อนคือ *Chenopodium atrovirens.-.desiccatum.-.pratericola*

โดยใช้ลักษณะ 14 ลักษณะ พนว่าพืชชนิดนี้มีอยู่ 3 กลุ่มและไม่สามารถใช้ลักษณะเพียงลักษณะเดียวแยกพืช 3 ชนิดนี้ออกจากกันได้ แต่ถ้าใช้ลักษณะมากกว่า 2 ลักษณะประกอบกับการกระจายพันธุ์ของแต่ละชนิดก็จะสามารถระบุชื่อชนิดได้

Small, Crompton และ Brookes (1981) ศึกษาอนุกรมวิธานของพืชวงศ์ Leguminosae Tribe Trigonelleae โดยใช้ลักษณะสัณฐานวิทยามาวิเคราะห์ด้วยเทคนิคการวิเคราะห์จัดกลุ่มพบว่าพืชกลุ่มนี้อยู่ในสกุลเดียวกัน *Medicago*, *Melilotus* และ *Trigonella* มีความสัมพันธ์กันแต่ไม่สามารถแบ่งกลุ่มได้ออย่างเด่นชัด เมื่อวิเคราะห์ด้วยเทคนิคการวิเคราะห์จัดจำแนกพบว่าควรจัดพืชทั้งสามกลุ่มนี้อยู่ในสกุลเดียวกัน ผลการศึกษาลักษณะสัณฐานวิทยาพบว่าลักษณะสำคัญที่ใช้ในการแบ่งกลุ่มคือลักษณะก้านชูเกรสรเพศผู้ลักษณะกลีบดอกและลักษณะการเชื่อมกันของ staminal lobe ทำให้มีการจัดจำแนกพืช tribe นี้ ออกเป็น 2 กลุ่มคือ

กลุ่มที่ 1 ได้แก่ *Medicago*, *Factorovskya* และ *Trigonella* sect.

*Bucerates*

กลุ่มที่ 2 ได้แก่ *Melilotus* และ *Trigonella* sect. *Trigonella*

Baum (1983) ศึกษาอนุกรมวิธานของพืชสกุล *Hordeum* 5 ชนิด โดยใช้ลักษณะสัณฐานวิทยามาวิเคราะห์ด้วยเทคนิคการวิเคราะห์จัดจำแนกพบว่าสามารถจัดจำแนกออกเป็น 3 กลุ่มคือ

กลุ่มที่ 1 ได้แก่ *H. spontaneum*, *H. distichum* และ *H. vulgare*

กลุ่มที่ 2 ได้แก่ *H. agriocritthon*

กลุ่มที่ 3 ได้แก่ *H. lagunculiforme*

Baum และ Bailey (1983) ศึกษาความแปรผันของลักษณะสัณฐานวิทยาของพืชสกุล *Hordeum* 2 ชนิด คือ *H. vulgare sensu lato* และ *H. spontaneum* C. Koch โดยใช้เทคนิคการวิเคราะห์จัดจำแนก พนว่าแม้ลักษณะสัณฐานวิทยาของ *H. spontaneum* จะมีความแปรผันสูงแต่ก็ยังไม่มากพอที่จะจัดรวมเป็นชนิดเดียวกับ *H. vulgare* หรือเป็นระดับต่ำกว่าชนิดได้

Baum และ Bailey (1984) ศึกษาพืชสกุล *Hordeum* ใน section *Horduastrum* โดยใช้เทคนิค linear discriminant analysis, canonical analysis of discriminant และ nearest neighbor discriminant analysis วิเคราะห์ลักษณะสัณฐานวิทยาพบว่าสามารถจัดจำแนกพืชกลุ่มนี้ออกเป็น 5 ชนิด คือ *H. marinum* sensu stricto, *H. geniculatum* All., *H. glaucum* Steudel, *H. murinum* sensu stricto และ *H. leporinum* Link.

Standley (1987) ใช้เทคนิคทาง numerical taxonomy มาวิเคราะห์จัดกลุ่มพืชที่มีความซับซ้อนในทวีปอเมริกาเหนือ 2 ชนิด คือ *Carex lenticularis* Michx กับ *C. nigra* (Linn.) Reich ซึ่งเดิมเข้าใจว่ามีอยู่ 5 varieties และ 2 varieties ตามลำดับ โดยใช้ลักษณะ 44 ลักษณะ จาก 101 ตัวอย่างของ *C. lenticularis* Michx และ 89 ตัวอย่างของ *C. nigra* (Linn.) Reich พนว่าไม่มีกลุ่มย่อยในพืชทั้งสองชนิดนี้

Heard และ Semple (1988) ได้ตรวจสอบสถานะหน่วยทางอนุกรมวิธานของ *Solidago rigida* Linn. ซึ่งเป็นพืชที่มีความซับซ้อนเนื่องจากมีการกระจายพันธุ์กว้างขวางในอเมริกา ทำให้มีลักษณะแตกต่างกันไปตามแต่ละพื้นที่ พนว่าเมื่อนำลักษณะทางสัณฐานวิทยา 18 ลักษณะจากตัวอย่างพืชทั้งหมดมาวิเคราะห์จัดกลุ่ม สามารถแบ่งพืชออกเป็น 2 กลุ่ม คือ กลุ่ม A ไม่มีขันปักกลุ่ม involucral scale กับกลุ่ม B มีขันปักกลุ่ม involucral scale โดยกลุ่ม B ยังแบ่งออกเป็นกลุ่มย่อย B1 ซึ่งมีขันปักกลุ่มหนาแน่นกับกลุ่มย่อย B2 ซึ่งมีขันปักกลุ่ม ประปรายเมื่อนำข้อมูลเดิมมาวิเคราะห์จัดจำแนกพบว่ามีความถูกต้องของการทำนายกลุ่มจากสมการมากกว่า 95% แสดงให้เห็นว่าพืชทั้ง 3 กลุ่มแม้จะแยกกันเป็นคนละหน่วยอนุกรมวิธาน แต่ก็มีความใกล้ชิดกันอยู่ และเมื่อนำมาพิจารณาร่วมกับการกระจายพันธุ์ก็ตัดสินได้ว่าพืช 3 กลุ่มนี้อยู่ใน species เดียวกันแต่ต่าง subspecies กัน

Menadue และ Growden (1988) พนว่าไม่สามารถใช้รูปวิธานจำแนก *Ranunculus decurvus* (Hook f.) Melville และ *R. concinnus* (Hook f.) Melville ในธรรมชาติได้ว่าเป็นชนิดใด จึงได้ตรวจสอบสถานะของพืช 2 ชนิดนี้ โดยใช้ลักษณะสัณฐานวิทยา 43 ลักษณะมาวิเคราะห์ด้วยเทคนิคการวิเคราะห์จัดจำแนกและการวิเคราะห์จัดกลุ่ม พนว่าทุกค่าสั้งเกตรวมกันเป็น 1 กลุ่ม แสดงว่าเป็นพืชชนิดเดียวกันจึงใช้ชื่อ *R. decurvus* (Hook f.) Melville เพียงชื่อเดียวตามหลัก priority

Downie และ McNeill (1990) ได้ใช้เทคนิค principal component analysis (PCA) และการวิเคราะห์จัดกลุ่มตรวจสอบสถานะทางอนุกรมวิธานของพืชชนิดซับซ้อน *Euphrasia randii* Reeks โดยใช้ 13 ลักษณะ จากพืช 291 ต้น 59 ประชากร พนว่าไม่สามารถกำหนดกลุ่มย่อยในพืชชนิดนี้ได้ แสดงว่าพืชชนิดนี้มีเพียงชนิดเดียว

Semple, Chmielewski และ Brammal (1990) พนว่า *Solidago nemoralis* Aiton ซึ่งพนวิเคราะห์ทางภาคตะวันออกของทวีปอเมริกาเหนือมีจำนวนโครโน่ซัม  $2n = 18$  และ 36 ในขณะที่พวากซึ่งกระจายอยู่ทางภาคกลางมีจำนวนโครโน่ซัม  $2n = 36$  จึงได้ใช้ numerical taxonomy มาศึกษาความซับซ้อนของพืชชนิดนี้ โดยใช้ 11 ลักษณะของตัวอย่าง

พีชมาวิเคราะห์ด้วยเทคนิคการวิเคราะห์จัดกลุ่มและเทคนิคการวิเคราะห์จัดจำแนกสรุปได้ว่า พีชชนิดนี้มี 2 subspecies เนื่องจากมีการกระจายพันธุ์ค้างพื้นที่กัน

Labrecque และ Brouillet (1995) ศึกษาแหล่งที่อยู่ การแพร่กระจาย และสถานะทางอนุกรรมวิชาณของพีชชนิดชั้นช้อน *Aster novibelgii* L. ในรัฐ Québec โดยใช้เทคนิค principal component analysis และ discriminant analysis พบว่าสามารถจัดจำแนกพีชชนิดนี้ออกจาก *A. puniceus* และ *A. anticostensis* ได้อย่างเด่นชัด และยังสามารถจัดจำแนกพีชชนิดนี้ในระดับต่ำกว่าชนิดเป็น 2 varieties คือ *A. novi-belgii* var. *crenifolus* ซึ่งพบบริเวณชายฝั่งของคาบสมุทร Gaspe กับ *A. novi-belgii* var. *villicaulis* ซึ่งพบบริเวณแม่น้ำ Saint-Jean และ Restigouche

Giussani, Martinez และ Collantes (1996) ศึกษาลักษณะสัณฐานวิทยาที่แปรผันตามสิ่งแวดล้อมของพีชสกุล *Poa* 4 ชนิด คือ *Poa rigidifolia* Steud., *P. ibari* Phil., *P. dusenii* Hack. และ *P. spicaeformis* (Steud.) Hauman et Parodi ในประเทศอาร์เจนตินาโดยใช้การวิเคราะห์ด้าน numerical taxonomy ของลักษณะต่างๆ ของพีชสกุลนี้ 48 ลักษณะ พบว่าการจัดพีชทั้ง 4 ชนิดนี้ไว้ในกลุ่มเดียวกันคือ *P. rigidifolia* complex

Vogler, Peretz และ Stephenson (1999) ศึกษาความแปรผันของลักษณะพีโน่ไทป์ของดอก *Campanula rapunculoides* (Campanulaceae) เนื่องจากอิทธิพลของจีโนไทป์และสิ่งแวดล้อมพบว่าช่วงเวลาของการออกดอกและขนาดเรณูไม่มีความแปรผันที่เด่นชัด

นอกจากนี้ยังพบว่ามีการศึกษาแบบแผนไฮโซไซม์ของสิ่งมีชีวิตแล้วใช้ข้อมูลแบบแผนไฮโซไซม์มาตรวจสอบสถานะทางอนุกรรมวิชาณของพีชได้อีกด้วยทั้งนี้ เพราะไฮโซไซม์สามารถแสดงความสัมพันธ์กับลักษณะทางพันธุกรรมได้ดังนั้นการจำแนกพันธุ์พีชโดยการเปรียบเทียบแบบแผนไฮโซไซม์จึงถือว่าเป็นเทคนิคที่มีศักยภาพสูง (Tanksley และ Orton, 1983) และมีการนำมาใช้ในการกำหนดสถานะทางอนุกรรมวิชาณของพีชชนิดที่มีความชั้นช้อนหรือพีชที่มีปัญหาในการจัดจำแนกได้ดังนี้

Bassiri และ Rouhani (1976) สามารถใช้แบบแผนไฮโซไซม์ peroxidase และ esterase จำแนกความแตกต่างของถั่วปากอ้า (*Vicia* sp.) ได้ถึง 36 พันธุ์ โดยมีเพียง 4 พันธุ์เท่านั้นที่ไม่สามารถแยกความแตกต่างได้

Torres, Soost และ Diedenhofen (1978) พบว่าสามารถใช้ข้อมูลจากไฮโมแกร์มของไอโซไซเมร์ 3 ระบบ ในการจำแนกพืชสกุล *Citrus* ที่เกิดจากการผสมระหว่างต้นพ่อต้นแม่ออกจากพืชต้นที่เกิดจากเนื้อเยื่อนิวเคลียลส์ได้

Oliver และ Rejon (1980) ทดลองเปรียบเทียบไอโซไซเมร์ esterase จากใบดอก และเมล็ดของ *Muscaria atlanticum* (Linn.) Miller ซึ่งเป็นเดตราพลอยด์ (4X) เพนดาพลอยด์ (5X) และเอกชาพลอยด์ (6X) พบว่าสามารถจำแนกดัน 4X ออกจากดัน 5X และ 6X ได้ โดยใช้ไฮโมแกร์มของดอกและเมล็ด แต่ไม่สามารถแยกดัน 5X ออกจากดัน 6X ได้ ไม่ว่าจะใช้ไฮโมแกร์มของใบ ดอก หรือเมล็ดก็ตาม

Quiros (1980) พบว่าสามารถใช้ไฮโมแกร์มของ esterase, poroxidase และ acid phosphatase ตรวจสอบดันพันธุ์ใหม่ของ *Medicago sativa* Linn. ว่ามีพันธุกรรมเหมือนดันพันธุ์เดิมที่ตายไปแล้วหรือไม่

Sharitz และคณะ (1980) ศึกษาไฮโมแกร์ม 10 ระบบ เพื่อจัดข้อมูลของพืชสกุล *Typha* 4 ชนิด ซึ่งมีความแปรผันค่อนข้างสูง พบว่าสามารถใช้ข้อมูลความใกล้ชิดและตรวจหาชื่อชนิดได้ ในการถีที่ใช้ลักษณะสัณฐานวิทยาหาชื่อไม่ได้

Green และคณะ (1981) พบว่าสามารถใช้ไอโซไซเมร์ ADP glucose pyrophosphorylase และ/หรือ UDP glucose pyrophosphorylase จำแนก *Stenotaphrum secundatum* (Walt.) Kuntze จำนวน 28 clone ออกเป็น 2 กลุ่มคือ blue green *S. secundatum* และ yellow green *S. secundatum* และใช้ไฮโซไซเมร์ระบบ alcohol dehydrogenase และ acid phosphatase จำแนก clone ของกลุ่มย่อยทั้งสองนี้ได้

Ruiz และ Maribona (1983) พบว่าสามารถใช้แบบแผนไฮโซไซเมร์ peroxidase เพียงชนิดเดียว ถ้าสามารถจำแนกพันธุ์อ้อยที่ปลูกเป็นการค้าได้ถึง 59 พันธุ์

Wolff และ Jefferies (1987) ได้ตรวจสอบสถานะของ *Salicornia europaea* Linn. ในภาคตะวันออกของทวีปอเมริกาเหนือซึ่งมีทั้งที่เป็นเดตราพลอยด์และเดตราพลอยด์ จึงตรวจสอบชื่อได้ยากเพระดอกร มีการลดรูปลงไปมากพบว่า เมื่อวิเคราะห์ด้วยเทคนิคการวิเคราะห์จัดจำแนกโดยกำหนดกลุ่มจากการกระจายพันธุ์และระดับ ploidy หรือกำหนดกลุ่มโดยใช้ข้อมูลจากไฮโมแกร์มของไฮโซไซเมร์ สามารถจำแนกพืชชนิดนี้ออกเป็น 3 กลุ่มคือกลุ่ม

เดคราพลอยร์ที่อยู่บริเวณชายฝั่งมหาสมุทรแอตแลนติก กลุ่มดิพพลอยร์ที่อยู่บริเวณฝั่งมหาสมุทรแอตแลนติกและอ่าวเจมส์ และกลุ่มดิพพลอยร์ที่อยู่บริเวณอ่าวอัดสัน

Aly และคณะ (1992) สามารถใช้อิโซไซม์ phosphoglucomutase ในการพิสูจน์ somatic embryo จากการเพาะเลี้ยงเนื้อเยื่อต้น walnut ว่าเจริญมาจากการนำเนื้อเยื่อของอ่อนวุลหรือจากเนื้อเยื่อของต้นแม่

Cousineau และ Donnelly (1992) พบว่าสามารถใช้แบบแผนไอโซไซเมร์ 6 ชนิดคือ isocitrate dehydrogenase, malate dehydrogenase, phosphoglucoisomerase, phosphoglucomutase, shikimate dehydrogenase และ triose-phosphate isomerase ใน การจำแนกพันธุ์ของ raspberry ได้

Reyes และ Collins (1992) ศึกษาความแตกต่างของไฮโซไซร์มันเนคซินิตต่างๆพบว่าเอนไซม์ glutamate oxaloacetate transaminase, shikimate dehydrogenase malate dehydrogenase, menadione reductase, phosphogluco isomerase และ phosphoglucomutase มีแบบแผนแตกต่างกันใช้ในการจำแนกชนิดของมันเนคได้เอนไซม์ catalase ให้แบบแผนเหมือนกัน จึงนำมาใช้ในการจัดจำแนกไม่ได้

Werner (1992) พบว่าการศึกษาแบบแผนໄโอโซไซม์ catalase ของท้อพันธุ์ต่างๆ ในประเทศไทยรัฐอเมริกา ซึ่งมีการถ่ายทอดลักษณะสู่ลูกหลาน สามารถใช้ในการดัดแปลงพันธุ์ท้อได้

Warren (1994) พบร่วมกับสามารถใช้แบบแพนไอกอฟ์ฟิซเมร์ acid phosphatase, phosphoglucoisomerase และ isocitrate dehydrogenase ในการประเมินความหลักหลานทางพันธุกรรมของโภคภัยในประเทศเปรูได้

Case, Mlodzeniec, Wallace และ Weldy (1998) ศึกษาสถานะทางอนุกรรมวิธานของกล้วยไม้ *Cypripedium kentuckiense* (Orchidaceae) ซึ่งพบน้อยมากในรัฐ Arkansas โดยการตรวจสอบแบบแผนไอล์ฟ์ไซม์ของ *C. kentuckiense* 8 ประชากร เปรียบเทียบกับ *C. parviflorum* var. *pubescens* 14 ประชากร ซึ่งเป็นกล้วยไม้ที่พบแพร่กระจายทั่วไป พบว่าพิช 2 ชนิดนี้มีลักษณะทางพันธุกรรมที่คล้ายคลึงกันมาก แต่อย่างไรก็ตามพบว่า *C. kentuckiense* มีรูปแบบอัลลิลและจีโนไทป์ที่แน่นอน จึงสรุปว่าเป็น distinct species ซึ่งอาจมีวิวัฒนาการมาจากการเพาะพันธุ์ *C. parviflorum*

### บทที่ 3

#### วัสดุอุปกรณ์ สารเคมี และวิธีดำเนินการวิจัย

##### วัสดุอุปกรณ์และสารเคมี

###### 1. วัสดุอุปกรณ์สำหรับการเก็บตัวอย่างพันธุ์ไม้ในภาคสนาม

- 1.1 แผงอัดพลาสติกขนาด  $30 \times 45$  ตารางเซนติเมตร
- 1.2 กระดาษหนังสือพิมพ์
- 1.3 กระดาษลูกฟูก
- 1.4 กรรไกรตัดกิ่งไม้และกรรไกรซัก
- 1.5 ถุงพลาสติกขนาด  $18 \times 28$  ตารางเซนติเมตร
- 1.6 ขวดเก็บตัวอย่างดอง ขนาด 800 ลูกบาศก์เซนติเมตร
- 1.7 สมุดบันทึกข้อมูลพาราณ์ไม้ในภาคสนาม
- 1.8 กระดาษแข็งสำหรับติดตัวอย่าง ขนาด  $20 \times 35$  ตารางเซนติเมตร
- 1.9 แผ่นป้ายหมายเลขพันธุ์ไม้
- 1.10 อัลติมิเตอร์
- 1.11 กล้องถ่ายรูป
- 1.12 ฟิล์มสี
- 1.13 แวนขยาย
- 1.14 ไม้บรรทัด
- 1.15 เทปไส
- 1.16 ยางรัด

###### 2. วัสดุอุปกรณ์และสารเคมีสำหรับการเก็บรักษาตัวอย่างพันธุ์ไม้แห้งในพิพิธภัณฑ์ชั่วคราว

- 2.1 น้ำยาอาบน้ำพันธุ์ไม้เพื่อกันแมลงและเชื้อรา ประกอบด้วย
  - 95% ethyl alcohol 1 ลิตร
  - mercuric chloride 15 กรัม

- 2.2 การสำหรับติดตัวอย่างพันธุ์ไม้แห้ง ประกอบด้วย  
กาวลาเท็กซ์ หรือ กาวน้ำ อัตราส่วน 1 : 1
- 2.3 กระดาษแข็งสีขาวสำหรับติดตัวอย่างพันธุ์ไม้แห้ง  
ขนาด 30 x 42 ตารางเซนติเมตร
- 2.4 กระดาษปกสีขาว ขนาด 30 x 42 ตารางเซนติเมตร
- 2.5 กระดาษปกสีน้ำตาล ขนาด 30 x 42 ตารางเซนติเมตร
- 2.6 แผ่นป้ายบันทึกข้อมูล
- 2.7 เข็ม
- 2.8 ด้ายสีขาว
- 2.9 ถุงทราย

### 3. วัสดุอุปกรณ์และสารเคมีสำหรับการศึกษาลักษณะสัณฐานวิทยาและการตรวจหา เชื้อวิทยาศาสตร์ในห้องปฏิบัติการ

- 3.1 กล้องจุลทรรศน์แบบสเตอโรไอด์ Nikon SMZ-1B
- 3.2 กล้องจุลทรรศน์แบบใช้แสง Nikon AFX 35
- 3.3 กล้องจุลทรรศน์อิเลคทรอนแบบส่องการดู JEOL JSM-5410 LV
- 3.4 ตู้เย็น
- 3.5 เครื่องทำให้ตัวอย่างแห้ง ณ จุดวิกฤต (critical point dryer)
- 3.6 เครื่องฉาบทอง (bazer sputter coater)
- 3.7 สไลด์และกระดาษปิดสไลด์
- 3.8 เข็มเขี้ย
- 3.9 ใบมีดโกน
- 3.10 หลอดหยด
- 3.11 ปากคีบ
- 3.12 น้ำกลิ้น
- 3.13 ethanol
- 3.14 2.5% glutaraldehyde
- 3.15 0.1 M phosphate buffer pH 7.2
- 3.16 1% OsO<sub>4</sub>

3.17 stub

3.18 เทปไสส่องหน้า

3.19 ตัวอย่างพันธุ์ไม้สดและตัวอย่างพันธุ์ไม้แห้ง (herbarium specimen) ที่เก็บไว้ในพิพิธภัณฑ์พิช กรมวิชาการเกษตร (BK) หอพรรณไม้ ส่วนพฤกษาศาสตร์ป่าไม้ สำนักวิชา การป่าไม้ กรมป่าไม้ (BKF) และพิพิธภัณฑ์พิชาศาสตราจารย์กสิน สุวะพันธุ์ ภาควิชาพฤกษาศาสตร์ คณะวิทยาศาสตร์ จุฬาลงกรณ์มหาวิทยาลัย (BCU)

3.20 เอกสารทางพฤกษาอนุกรรมวิธานที่เกี่ยวข้อง

#### 4. วัสดุอุปกรณ์และสารเคมีสำหรับการศึกษาลักษณะสัณฐานวิทยาของเรณู

4.1 กล้องจุลทรรศน์แบบใช้แสง Nikon AFX 35

4.2 กล้องจุลทรรศน์อิเลคตรอนแบบส่องกราด JEOL JSM-5410 LV

4.3 เครื่องปั่นแรงเหวี่ยงสูง Microcen 13

4.4 ตู้อบ

4.5 เครื่องฉาบทอง (bazer sputter coater)

4.6 สไลเดอร์และกระดาษปิดสไลเดอร์

4.7 ขวดเก็บเรณู

4.8 หลอดทดลอง

4.9 บิกเกอร์ ขนาด 50 มิลลิลิตร

4.10 หลอดหยด

4.11 ปากคีบ

4.12 เข็มเขีย

4.13 น้ำกลั่น

4.14 เทปไสส่องหน้า

4.15 stub

4.16 acetic anhydride

4.17 benzene

4.18 ethyl alcohol

4.19 glacial acetic acid

4.20 paraffin

- 4.21 10% potassium hydroxide
- 4.22 silicone oil AK 2000
- 4.23 sulfuric acid
- 4.24 xylene

## 5. วัสดุอุปกรณ์และสารเคมีสำหรับการศึกษาไฮโซไซม์

- 5.1 เครื่องอิเลคโทรฟอร์เซส Mini – PROTEAN II
- 5.2 เครื่องป้อนพลังงาน Power Pac 3000
- 5.3 เครื่องชั่ง KERN
- 5.4 เครื่องปั้นแรงเหวี่ยงสูง Microcen 13
- 5.5 เครื่องวัด pH
- 5.6 ตู้เย็น
- 5.7 medical freezer
- 5.8 water bath
- 5.9 magnetic stirrer hotplate
- 5.10 กล้องถ่ายรูป
- 5.11 ฟิล์มสี
- 5.12 ไม้บรรทัด
- 5.13 หลอดหยด
- 5.14 หลอดฉีดยา
- 5.15 แท่งแก้วคนสาร
- 5.16 กรวยแก้ว
- 5.17 ข้อนดักสาร
- 5.18 เทอร์มомิเตอร์
- 5.19 ถุงมือยาง
- 5.20 กล่องพลาสติก ขนาด 11 x 11 ตารางเซนติเมตร
- 5.21 แผ่นแก้ว ขนาด 10 x 10 ตารางเซนติเมตร
- 5.22 กระดาษแก้วใส
- 5.23 โกร่งบดยา

- 5.24 ปีเป็ด
- 5.25 นิกเกอร์
- 5.26 หลอดทัดลอง
- 5.27 nalgene filter (0.45 ไมครอน)
- 5.28 หลอด appendorf
- 5.29 acetic acid glacial
- 5.30 acetone
- 5.31 acrylamide A.R.
- 5.32 aldolase A.R.
- 5.33 3-amino-9-ethylcarbazole A.R.
- 5.34 ammonium persulfate A.R.
- 5.35 arsenic acid, sodium salt A.R.
- 5.36 L-aspartic acid A.R.
- 5.37 bromophenol blue (BPB)
- 5.38 butanol
- 5.39 calcium chloride A.R.
- 5.40 coomassie brilliant blue R-250
- 5.41 2,6-dichlorophenolindophenol A.R.
- 5.42 3-(4,5-dimethylthiazol-2-yl)-2,5 diphenyl-tetrazolium bromide (MTT) A.R.
- 5.43 DL- dithiothreitol (DTT) A.R.
- 5.44 ethyl alcohol
- 5.45 ethylenediaminetetraacetic acid (EDTA) A.R.
- 5.46 fast black K salt
- 5.47 fast blue BB salt
- 5.48 formic acid, sodium salt A.R.
- 5.49 fructose-1,6-diphosphate A.R.
- 5.50 D-fructose-6-phosphate, disodium Salt A.R.
- 5.51 glucose-1-phosphate, sodium salt A.R.
- 5.52 D-glucose-6-phosphate A.R.

- 5.53 glucose-6-phosphate dehydrogenase A.R.
- 5.54 L-glutamate, sodium salt A.R.
- 5.55 glycerol
- 5.56 glycine A.R.
- 5.57 hydrochloric acid
- 5.58 hydrogen peroxide
- 5.59 hypoxanthine A.R.
- 5.60 DL-isocitric acid A.R.
- 5.61 α-ketoglutaric acid, monosodium Salt A.R.
- 5.62 magnesium chloride A.R.
- 5.63 DL-malic acid A.R.
- 5.64 mercaptoethanol A.R.
- 5.65 N, N-methylene-bis-acrylamide (BIS) A.R.
- 5.66 β-naphthol A.R.
- 5.67 α-naphthyl acetate A.R.
- 5.68 α-naphthyl acid phosphate A.R.
- 5.69 nicotinamide adenine dinucleotide (NAD) A.R.
- 5.70 nicotinamide adenine dinucleotide phosphate (NADP) A.R.
- 5.71 nitro blue tetrazolium (NBT) A.R.
- 5.72 phenazine methosulfate (PMS) A.R.
- 5.73 6-phosphogluconic acid, sodium salt A.R.
- 5.74 polyvinylpyrrolidone (PVP) A.R.
- 5.75 potassium hydroxide
- 5.76 potassium iodide
- 5.77 potassium phosphate, dibasic A.R.
- 5.78 potassium phosphate, monobasic A.R.
- 5.79 pyridoxal-5-phosphate, monohydrate A.R.
- 5.80 riboflavin A.R.
- 5.81 sea sand
- 5.82 shikimic acid A.R.

- 5.83 sodium acetate anhydrous A.R.
- 5.84 sodium hydroxide
- 5.85 sodium phosphate, dibasic A.R.
- 5.86 sodium phosphate, monobasic A.R.
- 5.87 sucrose
- 5.88 TEMED A.R.
- 5.89 tris (hydroxymethyl) aminomethane A.R.
- 5.90 triton X-100 A.R.
- 5.91 tween 80

## 6. วัสดุอุปกรณ์สำหรับการวิเคราะห์ข้อมูลโดยเทคนิค numerical taxonomy

- 6.1 เครื่องคอมพิวเตอร์แบบดิจิตอล Belta XJ700T
- 6.2 ชุดโปรแกรมวิเคราะห์สถิติ SPSS 7.5 for Windows
- 6.3 micro floppy diskette 1.44 MB
- 6.4 สมุดบันทึกข้อมูล
- 6.5 ไม้บรรทัด

## วิธีดำเนินการวิจัย

### 1. การศึกษาภาคสนาม

#### 1.1 การกำหนดพื้นที่สำหรับเก็บตัวอย่าง

ศึกษาค้นหาแหล่งที่อยู่ของชงโคคำในประเทศไทยจากหนังสือ Flora of Thailand volume 4 part 1 และจากตัวอย่างพันธุ์ไม้แห้งซึ่งเก็บรวบรวมไว้ในพิพิธภัณฑ์พิชในประเทศไทยดังนี้

- พิพิธภัณฑ์พิช กรมวิชาการเกษตร (BK)
- หอพรรณไม้ กรมป่าไม้ (BKF)
- พิพิธภัณฑ์พิชศาสตราราชย์กสิน สุราษฎร์ธานี ภาควิชาพฤกษาศาสตร์ คณะวิทยาศาสตร์ จุฬาลงกรณ์มหาวิทยาลัย (BCU)

สำรวจชนิด ปริมาณ การกระจายพันธุ์และแหล่งที่อยู่ของชงโคคำจากการศึกษาข้อมูลทั่วประเทศไทย และกำหนดแหล่งเก็บตัวอย่างชงโคคำให้ครบถ้วนพันธุ์ (variety) รวมทั้งกำหนดแหล่งเก็บตัวอย่างประชากรชงโค (*B. purpurea*) และกาหลง (*B. acuminata*) เพื่อใช้ในการศึกษาเบรียบเทียบสถานะทางอนุกรมวิธาน ดังตารางที่ 3.1

ตารางที่ 3.1 แหล่งเก็บตัวอย่างชงโคคำ ชงโค และกาหลงในประเทศไทย

ประจำรากที่	ชนิดพิช	แหล่งเก็บตัวอย่าง
1	<i>B. pottsii</i> var. <i>subsessilis</i>	อ.บ่อไร่ จ.ตราด
2	<i>B. pottsii</i> var. <i>subsessilis</i>	อ.วังจันทน์ จ.ระยอง
3	<i>B. pottsii</i> var. <i>subsessilis</i>	อ.ท่าฉาง จ.สุราษฎร์ธานี
4	<i>B. pottsii</i> var. <i>pottsii</i>	อ.นาพิเตา จ.นครศรีธรรมราช
5	<i>B. pottsii</i> var. <i>pottsii</i>	อ.โคกโพธิ์ จ.ปัตตานี
6	<i>B. pottsii</i> var. <i>mollissima</i>	อ.นาโยง จ.ตรัง
7	<i>B. pottsii</i> var. <i>mollissima</i>	อ.ตะกั่วป่า จ.พังงา
8	<i>B. pottsii</i> var. <i>velutina</i>	อ.พระโขนง จ.ชุมพร
9	<i>B. pottsii</i> var. <i>velutina</i>	อ.เมือง จ.ระนอง
10	<i>B. purpurea</i>	คณะเภสัชศาสตร์ จุฬาลงกรณ์มหาวิทยาลัย
11	<i>B. acuminata</i>	คณะวิทยาศาสตร์ จุฬาลงกรณ์มหาวิทยาลัย



การกระจายพันธุ์

แหล่งเก็บตัวอย่าง

- |   |                                                 |   |
|---|-------------------------------------------------|---|
| ● | <i>Bauhinia pottsii</i> var. <i>pottsii</i>     | ■ |
| ● | <i>Bauhinia pottsii</i> var. <i>subsessilis</i> | ■ |
| ● | <i>Bauhinia pottsii</i> var. <i>mollissima</i>  | ■ |
| ● | <i>Bauhinia pottsii</i> var. <i>velutina</i>    | ■ |

แผนภาพที่ 3.1 แสดงการกระจายพันธุ์และแหล่งเก็บตัวอย่างประชากรซังโคงคำในประเทศไทย

## 1.2 การเก็บตัวอย่าง

1.2.1 เก็บกิ่งชงโคงคำ ชงโคงและกาหลงที่มีใบและดอกสมบูรณ์ประจำรุ่น 3 กิ่ง นำมาอัดในแผงอัดพารณ์ไม้พาร์มดิตป้ายบนภาระละเอียดของตัวอย่าง เพื่อนำไปทำตัวอย่างแห้ง เก็บไว้ในพิพิธภัณฑ์พิชชาสต德拉อาจารย์กสิน สุวะพันธุ์ ภาควิชาพฤกษาศาสตร์ คณะวิทยาศาสตร์ จุฬาลงกรณ์มหาวิทยาลัย

1.2.2 เก็บใบที่สมบูรณ์ลำดับที่ 3 นับจากปลายกิ่งของชงโคงคำ ชงโคงและกาหลง จำนวน 1 ใบ ต่อ 1 กิ่ง รวมทั้งสิ้น 50 ใบต่อประชากรแต่ละประชากรที่ศึกษา เก็บดอกที่นานเด็ม ที่และดอกดูมที่มีขนาดใหญ่ที่สุดในช่อดอกนั้นอย่างละ 1 ดอก ต่อ 1 ช่อดอก ต่อ 1 กิ่ง รวมทั้งสิ้น อย่างละ 50 ดอกต่อประชากรแต่ละประชากรที่ศึกษาและเก็บผักที่แก่เดิมที่ 1 ฝัก ต่อ 1 กิ่งรวมทั้งสิ้น 50 ฝักต่อประชากรแต่ละประชากรที่ศึกษา เพื่อนำมาใช้ในการศึกษาโดยใช้กล้องจุลทรรศน์ อิเลคทรอนแบบส่องการดูและการศึกษาด้าน numerical taxonomy

1.2.3 ตัดกิ่งชงโคงคำที่มีขนาดเหมาะสม จำนวน 50 กิ่ง ต่อประชากรแต่ละประชากรที่ศึกษา นำมาปักชำในกระถางที่เรือนแพะชำ ภาควิชาพฤกษาศาสตร์ คณะวิทยาศาสตร์ จุฬาลงกรณ์มหาวิทยาลัย เพื่อนำไปอ่อนที่เกิดจากกิ่งปักชำมาใช้ในการศึกษาแบบแผนไฮโซไซร์

1.2.4 เก็บดอกชงโคงคำ ชงโคง และกาหลงที่เริ่มบานเพียงเล็กน้อย จำนวน 30 ดอกจากแต่ละประชากรที่ศึกษา นำมาผึ่งลมให้แห้งแล้วแยกเฉพาะส่วนอับเรณูใส่ซองกระดาษและตากให้แห้งเพื่อนำมาศึกษาลักษณะสัณฐานวิทยาของเรณู

## 2. การศึกษาในห้องปฏิบัติการ

### 2.1 การศึกษาลักษณะสัณฐานวิทยาของกิง ใน และดอกชงโคต้า ชงโค และกาหลง

#### 2.1.1 การศึกษาลักษณะสัณฐานวิทยาโดยใช้กล้องจุลทรรศน์แบบสเดอริโอ

นำตัวอย่างชงโคต้า ชงโค และกาหลงที่มีใบและดอกสมบูรณ์ทั้งที่เก็บใหม่ๆ และตัวอย่างที่อัดแห้งไว้ทุกประชาร์ มาศึกษาลักษณะสัณฐานวิทยาของกิง ใน ดอก ฝักและเมล็ด โดยใช้กล้องจุลทรรศน์แบบสเดอริโอ ตรวจหาเชื้อวิทยาศาสตร์และเชื้อพื้นเมือง การกระจายพันธุ์ในประเทศไทยและต่างประเทศ รวมทั้งการใช้ประโยชน์ โดยตรวจสอบและเปรียบเทียบกับตัวอย่างพันธุ์ไม้แห้งในพิพิธภัณฑ์พิชชาสรราจารย์กสิน สุวะพันธุ์ พิพิธภัณฑ์พิชกรมวิชาการเกษตร หรือพรรณไม้ กรมป่าไม้ และตรวจสอบจากเอกสารทางพฤกษอนุกรมวิธาน พร้อมทั้งจัดทำคำบรรยายลักษณะอย่างละเอียด บันทึกภาพและทำรูปวิถีทางไว้

#### 2.1.2 การศึกษาลักษณะสัณฐานวิทยาโดยใช้กล้องจุลทรรศน์อิเลคตรอน แบบส่องกล้อง

##### 2.1.2.1 การเตรียมตัวอย่าง

นำตัวอย่างใบ กลีบเลี้ยง กลีบดอก เกสรเพศผู้และเกสรเพศเมียของชงโคต้าทุกพันธุ์ มาล้างทำความสะอาดด้วยน้ำกลัน และ 0.1 M phosphate buffer pH 7.2 จากนั้นจึงตัดตัวอย่างเป็นชิ้นเล็กๆขนาดกว้างและยาว 0.5 เซนติเมตร นำตัวอย่างที่ตัดเป็นชิ้นแล้วมาแช่ (pre-fix) ใน 2.5% glutaraldehyde ใน 0.1M phosphate buffer pH 7.2 นาน 1 ชั่วโมงในตู้เย็น อุณหภูมิ 15-20 °C และล้างด้วย 0.1 M phosphate buffer pH 7.2 3 ครั้งครั้งละ 10 นาที จากนั้นจึงแช่ (post-fix) ใน 1% OsO<sub>4</sub> ใน 0.1 M phosphate buffer pH 7.2 นาน 1 ชั่วโมง และล้างออกด้วย phosphate buffer เมื่อันเดิม 3 ครั้ง ครั้งละ 10 นาที นำตัวอย่างที่ fix และล้าง dehydrate ด้วย ethanol ความเข้มข้น 30%, 50%, 70%, 90% และ 100% ตามลำดับ ขั้นตอนละ 10 นาที จากนั้นทำการแห้งในตู้อบ จุดวิกฤติ ด้วยเครื่อง critical point dryer ซึ่งทำให้ตัวอย่างแห้งและคงสภาพเดิมได้

### 2.1.2.2 การติดตัวอย่าง

นำตัวอย่างที่ผ่านการทำแห้งแล้วมาติดบน stub ด้วยเทปใสสองหน้า แล้วนำมาจานทองคำหนา 10 nm ภายใต้สภาวะสูญญากาศ ด้วยเครื่อง bazer sputter coater นานประมาณ 5 นาที จากนั้นจึงนำตัวอย่างทั้งหมดมาศึกษาลักษณะสัณฐานวิทยาภายใต้กล้องจุลทรรศน์อิเลคตรอนแบบส่องกราด JEOL JSM-5410 LV โดยใช้กำลังขยายตั้งแต่ 75 เท่า ถึง 7,500 เท่า ที่ 15 kV.

## 2.2 การศึกษาลักษณะสัณฐานวิทยาของเรณูชงโคงคำ ชงโคง และกาหลง

### 2.2.1 การเตรียมเรณู

นำอับเรณูชงโคงคำ ชงโคง และกาหลงจากทุกประชารที่เก็บไว้มาเตรียมเรณูโดยวิธี acetolysis ตามแนวของโภสุม พิรบาม (2522) ดังนี้

- นำอับเรณูมาดมใน 10% KOH จนเดือด นาน 1 นาที แล้วกรองเรณูไว้ ส่วนกาตก็ไป
  - นำสารละลายที่กรองได้มามีนด้วยเครื่องปั่นแรงเหวี่ยงสูงที่ความเร็ว 3,000 รอบต่อนาที นาน 1 นาที จนเรณูตัดก่อน แล้วรินสารละลายส่วนบนทิ้ง
  - เดิมน้ำกลันล้างเรณู แล้วปั่นให้ตัดก่อนนาน 1 นาที และรินสารละลายส่วนบนทิ้งเหมือนเดิม ทำซ้ำเช่นนี้ 3 ครั้ง
  - เดิม glacial acetic acid ปั่นให้ตัดก่อนนาน 1 นาที แล้วรินสารละลายส่วนบนทิ้ง
  - เดิม acetolysis mixture (ประกอบด้วย acetic anhydride : conc. sulfuric acid = 9:1) ที่เตรียมใหม่ๆลงไป นำไปแช่ในน้ำเดือดนาน 1 นาที ปั่นให้ตัดก่อนนาน 1 นาที แล้วรินสารละลายส่วนบนทิ้ง
  - เดิม glacial acetic acid ปั่นให้ตัดก่อนนาน 1 นาที แล้วรินสารละลายส่วนบนทิ้ง
  - เดิมน้ำกลันล้างเรณู ปั่นให้ตัดก่อนนาน 1 นาที แล้วรินสารละลายส่วนบนทิ้ง ทำซ้ำเช่นนี้ 3 ครั้ง

- เดิม 70% ethyl alcohol เป็นให้ตากตะกอนนาน 1 นาที แล้วrinสารละลายส่วนบนทิ้ง จากนั้นเดิม 95% และ 100% ethyl alcohol แล้วทำข้ามเข่นเดิมตามลำดับ
- คร่าวหลอดเซนติพิวส์จน ethyl alcohol ระเหยหมดแล้วเดิม benzene ลงไป เช่นจานเรณูกระจาดี จึงเทเรณูใส่ขวดเก็บเรณู
- หยด silicone oil AK 2000 (Anderson, 1960) ลงไป 3-4 หยด และนำเข้าตู้อบที่ 50°C นาน 30 นาที แล้วปิดฝาให้สนิทเก็บไว้ศึกษาต่อไป

### 2.2.2 การศึกษาลักษณะสัณฐานวิทยาของเรณูด้วยกล้องจุลทรรศน์แบบใช้แสง

นำเรณูที่ผ่านการทำ acetolysis แล้วมาเตรียมสไลด์ถาวร ดังนี้

- ใช้เข็มเขี่ยแตะ silicone oil ที่มีเรณูกระจาดอยู่ หยดบนสไลด์ 1 หยด แล้วปิดด้วยกระดาษปิดสไลด์
- ใช้เข็มเขี่ยแตะ paraffin ซึ่งชุดเป็นชิ้นเล็กๆบางๆวางไว้ที่ขอบกระดาษปิดสไลด์ แล้วนำสไลด์วางบน warm plate ที่อุณหภูมิ 50°C จน paraffin ละลายแทรกเข้าไปได้ กระดาษปิดสไลด์จะเดิม จึงนำสไลด์ออกมาราวไว้ที่อุณหภูมิห้องจน paraffin แข็งตัว แล้วใช้ xylene เช็ดสไลด์จนสะอาด
- นำสไลด์ถ่ายภาพมาศึกษาดูร่างลักษณะ ช่องเปิด ช่องและลวดลายผิวของเรณู โดยใช้กล้องจุลทรรศน์แบบใช้แสง Nikon AFX 35 กำลังขยายของเลนส์ค่า 10 เท่าและกำลังขยายของเลนส์วัดถูก 40 เท่า

- วัดขนาดเรณูตามแนว polar axis และ equatorial axis ความกว้างและความยาวของช่องเปิด ขนาด apocolpium และ polar field index ของเรณูประชารัล 50 เรณู โดยใช้ eyepiece micrometer ที่เทียบค่าจาก stage micrometer แล้ว

### 2.2.3 การศึกษาลักษณะสัณฐานวิทยาของเรณูด้วยกล้องจุลทรรศน์อิเลคตรอนแบบส่องการดู

- นำเรณูที่ผ่านการทำ acetolysis แล้วมาเตรียมเพื่อศึกษาโดยใช้กล้องจุลทรรศน์อิเลคตรอนแบบส่องการดู ดังนี้
- หยดเรณูลงบน stub ทองเหลืองซึ่งติดด้วยเทปไสส่องหน้า

- นำ stub ที่มีเรณูไปจับผิวด้วยทองคำโดยใช้เครื่อง bazer sputter coater ภายใต้สภาวะสูญญากาศ นาน 5 นาที
- นำเรณูที่จับผิวแล้วไปศึกษาลักษณะรูปร่าง ช่องเปิด ชี้และลวดลายผิวของเรณู โดยใช้กล้องจุลทรรศน์อิเลคตรอนแบบส่องกราด JEOL JSM-5410 LV กำลังขยายตั้งแต่ 750 ถึง 7,500 เท่า ที่ 15 kV

### 2.3 การศึกษาแบบแผนไอกโซไซเมิร์ของชงโคล์ด้า

การศึกษาแบบแผนไอกโซไซเมิร์ของชงโคล์ด้า โดยวิธี polyacrylamide gel electrophoresis ใช้เครื่องอิเลคโทรโฟเรซ Mini – PROTEAN II กับเครื่องป้อนพลังงาน Power Pac 3000 มีขั้นตอนดังนี้

#### 2.3.1 การเตรียมสารละลายสำหรับทำ polyacrylamide gel

การเตรียมสารละลายสำหรับทำ stacking gel 5% และ separating gel 7.5%, 8%, และ 8.5% ตามแนวทางของ Sambrook, Fritsch และ Maniatis (1989) มีส่วนผสมดังตารางที่ 3.2

ตารางที่ 3.2 ปริมาณสารเคมีที่ใช้ในการเตรียม polyacrylamide gel

สารเคมี	ปริมาณสารเคมีที่ใช้ในแต่ละ gel (มล.)			
	stacking gel	separating gel		
		5%	7.5%	8%
30% acrylamide mix	4.16	25.00	26.65	28.25
1.0 M Tris-HCl pH 6.8	2.50	-	-	-
1.5 M Tris-HCl pH 8.8	-	25.00	25.00	25.00
10% ammonium persulfate	0.10	1.00	1.20	1.20
TEMED	0.01	0.05	0.05	0.05
น้ำ	18.23	18.95	47.10	45.50
ปริมาณที่ใช้ต่อ gel 10 แผ่น	25	100	100	100

### 2.3.2 การเตรียม polyacrylamide gel

#### 2.3.2.1 การเตรียมแผ่นกราฟิก

ใช้แอลกออล์เช็ดทำความสะอาดแผ่นกราฟิกจากห้องจีนนำ แผ่นกราฟิกแผ่นเล็กและแผ่นใหญ่มาวางประกนกัน โดยมีแผ่น spacer หนา 0.75 มิลลิเมตรวางที่ขอบกราฟิกทั้ง 2 ข้างและมี alignment card แทรกตรงกลางระหว่าง spacer นำแผ่นกราฟิกทั้งชุด ใส่ลงใน multi-casting chamber ทำเช่นนี้ 10 ชุด โดยแต่ละชุดมีแผ่นพลาสติกกันไฟ จากนั้นนำ หรี (telflon comb) หนา 0.75 มิลลิเมตร มาใส่ลงไประหว่างแผ่นกราฟิก ใช้ปากการทำเครื่องหมาย บนกราฟิกที่จะใส่ separating gel ลงไปให้ห่างจากหรีประมาณ 5 มิลลิเมตร

#### 2.3.2.2 การเตรียม separating gel

ผสมสารละลายสำหรับทำ separating gel ตามอัตราส่วนในตารางที่ 3.2 โดยเติม 10% ammonium persulfate และ TEMED หลังสุด คนให้เข้ากันอย่างรวดเร็ว และเทสารละลายลงในช่องว่างระหว่างแผ่นกราฟิกที่ทำเครื่องหมายไว้ แล้วใช้ ปีเปตดูด butanol ที่อิ่มด้วยน้ำหยดลงคลุมผิว separating gel ระหว่างกราฟิกทุกแผ่น ปล่อยทิ้งไว้ประมาณ 30 นาที เพื่อให้เกิด polymerization จน gel แข็งด้วยริน butanol ออกแล้วล้างด้วยน้ำกลันหล่ายๆ ครั้งและซับน้ำที่เหลือออกให้หมดด้วยกระดาษซับ

#### 2.3.2.3 การเตรียม stacking gel

ผสมสารละลายสำหรับทำ stacking gel ตามอัตราส่วนในตารางที่ 3.2 โดยเติม 10% ammonium persulfate และ TEMED หลังสุด คนให้เข้ากันอย่างรวดเร็วแล้ว เทสารละลายในช่องว่างระหว่างแผ่นกราฟิกทุกชุดจนเจิมจากนั้นใช้หรีเสียบลงไปในช่องว่างระหว่างกราฟิก ระวังอย่าให้มีฟองอากาศ ปล่อยทิ้งไว้ให้เกิด polymerization ประมาณ 30 นาที จน gel แข็งด้วย

### 2.3.3 การเตรียมเครื่องมืออิเลคโทรโฟรีซิส

นำ Tris-glycine electrophoresis buffer pH 8.3 ผสมน้ำกลัน อัตราส่วน 1:1 แล้วเติมลงใน lower buffer chamber ประมาณ 300 มิลลิลิตร จากนั้นนำชุดแผ่นกระเจร์ เตรียม gel ไว้แล้วออกจาก multi-casting chamber นำมาใส่ใน sandwich clamp assemblies จำนวน 2 ชุด และนำไปประกอบดิจกับ inner cooling core จากนั้นจึงนำไปใส่ใน lower buffer chamber เติม Tris-glycine electrophoresis buffer pH 8.3 ลงใน upper chamber จนท่วม gel และค่อยๆ ใช้มือดึงเอาหัวออกจาก ระวังอย่าให้มีฟองอากาศใน well

### 2.3.4 การสกัดไอโซไซเมร์จากใบชงโคงคำ

#### 2.3.4.1 การเตรียมสารละลาย extraction buffer

สารละลาย extraction buffer ที่ใช้ในการสกัดไอโซไซเมร์จากใบชงโคงคำ มี 3 สูตร ดังนี้

สูตร 1 ตามแนวของสุจิตรา จางistrate และคณะ (2534)

สูตร 2 ตัดแปลงจากแนวของสุจิตรา จางistrate และคณะ (2534)

สูตร 3 ตามแนวของชวนพิม อรุณรังสิกุล (2538)

ตารางที่ 3.3 ส่วนประกอบของ extraction buffer

สารเคมี	ปริมาณสารเคมีที่ใช้ใน extraction buffer (ml)		
	สูตร 1	สูตร 2	สูตร 3
0.2 M Tris-HCl pH 7.5	5.00	5.00	-
0.1 M Tris-HCl pH 8.2	-	-	5.00
100 mM DTT	0.50	-	-
45 mM EDTA	-	1.00	1.00
2% mercaptoethanol	-	0.50	0.50
3% tween 80	3.50	3.50	-
0.5% Triton X-100	-	-	2.00
10% sucrose	-	-	0.50
H <sub>2</sub> O	1.00	-	1.00
ปริมาตรรวม	10	10	10

#### 2.3.4.2 การสกัดไอโซไซม์

นำใบชงโคง่าใบที่ 3 นับจากปลายยอดมาซึ่งหน้าเท่ากับ 200 มิลลิกรัม จากนั้นนำมาใส่ในโกรง (mortar) ที่สะอาดและยืนจัด เติม extraction buffer สูตร 1, 2 หรือ 3 ลงไป 1 มิลลิลิตร เติม PVP 50 mg และ sea sand 10 mg บดด้วย pestle ในที่เย็นจัดจนในละเอียดเป็นเนื้อเดียว จึงเทใส่หลอด appendorf ขนาด 1.5 มิลลิลิตร นำไปปั่นด้วยเครื่องปั่นความเร็วสูงที่ 0°C ความเร็ว 15,000 รอบต่อนาที นาน 20 นาที แล้วดูดสารละลายส่วนใสด้านบน (supernatant) เก็บไว้ในหลอด appendorf ขนาด 1.5 มิลลิลิตร แช่ในตู้ medical freezer ที่อุณหภูมิ -40°C ทำการเตรียมสารสกัดไอโซไซม์ของชงโคง่าทุกพันธุ์โดยวิธีดังกล่าวนี้ พันธุ์ละ 30 ตัวอย่าง

#### 2.3.5 การหาปริมาณตัวอย่างที่เหมาะสม

ทำการตรวจสอบปริมาณตัวอย่างสารสกัดไอโซไซม์ที่เหมาะสมของชงโคง่าทุกพันธุ์ในการศึกษาไอโซไซม์ทุกระบบ โดยใช้ gel หนา 0.75 มิลลิเมตร stacking gel 5% และ separating gel 7.5%, 8% และ 8.5% ตามลำดับ โดยใช้ไมโครปีเพดดูดสารละลาย BPB-Tris-glycine ซึ่งใช้เป็น dye marker ปริมาณ 10 ไมโครลิตร เติมลงใน well ช่องข้างสุดของ stacking gel 5% ซึ่งเตรียมไว้แล้ว จากนั้นจึงใช้ไมโครปีเพดดูดสารสกัดไอโซไซม์ของชงโคง่าทุกพันธุ์ที่เตรียมไว้หดละลายปริมาตรดังแต่ 5 ไมโครลิตร ถึง 20 ไมโครลิตร เติมลงใน well ช่องถัดมา ช่องละ 1 ตัวอย่างจนครบทุกช่อง แล้วต่อเครื่องป้อนพลังงานเข้ากับเครื่องอิเลคโทรฟอร์ซิส ควบคุมกระแสไฟฟ้าให้คงที่ที่ 60 มิลลิแอมป์ ภายใต้อุณหภูมิ 0-4°C เปิดสวิตซ์แล้วสังเกตการเคลื่อนที่ของ dye marker จนห่างจากขอบ gel ด้านล่างประมาณ 1 เซนติเมตร จึงปิดเครื่องป้อนพลังงาน แล้วนำ gel ออกมาย้อมสีไบรท์นีน โดยใช้สารละลาย coomassie brilliant blue R-250แล้วสังเกตเบรย์น เทียบหาปริมาณตัวอย่างสารสกัดไอโซไซม์ที่ให้แถบสีจำนวนมากและมีความคมชัดมากที่สุดสำหรับไอโซไซม์แต่ละระบบ เพื่อใช้ในการตรวจสอบไอโซไซม์ในชงโคง่าต่อไป

#### 2.3.6 การตรวจสอบไอโซไซม์

ทำการตรวจสอบไอโซไซม์ 20 ระบบในชงโคง่าทุกพันธุ์รวมทั้งสิ้น 4 ประชากร ประชากรละ 30 ตัวอย่าง โดยใช้ gel หนา 0.75 มิลลิเมตร ใช้ stacking gel 5% และ

separating gel 7.5%, 8% หรือ 8.5% ตามความเหมาะสมกับไฮโซไซม์แต่ละระบบ ใช้ไมโครปีเพด คุณลักษณะ BPB-Tris-glycine ปริมาตร 10 ไมโครลิตร เดิมลงใน well ช่องซ้ายสุด และดูดสาร สกัดไฮโซไซม์จากใบชงโคงดำเนินการตามความเหมาะสมกับไฮโซไซม์แต่ละระบบ เดิมลงใน well ช่องถัดไป ช่องละ 1 ตัวอย่างจนครบทุกช่อง และต่อเครื่องอิเลคโทรฟอร์เซสเข้ากับเครื่องป้อนผลั งงาน โดยควบคุมกระแสไฟฟ้าคงที่ที่ 60 มิลลิแอมเปร ภายใต้อุณหภูมิ 0-4°C สังเกตการเคลื่อนที่ ของ dye marker จนห่างจากขอบ gel ด้านล่างประมาณ 1 เซนติเมตร จึงปิดสวิตช์แล้วนำ gel ออกมาเพื่อย้อมสีจำเพาะของไฮโซไซม์แต่ละระบบต่อไป

### 2.3.7 การย้อมสีจำเพาะไฮโซไซม์

นำ gel ที่ผ่านการแยกไฮโซไซม์โดยเครื่องมืออิเลคโทรฟอร์เซสแล้วมาย้อมสี จำเพาะของไฮโซไซม์ รวมทั้งสิ้น 20 ระบบ ดังตารางที่ 3.4

ตารางที่ 3.4 ระบบไฮโซไซม์ที่ศึกษาในชงโคง

ระบบไฮโซไซม์	คำย่อ	E.C. number
acid phosphatase	ACP	3.1.3.2
alcohol dehydrogenase	ADH	1.1.1.1
catalase	CAT	1.11.1.6
dihydrolipoamide dehydrogenase	DDH	1.8.1.4
$\alpha$ - esterase	$\alpha$ -EST	3.1.1.1
formate dehydrogenase	FDH	1.2.1.2
glucose-6-phosphate dehydrogenase	G <sub>6</sub> PDH	1.1.1.49
glucose-6-phosphate isomerase	GPI	5.3.1.9
glutamate dehydrogenase	GDH	1.4.1.2
glutamate oxaloacetate transaminase	GOT	2.6.1.1
glyceraldehyde-3-phosphate dehydrogenase	G <sub>3</sub> PDH	1.2.1.9
isocitrate dehydrogenase	IDH	1.1.1.42
malate dehydrogenase	MDH	1.1.1.37
malic enzyme	ME	1.1.1.40

### ตารางที่ 3.4 (ต่อ)

ระบบไอโซไซม์	คำย่อ	E.C. number
peroxidase	PER	1.11.1.7
phosphoglucomutase	PGM	5.4.2.2
phosphogluconate dehydrogenase	6PGD	1.1.1.44
shikimate dehydrogenase	SKDH	1.1.1.25
superoxide dismutase	SOD	1.15.1.1
xanthine dehydrogenase	XDH	1.1.1.204

#### 2.3.8 การบันทึกข้อมูล

นำ gel ที่ย้อมสีเจ้าเพาะไอโซไซม์แต่ละชนิดมาศึกษาจำแนก จำนวนขนาดและความเข้มของแถบสีของไอโซไซม์ และหาค่าระยะทางสัมพัทธ์ (Rf) ของไอโซไซม์แต่ละระบบ ดังนี้

$$\text{ระยะทางสัมพัทธ์ (Rf)} = \frac{\text{ระยะทางที่แถบไอโซไซม์เคลื่อนที่}}{\text{ระยะทางที่แถบสีตามรอยเคลื่อนที่}}$$

จากนั้นนำข้อมูลมาจัดทำเป็นไฟล์โปรแกรมของไอโซไซม์ของชงโคตามทุกพันธุ์พร้อมทั้งบันทึกภาพไว้

### 2.4 การวิเคราะห์ข้อมูลโดยเทคนิค numerical taxonomy

#### 2.4.1 การบันทึกลักษณะสัณฐานวิทยาของใบ ดอก และเรณูของชงโคต่างๆ

บันทึกลักษณะสัณฐานวิทยาของใบ ดอก และเรณูของชงโคต่างๆ ประชากรละ 50 ตัวอย่าง โดยกำหนดค่าของลักษณะใน ดอก และเรณูที่เป็นข้อมูลไม่ต่อเนื่อง (discontinuous data) ให้เป็นตัวเลขตามแนวของ Giussani, Martinez และ Collantes (1995)

และใช้ไม้บรรทัดวัดลักษณะต่างๆ ของใบ ดอก และเรณูที่เป็นข้อมูลต่อเนื่อง (continuous data) ดังตารางที่ 3.5 และตารางที่ 3.6

#### 2.4.2 การบันทึกลักษณะแบบแผนໄอโซไซเมร์ของชงโคงคำ

บันทึกระยะทางสัมพัทธ์ (Rf) ของໄอโซไซเมร์ทุกรายบุคคลของชงโคงคำทุกพันธุ์ที่มีลักษณะเป็น polymorphism พันธุ์ละ 30 ตัวอย่าง โดยใช้ไม้บรรทัดวัดระยะทางที่ແbnໄอโซไซเมร์เคลื่อนที่เทียบกับระยะทางที่ແbnสีตามรอยเคลื่อนที่

#### 2.4.3 การบันทึกลักษณะสัณฐานวิทยาของใบ ดอก เรณู ฝัก และเมล็ดของชงโคงคำ ชงโคง และกาหลง

บันทึกลักษณะสัณฐานวิทยาของใบ ดอก เรณู ฝัก และเมล็ดของชงโคงคำ ชงโคง และกาหลง ประชากรละ 50 ตัวอย่าง โดยกำหนดค่าของลักษณะสัณฐานวิทยาที่เป็นข้อมูลไม่ต่อเนื่องเป็นด้วยเลขและใช้ไม้บรรทัดค่าของลักษณะสัณฐานวิทยาที่เป็นข้อมูลต่อเนื่องตามแนวเดียวกับการบันทึกลักษณะสัณฐานวิทยาของชงโคงคำ

#### 2.4.4 การวิเคราะห์ข้อมูลด้วยคอมพิวเตอร์

นำข้อมูลจากการบันทึกลักษณะสัณฐานวิทยาของใบ ดอก เรณู และแบบแผนໄอโซไซเมร์ของชงโคงคำทุกประชากรรวมกันลักษณะใน ดอก เรณู ฝัก และเมล็ดของชงโคงคำ ชงโคง และกาหลงมาวิเคราะห์ด้วยเทคนิคการวิเคราะห์ปัจจัย (factor analysis) การวิเคราะห์จัดกลุ่ม (cluster analysis) และการวิเคราะห์ขั้นจำแนก (discriminant analysis) โดยใช้ชุดโปรแกรมการวิเคราะห์ทางสถิติ SPSS 7.5 for Windows

ตารางที่ 3.5 ลักษณะสัณฐานวิทยาของใบ ดอก เรณู ผัก และเมล็ดที่เป็นข้อมูลเชิงคุณภาพ

ลักษณะ	สัญญาลักษณ์
สำหรับใบ	
ลักษณะวิสัย	HAB *
ไม่ก่อกรอเลือย	0
ไม้ยืนต้น	1
ไม้พุ่ม	2
ช่องอากาศที่เปลือกไม้	LEN *
รูปร่างกลมรี	0
รูปร่างเป็นขีดยาว	1
ใน	
ลักษณะปลายใบ	TLE *
ปลายใบมน	0
ปลายใบแหลม	1
ลักษณะบนด้านบนใบ	HUE
velvety	0
puberulous	1
mouldy	2
glabrous	3
ลักษณะบนด้านล่างใบ	HLE
rusty velvety	0
pubescent	1
sparserly hairy	2
ดอก	
รูปร่างกลีบดอก	SPE
รูปใบหอก (lanceolate)	0
รูปช้อน (spatulate)	1
รูปใบหอกแคบ (narrowly lanceolate)	2
รูปขอบขนาน (oblong)	3

ตารางที่ 3.5 (ต่อ)

ลักษณะ	สัญญาลักษณ์
ลักษณะบนนรังไข่	HOV
บนเยาวนุ่มและบนแข็งoken	0
บนสันนุ่มและบนแข็งOKEN	1
บนกำมะหยี่และบนแข็งOKEN	2
บนกำมะหยี่	3
ไม่มีบน	4
ลักษณะปลายดอกดูม	TBU *
ไม่มี free calyx-teeth	0
มี free calyx-teeth	1
ลักษณะสันที่ปลายดอกดูม	RBU
ไม่มีสัน	0
มีสัน	1
สีดอกดูม	CBU
สีเขียวอมน้ำตาล	0
สีเขียว	1
เรณู	
รูปแบบเรณู	TPO *
อยู่เดี่ยวๆ (monad)	0
อยู่เป็นกลุ่ม 4 เรณู (tetrad)	1
รูปร่างเรณู	SPO
ทรงกลม (spheroidal)	0
รูปกลมแบน (oblate)	1
รูปคล้ายไข่ (prolate spheroidal)	2
รูปคล้ายรักน้ำ (prolate)	3

ตารางที่ 3.5 (ต่อ)

ลักษณะ	สัญญาลักษณ์
ชนิดช่องเปิดเรณู	TAP *
inaperturate	0
tricolporate	1
tricolporoidate	2
ตำแหน่งช่องเปิดเรณู	PAP *
ไม่มีช่องเปิด	0
แนวศูนย์สูตร (equatorial aperture)	1
ลวดลายผิวเรณู	ESC *
perforate	0
striato reticulate	1
reticulate	2
ผัก	
รูปร่างผัก	SPOD *
ขอบไม่ขานาน ปลายสุดเป็นจะอย กว้าง : ยาว ประมาณ 1 : 7	0
ขอบขานาน กว้าง : ยาว ประมาณ 1 : 11	1
ขอบขานาน กว้าง : ยาว ประมาณ 1 : 6	2
สันของผัก	RPOD *
ไม่มีสัน	0
มีสัน	1
เมล็ด	
รูปร่างเมล็ด	SSEE *
รูปกลม	0
รูปกลมรี	1
รูปได	2

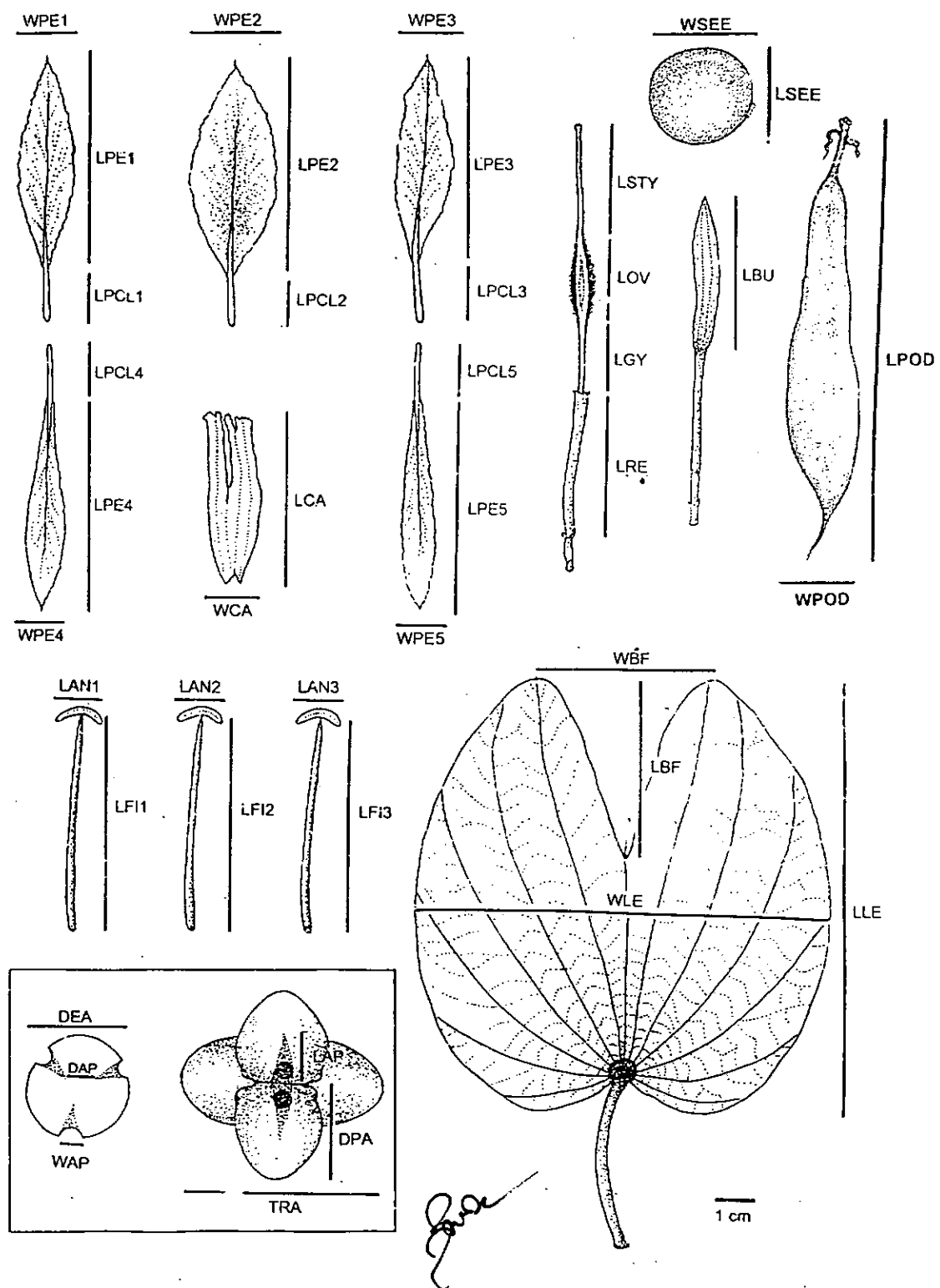
\* หมายถึง ลักษณะที่ใช้เฉพาะการศึกษาเปรียบเทียบชงโคคำกับชงโคและกาหลง

ตารางที่ 3.6 ลักษณะสัณฐานวิทยาของใบ ดอก เรณู ฝัก และเมล็ดที่เป็นข้อมูลเชิงปริมาณ

ลักษณะ	สัญญาลักษณ์
ใบ	
ความกว้างใบ	WLE
ความยาวใบ	LLE
ความกว้างรอยเว้าปลายใบ	WBF
ความลึกรอยเว้าปลายใบ	LBF
จำนวนเส้นใบ	NSV
ดอก	
ความกว้างกลีบเลี้ยง	WCA
ความยาวกลีบเลี้ยง	LCA
ความกว้างกลีบดอก 1-5	WPE 1-5
ความยาวกลีบดอก 1-5	LPE 1-5
ความยาวก้านกลีบดอก 1-5	LPCL 1-5
ความยาวอันเรณู 1-3	LAN 1-3
ความยาวก้านชูอันเรณู 1-3	LFI 1-3
อัตราส่วนความยาวอันเรณูต่으면น้ำที่ติดกับก้านชูอันเรณู	RAF
จำนวนเกสรเพศผู้ที่สมบูรณ์	NFST
ความยาวก้านเกสรเพศเมีย	LSTY
ความยาวรังไข่	LOV
ความยาวก้านชูเกสรเพศเมีย	LGY
ความยาวฐานดอก	LRE
จำนวนดอกดูมต่อ 1 ช่อดอก	NBU
ความยาวดอกดูมที่ยาวที่สุดในช่อดอก	LBU
อัตราส่วนความยาวดอกดูมต่อความยาวฐานดอกของดอกดูม	RBR
เรณู	
เส้นผ่านศูนย์กลางกลุ่มเรณูในสภาพ tetrad	TRA
เส้นผ่านศูนย์กลางเรณูแนว polar axis	DPA
เส้นผ่านศูนย์กลางเรณูแนว equatorial axis	DEA
ระยะห่างระหว่างปลายสุดของซ่องเปิดเรณู	DAP

ตารางที่ 3.6 (ต่อ)

ลักษณะ	สัญญลักษณ์
ความกว้างช่องเปิดเรตุ	WAP
ความยาวช่องเปิดเรตุ	LAP
polar field index	PFI
จำนวน verrucae	NVR
ฝัก	
ความกว้างฝัก	WPOD
ความยาวฝัก	LPOD
เมล็ด	
ความกว้างเมล็ด	WSEE
ความยาวเมล็ด	LSEE
จำนวนเมล็ดต่อฝัก	NSEE



แผนภาพที่ 3.2 การวัดลักษณะสัณฐานวิทยาของใบ ดอก เรณู ผัก และเมล็ด ของชงโคลต่า

## บทที่ 4

### ผลการวิจัย

จากการสำรวจเอกสารและศึกษาด้วยย่างพันธุ์ไม้แห้งซึ่งเก็บรักษาไว้ในพิพิธภัณฑ์พีชกรรมวิชาการเกษตร (BK) หอพรรณไม้ (BKF) และพิพิธภัณฑ์พีชมาสตราเจาร์กสิน สุวัตตพันธุ์ (BCU) พบว่าซังโคงคำเป็นพืชที่พบแพร่กระจายอยู่ทั่วไปในประเทศไทยแบบเชี่ยวตัววนออกเนียงได้ บริเวณชายป่าดิบชื้นที่ความสูงจากระดับน้ำทะเลประมาณ 10-200 เมตร โดยซังโคงคำที่พบในประเทศไทยนั้นมีทั้งหมด 5 พันธุ์ (variety) คือ *Bauhinia pottsii* var. *pottsii* G. Don, *B. pottsii* var. *subsessilis* (Craib) de Wit, *B. pottsii* var. *mollissima* (Wall. ex Prain) K.& S.S. Larsen, *B. pottsii* var. *velutina* (Wall. ex Benth.) K.& S.S. Larsen และ *B. pottsii* var. *decipiens* (Craib) K.& S.S. Larsen มีการแพร่กระจายอยู่เฉพาะภาคตะวันออกและภาคใต้เท่านั้น (Larsen, Larsen และ Vidal, 1984) จากการออกสำรวจพีชชนิดนี้ตั้งแต่เดือนมิถุนายน พ.ศ. 2539 ถึงเดือนพฤษภาคม พ.ศ. 2542 เป็นเวลา 3 ปี พบว่าซังโคงคำมีการกระจายพันธุ์ในภาคตะวันออกดังแต่จังหวัดระยองไปจนถึงจังหวัดตราดและในภาคใต้มีการกระจายพันธุ์ตั้งแต่จังหวัดชุมพรลงไปจนถึงจังหวัดปัตตานี โดยซังโคงคำที่พบในการสำรวจครั้งนี้มีเพียง 4 พันธุ์ มีขอบเขตกระจายพันธุ์ ดังนี้

ตารางที่ 4.1 การกระจายพันธุ์ของซังโคงคำที่สำรวจพบในประเทศไทย

ชงโคงคำ	ความสูงจาก ระดับน้ำทะเล (เมตร)	แหล่งที่พบ
<i>B. pottsii</i> var. <i>pottsii</i>	20-50	อ.กะเปอร์ จ.ระนอง กิ่ง อ.นาบพิตา จ.นครศรีธรรมราช อ.เมือง จ.พัทลุง อ.นาทวี จ.สงขลา อ.โคกโพธิ์ จ.ปัตตานี

ตารางที่ 4.1 (ต่อ)

ชนิดคำ	ความสูงจาก ระดับน้ำทะเล (เมตร)	แหล่งที่พบ
<i>B. pottsii</i> var. <i>subsessilis</i>	20-80	อ.เมือง อ.คลองใหญ่ อ.บ่อไร่ จ.ตราด อ.เมือง จ.จันทบุรี กิ่ง อ.เข้าชะมา อ.วังจันทน์ อ.เข้าสมิง อ.แกลง จ.ระยอง อ.เมือง จ.นครนายก อ.นาดี จ.ปราจีนบุรี อ.เมือง อ.ละแม อ.หลังสวน อ.พะโถ <sup>๑</sup> จ.ชุมพร อ.ท่าชนะ อ.ท่าจาง อ.กาญจนดิษฐ์ อ.ไชยา อ.เวียงสะ อ.บ้านฉาง อ.ดาวขุน จ.สุราษฎร์ธานี อ.ลิชาล อ.ขนوم อ.ฉวาง จ.นครศรีธรรมราช กิ่ง อ.รังษฤษ จ.ตรัง
<i>B. pottsii</i> var. <i>mollissima</i>	10-150	อ.พนม จ.สุราษฎร์ธานี อ.อ่าวลึก จ.กระเบื้อง อ.นาโยง จ.ตรัง อ.ตะกั่วป่า อ.คุระบุรี กิ่ง อ.สุขสำราญ จ.พังงา
<i>B. pottsii</i> var. <i>velutina</i>	40-200	อ.พะโถ <sup>๑</sup> จ.ชุมพร อ.กระน้ำ จ.ละอุ่น อ.เมือง อ.กะเปอร์ จ.ระนอง

สำหรับ *B. pottsii* var. *decipiens* ซึ่งเป็นซองโคล่าอีกพันธุ์หนึ่งที่เคยมีรายงานว่าเป็นพืชดิบเดียว (Larsen และ Larsen, 1973) พับบริเวณชายป่าดิบชันที่ความสูงจากระดับน้ำทะเลประมาณ 200 เมตร ในเขตอ่าเภอบ่อไร่ จังหวัดตราด และมีเฉพาะ type specimen นั้น (Larsen, Larsen และ Vidal, 1984) ในการสำรวจครั้งนี้ที่อ่าเภอบ่อไร่และอ่าเภอกลั่นเคียงในจังหวัดตราด รวมทั้งจังหวัดต่างๆทั่วประเทศไทยไม่พบซองโคล่าพันธุ์นี้ จึงไม่สามารถนำมาใช้ในการศึกษาครั้งนี้ได้

#### 4.1 การศึกษาลักษณะสัณฐานวิทยาของกิ่ง ใน ดอกและฝักของซองโคล่า

จากการศึกษาลักษณะสัณฐานวิทยาของกิ่ง ใน ดอกและฝักของซองโคล่าที่พบในประเทศไทยพบว่าซองโคล่าจัดอยู่ในหน่วยอนุกรมวิธานตามลำดับขั้นของหมวดหมู่การจัดจำแนกพืชดังนี้

Division	Magnoliophyta
Class	Magnoliopsida
Order	Fabales
Family	Caesalpiniaceae
Tribe	Cercidae
Genus	Bauhinia
Species	<i>Bauhinia pottsii</i>

ซองโคล่าที่พบในประเทศไทยในปัจจุบันมีทั้งหมด 4 พันธุ์ มีลักษณะสำคัญดังนี้

#### *Bauhinia pottsii* var. *pottsii* G. Don

*B. pottsii* G. Don, Gen. Syst. 2 : 462. 1832; de Wit, Reinwardtia 3 : 402. 1956; K. & S.S. Larsen, Nat. Hist. Bull. Siam Soc. 25:14. 1973; Bot. Tidsskr. 74:7.1979; in Fl. C.L.V. 18 : 154. 1980.

*B. elongata* Korth., Verh. nat. Gesch Bot. : 89. pl. 24. 1841; Bak. in Hook. f., Fl. Br. Ind. 2 : 281. 1878; Craib in Fl. Siam, En. 1 : 520.1928.

*B. pottsii* var. *elongata* (Korth.) de Wit, Reinwardtia 3 : 404. 1956; K. & S.S. Larsen, Nat. Hist. Bull. Siam Soc. 25 : 14. 1973.

*Phanera elongata* (Korth.) Benth. in Miq. Pl. Jungh. : 262. 1852.

*Phanera speciosa* Bl. ex Miq., Fl. Ind. Bat. 1:61. 1855. Figure 1:6.

ชื่อพื้นเมือง ชงโคค่า

ชื่ออื่น ๆ ชงโค, ชงโคป่า

### ลักษณะ

ลักษณะวิสัย เป็นไม้พุ่มหรือไม้กึ่งรอเลี้ยงที่ไม่มีเมือง มีความสูง 3-6 เมตร (แผนภาพที่ 4.1:①) กิ่งอ่อน มีสีเขียวอมน้ำตาลและมีขันสันนุ่มนิ่นน้ำตาลอมแดงปักคลุม ลำต้น มีสีน้ำตาลอมเขียวหรือน้ำตาลอมดำ เปลือก มีซ่องอากาศ (lenticel) ขนาด 0.10 - 0.20 เซนติเมตร กระหายอยู่ทั่วไป (แผนภาพที่ 4.2:①②)

ใบเดี่ยว เรียงสลับ (alternate) มีรูปร่างแบบรูปไข่ (ovate) หรือค่อนข้างกลม (rotundate) ขนาด  $8.80 - 13.70 \times 8.20 - 14.20$  เซนติเมตร ปลายใบเว้าลึก 2.10 – 6.20 เซนติเมตร หรือประมาณ  $1/3 - 1/2$  ของความยาวใบและแยกออกเป็น 2 แฉก ปลายแยกโค้งมน ห่างกัน  $3.00 - 7.90$  เซนติเมตร โคนใบเว้ารูปหัวใจ (cordate) ขอบใบบุบเนียนเล็กน้อย เส้นใบแตกออกจากโคนใบ 11–15 เส้น ปลายสุดของเส้นกลางใบเย็บออกจากขอบใบเป็นดิ่งแหลม เล็กยาว  $0.20-0.30$  เซนติเมตร ใบด้านบนมีสีเขียวมัน มีขันสันๆ ขาวใสปักคลุมทั่วไป โดยเฉพาะบริเวณเส้นใบจะมีขันหนาแน่นกว่าบริเวณอื่นๆ ตรงโคนใบมีขันสันน้ำตาลปักคลุมหนาแน่นและมีขันแข็งเง็น (strigose) ปักคลุมเล็กน้อย ในด้านล่างเห็นเส้นใบชัดเจน มีขันสันน้ำตาลปักคลุมทั่วไปโดยเฉพาะบริเวณโคนใบพูนมากกว่าบริเวณอื่นๆ พับขันแข็งเง็นกระหายทั่วไปโดยเฉพาะบริเวณโคนใบพูนมากกว่าบริเวณอื่นๆ (แผนภาพที่ 4.3:①② และ แผนภาพที่ 4.4:①②) ก้านใบ ยาวประมาณ  $3.20-3.50$  เซนติเมตร มีสีเขียวและมีขันสันน้ำตาลปักคลุมทั่วไป พับขันแข็งเง็นกระหายอยู่บ้างเล็กน้อย หูใบ มีสีเขียวเย็นออกมา 2 คู่ คู่ที่อยู่ด้านในเป็นเส้นเล็กๆ มีผิวเรียบมัน คู่ที่อยู่ด้านนอกคล้ายสามเหลี่ยมเรียวแหลมมีขันสันน้ำตาลปักคลุม

ดอก มีลักษณะเป็นช่อแบบช่อกระจะ (raceme) ออกที่ปลายกิ่งหรือด้านข้าง ยาวดังแต่ 5–12 เซนติเมตร (แผนภาพที่ 4.5:②) ก้านดอกยื่นอยู่ ยาว  $1.00 - 1.50$  เซนติเมตร มีขันสันน้ำตาลปักคลุม ใบประดับและใบประดับยื่นอยู่ รูปร่างคล้ายสามเหลี่ยมปลายแหลมแหลมยาว  $0.30 - 0.50$  เซนติเมตรและมีขันสันน้ำตาลปักคลุม ดอกตูม รูปร่างคล้ายทรง

กระบวนการ (terete) ปลายเรียวแหลม ยาว 2.10 – 4.50 เซนติเมตร มีขันสันนุ่มสีม่วงแดงและขันแข็งเงินสีขาวปักคุณหนาแน่น ช่อดอกแต่ละช่อประกอบด้วยดอกดูม 4–35 朵 (แผนภาพที่ 4.5:① และแผนภาพที่ 4.6:①-②) ฐานดอก รูปร่างคล้ายทรงกระบอกยาว 2.10 – 4.20 เซนติเมตร มีขันสันสีขาวใสหรือสีน้ำตาลปักคุณ มีขันแข็งเงินสีขาวใสและสีน้ำตาลประปาอยู่กลืนเลี้ยง แยกออกจากกันเป็น 2–5 ส่วน ยาว 2.90–5.50 เซนติเมตร ผิวด้านนอกมีขันสันน้ำตาลแดงและขันแข็งเงินสันน้ำตาลแดงปักคุณหนาแน่นทำให้มีสีเขียวอมน้ำตาล ผิวด้านในเรียบไม่มีขัน มีสีม่วงแดง ประกอบด้วยเซลล์รูปร่างคล้ายสี่เหลี่ยมเรียงเป็นระเบียบ (แผนภาพที่ 4.7:①-②) กลีบดอก มี 5 กลีบ รูปใบหอกสีแดง ขอบหยักสีขาวหรือขาวอมเหลือง ขนาด  $0.70 - 2.20 \times 2.60 - 6.40$ ,  $1.10 - 2.80 \times 2.60 - 6.90$ ,  $0.70 - 2.00 \times 3.00 - 6.30$ ,  $0.40 - 1.60 \times 2.9 - 6.90$  และ  $0.40 - 1.40 \times 2.80 - 6.50$  เซนติเมตร ตามลำดับ โดยมีแฉ้มสีเหลืองกลางกลีบที่ 2 ซึ่งเป็นกลีบที่มีขนาดใหญ่ที่สุด ผิวกลีบดอกด้านบนเรียบ ไม่มีขัน ผิวด้านล่างมีขันขาวใสและขันแข็งเงินปักคุณประปาอยู่ เมื่อใช้กล้องจุลทรรศน์อิเลคตรอนแบบส่องการดักลังขยาย 5,000 เท่าและ 7,500 เท่า พบร้าผิวกลีบดอกประกอบด้วยเซลล์ที่มีสันนูนขนาด 0.40 ไมครอนเป็นแนวยาวค่อนข้างนานกัน (แผนภาพที่ 4.8:①-②) ก้านกลีบดอก สีเขียวอ่อน ตรงโคนสีม่วงแดง ยาว 0.50 – 2.50 เซนติเมตร ผิวเรียบ มีขันสีขาวใสตามขอบตลอดแนว

เกรสรเพสผู้ที่สมบูรณ์ มี 3 อัน ก้านชูอันเรณู สีแดงสด ผิวเรียบมัน ยาว 2.30 – 6.90 เซนติเมตร ติดกับอันเรณูแบบ versatile ที่ตำแหน่งซึ่งทำให้อัตราส่วนของอันเรณูด้านหลังที่มีร่องต่อด้านที่ไม่มีร่องเท่ากับ 1.00-1.20 อันเรณู ค่อนข้างตรง สีขาวอมเหลืองหรือน้ำตาลอมด้ำຍาว 0.80–1.90 เซนติเมตร และแตกตามแนวยาว (แผนภาพที่ 4.9:①) เมื่อใช้กล้องจุลทรรศน์อิเลคตรอนแบบส่องการดักลังขยาย 1,500 เท่า พบร้าผิวอันเรณูมีลักษณะเป็นตุ่มนูนคล้ายภูเขาปลายมันและมีสันนูนขนาด 1.30 ไมครอนหนาแน่น (แผนภาพที่ 4.9:②) ในขณะที่ผิว ก้านชูอันเรณูมีลักษณะเป็นสันนูนนานกันตามแนวยาวมีร่องระหว่างแต่ละสันกว้าง 6.60 ไมครอน (แผนภาพที่ 4.9:③) เกรสรเพสผู้ที่เป็นหมัน มี 2 อัน สีแดงหรือสีขาวขนาดเล็กกว่า 0.10 – 0.20 เซนติเมตร

เกรสรเพสเมีย ประกอบด้วย ยอดเกรสรเพสเมียเป็นตุ่มกลมเด่นชัดสีน้ำตาลอ่อนคำ เมื่อใช้กล้องจุลทรรศน์อิเลคตรอนแบบส่องการดักลังขยาย 1,000 เท่า พบร้ามีลักษณะเป็นตุ่มนูนขนาดเล็กปลายโค้งมนกว้างประมาณ 40 ไมครอน (แผนภาพที่ 4.10:①) ก้านเกรสรเพสเมีย สีเขียวอมเหลืองหรือม่วงอมแดง ยาว 1.20 – 4.60 เซนติเมตร มีขันแข็งเงินสีขาวประปา รังไข่อยู่เหนือวงกลีบ (superior ovary) ยาว 0.70 – 1.80 เซนติเมตร มีขันนุ่มยาว

สีขาวใสหรือสีม่วงแดง และขันแข็งเอนสีขาวใสปักกลุมหนาแน่น ก้านชูเกรสรูปเมีย สีเขียวอ่อน ยาว 1.10 – 2.60 เซนติเมตร มีขันสั้นสีขาวใสปักกลุม (แผนภาพที่ 4.10:②) 悠久 มีสีเขียวอ่อน ผิวเรียบมัน จำนวน 3 – 6 悠久 ติดอยู่ที่ผนังรังไจadam แนวระเห็บ (แผนภาพที่ 4.10:③) เมื่อใช้กล้องจุลทรรศน์อิเลคตรอนแบบส่องกราดกำลังขยาย 500 เท่า ศึกษาลักษณะขันบนรังไจพบว่ามีตุ่มนูนขนาดเล็กๆกระจายอยู่ทั่วไป (แผนภาพที่ 4.11:①-②)

ฝัก แบบ ไม่มีสัน ปลายแหลมเป็นจะอย ขนาด  $2.70 - 3.00 \times 11.50 - 15.00$  เซนติเมตร ขณะฝักยังอ่อนมีสีเขียวและมีขันสั้นสีม่วงอมแดงปักกลุม เมื่อฝักแก่มีสีน้ำดาลเข้มและแตกออกตามแนวยาว (แผนภาพที่ 4.12:①) เมล็ด รูปร่างค่อนข้างกลม แบบ สีน้ำดาล ขนาดเส้นผ่านศูนย์กลาง  $1.30 - 1.50$  เซนติเมตร จำนวน 1 – 4 เมล็ดต่อฝัก (แผนภาพที่ 4.12:②) เมื่อใช้กล้องจุลทรรศน์อิเลคตรอนแบบส่องกราดกำลังขยาย 2,000 เท่า ศึกษาลักษณะผิวฝักพบว่ามีขันสั้นๆและขันแข็งเอนปักกลุมประปราย ผิวเมล็ดมีรูขณาจด  $2.60 - 6.30$  ไมครอน กระจายทั่วไป (แผนภาพที่ 4.12:③)

ระยะเวลาดอก	ตุลาคม ถึง กุมภาพันธ์
ระยะเวลาติดฝัก	มกราคม ถึง เมษายน
การกระจายพันธุ์ในต่างประเทศ	พม่า มาเลเซีย และอินโดนีเซีย

#### *Bauhinia pottsii* var. *subsessilis* (Craib) de Wit

*B. subsessilis* Craib, Kew Bull. 1927 : 392 ; in Fl. Siam. En. 1 : 529. 1928. Figure 1 : 7-8.

ชื่อพื้นเมือง ชงโคคำ  
ชื่ออื่นๆ ชงโค, ชงโคขาว, ชงโคป่า

#### ลักษณะ

ลักษณะวิสัย เป็นไม้พุ่มหรือไม้กึ่งรอเลี้ยงที่ไม่มีมือจับ มีความสูง 3–6 เมตร (แผนภาพที่ 4.1:①) กิ่งอ่อน มีสีเขียวอมน้ำดาลและมีขันสั้นๆ มีน้ำดาลแดงปักกลุมหนาแน่น ลำต้น มีสีน้ำดาลอมเขียวหรือน้ำดาลอมดำ เปลือก มีช่องอากาศขนาด  $0.10 - 0.20$  เซนติเมตร กระจายอยู่ทั่วไป (แผนภาพที่ 4.2:①-②)

ใบเดี่ยว เรียงสลับ มีรูปร่างแบบรูปไข่ ขนาด  $4.60 - 13.00 \times 5.20 - 12.20$  เซนติเมตร ปลายใบเว้าลึก  $1.40 - 5.00$  เซนติเมตรหรือประมาณ  $1/3-1/2$  ของความยาวใบ และแยกออกเป็น 2 แจก ปลายแยกโคงมห่างกัน  $2.20 - 6.50$  เซนติเมตร โคนใบเว้ารูปหัวใจ ขอบใบมนุ่มเล็กน้อย เส้นใบแตกออกจากโคนใน  $11 - 15$  เส้น ปลายสุดของเส้นกลางใบยื่น เลยจากขอบใบเป็นติ่งแหลมเล็ก ยาว  $0.2 - 0.3$  เซนติเมตร ใบด้านบนมีสีเขียวมัน มีขันสั้นๆ สีขาวใสปักคลุมทั่วไป โดยเฉพาะบริเวณเส้นใบจะมีขันหนาแน่นกว่าบริเวณอื่นๆ โคนใบมีขันสั้นสีน้ำตาลและขันแข็งเง็นสีน้ำตาลปักคลุมหนาแน่น ใบด้านล่างเห็นเส้นใบชัดเจน มีขันสั้นสีน้ำตาลปักคลุมหนาแน่น โดยเฉพาะบริเวณเส้นใบมีขันปักคลุมหนาแน่นกว่าบริเวณอื่น (แผนภาพที่ 4.3:๓-๑ และแผนภาพที่ 4.4:๓-๑) พนบนแข็งเง็นสีน้ำตาลและสีขาวใสกระจายทั่วไป โดยเฉพาะโคนใบพนมากกว่าบริเวณอื่น ก้านใบ ยาวประมาณ  $3.00 - 3.40$  เซนติเมตร มีสีเขียวและมีขันสั้นสีน้ำตาลปักคลุมทั่วไป มีขันแข็งเง็นปักคลุมเล็กน้อย หูใบ มีสีเขียวเย็นออกมานา 2 คู่ คู่ที่อยู่ด้านในเป็นเส้นเล็กๆ ผิวเรียบมัน คู่ที่อยู่ด้านนอกคล้ายสามเหลี่ยมปลายเรียวแหลม มีขันสั้นสีน้ำตาลปักคลุมเด่นชัด

ดอก เป็นแบบช่อกระจะออกที่ปลายกิ่งหรือด้านข้างยาว  $5 - 15$  เซนติเมตร (แผนภาพที่ 4.5:๑) ก้านดอกย่อย ยาว  $1.00 - 1.50$  เซนติเมตร มีขันสั้นสีน้ำตาลปักคลุมหนาแน่น ในระดับและในระดับย่อย รูปร่างคล้ายสามเหลี่ยมปลายแหลมเรียวแหลม ยาว  $0.20 - 0.50$  เซนติเมตร และมีขันสั้นสีน้ำตาลปักคลุม ดอกดูม รูปร่างคล้ายทรงกระบอกปลายค่อนข้างเรียวแหลม ยาว  $1.40 - 3.50$  เซนติเมตร มีขันสั้นนุ่มสีน้ำตาลแดงและขันแข็งเง็นสีน้ำตาลหรือสีขาวปักคลุมหนาแน่นมาก ชุดดอกแต่ละช่อประกอบด้วยดอกดูม  $23 - 63$  ดอก (แผนภาพที่ 4.5:๓ และแผนภาพที่ 4.6:๓-๑) ฐานดอก รูปร่างคล้ายทรงกระบอกยาว  $1.30 - 3.20$  เซนติเมตร มีขันสั้นสีขาวใสหรือสีน้ำตาลปักคลุมหนาแน่น มีขันแข็งเง็นสีขาวใสหรือสีน้ำตาลกระจายทั่วไป กลีบเลี้ยง แยกออกจากกันเป็น 2-5 ส่วน ยาว  $2.00 - 3.70$  เซนติเมตร ผิวด้านนอกมีขันสีน้ำตาลแดงและขันแข็งเง็นสีน้ำตาลปักคลุมหนาแน่น ผิวด้านในเรียบมีสีม่วงอมดำ ประกอบด้วยเซลล์รูปร่างหลายเหลี่ยม เรียงไม่เป็นระเบียบ (แผนภาพที่ 4.7 :๓-๑) กลีบดอก มี 5 กลีบ รูปใบหอกสีขาว ขอบหยัก ขนาด  $0.60 - 1.50 \times 2.00 - 5.40$ ,  $0.80 - 2.20 \times 2.20 - 4.80$ ,  $0.60 - 1.70 \times 2.10 - 5.10$ ,  $0.40 - 1.30 \times 2.30 - 5.60$  และ  $0.30 - 1.40 \times 2.40 - 5.30$  เซนติเมตร ตามลำดับ โดยมีแฉ้มสีเหลืองกลางกลีบที่ 2 ซึ่งเป็นกลีบที่มีขนาดใหญ่ที่สุด ผิวกลีบดอกด้านบนเรียบไม่มีขัน ผิวด้านล่างมีขันสีขาวใสและขันแข็งเง็นสีน้ำตาลหรือสีขาวใสปักคลุมค่อนข้างหนาแน่นและเด่นชัด เมื่อใช้กล้องจุลทรรศน์อิเลคตรอนแบบส่องการดักจำสังขยา  $5,000$  และ  $7,500$  เท่า พบร่องผิวด้านบนและด้านล่างกลีบดอกมีลักษณะคล้ายรอยย่นเป็นสันและร่องที่ไม่เด่นชัดและไม่เป็นระเบียบ (แผนภาพที่ 4.8:๓-๑) ก้านกลีบ

ดอก มีสีขาวหรือขาวอมเหลือง ตรงโคนอาจมีสีม่วงแดง ยาว 0.10 - 0.90 เซนติเมตร ผิวเรียบ มีขันสีขาวใสตามขอบดลอดแนว

เกรสรเพสผู้ที่สมบูรณ์ มี 3 อัน ก้านชูอับเรณู สีแดงเข้ม ผิวเรียบมัน ยาว 2.00 - 5.60 เซนติเมตร ติดกับอับเรณูแบบ versatile ที่จำแห่งซึ่งทำให้อัตราส่วนของอับเรณู ต้านหลังที่มีร่องต่อต้านที่ไม่มีร่องเท่ากับ 1.59 - 1.81 อับเรณู สีน้ำตาลอ่อนดำ โคลงอ ยาว 0.30 - 1.20 เซนติเมตร และแตกตามแนวยาว (แผนภาพที่ 4.9:๑) เมื่อใช้กล้องจุลทรรศน์ อิเลคตรอนแบบส่องกราดกำลังขยาย 1,500 เท่า พบร่วมกับอับเรณูมีลักษณะเป็นสันนูนขนาดเล็กๆกว้างประมาณ 3-4 ไมครอน เรียงเป็นแนวขนานกันหนาแน่น (แผนภาพที่ 4.9:๑) ในขณะที่ผิวผ่านชูอับเรณูมีลักษณะเป็นสันขนาดเล็กเรียงขนานตามแนวยาวอย่างหนาแน่น (แผนภาพที่ 4.9:๑) เกรสรเพสผู้ที่เป็นหมัน มี 2 อัน สีแดงหรือขาว ขนาดเล็กยาว 0.10 - 0.20 เซนติเมตร

เกรสรเพสเมีย ประกอบด้วย ยอดเกรสรเพสเมีย เป็นตุ่มกลมเด่นชัดสีน้ำตาล อมดำเนิน 0.15 - 0.20 เซนติเมตร เมื่อใช้กล้องจุลทรรศน์อิเลคตรอนแบบส่องกราดกำลังขยาย 1,000 เท่า พบร่วมกับอับเรณูมีลักษณะเป็นตุ่มขนาดเล็กปially โคลงมน กว้างประมาณ 35 - 40 ไมครอน (แผนภาพที่ 4.10:๑) ก้านเกรสรเพสเมีย สีแดงอมม่วง ยาว 1.20 - 3.50 เซนติเมตร มีขันแข็งเงยเส้น้ำตาลหรือสีขาวใสกระกระจายทั่วไป รังไข่ อยู่เหนือวงกลมขนาด 0.50 - 1.50 เซนติเมตรมีขันนูนยาวสีขาวใสและขันแข็งเงยเส้น้ำตาลหรือสีขาวใสปกคลุมหนาแน่นมาก ก้านชูเกรสรเพสเมีย สีแดงอมม่วงยาว 0.80 - 1.80 เซนติเมตร มีขันสีขาวใสและขันแข็งเงยเส้น้ำตาลหรือสีขาวใสประป้าย (แผนภาพที่ 4.10:๑) 悠久 มี 4-8 悠久 มีสีขาวอ่อน ผิวเรียบ มัน ติดกับผนังรังไน้ตามแนวตะเข็บ (แผนภาพที่ 4.10:๑) เมื่อใช้กล้องจุลทรรศน์อิเลคตรอนแบบส่องกราดกำลังขยาย 500 เท่า พบร่วมกับรังไน้มีตุ่มขนาดเล็กๆ จำนวนมากกระจายอยู่อย่างหนาแน่น (แผนภาพที่ 4.11:๑.๑)

ฝัก แบบ ไม่มีสัน ปลายแหลมเป็นจะงอยขนาด  $2.70 - 3.70 \times 11.00 - 22.00$  เซนติเมตร ขณะฝักยังอ่อนมีสีเขียวและมีขันสันสีน้ำตาลแดงปกคลุมทั่วไป เมื่อฝักแก่มีสีน้ำตาลเข้มและแตกออกตามแนวยาว (แผนภาพที่ 4.12:๑) เมล็ด ค่อนข้างกลมแบน สีน้ำตาล ขนาดเส้นผ่านศูนย์กลาง 1.50 - 1.70 เซนติเมตร จำนวน 1-8 เมล็ดต่อฝัก (แผนภาพที่ 4.12:๑) เมื่อใช้กล้องจุลทรรศน์อิเลคตรอนแบบส่องกราด กำลังขยาย 2,000 เท่า ศักษาลักษณะผิวฝักพบว่ามีขันสันๆและขันแข็งเงยปกคลุมประป้าย ผิวเมล็ดมีรูขณาจ 2.60 - 6.30 ไมครอน กระจายทั่วไป (แผนภาพที่ 4.12:๑)

ระยะเวลาอออกดอก	กันยายน ถึง กุมภาพันธ์
ระยะเวลาติดฝัก	ธันวาคม ถึง เมษายน
การกระจายพันธุ์ในต่างประเทศ	กัมพูชา มาเลเซีย

*Bauhinia pottsii* var. *mollissima* (Wall.ex Prain) K. & S.S. Larsen

*B. mollissima* [Wall. Cat. No.5782 nom. nud.] Prain, J. Asiat. Soc. Bengal. 66 : 180, 183, 185, 499, 502. 1890. Figure 1 : 9.

ชื่อพื้นเมือง ชงໂຄຕា  
ชื่ออื่นๆ ชงໂຄ, ชงໂຄປາ, ชงໂຄໄຟ

#### ลักษณะ

ลักษณะวิสัย เป็นไม้พุ่มหรือไม้กึ่งรอเลื้อยที่ไม่มีมือจับ มีความสูง 3 - 10 เมตร (แผนภาพที่ 4.1:①) กิ่งอ่อน มีสีเขียวอมน้ำตาลและมีขนสั้นนุ่มสีน้ำตาลปักคลุมทั่วไป ลำต้น มีสีน้ำตาลอ่อนเป็นสีขาวหรือน้ำตาลอมดำ เปลือก มีช่องอากาศขนาด 0.10-0.20 เซนติเมตร กระจายอยู่ทั่วไป (แผนภาพที่ 4.2:②-③)

ใบเดี่ยว เรียงสลับ มีรูปร่างแบบรูปไข่หรือค่อนข้างกลม ขนาด 8.70 -15.00 x 8.20 - 13.10 เซนติเมตร ปลายใบเว้าลึก 1.10 - 4.90 เซนติเมตรหรือประมาณ 1/3-1/2 ของความยาวใบ และแยกออกเป็น 2 แฉก ปลายแยกโคงมนห่างกัน 2.80 - 7.00 เซนติเมตร โคงใบเว้ารูปหัวใจ ขอบใบมีขนเล็กน้อย เส้นใบแตกออกจากโคงใบ 11 - 14 เส้น ปลายสุดของเส้นกลางใบยื่นเฉียงจากขอบใบเป็นเดิ่งแหลมเล็กน้อย 0.20 - 0.30 เซนติเมตร ในด้านบนมีสีเขียว หรือมีคิวทินปักคลุมเห็นเป็นสีขาวเด่นชัด (แผนภาพที่ 4.3:④-⑤) และมีขนสั้นสีขาวใสปักคลุม ประปราย มีขนแข็งเอนบ้างเล็กน้อย โคงใบมีขนสั้นสีน้ำตาลปักคลุมค่อนข้างหนาแน่น ใบด้านล่างเห็นเส้นใบชัดเจน มีขนสั้นสีขาวใสและขนแข็งเอนกระจายทั่วไปโดยเฉพาะบริเวณเส้นใบ มีขนหนาแน่นกว่าบริเวณอื่นๆ (แผนภาพที่ 4.4:⑥-⑦) โคงใบมีขนสีน้ำตาลและขนแข็งเอนสีน้ำตาลปักคลุมหนาแน่นกว่าบริเวณอื่นๆ ก้านใบ ยาวประมาณ 3.00 - 3.50 เซนติเมตร มีสีเขียวและมีขนสั้นสีน้ำตาลปักคลุมทั่วไป โดยหน้างหนาแน่นมากบริเวณโคงก้านใบ มีขนแข็งเอนประปรายทั่วทั้งก้านแต่ไม่หนาแน่นมากนัก หญ้าใบ มีสีเขียวยีนออกมา 2 คู่ คู่ที่อยู่ด้านในมี

ลักษณะเป็นเส้นเล็กๆ ผิวเรียบมัน คุ้งที่อยู่ด้านนอกคล้ายสามเหลี่ยมปลายเรียวแหลมและมีขันสันสีน้ำตาลปักกลุม

ดอก เป็นแบบช่อกระจะ ออกที่ปลายกิ่งหรือด้านข้างยาว 3 - 5 เซนติเมตร (แผนภาพที่ 4.5:๖) ก้านดอกยื่นยาว 0.90 – 1.30 เซนติเมตร มีขันสันสีขาวใสปักกลุม ในประดับและใบประดับยื่น รูปร่างคล้ายสามเหลี่ยมปลายเรียวแหลม ยาว 0.20 – 0.50 เซนติเมตร มีขันสีขาวใสปักกลุม ดอกตูม สีเขียวรูปร่างคล้ายทรงกระบอกปลายเรียวแหลม ยาว 2.20 – 4.80 เซนติเมตร มีขันสันสีขาวใสและขันแข็งเอนสีขาวใสหรือสีน้ำตาลปักกลุม หนาแน่น ช่อดอกแต่ละช่อประกอบด้วยดอกตูม 2 – 7 朵 (แผนภาพที่ 4.5:๖ และแผนภาพที่ 4.6:๓-๓) ฐานดอก มีสีเขียว รูปร่างคล้ายทรงกระบอกยาว 1.80 – 4.00 เซนติเมตร มีขันสันสีขาวใสและขันแข็งเอนสีขาวใสหรือสีน้ำตาลประปา กลีบเลี้ยง แยกออกจากกันเป็น 2 – 5 ส่วน ยาว 3.40 – 6.10 เซนติเมตร ผิวด้านนอกสีเขียว มีขันสันสีขาวใสและขันแข็งเอนสีขาวใสหรือสีน้ำตาลปักกลุมหนาแน่น โดยเฉพาะตรงซอกมีขันหนาแน่นมากกว่าบริเวณอื่น ผิวด้านในเรียบ สีขาวหรือเขียวอ่อน มีขันสันสีขาวประปา เซลล์มีรูปร่างหลายเหลี่ยมเรียงไม่เป็นระเบียบ (แผนภาพที่ 4.7:๓-๓) กลีบดอก มี 5 กลีบ รูปช้อน (*spatheula*) สีแดง ขอบหยักสีขาวหรือขาวอมเหลือง ขนาด 0.60 – 2.30 x 2.70 – 5.00, 1.20 – 2.80 x 2.90 – 5.50, 0.90 – 2.20 x 2.30 – 5.30, 0.50 – 1.70 x 2.50 – 4.40 และ 0.50 – 1.70 x 2.50 – 4.60 ตามลำดับ โดยมีเต้มสีเหลืองกลางกลีบที่ 2 ซึ่งเป็นกลีบที่มีขนาดใหญ่ที่สุด ผิวกลีบดอกด้านบนเรียบไม่มีขันผิวด้านล่างมีขันสีขาวใสกระจายเล็กน้อยจากพับขันแข็งเอนสีขาวใสบังประปา เมื่อใช้กล้องจุลทรรศน์อิเลคตรอนแบบส่องการดักจำลังขยาย 5,000 เท่า และ 7,500 เท่า พบร่องผิวกลีบดอกประกอบด้วยเซลล์ที่มีสันนูน ขนาด 0.50 ไมครอน เรียกเป็นแนวยาวนานกัน (แผนภาพที่ 4.8:๓-๓) ก้านกลีบดอก สีเขียวอ่อน ตรงโคนสีม่วงแดง ยาว 1.30 – 3.70 เซนติเมตร ผิวด้านในมีขันสีขาวใสปักกลุมทั่วไป

เกรสรเพสผู้ที่สมบูรณ์ มี 3 อัน ก้านชูอันเรณู สีเขียวอ่อน ตรงโคนสีแดงอมม่วง ผิวเรียบมันไม่มีขัน ยาว 2.20 – 5.80 เซนติเมตร ติดกับอันเรณูแบบ *versatile* ที่ทำแห่งนั่งซึ่งทำให้อัดราส่วนของอันเรณูด้านที่มีร่องต่อด้านที่ไม่มีร่องเท่ากัน 0.70 – 0.88 อันเรณู ค่อนข้างตรงสีเขียวอ่อน ยาว 1.00 – 1.90 เซนติเมตร และแตกตามแนวยาว (แผนภาพที่ 4.9:๒) เมื่อใช้กล้องจุลทรรศน์อิเลคตรอนแบบส่องการดักจำลังขยาย 1,500 เท่า พบร่องผิวอันเรณูมีลักษณะเป็นตุ่มนูนคล้ายภูเขาปลายมนและมีสันนูนขนาด 1.30 ไมครอน ตามแนวยาวเล็กน้อย (แผนภาพที่ 4.9:๒) ในขณะที่ผิว ก้านชูอันเรณูมีลักษณะเป็นสันนานกันตามแนวยาว มีร่อง

ระหว่างแต่ละสัน gwang 6.60 ไมโครน (แผนภาพที่ 4.9:๑) เกสรเพศผู้ที่เป็นหมัน มี 2 อัน สีเขียวอ่อนหรือสีขาว ขนาดเล็กกว่า 0.10 - 0.20 เซนติเมตร

เกสรเพศเมีย ประกอบด้วย ยอดเกสรเพศเมีย มีลักษณะเป็นคุ่มเล็กๆเห็นไม่เด่นชัด มีสีเขียวหรือน้ำตาลอมดำ เมื่อใช้กล้องจุลทรรศน์อิเลคตรอนแบบส่องการดักลังขยาย 1,000 เท่า พบร่วมมีลักษณะเป็นคุ่มค่อนข้างยาวปลายแหลมมน กว้างประมาณ 20 ไมโครน (แผนภาพที่ 4.10:๑) ก้านเกสรเพศเมีย มีสีเขียวอ่อน ยาว 1.60 – 3.30 เซนติเมตร มีขนสั้นสีขาวใสและขันแข็งเนื้อปกคลุมทั่วไป รังไข่อยู่เหนือวงกลีบ มีสีเขียวอ่อน ยาว 0.70 – 1.90 เซนติเมตร มีร่องตรงกลางตามแนวยาวเด่นชัด ปกคลุมด้วยขนสั้นสีขาวใสและขันแข็ง เนื้อสีขาวใสหรือสีน้ำตาลหนาแน่น ก้านชูเกสรเพศเมีย มีสีเขียวอ่อน ยาว 1.20 – 2.60 เซนติเมตร มีขนสั้นสีขาวใสและขันแข็งเนื้อกระเจาทั่วไป (แผนภาพที่ 4.10:๑) ออวุล มีสีเขียวอ่อน ผิวเรียบมัน จำนวน 3-6 ออวุล ติดอยู่ที่ผนังรังไข่ตามแนวตะเข็บ (แผนภาพที่ 4.10:๑) เมื่อใช้กล้องจุลทรรศน์อิเลคตรอนแบบส่องการดักลังขยาย 1,000 เท่า พบร่วมนนรังไข่มีผิวเรียบพบรดุนนุนขนาดเล็กๆน้อยมาก (แผนภาพที่ 4.11:๑-๑)

ฝัก แบบ มีสันตามแนวยาวเด่นชัด ปลายแหลมเป็นจะอย ขนาด 2.50 – 2.60 x 12.00 – 16.00 เซนติเมตร ขณะฝักยังอ่อนมีสีเขียวและมีขนสั้นสีขาวใสปกคลุม เมื่อฝักแก่มีสีน้ำตาลเข้มและแตกออกตามแนวยาว (แผนภาพที่ 4.12:๑) เมล็ด รูปร่างค่อนข้างกลม แบบ สีน้ำตาล ขนาดเส้นผ่านศูนย์กลาง 1.50 – 1.70 เซนติเมตร จำนวน 1-5 เมล็ดต่อฝัก (แผนภาพที่ 4.12:๑) เมื่อใช้กล้องจุลทรรศน์อิเลคตรอนแบบส่องการดักลังขยาย 2,000 เท่า ศักษาลักษณะผิวฝักพบว่ามีขนสั้นๆและขันแข็งเนื้อปกคลุมทั่วไป ผิวเมล็ดมีรูพรุขนาดเล็กๆ ประมาณ 2.00 – 2.50 ไมโครน กระจายทั่วไป (แผนภาพที่ 4.12:๑)

ระยะเวลาออดอกอก

ตุลาคม ถึง กุมภาพันธ์

ระยะเวลาติดฝัก

มกราคม ถึง เมษายน

การกระจายพันธุ์ในต่างประเทศ

มาเลเซีย

*Bauhinia pottsii* var. *velutina* (Wall. ex Benth.) K. & S.S. Larsen

*Phanera velutina* Benth. in Miq., Pl. Jungh. : 262. 1852.

*B. velutina* [Wall. ex] Bak. in Hook. f., Fl. Br. Ind. 2 : 280. 1878; Fischer, Kew Bull. 1927 : 87. Figure 1 : 10-13.

ชื่อพื้นเมือง ชงโคคำ

ชื่ออื่นๆ ชงโค, ชงโคป่า, ชงโคไฟ

#### ลักษณะ

ลักษณะวิสัย เป็นไม้พุ่มหรือไม้กึ่งรอเลื้อยที่ไม่มีเมือจับ มีความสูง 3-10 เมตร (แผนภาพที่ 4.1:①) กิ่งอ่อน มีสีเขียวอมน้ำตาลและมีขันสันนุ่มสีน้ำตาลปักคลุมทั่วไป ลำต้น มีสีน้ำตาลอ่อนเขียวหรือน้ำตาลอ่อนด้ำ เป็นลักษณะของอากาศ 0.10 – 0.20 เซนติเมตร กระจายอยู่ทั่วไป (แผนภาพที่ 4.2:②-③)

ใบเดี่ยว เรียงสลับ มีรูปร่างแบบรูปไข่หรือค่อนข้างกลม ขนาด 8.20 – 18.00 x 7.50 – 15.40 เซนติเมตร ปลายใบเว้าลึก 2.20 – 5.10 เซนติเมตร หรือประมาณ 1/3-1/2 ของความยาวใบและแยกออกเป็น 2 แฉก ปลายแยกโคงมนห่างกัน 3.50 – 8.00 เซนติเมตร โคนใบเว้ารูปหัวใจ ขอบใบมีนูนเล็กน้อย เส้นใบแตกออกจากโคนใบ 9 – 11 เส้น ปลายสุดของเส้นกลางใบยื่นออกจากขอบใบเป็นดึงแหลมเล็กน้อย 0.20 – 0.30 เซนติเมตร ในด้านบนมีสีเขียวหรือมีคราบปักคลุมเห็นเป็นสีขาวเด่นชัด (แผนภาพที่ 4.3:④-⑤) มีขันสันสีขาวใสปักคลุมทั่วไป มีขันแข็งเอนเล็กน้อย โคนใบมีสีเขียวอมน้ำตาล มีขันสันสีน้ำตาลปักคลุมหนาแน่นกว่าบริเวณอื่นๆ ในด้านล่างเห็นเส้นใบชัดเจน มีขันสันสีขาวใสและขันแข็งเอนกระจายทั่วไปโดยเฉพาะบริเวณเส้นใบ และโคนใบมีขันหนาแน่นกว่าบริเวณอื่นๆ (แผนภาพที่ 4.4:⑥-⑦) ก้านใบยาวประมาณ 3.10 – 3.50 เซนติเมตร มีสีเขียว มีขันสันสีขาวใสและขันแข็งเอนสีขาวปักคลุมปานกลาง โคนก้านใบมีสีน้ำตาล มีขันสันสีน้ำตาลปักคลุมหนาแน่น หูใบมีสีเขียวยื่นออกมา 2 คู่ คู่ที่อยู่ด้านในมีลักษณะเป็นเส้นเล็กๆ ผิวเรียบมัน คู่ที่อยู่ด้านนอกคล้ายสามเหลี่ยมปลายเรียวแหลมและมีขันสันสีน้ำตาลปักคลุม

ดอก เป็นแบบช่อกระจะ ออกที่ปลายกิ่งหรือด้านข้างยาว 3 – 6 เซนติเมตร (แผนภาพที่ 4.5:⑧) ก้านดอกย่อย ยาว 0.80 – 1.20 เซนติเมตร มีขันสันสีขาวใสปักคลุมในประดับและในประดับย่อย รูปร่างคล้ายสามเหลี่ยมปลายเรียวแหลม ยาว 0.20 – 0.50 เซนติเมตร มีขันสีขาวใสปักคลุม ตอกดูม มีสีเขียว รูปร่างคล้ายระบบอง ยาว 2.10 – 4.60

เซนติเมตร ส่วนปลายมีสัน 5 สันเด่นชัด มีขันสันสีขาวใสและขันแข็งเงินสีขาวใสปักกลุ่มหนา แน่น ช่องอกแต่ละช่องประกอบด้วยดอกคูม 3 – 17 ดอก (แผนภาพที่ 4.5:⑦ และแผนภาพที่ 4.6:⑦-⑧) ฐานดอก มีสีเขียวรูปร่างคล้ายทรงกระบอก ยาว 1.60 – 4.00 เซนติเมตร มีขันสันสีขาวใสและขันแข็งเงินสีขาวใสหรือสีน้ำตาลประปาอย กลีบเลี้ยง แยกออกจากกันเป็น 2 – 5 ส่วน ยาว 3.80 – 5.00 เซนติเมตร ผิวด้านนอกมีสีเขียว มีขันสันสีขาวใสและขันแข็งเงินสีขาวใสหรือสีน้ำตาลปักกลุ่มทั่วไป โดยเฉพาะตรงซอกมีขันหนาแน่นกว่าบริเวณอื่นๆ ผิวด้านในเรียบ สีขาวหรือสีเขียวอ่อน ประกอบด้วยเซลล์มีรูปร่างหลายเหลี่ยมเรียงไม่เป็นระเบียบ มีขันสันขาวใสกระจายทั่วไป (แผนภาพที่ 4.7:⑦-⑧) กลีบดอก มี 5 กลีบ รูปช้อน สีแดง ขอบหยักสีขาวหรือขาวอมเหลือง ขนาด  $0.60 - 1.80 \times 2.80 - 4.00$ ,  $1.30 - 2.90 \times 2.80 - 4.30$ ,  $0.60 - 1.90 \times 2.80 - 4.00$ ,  $0.40 - 1.30 \times 2.50 - 4.00$  และ  $0.40 - 1.30 \times 2.20 - 4.00$  ตามลำดับ โดยมีเต้มสีเหลืองกลางกลีบที่ 2 ซึ่งเป็นกลีบที่มีขนาดใหญ่ที่สุด ผิวกลีบดอกด้านบนเรียบไม่มีขัน ผิวด้านล่างมีขันสีขาวใสกระจายทั่วไป พบนขันแข็งเงินบ้างเล็กน้อย เมื่อใช้กล้องจุลทรรศน์อิเลคตรอนแบบส่องการดู ก่ำลังขยาย  $5,000$  เท่า และ  $7,500$  เท่า พบร่องผิวกลีบดอกประกอบด้วยเซลล์ที่มีสันนูนคงดองขนาด  $0.30$  ไมครอน เรียงกันอย่างหนาแน่น (แผนภาพที่ 4.8:⑦-⑧) ก้านกลีบดอก สีเขียวอ่อน ตรงโคนสีม่วงแดง ยาว  $1.50 - 3.20$  เซนติเมตร ผิวด้านในมีขันสีขาวใสปักกลุ่มค่อนข้างมาก

เกรสรเพคผู้ที่สมบูรณ์ มี 3 อัน ก้านชูอับเรณู สีเขียวอ่อน โคนสีแดงอมม่วง ผิวเรียบมันไม่มีขัน ยาว  $2.80 - 5.10$  เซนติเมตร ติดกับอันเรณูแบบ versatile ที่ตำแหน่งซึ่งทำให้อัตราส่วนของอับเรณูต้านที่มีร่องต่อต้านที่ไม่มีร่องเท่ากัน  $0.70 - 0.80$  อับเรณู ค่อนข้างตรง สีเขียวอ่อน ยาว  $0.90 - 1.50$  เซนติเมตร และเดกตามแนวยาว (แผนภาพที่ 4.9:⑩) เมื่อใช้กล้องจุลทรรศน์อิเลคตรอนแบบส่องการดูก่ำลังขยาย  $1,500$  เท่า ศึกษาผิวอับเรณูพบว่า มีลักษณะเป็นคุ่มนูนคล้ายภูเขาปลายนนและมีสันนูนขนาด  $1.30$  ไมครอนตามแนวยาวเพียงเล็กน้อย (แผนภาพที่ 4.9:⑩) ในขณะที่ผิวก้านชูอับเรณูมีลักษณะเป็นสันตามแนวยาวมีร่องระหว่างสันแต่ละสันกว้าง  $6 - 7$  ไมครอน (แผนภาพที่ 4.9:⑩) เกรสรเพคผู้ที่เป็นหมัน มี 2 อัน สีเขียวอ่อนหรือสีขาว ขนาดเล็ก ยาว  $0.10 - 0.20$  เซนติเมตร

เกรสรเพคเมีย ประกอบด้วย ยอดเกรสรเพคเมีย เป็นคุ่มนูนขนาดเล็กๆ เห็นไม่เด่นชัด มีสีเขียวหรือสีน้ำตาลอมดำ เมื่อใช้กล้องจุลทรรศน์อิเลคตรอนแบบส่องการดูก่ำลังขยาย  $1,000$  เท่า พบร่องมีลักษณะเป็นคุ่มปลายมน กว้างประมาณ  $30$  ไมครอน (แผนภาพที่ 4.10:⑩) ก้านเกรสรเพคเมีย สีเขียวอ่อนยาว  $1.10 - 3.30$  เซนติเมตร มีขันสันสีขาวใสและขันแข็งเงินปักกลุ่มทั่วไป รังไข่อยู่เหนือวงกลีบ มีสีเขียวอ่อน ยาว  $0.80 - 1.50$  เซนติเมตร มีร่องตรงกลางตามแนวยาวเด่นชัด ปักกลุ่มด้วยขันสันสีขาวใสและขันแข็งเงินสีขาวใสหรือสีน้ำตาล

หนาแน่น ก้านชูเกสรเพศเมีย มีสีเขียวอ่อนยาว 1.00 – 2.10 เซนติเมตร มีขันสันสีขาวใส และขันแข็งเอนกระเจาทั่วไป (แผนภาพที่ 4.10:๑) ออวุล มีสีเขียวอ่อน ผิวเรียบมัน จำนวน 1-6 ออวุล ติดอยู่ที่ผนังรังไกตามแนวระดับ (แผนภาพที่ 4.10:๒) เมื่อใช้กล้องจุลทรรศน์ อิเลคตรอนแบบส่องการดักกำลังขยาย 1,000 เท่า พบร่องบนรังไกมีตุ่มนูนขนาดเล็กปักคลุม ทั่วไป (แผนภาพที่ 4.11:๗-๘)

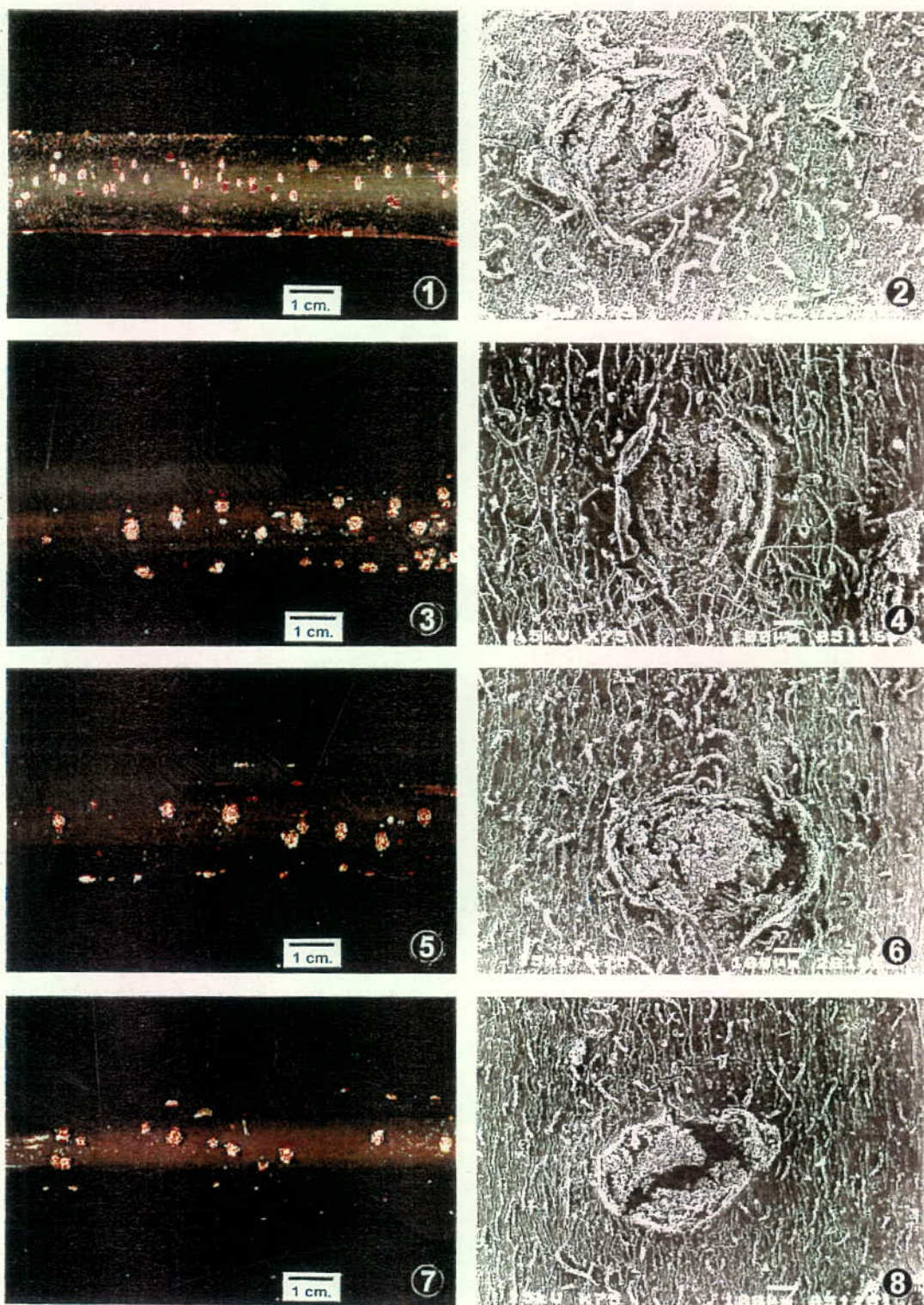
ฝัก แบบ มีสันตามแนวยาวเด่นชัด ปลายแหลมเป็นจะอย ขนาด 2.50 – 3.00 x 12.00 – 18.50 เซนติเมตร ขณะฝักยังอ่อนมีสีเขียวและมีขันสันสีขาวใส ปักคลุมทั่วไป เมื่อฝักแก่มีสีน้ำตาลเข้มและแตกออกความยาว(แผนภาพที่ 4.12:๑) เมล็ด มีรูปร่างค่อนข้างกลม แบบ สีน้ำตาล ขนาดเส้นผ่านศูนย์กลาง 1.50 – 1.70 เซนติเมตร จำนวน 1 – 5 เมล็ดต่อฝัก (แผนภาพที่ 4.12:๒) เมื่อใช้กล้องจุลทรรศน์อิเลคตรอนแบบส่องการดักกำลังขยาย 2,000 เท่า ศึกษาลักษณะผิวฝักพบว่ามีขันสันๆและขันแข็งเอนปักคลุมทั่วไป ผิวเมล็ดมีรูพรุนขนาดเล็กๆประมาณ 2.10 – 3.60 ไมครอนกระจายทั่วไป (แผนภาพที่ 4.12:๓)

ระยะเวลาอออกดอก	ตุลาคม ถึง กุมภาพันธ์
ระยะเวลาติดฝัก	มกราคม ถึง เมษายน
การกระจายพันธุ์ในต่างประเทศ	พม่า มาเลเซีย



แผนภาพที่ 4.1 แสดงแหล่งที่อยู่และลักษณะวิสัยของชงโคต้าในประเทศไทย

- |                                            |                                             |
|--------------------------------------------|---------------------------------------------|
| ① <i>B. pottsii</i> var. <i>pottsii</i>    | ② <i>B. pottsii</i> var. <i>subsessilis</i> |
| ③ <i>B. pottsii</i> var. <i>mollissima</i> | ④ <i>B. pottsii</i> var. <i>velutina</i>    |



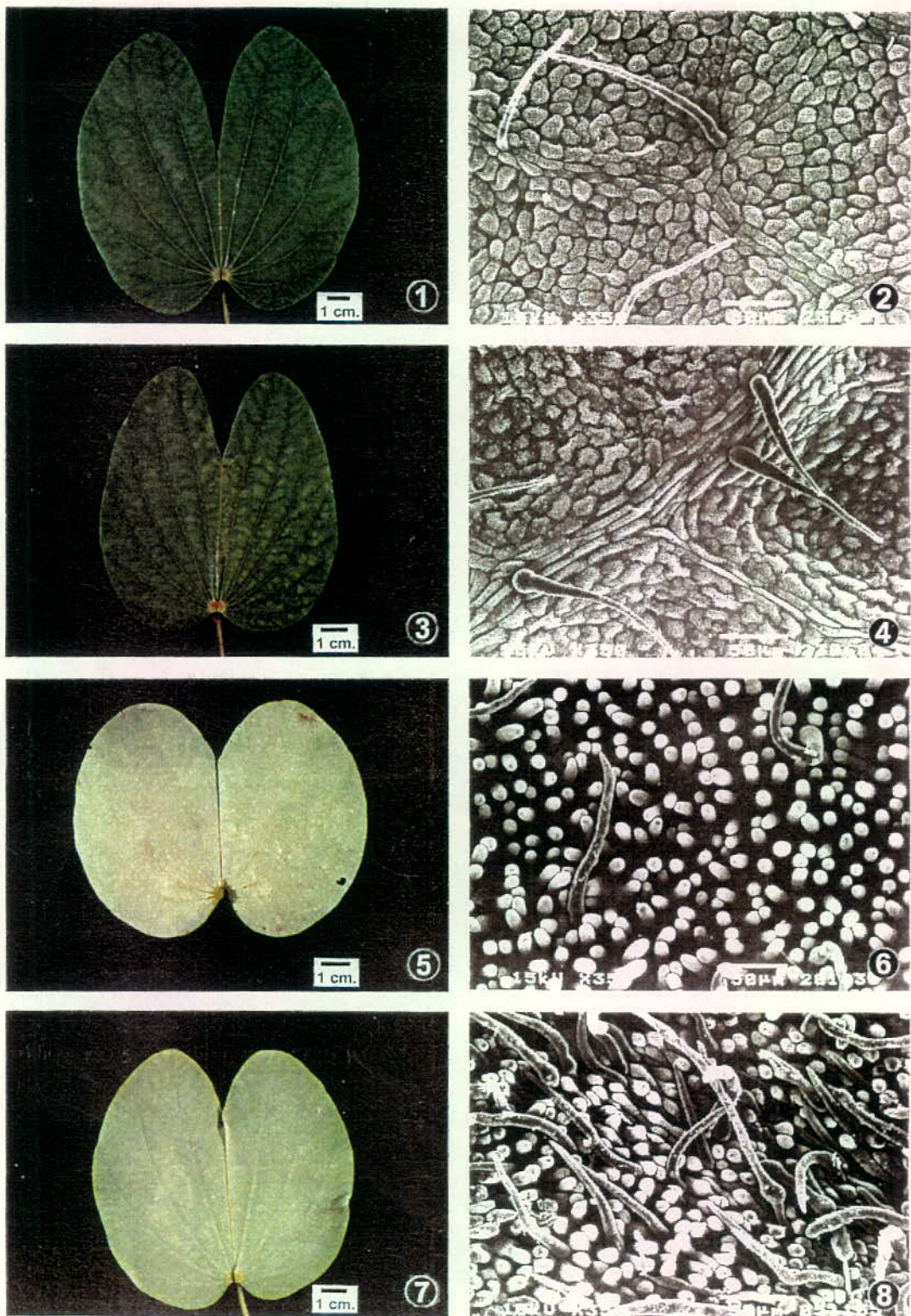
แผนภาพที่ 4.2 แสดงลักษณะกิ่ง (ข้าม) และซ่องอากาศบริเวณเปลือกของชังโภคดำเนื่องใช้กล้องจุลทรรศน์อิเลคทรอนแบบส่องกราด (ขวา)

① ② *B. pottsii* var. *pottsii*

⑤ ⑥ *B. pottsii* var. *mollissima*

③ ④ *B. pottsii* var. *subsessilis*

⑦ ⑧ *B. pottsii* var. *velutina*



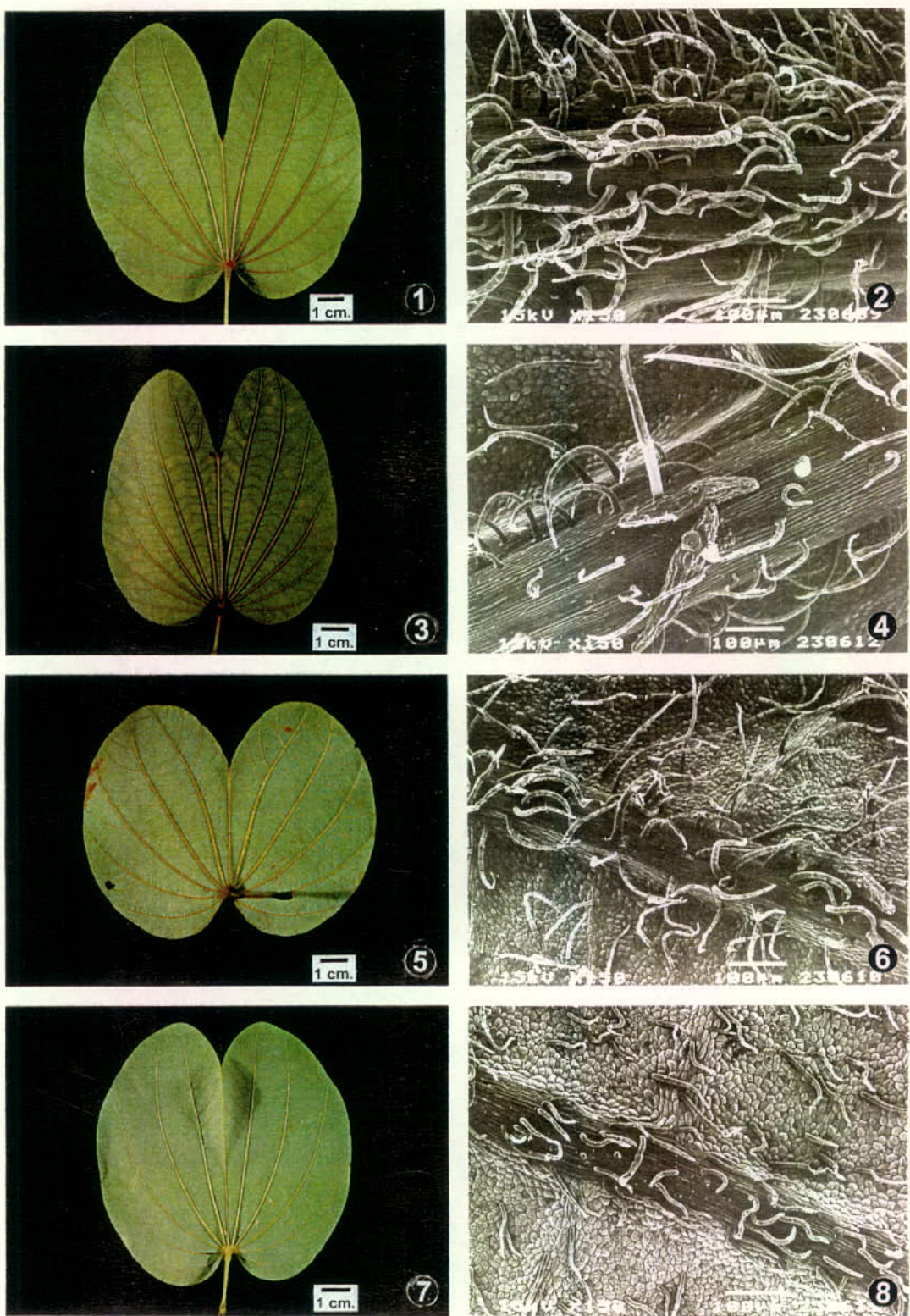
แผนภาพที่ 4.3 แสดงลักษณะใบ (ทั้ง) และขนในด้านบนของชงโคลดา  
เมื่อใช้กล้องจุลทรรศน์อิเลคตรอนแบบส่องการดู (ขวา)

① ② *B. pottsii* var. *pottsii*

③ ④ *B. pottsii* var. *subsessilis*

⑤ ⑥ *B. pottsii* var. *mollissima*

⑦ ⑧ *B. pottsii* var. *velutina*



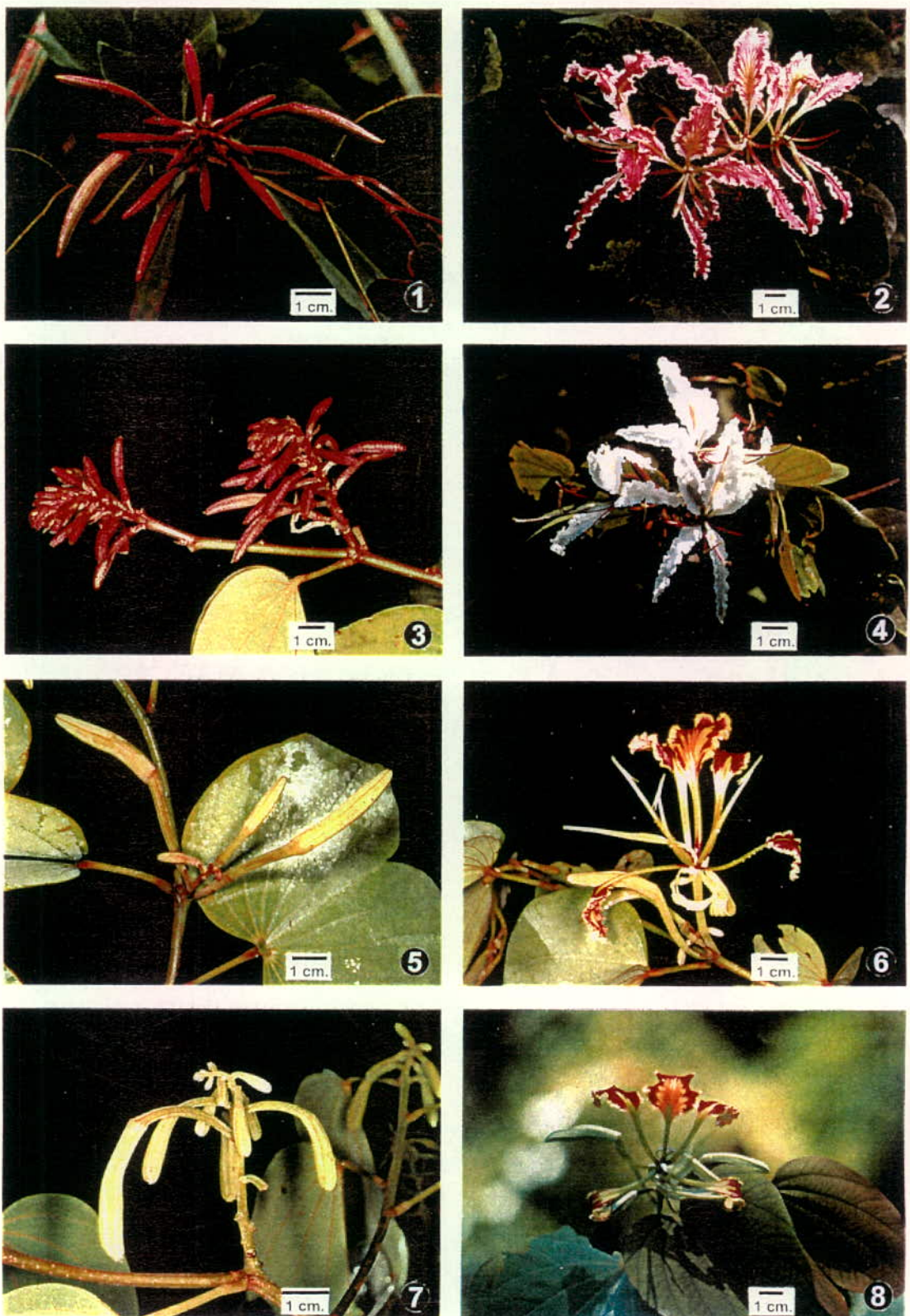
แผนภาพที่ 4.4 แสดงลักษณะใบ (ซ้าย) และข้อใบด้านล่างของชงโคลดำ  
เมื่อใช้กล้องจุลทรรศน์อิเลคตรอนแบบส่องการดู (ขวา)

① ② *B. pottsii* var. *pottsii*

③ ④ *B. pottsii* var. *subsessilis*

⑤ ⑥ *B. pottsii* var. *mollissima*

⑦ ⑧ *B. pottsii* var. *velutina*



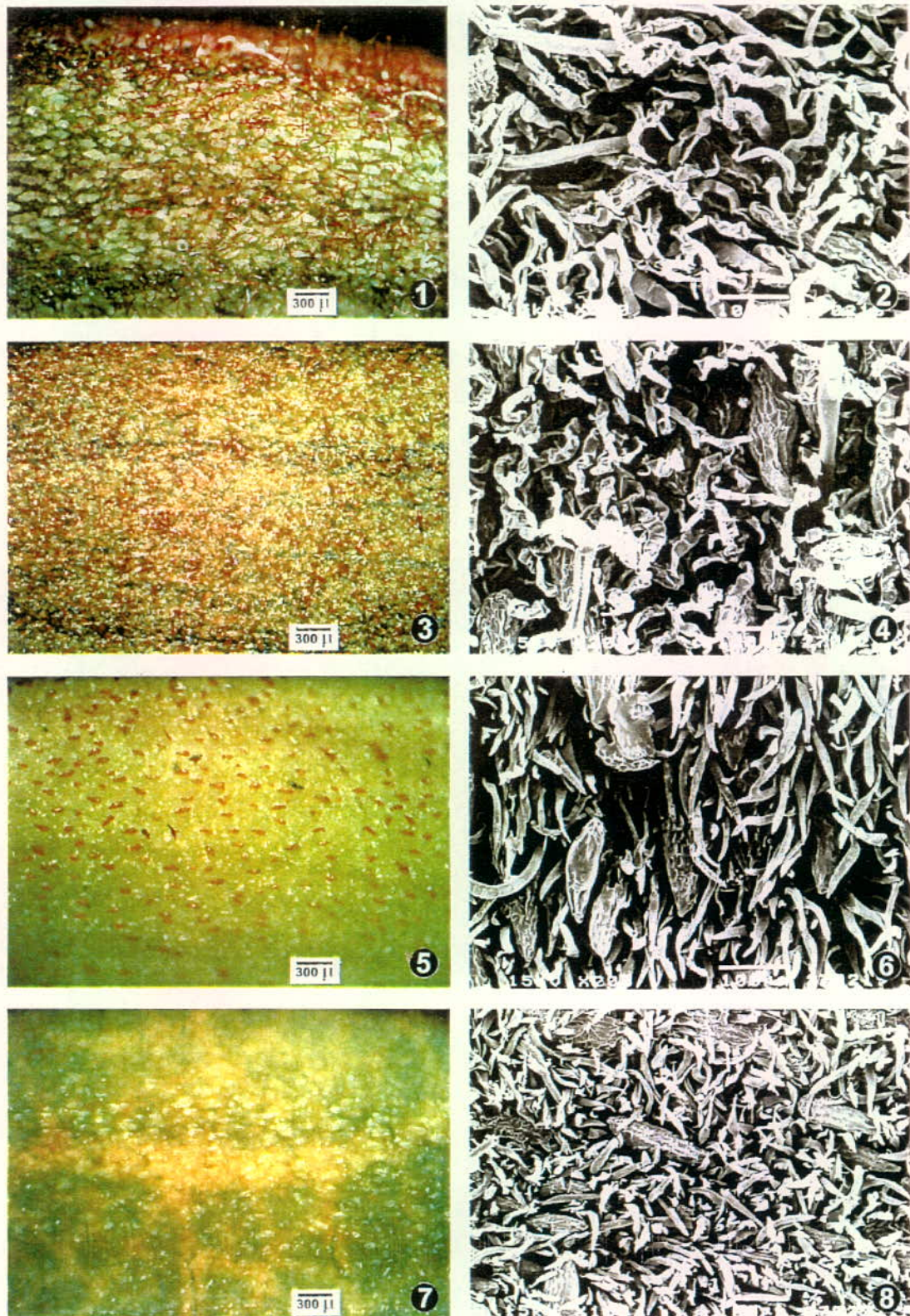
แผนภาพที่ 4.5 แสดงลักษณะดอกตูม (ซ้าย) และช่อดอก (ขวา) ของงาโคต้าในประเทศไทย

① ② *B. pottsii* var. *pottsii*

⑤ ⑥ *B. pottsii* var. *mollissima*

③ ④ *B. pottsii* var. *sessilis*

⑦ ⑧ *B. pottsii* var. *velutina*



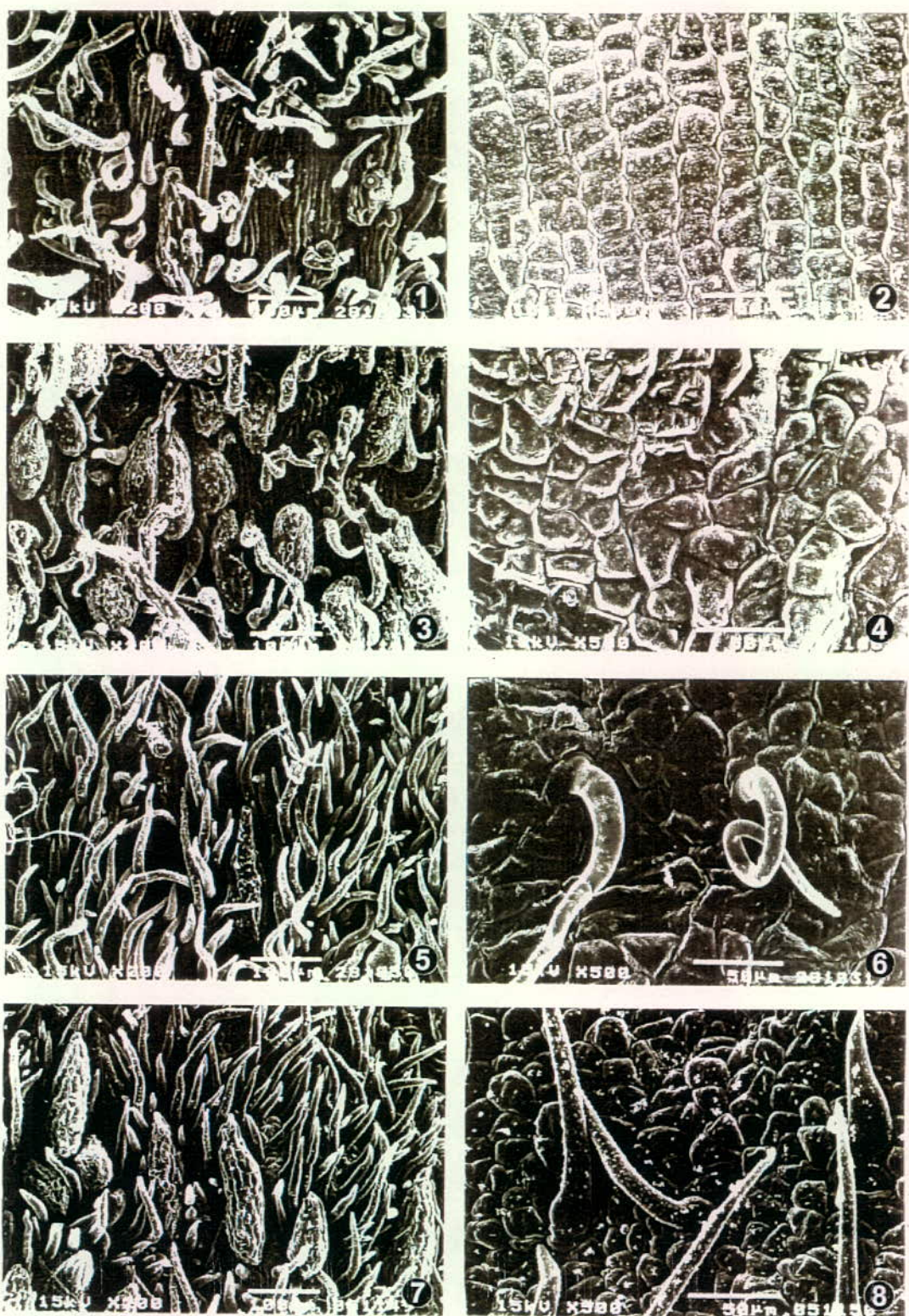
แผนภาพที่ 4.6 แสดงลักษณะใบและคอกูม่าคงทางโคล์เมร์คิ้วต์กับลักษณะจุลทรรศน์แบบสเดคริโภ (ซ้าย) และกล้องจุลทรรศน์คิเลคตรอนแบบส่องกล้อง (ขวา)

① ② *B. pottsii* var. *pottsii*

⑤ ⑥ *B. pottsii* var. *mollissima*

③ ④ *B. pottsii* var. *sessilis*

⑦ ⑧ *B. pottsii* var. *velutina*



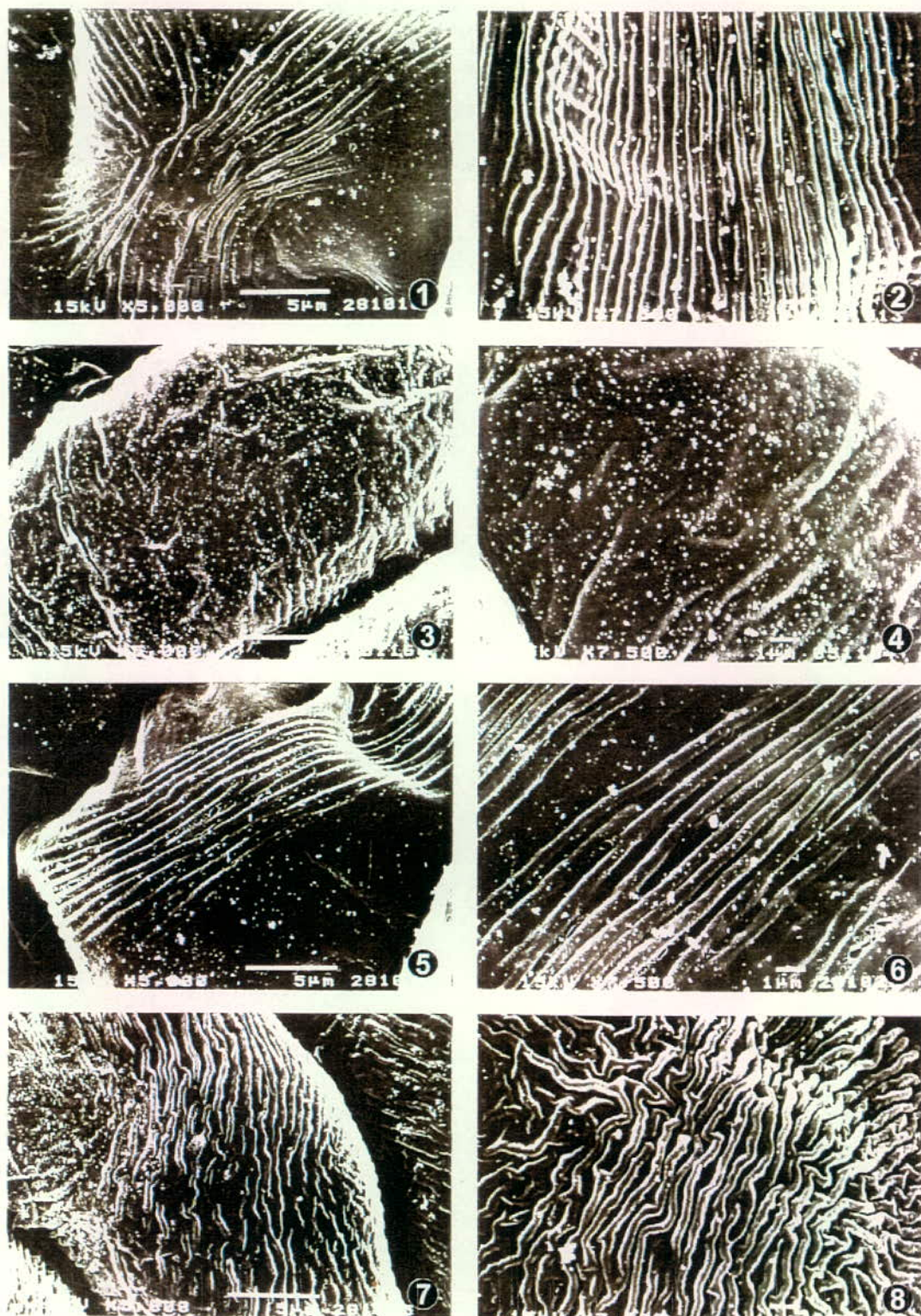
แผนภาพที่ 4.7 แสดงลักษณะนาโนเกิร์ด้านนอก (ซ้าย) และเกิร์ด้านใน (ขวา) ของกลีาเลี้ยง  
ชนิดต่างๆ ที่ใช้กล้องจุลทรรศน์อิเลคตรอนแบบส่องกราด

① ② *B. pottsii* var. *pottsii*

⑤ ⑥ *B. pottsii* var. *mollissima*

③ ④ *B. pottsii* var. *sessilis*

⑦ ⑧ *B. pottsii* var. *velutina*



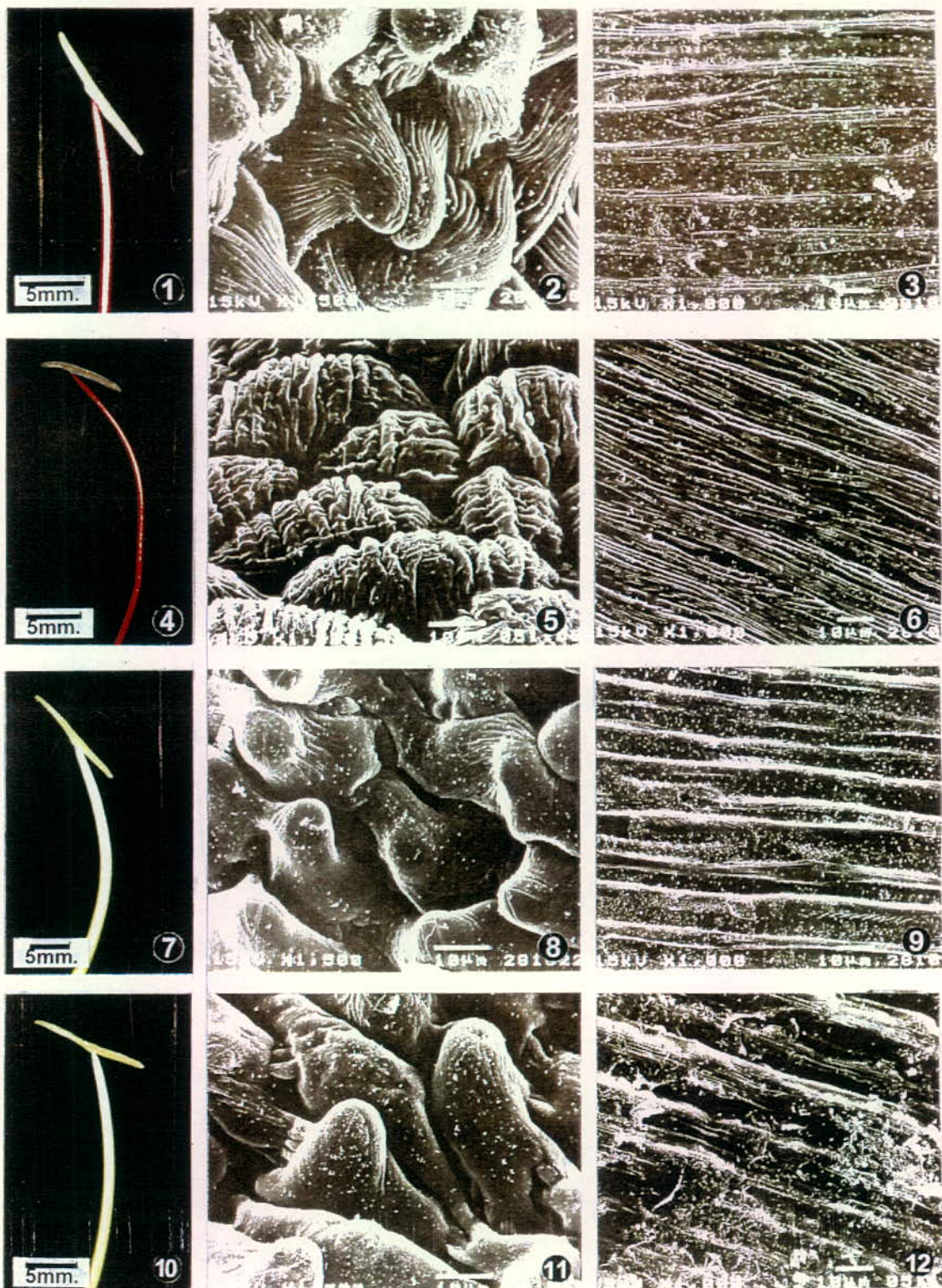
แผนภาพที่ 4.8 แสดงลักษณะผิวตัวเมือง (ซ้าย) และผิวตัวเมืองล่าง (ขวา) ของกลีบดอกของไคร้ต น้ำอี้ก้าวล่องจุลธรรมค่าโดยเฉลี่ยตามแบบส่องกล้อง

① ② *B. pottsii* var. *pottsii*

⑤ ⑥ *B. pottsii* var. *mollissima*

③ ④ *B. pottsii* var. *subsessilis*

⑦ ⑧ *B. pottsii* var. *velutina*



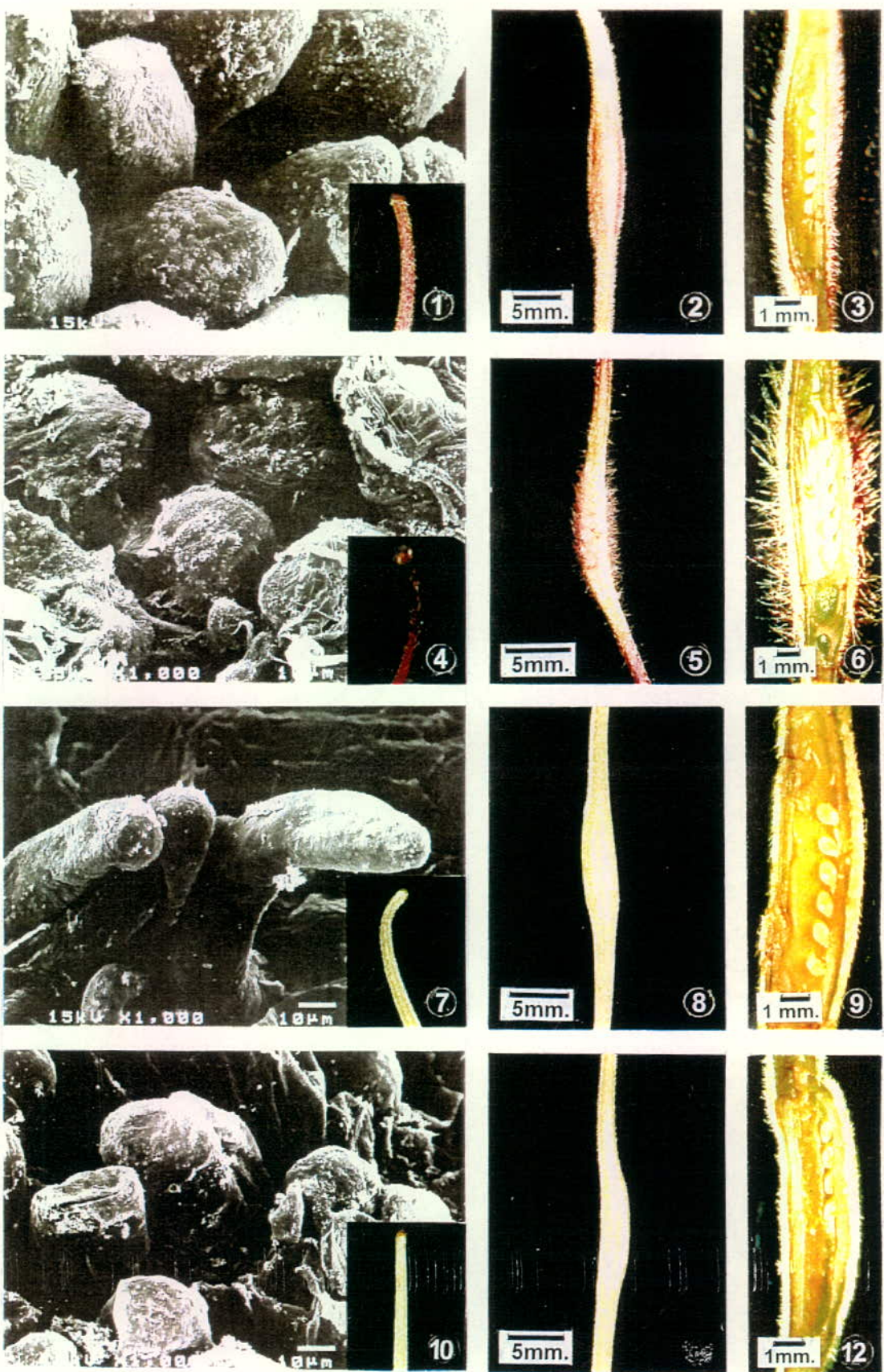
แผนภาพที่ 4.9 แสดงลักษณะทางบรรเพศพื้น (ซ้าย) มีวิคับเรณู (กลาง) และมีวิก้านชูคับเรณู (ขวา)  
ของทางโภคดำเนี๊กให้ก้าล่องจุลทรรศน์เลดตรอนแบบส่องกระดาด

① ② ③ *B. pottsii* var. *pottsii*

⑦ ⑧ ⑨ *B. pottsii* var. *mollissima*

④ ⑤ ⑥ *B. pottsii* var. *subsessilis*

⑩ ⑪ ⑫ *B. pottsii* var. *velutina*



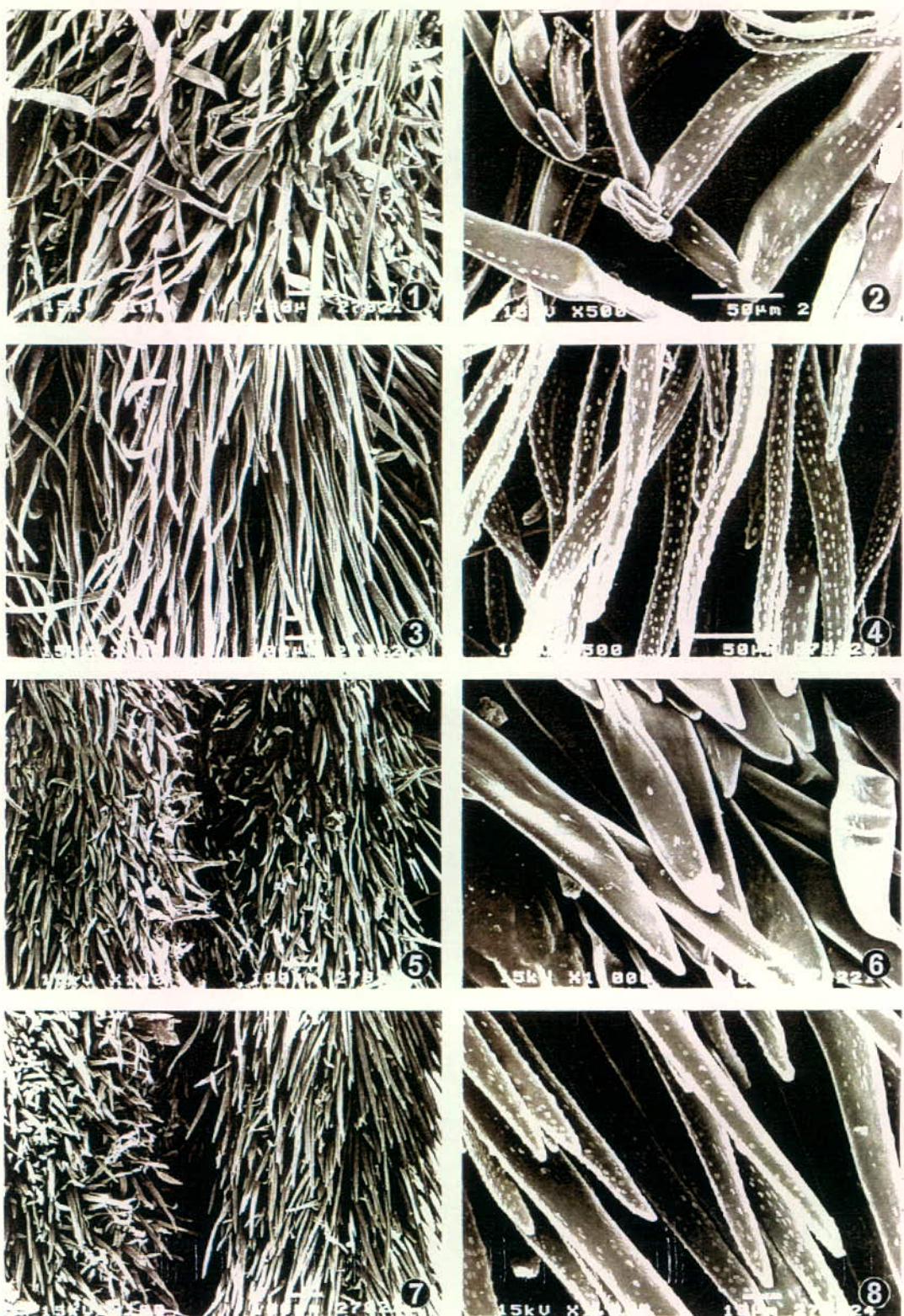
แผนภาพที่ 4.10 แสดงลักษณะของเกสรเพศเมียของงาจ้ำ เมื่อใช้กล้องจุลทรรศน์อิเลคตรอน  
แบบส่องกราด (ซ้าย) และรังไห (กลาง) กับกล้อง (ขวา) เมื่อใช้กล้องจุลทรรศน์  
แบบสเตเดริโอ

① ② ③ *B. pottsii* var. *pottsii*

⑦ ⑧ ⑨ *B. pottsii* var. *mollissima*

④ ⑤ ⑥ *B. pottsii* var. *subsessilis*

⑩ ⑪ ⑫ *B. pottsii* var. *velutina*



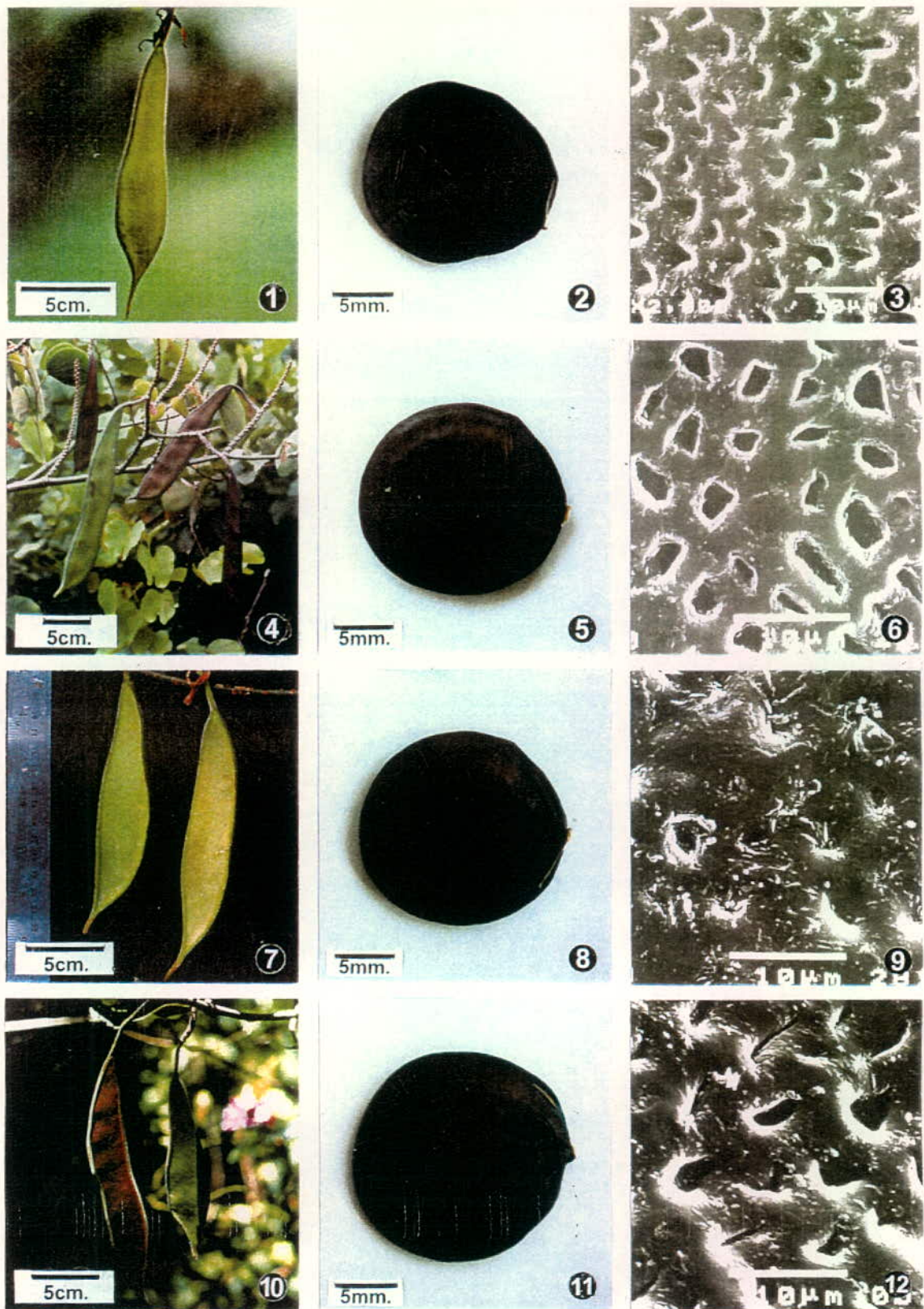
แผนภาพที่ 4.11 แสดงลักษณะบนหนังไข่ของชงโคคต้า เมื่อใช้กล้องจุลทรรศน์อิเลคตรอนแบบส่องการดู

① ② *B. pottsii* var. *pottsii*

⑤ ⑥ *B. pottsii* var. *mollissima*

③ ④ *B. pottsii* var. *subsessilis*

⑦ ⑧ *B. pottsii* var. *velutina*



ແພັນກາພົກ 4.12 ແສດງລັກພະເປົ້າ (ຫ້າຍ) ເນັດ (ກລາງ) ແລະ ດີວາຄອງເນັດທັງໂຄດຳເມື່ອໃຊ້  
ກລັກຈຸລາງວຽກຄົນໂຄເລຄຕຽກແນ່ງເກມສ່ວນກາຣັດ (ຈາວາ)

① ② ③ *B. pottsii* var. *pottsii*

⑦ ⑧ ⑨ *B. pottsii* var. *mollissima*

④ ⑤ ⑥ *B. pottsii* var. *sessilis*

⑩ ⑪ ⑫ *B. pottsii* var. *velutina*

## 4.2 การศึกษาลักษณะสัณฐานวิทยาของเรณูชงโคคำ

ผลการศึกษาลักษณะสัณฐานวิทยาของเรณูชงโคคำ 4 พันธุ์คือ *B. pottsii* var. *pottsii* ซึ่งเก็บรวบรวมจากจังหวัดนครศรีธรรมราชและจังหวัดปัตตานี รวม 100 ตัวอย่าง *B. pottsii* var. *subsessilis* เก็บรวบรวมจากจังหวัดระยอง ตราด และสุราษฎร์ธานี รวม 150 ตัวอย่าง *B. pottsii* var. *mollissima* เก็บรวบรวมจากจังหวัดตรังและพังงา รวม 100 ตัวอย่าง และ *B. pottsii* var. *velutina* เก็บรวบรวมจากจังหวัดระนองและชุมพร รวม 100 ตัวอย่าง (ตารางที่ 3.1) โดยใช้กล้องจุลทรรศน์เดอวิโอลและกล้องจุลทรรศน์อิเลคตรอนแบบส่องการดูสูปได้ดังนี้

### *B. pottsii* var. *pottsii* G. Don

รูปร่าง (shape class)	: ค่อนข้างกลมหรือคล้ายรูปไข่ (subspheroidal หรือ prolate spheroidal) มีสมมาตรแบบรัศมี (radial symmetry) อยู่รวมเป็นกลุ่มกลุ่มละ 4 เรณูเรียงตัวเป็นรูปพีระมิด (tetrahedral tetrad)
ขนาด (size)	: $tetrad = (97.00) - 126.66 - (148.00)$ ไมครอน $P = (49.00) - 63.59 - (74.00)$ ไมครอน $E = (51.00) - 58.67 - (82.00)$ ไมครอน $P/E = 0.86 - 1.25$
ช่องเปิด (aperture)	: มีข้าว (polarity) แบบ isopolar มีช่องเปิดแบบ 3 – colporate เรียงตามแนวศูนย์สูตร (equatorial aperture) มีความยาวประมาณ 1/3-1/2 ของความยาวเรณูแนว polar axis ความกว้างช่องเปิด = $(3.00) - 7.54 - (16.00)$ ไมครอน ความยาวช่องเปิด = $(26.00) - 48.93 - (67.00)$ ไมครอน
พื้นที่บริเวณข้าว (apocolpium)	: ขนาดกลางหรือขนาดใหญ่ = $(0.21) - 0.49 - (1.00)$ ไมครอน
ลวดลายผิว (ornamentation)	: แบบ perforate ขนาดประมาณ 0.50 – 1.00 ไมครอน ผิวช่องเปิดมี granule กระจายทั่วไป บริเวณฐานที่แต่ละเรณูเชื่อมติดกันมีตุ่มนูนขนาดใหญ่ (verrucae) 2 ตุ่มเด่นชัด

*B. pottsii* var. *subsessilis* (Craib) de Wit

รูปร่าง (shape class)	: รูปกลมแบน (oblate หรือ suboblate) มีสมมาตรแบบรัศมี อยู่รวมเป็นกลุ่ม กลุ่มละ 4 เรณู เรียงตัวเป็นรูปพีระมิด
ขนาด (size)	: tetrad = (97.00) – 117.40 – (133.00) ไมครอน $P = (49.00) - 58.83 - (68.00)$ ไมครอน $E = (54.00) - 68.62 - (82.00)$ ไมครอน $P/E = 0.60 - 0.95$
ช่องเปิด (aperture)	: มีข้าว แบบ isopolar มีช่องเปิดแบบ 3 – colporate ค่อนข้างสันประมาณ 1/5 -1/3 ของความยาวเรณูแนว polar axis เรียงตามแนวศูนย์สูตร ความกว้างช่องเปิด = (8.00) – 21.73 – (49.00) ไมครอน ความยาวช่องเปิด = (3.00) – 11.54 – (31.00) ไมครอน
พื้นที่บริเวณข้าว : (apocolpium)	ขนาดใหญ่มาก = (0.92) – 1.32 – (1.81) ไมครอน
ลวดลายผิว (ornamentation)	: แบบ perforate มีรูขนาดประมาณ 0.50 – 1.00 ไมครอน ผิวช่องเปิดมีดุ่ม granule จำนวนมากปกคลุมทั่วไป

*B. pottsii* var. *mollissima* (Wall. ex Prain) K. & S. S. Larsen

รูปร่าง (shape class)	: คล้ายรูปไข่ค่อนข้างรี (subprolate หรือ prolate spheroidal) มีสมมาตรแบบรัศมี อยู่รวมเป็นกลุ่ม กลุ่มละ 4 เรณู เรียงตัวเป็นรูปพีระมิด
ขนาด (size)	: tetrad = (92.00) – 114.70 – (128.00) ไมครอน $P = (46.00) - 57.50 - (64.00)$ ไมครอน $E = (50.00) - 55.65 - (64.00)$ ไมครอน $P/E = 0.85 - 1.20$
ช่องเปิด (aperture)	: มีข้าว แบบ isopolar มีช่องเปิดแบบ 3 – colporate เรียงตามแนวศูนย์สูตร ยาวประมาณ 3/5 - 4/5 ของความยาวเรณูแนว polar axis ความกว้างช่องเปิด = (3.00) – 8.89 – (16.00) ไมครอน

ความยาวช่องเปิด =  $(22.00) - 48.15 - (59.00)$  ไมครอน  
**พื้นที่บริเวณชัว :** ขนาดเล็กหรือขนาดกลาง =  $(0.14) - 0.32 - (0.60)$  ไมครอน  
 (apocolpium)

**ลวดลายผิว :** แบบ perforate มีรูขนาดประมาณ 0.50 – 1.00 ไมครอน  
 (ornamentation) ผิวช่องเปิดมี granule กระจายทั่วไป บริเวณฐานที่แต่ละเรณู  
 เชื่อมติดกัน มีคุณสมบัติใหญ่ (verrucae) 2 – 4 คุณเด่นชัด

***B. pottsii* var. *velutina* (Wall. ex Benth.) K. & S. S. Larsen**

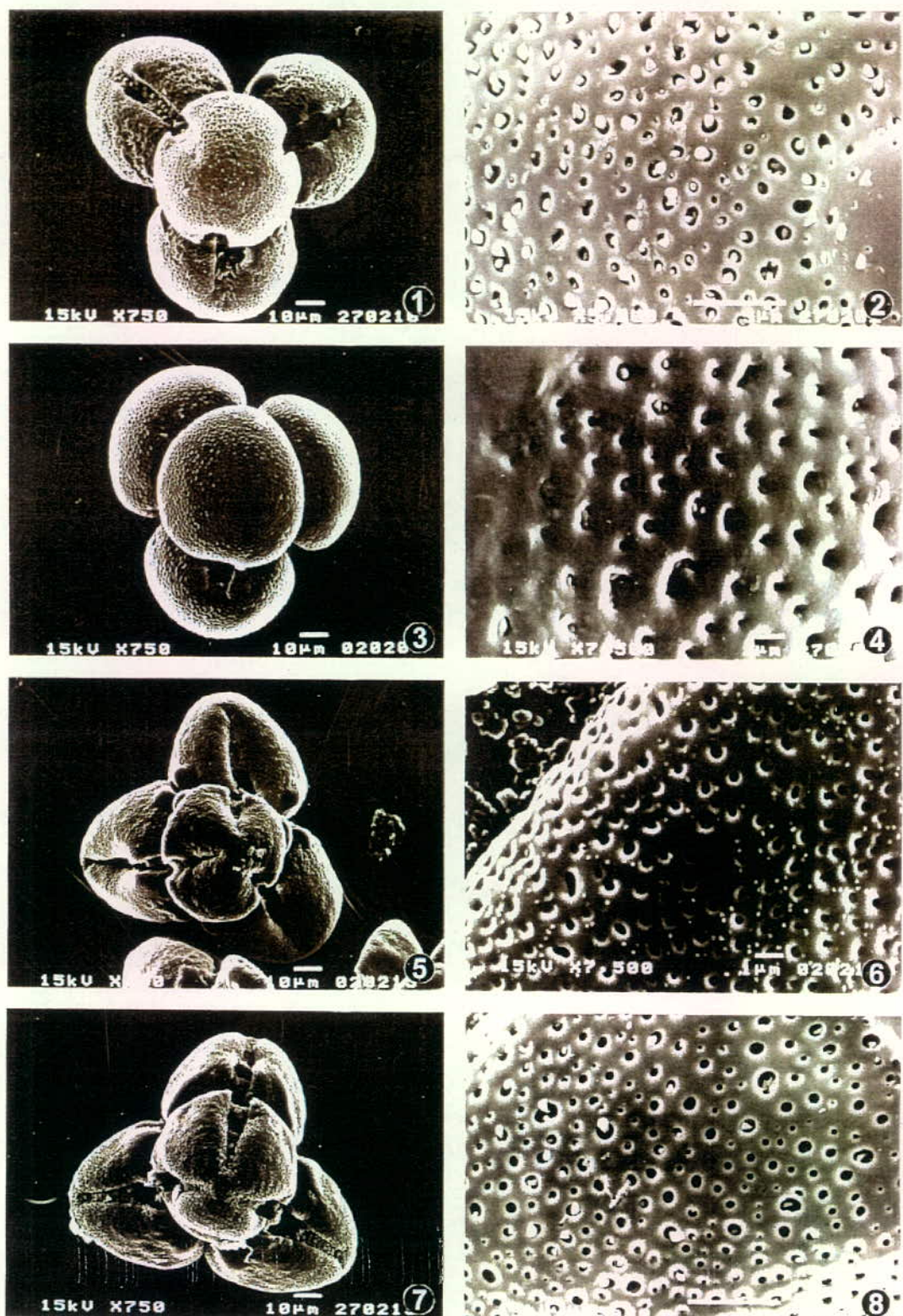
**รูปร่าง** : คล้ายรูปไข่ค่อนข้างรี (subprolate หรือ prolate spheroidal)  
 (shape class) มีสมมาตรแบบรัศมี อุจจารุมเป็นกลุ่ม กลุ่มละ 4 เรณู  
 เรียงตัวเป็นรูปพีระมิด

**ขนาด** : tetrad =  $(82.00) - 111.94 - (133.00)$  ไมครอน  
 (size) P =  $(41.00) - 56.12 - (67.00)$  ไมครอน  
 E =  $(42.00) - 53.51 - (68.00)$  ไมครอน  
 P/E = 0.80 - 1.20

**ช่องเปิด** : มีชัวแบบ isopolar  
 (aperture) มีช่องเปิดแบบ 3 – colporate เรียงตามแนวศูนย์สูตร  
 ยาวประมาณ 3/4 - 4/5 ของความยาวเรณูแนว polar axis  
 ความกว้างช่องเปิด =  $(3.00) - 8.65 - (15.00)$  ไมครอน  
 ความยาวช่องเปิด =  $(26.00) - 47.58 - (58.00)$  ไมครอน

**พื้นที่บริเวณชัว :** ขนาดเล็กหรือขนาดกลาง =  $(0.17) - 0.31 - (0.60)$  ไมครอน  
 (apocolpium)

**ลวดลายผิว :** แบบ perforate มีรูขนาดประมาณ 0.50 – 1.00 ไมครอน  
 (ornamentation) ผิวช่องเปิดมี granule กระจายทั่วไป บริเวณฐานที่แต่ละเรณู  
 เชื่อมติดกันมีคุณสมบัติใหญ่ (verrucae) 2 – 4 คุณเด่นชัด



แผนภาพที่ 4.13 แสตมป์รูปร่างลักษณะ (ซ้าย) และ ลวดลายภายนอก (ขวา) ของเรณูชนิดคำ  
เมื่อเทียบกับองค์การศึกษาและคุณภาพทางส่องกล้อง

❶ ❷ *B. pottsii* var. *pottsii*

❸ ❹ *B. pottsii* var. *mollissima*

❻ ❽ *B. pottsii* var. *subsessilis*

❺ ❻ *B. pottsii* var. *velutina*

### 4.3 การศึกษาแบบแผนไฮโซไซม์ของชงโคงคำ

การศึกษาแบบแผนไฮโซไซม์ 20 ระบบ (ตารางที่ 3.4) ของชงโคงคำที่พบในประเทศไทย 4 พันธุ์ คือ *B. pottsii* var. *pottsii*, *B. pottsii* var. *subsessilis*, *B. pottsii* var. *mollissima* และ *B. pottsii* var. *velutina* พันธุ์ละ 30 ด้าวย่าง รวมทั้งสิ้น 120 ด้าวย่าง ด้วยเทคนิค polyacrylamide gel electrophoresis พบรักษาแบบแผนไฮโซไซม์ที่เป็น polymorphism ของไฮโซไซม์ 6 ระบบ ดังนี้

#### 4.3.1 แบบแผนไฮโซไซม์ acid phosphatase (ACP)

การศึกษาแบบแผนไฮโซไซม์ acid phosphatase ของชงโคงคำ 4 พันธุ์ ด้วยวิธี polyacrylamide gel electrophoresis โดยใช้ stacking gel 5% separating gel 7.5% สารสกัดไฮโซไซม์ซึ่งใช้ extraction buffer สูตร 1 (ตารางที่ 3.3) ปริมาตร 5 มิลลิลิตร และย้อมสีจำเพาะไฮโซไซม์ตามแนว Tanksley และ Orton (1983) พบร่วงประภูมิแบบไฮโซไซม์ 2 แบบ คือ ACP 1 และ ACP 2 มีค่า Rf เท่ากับ 0.60 และ 0.65 ตามลำดับ โดย *B. pottsii* var. *pottsii* กับ *B. pottsii* var. *subsessilis* มีเฉพาะแคนบไฮโซไซม์ ACP 2 เพียงแคนเดียวเหมือนกัน ในขณะที่ *B. pottsii* var. *mollissima* กับ *B. pottsii* var. *velutina* ก็มีเฉพาะแคนบไฮโซไซม์ ACP 1 เพียงแคนเดียวเช่นกัน (แผนภาพที่ 4.14) ดังนั้นแบบแผนไฮโซไซม์ acid phosphatase จึงแสดงให้เห็นว่า *B. pottsii* var. *pottsii* และ *B. pottsii* var. *subsessilis* มีความสัมพันธ์ใกล้ชิดกันและมีความแตกต่างจาก *B. pottsii* var. *mollissima* และ *B. pottsii* var. *velutina* ซึ่งมีความสัมพันธ์ใกล้ชิดกันเช่นเดียวกัน

#### 4.3.2 แบบแผนไฮโซไซม์ esterase (EST)

การศึกษาแบบแผนไฮโซไซม์ esterase ของชงโคงคำ 4 พันธุ์ ด้วยวิธี polyacrylamide gel electrophoresis โดยใช้ stacking gel 5% separating gel 8.5% สารสกัดไฮโซไซม์ซึ่งใช้ extraction buffer สูตร 2 (ตารางที่ 3.3) ปริมาตร 5 มิลลิลิตร และย้อมสีจำเพาะไฮโซไซม์ตามแนว Tanksley และ Rick (1980) พบร่วงประภูมิแบบไฮโซไซม์รวมทั้งสิ้น 10 แบบคือ EST 1 ถึง EST 10 ซึ่งมีค่า Rf เท่ากับ 0.07, 0.17, 0.24, 0.31, 0.36, 0.40, 0.44, 0.60, 0.67 และ 0.71 ตามลำดับ โดย *B. pottsii* var. *pottsii* มีแคนบไฮโซไซม์ esterase เพียง 2 แบบคือ EST 4 กับ EST 9 ในขณะที่ *B. pottsii* var. *subsessilis* มีแคนบไฮโซไซม์ esterase 4 แบบคือ EST 3, EST 5, EST 8 และ EST 10 สำหรับ *B. pottsii* var. *mollissima* ก็มีแคนบไฮโซไซม์ esterase 4 แบบเช่นกัน คือ EST 3, EST 6, EST 8 และ EST 9 ส่วน *B. pottsii*

*var. velutina* มีแถบไอโซไซม์ esterase มากที่สุดถึง 7 แถบ ได้แก่ EST 1, EST 2, EST 3, EST 4, EST 5, EST 7 และ EST 9 (แผนภาพที่ 4.15) จะเห็นว่าแถบไอโซไซม์ EST 1, EST 2 และ EST 7 นั้นพบเฉพาะใน *B. pottsii var. velutina* เท่านั้น ในขณะที่ EST 3 นั้นพบใน ชงโคต้าทั้ง 3 พันธุ์แต่ไม่พบใน *B. pottsii var. pottsii* สำหรับ EST 4 พบทั้งใน *B. pottsii var. pottsii* และ *B. pottsii var. velutina* แต่ไม่พบใน *B. pottsii var. subsessilis* และ *B. pottsii var. mollissima* ส่วน EST 5 พบเฉพาะใน *B. pottsii var. subsessilis* และ *B. pottsii var. velutina* สำหรับ EST 6 พบเฉพาะใน *B. pottsii var. mollissima* เท่านั้น EST 8 พบทั้งใน *B. pottsii var. subsessilis* และ *B. pottsii var. mollissima* EST 9 พบในชงโคต้าทุกพันธุ์ยกเว้น *B. pottsii var. subsessilis* และ EST 10 พบเฉพาะใน *B. pottsii var. subsessilis* เท่านั้น (ตารางที่ 4.4)

นอกจากนั้นยังพบว่าแถบไอโซไซม์ esterase ของ *B. pottsii var. pottsii* นั้นไม่ตรงกับแถบไอโซไซม์ของ *B. pottsii var. subsessilis* เลย แต่ตรงกับแถบไอโซไซม์ของ *B. pottsii var. mollissima* 1 แถบ คือ EST 9 และตรงกับแถบไอโซไซม์ของ *B. pottsii var. velutina* ถึง 2 แถบคือ EST 4 และ EST 9 ส่วนแถบไอโซไซม์ของ *B. pottsii var. subsessilis* นั้นตรงกับแถบไอโซไซม์ของ *B. pottsii var. mollissima* 2 แถบคือ EST 3 และ EST 8 และ ตรงกับ *B. pottsii var. velutina* 2 แถบเช่นกันคือ EST 3 และ EST 5 สำหรับแถบไอโซไซม์ ของ *B. pottsii var. mollissima* นั้นตรงกับแถบไอโซไซม์ของ *B. pottsii var. velutina* 2 แถบ เช่นเดียวกัน คือ EST 3 และ EST 9

#### 4.3.3 แบบแผนไอโซไซม์ glutamate oxaloacetate transaminase (GOT)

การศึกษาแบบแผนไอโซไซม์ glutamate oxaloacetate transaminase ของชงโคต้า 4 พันธุ์ ด้วยวิธี polyacrylamide gel electrophoresis โดยใช้ stacking gel 5% separating gel 8.5% สารสกัดไอโซไซม์ซึ่งใช้ extraction buffer สูตร 2 (ตารางที่ 3.3) ปริมาตร 5 ไมโครลิตร และย้อมสีจำเพาะไอโซไซม์ตามแนวชวนพิศ อรุณรังสิกุล (2538) พบร้าประกายแถบไอโซไซม์รวมทั้งสิ้น 3 แถบ คือ GOT 1, GOT 2 และ GOT 3 มีค่า Rf เท่ากับ 0.14, 0.20 และ 0.26 ตามลำดับ โดย *B. pottsii var. pottsii* กับ *B. pottsii var. subsessilis* ดังที่มีแถบไอโซไซม์ glutamate oxaloacetate transaminase เพียง 1 แถบเหมือนกันคือ GOT 3 ในขณะที่ *B. pottsii var. mollissima* กับ *B. pottsii var. velutina* มีแถบไอโซไซม์ชนิด นี้ทั้ง 3 แถบเหมือนกันคือ GOT 1, GOT 2 และ GOT 3 (แผนภาพที่ 4.16) ดังนั้นแบบแผน ไอโซไซม์ glutamate oxaloacetate transaminase จึงแสดงให้เห็นว่า *B. pottsii var. pottsii* มี ความสัมพันธ์ใกล้ชิดกับ *B. pottsii var. subsessilis* และมีความแตกต่างอย่างเด่นชัดกับ

*B. pottsii* var. *mollissima* และ *B. pottsii* var. *velutina* ซึ่งมีความสัมพันธ์กันอย่างใกล้ชิด เช่นเดียวกัน

#### 4.3.4 แบบแผนไอโซไซเมร์ malate dehydrogenase (MDH)

การศึกษาแบบแผนไอโซไซเมร์ malate dehydrogenase ของชงโคงคำ 4 พันธุ์ ด้วยวิธี polyacrylamide gel electrophoresis โดยใช้ stacking gel 5% separating gel 8% สารสกัดไอโซไซเมร์ซึ่งใช้ extraction buffer สูตร 3 (ตารางที่ 3.3) ปริมาตร 5 ไมโครลิตร และย้อมสีจำเพาะไอโซไซเมร์ตามแนว Conklin และคณะ (1982) พบว่าปราภูมิแบบไอโซไซเมร์รวมทั้งสิ้น 3 แถบ คือ MDH 1, MDH 2 และ MDH 3 มีค่า Rf เท่ากับ 0.43, 0.50 และ 0.57 ตามลำดับ โดย *B. pottsii* var. *pottsii* กับ *B. pottsii* var. *subsessilis* มีแถบไอโซไซเมร์ชนิดนี้เพียง 1 แถบเหมือนกันคือ MDH 3 ในขณะที่ *B. pottsii* var. *mollissima* กับ *B. pottsii* var. *velutina* ต่างก็มีแถบไอโซไซเมร์ชนิดนี้ครบทั้ง 3 แถบเหมือนกันคือ MDH 1, MDH 2 และ MDH 3 (แผนภาพที่ 4.17) และให้เห็นว่า *B. pottsii* var. *pottsii* มีความใกล้ชิดกับ *B. pottsii* var. *subsessilis* และมีความแตกต่างอย่างเด่นชัดกับ *B. pottsii* var. *mollissima* และ *B. pottsii* var. *velutina* ซึ่งมีความสัมพันธ์ใกล้ชิดกันเช่นเดียวกัน

#### 4.3.5 แบบแผนไอโซไซเมร์ peroxidase (PER)

การศึกษาแบบแผนไอโซไซเมร์ peroxidase ของชงโคงคำ 4 พันธุ์ ด้วยวิธี polyacrylamide gel electrophoresis โดยใช้ stacking gel 5% separating gel 7.5% สารสกัดไอโซไซเมร์ซึ่งใช้ extraction buffer สูตร 2 (ตารางที่ 3.3) ปริมาตร 5 ไมโครลิตร และย้อมสีจำเพาะไอโซไซเมร์ตามแนวชวนพิศ อรุณรังสิตกุล (2538) พบว่าปราภูมิแบบไอโซไซเมร์รวมทั้งสิ้น 16 แถบ คือ PER 1 ถึง PER 10 ซึ่งมีค่า Rf เท่ากับ 0.19, 0.24, 0.26, 0.28, 0.30, 0.33, 0.35, 0.40, 0.42, 0.44, 0.46, 0.48, 0.49, 0.52, 0.56 และ 0.59 ตามลำดับ (แผนภาพที่ 4.18) โดยพบว่า *B. pottsii* var. *pottsii* มีแถบไอโซไซเมร์ peroxidase 11 แถบ คือ PER 1, PER 4-6, PER 9 และ PER 11-16 ส่วน *B. pottsii* var. *subsessilis* มี 9 แถบ คือ PER 1, PER 4-6, PER 9, PER 11 และ PER 13-15 สำหรับ *B. pottsii* var. *mollissima* นั้นมี 11 แถบ คือ PER 2, PER 4-8, PER 10-11 และ PER 13-15 และ *B. pottsii* var. *velutina* ก็มี 11 แถบ เช่นกัน คือ PER 1, PER 3-6 และ PER 11-16

เมื่อพิจารณาเปรียบเทียบแถบไอโซไซเมร์ที่พบในชงโคงคำแต่ละพันธุ์ (ตารางที่ 4.4) จะเห็นว่าแถบไอโซไซเมร์ peroxidase ที่พบในชงโคงคำทุกพันธุ์มีถึง 7 แถบ คือ PER 4-

6, PER 11 และ PER 13-15 ส่วนแคนบไอโซไซม์ที่พบเฉพาะใน *B. pottsii* var. *mollissima* เท่านั้น มี 4 แบบ คือ PER 2, PER 7-8 และ PER 10 และพบเฉพาะใน *B. pottsii* var. *velutina* มีเพียงแคบเดียว คือ PER 3 สำหรับแคนบไอโซไซม์ PER 1 นั้น พบในชุงโคล่าเกือบทุกพันธุ์ยกเว้น *B. pottsii* var. *mollissima* เท่านั้น ส่วนแคนบไอโซไซม์ PER 9 พบเฉพาะใน *B. pottsii* var. *pottsii* กับ *B. pottsii* var. *subsessilis* ในขณะที่แคนบไอโซไซม์ PER 12 พบเฉพาะใน *B. pottsii* var. *pottsii* กับ *B. pottsii* var. *velutina* และแคนบไอโซไซม์ PER 16 ก็พบเฉพาะใน *B. pottsii* var. *pottsii* กับ *B. pottsii* var. *velutina* เท่านั้น

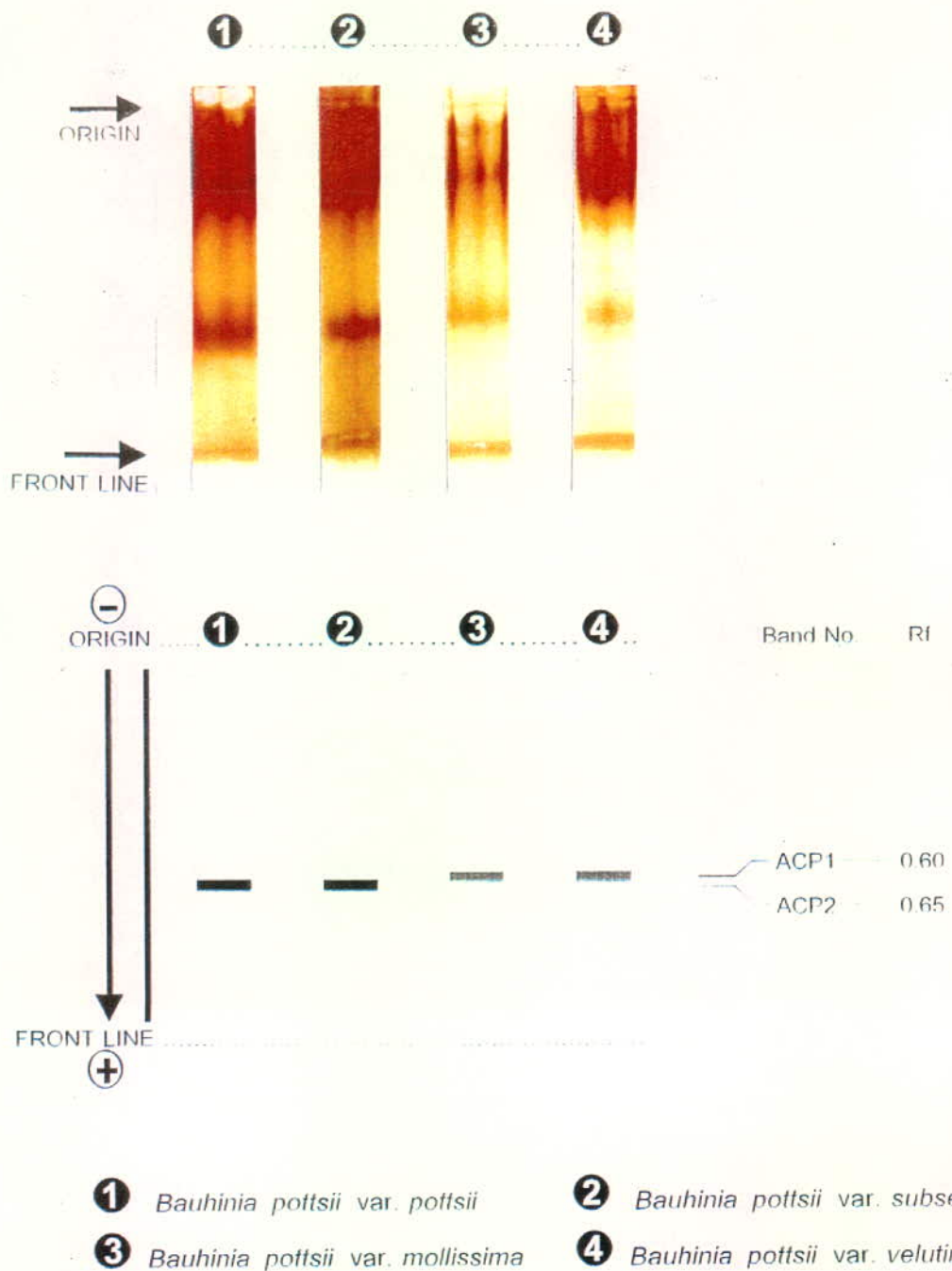
เมื่อพิจารณาเปรียบเทียบแคนบไอโซไซม์ของ *B. pottsii* var. *pottsii* กับ *B. pottsii* var. *subsessilis* พบว่ามีแคนบไอโซไซม์ตรงกันถึง 9 แบบ กล่าวคือแคนบไอโซไซม์ทั้ง 9 แบบ ของ *B. pottsii* var. *subsessilis* พบใน *B. pottsii* var. *pottsii* ทั้งหมดเพียงแต่มีความเข้มสีแตกต่างกันเท่านั้น และ *B. pottsii* var. *subsessilis* ไม่มีแคนบไอโซไซม์ PER 12 กับ PER 16 เมื่อเปรียบเทียบกับ *B. pottsii* var. *mollissima* พบว่าแคนบไอโซไซม์ของ *B. pottsii* var. *pottsii* เหมือนกันแคนบไอโซไซม์ *B. pottsii* var. *mollissima* รวมทั้งสิ้น 7 แบบ คือ PER 4-6, PER 11 และ PER 13-15 และมีแคนบไอโซไซม์ต่างกัน 8 แบบ คือ PER 1-2, PER 7-9, PER 10, PER 12 และ PER 16 สำหรับ *B. pottsii* var. *velutina* นั้นมีแคนบไอโซไซม์เหมือนกับ *B. pottsii* var. *pottsii* ถึง 10 แบบ คือ PER 1, PER 4-6, PER 11-16 ต่างกันเพียง 2 แบบ เท่านั้นคือ PER 3 และ PER 9

เมื่อเปรียบเทียบแคนบไอโซไซม์ peroxidase ของ *B. pottsii* var. *subsessilis* กับ *B. pottsii* var. *mollissima* พบว่ามีแคนบไอโซไซม์เหมือนกัน 7 แบบ คือ PER 4-6, PER 11, PER 13-15 และแตกต่างกัน 6 แบบ คือ PER 1, PER 2, PER 7-10 ส่วน *B. pottsii* var. *velutina* นั้นมีแคนบไอโซไซม์เหมือนกับ *B. pottsii* var. *subsessilis* 8 แบบ คือ PER 1, PER 4-6, PER 11, PER 13-15 และแตกต่างกัน 4 แบบ คือ PER 3, PER 9, PER 12 และ PER 16

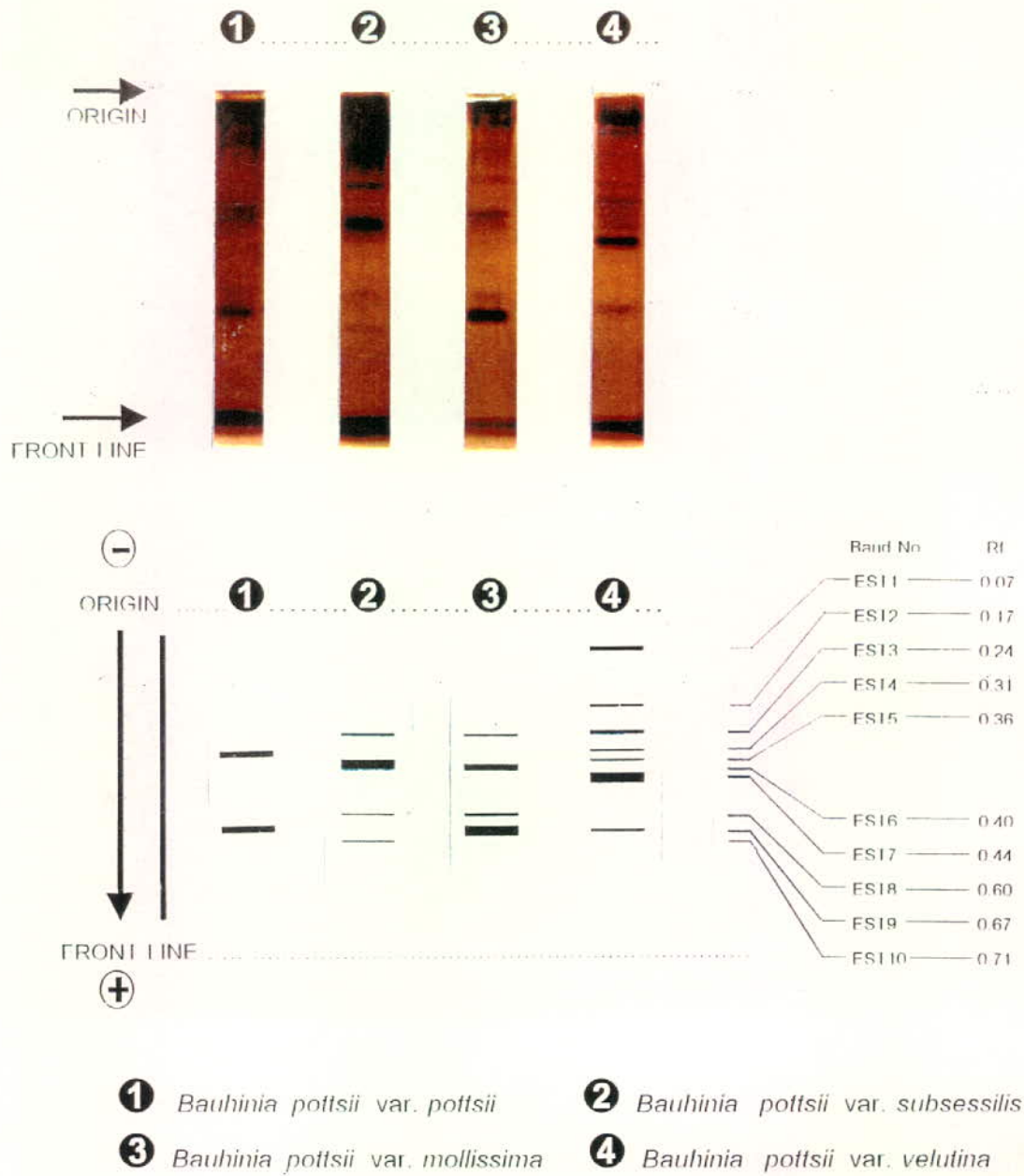
สำหรับแคนบไอโซไซม์ของ *B. pottsii* var. *mollissima* กับ *B. pottsii* var. *velutina* นั้นพบว่าเหมือน 7 แบบ คือ PER 4-6, PER 11, PER 13-15 และแตกต่างกัน 8 แบบ คือ PER 1-3, PER 7-8, PER 10, PER 12 และ PER 16

#### 4.3.6 แบบแผนไฮโซไซม์ shikimate dehydrogenase (SKDH)

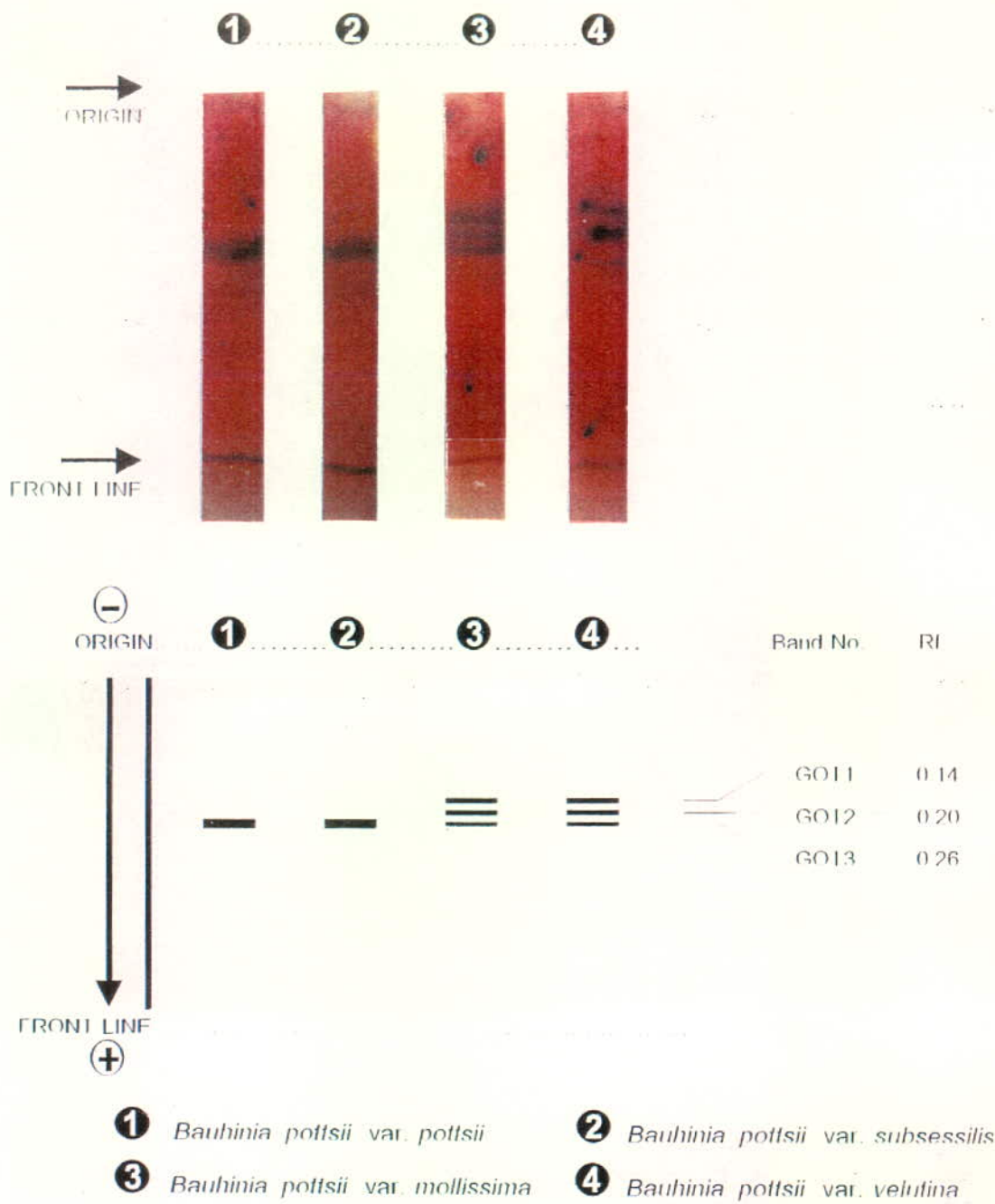
การศึกษาแบบแผนไฮโซไซม์ shikimate dehydrogenase ของชงโคงคำ 4 พันธุ์ ด้วยวิธี polyacrylamide gel electrophoresis โดยใช้ stacking gel 5% separating gel 8.5% สารสกัดไฮโซไซม์ซึ่งใช้ extraction buffer สูตร 3 (ตารางที่ 3.3) ปริมาตร 8 มิลลิลิตร และย้อมสีจำเพาะไฮโซไซม์ตามแนว Conklin และคณะ (1982) พบว่าปรากฏแถบไฮโซไซม์ 2 แถบ คือ SKDH 1 และ SKDH 2 ซึ่งมีค่า Rf เท่ากับ 0.38 และ 0.43 ตามลำดับ โดย *B. pottsii* var. *pottsii* กับ *B. pottsii* var. *subsessilis* มีแถบไฮโซไซม์ SKDH 2 เพียง แถบเดียวเหมือนกัน ในขณะที่ *B. pottsii* var. *mollissima* กับ *B. pottsii* var. *velutina* มีแถบไฮโซไซม์ 2 แถบเหมือนกัน คือ SKDH 1 และ SKDH 2 (แผนภาพที่ 4.19.1) แสดงให้เห็นว่า *B. pottsii* var. *pottsii* มีความสัมพันธ์ใกล้ชิดกับ *B. pottsii* var. *subsessilis* และมีความแตกต่างอย่างเด่นชัดกับ *B. pottsii* var. *mollissima* และ *B. pottsii* var. *velutina* ซึ่งมีความสัมพันธ์ใกล้ชิดกันเช่นเดียวกัน



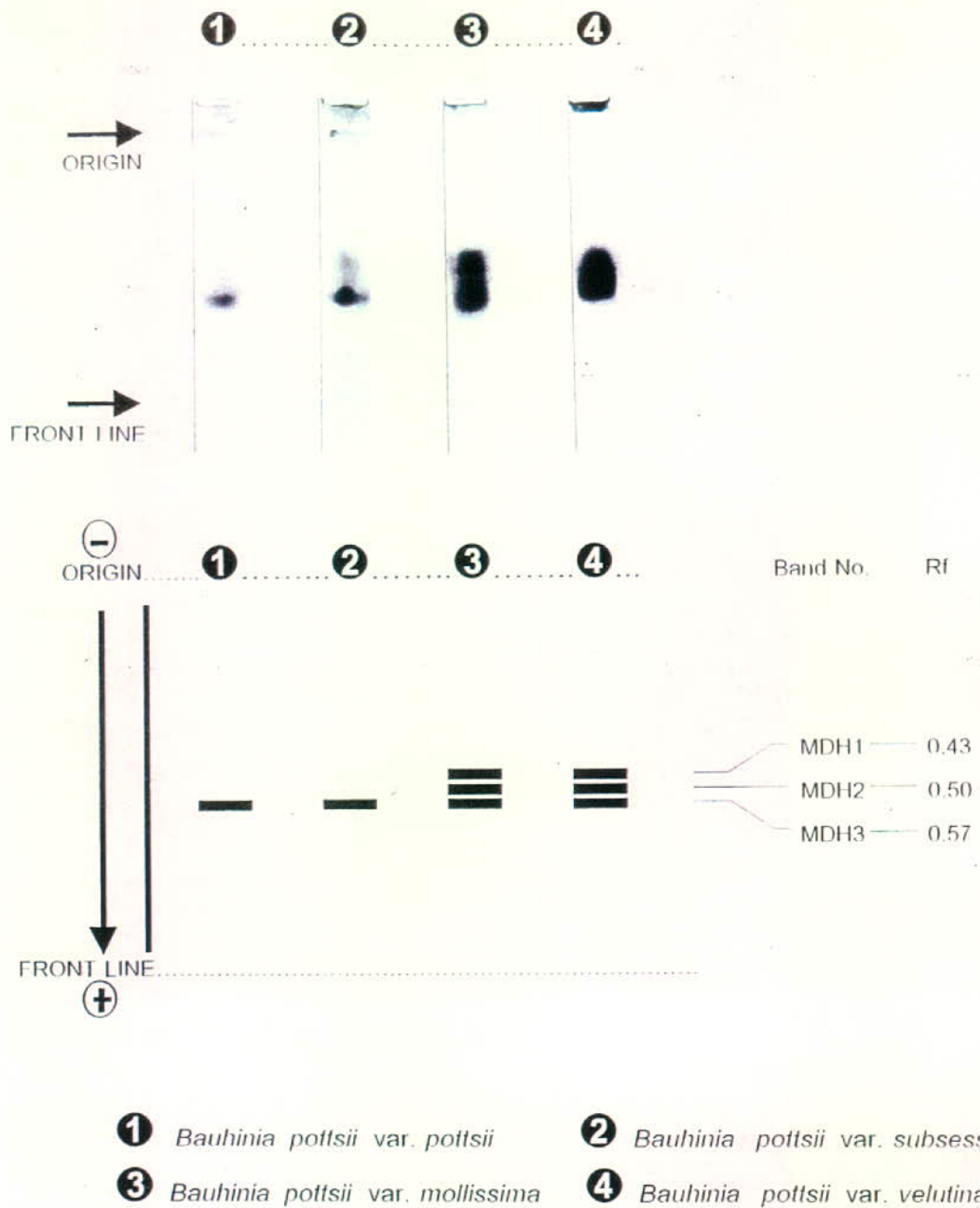
แผนภาพที่ 4.14 แบบแยกไคโตร์ม Acid phosphatase ของชากีคำในประเทศไทย



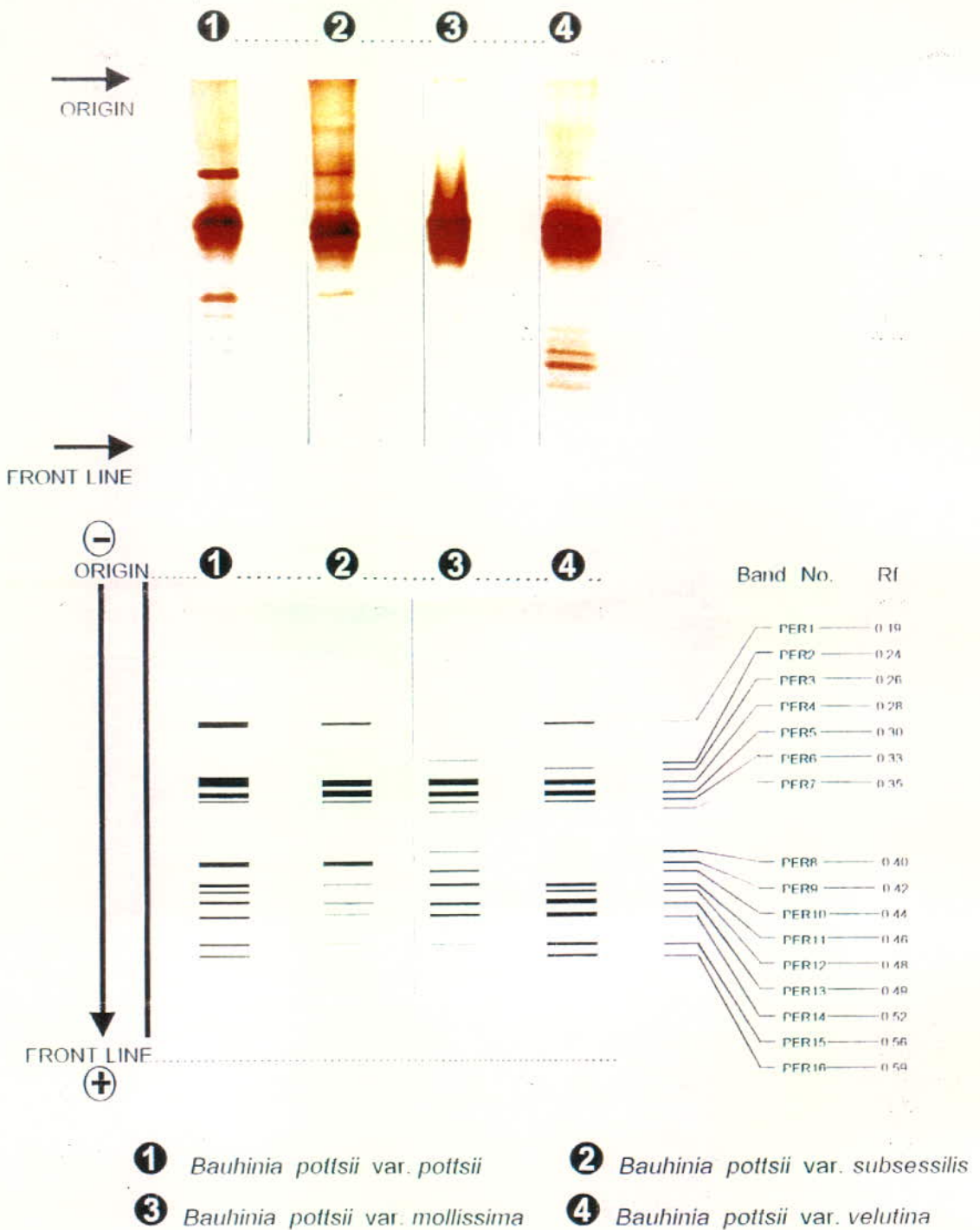
แผนภาพที่ 4.15 แบบแผนไฮโดรเจม Esterase ของชงโคดำในประเทศไทย



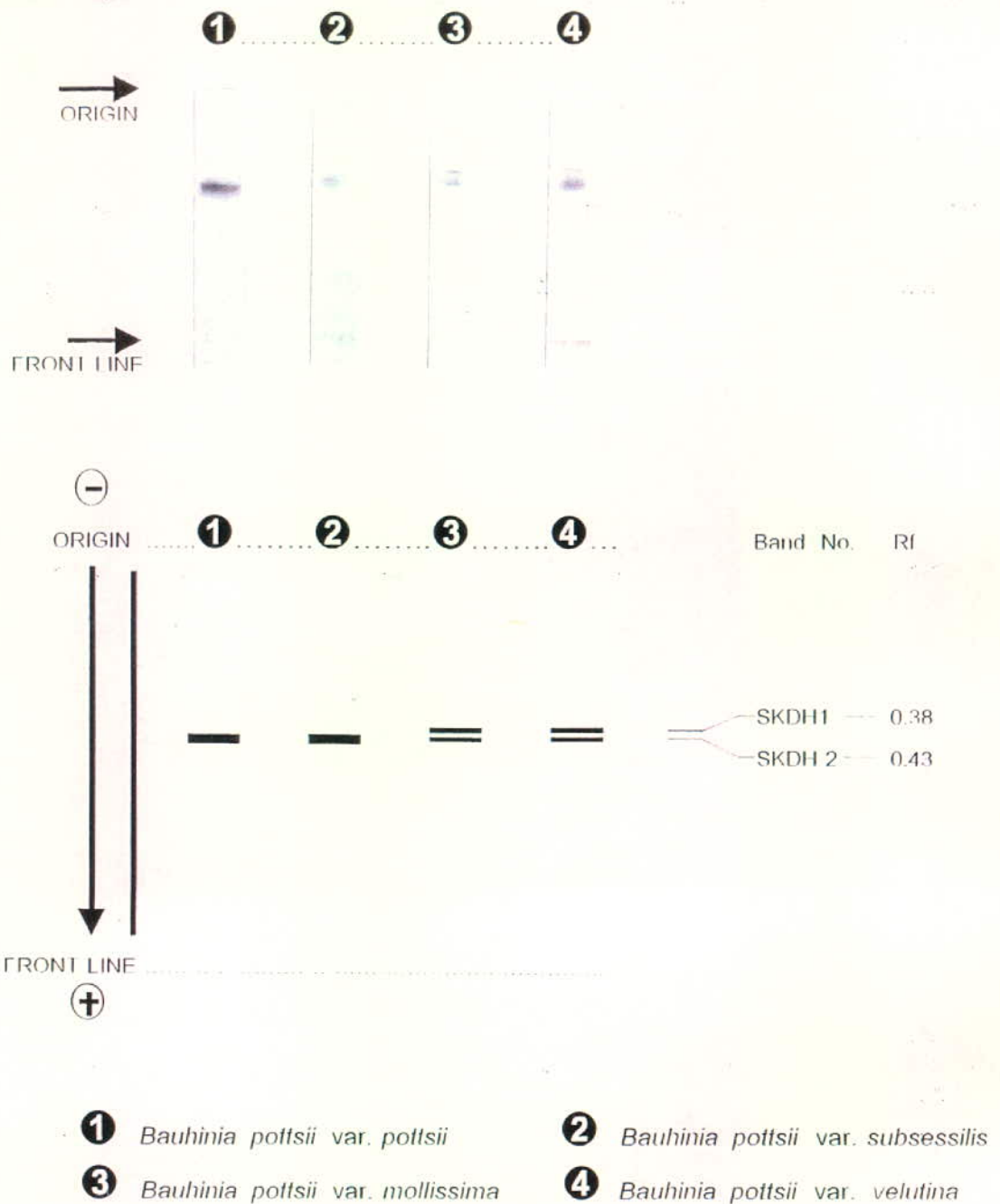
แผนภาพที่ 4.16 แผนภูมิ Isoelectric focusing Glutamate oxaloacetate transaminase ของงาคุด  
ใบประดับใบใหญ่



แผนภาพที่ 4.17 แบบแผนไฮดรอกาลส์ Malate dehydrogenase ของชงโคต์ในประเทศไทย



แผนกากที่ 4.18 แผนกากนีโอไซด์ไซม์ Peroxidase ของชากโคลคำในประเทศไทย



แผนภาพที่ 4.19.1 แนวโน้ม Shikimate dehydrogenase ของชากีคั่วในประเทศไทย

ตารางที่ 4.2 แสดงค่า Rf และจำนวนแแกบไฮโซไซม์ 6 ระบบของชงโคล์ที่พบในประเทศไทย

		<i>Bauhinia pottsii</i>			
ไฮโซไซม์	Rf	var. <i>pottsii</i>	var. <i>subsessilis</i>	var. <i>mollissima</i>	var. <i>velutina</i>
<b>acid phosphatase</b>					
ACP 1	0.60	-	-	*	*
ACP 2	0.65	**	**	-	-
จำนวนแแกบไฮโซไซม์		1	1	1	1
<b>esterase</b>					
EST 1	0.07	-	-	-	**
EST 2	0.17	-	-	-	*
EST 3	0.24	-	*	*	*
EST 4	0.31	**	-	-	*
EST 5	0.36	-	***	-	*
EST 6	0.40	-	-	-	**
EST 7	0.44	-	-	-	****
EST 8	0.60	-	*	*	-
EST 9	0.67	**	-	***	-
EST 10	0.71	-	*	-	-
จำนวนแแกบไฮโซไซม์		2	4	4	7
<b>glutamate oxaloacetate transaminase</b>					
GOT 1	0.14	-	-	*	*
GOT 2	0.20	-	-	*	*
GOT 3	0.26	*	*	*	*
จำนวนแแกบไฮโซไซม์		1	1	3	3
<b>malate dehydrogenase</b>					
MDH 1	0.43	-	-	**	**
MDH 2	0.50	-	-	**	**
MDH 3	0.57	*	*	**	**
จำนวนแแกบไฮโซไซม์		1	1	3	3

ตารางที่ 4.2 (ต่อ)

		<i>Bauhinia pottsii</i>			
ไอโซไซม์	Rf	var. <i>pottsii</i>	var. <i>subsessilis</i>	var. <i>mollissima</i>	var. <i>velutina</i>
<b>peroxidase</b>					
PER 1	0.19	***	**	-	**
PER 2	0.24	-	-	*	-
PER 3	0.26	-	-	-	*
PER 4	0.28	****	****	****	****
PER 5	0.30	****	****	****	****
PER 6	0.33	**	**	**	**
PER 7	0.35	-	-	*	-
PER 8	0.40	-	-	*	-
PER 9	0.42	***	***	-	-
PER 10	0.44	-	-	*	-
PER 11	0.46	**	*	**	**
PER 12	0.48	**	-	-	**
PER 13	0.49	**	*	**	**
PER 14	0.52	**	*	**	**
PER 15	0.56	**	*	*	**
PER 16	0.59	*	-	-	**
จำนวนแอบไอโซไซม์		11	9	11	11
<b>shikimate dehydrogenase</b>					
SKDH 1	0.38	-	-	*	*
SKDH 2	0.43	*	*	*	*
จำนวนแอบไอโซไซม์		1	1	2	2

ความเข้มสีของแอบไอโซไซม์

\* จางมาก

\*\* จาง

\*\*\* เต็ม

\*\*\*\* เต็มมาก

#### 4.4 การศึกษา numerical taxonomy ของชงโคงคำ

การศึกษาชีวานุกรมวิธานของชงโคงคำ *B. pottsii* G. Don ที่พนในประเทศไทย ด้วยวิธี numerical taxonomy โดยการใช้เทคนิคการวิเคราะห์ปัจจัย การวิเคราะห์จัดกลุ่มและ การวิเคราะห์จัดจำแนก วิเคราะห์ข้อมูลจากลักษณะสัณฐานวิทยาของใบ ดอก และเรณูของ ชงโคงคำรวมทั้งสิ้น 59 ลักษณะ (ตารางที่ 3.5 และตารางที่ 3.6) จากตัวอย่างประชากรชงโคงคำ 9 ประชากร รวมทั้งสิ้น 450 ตัวอย่าง (ตารางที่ 4.1) รวมทั้งการวิเคราะห์แบบแผนไอโซไซม์ 6 ระบบของชงโคงคำรวมทั้งสิ้น 36 ลักษณะ (ตารางที่ 4.4) จากตัวอย่างประชากรชงโคงคำ 4 ประชากร รวมทั้งสิ้น 120 ตัวอย่าง ได้ผลสรุปดังนี้

##### 4.4.1 ผลการวิเคราะห์ลักษณะสัณฐานวิทยาของใบชงโคงคำ

###### 4.4.1.1 ผลการวิเคราะห์ปัจจัยลักษณะสัณฐานวิทยาของใบชงโคงคำ

จากการศึกษาลักษณะสัณฐานวิทยาของใบชงโคงคำรวมทั้งสิ้น 7 ลักษณะ คือ ความกว้างใบ (WLE) ความยาวใบ (LLE) ความกว้างรอยเว้าปลายใบ (WBF) ความลึกรอยเว้าปลายใบ (LBF) จำนวนเส้นใบ (NSV) ลักษณะบนด้านบนใบ (HUE) และ ลักษณะบนด้านล่างใบ (HLE) พบร่วมกันความแปรผันภายในประชากรชงโคงคำทั้ง 9 ประชากร โดยมีค่าต่ำสุด ค่าเฉลี่ย ค่าสูงสุด และค่าเบี่ยงเบนมาตรฐานของลักษณะต่างๆ แตกต่างกัน (ตารางที่ 4.5) เมื่อนำลักษณะสัณฐานวิทยาของใบซึ่งจัดเป็น vegetative character ทั้ง 7 ลักษณะของชงโคงคำทุกประชากรมาวิเคราะห์ปัจจัย พบร่วมกันมากกว่า 1 ตัว สามารถอธิบายความแปรปรวนของข้อมูลได้รวมทั้ง สิ้น (cumulative %) 84.293 เปอร์เซ็นต์ (ตารางที่ 4.6) โดยตัวแปรทุกตัวมีค่า communality มากกว่า 0.5 และค่า factor loading ของตัวแปรต่างๆ ของทุกแกนปัจจัยก็มีค่ามากกว่า 0.5 เช่นกัน โดยแกนปัจจัยที่ 1 มี 6 ตัวแปร ประกอบด้วยตัวแปรที่แสดงขนาดคือ WLE, LLE, WBF และตัวแปรที่แสดงรูปร่างลักษณะคือ HLE, HUE และ NSV ส่วนแกนปัจจัยที่ 2 มีเพียง 1 ตัวแปรคือ LBF ซึ่งเป็นตัวแปรที่แสดงขนาดเท่านั้น (ตารางที่ 4.7)

เมื่อหมุนแกนปัจจัยแล้วพบว่าค่า factor loading ของตัวแปรต่างๆ มี ค่าเปลี่ยนแปลงไปจากเดิม แต่ก็ยังมีค่ามากกว่า 0.5 ทุกตัวแปร นอกจากนี้การหมุนแกนปัจจัย ยังทำให้แต่ละแกนปัจจัยมีองค์ประกอบเปลี่ยนแปลงด้วยกันล่าวคือแกนปัจจัยที่ 1 มีเพียง 3 ตัว แปร คือ HLE, HUE และ NSV ซึ่งเป็นตัวแปรที่แสดงรูปร่างลักษณะ ส่วนแกนปัจจัยที่ 2 มี 4 ตัวแปรคือ LBF, LLE, WBF และ WLE ซึ่งเป็นตัวแปรที่แสดงขนาดเท่านั้น (ตารางที่ 4.8)

จะเห็นว่าแกนปัจจัยที่ 1 สามารถอธิบายความแปรปรวนของข้อมูลได้ 46.279 เปอร์เซ็นต์ ส่วนแกนปัจจัยที่ 2 สามารถอธิบายความแปรปรวนของข้อมูลได้ 38.014 เปอร์เซ็นต์ (ตาราง 4.6) ดังนั้นจึงต้องใช้ข้อมูลจากแกนปัจจัยทั้ง 2 แกนปัจจัย ซึ่งสามารถอธิบายความแปรปรวนของข้อมูลได้รวมกันถึง 84.293 %

เมื่อนำแกนปัจจัยที่ 1 และแกนปัจจัยที่ 2 มาแสดงความสัมพันธ์ในรูปกราฟ พบร่วมกับความสามารถจำแนกประชากรชงโคง่าอกเป็น 3 กลุ่ม (แผนภาพที่ 4.20:①) คือ กลุ่มที่ 1 ประกอบด้วยประชากรที่ 1, 2 และ 3 ซึ่งก็คือ *B. pottsii* var. *subsessilis* กลุ่มที่ 2 ประกอบด้วยประชากรที่ 4 และ 5 ซึ่งก็คือ *B. pottsii* var. *pottsii* และกลุ่มที่ 3 ประกอบด้วยประชากรที่ 6, 7, 8 และ 9 ซึ่งก็คือ *B. pottsii* var. *mollissima* และ *B. pottsii* var. *velutina* โดยพบว่าลักษณะ HLE, HUE และ NSV บนแกนปัจจัยที่ 1 สามารถแยกประชากร *B. pottsii* var. *mollissima* และ *B. pottsii* var. *velutina* ออกจากประชากร *B. pottsii* var. *pottsii* และ *B. pottsii* var. *subsessilis* ได้อย่างเด่นชัด ในขณะที่ลักษณะ LBF, LLE, WBF และ WLE บนแกนปัจจัยที่ 2 ไม่สามารถแยกประชากรทั้งหมดออกจากกันได้อย่างชัดเจน

#### 4.4.1.2 ผลการวิเคราะห์จัดกลุ่มของลักษณะสัณฐานวิทยาของใบชงโคง่า

การวิเคราะห์จัดกลุ่มประชากรของชงโคง่าในประเทศไทยโดยใช้ลักษณะสัณฐานวิทยาของใบรวมทั้งสิ้น 7 ลักษณะ (ตารางที่ 4.7) พบร่วมกับความสามารถจัดกลุ่มประชากรชงโคง่าอกเป็น 2 กลุ่มใหญ่ๆ (ภาพที่ 4.40) ได้แก่ กลุ่มที่ 1 ประกอบด้วยประชากรที่ 1, 2 และ 3 (*B. pottsii* var. *subsessilis*) กับประชากรที่ 4 และ 5 (*B. pottsii* var. *pottsii*) ส่วนกลุ่มที่ 2 ประกอบด้วยประชากรที่ 6 และ 7 (*B. pottsii* var. *mollissima*) กับประชากรที่ 8 และ 9 (*B. pottsii* var. *velutina*) เป็นส่วนใหญ่ โดยมีประชากรที่ 4 และ 5 ประเมินอยู่บ้าง การที่ประชากรในแต่ละกลุ่มยังมีการกระจายปะปนกันจึงทำให้การจัดกลุ่มยังไม่เด่นชัดเท่าที่ควรแสดงให้เห็นว่าลักษณะสัณฐานวิทยาของใบชงโคง่าแต่ละพันธุ์นั้นมีความแปรผันไม่มากพอที่จะใช้ในการจำแนกพันธุ์ของชงโคง่าได้ แต่แสดงให้เห็นว่าลักษณะใบของ *B. pottsii* var. *subsessilis* กับ *B. pottsii* var. *pottsii* มีความคล้ายคลึงกันและมีความแตกต่างจากลักษณะใบของ *B. pottsii* var. *mollissima* กับ *B. pottsii* var. *velutina* ซึ่งมีความคล้ายคลึงกัน เช่นเดียวกันค่อนข้างชัดเจน

#### 4.4.1.3 ผลการวิเคราะห์จัดจำแนกลักษณะสัณฐานวิทยาของใบชงโคล่า

จากการวิเคราะห์จัดจำแนกประชากรของชงโคล่าโดยใช้ลักษณะสัณฐานวิทยาของใบชงจัดเป็น vegetative character รวมทั้งสิ้น 7 ลักษณะ พนว่าลักษณะใบถูกนำเข้าสู่การวิเคราะห์จัดจำแนกเพียง 4 ลักษณะ (ตารางที่ 4.10) ได้สมการจัดจำแนก 4 สมการ (ตารางที่ 4.9) โดยสมการที่มีค่าไオเกนมากกว่า 1 มีเพียงสมการเดียว คือสมการที่ 1 มีค่าไอเกนเท่ากับ 4.250 ในขณะที่สมการที่ 2-4 มีค่าไอเกนเท่ากับ 0.650, 0.123 และ 0.009 ตามลำดับ

เมื่อพิจารณาค่าสหสัมพันธ์คานิคอล (canonical correlation) ของสมการที่ 1-4 พนว่ามีค่าเท่ากับ 0.900, 0.628, 0.331 และ 0.096 เมื่อนำค่าสหสัมพันธ์คานิคอลมายกกำลังสองพบว่ามีเพียงค่าสหสัมพันธ์คานิคอลยกกำลังสองของสมการที่ 1 เท่านั้นที่มีค่ามากกว่า 0.5 คือ เท่ากับ 0.810 ในขณะที่ค่าสหสัมพันธ์คานิคอลยกกำลังสองของสมการที่ 2-4 มีค่าเท่ากับ 0.394, 0.110 และ 0.009 ตามลำดับ (ตารางที่ 4.9)

เมื่อพิจารณาค่าวิลค์แอลด้า (Wilks' lambda) ก็พบว่ามีเพียงสมการที่ 1 เท่านั้นที่มีค่าน้อยกว่า 0.5 คือเท่ากับ 0.102 ในขณะที่สมการที่ 2-4 มีค่าวิลค์แอลด้าเท่ากับ 0.535, 0.882 และ 0.991 ตามลำดับ แสดงให้เห็นว่ามีเพียงสมการที่ 1 เพียงสมการเดียวที่สามารถทำนายกลุ่มได้ดี โดยสมการนี้สามารถอธิบายความแปรปรวนของข้อมูลได้ถึง 84.50 เปอร์เซ็นต์ และมีค่า chi-square ที่มีความแตกต่างอย่างมีนัยสำคัญทางสถิติที่ระดับความเชื่อมั่น 99 % ( $P < 0.01$ ) (ตารางที่ 4.9)

เมื่อพิจารณาด้วยแปรที่เป็นองค์ประกอบของสมการจัดจำแนกที่เป็นคะແแนມมาตรฐาน พนว่าสมการที่ 1 ประกอบด้วยดั้วแปรที่แสดงรูปร่างลักษณะคือ NSV สมการที่ 2 ประกอบด้วยดั้วแปรที่แสดงรูปร่างลักษณะเช่นกันคือ LBF ส่วนสมการที่ 3 ไม่มีดั้วแปรใดเป็นองค์ประกอบที่เด่นชัด สำหรับสมการที่ 4 ประกอบด้วยดั้วแปรที่แสดงขนาดใบ คือ LLE และ WLE (ตารางที่ 4.10)

อย่างไรก็ตามเมื่อพิจารณาค่าสัมประสิทธิ์สหสัมพันธ์ระหว่างลักษณะใบของชงโคล่าที่ใช้ในการวิเคราะห์จัดจำแนกกับสมการจัดจำแนก (ตารางที่ 4.11) พนว่าดั้วแปรที่มีความสำคัญในการจัดจำแนกของสมการที่ 1 คือ LBF ส่วนสมการที่ 2 นั้นประกอบด้วยดั้วแปร WBF สำหรับสมการที่ 3 นั้นประกอบด้วยดั้วแปรที่มีความสำคัญในการจัดจำแนก 2

ตัวแปร คือ NSV และ WLE ในขณะที่สมการที่ 4 ประกอบด้วยตัวแปรที่มีความสำคัญในการจัดจำแนกเพียงตัวแปรเดียว คือ LLE

เมื่อพิจารณาความสามารถในการอธิบายความแปรปรวนของข้อมูลของสมการจัดจำแนก (ตารางที่ 4.9) พบว่าสมการที่ 1 สามารถอธิบายความแปรปรวนของข้อมูลได้สูงถึง 84.5 เปอร์เซ็นต์ ในขณะที่สมการที่ 2-4 สามารถอธิบายความแปรปรวนของข้อมูลได้เพียง 12.9, 2.4 และ 0.2 เปอร์เซ็นต์ ตามลำดับ เมื่อนำสมการที่ 1 และ 2 ซึ่งสามารถอธิบายความแปรปรวนของข้อมูลร่วมกันได้ถึง 97.4 เปอร์เซ็นต์ มาแสดงความสัมพันธ์ในรูปกราฟ (แผนภาพที่ 4.48:①) พบว่าประชากรที่ 1, 2 และ 3 (*B. pottsii* var. *subsessilis*) กระจายเป็นกลุ่มอยู่ด้านขวา ในขณะที่ประชากรที่ 4 และ 5 (*B. posttsii* var. *pottsii*) กระจายเป็นกลุ่มอยู่ด้านบน สำหรับประชากรที่ 6, 7, 8 และ 9 (*B. pottsii* var. *mollissima* และ *B. pottsii* var. *velutina*) นั้น กระจายเป็นกลุ่มเดียวกันอยู่ด้านซ้าย แต่อย่างไรก็ตามจะเห็นว่า คะแนนจัดจำแนกของลักษณะใบยังไม่สามารถจัดจำแนกกลุ่มประชากรชงโคงดำทั้งหมดออก จากกันได้อย่างเด่นชัดนัก และเมื่อพิจารณาการทำนายกลุ่มประชากรจากสมการที่ได้จากการวิเคราะห์จัดจำแนกลักษณะสัณฐานวิทยาของใบก็พบว่าเท่ากับ 47.80 เปอร์เซ็นต์เท่านั้น แสดงว่าสมการจัดจำแนกจากการวิเคราะห์ลักษณะใบนั้นทำนายกลุ่มได้ไม่ดีพอ (ตารางที่ 4.12)

#### 4.4.2 ผลการวิเคราะห์ลักษณะสัณฐานวิทยาของดอกชงโคงดำ

##### 4.4.2.1 ผลการวิเคราะห์ปัจจัยลักษณะสัณฐานวิทยาของดอกชงโคงดำ

จากการศึกษาลักษณะสัณฐานวิทยาของดอกชงโคงดำ รวมทั้งสิ้น 41 ลักษณะคือ ความกว้างกลีบเลี้ยง (WCA) ความยาวกลีบเลี้ยง (LCA) ความกว้างกลีบดอก 1-5 (WPE 1-5) ความยาวกลีบดอก 1-5 (LPE 1-5) ความยาวก้านกลีบดอก 1-5 (LPCL 1-5) ความอันเรณู 1-3 (LAN 1-3) ความยาวก้านชูอันเรณู 1-3 (LFI 1-3) อัตราส่วนความยาวอันเรณูตรงตำแหน่งที่ติดกับก้านชูอันเรณู (RAF) ความยาวก้านเกรสรเพคเมีย (LSTY) ความยาวรังไข่ (LOV) ความยาวก้านชูเกรสรเพคเมีย (LGY) ความยาวฐานดอก (LRE) รูปร่างกลีบดอก (SPE) สีกลีบดอก (CPE) สีอันเรณู (CAN) สีก้านชูอันเรณู (CFI) รูปร่างยอดเกรสรเพคเมีย (SSTI) สียอดเกรสรเพคเมีย (CSTI) สีก้านเกรสรเพคเมีย (CSTY) ลักษณะบนรังไข่ (HOV) ความยาวดอกตูมที่ยาวที่สุดในช่อดอกนั้น (LBU) จำนวนดอกตูมต่อ 1 ช่อดอก (NBU) อัตราส่วนของความยาวดอกตูมต่อความยาวฐานดอกของดอกตูม (RBR) สีดอกตูม (CBU) ลักษณะสันที่ปลายดอกตูม (RBU) พบว่าลักษณะเหล่านี้ในประชากรชงโคงดำทั้ง 9 ประชากรมี

ความแปรผันทั้งภายในประชากรและระหว่างประชากร มีค่าถี่สุด ค่าเฉลี่ย ค่าสูงสุด และค่าเบี่ยงเบนมาตรฐานของลักษณะต่างๆเดียวกัน (ตารางที่ 4.5)

เมื่อนำลักษณะสัณฐานวิทยาของดอกทั้ง 41 ลักษณะของช่องโภคดำเนินประชากรมาวิเคราะห์ปัจจัยพนักว่ามีแกนปัจจัยที่มีค่าไオเกนมากกว่า 1 จำนวน 5 แกน สามารถอธิบายความแปรปรวนของข้อมูลได้รวมทั้งสิ้น 86.105 เปอร์เซ็นต์ (ตารางที่ 4.13) โดยด้วยแปรทุกด้วยมีค่า communality มากกว่า 0.5 (ตารางที่ 4.14) ค่า factor loading ของตัวแปรต่างๆ ทุกแกนปัจจัยมีค่ามากกว่า 0.5 โดยแกนปัจจัยที่ 1 มี 25 ตัวแปร ประกอบด้วยตัวแปรที่แสดงขนาด คือ LPCL 1-5, RAF, NBU, LCA, LAN 1-3, LBU, LOV, RBR, LRE และ LGY ตัวแปรที่แสดงรูปร่างลักษณะคือ HOV, SPE, SSTI และตัวแปรที่แสดงสีสันคือ CFI, CAN, CBU, CSTI, CSTY และ CPE ส่วนแกนปัจจัยที่ 2 มี 14 ตัวแปร ประกอบด้วยตัวแปรที่แสดงขนาดทั้งหมด คือ LPE 1-5, LSTY, LFI 1-3 และ WPE 1-5 สำหรับแกนปัจจัยที่ 3 มีตัวแปรที่แสดงขนาดเพียง 1 ตัวแปร คือ WCA แกนปัจจัยที่ 4 ไม่มีตัวแปรใดเป็นองค์ประกอบ และแกนปัจจัยที่ 5 ที่มีเพียงตัวแปรเดียวเช่นกัน คือ RBU (ตารางที่ 4.14)

เมื่อหมุนแกนปัจจัยแล้วพบว่า ค่า factor loading ของแต่ละตัวแปรในทุกแกนปัจจัยเปลี่ยนแปลงไปจากเดิม แต่ก็ยังคงมีค่ามากกว่า 0.5 ทุกตัวแปร และพบว่าการหมุนแกนปัจจัยทำให้องค์ประกอบภายในแต่ละแกนปัจจัยเปลี่ยนแปลงไปด้วย กล่าวคือแกนปัจจัยที่ 1 เหลือตัวแปรในแกนปัจจัยเพียง 19 ตัวแปร ประกอบด้วยตัวแปรที่แสดงขนาด คือ LPCL 1-5, RBR, RAF, NBU และ LPE 4-5 ตัวแปรที่แสดงรูปร่างคือ SPE, SSTI, HOV และ RBU ส่วนตัวแปรที่แสดงสีสัน คือ CFI, CAN, CBU, CSTI และ CSTY สำหรับแกนปัจจัยที่ 2 มี 9 ตัวแปร ประกอบด้วยตัวแปรที่แสดงขนาดเป็นส่วนใหญ่ คือ LAN 1-3, LRE, LGY, LBU, LCA และ LOV ส่วนตัวแปรที่แสดงสีสันมีเพียง 1 ตัวแปรเท่านั้น คือ CPE แกนปัจจัยที่ 3 มี 8 ตัวแปร ซึ่งแสดงเฉพาะขนาดกลีบดอก คือ WPE 1-5 และ LPE 1-3 ส่วนแกนปัจจัยที่ 4 มี 4 ตัวแปร ประกอบด้วยตัวแปรที่แสดงความยาวของก้านชูเกรษเพศผู้ คือ LFI 1-3 และความยาวก้านเกรษเพศเมียคือ LSTY สำหรับแกนปัจจัยที่ 5 นั้นมีเพียง 1 ตัวแปรที่แสดงถึงความกว้างของกลีบเลี้ยง คือ WCA (ตารางที่ 4.15)

จากตารางที่ 4.13 จะเห็นว่า แกนปัจจัยแต่ละแกนสามารถอธิบายความแปรปรวนของข้อมูลได้แตกต่างกัน โดยแกนปัจจัยที่ 1 อธิบายความแปรปรวนของข้อมูลได้เพียง 37.316 เปอร์เซ็นต์ รองลงมาคือแกนปัจจัยที่ 2, 3, 4 และ 5 ซึ่งสามารถอธิบายความแปรปรวนของข้อมูลได้ 20.508, 14.173, 10.281 และ 3.827 เปอร์เซ็นต์ ตามลำดับ ดังนั้น

จึงต้องใช้ข้อมูลจากแกนปัจจัยทั้ง 5 แกนร่วมกัน จึงจะอธิบายความแปร ปรวนของข้อมูลได้ถึง 86.105 เปอร์เซ็นต์

เมื่อนำแกนปัจจัยที่ 1-5 ซึ่งได้จากการวิเคราะห์ปัจจัยมาแสดงความสัมพันธ์ในรูปกราฟ พบร้าความสัมพันธ์ระหว่างแกนปัจจัยที่ 1 และแกนปัจจัยที่ 2 สามารถจำแนกประชากรชงโคง่าอกเป็น 3 กลุ่ม (แผนภาพที่ 4.20:①) คือ กลุ่มที่ 1 ประกอบด้วยประชากรที่ 1, 2 และ 3 ซึ่งก็คือ *B. pottsii* var.*subsessilis* กลุ่มที่ 2 ประกอบด้วยประชากรที่ 4 และ 5 ซึ่งก็คือ *B. pottsii* var.*pottsii* และกลุ่มที่ 3 ประกอบด้วยประชากรที่ 6, 7, 8 และ 9 ซึ่งก็คือ *B. pottsii* var.*mollissima* และ *B. pottsii* var.*velutina* โดยพบร้าลักษณะ LPCL 1-5, RBR, RAF, NBU, LPE 4-5, SPE, SSTI, HOV, RBU, CFI, CAN, CBU, CSTI และ CSTY บนแกนปัจจัยที่ 1 สามารถแยกประชากร *B. pottsii* var.*mollissima* และ *B. pottsii* var.*velutina* ออกจากประชากร *B. pottsii* var.*pottsii* และ *B. pottsii* var.*subsessilis* ได้อย่างเด่นชัด ในขณะที่ลักษณะ LAN 1-3, LRE, LGY, LBU, LCA, LOV และ CPE บนแกนปัจจัยที่ 2 สามารถแยกประชากร *B. pottsii* var.*pottsii* ออกจากประชากร *B. pottsii* var.*subsessilis* ได้อย่างไม่เด่นชัดนักและไม่สามารถแยกประชากรทั้งหมดออกจากกันได้

เมื่อพิจารณาความสัมพันธ์ระหว่างแกนปัจจัยที่ 1 กับแกนปัจจัยที่ 3 และแกนปัจจัยที่ 1 กับแกนปัจจัยที่ 4 (ภาพที่ 4.20:② และ ภาพที่ 4.20:③) พบร้าลักษณะ WPE 1-5 และ LPE 1-3 บนแกนปัจจัยที่ 3 กับลักษณะ LFI 1-3 และ LSTY บนแกนปัจจัยที่ 4 ไม่สามารถแยกประชากรทั้งหมดออกจากกันได้ ส่วนความสัมพันธ์ระหว่างแกนปัจจัยที่ 1 กับแกนปัจจัยที่ 5 (ภาพที่ 4.20:④) นั้น พบร้าลักษณะ WCA บนแกนปัจจัยที่ 5 สามารถจำแนกประชากร *B. pottsii* var.*mollissima* ออกจากประชากร *B. pottsii* var.*velutina* ได้แต่ไม่สามารถแยกประชากรทั้งหมดออกจากกัน

เมื่อพิจารณาความสัมพันธ์ระหว่างแกนปัจจัยที่ 2 แกนปัจจัย 3 แกนปัจจัยที่ 4 และแกนปัจจัยที่ 5 พบร้าลักษณะดังๆบนแกนปัจจัยเหล่านี้ไม่สามารถแยกประชากรทั้งหมดออกจากกันได้เลย (ภาพที่ 4.20:⑤-⑥ และ ภาพที่ 4.21:①-④)

#### 4.4.2.2 ผลการวิเคราะห์จัดกลุ่มของลักษณะสัณฐานวิทยาของดอกชงโคง่า

การวิเคราะห์จัดกลุ่มประชากรชงโคง่าที่พบรในประเทศไทยโดยใช้ลักษณะสัณฐานวิทยาของดอกรวมทั้งสิ้น 41 ลักษณะ (ตารางที่ 4.14) พบร้าสามารถจัดกลุ่มประชากรชงโคง่าออกเป็น 3 กลุ่ม (แผนภาพที่ 4.41) ได้แก่ กลุ่มที่ 1 ประกอบด้วยประชากรที่

1, 2 และ 3 (*B. pottsii* var. *subsessilis*) กลุ่มที่ 2 ประกอบด้วยประชากรที่ 4 และ 5 (*B. pottsii* var. *pottsii*) และกลุ่มที่ 3 ประกอบด้วยประชากรที่ 6 และ 7 (*B. pottsii* var. *mollissima*) กับประชากรกลุ่มที่ 8 และ 9 (*B. pottsii* var. *velutina*) โดยพบว่าประชากรกลุ่มที่ 3 มีการจัดกลุ่มแยกออกจากประชากรกลุ่มที่ 1 และ 2 อย่างเด่นชัด ในขณะที่ประชากรกลุ่มที่ 2 นั้นพบว่ามีการกระจายปะปนกับประชากรกลุ่มที่ 1 บ้างเล็กน้อย แสดงให้เห็นว่าลักษณะสัณฐานวิทยาของดอกซึ่งโดยรวมแล้วมีความแปรผันพอที่จะใช้ในการจัดกลุ่มประชากรซึ่งโดยรวมแล้วมีความแปรผันระหว่างประชากรไม่มากนักจึงมีความใกล้ชิดเพียงพอที่จะจัดเป็นกลุ่มเดียวกัน แต่มีความแตกต่างจากลักษณะสัณฐานวิทยาของดอก *B. pottsii* var. *subsessilis* และ *B. pottsii* var. *pottsii* อย่างเด่นชัด จึงจัดเป็นคุณลักษณะกลุ่ม

#### 4.4.2.3 ผลการวิเคราะห์จัดจำแนกลักษณะสัณฐานวิทยาของดอกซึ่งโดยรวม

จากการวิเคราะห์จัดจำแนกประชากรซึ่งโดยรวมแล้วมีลักษณะสัณฐานวิทยาของดอกซึ่งจัดเป็น reproductive character รวมทั้งสิ้น 41 ลักษณะ พบร่วมกัน 11 ลักษณะ (ตารางที่ 4.17) ได้สมการจัดจำแนก 8 สมการ (ตารางที่ 4.16) โดยมีสมการที่มีค่าไオเกนมากกว่า 1 รวมทั้งสิ้น 3 สมการคือสมการที่ 1, 2 และ 3 ซึ่งมีค่าไอเกนเท่ากับ 120.547, 4.454 และ 1.469 ตามลำดับ ในขณะที่สมการที่ 4-8 มีค่าไอเกนต่ำกว่า 1 ทั้งหมด

เมื่อพิจารณาค่าสหสัมพันธ์ค่าโนนิคลอลงของสมการที่ 1-8 พบร่วมกัน 0.996, 0.904, 0.771, 0.476, 0.344, 0.305, 0.225 และ 0.173 ตามลำดับ เมื่อนำค่าสหสัมพันธ์ค่าโนนิคลอลงมายกกำลังสองพบว่าสมการที่ 1-3 เท่านั้นที่มีค่าสหสัมพันธ์ค่าโนนิคลอยกกำลังสองมากกว่า 0.5 คือเท่ากับ 0.992, 0.817 และ 0.594 ตามลำดับ ในขณะที่ค่าสหสัมพันธ์ค่าโนนิคลอยกกำลังสองของสมการที่ 4-8 มีค่าเท่ากับ 0.227, 0.118, 0.093, 0.051 และ 0.030 ตามลำดับ (ตารางที่ 4.16)

เมื่อพิจารณาค่าวิลค์แอล์มดาพบว่าสมการที่ 1-3 เท่านั้นที่มีค่าวิลค์แอล์มดาต่ำกว่า 0.5 คือเท่ากับ 0.000, 0.042 และ 0.231 ตามลำดับ ในขณะที่ค่าวิลค์แอล์มดาของสมการที่ 4-8 มีค่าเท่ากับ 0.569, 0.737, 0.835, 0.921 และ 0.970 ตามลำดับ แสดงให้เห็นว่าสมการที่ 1-3 สามารถทำนายกลุ่มได้ดี โดยสมการที่ 1 สามารถอธิบายความแปรปรวนของข้อมูลได้ถึง 94.90 เปอร์เซ็นต์ ในขณะที่สมการที่ 2 และ 3 สามารถอธิบายความแปรปรวนของข้อมูลได้เท่ากับ 3.50 และ 1.20 เปอร์เซ็นต์ ตามลำดับ ทำให้ทั้ง 3 สมการสามารถ

อธิบายความผันแปรระสมของข้อมูลรวมกันได้ถึง 99.50 เปอร์เซ็นต์ โดยทั้ง 3 สมการต่างก็มีค่า chi-square ที่มีความแตกต่างอย่างมีนัยสำคัญทางสถิติที่ระดับความเชื่อมั่น 99% ( $P < 0.01$ ) (ตารางที่ 4.16)

เมื่อพิจารณาด้วยที่เป็นองค์ประกอบของสมการจัดจำแนกที่เป็นคะแนนมาตรฐาน(ตารางที่ 4.17) พบว่าสมการที่ 1 ประกอบด้วยตัวแปรที่แสดงรูปร่างลักษณะคือ RAF สมการที่ 2 ก็ประกอบด้วยตัวแปรที่แสดงรูปร่างลักษณะเช่นกันคือ RBR ในขณะที่สมการที่ 3 นั้นไม่มีตัวแปรใดเป็นองค์ประกอบที่เด่นชัด สำหรับสมการที่ 4 ประกอบด้วยตัวแปรที่แสดงขนาดคือ LGY ส่วนสมการที่ 5 ประกอบด้วยตัวแปรที่แสดงขนาดทั้ง 3 ตัวแปรคือ LPCL 3, LPCL 5 และ LAN 1 สมการที่ 6 ประกอบด้วยตัวแปรที่แสดงขนาดของกลีบเลี้ยงคือ LCA และ WCA สมการที่ 7 ประกอบด้วยตัวแปรที่แสดงขนาดก้านเกสรเพศผู้เพียงตัวแปรเดียวคือ LFI 2 สำหรับสมการที่ 8 ประกอบด้วยตัวแปรที่แสดงขนาดกลีบดอก คือ LPE 2 และ LPE 5

อย่างไรก็ตามเมื่อพิจารณาค่าสัมประสิทธิ์สหสัมพันธ์ระหว่างลักษณะสัณฐานวิทยาของดอกชิงโคล่าที่ใช้ในการวิเคราะห์จัดจำแนกกับสมการจัดจำแนก(ตารางที่ 4.18) ก็พบว่าตัวแปรที่มีความสำคัญในการจัดจำแนกของสมการที่ 1 ก็คือ RAF ในขณะที่ตัวแปรที่มีความสำคัญในการจัดจำแนกของสมการที่ 2 ก็คือ LRE กับ NBU แต่ไม่ได้นำลักษณะนี้ไปใช้ในการวิเคราะห์จัดจำแนก ส่วนสมการที่ 3 นั้นประกอบด้วยตัวแปรที่มีความสำคัญในการจัดจำแนกคือ WCA, LAN 1-3 และ LOV แต่ตัวแปรที่ถูกนำไปใช้ในการวิเคราะห์จัดจำแนกที่มีเพียง 2 ตัวแปรคือ WCA กับ LAN 1 สำหรับสมการที่ 4-8 นั้นมีค่าไอเกนต่ำกว่า 1 มีค่าสหสัมพันธ์ค่าโนนิคลอส์ต่ำกว่า 0.5 มีค่าวิลค์แลมามากกว่า 0.5 และอธิบายความแปรปรวนของข้อมูลได้เปอร์เซ็นต์ต่ำมาก จึงไม่เหมาะสมที่จะนำไปใช้ในการจัดจำแนก โดยพบว่า สมการที่ 4 ประกอบด้วยตัวแปร LGY, LPCL 1-5, และ RBR สมการที่ 5 ประกอบด้วยตัวแปร LPE 1-5 และ WPE 1-5 แต่ตัวแปร LPE 1, 3-4 และ WPE 1-5 ไม่ถูกนำไปใช้ในการวิเคราะห์จัดจำแนก ส่วนสมการที่ 6 นั้นประกอบด้วยตัวแปร LCA กับ LBU โดยตัวแปร LBU ก็ไม่ถูกนำไปใช้ในการวิเคราะห์จัดจำแนกเช่นเดียวกัน สำหรับสมการที่ 7 นั้นไม่มีตัวแปรใดเป็นองค์ประกอบที่เด่นชัดเลย ในขณะที่สมการที่ 8 ประกอบด้วย 4 ตัวแปรคือ LFI 1-3 และ LSTY แต่ตัวแปร LFI 1, 3 และ LSTY ไม่ถูกนำไปใช้ในการวิเคราะห์จัดจำแนก

เมื่อพิจารณาความสามารถในการอธิบายความแปรปรวนของข้อมูลของสมการจัดจำแนก (ตารางที่ 4.16) พบว่าสมการที่ 1 สามารถอธิบายความแปรปรวนของข้อมูลได้ถึง 94.90 เปอร์เซ็นต์ ในขณะที่สมการ 2-3 ซึ่งมีค่าไอเกนมากกว่า 1 เช่นเดียวกัน

อธิบายความแปรปรวนของข้อมูลได้เพียง 3.50 และ 1.20 เปอร์เซ็นต์ ตามลำดับ ดังนั้นเมื่อ นำสมการที่ 1 และสมการที่ 2 ซึ่งอธิบายความแปรปรวนของข้อมูลร่วมกันได้สูงถึง 98.40 เปอร์เซ็นต์ มาแสดงความสัมพันธ์ในรูปกราฟ (แผนภาพที่ 4.48:②) จะเห็นว่าสามารถถอดแนก ประชากรชงโโคตำแหน่งเป็น 3 กลุ่มได้อย่างเด่นชัด คือกลุ่มที่ 1 ประกอบด้วยประชากรที่ 1, 2 และ 3 (*B. pottsii* var. *subsessilis*) กลุ่มที่ 2 ประกอบด้วยประชากรที่ 4 และ 5 (*B. pottsii* var. *pottsii*) และกลุ่มที่ 3 ประกอบด้วยประชากรที่ 6 และ 7 (*B. pottsii* var. *mollissima*) กับ ประชากรที่ 8 และ 9 (*B. pottsii* var. *velutina*) และเมื่อพิจารณาการทำนายกลุ่มประชากรจาก สมการที่ได้จากการวิเคราะห์จัดจำแนกลักษณะลักษณะสัณฐานวิทยาของดอกกีพนบว่ามีค่าเท่ากับ 75.60 เปอร์เซ็นต์ ซึ่งมีค่าใกล้เคียงกับค่าค่าสุดที่สามารถยอมรับได้แสดงว่าสมการที่จัดจำแนก นี้สามารถทำนายกลุ่มได้ดี (ตารางที่ 4.19)

#### 4.4.3 ผลการวิเคราะห์ลักษณะสัณฐานวิทยาของเรณูชงโโคคำ

##### 4.4.3.1 ผลการวิเคราะห์ปัจจัยลักษณะสัณฐานวิทยาของเรณูชงโโคคำ

จากการศึกษาลักษณะสัณฐานวิทยาของเรณูชงโโคคำรวมทั้งสิ้น 11 ลักษณะคือเส้นผ่านศูนย์กลางของเรณูในส่วนที่เป็น tetrad (TRA) เส้นผ่านศูนย์กลางเรณู แนว polar axis (DPA) เส้นผ่านศูนย์กลางเรณูแนว equatorial axis (DEA) ระยะห่างระหว่าง ช่องเปิดเรณู (DAP) ความกว้างช่องเปิดเรณู (WAP) ความยาวช่องเปิดเรณู (LAP) จำนวน verrucae (NVR) polar field index (PFI) รูปร่างเรณู (SPO) ชนิดช่องเปิดของเรณู (TAP) ตำแหน่งช่องเปิดเรณู (PAP) พบร้าลักษณะต่างๆเหล่านี้มีความแปรผันทั้งภายในประชากร และระหว่างประชากรชงโโคคำทั้ง 9 ประชากร มีค่าค่าสุด ค่าเฉลี่ย ค่าสูงสุด และค่าเบี่ยงเบน มาตรฐานของแต่ละลักษณะแตกต่างกัน (ตารางที่ 4.5)

เมื่อนำลักษณะสัณฐานวิทยาของเรณูทั้ง 11 ลักษณะของชงโโค คำทุกประชากร มาวิเคราะห์ปัจจัยพบว่ามีแกนปัจจัยที่มีค่าไオเกนมากกว่า 1 จำนวน 2 แกน สามารถอธิบายความแปรปรวนของข้อมูลได้ทั้งสิ้น 86.389 เปอร์เซ็นต์ (ตารางที่ 4.20) โดยด้วย แปรทุกตัวมีค่า communalitiy มากกว่า 0.5 ยกเว้นตัวแปรที่แสดงรูปร่างเรณู คือ SPO เท่านั้น ที่มีค่า communalitiy เพียง 0.465 (ตารางที่ 4.21) ค่า factor loading ของตัวแปรทุกตัวในทุก แกนปัจจัยมีค่ามากกว่า 0.5 โดยแกนปัจจัยที่ 1 มี 9 ตัวแปรประกอบด้วยตัวแปรที่แสดงขนาด คือ DAP, PFI, LAP, DEA และ WAP กับตัวแปรที่แสดงรูปร่างลักษณะคือ PAP, TAP, NVR, และ SPO ส่วนแกนปัจจัยที่ 2 มีเพียง 2 ตัวแปรซึ่งเป็นตัวแปรที่แสดงขนาดเท่านั้นคือ TRA และ DPA (ตารางที่ 4.21)

เมื่อหมุนแกนปัจจัยพบว่าองค์ประกอบภายในแต่ละแกนปัจจัยไม่เปลี่ยนแปลงกล่าวคือแกนปัจจัยที่ 1 และแกนปัจจัยที่ 2 ประกอบด้วยตัวแปรเหมือนกันก่อน การหมุนแกนทุกประการ เพียงแต่ค่า factor loading ของตัวแปรในแต่ละแกนปัจจัยเปลี่ยนแปลงไปจากเดิม ยกเว้นค่า factor loading ของตัวแปร DPA ในแกนปัจจัยที่ 2 เท่านั้นที่มีค่าเหมือนเดิม อย่างไรก็ตามพบว่าค่า factor loading ของทุกด้วยแปรยังคงมีค่ามากกว่า 0.5 (ตารางที่ 4.22)

จากตารางที่ 4.20 จะเห็นว่าแกนปัจจัยที่ 1 อธิบายความแปรปรวนของข้อมูลได้ 66.168 เปอร์เซ็นต์ ส่วนแกนปัจจัยที่ 2 อธิบายความแปรปรวนของข้อมูลได้ 20.22 เปอร์เซ็นต์ ดังนั้นจึงต้องใช้ข้อมูลจากแกนปัจจัยหั้งสองแกนซึ่งสามารถอธิบายความแปรปรวนของข้อมูลได้ถึง 86.389 เปอร์เซ็นต์

เมื่อนำแกนปัจจัยที่ 1 และแกนปัจจัยที่ 2 ซึ่งได้จากการวิเคราะห์ปัจจัยมาแสดงความสัมพันธ์ในรูปกราฟ พบร่วมว่าสามารถจำแนกประชากรชุดคำออกเป็น 2 กลุ่มใหญ่ๆ (แผนภาพที่ 4.21:①) คือกลุ่มที่ 1 ประกอบด้วยประชากรที่ 1,2 และ 3 (*B. pottsii* var. *subsessilis*) ส่วนกลุ่มที่ 2 ประกอบด้วยประชากรที่ 4 และ 5 (*B. pottsii* var. *pottsii*) อยู่รวมกับประชากรที่ 6 และ 7 (*B. pottsii* var. *mollissima*) และประชากรที่ 8 และ 9 (*B. pottsii* var. *velutina*) โดยพบว่าลักษณะ DAP, PFI, LAP, DEA, WAP, PAP, TAP, NVR และ SPO บนแกนปัจจัยที่ 1 สามารถแยกประชากร *B. pottsii* var. *subsessilis* ออกจากประชากร *B. pottsii* var. *pottsii*, *B. pottsii* var. *mollissima* และ *B. pottsii* var. *velutina* ได้ อย่างเด่นชัด ในขณะที่ลักษณะ TRA และ DPA ไม่สามารถแยกประชากรหั้งหมุดออกจากกันได้

#### 4.4.3.2 ผลการวิเคราะห์จัดกลุ่มของลักษณะสัณฐานวิทยาของเรณูชงโคงคำ

การวิเคราะห์จัดกลุ่มประชากรชุดคำที่พบร่วมในประเทศไทยโดยใช้ลักษณะสัณฐานวิทยาของเรณูรวมทั้งสิ้น 11 ลักษณะ (ตารางที่ 4.21) พบร่วมสามารถจัดกลุ่มประชากรชุดคำออกเป็น 2 กลุ่ม (ภาพที่ 4.42) ได้แก่กลุ่มที่ 1 ประกอบด้วยประชากรที่ 1, 2 และ 3 (*B. pottsii* var. *subsessilis*) กลุ่มที่ 2 ประกอบด้วยประชากรที่ 4, 5 (*B. pottsii* var. *pottsii*), ประชากรที่ 6,7 (*B. pottsii* var. *mollissima*) และประชากรที่ 8,9 (*B. pottsii* var. *velutina*) กระจายปะปนกัน โดยพบว่าประชากรกลุ่มที่ 1 มีการจัดกลุ่มแยกออกจากประชากรกลุ่มที่ 2 อย่างเด่นชัด เด่นโดรแกรมจากการวิเคราะห์จัดกลุ่มโดยใช้ลักษณะสัณฐาน

วิทยาของเรณูแสดงให้เห็นว่า ลักษณะสัณฐานวิทยาของเรณู *B. pottsii* var. *mollissima* กับ *B. pottsii* var. *velutina* มีการกระจายปะปนกันค่อนข้างมากนั้นคือมีความแปรผันระหว่างประชากรไม่มากนัก จึงมีความสัมพันธ์ใกล้ชิดเพียงพอที่จะจัดเป็นกลุ่มเดียวกันได้ และยังพบว่าลักษณะสัณฐานวิทยาของเรณู *B. pottsii* var. *mollissima* กับ *B. pottsii* var. *velutina* มีความคล้ายคลึงกับลักษณะสัณฐานวิทยาของเรณู *B. pottsii* var. *pottsii* จนไม่สามารถแยกออกจากกันได้อย่างเด่นชัดในขณะที่ลักษณะสัณฐานวิทยาของเรณู *B. pottsii* var. *subsessilis* นั้นมีความแตกต่างจากลักษณะสัณฐานวิทยาของเรณูของงโคงคำพันธุ์อื่นๆอย่างเด่นชัด

#### 4.4.3.3 ผลการวิเคราะห์จัดจำแนกลักษณะสัณฐานวิทยาของเรณูชงโคงคำ

จากการวิเคราะห์จัดจำแนกประชากรชงโคงคำโดยใช้ลักษณะสัณฐานวิทยาของเรณูเป็นชีวิจจัดเป็น reproductive character รวมทั้งสิ้น 11 ลักษณะ พนว่าลักษณะสัณฐานวิทยาของเรณูกุน่าเข้าสู่การวิเคราะห์จัดจำแนกเพียง 8 ลักษณะ (ตารางที่ 4.24) ได้สมการจัดจำแนก 8 สมการ โดยมีสมการที่มีค่าไオเกนมากกว่า 1 รวมทั้งสิ้น 2 สมการคือสมการที่ 1 และ 2 ซึ่งมีค่าไอเกนเท่ากับ 23.647 และ 5.620 ตามลำดับ ในขณะที่สมการที่ 3-8 มีค่าไอเกนต่ำกว่า 1 ทั้งหมด (ตารางที่ 4.23)

เมื่อพิจารณาค่าสหสัมพันธ์ค่าโนนิคอลของสมการที่ 1-8 พนว่ามีค่าเท่ากับ 0.980, 0.921, 0.625, 0.465, 0.330, 0.287, 0.226 และ 0.013 ตามลำดับ เมื่อนำค่าสหสัมพันธ์ค่าโนนิคอลมายกกำลังสอง พนว่าสมการที่ 1-2 เท่ากับที่มีค่าสหสัมพันธ์ค่าโนนิคอลยกกำลังสองมากกว่า 0.5 กล่าวคือมีค่าเท่ากับ 0.960 และ 0.848 ตามลำดับ ในขณะที่ค่าสหสัมพันธ์ค่าโนนิคอลยกกำลังสองของสมการที่ 3-8 มีค่าเท่ากับ 0.391, 0.216, 0.109, 0.082, 0.051 และ 0.000 ตามลำดับ (ตารางที่ 4.23)

เมื่อพิจารณาค่าวิลค์แลมดาพบว่าสมการที่ 1-3 มีค่าวิลค์แลมดาต่ำกว่า 0.5 คือเท่ากับ 0.002, 0.056 และ 0.370 ตามลำดับ ในขณะที่สมการที่ 4-8 มีค่าเท่ากับ 0.608, 0.776, 0.871, 0.949 และ 1.000 ตามลำดับ แสดงว่าสมการที่ 1-2 เท่ากับที่สามารถทำนายกลุ่มได้ดี โดยสมการที่ 1 สามารถอธิบายความแปรปรวนของข้อมูลได้ 77.70 เปอร์เซ็นต์ ส่วนสมการที่ 2 สามารถอธิบายความแปรปรวนของข้อมูลได้ 18.50 เปอร์เซ็นต์ ดังนั้นสมการที่ 1 และ 2 จึงสามารถอธิบายความผันแปรสะสมของข้อมูลรวมกันได้ถึง 96.10 เปอร์เซ็นต์ โดยทั้งสองสมการต่างก็มีค่า chi-square ที่มีความแตกต่างอย่างมีนัยสำคัญทางสถิติที่ระดับความเชื่อมั่น 99 % ( $P < 0.01$ )

เมื่อพิจารณาด้วยแปรที่เป็นองค์ประกอบของสมการจัดจำแนกที่เป็นคะแนนมาตรฐาน (ตารางที่ 4.24) พบว่าสมการที่ 1 ไม่มีดั้งแปรใดเป็นองค์ประกอบที่เด่นชัด สมการที่ 2 ประกอบด้วยดั้งแปรเดียวคือ SPO ส่วนสมการที่ 3 และ 4 ก็ไม่มีดั้งแปรเป็นองค์ประกอบที่เด่นชัดเช่นเดียวกัน สำหรับสมการที่ 5 นั้นก็มีเพียง 1 ดั้งแปรคือ DEA ในขณะที่ สมการที่ 6 มีถึง 4 ดั้งแปรคือ DAP, DPA, LAP และ WAP สำหรับสมการที่ 7 และ 8 นั้นต่างก็มีสมการละ 1 ดั้งแปรเช่นกันคือ NVR และ PFI ตามลำดับ

อย่างไรก็ตามเมื่อพิจารณาค่าสัมประสิทธิ์สัมพันธ์ระหว่างลักษณะ สัณฐานวิทยาของเรณูชงโคง์ด้าที่ใช้ในการวิเคราะห์จัดจำแนกกับสมการจัดจำแนก(ตารางที่ 4.25) ก็พบว่าดั้งแปรที่มีความสำคัญในการจัดจำแนกของสมการที่ 1 คือ DAP, PFI และ LAP ส่วนดั้งแปรที่มีความสำคัญในการจัดจำแนกของสมการที่ 2 คือ SPO สำหรับสมการที่ 3 นั้น ประกอบด้วยดั้งแปรที่มีความสำคัญในจัดจำแนกคือ DPA กับ TRA แต่ดั้งแปร TRA ไม่ถูกนำไปใช้ในการวิเคราะห์จัดจำแนก สมการที่ 4 และ 5 มีดั้งแปรที่มีความสำคัญเพียงสมการละ 1 ดั้งแปรคือ WAP และ DEA ตามลำดับ ในขณะที่สมการที่ 6 นั้นไม่มีดั้งแปรใดเป็นองค์ประกอบที่เด่นชัด สมการที่ 7 ก็มีเพียงดั้งแปรเดียวเช่นกันคือ NVR ส่วนสมการที่ 8 นั้นไม่มี ดั้งแปรใดเป็นองค์ประกอบที่เด่นชัดเลย

เมื่อพิจารณาความสามารถในการอธิบายความแปรปรวนของข้อมูล ของสมการจัดจำแนก (ตารางที่ 4.23) พบว่าสมการที่ 1 สามารถอธิบายความแปรปรวนของ ข้อมูลได้ 77.70 เปอร์เซ็นต์ ในขณะที่สมการที่ 2 สามารถอธิบายความแปรปรวนของข้อมูลได้ 18.50 เปอร์เซ็นต์ สำหรับสมการที่ 3-8 นั้น นอกจากมีค่าไอกenen ต่ำกว่า 1 แล้วยังอธิบาย ความแปรปรวนของข้อมูลได้น้อยมาก กล่าวคือมีค่าเท่ากับ 2.1, 0.9, 0.4, 0.3, 0.2 และ 0.0 เปอร์เซ็นต์ตามลำดับ ดังนั้นสมการที่ 1 และสมการที่ 2 จึงเหมาะสมที่จะนำมาใช้ในการจัด จำแนกซึ่งจะทำให้สามารถอธิบายความแปรปรวนของข้อมูลร่วมกันได้สูงถึง 96.10 เปอร์เซ็นต์ โดยพบว่าความสามารถสัมพันธ์ระหว่างสมการที่ 1 และสมการที่ 2 ในรูปกราฟ (ภาพที่ 4.48:③) สามารถจำแนกประชากรชงโคง์ออกเป็น 3 กลุ่มได้อย่างชัดเจน คือกลุ่มที่ 1 ประกอบด้วย ประชากรที่ 1, 2 และ 3 (*B. pottsii* var. *subsessilis*) กลุ่มที่ 2 ประกอบด้วยประชากรที่ 4 และ 5 (*B. pottsii* var. *pottsii*) และกลุ่มที่ 3 ประกอบด้วยประชากรที่ 6 และ 7 (*B. pottsii* var. *mollissima*) กับประชากรที่ 8 และ 9 (*B. pottsii* var. *velutina*) และเมื่อพิจารณาการ กำหนดภylum ประชากรจากสมการที่ได้จากการวิเคราะห์จัดจำแนกลักษณะสัณฐานวิทยาของเรณู ก็ พบว่ามีค่าเท่ากับ 68.90 เปอร์เซ็นต์ แสดงว่าสมการจัดจำแนกนี้ยังกำหนดภylum ได้ไม่ดีนัก (ตารางที่ 4.26)

#### 4.4.4 ผลการวิเคราะห์ลักษณะสัณฐานวิทยาของดอกและเรณูของชงโคงคำ

##### 4.4.4.1 ผลการวิเคราะห์ปัจจัยลักษณะสัณฐานวิทยาของดอกและเรณูของชงโคงคำ

จากการวิเคราะห์นี้จัดยลักษณะสัณฐานวิทยาของดอกและเรณูของชงโคงคำซึ่งจัดเป็น reproductive character รวมทั้งสิ้น 52 ลักษณะ พนว่ามีแกนปัจจัยที่มีค่า因子 loading มากกว่า 1 จำนวน 6 แกน สามารถอธิบายความแปรปรวนของข้อมูลได้รวมทั้งสิ้น 86.584 เปอร์เซ็นต์ (ตารางที่ 4.27) โดยด้วยแปรทุกตัวมีค่า communality มากกว่า 0.5 และค่า factor loading ของตัวแปรทุกตัวในแต่ละแกนปัจจัยมีค่ามากกว่า 0.5 ยกเว้นค่า factor loading ของตัวแปร RBU ในแกนปัจจัยที่ 2 มีค่าเพียง 0.468 เท่านั้น จากการศึกษาองค์ประกอบภายในแกนปัจจัยต่างๆ พนว่าแกนปัจจัยที่ 1 ประกอบด้วย 35 ตัวแปร ได้แก่ ตัวแปรที่แสดงขนาดคือ LPCL1-5, DAP, PFI, LCA, NBU, LAP, LAN 1-3, DEA, LOV, LBU, WAP, WPE 2, LGY และ LRE ตัวแปรที่แสดงรูปร่างลักษณะคือ HOV, RAF, SSTI, SPE, PAP, TAP, NVR, SPO และ RBR รวมทั้งตัวแปรที่แสดงสีสันคือ CPE, CAN, CBU, CFI, CSTI และ CSTY ส่วนแกนปัจจัยที่ 2 ประกอบด้วย 14 ตัวแปร ซึ่งส่วนใหญ่เป็นตัวแปรที่แสดงขนาดคือ LPE 1-5, LSTY, LFI 1-3 และ WPE 1, 3-5 รวมทั้งตัวแปรที่แสดงรูปร่างลักษณะ คือ RBU สำหรับแกนปัจจัยที่ 3 นั้นประกอบด้วยตัวแปรที่แสดงขนาดเพียงอย่างเดียวคือ WCA แกนปัจจัยที่ 4 ประกอบด้วยตัวแปรที่แสดงขนาดเรณูทั้ง 2 ตัวแปรคือ DPA และ TRA และพนว่าแกนปัจจัยที่ 5 กับแกนปัจจัยที่ 6 นั้นไม่มีตัวแปรใดเป็นองค์ประกอบเลย (ตารางที่ 4.28)

เมื่อหมุนแกนปัจจัยแล้วพบว่าค่า factor loading ของตัวแปรในทุกแกนปัจจัยเปลี่ยนแปลงไปจากเดิม แต่ก็ยังคงมีค่ามากกว่า 0.5 ทุกตัวแปร และพบว่าการหมุนแกนปัจจัยยังทำให้องค์ประกอบภายในแต่ละแกนปัจจัยเปลี่ยนไปด้วย กล่าวคือมีตัวแปรเป็นองค์ประกอบของแกนปัจจัยครบทั้ง 6 แกน โดยแกนปัจจัยที่ 1 ประกอบด้วย 25 ตัวแปร ได้แก่ ตัวแปรที่แสดงขนาดคือ PAP, TAP, DAP, PFI, LAP, LPCL 1-5, WAP, LCA, LAN 1-3, DEA, NBU, LOV, LGY, LBU และ LRE ตัวแปรที่แสดงรูปร่างลักษณะคือ NVR, RAF, HOV กับตัวแปรที่แสดงสีสัน คือ CPE สำหรับแกนปัจจัยที่ 2 ประกอบด้วย 14 ตัวแปร ได้แก่ ตัวแปรที่แสดงขนาด คือ LPE 1-5 ตัวแปรที่แสดงรูปร่างลักษณะ คือ SPO, SPE, SSTI และ RBR กับตัวแปรที่แสดงสีสันคือ CSTY, CSTI, CAN, CBU และ CFI ส่วนแกนปัจจัยที่ 3 ประกอบด้วย 5 ตัวแปรที่แสดงถึงความกว้างของกลีบดอกเพียงอย่างเดียวคือ WPE 1-5 แกนปัจจัยที่ 4 ประกอบด้วยตัวแปรที่แสดงขนาดคือ LFI1-3 และ LSTY แกนปัจจัยที่ 5 ประกอบ

ด้วยสองด้วยแปรที่แสดงขนาดของเรณูคือ DPA และ TRA ส่วนแกนปัจจัยสุดท้ายคือแกนปัจจัยที่ 6 นั้นประกอบด้วยด้วยแปรที่แสดงรูปร่างลักษณะคือ RBU กับด้วยแปรที่แสดงขนาดกลีบเลี้ยงคือ WCA (ตารางที่ 4.29)

เมื่อพิจารณาตารางที่ 4.27 จะเห็นว่าแกนปัจจัยแต่ละแกนสามารถอธิบายความแปรปรวนของข้อมูลค่อนข้างดี กล่าวคือแกนปัจจัยที่ 1 สามารถอธิบายความแปรปรวนของข้อมูลได้เดียว 38.391 เปอร์เซ็นต์เท่านั้น ในขณะที่แกนปัจจัยที่ 2-6 สามารถอธิบายความแปรปรวนของข้อมูลได้เท่ากับ 22.727, 10.253, 7.746, 4.222 และ 3.246 เปอร์เซ็นต์ ตามลำดับ ดังนั้นจึงต้องใช้แกนปัจจัยทั้ง 6 แกนร่วมกันจึงจะสามารถอธิบายความแปรปรวนของข้อมูลได้รวมทั้งสิ้น 86.584 เปอร์เซ็นต์

เมื่อนำแกนปัจจัยที่ 1-6 ซึ่งได้จากการวิเคราะห์ปัจจัยมาแสดงความสัมพันธ์ในรูปกราฟ พบร์ความสัมพันธ์ระหว่างแกนปัจจัยที่ 1 กับแกนปัจจัยที่ 2 สามารถแยกประชากรชั้นค่าออกเป็น 3 กลุ่ม (แผนภาพที่ 4.21:๑) คือกลุ่มที่ 1 ประกอบด้วยประชากรที่ 1, 2 และ 3 (*B. pottsii* var. *subsessilis*) กลุ่มที่ 2 ประกอบด้วยประชากรที่ 4 และ 5 (*B. pottsii* var. *pottsii*) และกลุ่มที่ 3 ประกอบด้วยประชากรที่ 6 และ 7 (*B. pottsii* var. *mollissima*) กับประชากรที่ 8 และ 9 (*B. pottsii* var. *velutina*) โดยพบร์ลักษณะ PAP, TAP, DAP, PFI, LAP, LPCL 1-5, WAP, LCA, LAN 1-3, DEA, NBU, LOV, LGY, LBU, LRE, NVR, RAF, HOV และ CPE บนแกนปัจจัยที่ 1 สามารถแยกประชากร *B. pottsii* var. *subsessilis* ออกจากประชากร *B. pottsii* var. *pottsii*, *B. pottsii* var. *mollissima* และ *B. pottsii* var. *velutina* ได้อย่างเด่นชัด ในขณะที่ลักษณะ LPE 1-5, SPO, SPE, SSTI, RBR, CSTY, CSTI, CAN, CBU และ CFI บนแกนปัจจัยที่ 2 สามารถแยกประชากร *B. pottsii* var. *mollissima* กับ *B. pottsii* var. *velutina* ออกจากประชากร *B. pottsii* var. *pottsii* ได้อย่างเด่นชัด

เมื่อพิจารณาความสัมพันธ์ระหว่างแกนปัจจัยที่ 1 กับแกนปัจจัยที่ 3-6 (แผนภาพที่ 4.21:๖-๘ และแผนภาพที่ 4.22:๑) พบร์ลักษณะ WPE 1-5 บนแกนปัจจัยที่ 3 ลักษณะ LFI 1-3 และ LSTY บนแกนปัจจัยที่ 4 ลักษณะ DPA และ TRA บนแกนปัจจัยที่ 5 รวมทั้งลักษณะ RBU กับ WCA บนแกนปัจจัยที่ 6 ไม่สามารถแยกประชากรทั้งหมดออกจากกันได้

เมื่อพิจารณาความสัมพันธ์ระหว่างแกนปัจจัยที่ 2 กับแกนปัจจัยที่ 3-6 (แผนภาพที่ 4.22:๒-๔) พบร์ลักษณะบนแกนปัจจัยที่ 2 สามารถแยกประชากรชั้นค่า

ออกเป็น 3 กลุ่ม ในขณะที่ลักษณะบนแกนปัจจัยที่ 3-6 ไม่สามารถแยกประชากรทั้งหมดออกจากกันได้

เมื่อพิจารณาความสัมพันธ์ระหว่างแกนปัจจัยที่ 3 แกนปัจจัยที่ 4 แกนปัจจัยที่ 5 และแกนปัจจัยที่ 6 ร่วมกัน (แผนภาพที่ 4.22:**๑-๓** และแผนภาพที่ 4.23:**๑-๓**) พบว่าได้ผลสอดคล้องกันกล่าวคือลักษณะบนแกนปัจจัยที่ 3-6 ไม่สามารถแยกประชากรทั้งหมดออกจากกันได้

#### 4.4.4.2 ผลการวิเคราะห์จัดกลุ่มของลักษณะสัณฐานวิทยาของดอกและเรณูของชงโคคำ

การวิเคราะห์จัดกลุ่มประชากรชงโคคำในประเทศไทย โดยใช้ลักษณะสัณฐานวิทยาของดอกและเรณูซึ่งถือว่าเป็น reproductive character รวมทั้งสิ้น 52 ลักษณะ (ตารางที่ 4.28) พบว่าสามารถจัดกลุ่มประชากรชงโคคำออกเป็น 3 กลุ่ม (ภาพที่ 4.43) ได้แก่ กลุ่มที่ 1 ประกอบด้วยประชากรที่ 1, 2 และ 3 (*B. pottsii* var. *subsessilis*) กลุ่มที่ 2 ประกอบด้วยประชากรที่ 4 และ 5 (*B. pottsii* var. *pottsii*) และกลุ่มที่ 3 ประกอบด้วยประชากรที่ 6 และ 7 (*B. pottsii* var. *mollissima*) กับประชากรที่ 8 และ 9 (*B. pottsii* var. *velutina*) เนื่องจากการวิเคราะห์จัดกลุ่มโดยใช้ลักษณะสัณฐานวิทยาของดอกและเรณูแสดงให้เห็นว่าลักษณะสัณฐานวิทยาของดอกและเรณูของประชากร *B. pottsii* var. *mollissima* กับ *B. pottsii* var. *velutina* มีความคล้ายคลึงกันมากเพียงพอที่จะจัดให้เป็นกลุ่มเดียวกันได้ และ มีความแปรผันระหว่างประชากรมากเพียงพอที่จะจัดเป็นคนละกลุ่มกับ *B. pottsii* var. *pottsii* และ *B. pottsii* var. *subsessilis*

#### 4.4.4.3 ผลการวิเคราะห์จัดจำแนกลักษณะสัณฐานวิทยาของดอกและเรณูของชงโคคำ

จากการวิเคราะห์จัดจำแนกประชากรชงโคคำโดยใช้ลักษณะสัณฐานวิทยาของดอกและเรณูซึ่งจัดเป็น reproductive character รวมทั้งสิ้น 52 ลักษณะ พบว่า ลักษณะสัณฐานวิทยาของดอกและเรณู ถูกนำเสนอสู่การวิเคราะห์จัดจำแนกเพียง 16 ลักษณะ (ตารางที่ 4.31) ได้สมการจัดจำแนก 8 สมการ โดยมีสมการที่มีค่าไオเกนมากกว่า 1 รวมทั้งสิ้น 3 สมการคือสมการที่ 1, 2 และ 3 ซึ่งมีค่าไอเกนเท่ากับ 159.655, 9.853 และ 1.649 ตามลำดับ ในขณะที่สมการที่ 4-8 มีค่าไอเกนต่ำกว่า 1 ทั้งหมด (ตารางที่ 4.30)

เมื่อพิจารณาค่าสหสัมพันธ์ค่าโนนิคอลของสมการทั้ง 8 สมการ พบ ร่วมค่าเท่ากับ 0.997, 0.953, 0.789, 0.664, 0.534, 0.422, 0.416 และ 0.314 ตามลำดับ เมื่อนำค่าสหสัมพันธ์ค่าโนนิคอลมายกกำลังสองพบว่าสมการที่ 1-3 เท่านั้นที่มีค่าสหสัมพันธ์ ค่าโนนิคอลยกกำลังสองมากกว่า 0.5 กล่าวคือมีค่าเท่ากับ 0.994, 0.908 และ 0.623 ตาม ลำดับ ในขณะที่ค่าสหสัมพันธ์ค่าโนนิคอลยกกำลังสองของสมการที่ 4-8 มีค่าเท่ากับ 0.441, 0.285, 0.178, 0.173, และ 0.099 ตามลำดับ (ตารางที่ 4.30)

เมื่อพิจารณาค่าวิลค์แอลดา พบว่าสมการที่ 1-5 มีค่าวิลค์แอลดาต่ำ กว่า 0.5 กล่าวคือมีค่าเท่ากับ 0.000, 0.009, 0.092, 0.245 และ 0.437 ตามลำดับ ในขณะที่ ค่าวิลค์แอลดาของสมการที่ 6-8 มีค่าเท่ากับ 0.612, 0.745 และ 0.901 ตามลำดับ และดงว่า สมการที่ 1-3 มีความหมายสมในการทำนายกลุ่มได้ดีกว่าสมการอื่นๆ โดยสมการที่ 1 สามารถ อธิบายความแปรปรวนของข้อมูลได้ถึง 92.30 เปอร์เซ็นต์ ในขณะที่สมการที่ 2 และ 3 สามารถ อธิบายความแปรปรวนของข้อมูลได้เท่ากับ 5.70 และ 1.00 เปอร์เซ็นต์ตามลำดับ ดังนั้น สมการทั้งสามจึงสามารถอธิบายความแปรผันสะสมของข้อมูลรวมกันได้ถึง 99.00 เปอร์เซ็นต์ โดยทั้งสามสมการต่างก็มีค่า chi-square ที่มีความแตกต่างอย่างมีนัยสำคัญทางสถิติที่ระดับ ความเชื่อมั่น 99 % ( $P < 0.01$ ) (ตารางที่ 4.34.30)

เมื่อพิจารณาด้วยแปรที่เป็นองค์ประกอบของสมการจัดจำแนกที่เป็น คําแทนมาตรฐาน (ตารางที่ 4.31) พบว่าสมการที่ 1 ประกอบด้วยด้วยด้วยแปรที่แสดงเฉพาะรูปร่าง ลักษณะคือ RAF ส่วนสมการที่ 2 ประกอบด้วยด้วยด้วยแปรที่แสดงรูปร่างลักษณะคือ NVR และ SPO กับด้วยแปรที่แสดงขนาดคือ LPE 5 สำหรับสมการที่ 3 นั้นประกอบด้วยด้วยด้วยด้วยแปรที่แสดง ขนาดเท่านั้นคือ LAN 1, LPCL 4 และ WCA ในขณะที่สมการที่ 4 และ 5 ไม่มีด้วยแปรใดเป็น องค์ประกอบที่เต้นรัดเลย สมการที่ 6 ประกอบด้วยด้วยด้วยด้วยแปรที่แสดงขนาดคือ LPCL 3 และ DEA กับด้วยแปรที่แสดงรูปร่างลักษณะคือ RBR สมการที่ 7 ประกอบด้วยด้วยด้วยด้วยแปรที่แสดง ขนาดทั้ง 2 ด้วยแปรคือ LPCL 2 และ LGY สุดท้ายคือสมการที่ 8 ประกอบด้วยด้วยด้วยด้วยแปรที่แสดง ขนาดทั้ง 4 ด้วยแปร คือ DAP, LAP, WAP และ DPA

เมื่อพิจารณาค่าสัมประสิทธิ์สหสัมพันธ์ระหว่างลักษณะสัณฐานวิทยา ของดอกและเรณูของชงโคลคำที่ใช้ในการวิเคราะห์จัดจำแนกกับสมการจัดจำแนก(ตารางที่ 4.32) ก็พบว่าด้วยแปรที่มีความสำคัญในการจัดจำแนกของสมการที่ 1 ก็คือ RAF และ LPCL 4-5 แต่ด้วยแปร LPCL 5 ไม่ถูกนำไปใช้ในการวิเคราะห์จัดจำแนก สำหรับด้วยแปรที่มีความ สำคัญในการจัดจำแนกของสมการที่ 2 คือ SPO, LPE 4-5 และ NVR โดยด้วยแปร LPE 4 ไม่ ถูกนำไปใช้ในการวิเคราะห์จัดจำแนก ส่วนสมการที่ 3 นั้นประกอบด้วยด้วยด้วยแปรที่มีความสำคัญ

ในการจัดจำแนกถึง 9 ตัวแปรคือ WCA, LAN 1-3, LCA, WPE 3, LOV, LBU และ LRE และตัวแปรที่ถูกนำไปใช้ในการจัดจำแนกมีเพียง 2 ตัวแปรเท่านั้นคือ WCA และ LAN 1 สำหรับสมการที่ 4-8 ซึ่งมีค่าไออกน์ต่ำกว่า 1 มีค่าสัมพันธ์ค่อนข้างคล่องตัวกว่า 0.5 มีค่าวิลค์แลมดามากกว่า 0.5 และอธิบายความแปรปรวนของข้อมูลได้เปอร์เซ็นต์ต่ำมากถึงไม่เหมาะสมที่จะนำมาใช้ในการจัดจำแนก ประกอบด้วยตัวแปรดังนี้คือ สมการที่ 4 ประกอบด้วยตัวแปร DPA, TRA สมการที่ 5 ประกอบด้วยตัวแปร LAP สมการที่ 6 ประกอบด้วยตัวแปร PFI, LPCL 1 และ 3, DEA, RBR, LPE 1-3, WPE 2 และ LFI 1-3 สมการที่ 7 ประกอบด้วยตัวแปร LGY, LPCL 2, NBU, WPE 1,4 และ 5 ส่วนสมการที่ 8 ประกอบด้วยตัวแปร WAP, DAP และ LSTY โดยตัวแปรในสมการที่ 4-8 ซึ่งถูกนำไปใช้ในการวิเคราะห์จัดจำแนกคือ DPA, LAP, LPCL 2-3, DEA, RBR, LGY, WAP และ DAP

เมื่อพิจารณาความสามารถในการอธิบายความแปรปรวนของข้อมูลของสมการจัดจำแนก (ตารางที่ 4.30) พบร่วมกัน 92.30, 5.70 และ 1.00 เปอร์เซ็นต์ ตามลำดับดังนั้น การใช้เพียงสมการที่ 1 และสมการที่ 2 ในการวิเคราะห์จัดจำแนกสามารถอธิบายความแปรปรวนของข้อมูลร่วมกันได้มากถึง 98.00 เปอร์เซ็นต์ โดยพบว่าความสัมพันธ์ของสมการทั้ง 2 นี้สามารถจัดจำแนกประชากรของชงโโคต้าออกเป็น 3 กลุ่มได้อย่างเด่นชัด (ภาพที่ 4.48:①) คือ กลุ่มที่ 1 ประกอบด้วยประชากรที่ 1, 2 และ 3 (*B. pottsii* var. *subsessilis*) กลุ่มที่ 2 ประกอบด้วยประชากรที่ 4 และ 5 (*B. pottsii* var. *pottsii*) และกลุ่มที่ 3 ประกอบด้วยประชากรที่ 6 และ 7 (*B. pottsii* var. *mollissima*) กับประชากรที่ 8 และ 9 (*B. pottsii* var. *velutina*) และเมื่อพิจารณาการทำนายกลุ่มประชากรจากสมการที่ได้จากการวิเคราะห์จัดจำแนกลักษณะสัณฐานวิทยาของดอกและเรณูพบว่ามีค่าเท่ากับ 83.10 เปอร์เซ็นต์แสดงว่าสมการจัดจำแนกสามารถทำนายกลุ่มได้ดี (ตารางที่ 4.33)

#### 4.4.5 ผลการวิเคราะห์ลักษณะสัณฐานวิทยาของใบ ดอกและเรณูของชงโโคต้า

##### 4.4.5.1 ผลการวิเคราะห์ปัจจัยลักษณะสัณฐานวิทยาของใบ ดอกและเรณูของชงโโคต้า

จากการวิเคราะห์ปัจจัยลักษณะสัณฐานวิทยาของใบซึ่งเป็น vegetative character ร่วมกับลักษณะสัณฐานวิทยาของดอกและเรณูซึ่งเป็น reproductive character รวมทั้งสิ้น 59 ลักษณะ พบว่ามีแกนปัจจัยที่มีค่าไออกน์มากกว่า 1 จำนวน 7 แกน สามารถอธิบายความแปรปรวนของข้อมูลได้รวมทั้งสิ้น 86.411 เปอร์เซ็นต์ (ตารางที่ 4.34)

โดยตัวแปรทุกดั่วยิ่งค่า communalities มากกว่า 0.5 และค่า factor loading ของตัวแปรในแกนปัจจัยเกือบทั้งหมดมีค่ามากกว่า 0.5 ยกเว้นค่า factor loading ของตัวแปร RBU ในแกนปัจจัยที่ 1 มีค่าเพียง 0.472 เท่านั้น จากการศึกษาองค์ประกอบภายในแกนปัจจัยแต่ละแกนพบว่าแกนปัจจัยที่ 1 ประกอบด้วย 42 ตัวแปร ได้แก่ตัวแปรที่แสดงขนาดคือ LPCL 1-5, DAP, PFI, NBU, LCA, LAP, LAN 1-3, DEA, LOV, WLE, LBU, WAP, LLE, WPE 2, LGY, LRE และ WBF ตัวแปรที่แสดงรูปร่างลักษณะคือ HLE, HOV, HUE, RAF, PAP, TAP, SPE, SSTI, NVR, SPO, NSV, RBR และ RBU รวมทั้งตัวแปรที่แสดงสีสันคือ CPE, CBU, CSTI, CAN, CSTY และ CFI ส่วนแกนปัจจัยที่ 2 ประกอบด้วย 13 ตัวแปรซึ่งล้วนแต่เป็นตัวแปรที่แสดงขนาดทั้งสิ้นคือ LPE 1-5, LSTY, LFI 1-3 และ WPE 1, 3-5 สำหรับแกนปัจจัยที่ 3 ประกอบด้วย 2 ตัวแปรที่แสดงขนาดคือ WCA และ LBF ในขณะที่แกนปัจจัยที่ 4 ประกอบด้วย 2 ตัวแปรที่แสดงขนาดของเรณูคือ TRA และ DPA สำหรับแกนปัจจัยที่ 5, 6 และ 7 นั้นพบว่าไม่มีตัวแปรใดเป็นองค์ประกอบเลย (ตารางที่ 4.35)

เมื่อหมุนแกนปัจจัยแล้วพบว่าค่า factor loading ของตัวแปรในแต่ละแกนปัจจัยเปลี่ยนไปจากเดิม แต่ยังคงมีค่ามากกว่า 0.5 ทุกตัวแปร นอกจากนี้การหมุนแกนปัจจัยยังทำให้แกนปัจจัยแต่ละแกนมีตัวแปรที่มีความสัมพันธ์กันภายในแกนสูงครบทั้ง 7 แกน อีกด้วย กล่าวคือแกนปัจจัยที่ 1 ประกอบด้วย 27 ตัวแปร ได้แก่ ตัวแปรที่แสดงขนาดคือ DAP, LAP, PFI, WAP, LAN1-3, LPCL1-5, LCA, DEA, NBU, LGY, LOV, LBU และ LRE ตัวแปรที่แสดงรูปร่างลักษณะคือ PAP, TAP, NVR, RAF, HLE, HOV และ HUE รวมทั้งตัวแปรที่แสดงสีสันคือ CPE ส่วนแกนปัจจัยที่ 2 ประกอบด้วย 15 ตัวแปรได้แก่ ตัวแปรที่แสดงขนาดคือ LPE1-5 ตัวแปรที่แสดงรูปร่างลักษณะคือ SPO, SPE, SSTI, RBR และ NSV รวมทั้งตัวแปรที่แสดงสีสันคือ CFI, CSTY, CBU, CSTI และ CAN สำหรับแกนปัจจัยที่ 3 นั้นประกอบด้วยตัวแปรที่แสดงขนาดกลืนดอกเพียงอย่างเดียวคือ WPE 1-5 แกนปัจจัยที่ 4 ประกอบด้วย ตัวแปรที่แสดงเนพาะขนาดเช่นกันคือ LFI 1-3 และ LSTY ส่วนแกนปัจจัยที่ 5 ประกอบด้วย ตัวแปรที่แสดงขนาดของใบเพียงอย่างเดียวคือ LLE,LBF, WBF และ WLE และแกนปัจจัยที่ 6 ประกอบด้วยตัวแปรที่แสดงขนาดของเรณูคือ DPA และ TRA แกนปัจจัยสุดท้ายคือแกนปัจจัยที่ 7 ประกอบด้วยตัวแปรที่แสดงรูปร่างลักษณะดอกดุมคือ RBU กับตัวแปรที่แสดงความกว้างกลีบเลี้ยงคือ WCA (ตารางที่ 4.36)

เมื่อพิจารณาตารางที่ 4.34 จะเห็นว่าแกนปัจจัยแต่ละแกนสามารถอธิบายความแปรปรวนของข้อมูลค่อนข้างต่ำกล่าวคือแกนปัจจัยที่ 1 สามารถอธิบายความแปรปรวนของข้อมูลได้สูงสุดเพียง 35.939 เปอร์เซ็นต์เท่านั้น ในขณะที่แกนปัจจัยที่ 2-7 สามารถอธิบายความแปรปรวนของข้อมูลได้เท่ากับ 22.549, 9.250, 7.215, 4.994, 3.686

และ 2.779 เปอร์เซ็นต์ตามลำดับ ดังนั้นจึงต้องใช้แกนปัจจัยทั้งหมด 7 แกนร่วมกันจึงจะสามารถอธิบายความแปรปรวนของข้อมูลได้รวมทั้งสิ้น 86.411 เปอร์เซ็นต์

เมื่อนำแกนปัจจัยที่ 1-7 ซึ่งได้จากการวิเคราะห์ปัจจัยมาแสดงความสัมพันธ์ในรูปกราฟ พบร้าความสัมพันธ์ระหว่างแกนปัจจัยที่ 1 กับแกนปัจจัยที่ 2 สามารถแยกประชากรชั้นโคลาออกเป็น 3 กลุ่ม (แผนภาพที่ 4.23:①) คือกลุ่มที่ 1 ประกอบด้วยประชากรที่ 1, 2 และ 3 (*B. pottsii* var. *subsessilis*) กลุ่มที่ 2 ประกอบด้วยประชากรที่ 4 และ 5 (*B. pottsii* var. *pottsii*) และกลุ่มที่ 3 ประกอบด้วยประชากรที่ 6 และ 7 (*B. pottsii* var. *mollissima*) กับประชากรที่ 8 และ 9 (*B. pottsii* var. *velutina*) โดยพบร้าลักษณะ DAP, LAP, PFI, WAP, LAN 1-3, LPCL 1-5, LCA, DEA, NBU, LGY, LOV, LBU, LRE, PAP, TAP, NVR, RAF, HLE, HOV, HUE และ CPE บนแกนปัจจัยที่ 1 สามารถแยกประชากร *B. pottsii* var. *subsessilis* ออกจากประชากร *B. pottsii* var. *pottsii*, *B. pottsii* var. *mollissima* และ *B. pottsii* var. *velutina* ได้อย่างเด่นชัด ในขณะที่ลักษณะ LPE 1-5, SPO, SPE, SSTI, RBR, NSV, CFI, CSTY, CBU, CSTI และ CAN บนแกนปัจจัยที่ 1 สามารถแยกประชากร *B. pottsii* var. *mollissima* กับ *B. pottsii* var. *velutina* ออกจากประชากร *B. pottsii* var. *pottsii* ได้อย่างเด่นชัด

เมื่อพิจารณาความสัมพันธ์ระหว่างแกนปัจจัยที่ 1 กับแกนปัจจัยที่ 3-7 (แผนภาพที่ 4.23:⑥-① และแผนภาพที่ 4.24:①) พบร้าลักษณะ WPE1-5 บนแกนปัจจัยที่ 3 ลักษณะ LFI 1-3 และ LSTY บนแกนปัจจัยที่ 4 ลักษณะ LLE, LBF, WBF และ WLE บนแกนปัจจัยที่ 5 ลักษณะ DPA และ TRA บนแกนปัจจัยที่ 6 รวมทั้งลักษณะ RBU กับ WCA บนแกนปัจจัยที่ 7 ไม่สามารถแยกประชากรชั้นโคลาออกกันได้

เมื่อพิจารณาความสัมพันธ์ระหว่างแกนปัจจัยที่ 2 กับแกนปัจจัยที่ 3-7 (แผนภาพที่ 4.24:②-⑥) พบร้าลักษณะบนแกนปัจจัยที่ 2 สามารถแยกประชากรชั้นโคลาออกเป็น 3 กลุ่ม ในขณะที่ลักษณะบนแกนปัจจัยที่ 3-7 ไม่สามารถแยกประชากรชั้นโคลาออกจากกันได้

เมื่อพิจารณาความสัมพันธ์ระหว่างแกนปัจจัยที่ 3 แกนปัจจัยที่ 4 แกนปัจจัยที่ 5 แกนปัจจัยที่ 6 และแกนปัจจัยที่ 7 ร่วมกัน (แผนภาพที่ 4.24: ⑦-③ และแผนภาพที่ 4.25:①-③) พบร้าได้ผลสอดคล้องกันกล่าวคือลักษณะบนแกนปัจจัยที่ 3-7 ไม่สามารถแยกประชากรชั้นโคลาออกจากกันได้

#### 4.4.5.2 ผลการวิเคราะห์จัดกลุ่มของลักษณะสัณฐานวิทยาของใบ ดอกและเรณู ของชงโคงคำ

การวิเคราะห์จัดกลุ่มประชากรชงโคงคำในประเทศไทยโดยใช้ทั้งลักษณะสัณฐานวิทยาของใบซึ่งถือว่าเป็น vegetative character ร่วมกับลักษณะสัณฐานวิทยาของดอกและเรณู ซึ่งเป็น reproductive character รวมทั้งสิ้น 59 ลักษณะ (ตารางที่ 4.35) พบว่าสามารถจัดกลุ่มประชากรชงโคงคำออกเป็น 3 กลุ่ม (ภาพที่ 4.44) "ได้แก่กลุ่มที่ 1 ประกอบด้วยประชากรที่ 1, 2 และ 3 (*B. pottsii* var. *subsessilis*) กลุ่มที่ 2 ประกอบด้วยประชากรที่ 4 และ 5 (*B. pottsii* var. *pottsii*) และกลุ่มที่ 3 ประกอบด้วยประชากรที่ 6 และ 7 (*B. pottsii* var. *mollissima*) กับประชากรที่ 8 และ 9 (*B. pottsii* var. *velutina*) โดยพบว่าประชากรกลุ่มที่ 1 มีการจัดกลุ่มแยกออกจากประชากรกลุ่มที่ 2 และประชากรกลุ่มที่ 3 อย่างเด่นชัด เนื่องจาก ограмจากการวิเคราะห์ลักษณะสัณฐานวิทยาของใบดอกและเรณูแสดงให้เห็นว่าลักษณะสัณฐานวิทยาของใบ ดอกและเรณูของ *B. pottsii* var. *mollissima* กับ *B. pottsii* var. *velutina* มีความแปรผันระหว่างประชากรน้อยถูกจัดให้เป็นกลุ่มเดียวกันในขณะที่ประชากร *B. pottsii* var. *subsessilis* และ *B. pottsii* var. *pottsii* มีความแปรผันระหว่างประชากรมากเพียงพอที่จะจัดเป็นคนละกลุ่มกันได้อย่างเด่นชัด

#### 4.4.5.3 ผลการวิเคราะห์จัดจำแนกลักษณะสัณฐานวิทยาของใบ ดอก และเรณูของชงโคงคำ

จากการวิเคราะห์จัดจำแนกประชากรชงโคงคำโดยใช้ลักษณะสัณฐานวิทยาของใบซึ่งเป็น vegetative character กับลักษณะสัณฐานวิทยาของดอกและเรณูซึ่งเป็น reproductive character รวมทั้งสิ้น 59 ลักษณะ พบร่วมกับลักษณะสัณฐานวิทยาของใบ ดอกและเรณู ถูกนำเข้าสู่การวิเคราะห์จัดจำแนกเพียง 20 ลักษณะ (ตารางที่ 3.38) ได้สมการจัดจำแนก 8 สมการ โดยมีสมการที่มีค่าไオเกนมากกว่า 1 รวมทั้งสิ้น 3 สมการคือสมการที่ 1, 2 และ 3 ซึ่งมีค่าไอเกนเท่ากับ 170.085, 10.593 และ 1.785 ตามลำดับ ในขณะที่สมการที่ 4-8 มีค่าไอเกนต่ำกว่า 1 ทั้งหมด (ตารางที่ 4.37)

เมื่อพิจารณาค่าสหสัมพันธ์ค่าโนนิคอลของสมการที่ 1-8 พบร่วมกับ 0.997, 0.956, 0.801, 0.690, 0.602, 0.450, 0.421 และ 0.325 ตามลำดับ เมื่อนำค่าสหสัมพันธ์ค่าโนนิคอลมายกกำลังสองพบว่าสมการที่ 1-3 เท่านั้นที่มีค่าสหสัมพันธ์ค่าโนนิคอลยกกำลังสองมากกว่า 0.5 กล่าวคือ มีค่าเท่ากับ 0.994, 0.914 และ 0.642 ตามลำดับ ใน

ขณะที่ค่าสหสัมพันธ์ค่าโนนิคอลยกกำลังสองของสมการที่ 4-8 มีค่าเท่ากับ 0.476, 0.362, 0.203, 0.177 และ 0.106 ตามลำดับ (ตารางที่ 4.37)

เมื่อพิจารณาค่าวิลค์แอลดาพบว่าสมการที่ 1-5 มีค่าวิลค์แอลดาต่ำกว่า 0.5 คือเท่ากับ 0.000, 0.006, 0.070, 0.196 และ 0.374 ตามลำดับ ในขณะที่ค่าวิลค์แอลดาของสมการที่ 6-8 มีค่าเท่ากับ 0.587, 0.736 และ 0.894 ตามลำดับ แสดงว่าสมการที่ 1-3 มีความเหมาะสมในการทำนายกลุ่มได้ดีกว่าสมการอื่นๆ โดยสมการที่ 1 สามารถอธิบายความแปรปรวนของข้อมูลได้ถึง 92.30 เปอร์เซ็นต์ในขณะที่สมการที่ 2 และ 3 สามารถอธิบายความแปรปรวนของข้อมูลได้เท่ากับ 5.60 และ 1.00 เปอร์เซ็นต์ตามลำดับ ดังนั้นสมการทั้งสามจึงสามารถอธิบายความแปรผันสะสมของข้อมูลรวมกันได้ถึง 98.90 เปอร์เซ็นต์ โดยทั้งสามสมการต่างก็มีค่า chi-square ที่มีความแตกต่างอย่างมีนัยสำคัญทางสถิติที่ระดับความเชื่อมั่น 99 % ( $P < 0.01$ ) (ตารางที่ 4.37)

เมื่อพิจารณาด้วยแปรที่เป็นองค์ประกอบของสมการจัดจำแนกที่เป็นคะแนนมาตรฐาน (ตารางที่ 4.38) พบว่าสมการที่ 1 ประกอบด้วยตัวแปรที่แสดงรูปร่างลักษณะคือ RAF กับตัวแปรที่แสดงขนาดคือ LPCL 3 ส่วนสมการที่ 2 ประกอบด้วย 4 ตัวแปรได้แก่ตัวแปรที่แสดงรูปร่างลักษณะคือ NVR และ SPO กับตัวแปรที่แสดงขนาดคือ LPE 5 และ LBF สำหรับสมการที่ 3 ประกอบด้วยตัวแปรที่แสดงขนาดเท่านั้นคือ LAN 1, LPCL 4, LGY และ WCA ในขณะที่สมการที่ 4 ประกอบด้วยตัวแปรที่แสดงรูปร่างลักษณะในคือ NSV และสมการที่ 5 ประกอบด้วยตัวแปรที่แสดงขนาดในคือ LLE และ WLE สำหรับสมการที่ 6 นั้นประกอบด้วยตัวแปรที่แสดงขนาดกลีบดอกคือ WPE 4 ส่วน สมการที่ 7 ประกอบด้วยตัวแปรที่แสดงขนาดของเรณูและรูปร่างลักษณะของดอกทูม คือ DEA และ RBR ตามลำดับ สมการสุดท้ายคือสมการที่ 8 ประกอบด้วยตัวแปรที่แสดงขนาดของเรณูเท่านั้นคือ DAP, LAP, WAP และ DPA

อย่างไรก็ตาม เมื่อพิจารณาค่าสัมประสิทธิ์สหสัมพันธ์ระหว่างลักษณะสัณฐานวิทยาของใบ ดอก และเรณูของชงโคงคำที่ใช้ในการวิเคราะห์จัดจำแนกกับสมการจัดจำแนก (ตารางที่ 4.39) ก็พบว่าตัวแปรที่มีความสำคัญต่อการจัดจำแนกของสมการที่ 1 คือ RAF และ LPCL 4-5 โดยตัวแปรที่ถูกนำไปใช้ในการจัดจำแนกคือ RAF กับ LPCL 4 เท่านั้น ส่วนตัวแปรที่มีความสำคัญในการจัดจำแนกของสมการที่ 2 นั้นคือ SPO, LPE 5 และ NVR โดยตัวแปรทั้ง 3 ตัวแปรถูกนำไปใช้ในการจัดจำแนกทั้งหมด สำหรับสมการที่ 3 นั้นประกอบด้วยตัวแปรที่มีความสำคัญในการจัดจำแนกมากถึง 9 ตัวแปร คือ WCA, LAN 1-3, WPE 3, LCA, LOV, LBU และ LRE แต่ตัวแปรที่ถูกนำไปใช้ในการจัดจำแนกมีเพียง 2 ตัวแปรเท่านั้น

คือ WCA และ LAN 1 สำหรับสมการที่ 4-8 นั้นมีค่าไอยูเกนต่ำกว่า 1 มีค่าสัมพันธ์ค่อนข้างต่ำกว่า 0.5 และอธิบายความแปรปรวนของข้อมูลได้เปอร์เซ็นต์ต่ำมากจึงไม่เหมาะสมที่จะนำมาใช้ในการจัดจำแนก ประกอบด้วยตัวแปรดังด่อไปนี้ สมการที่ 4 ประกอบด้วยตัวแปรที่แสดงขนาดของเรณูคือ DPA, TRA กับตัวแปรที่แสดงรูปร่างลักษณะของใบคือ NSV สมการที่ 5 ประกอบด้วยตัวแปรที่แสดงขนาดของเรณู คือ LAP กับตัวแปรที่แสดงขนาดใบคือ WLE, WBF, LLE และ LBF สมการที่ 6 ประกอบด้วยตัวแปรที่แสดงรูปร่างลักษณะและขนาดของดอกคือ LGY, WPE 1, 4-5, LPCL 1-3, LFI 1 และ NBU สมการที่ 7 ประกอบด้วยตัวแปรที่แสดงขนาดของเรณูคือ PFI, DAP และ DEA กับตัวแปรที่แสดงรูปร่างลักษณะและขนาดของดอกคือ LPE 1-4, WPE 2, RBR และ LFI 2-3 ส่วนสมการที่ 8 นั้นประกอบด้วยตัวแปรที่แสดงขนาดของเรณูคือ WAP กับตัวแปรที่แสดงขนาดของดอกคือ LSTY โดยพบว่าตัวแปรที่เป็นองค์ประกอบในสมการที่ 4-8 นี้ถูกนำไปใช้ในการวิเคราะห์จัดจำแนกเพียง 13 ตัวแปร คือ DPA, NSV, LAP, WLE, LLE, LBF, LGY, WPE 4, LPCL 3, DAP, DEA, RBR และ WAP

เมื่อพิจารณาความสามารถในการอธิบายความแปรปรวนของข้อมูลของสมการจัดจำแนก (ตารางที่ 4.37) พบร่วมกันได้ถึง 98.90 เปอร์เซ็นต์ โดยสมการที่ 1 อธิบายความแปรปรวนของข้อมูลรวมกันได้ถึง 92.30 เปอร์เซ็นต์ สมการที่ 2 และสมการที่ 3 อธิบายความแปรปรวนของข้อมูลได้ 5.60 และ 1.00 เปอร์เซ็นต์ ตามลำดับ เมื่อใช้สมการที่ 1 และสมการที่ 2 มาแสดงความสัมพันธ์ในรูปกราฟ พบร่วมกันได้ถึง 92.30 เปอร์เซ็นต์ โดยกลุ่มที่ 1 ประกอบด้วยประชากรที่ 1, 2 และ 3 (*B. pottsii* var. *subsessilis*) กลุ่มที่ 2 ประกอบด้วยประชากรที่ 4 และ 5 (*B. pottsii* var. *pottsii*) และกลุ่มที่ 3 ประกอบด้วยประชากรที่ 6 และ 7 (*B. pottsii* var. *mollissima*) กับประชากรที่ 8 และ 9 (*B. pottsii* var. *velutina*) และเมื่อพิจารณาการทำนายกลุ่มประชากรจากสมการที่ได้จากการวิเคราะห์จัดจำแนกกลักษณะสัณฐานวิทยาของใบ ดอกและเรณู ก็พบว่ามีค่าถึง 84.90 เปอร์เซ็นต์ แสดงว่าสมการจัดจำแนกสามารถทำนายกลุ่มได้ดี (ตารางที่ 4.40)

#### 4.4.6 ผลการวิเคราะห์ลักษณะแบบแผนไอโซไซม์ของชงโคลดำเนินการ

##### 4.4.6.1 ผลการวิเคราะห์ปัจจัยของลักษณะแบบแผนไอโซไซม์ของชงโคลดำเนินการ

จากการศึกษาลักษณะแบบแผนไอโซไซม์ของชงโคลดำเนินการแบบแผนไอโซไซม์ที่เป็น polymorphism ของไอโซไซม์ 6 ระบบคือ acid phosphatase

(ACP), esterase (EST), glutamate oxaloacetate transaminase (GOT), malate dehydrogenase (MDH), peroxidase (PER) และ shikimate dehydrogenase (SKDH) ซึ่งพบว่าไอโซไซม์แต่ละระบบมีแบบแผนแตกต่างกันในชงโคงคำแต่ละพันธุ์ เมื่อนำค่า RF ของแบบไอโซไซม์ที่พบในชงโคงคำแต่ละพันธุ์รวมทั้งสิ้น 36 ลักษณะ (ตารางที่ 4.4) มาวิเคราะห์ปัจจัย พบว่ามีแคนปัจจัยที่มีค่าไอเกนมากกว่า 1 จำนวน 7 แคน ซึ่งสามารถอธิบายความแปรปรวนของข้อมูลได้รวมทั้งสิ้น 75.197 เปอร์เซ็นต์ (ตารางที่ 4.41) โดยด้วยตัวแปรส่วนใหญ่มีค่า communality มากกว่า 0.5 ยกเว้นด้วย PER 2, PER 2 และ PER 8 ในแคนปัจจัยที่ 2 ด้วย PER 12 ในแคนปัจจัยที่ 3 และด้วย PER 15 ในแคนปัจจัยที่ 4 ที่มีค่า communality เท่ากับ 0.381, 0.400, 0.438, 0.409 และ 0.429 ตามลำดับ (ตารางที่ 4.42) นอกจากนี้ยังพบว่าค่า factor loading ของด้วยตัวแปรในแคนปัจจัยส่วนใหญ่มีค่ามากกว่า 0.5 เช่น กัน ยกเว้นด้วย SKDH 2 ในแคนปัจจัยที่ 1 ด้วย PER 8 และ PER 2 ในแคนปัจจัยที่ 2 ด้วย PER 12 ในแคนปัจจัยที่ 3 ด้วย PER 15 ในแคนปัจจัยที่ 4 ด้วย EST 10 ในแคนปัจจัยที่ 5 ด้วย PER 7 และ PER 10 ในแคนปัจจัยที่ 6 และด้วย PER 6 ในแคนปัจจัยที่ 7 ซึ่งมีค่า factor loading เท่ากับ 0.488, 0.414, 0.378, 0.461, 0.383, 0.438, 0.485, 0.449 และ 0.444 ตามลำดับ

เมื่อพิจารณาองค์ประกอบในแคนปัจจัยแต่ละแคนพบว่าแคนปัจจัยที่ 1 ประกอบด้วย 14 ด้วยตัวแปรได้แก่ ด้วยตัวแปรที่แสดงลักษณะแบบแผนไอโซไซม์ acid phosphatase คือ ACP1 และ ACP 2 ด้วยตัวแปรที่แสดงลักษณะแบบแผนไอโซไซม์ glutamate oxaloacetate transaminase คือ GOT 1, GOT 2 และ GOT 3 ด้วยตัวแปรที่แสดงลักษณะแบบแผนไอโซไซม์ shikimate dehydrogenase คือ SKDH 1 และ SKDH 2 ด้วยตัวแปรที่แสดงลักษณะแบบแผนไอโซไซม์ malate dehydrogenase คือ MDH 1 และ MDH 2 รวมทั้งด้วยตัวแปรที่แสดงลักษณะแบบแผนไอโซไซม์ peroxidase คือ PER 1, PER 9, PER 11, PER 13 และ PER 14 ส่วนแคนปัจจัยที่ 2 ประกอบด้วย 10 ด้วยตัวแปร ได้แก่ ด้วยตัวแปรที่แสดงลักษณะแบบแผนไอโซไซม์ esterase คือ EST 1, EST 2, EST 4, EST 5, EST 6, EST 7 และ EST 9 กับด้วยตัวแปรที่แสดงลักษณะแบบแผนไอโซไซม์ peroxidase คือ PER 2, PER 3 และ PER 8 สำหรับแคนปัจจัยที่ 3 ประกอบด้วย 5 ด้วยตัวแปร ได้แก่ ด้วยตัวแปรที่แสดงลักษณะแบบแผนไอโซไซม์ malate dehydrogenase คือ MDH 3 ด้วยตัวแปรที่แสดงลักษณะแบบแผนไอโซไซม์ esterase คือ EST 3 และ EST 8 และด้วยตัวแปรที่แสดงลักษณะแบบแผนไอโซไซม์ peroxidase คือ PER 12 และ PER 16 ส่วนแคนปัจจัยที่ 4 ประกอบด้วย 1 ด้วยตัวแปรที่แสดงลักษณะแบบแผนไอโซไซม์ peroxidase เพียงตัวแปรเดียวคือ PER 15 แคนปัจจัยที่ 5 ประกอบด้วย 1 ด้วยตัวแปรที่แสดงลักษณะแบบแผนไอโซไซม์ esterase คือ EST 10 กับด้วยตัวแปรที่แสดงลักษณะแบบแผนไอโซไซม์ peroxidase คือ PER 4 และ PER 5 ส่วนแคนปัจจัยที่ 6 และแคนปัจจัยที่ 7 ประกอบด้วย 1 ด้วยตัวแปรที่แสดง

ลักษณะแบบแผนไฮโซไซม์ peroxidase คือ PER 7, PER 10 และ PER 6 ตามลำดับ (ตารางที่ 4.42)

เมื่อหmundagenปัจจัยพบว่า ค่า factor loading ของตัวแปรในแต่ละแกนปัจจัยเปลี่ยนไปจากเดิมและส่วนใหญ่มีค่ามากกว่า 0.5 ยกเว้น ตัวแปร PER 2 ในแกนปัจจัยที่ 1, ตัวแปร PER 12 ในแกนปัจจัยที่ 4 และตัวแปร PER 15 ในแกนปัจจัยที่ 6 มีค่า factor loading เท่ากับ 0.480, 0.405 และ 0.457 ตามลำดับ นอกจากนี้การหmundagenปัจจัยยังทำให้องค์ประกอบภายในแกนปัจจัยเปลี่ยนไปด้วย กล่าวคือ แกนปัจจัยที่ 1 มีตัวแปรลดลงเป็น 12 ตัวแปร ประกอบด้วยตัวแปรที่แสดงลักษณะแบบแผนไฮโซไซม์ acid phosphatase คือ ACP1 และ ACP 2 ตัวแปรที่แสดงลักษณะแบบแผนไฮโซไซม์ glutamate oxaloacetate transaminase คือ GOT 1, GOT 2 และ GOT 3 ตัวแปรที่แสดงลักษณะแบบแผนไฮโซไซม์ malate dehydrogenase คือ MDH 1 และ MDH 2 ตัวแปรที่แสดงลักษณะแบบแผนไฮโซไซม์ shikimate dehydrogenase คือ SKDH 1 และตัวแปรที่แสดงลักษณะแบบแผนไฮโซไซม์ peroxidase คือ PER 1, PER 2, PER 8 และ PER 9 ส่วนแกนปัจจัยที่ 2 เหลือเพียง 6 ตัวแปร ได้แก่ตัวแปรที่แสดงลักษณะแบบแผนไฮโซไซม์ esterase คือ EST 1, EST 2, EST 4 และ EST 7 ตัวแปรที่แสดงลักษณะแบบแผนไฮโซไซม์ malate dehydrogenase คือ MDH 3 และตัวแปรที่แสดงลักษณะแบบแผนไฮโซไซม์ peroxidase คือ PER 3 สำหรับแกนปัจจัยที่ 3 นั้นมีตัวแปรเพิ่มขึ้นเป็น 9 ตัวแปรได้แก่ตัวแปรที่แสดงลักษณะแบบแผนไฮโซไซม์ esterase คือ EST 3, EST 5, EST 6, EST 8 และ EST 9 กับตัวแปรที่แสดงลักษณะแบบแผนไฮโซไซม์ peroxidase คือ PER 11, PER 13, PER 14 และ PER 16 แกนปัจจัยที่ 4 ประกอบด้วย 3 ตัวแปรได้แก่ตัวแปรที่แสดงลักษณะแบบแผนไฮโซไซม์ peroxidase คือ PER 6 และ PER 12 กับตัวแปรที่แสดงลักษณะแบบแผนไฮโซไซม์ shikimate dehydrogenase คือ SKDH 2 สำหรับแกนปัจจัยที่ 5 และแกนปัจจัยที่ 6 นั้น ประกอบด้วยตัวแปรที่แสดงลักษณะแบบแผนไฮโซไซม์ peroxidase ทั้งหมด คือ PER 7, PER 10 และ PER 5, PER 15 ตามลำดับ ส่วนแกนปัจจัยที่ 7 ประกอบด้วยตัวแปรที่แสดงลักษณะแบบแผนไฮโซไซม์ peroxidase คือ PER 4 กับตัวแปรที่แสดงลักษณะแบบแผนไฮโซไซม์ esterase คือ EST 10 (ตารางที่ 4.43)

เมื่อพิจารณาข้อมูลจากการที่ 4.41 จะเห็นว่าแกนปัจจัยแต่ละแกนสามารถอธิบายความแปรปรวนของข้อมูลได้ค่อนข้างดี กล่าวคือแกนปัจจัยที่ 1 สามารถอธิบายความแปรปรวนของข้อมูลได้ 29.452 เปอร์เซ็นต์เท่านั้น ส่วนแกนปัจจัยที่ 2-7 สามารถอธิบายความแปรปรวนของข้อมูลได้เท่ากับ 16.250, 15.616, 3.827, 3.432, 3.379 และ 3.242 เปอร์เซ็นต์ตามลำดับ ดังนั้นจึงต้องใช้แกนปัจจัยทั้งหมด 7 แกนร่วมกันจึงจะสามารถอธิบายความแปรปรวนของข้อมูลได้รวมทั้งสิ้น 75.197 เปอร์เซ็นต์

เมื่อนำแกนปัจจัยที่ 1-7 ซึ่งได้จากการวิเคราะห์ปัจจัยมาแสดงความสัมพันธ์ในรูปกราฟพบว่าความสัมพันธ์ระหว่างแกนปัจจัยที่ 1 กับแกนปัจจัยที่ 2 สามารถแยกประชากรชงโคล์ดออกเป็น 3 กลุ่ม (แผนภาพที่ 4.26:①) ได้แก่ กลุ่มที่ 1 คือประชากรที่ 1 (*B. pottsii* var. *subsessilis*) กับประชากรที่ 4 (*B. pottsii* var. *pottsii*) กลุ่มที่ 2 คือประชากรที่ 6 (*B. pottsii* var. *mollissima*) และกลุ่มที่ 3 คือประชากรที่ 8 (*B. pottsii* var. *velutina*) โดยพบว่าลักษณะ MDH 1-2, SKDH 1, GOT 1-3, ACP 1-2 และ PER 1-2, 8-9 บนแกนปัจจัยที่ 1 สามารถแยกประชากรกลุ่มที่ 1 ออกจากกลุ่มที่ 2 และกลุ่มที่ 3 อย่างเด่นชัด ในขณะที่ลักษณะ EST 1-2, 4 และ 7, MDH 3 และ PER 3 บนแกนปัจจัยที่ 2 สามารถแยกประชากรทั้ง 3 กลุ่มออกจากกันได้แต่ไม่เด่นชัดนัก

เมื่อพิจารณาความสัมพันธ์ระหว่างแกนปัจจัยที่ 1 กับแกนปัจจัยที่ 3 พบว่าสามารถแยกประชากรชงโคล์ดออกเป็น 4 กลุ่ม (แผนภาพที่ 4.26:②) ได้แก่กลุ่มที่ 1 คือประชากรที่ 1 (*B. pottsii* var. *subsessilis*) กลุ่มที่ 2 คือ ประชากรที่ 4 (*B. pottsii* var. *pottsii*) กลุ่มที่ 3 คือประชากรที่ 6 (*B. pottsii* var. *mollissima*) และกลุ่มที่ 4 คือประชากรที่ 8 (*B. pottsii* var. *velutina*) โดยพบว่าลักษณะบนแกนปัจจัยที่ 1 แยกประชากรกลุ่มที่ 1 และกลุ่มที่ 2 ออกจากประชากรกลุ่มที่ 3 และกลุ่มที่ 4 ได้เด่นชัด ส่วนลักษณะ EST 3, 5-6 และ 8-9 กับ PER 11,13,14 และ 16 บนแกนปัจจัยที่ 3 สามารถแยกประชากรกลุ่มที่ 1 และ 2 ออกจากกันได้เด่นชัด แต่แยกประชากรกลุ่มที่ 3 และ 4 ออกจากกันไม่ได้

เมื่อพิจารณาความสัมพันธ์ระหว่างแกนปัจจัยที่ 1 กับแกนปัจจัยที่ 4-7 (แผนภาพที่ 4.26:③-⑦) พบว่าลักษณะ PER 6, 12 กับ SKDH 2 บนแกนปัจจัยที่ 4, ลักษณะ PER 7 และ 10 บนแกนปัจจัยที่ 5, ลักษณะ PER 5 และ 15 บนแกนปัจจัยที่ 6 รวมทั้งลักษณะ PER 4 กับ EST 10 บนแกนปัจจัยที่ 7 ไม่สามารถแยกประชากรชงโคล์ดทุกพันธุ์ออกจากรากันได้อย่างเด่นชัด

เมื่อพิจารณาความสัมพันธ์ระหว่างแกนปัจจัยที่ 2 กับแกนปัจจัยที่ 3 พบว่าสามารถแยกประชากรชงโคล์ดออกเป็น 4 กลุ่ม (แผนภาพที่ 4.26:⑧) โดยลักษณะบนแกนปัจจัยที่ 2 ไม่สามารถแยกประชากรที่ 1 และประชากรที่ 4 ออกจากกันได้ แต่แยกประชากรที่ 6 และประชากรที่ 8 ออกจากกันได้อย่างเด่นชัด ในขณะที่ลักษณะบนแกนปัจจัยที่ 3 สามารถแยกประชากรที่ 1 และประชากรที่ 4 ออกจากกันได้อย่างเด่นชัด แต่แยกประชากรที่ 6 และประชากรที่ 8 ออกจากกันไม่ได้ ส่วนความสัมพันธ์ระหว่างแกนปัจจัยที่ 2 กับแกนปัจจัยที่ 4-7 นั้น พบร่วมกัน 3 กลุ่ม คือกลุ่มที่ 1 ประกอบด้วยประชากร

ที่ 1 กับประชากรที่ 4 ซึ่งเกาะกลุ่มกันแน่นเด่นชัด กลุ่มที่ 2 คือประชากรที่ 6 ซึ่งยังแยกออกจากกลุ่มที่ 1 ได้ยังไม่ชัดเจนนัก ส่วนกลุ่มที่ 3 คือ ประชากรที่ 8 ซึ่งแยกกลุ่มออกจากกลุ่มอื่นได้เด่นชัด (แผนภาพที่ 4.26:**◎** และแผนภาพที่ 4.27:**◎-◎**)

เมื่อพิจารณาความสัมพันธ์ระหว่างแกนปัจจัยที่ 3 กับแกนปัจจัยที่ 4-7 (แผนภาพที่ 4.27:**◎-◎**) พบว่าลักษณะบนแกนปัจจัยที่ 3 สามารถแยกประชากรชงโคล์ด้าออกเป็น 3 กลุ่ม ได้แก่ กลุ่มที่ 1 คือประชากรที่ 1 กลุ่มที่ 2 คือประชากรที่ 4 และกลุ่มที่ 3 คือประชากรที่ 6 และ 8 ในขณะที่ลักษณะบนแกนปัจจัยที่ 4-7 ไม่สามารถแยกประชากรชงโคล์ด้าออกจากกันได้

เมื่อพิจารณาความสัมพันธ์ระหว่างแกนปัจจัยที่ 4 แกนปัจจัยที่ 5 แกนปัจจัยที่ 6 และแกนปัจจัยที่ 7 ร่วมกัน (แผนภาพที่ 4.27:**◎** และแผนภาพที่ 4.28:**◎-◎**) พบว่าได้ผลสอดคล้องกันกล่าวคือลักษณะบนแกนปัจจัยที่ 4-7 ไม่สามารถแยกประชากรชงโคล์ด้าออกจากกันเป็นกลุ่มได้อย่างเด่นชัด

#### 4.4.6.2 ผลการวิเคราะห์จัดกลุ่มของลักษณะแบบแผนไอโซไซม์ที่พับในชงโคล์ด้า

การวิเคราะห์จัดกลุ่มประชากรชงโคล์ด้าในประเทศไทยโดยใช้ลักษณะแบบแผนไอโซไซม์ 6 ระบบที่พับในชงโคล์ด้ารวมทั้งสิ้น 36 ลักษณะ (ตารางที่ 4.4) พบว่าสามารถจัดกลุ่มประชากรชงโคล์ด้าออกเป็น 4 กลุ่ม (แผนภาพที่ 4.45) ได้แก่ กลุ่มที่ 1 คือประชากรที่ 1 (*B. pottsii* var. *subsessilis*) กลุ่มที่ 2 คือประชากรที่ 4 (*B. pottsii* var. *pottsii*) กลุ่มที่ 3 คือประชากรที่ 6 (*B. pottsii* var. *mollissima*) และกลุ่มที่ 4 คือประชากรที่ 8 (*B. pottsii* var. *velutina*) โดยพบว่าประชากรกลุ่มที่ 1 และกลุ่มที่ 2 มีการจัดกลุ่มแยกออกจากประชากรกลุ่มที่ 3 และ 4 อย่างเด่นชัด เน้นโครงแกรมจากการวิเคราะห์จัดกลุ่มแสดงให้เห็นว่าแบบแผนไอโซไซม์ของชงโคล์ด้าทั้ง 4 พันธุ์ มีความแปรผันระหว่างประชากรมากเพียงพอที่จะจัดเป็นคุณลักษณะกลุ่มได้อย่างเด่นชัด โดยพบว่าแบบแผนไอโซไซม์ของประชากร *B. pottsii* var. *pottsii* มีความคล้ายคลึงกับแบบแผนแผนไอโซไซม์ของ *B. pottsii* var. *subsessilis* มากกว่าแบบแผนไอโซไซม์ของ *B. pottsii* var. *mollissima* กับ *B. pottsii* var. *velutina*

#### 4.4.6.3 ผลการวิเคราะห์จัดจำแนกลักษณะแบบแผนไฮโซไซม์ของชงโคงคำ

จากการวิเคราะห์จัดจำแนกประชากรชงโคงคำโดยใช้ค่า Rf ของแอกบไฮโซไซม์ 6 ระบบ คือ ACP, EST, GOT, MDH, PER และ SKDH รวมทั้งสิ้น 36 ลักษณะ พบว่าลักษณะเหล่านี้ถูกนำไปใช้สู่การวิเคราะห์จัดจำแนกเพียง 12 ลักษณะ (ตารางที่ 4.45) ได้สมการจัดจำแนก 3 สมการ ซึ่งมีค่าไอยุเกนมากกว่า 1 ทั้งหมดคือสมการที่ 1 มีค่าไอยุเกนเท่ากับ 1432.121 ส่วนสมการที่ 2 และ 3 มีค่าไอยุเกนเท่ากับ 11.286 และ 10.224 ตามลำดับ (ตารางที่ 4.44)

เมื่อพิจารณาค่าสหสัมพันธ์ค่าโนนิคลอลของสมการทั้งสามพบว่ามีค่าเท่ากับ 1.000, 0.958 และ 0.954 ตามลำดับ เมื่อนำค่าสหสัมพันธ์ค่าโนนิคลอลมายกกำลังสอง ก็พบว่ามีค่ามากกว่า 0.5 ทั้งสามสมการ กล่าวคือมีค่าเท่ากับ 1.000, 0.918 และ 0.910 ตามลำดับ เมื่อพิจารณาค่าวิลล์แอลดา พบว่าสมการที่ 1-3 มีค่าวิลล์แอลดาต่ำกว่า 0.5 คือเท่ากับ 0.000, 0.007 และ 0.089 ตามลำดับ แสดงว่าสมการทั้งสามมีความเหมาะสมในการทำนายกลุ่มได้ดี โดยสมการที่ 1 สามารถอธิบายความแปรปรวนของข้อมูลได้ถึง 98.50 เปอร์เซ็นต์ ในขณะที่สมการที่ 2 และ 3 สามารถอธิบายความแปรปรวนของข้อมูลได้เท่ากับ 0.80 และ 0.70 เปอร์เซ็นต์ ตามลำดับ ดังนั้นสมการทั้งสามจึงสามารถอธิบายความแปรผันสะสูของข้อมูลรวมกันได้ถึง 100 เปอร์เซ็นต์ โดยทั้งสามสมการต่างก็มีค่า chi-square ที่มีความแตกต่างอย่างมีนัยสำคัญทางสถิติที่ระดับความเชื่อมั่น 99 % ( $P < 0.01$ ) (ตารางที่ 4.44)

เมื่อพิจารณาด้วยแปรที่เป็นองค์ประกอบของสมการจัดจำแนกที่เป็นคะแนนมาตรฐาน (ตารางที่ 4.45) พบว่าสมการที่ 1 ประกอบด้วยตัวแปรที่แสดงลักษณะแบบแผนไฮโซไซม์ acid phosphatase คือ ACP 1-2 ส่วนสมการที่ 2 ประกอบด้วยตัวแปรที่แสดงลักษณะแบบแผนไฮโซไซม์ถึง 4 ระบบ คือ EST 1, GOT 3, MDH 2 และ PER 10 ส่วนรัตน์สมการที่ 3 นั้นประกอบด้วยตัวแปรที่แสดงลักษณะแบบแผนไฮโซไซม์ 2 ระบบคือ SKDH 1 กับ EST 3, 5, 6 และ 8

เมื่อพิจารณาค่าสัมประสิทธิ์สหสัมพันธ์ระหว่างลักษณะแบบไฮโซไซม์ของชงโคงคำทั้ง 6 ระบบที่ใช้ในการวิเคราะห์จัดจำแนกกับสมการจัดจำแนก (ตารางที่ 4.46) พบว่าตัวแปรที่มีความสำคัญในการจัดจำแนกของสมการที่ 1 คือตัวแปรที่แสดงลักษณะแบบแผนไฮโซไซม์ถึง 5 ระบบคือ ACP 1-2, MDH 1-3, GOT 1-2, SKDH 1 และ PER 5, 11, 13 โดยตัวแปรที่ถูกนำไปใช้ในการจัดจำแนกจริงๆ มีเพียง 4 ตัวแปรเท่านั้นคือ ACP 1-2, MDH 2 และ SKDH 1 ส่วนสมการที่ 2 นั้นประกอบด้วยตัวแปรที่มีความสำคัญในการจัดจำแนก 13 ตัว

แปรคือ GOT 3, EST 1-2, 5 และ 10, SKDH 2, PER 3-4, 6-8, 10 และ 14 แต่ด้วยแปรที่ถูกนำไปใช้ในการวิเคราะห์จัดจำแนกจริงๆ มีเพียง 5 ดัชนีแปรเท่านั้นคือ GOT 3, EST 1 และ 5, PER 7 และ 10 สำหรับสมการที่ 3 ประกอบด้วยดัชนีแปรที่แสดงลักษณะแบบแผนไฮโซไซม์ เพียง 2 ระบบคือ EST 3, 6, 8 กับ PER 1-2, 12, 15 และ 16 โดยดัชนีแปรที่ถูกนำมาใช้ในการวิเคราะห์จัดจำแนกคือ EST 3, 6 และ 8

เมื่อพิจารณาความสามารถในการอธิบายความแปรปรวนของข้อมูลของสมการจัดจำแนก (ตารางที่ 4.44) พบว่าสมการที่ 1-3 ซึ่งมีค่าไオเกนมากกว่า 1 สามารถอธิบายความแปรปรวนของข้อมูลทั้งสิ้น 100 เปอร์เซ็นต์ โดยสมการที่ 1 อธิบายความแปรปรวนของข้อมูลได้ถึง 98.50 เปอร์เซ็นต์ ในขณะที่สมการที่ 2 และสมการที่ 3 อธิบายความแปรปรวนของข้อมูลได้เพียง 0.80 และ 0.70 เปอร์เซ็นต์ตามลำดับ

เมื่อใช้สมการที่ 1 และสมการที่ 2 มาแสดงความสัมพันธ์ในรูปกราฟพบว่าสามารถจำแนกประชากรชุดคำออกเป็น 4 กลุ่มได้อย่างเด่นชัด (แผนภาพที่ 4.48:๖) โดยกลุ่มที่ 1 คือประชากรที่ 1 (*B. pottsii* var. *subsessilis*) กลุ่มที่ 2 คือประชากรที่ 4 (*B. pottsii* var. *pottsii*) กลุ่มที่ 3 คือประชากรที่ 6 (*B. pottsii* var. *mollissima*) และกลุ่มที่ 4 คือประชากรที่ 8 (*B. pottsii* var. *velutina*) และเมื่อพิจารณาการทำนายกลุ่มประชากรจากสมการที่ได้จากการวิเคราะห์จัดจำแนกลักษณะแบบแผนไฮโซไซม์ของชุดคำทั้ง 6 ระบบก็พบว่ามีค่าสูงถึง 100 เปอร์เซ็นต์ แสดงว่าสมการจัดจำแนกสามารถทำนายกลุ่มได้ดีมาก (ตารางที่ 4.47)

#### 4.4.7 ผลการวิเคราะห์ลักษณะสัณฐานวิทยาของใบ ดอก เรณู และแบบแผนไฮโซไซม์ของชุดคำ

##### 4.4.7.1 ผลการวิเคราะห์ปัจจัยของลักษณะสัณฐานวิทยาของใบ ดอก เรณู และแบบแผนไฮโซไซม์ของชุดคำ

จากการศึกษาลักษณะสัณฐานวิทยาของใบ ดอก เรณู และแบบแผนไฮโซไซม์ 6 ระบบที่พบในชุดคำ รวมทั้งสิ้น 95 ลักษณะ เมื่อนำมาวิเคราะห์ปัจจัยพบว่ามีแกนปัจจัยที่มีค่าไオเกนมากกว่า 1 จำนวน 12 แกน สามารถอธิบายความแปรปรวนของข้อมูลได้รวมทั้งสิ้น 84.386 เปอร์เซ็นต์ (ตารางที่ 4.48) โดยด้วยดัชนีแปรส่วนใหญ่มีค่า communalities มากกว่า 0.5 ยกเว้นดัชนีแปร PER 2 และ PER 8 ในแกนปัจจัยที่ 3 มีค่า communalities เท่ากับ 0.412 และ 0.462 ตามลำดับ นอกจากนี้ยังพบว่าค่า factor loading

ของตัวแปรส่วนใหญ่ในแต่ละแกนปัจจัยก็มีค่ามากกว่า 0.5 เช่นกัน ยกเว้นตัวแปร EST 10 และ WPE 4 ในแกนปัจจัยที่ 1 ตัวแปร LSTY, EST 1, EST 2, และ EST 3 ในแกนปัจจัยที่ 2 ตัวแปร PER 2, PER 3, PER 8 และ PER 12 ในแกนปัจจัยที่ 3 ตัวแปร WPE 5 ในแกนปัจจัยที่ 4 และตัวแปร SKDH 2 กับ PER 15 ในแกนปัจจัยที่ 7 ซึ่งมีค่า factor loading เท่ากับ 0.478, 0.430, 0.478, 0.433, 0.417, 0.359, 0.489, 0.484, 0.457, 0.406, 0.473, 0.444 และ 0.368 ตามลำดับ (ตารางที่ 4.49)

จากการศึกษาองค์ประกอบของแต่ละแกนปัจจัยพบว่าแกนปัจจัยที่ 1 ประกอบด้วย 57 ตัวแปร ได้แก่ตัวแปรที่แสดงขนาดคือ LPCL1-5, LCA, NBU, DAP, PFI, DEA, WLE, LAN 1-3, WAP, LBU, LAP, LOV, LLE, WPE 1, 3-4 WBF และ LRE ตัวแปรที่แสดงรูปร่างลักษณะคือ SPO, HOV, HLE, HUE, RAF, SPE, SSTI, TAP, PAP, NSV, NVR และ RBR ตัวแปรที่แสดงสีสันคือ CBU, CFI, CSTI, CSTY, CAN และ CPE ตัวแปรที่แสดงลักษณะแบบแผนไฮโซไซม์คือ ACP 1-2, GOT 1-3, MDH 1-2, SKDH 1, PER 1, 9, 11, 13 และ 14, EST 6 และ 10 ส่วนแกนปัจจัยที่ 2 ประกอบด้วย 18 ตัวแปร ได้แก่ตัวแปรที่แสดงขนาดคือ LPE 1-5, DPA, TRA, LGY, LFI 3, LSTY ตัวแปรที่แสดงรูปร่างลักษณะคือ RBU และตัวแปรที่แสดงลักษณะแบบแผนไฮโซไซม์คือ EST 1-5, 7 และ 9 สำหรับแกนปัจจัยที่ 3 นั้นประกอบด้วย 9 ตัวแปร ได้แก่ตัวแปรที่แสดงขนาดคือ WCA และ LBF กับตัวแปรที่แสดงลักษณะแบบแผนไฮโซไซม์คือ MDH 3, EST 8, PER 2, 3, 8, 12 และ 16 แกนปัจจัยที่ 4 ประกอบด้วยตัวแปรที่แสดงขนาดเพียงอย่างเดียวคือ WPE 2, 5 เช่นเดียวกับแกนปัจจัยที่ 5 ซึ่งประกอบด้วยตัวแปรที่แสดงขนาดเท่านั้นคือ LFI 1-2 สำหรับแกนปัจจัยที่ 6 นั้นไม่มีตัวแปรใดเป็นองค์ประกอบ ในขณะที่แกนปัจจัยที่ 7, 8 และ 9 ส่วนแต่ประกอบด้วยตัวแปรที่แสดงลักษณะแบบแผนไฮโซไซม์คือ SKDH 2 กับ PER 15, PER 7 กับ PER 10 และ PER 4 กับ PER 5 ตามลำดับ ส่วนแกนปัจจัยที่ 10 และแกนปัจจัยที่ 12 ก็ไม่มีตัวแปรใดเป็นองค์ประกอบเช่นกัน ในขณะที่แกนปัจจัยที่ 11 มีตัวแปร PER 6 เป็นองค์ประกอบเพียงตัวแปรเดียวเท่านั้น (ตารางที่ 4.49)

เมื่อหามุนแกนปัจจัยแล้วพบว่าค่า factor loading ของตัวแปรในแกนปัจจัยเปลี่ยนไปจากเดิมและส่วนใหญ่ก็ยังคงมีค่ามากกว่า 0.5 ยกเว้นตัวแปร GOT 3 ในแกนปัจจัยที่ 1 ตัวแปร EST 2 และ PER 2 ในแกนปัจจัยที่ 3 ตัวแปร SKDH 2 และ PER 12 ในแกนปัจจัยที่ 9 และตัวแปร PER 15 ในแกนปัจจัยที่ 12 ซึ่งมีค่า factor loading เท่ากับ 0.479, 0.497, 0.425, 0.473, 0.374 และ 0.374 ตามลำดับ นอกจากนี้ยังพบว่าการหมุนแกนปัจจัยยังทำให้องค์ประกอบของแกนปัจจัยแต่ละแกนเปลี่ยนไปด้วย กล่าวคือแกนปัจจัยที่ 1 เหลือตัวแปรเพียง 36 ตัวแปรได้แก่ตัวแปรที่แสดงขนาดคือ LPCL 1-5, LPE 1, 3-5, TRA, DPA, NBU

และ WCA ด้วยประที่แสดงรูปร่างลักษณะคือ SPE, SSTI, SPO, HOV, HLE, HUE, RBR และ NSV ด้วยประที่แสดงสีสันคือ CBU, CFI, CSTI, CSTY และ CAN รวมทั้งด้วยประที่แสดงลักษณะแบบแผนไฮโซไซม์คือ ACP 1-2, GOT1-3, MDH 1-2, SKDH 1, PER 1 และ PER 9 ส่วนแกนปัจจัยที่ 2 มีด้วยประเพิ่มขึ้นเป็น 26 ด้วยประได้แก่ด้วยประที่แสดงขนาดคือ LAP, PFI, DAP, WAP, LAN 1-3, LGY, LOV, LCA และ DEA ด้วยประที่แสดงรูปร่างลักษณะคือ TAP, PAP, NVR และ RAF ด้วยประที่แสดงสีสันมีเพียง 1 ด้วยประคือ CPE และด้วยประที่แสดงลักษณะแบบแผนไฮโซไซม์คือ EST 3, 5-6, 8-10 และ PER 11,13-14,16 สำหรับแกนปัจจัยที่ 3 นั้นประกอบด้วย 9 ด้วยประได้แก่ด้วยประที่แสดงรูปร่างลักษณะคือ RBU กับด้วยประที่แสดงลักษณะแบบแผนไฮโซไซม์คือ MDH 3, EST 1-2, 4, 7 และ PER 2-3, 8 แกนปัจจัยที่ 4 ประกอบด้วย 6 ด้วยประที่แสดงเฉพาะขนาดเท่านั้นคือ WPE 1-5 และ LPE 2 สำหรับแกนปัจจัยที่ 5 ประกอบด้วยด้วยประที่แสดงเฉพาะขนาดเช่นกันคือ LSTY และ LFI 1-3 แกนปัจจัยที่ 6 ประกอบด้วยด้วยประที่แสดงเฉพาะขนาดใบคือ LBF, LLE, WBF และ WLE แกนปัจจัยที่ 7 มีเพียง 2 ด้วยประคือ LRE กับ LBH ส่วนแกนปัจจัยที่ 8 ไม่มีด้วยประใดเป็นองค์ประกอบ แกนปัจจัยที่ 9 ประกอบด้วยด้วยประที่แสดงลักษณะแบบแผนไฮโซไซม์คือ PER 6, 12 กับ SKDH 2 ส่วนแกนปัจจัยที่ 10,11 และ 12 นั้นประกอบด้วยด้วยประที่แสดงลักษณะแบบแผนไฮโซไซม์ peroxidase เพียงอย่างเดียวคือ PER 4, 7,10 และ PER 5, 15 ตามลำดับ (ตารางที่ 4.50)

เมื่อพิจารณาข้อมูลจากตารางที่ 4.48 จะเห็นว่าแกนปัจจัยเดี่ยวกันสามารถถอดஇயல்ความแปรปรวนของข้อมูลได้ค่อนข้างดี กล่าวคือแกนปัจจัยที่ 1 สามารถถอดஇயல்ความแปรปรวนของข้อมูลได้ 31.492 เปอร์เซ็นต์เท่านั้น ส่วนแกนปัจจัยที่ 2-12 สามารถถอดஇயல்ความแปรปรวนของข้อมูลได้เท่ากัน 23.184, 7.746, 5.815, 4.412, 2.734, 1.790, 1.536, 1.514, 1.409, 1.394 และ 1.360 ตามลำดับ ดังนั้นจึงต้องใช้แกนปัจจัยทั้งหมด 12 แกนร่วมกัน จึงจะสามารถถอดஇயல்ความแปรปรวนของข้อมูลได้รวมทั้งสิ้น 84.386 เปอร์เซ็นต์

เมื่อนำแกนปัจจัยที่ 1-12 ซึ่งได้จากการวิเคราะห์ปัจจัยมาแสดงความสัมพันธ์ในรูปกราฟ พบร้าความสัมพันธ์ระหว่างแกนปัจจัยที่ 1 กับแกนปัจจัยที่ 2 สามารถแยกประชากรชงโคล่าอกเป็น 3 กลุ่ม (แผนภาพที่ 4.28:①) ได้แก่กลุ่มที่ 1 คือประชากรที่ 1 (*B. pottsii* var. *subsessilis*) กลุ่มที่ 2 คือ ประชากรที่ 4 (*B. pottsii* var. *pottsii*) และกลุ่มที่ 3 ประกอบด้วยประชากรที่ 6 (*B. pottsii* var. *mollissima*) กับประชากรที่ 8 (*B. pottsii* var. *velutina*) โดยพบว่าด้วยประบนแกนปัจจัยที่ 1 สามารถจำแนกประชากรทั้ง 3 กลุ่มออกจากกัน ได้อย่างเด่นชัดในขณะที่ด้วยประบนแกนปัจจัยที่ 2 แยกประชากรที่ 1 และประชากรที่ 4 ออกจากกันได้อย่างเด่นชัด

เมื่อพิจารณาความสัมพันธ์ระหว่างแกนปัจจัยที่ 1 กับแกนปัจจัยที่ 3 พบว่าสามารถแยกประชากรออกเป็น 4 กลุ่ม (แผนภาพที่ 4.28:⑦) ได้แก่กลุ่มที่ 1 คือประชากรที่ 1 (*B. pottsii* var. *subsessilis*) กลุ่มที่ 2 คือประชากรที่ 4 (*B. pottsii* var. *pottsii*) กลุ่มที่ 3 คือประชากรที่ 6 (*B. pottsii* var. *mollissima*) และกลุ่มที่ 4 คือประชากรที่ 8 (*B. pottsii* var. *velutina*) โดยพบว่าตัวแปรบนแกนปัจจัยที่ 1 สามารถแยกประชากรกลุ่มที่ 1 และ 2 ออกจากกันได้เด่นชัด แต่แยกประชากรกลุ่มที่ 3 และ 4 ออกจากกันไม่ได้ ในขณะที่ตัวแปรบนแกนปัจจัยที่ 3 ไม่สามารถแยกประชากรกลุ่มที่ 1 และ 2 ออกจากกันได้ แต่แยกประชากรกลุ่มที่ 3 และ 4 ออกจากกันได้อย่างเด่นชัด

เมื่อพิจารณาความสัมพันธ์ระหว่างแกนปัจจัยที่ 1 กับแกนปัจจัยที่ 4 –12 พบว่าสามารถแยกประชากรซึ่งโคลาออกเป็น 3 กลุ่ม (แผนภาพที่ 4.28:⑧และแผนภาพที่ 4.29:①-③) ได้แก่กลุ่มที่ 1 คือประชากรที่ 1 กลุ่มที่ 2 คือประชากรที่ 4 และกลุ่มที่ 3 คือประชากรที่ 6 และ 8 โดยพบว่าตัวแปรบนแกนปัจจัยที่ 1 มีความสำคัญที่สุดในการจำแนกประชากรซึ่งโคลาออกเป็น 3 กลุ่ม ในขณะที่ตัวแปรบนแกนปัจจัยที่ 4-12 ไม่สามารถจำแนกประชากรซึ่งโคลาออกจากกันได้เลย

เมื่อพิจารณาความสัมพันธ์ระหว่างแกนปัจจัยที่ 2 กับแกนปัจจัยที่ 3 พบว่าสามารถแยกประชากรซึ่งโคลาออกเป็น 4 กลุ่ม (แผนภาพที่ 4.30:①) ได้แก่กลุ่มที่ 1 คือประชากรที่ 1 กลุ่มที่ 2 คือประชากรที่ 4 กลุ่มที่ 3 คือประชากรที่ 6 และกลุ่มที่ 4 คือประชากรที่ 8 โดยพบว่าตัวแปรบนแกนปัจจัยที่ 2 สามารถแยกประชากรกลุ่มที่ 1 ออกจากประชากรกลุ่มที่ 2-4 อย่างเด่นชัด แต่ไม่สามารถแยกประชากรกลุ่มที่ 2-4 ออกจากกันได้เด่นชัดนัก ในขณะที่ตัวแปรบนแกนปัจจัยที่ 3 นั้นแยกประชากรกลุ่มที่ 3 และ 4 ออกจากกันได้ แต่ไม่สามารถแยกประชากรกลุ่มที่ 1 และ 2 ออกจากกันได้เลย

เมื่อพิจารณาความสัมพันธ์ระหว่างแกนปัจจัยที่ 2 กับแกนปัจจัยที่ 4 - 12 พบว่าสามารถแยกประชากรซึ่งโคลาออกเป็น 3 กลุ่ม(แผนภาพที่ 4.30:②-③และแผนภาพที่ 4.31:①-③) ได้แก่ กลุ่มที่ 1 คือประชากรที่ 1 กลุ่มที่ 2 คือประชากรที่ 4 และกลุ่มที่ 3 คือประชากรที่ 6 กับประชากรที่ 8 โดยพบว่าตัวแปรบนแกนปัจจัยที่ 2 ยังสามารถจำแนกประชากรกลุ่มที่ 1 ออกจากประชากรกลุ่มที่ 2-4 ได้อย่างเด่นชัด แต่แยกประชากรกลุ่มที่ 2 ออกจากประชากรกลุ่มที่ 3 ได้ไม่ค่อยเด่นชัดนัก ในขณะที่ตัวแปรบนแกนปัจจัยที่ 4 –12 นั้นไม่สามารถจำแนกประชากรซึ่งโคลาออกจากกันได้เลย

เมื่อพิจารณาความสัมพันธ์ระหว่างแก่นปัจจัยที่ 3 กับแก่นปัจจัยที่ 4 - 12 พนว่าสามารถจำแนกประชากรชงโคงได้ออกเป็น 3 กลุ่มที่แยกออกจากกันไม่เด่นชัดนัก (แผนภาพที่ 4.31:③-③ และแผนภาพที่ 4.32:①-①) ได้แก่กลุ่มที่ 1 ประกอบด้วยประชากรที่ 1 และ 4 กลุ่มที่ 2 คือประชากรที่ 6 และกลุ่มที่ 3 คือประชากรที่ 8 โดยด้วยปรบวนแก่นปัจจัยที่ 3 มีบทบาทสำคัญที่สุดในการจำแนกประชากรออกเป็น 3 กลุ่ม ในขณะที่ด้วยปรบวนแก่นปัจจัยที่ 4-12 ไม่สามารถจำแนกประชากรชงโคงได้

เมื่อพิจารณาความสัมพันธ์ของแก่นปัจจัยที่เหลือ คือแก่นปัจจัยที่ 4 ถึงแก่นปัจจัยที่ 12 พนว่าไม่สามารถจำแนกประชากรชงโคงได้ออกเป็นกลุ่มที่เด่นชัด(แผนภาพที่ 4.32:④-④ แผนภาพที่ 4.33:①-① แผนภาพที่ 4.34:①-① แผนภาพที่ 4.35:①-① และแผนภาพที่ 4.36:①-①)

#### 4.4.7.2 ผลการวิเคราะห์จัดกลุ่มของลักษณะสัณฐานวิทยาของใบ ดอก เรณู และแบบแผนไอโซไซม์ที่พบในชงโคง

จากการวิเคราะห์จัดกลุ่มประชากรชงโคงดำเนินประเทศไทยโดยใช้ลักษณะสัณฐานวิทยาของใบ ดอก เรณูและแบบแผนไอโซไซม์ 6 ระบบที่พบในชงโคง รวมทั้งสิ้น 95 ลักษณะ (ตารางที่ 4.49) พนว่าสามารถจัดกลุ่มประชากรชงโคงได้ออกเป็น 4 กลุ่ม (แผนภาพที่ 4.46) ได้แก่กลุ่มที่ 1 คือประชากรที่ 1 (*B. pottsii* var. *subsessilis*) กลุ่มที่ 2 คือประชากรที่ 4 (*B. pottsii* var. *pottsii*) กลุ่มที่ 3 คือประชากรที่ 6 (*B. pottsii* var. *mollissima*) และกลุ่มที่ 4 คือประชากรที่ 8 (*B. pottsii* var. *velutina*) โดยพนว่าประชากรกลุ่มที่ 1 และประชากรกลุ่มที่ 2 มีการจัดกลุ่มแยกออกจากประชากรกลุ่มที่ 3 และ 4 อย่างชัดเจน เนื่องจากограмจากการวิเคราะห์จัดกลุ่มแสดงให้เห็นว่าลักษณะสัณฐานวิทยาของใบ ดอก เรณูและแบบแผนไอโซไซม์ทั้ง 6 ระบบที่พบใน *B. pottsii* var. *subsessilis* กับ *B. pottsii* var. *pottsii* มีความแปรผันระหว่างประชากรมากเพียงพอที่จะกลุ่มแยกจากกันได้อย่างเด่นชัดในขณะที่ประชากร *B. pottsii* var. *mollissima* กับ *B. pottsii* var. *velutina* แม้จะมีการจัดกลุ่มเป็นคุณลักษณะ แต่ก็ยังมีความสัมพันธ์ระหว่างประชากรใกล้ชิดกว่าประชากร *B. pottsii* var. *pottsii* และ *B. pottsii* var. *subsessilis*

#### 4.4.7.3 ผลการวิเคราะห์จัดจำแนกลักษณะสัณฐานวิทยาของใบ ดอก เรณู และแบบแผนไอกไซม์ของคงค่า

จากการวิเคราะห์จัดจำแนกประชากรช่วงคงค่าโดยใช้ลักษณะสัณฐานวิทยาของใบ ดอก เรณู และค่า Rf ของไอกไซม์ 6 ระบบรวมทั้งสิ้น 95 ลักษณะพบว่าลักษณะต่างๆถูกนำเข้าสู่การวิเคราะห์จัดจำแนกเพียง 19 ลักษณะ (ตารางที่ 4.52) ได้สมการจัดจำแนก 3 สมการซึ่งมีค่าไอกเเกนมากกว่า 1 ทั้งหมด กล่าวคือสมการที่ 1 มีค่าไอกเเกนเท่ากับ 1714.343 ส่วนสมการที่ 2 และ 3 มีค่าไอกเเกนเท่ากับ 70.058 และ 16.171 ตามลำดับ (ตารางที่ 4.51)

เมื่อพิจารณาค่าสหสัมพันธ์ค่าโนนิคลอลของสมการทั้งสามพบว่ามีค่าเท่ากับ 1.000, 0.993 และ 0.970 ตามลำดับ เมื่อนำค่าสหสัมพันธ์ค่าโนนิคลอลมายกกำลังสองก็พบว่ามีมากกว่า 0.5 ทั้งสามสมการ กล่าวคือมีค่าเท่ากับ 1.000, 0.986 และ 0.941 ตามลำดับ

เมื่อพิจารณาค่าวิลค์แอลด้า พบร่วมกับสมการที่ 1-3 มีค่าวิลค์แอลด้าต่ำกว่า 0.5 คือเท่ากับ 0.000, 0.001 และ 0.058 ตามลำดับ แสดงว่าสมการทั้งสามมีความหมายสนับสนุนในการทำนายกลุ่มได้ดี โดยสมการที่ 1 สามารถอธิบายความแปรปรวนของข้อมูลได้ถึง 95.20 เปอร์เซ็นต์ ในขณะที่สมการที่ 2 และ 3 สามารถอธิบายความแปรปรวนของข้อมูลได้เท่ากับ 3.90 และ 0.90 เปอร์เซ็นต์ตามลำดับ ดังนั้นสมการทั้งสามจึงสามารถอธิบายความแปรผันสะสมของข้อมูลรวมกันได้ถึง 100 เปอร์เซ็นต์ โดยทั้งสามสมการต่างก็มีค่า chi-square ที่มีความแตกต่างอย่างมีนัยสำคัญทางสถิติที่ระดับความเชื่อมั่น 99 % ( $P < 0.01$ ) (ตารางที่ 4.51)

เมื่อพิจารณาด้วยแปรที่เป็นองค์ประกอบของสมการจัดจำแนกที่เป็นค่าคะแนนมาตรฐาน(ตารางที่4.52) พบร่วมกับสมการที่ 1 ประกอบด้วยด้วยตัวแปรที่แสดงลักษณะแบบแผนไอกไซม์ 2 ระบบคือ ACP 1-2 กับ MDH 3 ส่วนสมการที่ 2 ประกอบด้วยตัวแปรที่แสดงรูปร่างลักษณะและขนาดของดอกคือ RAF กับ LPCL 3 ตัวแปรที่แสดงรูปร่างลักษณะเรณูคือ PFI และตัวแปรที่แสดงลักษณะแบบแผนไอกไซม์ peroxidase คือ PER 11 และ PER 14 สำหรับสมการที่ 3 นั้นประกอบด้วยตัวแปรถึง 11 ตัวแปร ได้แก่ตัวแปรที่แสดงลักษณะแบบแผนไอกไซม์คือ GOT 1-3, MDH 2, SKDH 1, EST 1, 8 และ PER 7, 10 ตัวแปรที่แสดงขนาดของอับเรณูคือ LAN 2 และตัวแปรที่แสดงรูปร่างลักษณะเรณูคือ NVR

แต่อย่างไรก็ตามเมื่อพิจารณาค่าสัมประสิทธิ์สหสัมพันธ์ระหว่างลักษณะสัณฐานวิทยาของใบ ดอก เรณู และแบบแผนไอโซไซม์ของชงโคล์ตั้ง 6 ระบบกับสมการจัดจำแนก (ตารางที่ 4.53) พบว่าตัวแปรที่มีความสำคัญในการจัดจำแนกของสมการที่ 1 มีถึง 25 ตัวแปรคือ ACP 1-2, MDH 1-2, GOT 1-2, SKDH 1, PER 1, 3, 6, 10 และ 15, EST 6, WCA, DPA, LOV, WBF, LRE, LLE, TRA, WLE, LBU, NSV, LBF และ LPE 3 แต่ตัวแปรที่ถูกนำไปใช้ในการวิเคราะห์จัดจำแนกมีเพียง 6 ตัวแปรซึ่งแสดงลักษณะแบบแผนไอโซไซม์ 4 ระบบคือ ACP 1-2, MDH 2, GOT 1-2 และ SKDH 1 สำหรับสมการที่ 2 นั้นประกอบด้วยตัวแปรที่มีความสำคัญในการจัดจำแนกมากถึง 23 ตัวแปร คือ RAF, PFI, DAP, LAP, NVR, NBU, LPCL 1-2 และ 3-5, WPE 1 และ 5, LPE 5, PER 2, 4-5 และ 11-14, EST 3, 5 และ 8 แต่ตัวแปรที่นำไปใช้ในการวิเคราะห์จัดจำแนกมีเพียง 7 ตัวแปรเท่านั้น ได้แก่ ตัวแปรที่แสดงรูปร่างลักษณะและขนาดของดอก คือ RAF และ LPCL 3 ตัวแปรที่แสดงรูปร่างลักษณะของเรณูคือ PFI และ NVR กับตัวแปรที่แสดงลักษณะแบบแผนไอโซไซม์ 2 ระบบคือ EST 8 กับ PER 11 และ 14 สมการที่ 3 ประกอบด้วยตัวแปรที่มีความสำคัญในการจัดจำแนกมากที่สุดถึง 28 ตัวแปรคือ LAN1-3, LGY, LFI 1-3, LSTY, LPE 1-2 และ 4, RBR, LCA, LPCL 4, WPE 2-4, DEA, WAP, EST 1-2, MDH 3, GOT 3, SKDH 2 และ PER 7-8, 10 และ 16 โดยตัวแปรที่นำไปใช้ในการวิเคราะห์จัดจำแนกมีเพียง 6 ตัวแปร ได้แก่ตัวแปรที่แสดงขนาดอันเรณูคือ LAN 2 กับตัวแปรที่แสดงลักษณะแบบแผนไอโซไซม์ 4 ระบบ คือ EST 1, GOT 3, MDH 3 และ PER 7, 10

เมื่อพิจารณาความสามารถในการอธิบายความแปรปรวนของข้อมูลของสมการจัดจำแนก (ตารางที่ 4.51) พบว่าสมการจัดจำแนกทั้ง 3 สมการซึ่งมีค่าไอเกนมากกว่า 1 สามารถอธิบายความแปรปรวนของข้อมูลรวมกันได้สูงถึง 100 เปอร์เซ็นต์ โดยเฉพาะสมการที่ 1 อธิบายความแปรปรวนของข้อมูลได้สูงถึง 95.20 เปอร์เซ็นต์ ในขณะที่สมการที่ 2 และสมการที่ 3 อธิบายความแปรปรวนของข้อมูลได้เพียง 3.90 และ 0.90 เปอร์เซ็นต์ตามลำดับ เมื่อใช้สมการที่ 1 และสมการที่ 2 มาแสดงความสัมพันธ์ในรูปกราฟ พบว่าสามารถจำแนกประชากรชงโคล์ออกเป็น 3 กลุ่มได้อย่างเด่นชัด (แผนภาพที่ 4.48:①) โดยกลุ่มที่ 1 คือประชากรที่ 1 (*B. pottsii* var. *subsessilis*) กลุ่มที่ 2 คือ ประชากรที่ 4 (*B. pottsii* var. *pottsii*) และกลุ่มที่ 3 ประกอบด้วยประชากรที่ 6 (*B. pottsii* var. *mollissima*) กับประชากรที่ 8 (*B. pottsii* var. *velutina*) และเมื่อพิจารณาเปอร์เซ็นต์การทำนายกลุ่มประชากรจากสมการที่ได้จากการวิเคราะห์จัดจำแนกลักษณะสัณฐานวิทยาของใบ ดอก เรณูและลักษณะแบบแผนไอโซไซม์ของชงโคล์ตั้ง 6 ระบบ ก็พบว่ามีค่าสูงถึง 100 เปอร์เซ็นต์ แสดงว่าสมการจัดจำแนกทำนายกลุ่มได้ดีมาก (ตารางที่ 4.54)

## 4.5 การศึกษาเปรียบเทียบสถานะทางอนุกรมวิธานของชงโคคำกับชงโคลาภัล

ชงโคล (*Bauhinia purpurea*) และกาหลง (*Bauhinia acuminata*) เป็นพืชที่อยู่ในสกุลเดียวกับชงโคคำ โดยชงโคลมีลักษณะสำคัญหลายประการใกล้เคียงกับชงโคคำ ในขณะที่กาหลงมีความแตกต่างจากชงโคลและชงโคคำอย่างเด่นชัดดังนั้นการศึกษาเปรียบเทียบลักษณะสัณฐานวิทยาของพืชทั้งสามชนิดแล้วนำข้อมูลมาตรวจสอบโดยเทคนิคด้าน numerical taxonomy จะช่วยให้สามารถทราบสถานะทางอนุกรมวิธานของชงโคคำแต่ละพันธุ์ได้

### 4.5.1 การศึกษาลักษณะสัณฐานวิทยาของกิง ใน ดอกและฝักของชงโคล และกาหลง

จากการศึกษาลักษณะสัณฐานวิทยาของกิง ใน ดอก และฝักของชงโคลและกาหลง โดยใช้กล้องจุลทรรศน์แบบสเตอโรไทร์ พบร่วมนิลักษณะสำคัญดังนี้

#### *Bauhinia purpurea* Linn.

*Bauhinia purpurea* Linn. Sp. Pl. 375.1753; Bak. in Hook. f., Fl. Br. Ind. 2:284.1878; Hosseus, Beih. bot. Centrbl. 27:480.1910; idem 28:392.1911; Ridl., Fl. Mal. Pen. 1:634.1922; Craib in Fl. Siam. En. 1:526.1928; Gagnep. in Fl. Ge'n. I.-C. 2:127.1913; de Wit, Reinwardtia 3:406.1956, K.&S.S. Larsen, Nat. Hist. Bull. Siam Soc. 25:15.1973; in Fl. c.l.v. 18:152.1980.

*B. coromandeliana* DC., Prod. 2:515.1825.

*B. triandra* Roxb., Fl. Ind. ed.2. 2:320.1832.

*Phanera purpurea* (Linn.) Benth. in Miq., Pl. Jungh.:262.1852.Fig1:1-3

ชื่อพื้นเมือง ชงโคล

ชื่ออื่นๆ เสี้ยว เสี้ยวดอกแดง เสี้ยวหวาน กะเขือ สะเป็ช

### ลักษณะ

ลักษณะวิสัย เป็นไม้ดัน มีความสูงถึง 10 เมตร กิ่งอ่อน สีเขียวหรือสีเขียวอมน้ำตาล ผิวเรียบเกลี้ยง ไม่มีขนปุกคุณ ดัดเป็นมีช่องอากาศกระจายทั่วไป ลำต้น สีครีมอมน้ำตาล มีช่องอากาศเป็นขีดยาวตามขวางสีน้ำตาลอ่อนดำ ขนาด 0.50-1.20 เซนติเมตร กระจายหนาแน่น

ใบเดี่ยว เรียงสลับ มีรูปร่างค่อนข้างกลม ขนาด  $10.50-16.30 \times 9.10-16.80$  เซนติเมตร ปลายใบเว้าเล็ก  $2.70-7.40$  เซนติเมตร หรือประมาณ  $1/3-1/2$  ของความยาวใบ และแยกออกเป็น 2 แฉก ปลายแยกโถมห่างกัน  $4.60-7.50$  เซนติเมตร โคนใบเว้ารูปหัวใจ ขอบใบเรียบ เส้นใบแตกออกจากโคนใน  $9-13$  เส้น ปลายสุดของเส้นกลางใบยื่นออกจากขอบใบเป็นดิ่งแหลมเล็กๆ  $0.20-0.30$  เซนติเมตร ใบด้านบนมีสีเขียว ผิวเรียบมัน ไม่มีขน ใบด้านล่างมีสีเขียวเท็นเส้นใบชัดเจนและมีขนสั้นสีขาวใสประปาอย่าง ก้านใบ ยาวประมาณ  $4.00-4.80$  เซนติเมตร มีสีเขียว ผิวเรียบเกลี้ยง ไม่มีขน หูใบ มีขนาดเล็ก สีเขียว ยื่นออกมา 2 คู่ คู่ที่อยู่ด้านในเป็นเส้นขนาดเล็กผิวเรียบมัน คู่ที่อยู่ด้านนอกคล้ายสามเหลี่ยมยาวประมาณ  $0.10-0.20$  เซนติเมตร มีขนสั้นๆสีขาวใสปุกคุณ (แผนภาพที่ 4.19.2:①)

ดอก มีลักษณะเป็นช่อแบบช่อกระจะ ออกที่ปลายกิ่งหรือด้านข้าง ก้านดอกย่อย ยาว  $0.70-1.20$  เซนติเมตร มีสีเขียวและมีขนสั้นสีขาวใสปุกคุณหนาแน่น ในระดับ และในระดับย่อย รูปร่างคล้ายสามเหลี่ยมปลายเรียวแหลมยาว  $0.20-0.30$  เซนติเมตร มีขนสั้นสีขาวใสปุกคุณหนาแน่น ดอกตูม รูปกระบอกปลายแหลมยาว  $2.10-4.40$  เซนติเมตร มีสีเขียวและมีสันตามแนวยาวเด่นชัด 5 สัน ผิวมีขนสั้นสีขาวปุกคุณหนาแน่น ช่อออกแต่ละช่อ ประกอบด้วยดอกตูม  $4-15$  ดอก ฐานดอกมีสีเขียวขาว  $1.10-1.60$  เซนติเมตร ผิวมีขนสั้นสีขาวใสปุกคุณหนาแน่น กลีบเลี้ยง คล้ายกาบทุ่มสีเขียวอ่อน ยาว  $2.40-3.50$  เซนติเมตร ผิวมีขนสั้นสีขาวใสปุกคุณหนาแน่น กลีบดอกมี 5 กลีบ รูปใบหอกแคบ ขอบเรียบ มีสีชมพูอ่อน ขนาด  $1.10-2.20 \times 4.00-7.00$ ,  $1.10-2.00 \times 4.00-7.00$ ,  $1.10-2.20 \times 4.20-7.00$ ,  $1.10-2.20 \times 3.90-7.20$  และ  $1.10-2.20 \times 4.30-7.30$  เซนติเมตรตามลำดับ ผิวกลีบดอกเรียบเกลี้ยง ไม่มีขน ก้านกลีบดอก สีชมพู ผิวเรียบเกลี้ยง ยาว  $0.50-1.20$  เซนติเมตร (แผนภาพที่ 4.19.2:②)

เกรสรเพคผู้ที่สมบูรณ์ มี 3 อัน ก้านชูอันเรณู มีสีชมพู ผิวเรียบมัน ยาว  $3.70-5.50$  เซนติเมตร ติดกับอันเรณูแบบ versatile ที่ตำแหน่งซึ่งทำให้อัตราส่วนของอันเรณู ด้านหลังที่มีร่องต่อด้านที่ไม่มีร่องเท่ากับ  $1.88-2.21$  อันเรณู สีน้ำตาลอ่อน ผิวเรียบยาว  $0.60-$

0.90 เซนติเมตร แตกตามยาว เกสรเพศผู้ที่ไม่สมบูรณ์ มีสีชมพูหรือสีขาว牙 1.00-1.20  
เซนติเมตร

เกสรเพศเมีย ประกอบด้วย ยอดเกสรเพศเมีย สีครีมหรือสีขาว ส่วนปลาย  
แบนและเป็นแองศูนย์กลาง ก้านเกสรเพศเมีย สีขาว ยาว 1.20-2.10 เซนติเมตร ผิวมีขนสั้น  
สีขาวใสปักคลุมหนาแน่น รังไข่อยู่เหนือวงกลีบ ยาว 0.90-1.30 เซนติเมตร มีสีเขียวอ่อน และ  
มีขนสั้นสีขาวปักคลุมร่องตรงกลางตามแนวยาวรังไข่มีขนแข็งเอนสีขาวใสขนาดเล็กกว่าไป  
ก้านชูเกสรเพศเมีย ยาว 1.30-2.30 เซนติเมตร มีสีชมพู ผิวมีขนสั้นสีขาวปักคลุมหนาแน่น  
อ่อนุล สีเขียวอ่อน ผิวเรียบมัน จำนวน 12-15 อ่อนุล ติดอยู่ที่ผนังรังไข่ตามแนวระเบ็บ

ฝัก แบบ รูปขอบขนาน ค่อนข้างตรง ขนาด 2.00-2.50 x 22.00-26.00  
เซนติเมตร ขอบด้านบนและขอบด้านล่างไม่มีสัน ส่วนปลายสุดแหลม ฝักอ่อนมีสีเขียว เมื่อแก่  
มีสีน้ำตาลเข้ม ผิวเรียบเกลี้ยง แตกตามแนวยาว เมล็ด แบบ รูปกลมรี สีน้ำตาล ขนาด 1.20-  
1.30 x 1.50-1.60 เซนติเมตร จำนวน 10-15 เมล็ดต่อฝัก (แผนภาพที่ 4.19.2:⑦)

ระยะเวลาออกดอก	กันยายนถึงมีนาคม
ระยะเวลาติดฝัก	พฤษจิกายนถึงเมษายน
การกระจายพันธุ์ในต่างประเทศ	จีน อินเดีย พม่า เวียดนาม และ ประเทศไทย

#### *Bauhinia acuminata* Linn.

*B. acuminata* Linn., Sp. Pl.:375.1753; Kurz, Fl. Burm. 1:396.1877; Bak. in Hook. f., Fl. Br. Ind. 2:276. 1878. Gagnep. in Fl. Ge'n. I.-C. 2:148. 1913; Ridl., Fl. Mal. Pen. 1:625. 1922; Craib in Fl. Siam. En. 1:516. 1928; de Wit, Reinwardtia 3:393.1956; K. & S.S. Larsen, Nat. Hist. Bull. Siam Soc. 25:7. 1973; in Fl. C. L.V. 18:156.1980.

*B. candida* auct. non Ait.: D.C. Prod. 2:513. 1825.

*B. tomentosa* auct. non Linn.: Naves in Blanco, Fl. Filip., ed. 3, 4 (3) :pl.111. 1880.

*B. grandiflora* auct. non Blanco : Merrill, Philip. J. Sci. (Bot.) 2:433. 1907, nec Juss. in Lamk., Enc. Suppl., 1:600. 1811. Fig. 2:1-4.

ชื่อพื้นเมือง กากหลง  
ชื่ออื่นๆ สัมเสี้ยว ก้าเจ๊กูโถ

**ลักษณะ**

ลักษณะวิสัย เป็นไม้พุ่ม มีความสูง 3-4 เมตร กิ่งอ่อน สีเขียวหรือสีเขียวอมน้ำตาล ส่วนปลายสุดมีขนสั้นนุ่มปกคลุมทั่วไป ตัดเป็นมาพร้อมประป้าย ลำต้น สีน้ำตาลอ่อนดำ ผิวเรียบไม่มีขัน เปลือกมีช่องอากาศค่อนข้างกลม ขนาด 0.10-0.20 เซนติเมตรกระจายทั่วไป

ใบเดี่ยว เรียงสลับ มีรูปร่างแบบรูปไข่หรือค่อนข้างกลม ขนาด 9.50-12.60 x 9.20-11.20 เซนติเมตร ปลายใบเว้าเล็ก 3.10-6.00 เซนติเมตรหรือประมาณ 1/3 -1/2 ของความยาวใบและแยกออกเป็น 2 แฉก ปลายแยกค่อนข้างแหลมห่างกัน 4.80-9.70 เซนติเมตร โคนใบเว้ารูปหัวใจ ขอบใบด้านบนเรียบ ด้านล่างมีขนสั้นนุ่มปกคลุม เส้นใบแตกออกจากโคนใบ 9-11 เส้น ปลายสุดของเส้นกลางใบยื่นออกจากขอบใบเป็นดึงแหลมเล็กๆ ยาว 0.20-0.30 เซนติเมตร ในด้านบนมีสีเขียวเรียบมัน ไม่มีขัน ในด้านล่างมีสีเขียวเห็นเส้นใบชัดเจนและมีขนสั้นสีขาวใส่ปกคลุมหนาแน่น ก้านใบ ยาว 2.20 – 3.60 เซนติเมตร มีสีเขียวหรือสีเขียวอมน้ำตาลและมีขนสั้นประป้าย หูใบ มีขนาดเล็ก สีเขียว ยื่นออกมา 2 คู่ คู่ที่อยู่ด้านในเรียบมัน คู่ที่อยู่ด้านนอกคล้ายสามเหลี่ยมปั้นปลายเรียวแหลม ยาว 0.80-1.00 เซนติเมตร มีขนสั้นๆปกคลุม (แผนภาพที่ 4.19.2:๐)

ดอก มีลักษณะเป็นช่อแบบช่อกระจะ ออกที่ปลายกิ่งหรือด้านข้าง ก้านดอกย่อย ยาว 0.50-1.50 เซนติเมตร มีสีเขียวและมีขนสั้นสีขาวใสประป้าย ในระดับและในประดับย่อย รูปร่างคล้ายสามเหลี่ยมปั้นปลายเรียวแหลม ยาว 0.30-0.50 เซนติเมตร มีขนสั้นสีขาวใส่ปกคลุมที่ขอบทั้งสองข้าง ดอกดูม รูปกระสาย (fusiform) ยาว 1.40-3.50 เซนติเมตร ส่วนปลายเรียวแหลม และแยกออกเป็นดึงแหลมเล็กที่มีขนสีขาวใส่ปกคลุม 5 อัน ผิวเรียบ เกลี้ยง สีเขียว อาจมีขนสีขาวใส่ปกคลุมเล็กน้อย ช่อดอกแต่ละช่อประกอบด้วยดอกดูม 4-8 ดอก ฐานดูก รูปลูกช้าง (turbinate) ยาว 0.30-0.70 เซนติเมตรผิวเรียบเกลี้ยง สีเขียว มีขนสีขาวใส่ปกคลุมเล็กน้อย กลีบเลี้ยง คล้ายกาบ (spathulate) สีเขียวอ่อน ยาว 1.80-3.50 เซนติเมตร ผิวเรียบเกลี้ยง มีขนสีขาวใส่น้อยมาก กลีบดูก มี 5 กลีบ รูปป้อมขนาดแกร่งรูปไข่กลับ (obovate-oblong) มีสีขาว ขอบเรียบ ขนาด 1.30-3.20 x 3.00-5.20, 1.30-3.20 x 3.00-5.20, 1.30-3.20 x 3.00-5.20, 1.30-3.30 x 3.00-5.40 และ 1.30-3.20 x 2.80-5.40

เซนติเมตร ตามลำดับ ผิวกลีบดอกเรียบเกลี้ยง ไม่มีขนปกคลุม ก้านกลีบดอก สั้นมากหรือไม่มี (แผนภาพที่ 4.19.2:④)

เกรสรเพสผู้ที่สมบูรณ์ มี 10 อัน ก้านชูอันเรณู สีขาว ผิวเรียบมัน ยาวไม่เท่ากัน อยู่ในช่วง 1.20-3.00 เซนติเมตร ส่วนโคนเชื่อมดิตกันและมีขนสีขาวใสปกคลุม ติดกับอันเรณูแบบ versatile ที่ดำเนแห่งซึ่งทำให้อัตราส่วนของอันเรณูด้านหลังที่มีร่องต่อด้านที่ไม่มีร่องเท่ากัน 0.20-0.28 อันเรณู ค่อนข้างตรง สีเหลืองสด ยาว 0.40-0.50 เซนติเมตร แตกตามแนวยาว

เกรสรเพสเมีย ประกอบด้วย ยอดเกรสรเพสเมีย สีเขียวอ่อน มีขนาดใหญ่ เด่นชัด ส่วนปลายแบบและเป็นแองครองกลาง ก้านเกรสรเพสเมีย สีขาว ยาว 1.00-2.00 เซนติเมตร ผิวเรียบมัน รังไข่ อยู่เหนือวงกลีบ ยาว 0.60-1.10 เซนติเมตร มีสีเขียว ผิวเรียบมัน ร่องตรงกลางตามแนวยาวปกคลุมด้วยขนแข็งเอนขนาดเล็กสีขาวสีทั่วไป ก้านชูเกรสรเพสเมีย สีเขียวอ่อน ผิวเรียบมัน ยาว 0.80-1.70 เซนติเมตร ออวุล สีเขียวอ่อน ผิวเรียบมัน จำนวน 10-12 ออวุล ติดอยู่ที่พนังรังไปตามแนวระเบื้น

ฝัก แบบ รูปขอบขนาน โคลังเล็กน้อย ขนาด 1.50-1.70 x 9.00-11.00 เซนติเมตร ขอบด้านบนมีสันตามแนวยาว ส่วนปลายสุดเรียวแหลมมีติ่งยื่นออกมา ฝักอ่อนมีสีเขียว เมื่อแก่แล้วสีน้ำตาล ผิวเรียบเกลี้ยง แตกตามแนวยาว เมล็ด แบบรูปได้ สีน้ำตาล ขนาด 0.60-0.70 x 1.10-1.20 เซนติเมตร จำนวน 5-11 เมล็ดต่อฝัก (แผนภาพที่ 4.19.2:⑤)

ระยะเวลาออกดอก	ตลอดปี
ระยะเวลาดึงฝัก	ตลอดปี
การกระจายพันธุ์ในต่างประเทศ	อินโดนีเซีย พลิบปินส์ ศรีลังกา และประเทศไทยในแบบເອເຊີຍຕະວັນອອກເສີຍໃຕ້

#### 4.5.2 การศึกษาลักษณะสัณฐานวิทยาของเรณูชงโคและการหลง

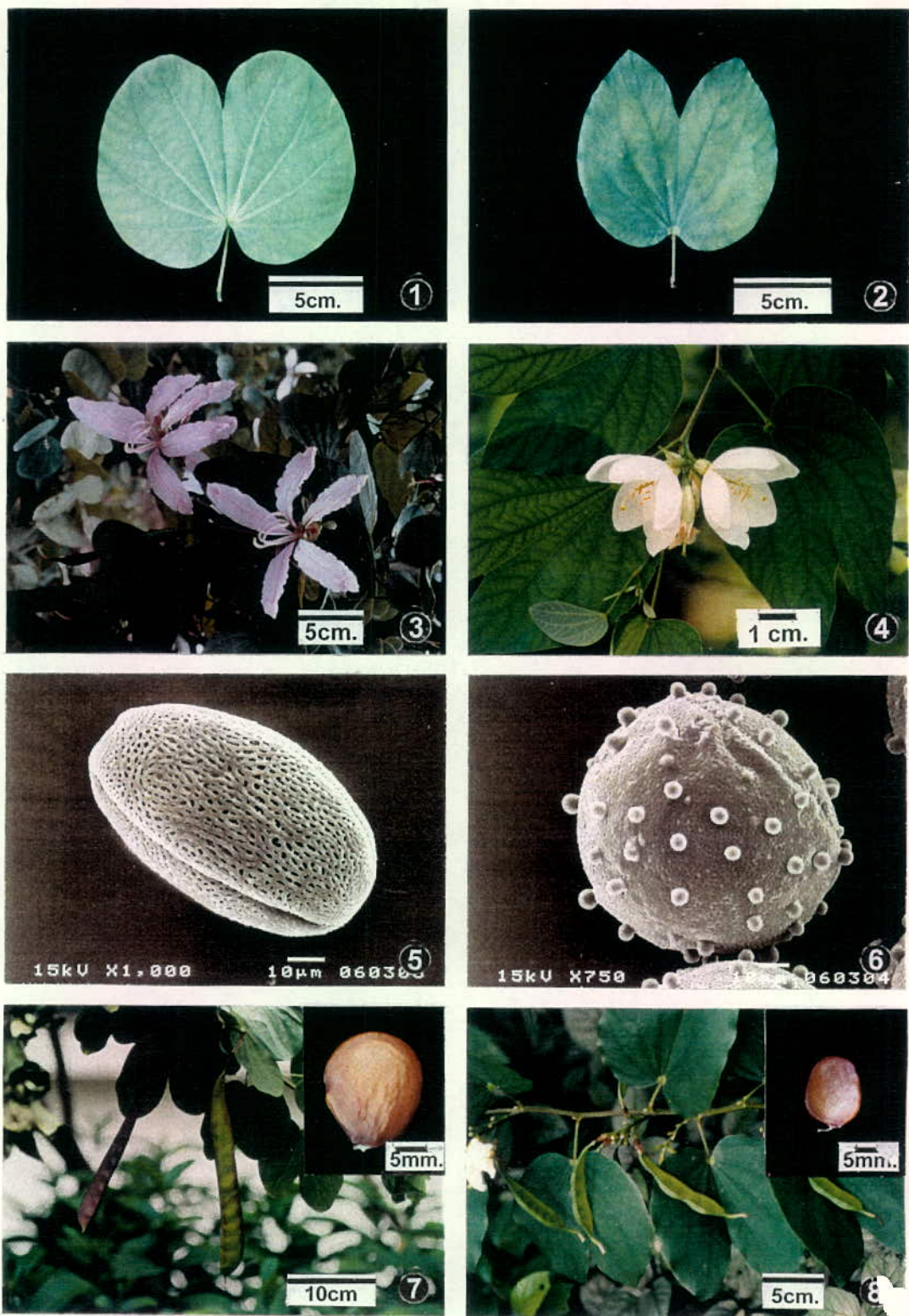
จากการศึกษาลักษณะสัณฐานวิทยาของเรณูชงโค (*Bauhinia purpurea*) ซึ่งเก็บรวบรวมจากคณะเภสัชศาสตร์ จุฬาลงกรณ์มหาวิทยาลัย และการหลง (*Bauhinia acuminata*) ซึ่งเก็บรวบรวมจากคณะวิทยาศาสตร์ จุฬาลงกรณ์มหาวิทยาลัย ชนิดละ 50 ตัวอย่าง โดยใช้กล้องจุลทรรศน์สเตรโอและกล้องจุลทรรศน์อิเลคตรอนแบบส่องการดู สรุปได้ดังนี้

*Bauhinia purpurea* Linn.

รูปร่าง (shape class)	:	คล้ายรักน้ำ (prolate) มีสมมาตรแบบรัศมี ออยู่เดี่ยวๆ (monad)
ขนาด (size)	:	P = (80.00) – 81.72 – (88.00) ไมครอน
		E = (60.00) – 61.56 – (65.00) ไมครอน
		P/E = 1.33 – 1.35
ช่องเปิด (aperture)	:	มีขั้วแบบ isopolar มีช่องเปิดแบบ 3-colporoidate เรียงตามแนวศูนย์สูตร มีความยาวประมาณ 4/5 ของความยาวเรตุณแนว polar axis ความกว้างช่องเปิด = (12.00) – 12.46 – (13.00) ไมครอน ความยาวช่องเปิด = (70.00) – 74.52 – (76.00) ไมครอน
พื้นที่บริเวณข้าว (apocolpium)	:	ขนาดเล็ก = (0.17) – 0.19 – (0.21) ไมครอน
ลวดลายผิว (ornamentation)	:	แบบ striato-reticulate

*Bauhinia acuminata* Linn.

รูปร่าง (shape class)	:	กลม (spheroidal) มีสมมาตรแบบรัศมี ออยู่เดี่ยวๆ (monad)
ขนาด (size)	:	P = (85.00) – 90.50 – (95.00) ไมครอน
		E = (85.00) – 90.50 – (95.00) ไมครอน
		P/E = 1.00
ช่องเปิด (aperture)	:	ไม่มีขั้ว
พื้นที่บริเวณข้าว (apocolpium)	:	ไม่มี
ลวดลายผิว (ornamentation)	:	แบบ reticulate มี supratectal process ยื่นออกมารอบเรตุณ เด่นชัด



แผนภาพที่ 4.19.2 เปรียบเทียบลักษณะใบ ดอก เรตโน ฝัก และเมล็ดของชงโค(① ③ ⑤ ⑦ ) และกาหลง(② ④ ⑥ ⑧)

### 4.5.3 การศึกษา numerical taxonomy ของชงโคงโค และการลง

การตรวจสอบสถานะทางอนุกรมวิธานของชงโคงโคที่พบในประเทศไทยด้วยวิธีการ numerical taxonomy โดยศึกษาเปรียบเทียบกับสถานะทางอนุกรมวิธานของชงโคง (*Bauhinia purpurea* Linn.) และกาหลง (*Bauhinia acuminata* Linn.) ด้วยเทคนิคการวิเคราะห์ปัจจัย การวิเคราะห์จัดกลุ่มและการวิเคราะห์จัดจำแนก โดยการวิเคราะห์ข้อมูลจากลักษณะสัณฐานวิทยาของกิ่ง ใน ดอก เรณุและฝัก รวมทั้งสิ้น 74 ลักษณะ จากตัวอย่างประชากรชงโคง (*B. purpurea*) ประชากรกาหลง (*B. acuminata*) และประชากรชงโคงโค 4 พันธุ์ คือ *B. pottsii* var. *subsessilis*, *B. pottsii* var. *pottsii*, *B. pottsii* var. *mollissima* และ *B. pottsii* var. *velutina* ประชากรละ 50 ตัวอย่าง รวมตัวอย่างประชากรทั้งหมด 300 ตัวอย่างได้ผลดังนี้

#### 4.5.3.1 ผลการวิเคราะห์ปัจจัยลักษณะสัณฐานวิทยาของกิ่ง ใน ดอก เ-renu และฝักของชงโคงโค ชงโคงและการลง

จากการศึกษาลักษณะวิสัยและลักษณะสัณฐานวิทยาของกิ่ง ใน ดอก เ-renu ฝัก และเมล็ด ของชงโคงโค และกาหลง รวมทั้งสิ้น 74 ลักษณะ (ตารางที่ 3.5 และตารางที่ 3.6) เมื่อนำมาวิเคราะห์ปัจจัยพบว่ามีแกนปัจจัยที่มีค่าไオเกนมากกว่า 1 จำนวน 7 แกน สามารถอธิบายความแปรปรวนของข้อมูลได้รวมทั้งสิ้น 92.276 เปอร์เซ็นต์โดยตัวแปรทุกดัชนีมีค่า communality มากกว่า 0.5 ค่า factor loading ของตัวแปรต่างๆ ที่เป็นองค์ประกอบในทุกแกนปัจจัยมีค่ามากกว่า 0.5 โดยแกนปัจจัยที่ 1 ประกอบด้วย 44 ตัวแปร ได้แก่ ตัวแปรที่แสดงรูปร่างลักษณะคือ HAB, SSEE, ESC, RBR, SSTI, SPE, SPOD, TPO, NFST, TBU, TLE, SPO, HLE, HUE, HOV, NSEE, NVR และ NSV ตัวแปรที่แสดงสีสันคือ CAN, CSTY, CFI, CPE และ CSTI รวมทั้งตัวแปรที่แสดงขนาดคือ WSEE, LSEE, WPE 1, 3-5, TRA, WPOD, DEA, LRE, TRA, LAN 1-3, LSTY, WBF, LFI 1-3, LLE และ WAP ส่วนแกนปัจจัยที่ 2 ประกอบด้วย 18 ตัวแปรได้แก่ตัวแปรที่แสดงรูปร่างลักษณะคือ TAP, PAP, NBU, PFI และ RPOD ตัวแปรที่แสดงสีสันคือ CBU และตัวแปรที่แสดงขนาดคือ DAP, LPCL 1-5, LCA, LOV, LAP, LBU, WLE และ LGY สำหรับแกนปัจจัยที่ 3 นั้นประกอบด้วย 7 ตัวแปรได้แก่ตัวแปรที่แสดงรูปร่างลักษณะคือ RAF และ LEN กับตัวแปรที่แสดงขนาดคือ LPE 1-5 แกนปัจจัยที่ 4 ประกอบด้วย 2 ตัวแปรเท่านั้นคือ WPE 2 กับ RBU เช่นเดียวกับแกนปัจจัยที่ 5 ที่ประกอบด้วย 2 ตัวแปรเช่นกันคือ LBF กับ WCA ในขณะที่แกนปัจจัยที่ 6 มีเพียง 1 ตัวแปรเท่านั้นคือ LPOD สำหรับแกนปัจจัยที่ 7 นั้นไม่มีตัวแปรใดเป็นองค์ประกอบเลย (ตารางที่ 4.56)

เมื่อหมุนแกนปัจจัยแล้วพบว่าค่า factor loading ของตัวแปรในแต่ละแกนปัจจัยเปลี่ยนไปจากเดิม แต่ก็ยังคงมีค่ามากกว่า 0.5 นอกจากนี้การหมุนแกนปัจจัยยังทำให้แกนปัจจัยแต่ละแกนมีตัวแปรที่มีความสัมพันธ์กันภายในแกนสูงครบทั้ง 7 แกนอีกด้วยคือ แกนปัจจัยที่ 1 เหลือองค์ประกอบภายนอกภายในแกนเพียง 39 ตัวแปร ได้แก่ตัวแปรที่แสดงรูปร่างลักษณะคือ SPO, HLE, HUE, HOV, SSTI, SPE, SPOD, PFI, NSV, HAB, SSEE, ESC, RBR, TPO, NBU, NFST, TLE, TBU และ NSEE ตัวแปรที่แสดงสีสันคือ CAN, CSTY, CFI, CSTI, CPE และ CBU รวมทั้งตัวแปรที่แสดงขนาดคือ WPOD, DAP, TRA, WPE 1, 3-5, WBF, WSEE, WLE, WAP, LSEE, LLE และ LSTY ส่วนแกนปัจจัยที่ 2 ประกอบด้วย 20 ตัวแปร ได้แก่ ตัวแปรที่แสดงขนาดคือ LPCL1-5, LCA, LAN 1-3, LBU, DEA, LOV, LRE, LGY และ LFI 2-3 และตัวแปรที่แสดงรูปร่างลักษณะคือ LEN และ RAF สำหรับแกนปัจจัยที่ 4 มีเพียง 3 ตัวแปรเท่านั้น ได้แก่ตัวแปรที่แสดง รูปร่างลักษณะ คือ RBU กับตัวแปรที่แสดงขนาดคือ WPE 2 และ DPA ส่วนแกนปัจจัยที่ 5, 6 และ 7 ประกอบด้วยตัวแปร 1 ตัวแปรเช่นเดียวกัน คือ LBF, WCA และ LPOD ตามลำดับ (ตารางที่ 4.57)

เมื่อพิจารณาตารางที่ 4.55 จะเห็นว่าแกนปัจจัยแต่ละแกนสามารถอธิบายความแปรปรวนของข้อมูลได้ค่อนข้างดี กล่าวคือแกนปัจจัยที่ 1 สามารถอธิบายความแปรปรวนของข้อมูลได้สูงสุดเพียง 39.288 เปอร์เซ็นต์ ในขณะที่แกนปัจจัยที่ 2-7 สามารถอธิบายความแปรปรวนของข้อมูลได้เท่ากัน 27.367, 12.838, 6.691, 2.700, 1.843 และ 1.548 เปอร์เซ็นต์ตามลำดับ ดังนั้นจึงต้องใช้แกนปัจจัยทั้งหมด 7 แกนร่วมกัน จึงจะสามารถอธิบายความแปรปรวนของข้อมูลได้รวมทั้งสิ้น 92.276 เปอร์เซ็นต์

เมื่อนำแกนปัจจัยที่ 1-7 ซึ่งได้จากการวิเคราะห์ปัจจัยมาแสดงความสัมพันธ์ในรูปกราฟพบว่าความสัมพันธ์ระหว่างแกนปัจจัยที่ 1 กับแกนปัจจัยที่ 2 สามารถแยกประชากรชั้นโคลา ชงโโค และกาหลงออกเป็น 5 กลุ่ม (แผนภาพที่ 4.36:③) ได้แก่กลุ่มที่ 1 คือ ประชากรที่ 1 (*B. pottsii* var. *subsessilis*) กลุ่มที่ 2 คือประชากรที่ 4 (*B. pottsii* var. *pottsii*) กลุ่มที่ 3 ประกอบด้วยประชากรที่ 6 (*B. pottsii* var. *mollissima*) กับประชากรที่ 8 (*B. pottsii* var. *velutina*) กลุ่มที่ 4 คือประชากรที่ 10 (*B. purpurea*) และกลุ่มที่ 5 คือประชากรที่ 11 (*B. acuminata*) โดยพบว่าลักษณะบนแกนปัจจัยที่ 1 สามารถจำแนกประชากรทั้ง 5 กลุ่มออกจากกันได้ค่อนข้างชัดเจน ในขณะที่ลักษณะบนแกนปัจจัยที่ 2 แยกประชากรทั้ง 5 กลุ่มออกจากกันได้ไม่ดีนัก

เมื่อพิจารณาความสัมพันธ์ระหว่างแกนปัจจัยที่ 1 กับแกนปัจจัยที่ 3-7 พบว่าลักษณะบนแกนปัจจัยที่ 3 และแกนปัจจัยที่ 4 สามารถแยกประชากรที่ 10 และประชากรที่ 11 ออกจากกันได้ค่อนข้างชัดเจน แต่ไม่สามารถแยกประชากรที่ 1, 4, 6 และ 8 ออกจากกันได้อย่างเด่นชัด (แผนภาพที่ 4.37:①-②) ในขณะที่ลักษณะบนแกนปัจจัยที่ 5-7 ไม่สามารถแยกประชากรทั้ง 5 กลุ่มออกจากกันได้เลย (แผนภาพที่ 4.37:③-④)

เมื่อพิจารณาความสัมพันธ์ระหว่างแกนปัจจัยที่ 2 กับแกนปัจจัยที่ 3-7 พบว่าลักษณะบนแกนปัจจัยที่ 2 สามารถแยกประชากรที่ 10 ออกจากประชากรอื่นๆ ได้ค่อนข้างชัดเจน ลักษณะบนแกนปัจจัยที่ 3 และแกนปัจจัยที่ 4 สามารถแยกประชากรที่ 10 และประชากรที่ 11 ออกจากกันได้ค่อนข้างชัดเจน แต่ไม่สามารถแยกประชากรที่ 1, 4, 6 และ 8 ออกจากกันได้อย่างเด่นชัด (แผนภาพที่ 4.37:③-④) ในขณะที่ลักษณะบนแกนปัจจัยที่ 5-7 ไม่สามารถแยกประชากรทั้ง 5 กลุ่มออกจากกันได้เลย (แผนภาพที่ 4.37:⑤ และแผนภาพที่ 4.38:①-②)

เมื่อพิจารณาความสัมพันธ์ระหว่างแกนปัจจัยที่ 3 กับแกนปัจจัยที่ 4-7 พบว่าลักษณะบนแกนปัจจัยที่ 3 สามารถแยกประชากรที่ 10 ออกจากประชากรอื่นๆ ได้ค่อนข้างชัดเจน แต่ประชากรที่ 1, 4, 6, 8 และ 11 นั้นมีการกระจายปะปนกันอยู่ไม่แยกเป็นกลุ่มที่เด่นชัดนัก (แผนภาพที่ 4.38:③-⑥)

สำหรับความสัมพันธ์ระหว่างแกนปัจจัยที่ 4 แกนปัจจัยที่ 5 แกนปัจจัยที่ 6 และแกนปัจจัยที่ 7 พบว่าไม่สามารถจำแนกประชากรทั้ง 5 กลุ่มออกจากกันได้อย่างเด่นชัด (แผนภาพที่ 4.39:①-⑥)

#### 4.5.3.2 ผลการวิเคราะห์จัดกลุ่มของลักษณะสัณฐานวิทยาของกึ่ง ใน ดอก เรณู และฝักของชงโคคำ ชงโค และกาหลง

การวิเคราะห์จัดกลุ่มประชากรชงโคคำเปรียบเทียบกับประชากรชงโคและกาหลงโดยใช้ลักษณะสัณฐานวิทยาของกึ่ง ใน ดอก เรณู และฝัก รวมทั้งสิ้น 74 ลักษณะ (ตารางที่ 4.56) พบว่าสามารถจัดกลุ่มประชากรออกเป็น 5 กลุ่ม (แผนภาพที่ 4.47) ได้แก่กลุ่มที่ 1 คือประชากรที่ 1 (*B. pottsii* var. *subsessilis*) กลุ่มที่ 2 คือประชากรที่ 4 (*B. pottsii* var. *pottsii*) กลุ่มที่ 3 ประกอบด้วยประชากรที่ 6 (*B. pottsii* var. *mollissima*) กับประชากรที่ 8 (*B. pottsii* var. *velutina*) กลุ่มที่ 4 คือประชากรที่ 10 (*B. purpurea*) และกลุ่มที่ 5 คือประชากรที่ 5 (*B. pottsii* var. *lanceolata*)

กรที่ 11 (*B. acuminata*) เด่นโดยแกรมจากการวิเคราะห์จัดกลุ่มแสดงให้เห็นว่าประชากรกลุ่มที่ 1, 2 และ 3 ซึ่งก็คือประชากรชงโคดำทั้งหมดมีการจัดกลุ่มเป็นกลุ่มเดียวกันแยกออกจากประชากรชงโคและกาหลงอย่างเด่นชัด แสดงให้เห็นว่าชงโคดำ ชงโค และกาหลง มีความแปรผันระหว่างประชากรมากเพียงพอที่จะจัดเป็นคนละกลุ่มกันได้อย่างชัดเจนโดยชงโคดำประกอบด้วย 3 กลุ่มย่อย คือ กลุ่มย่อยที่ 1 (*B. pottsii* var. *subsessilis*) กลุ่มย่อยที่ 2 (*B. pottsii* var. *pottsii*) และกลุ่มย่อยที่ 3 (*B. pottsii* var. *mollissima* และ *B. pottsii* var. *velutina*)

#### 4.5.3.3 ผลการวิเคราะห์จัดจำแนกลักษณะสัณฐานวิทยาของกิง ใน ดอกเรณูและฝักของชงโคดำ ชงโค และกาหลง

จากการวิเคราะห์จัดจำแนกประชากรชงโคดำ ชงโค และกาหลง โดยใช้ลักษณะสัณฐานวิทยาของกิงและใบซึ่งเป็น vegetative character กับลักษณะสัณฐานวิทยาของดอกเรณู และฝัก ซึ่งเป็น reproductive character รวมทั้งสิ้น 74 ลักษณะพบว่า ลักษณะต่างๆ เหล่านี้ถูกนำเข้าสู่การวิเคราะห์จัดจำแนกเพียง 21 ลักษณะ (ตารางที่ 4.59) ได้สมการจัดจำแนก 5 สมการซึ่งมีค่าไオเกนมากกว่า 1 ทั้งหมดเมื่อพิจารณาค่าสหสัมพันธ์ค่าโนนิคอลของสมการที่ 1-5 พบว่ามีค่าเท่ากับ 1.000, 0.999, 0.995, 0.942 และ 0.809 ตามลำดับ ซึ่งเมื่อนำค่าสหสัมพันธ์ค่าโนนิคอลมายกกำลังสอง พบว่าทั้ง 5 สมการมีค่าสหสัมพันธ์ค่าโนนิคอลยกกำลังสองมากกว่า 0.5 กล่าวคือมีค่าเท่ากับ 1.000, 0.998, 0.990, 0.887 และ 0.654 ตามลำดับ (ตารางที่ 4.58)

เมื่อพิจารณาค่าวิลค์แอลดาพบว่าสมการที่ 1-5 ล้วนแต่มีค่าวิลค์แอลดาต่ำกว่า 0.5 คือ เท่ากับ 0.000, 0.000, 0.000, 0.039 และ 0.346 ตามลำดับ แสดงว่าสมการทั้ง 5 สมการนี้มีความเหมาะสมในการทำนายกลุ่มได้ดี โดยสมการที่ 1 สามารถอธิบายความแปรปรวนของข้อมูลได้ 63.70 เปอร์เซ็นต์ ในขณะที่สมการที่ 2-5 อธิบายความแปรปรวนของข้อมูลได้เท่ากับ 32.50, 3.40, 0.30 และ 0.10 เปอร์เซ็นต์ตามลำดับ ดังนั้นสมการทั้ง 5 สมการจึงสามารถอธิบายความแปรผันสะสมของข้อมูลรวมกันได้ถึง 100 เปอร์เซ็นต์ โดยทั้ง 5 สมการต่างก็มีค่า chi-square ที่มีความแตกต่างอย่างมีนัยสำคัญทางสถิติที่ระดับความเชื่อมั่น 99 % ( $P < 0.01$ ) (ตารางที่ 4.58)

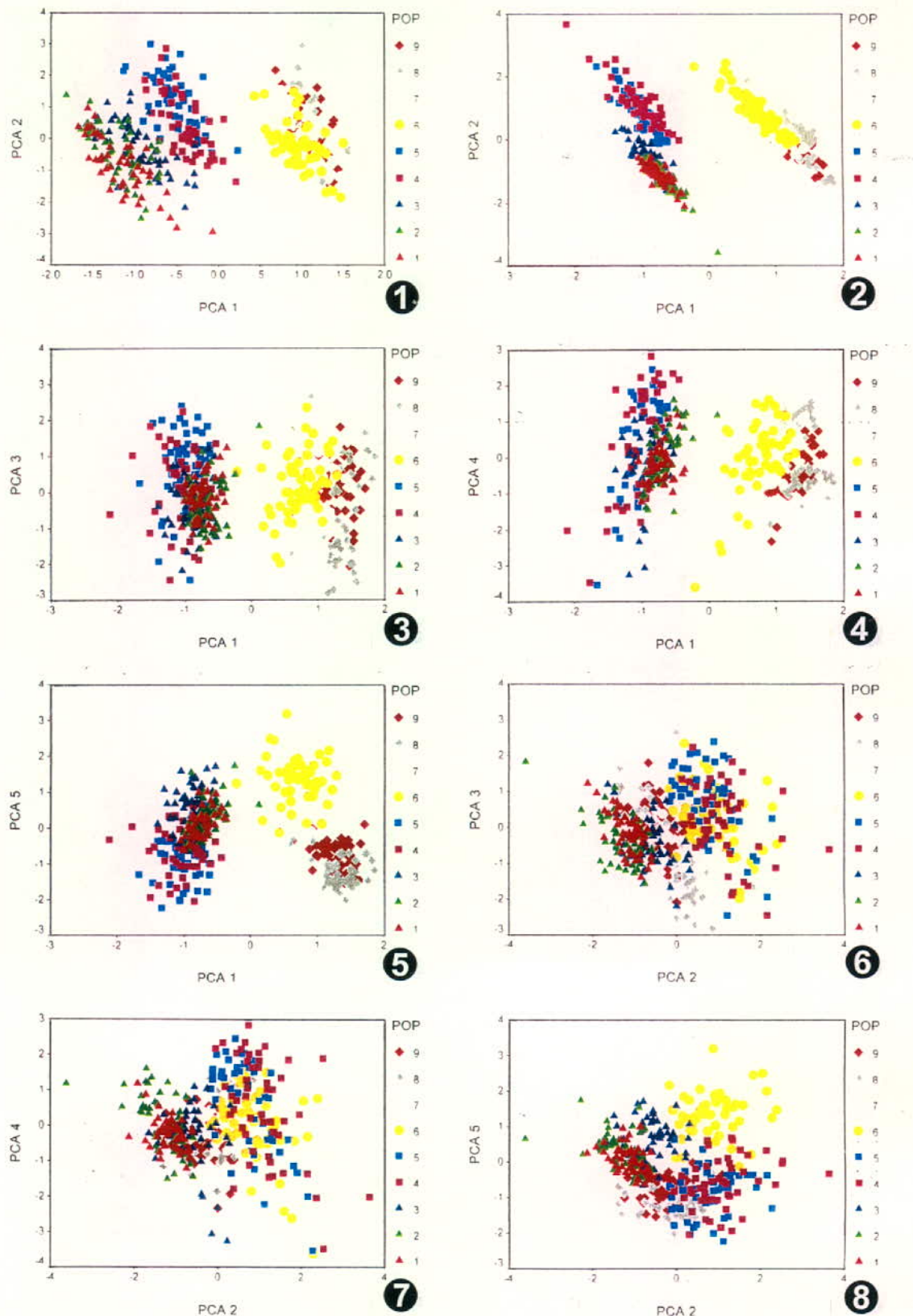
เมื่อพิจารณาด้วยแปรที่เป็นองค์ประกอบของสมการจัดจำแนกที่เป็นคะแนนมาตรฐาน (ตารางที่ 4.59) พบว่าสมการที่ 1 ประกอบด้วยคัวแปรที่แสดงขนาดของเรณู คือ DPA และ TRA กับดั้วยแปรที่แสดงรูปร่างลักษณะของดอกดูมคือ RBR ส่วนสมการที่

2 ประกอบด้วยตัวแปรที่แสดงรูปร่างลักษณะของเรณูคือ DAP และ LAP กับตัวแปรที่แสดงขนาดของเมล็ดคือ WSEE สำหรับสมการที่ 3 นั้นประกอบด้วยตัวแปรที่แสดงรูปร่างลักษณะ และขนาดใบคือ NSV และ LLE กับตัวแปรที่แสดงรูปร่างลักษณะและขนาดของเกรสรเพคผู้คือ RAF, LFI 1 รวมทั้งขนาดของกลีบเลี้ยงอีกด้วยคือ LCA สมการที่ 4 ประกอบด้วยตัวแปรที่แสดงรูปร่างใบคือ LBF ตัวแปรที่แสดงขนาดเกรสรเพคเมียคือ LGY ตัวแปรที่แสดงรูปร่างลักษณะเรณูคือ NVR, WAP และตัวแปรที่แสดงขนาดของกลีบดอกคือ WPE 1 สำหรับสมการสุดท้ายคือสมการที่ 5 นั้น ประกอบด้วยตัวแปรที่แสดงขนาดของดอกเพียงอย่างเดียวคือ LAN 3, LPCL 2 และ 5, LPE 4 และ WCA

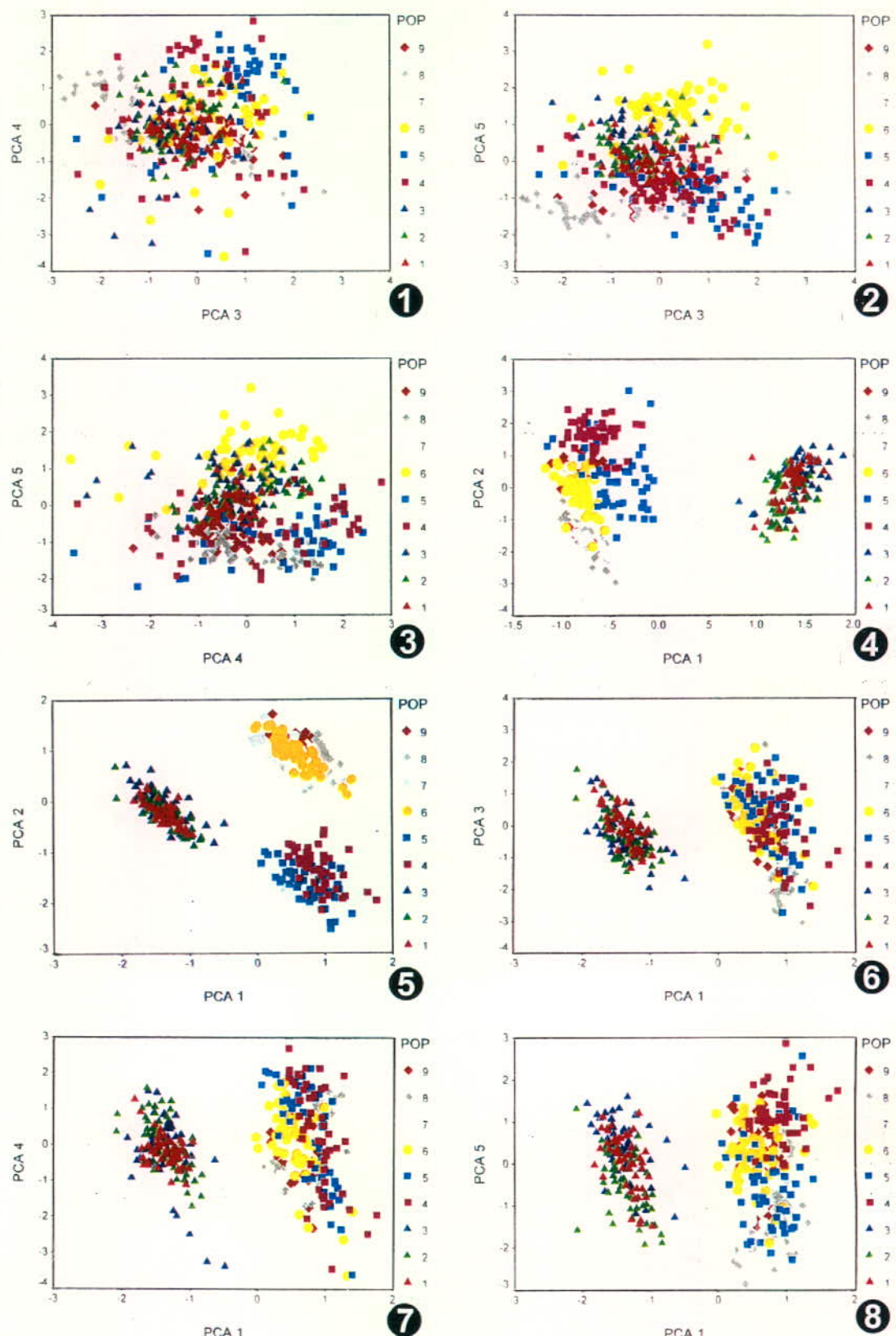
แต่อย่างไรก็ตามเมื่อพิจารณาค่าสัมประสิทธิ์สหสัมพันธ์ระหว่างลักษณะสัณฐานวิทยาของกิง ใน ดอก เเรณูและฝักของชงโคงคำ ชงโคงและกาหลงที่ใช้ในการวิเคราะห์จัดจำแนกกับสมการจัดจำแนก (ตารางที่ 4.60) ก็พบว่าตัวแปรที่มีความสำคัญต่อการจัดจำแนกประชากรของสมการที่ 1 ก็คือ WSEE, RBR, LSTY, WPOD และ WLE แต่ตัวแปรที่ถูกนำไปใช้ในการวิเคราะห์จัดจำแนกจริงๆ คือ WSEE และ RBR เท่านั้น สำหรับตัวแปรที่มีความสำคัญต่อการจัดจำแนกของสมการที่ 2 ก็คือ NSEE เพียงตัวแปรเดียว ในขณะที่สมการที่ 3 นั้นประกอบด้วยตัวแปรมากถึง 12 ตัวแปร ได้แก่ RAF, DAP, LPCL1-5, DEA, LPOD, LEN, LLE และ NBU แต่ตัวแปรที่ถูกนำไปใช้ในการวิเคราะห์จัดจำแนกมีเพียง 5 ตัวแปรเท่านั้นคือ RAF, DAP, LLE, LPCL 2 และ 5 สมการที่ 4 ก็ประกอบด้วยตัวแปรมากถึง 18 ตัวแปรได้แก่ LAP, TRA, DPA, PFI, LGY, LPE 1-5, NVR, WAP, WPE 4-5, LFI 1-3 และ WBF แต่มีตัวแปรที่ถูกนำไปใช้ในการวิเคราะห์จัดจำแนกเพียง 8 ตัวแปรเท่านั้น คือ LAP, TRA, DPA, LGY, LPE 4, NVR, WAP และ LFI 1 สำหรับสมการที่ 5 ประกอบด้วยตัวแปรที่มีความสำคัญต่อจัดจำแนก 14 ตัวแปรคือ WCA, LAN 1-3, LCA, WPE 1-3, NSV, LBF, LBU, LRE, LOV และ LSEE แต่มีตัวแปรที่ถูกนำไปใช้ในการวิเคราะห์เพียง 6 ตัวแปรคือ WCA, LAN 3, LCA, WPE 1, NSV และ LBF

เมื่อนำสมการที่ 1 และสมการที่ 2 ซึ่งสามารถอธิบายความแปรปรวนของข้อมูลรวมกันได้ถึง 96.20 เปอร์เซ็นต์ (ตารางที่ 4.58) มาแสดงความสัมพันธ์ในรูปกราฟพบว่าสามารถจำแนกประชากรชงโคงคำ ชงโคง และกาหลง ออกเป็น 3 กลุ่มได้อย่างเด่นชัด (ภาพที่ 4.48:①) โดยกลุ่มที่ 1 ประกอบด้วยประชากรที่ 1, 4, 6 และ 8 ซึ่งก็คือประชากรชงโคงคำทั้ง 4 พันธุ์นั่นเอง กลุ่มที่ 2 คือประชากรที่ 10 ซึ่งก็คือประชากรชงโคง และกลุ่มที่ 3 คือประชากรที่ 11 ซึ่งก็คือประชากรกาหลงนั่นเอง โดยพนว่าการทำนายกลุ่มประชากรจากสมการที่ได้จากการวิเคราะห์จัดจำแนกลักษณะกิง ใน ดอก เเรณู และฝักของชงโคงคำ ชงโคง

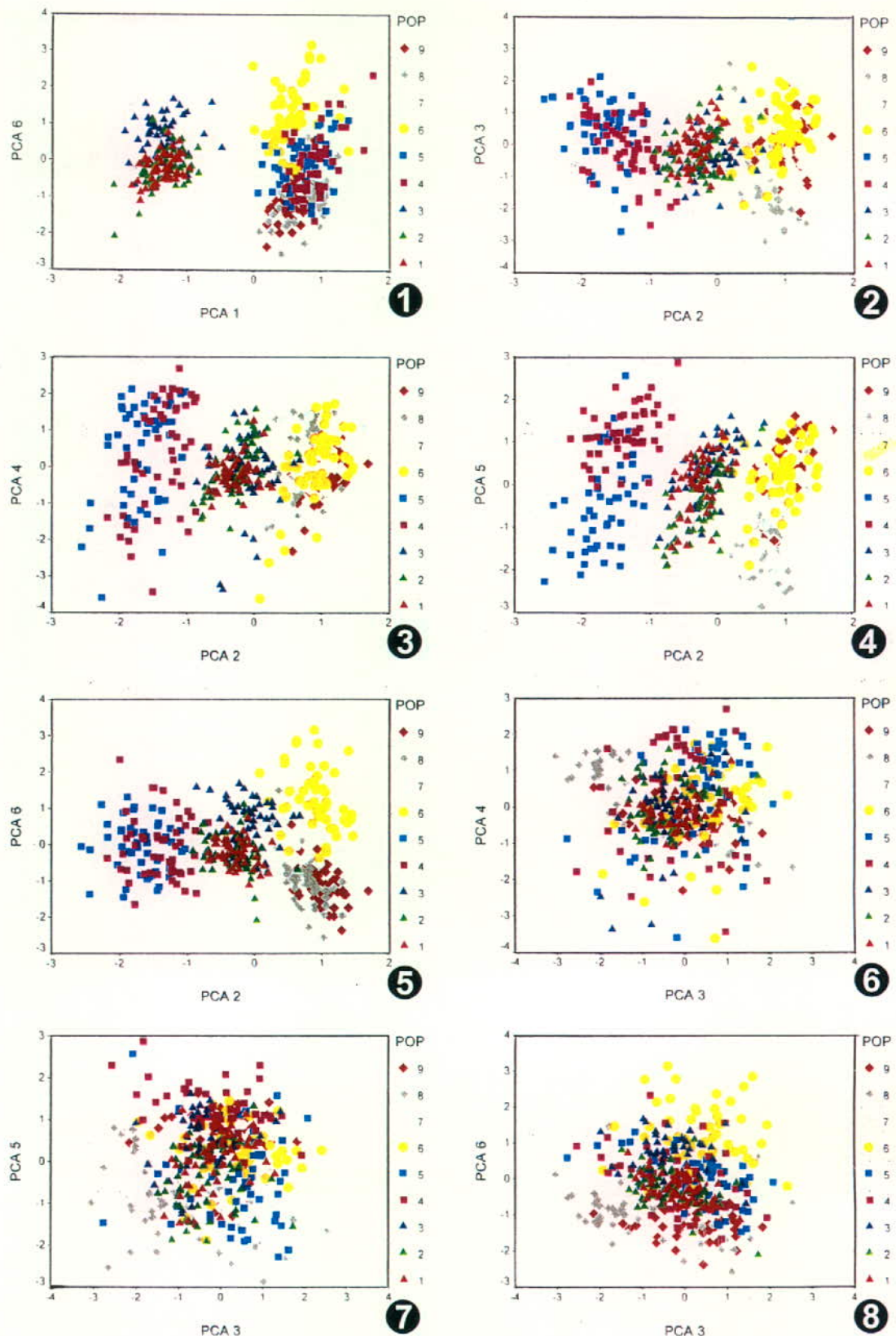
และการลงมีค่าสูงถึง 99.30 เปอร์เซ็นต์ (ตารางที่ 4.61) แสดงให้เห็นว่าสมการจัดจำแนกสามารถทำนายกลุ่มประชากรได้ดีมาก



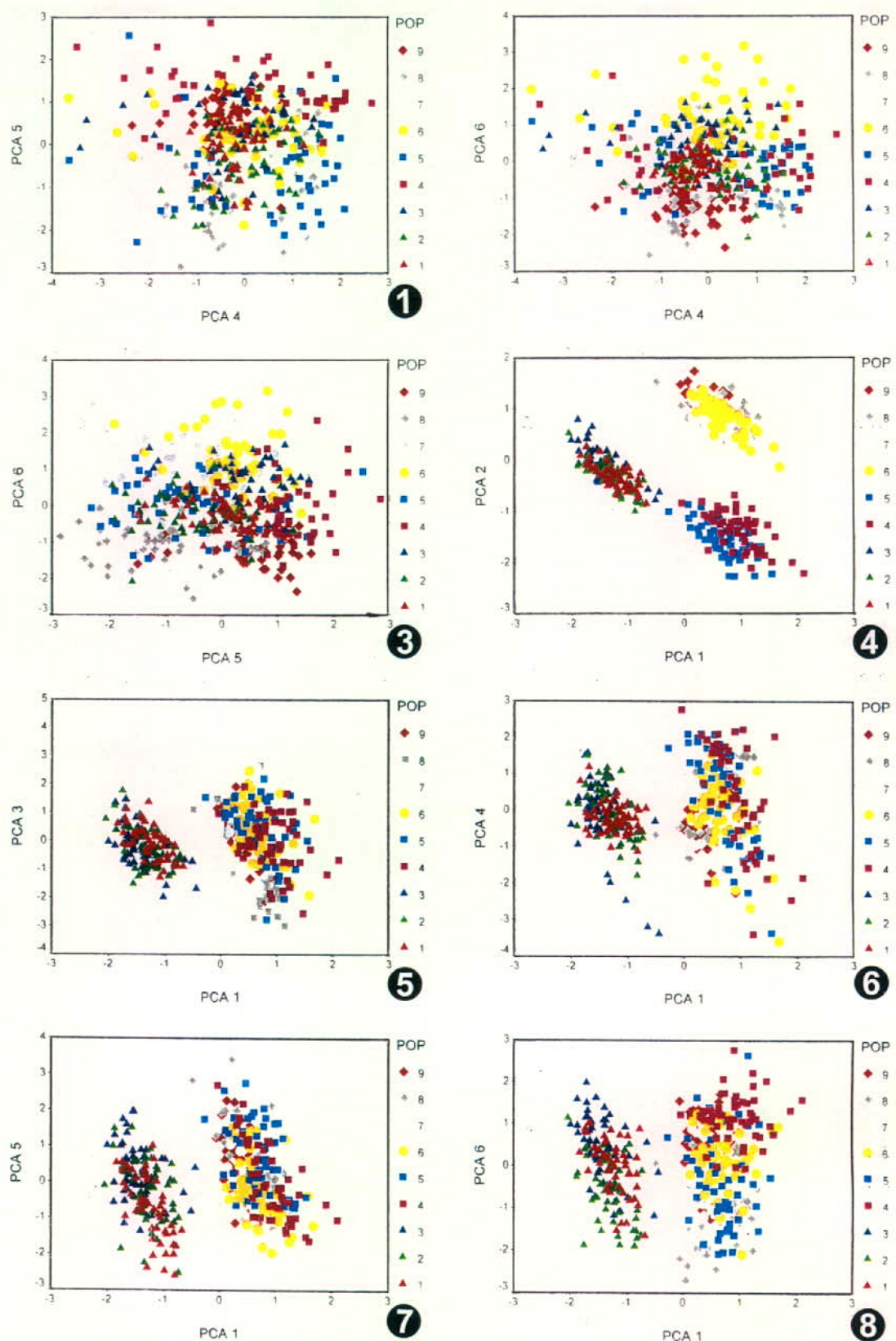
แผนภาพที่ 4.20 กราฟแสดงความสมพนธ์ระหว่างแกนปัจจัย จากการวิเคราะห์ปัจจัยลักษณะใน (❶)  
และลักษณะดอก (❷-❸) ของชงโคงคำในประเทศไทย



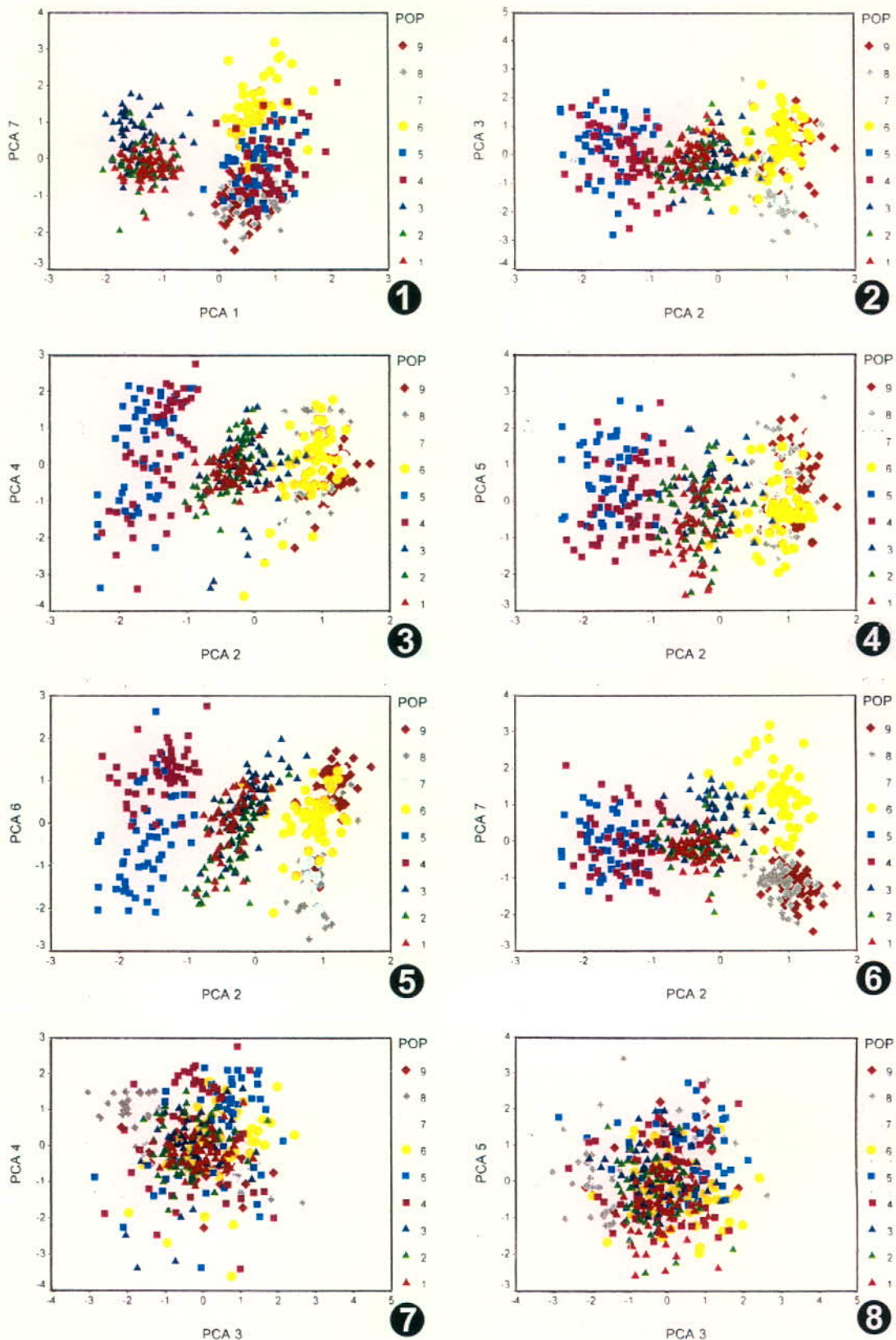
แผนภาพที่ 4.21 กราฟแสดงความสัมพันธ์ระหว่างแกนปัจจัย จากการวิเคราะห์ปัจจัยลักษณะดอก (1-3) ลักษณะเรณุ (4) และลักษณะดอกกับเรณุ (5-8) ของชงโคงคำในประเทศไทย



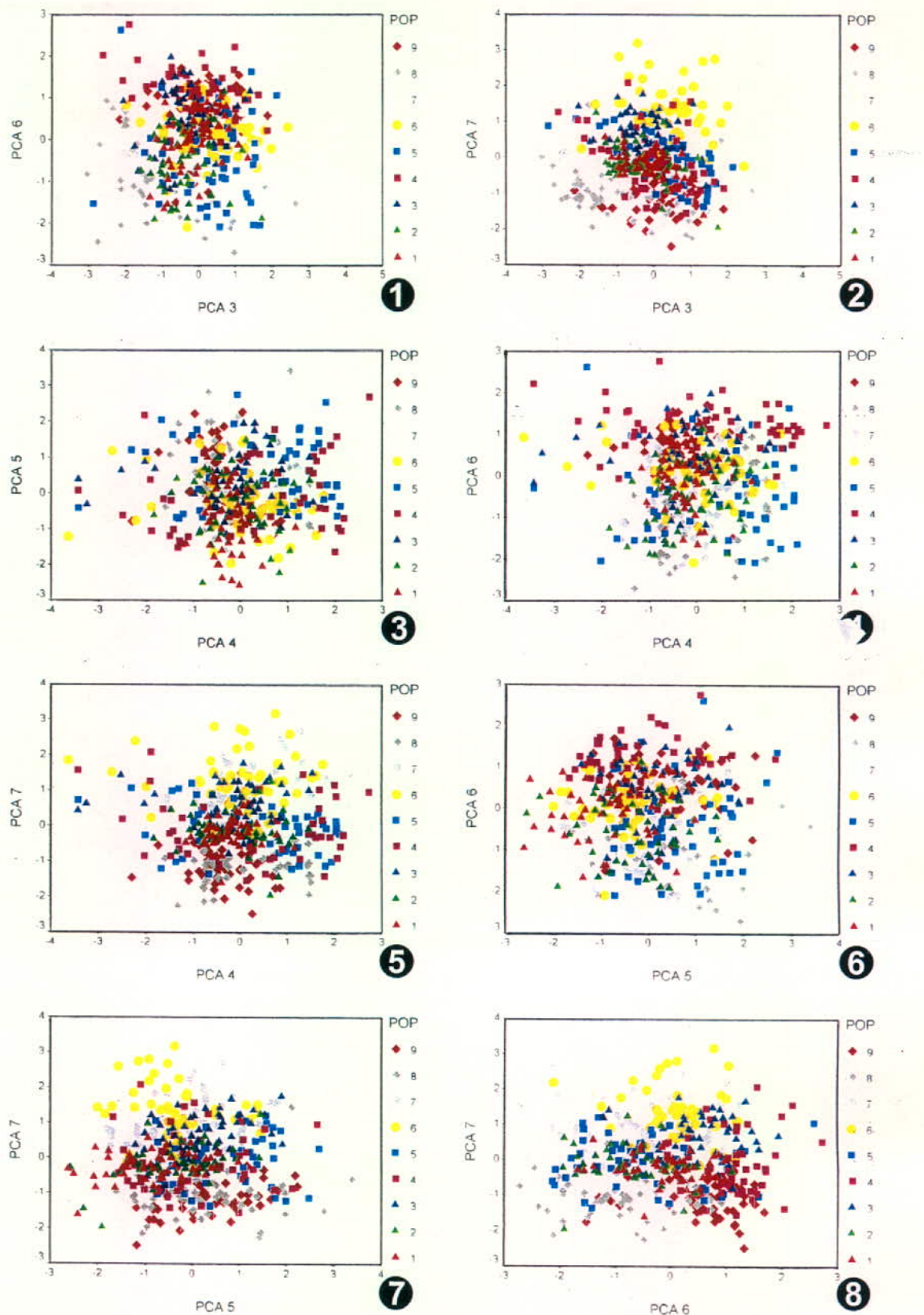
แผนภาพที่ 4.22 กราฟแสดงความสัมพันธ์ระหว่างแกนปัจจัย จากการวิเคราะห์ปัจจัยลักษณะดอกกับเรณุของชงโคงำในประเทศไทย (1-8)



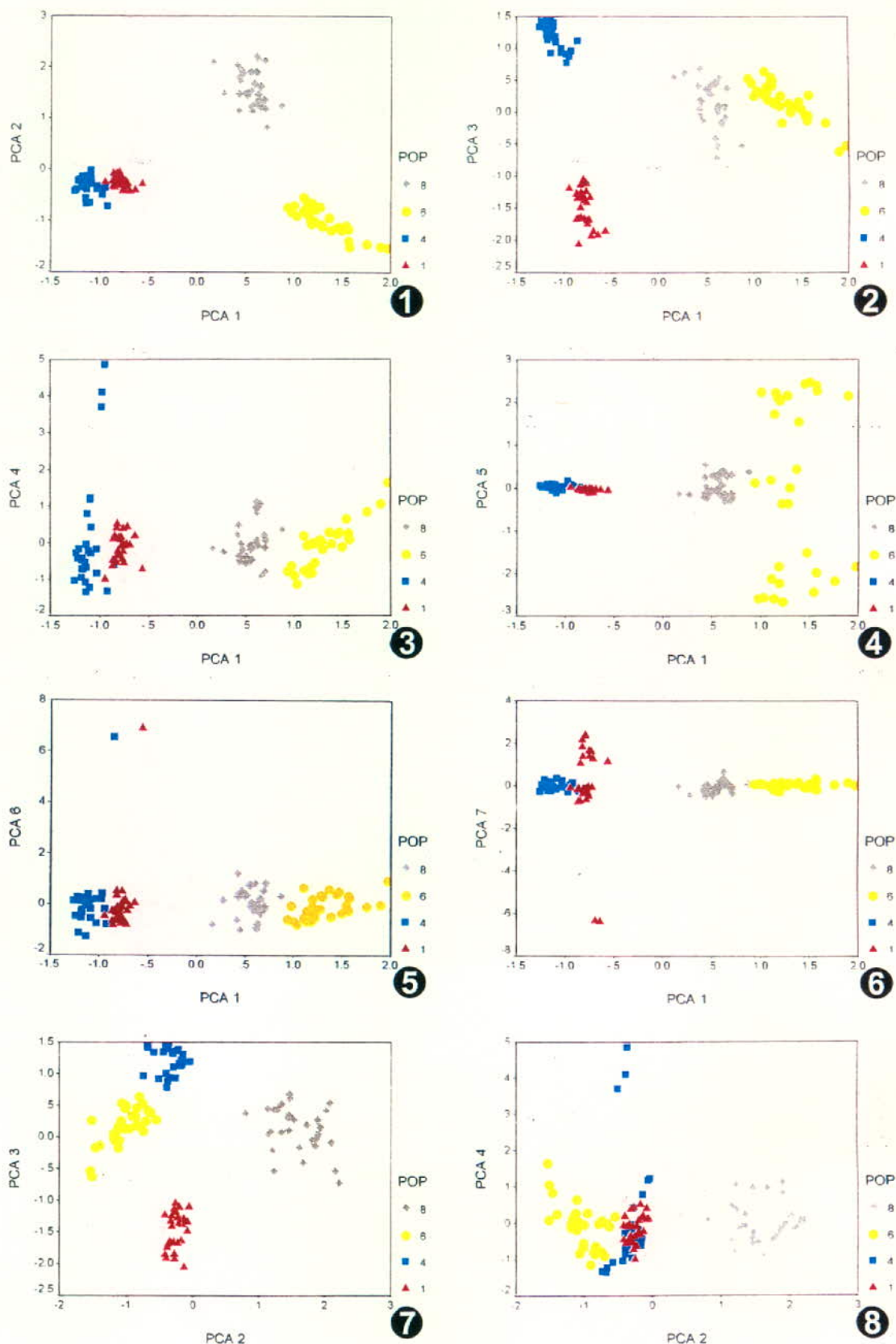
แผนภาพที่ 4.23 กราฟแสดงความสัมพันธ์ระหว่างแกนปัจจัยจากการวิเคราะห์ปัจจัยลักษณะดอกกับเรณู (1-3) และลักษณะใบ ดอก เรณู (4-8) ของชงโคงคำในประเทศไทย



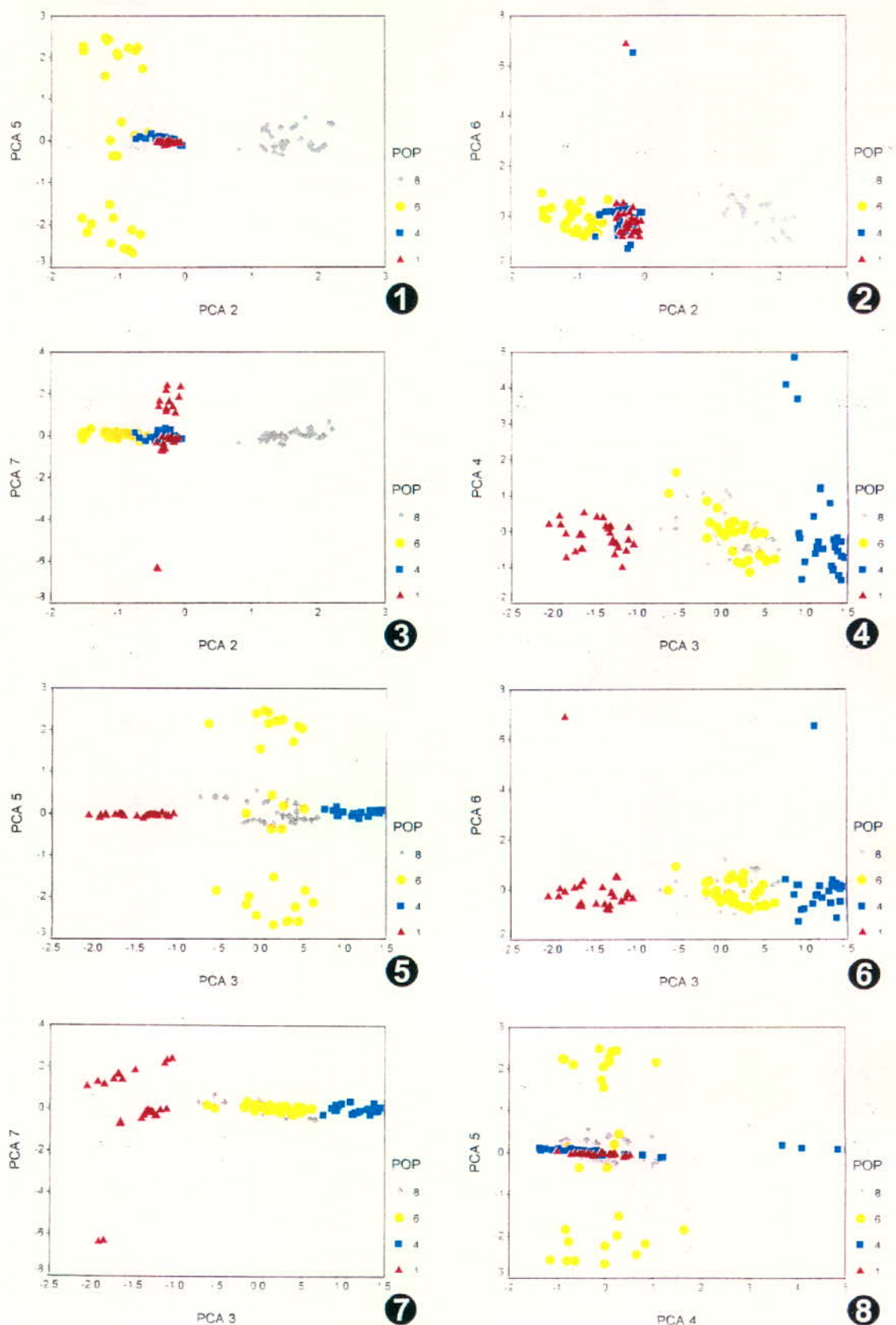
แผนภาพที่ 4.24 กราฟแสดงความสมพันธ์ระหว่างแกนปัจจัย จากการวิเคราะห์ปัจจัยลักษณะใน ดอก และเรุนของชงโคงคำในประเทศไทย (1-8)



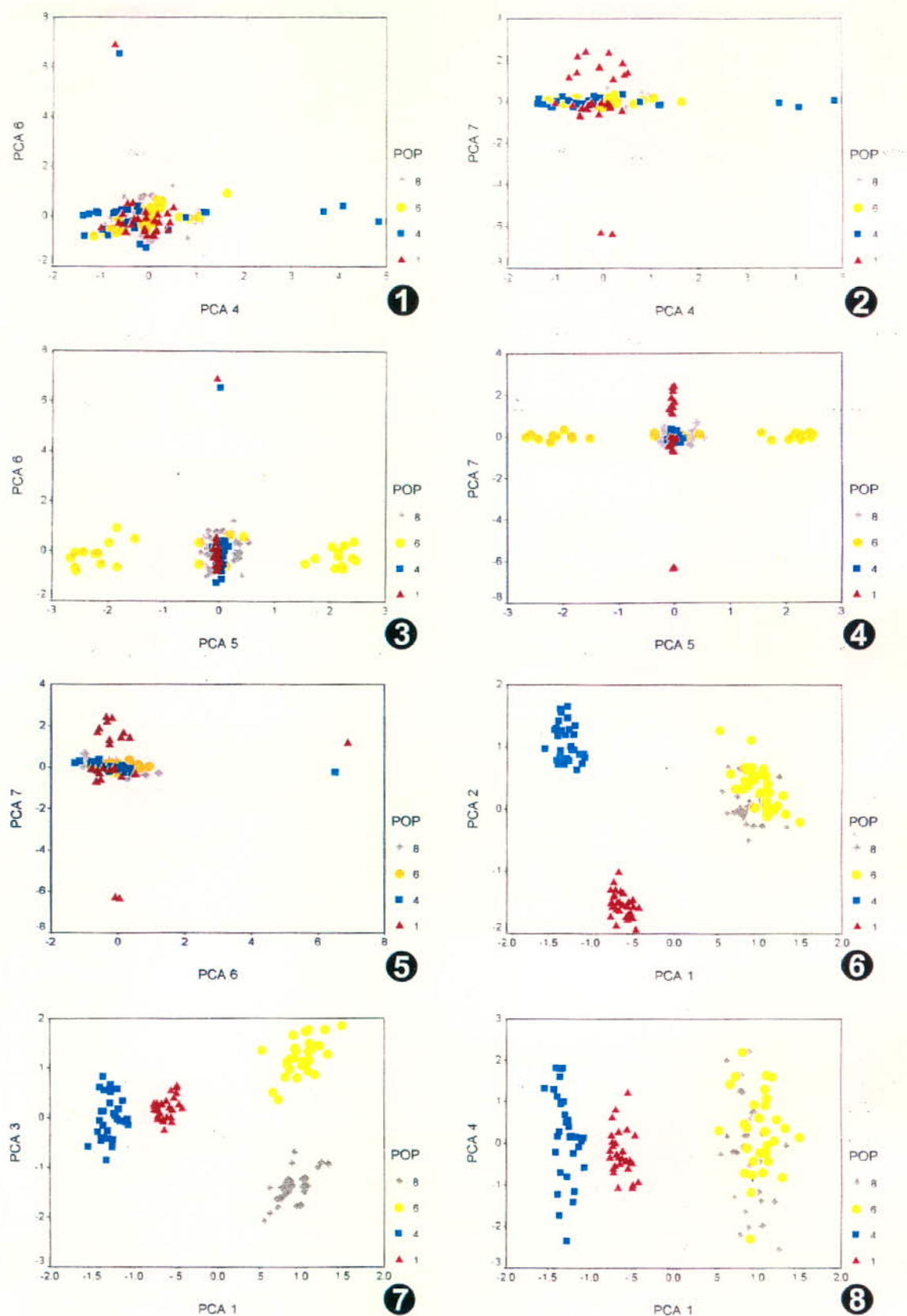
แผนภาพที่ 4.25 กราฟแสดงความสัมพันธ์ระหว่างแกนปัจจัย จากการวิเคราะห์ปัจจัยลักษณะใน ดอก และเรณุของชงโคดำเนินประเทศไทย (1-8)



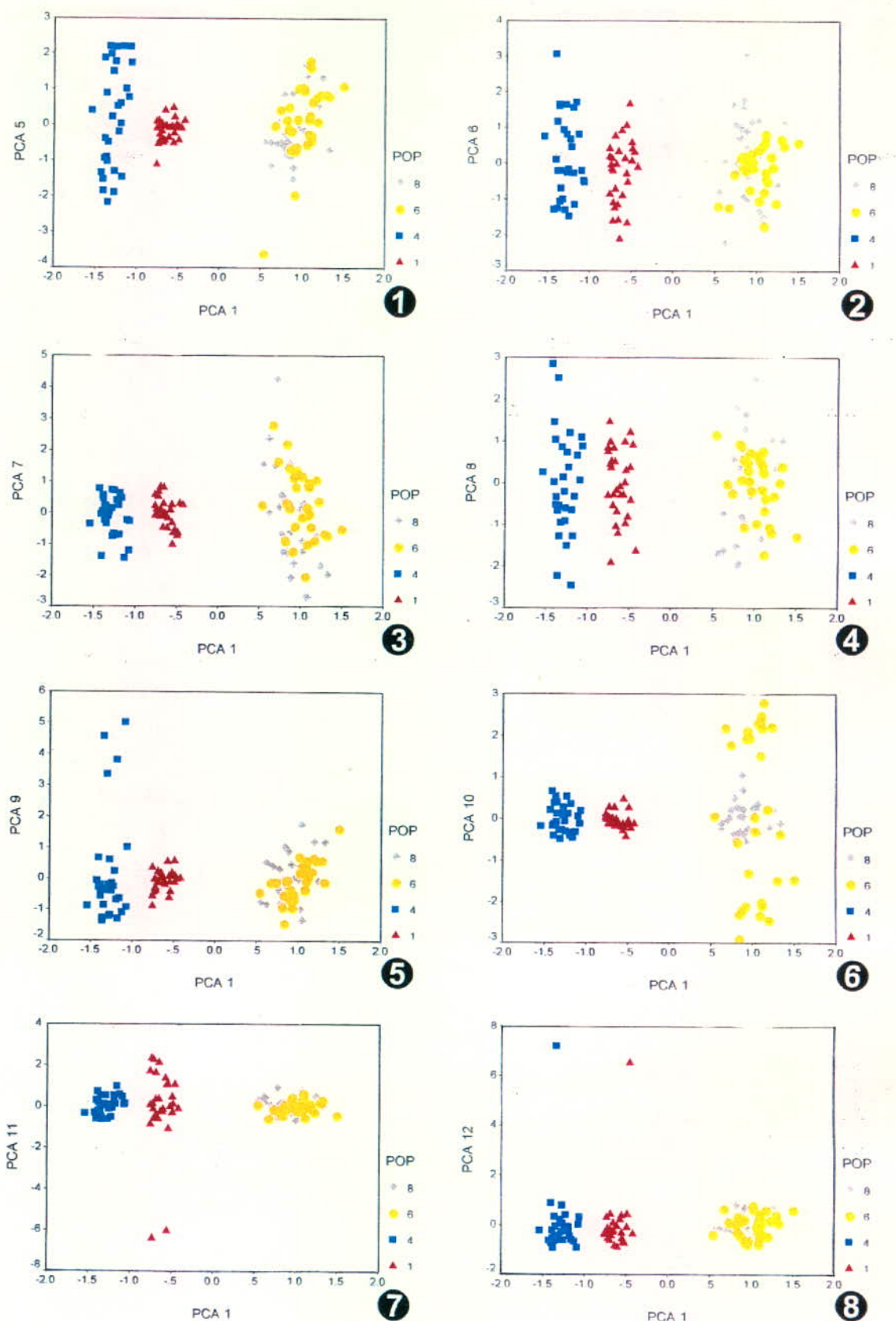
แผนภาพที่ 4.26 กราฟแสดงความสัมพันธ์ระหว่างแกนปัจจัย จากการวิเคราะห์ปัจจัยลักษณะแบบแผนไอล์โซไซร์ 6 ระบบของชงโคงด้าในประเทศไทย (1-8)



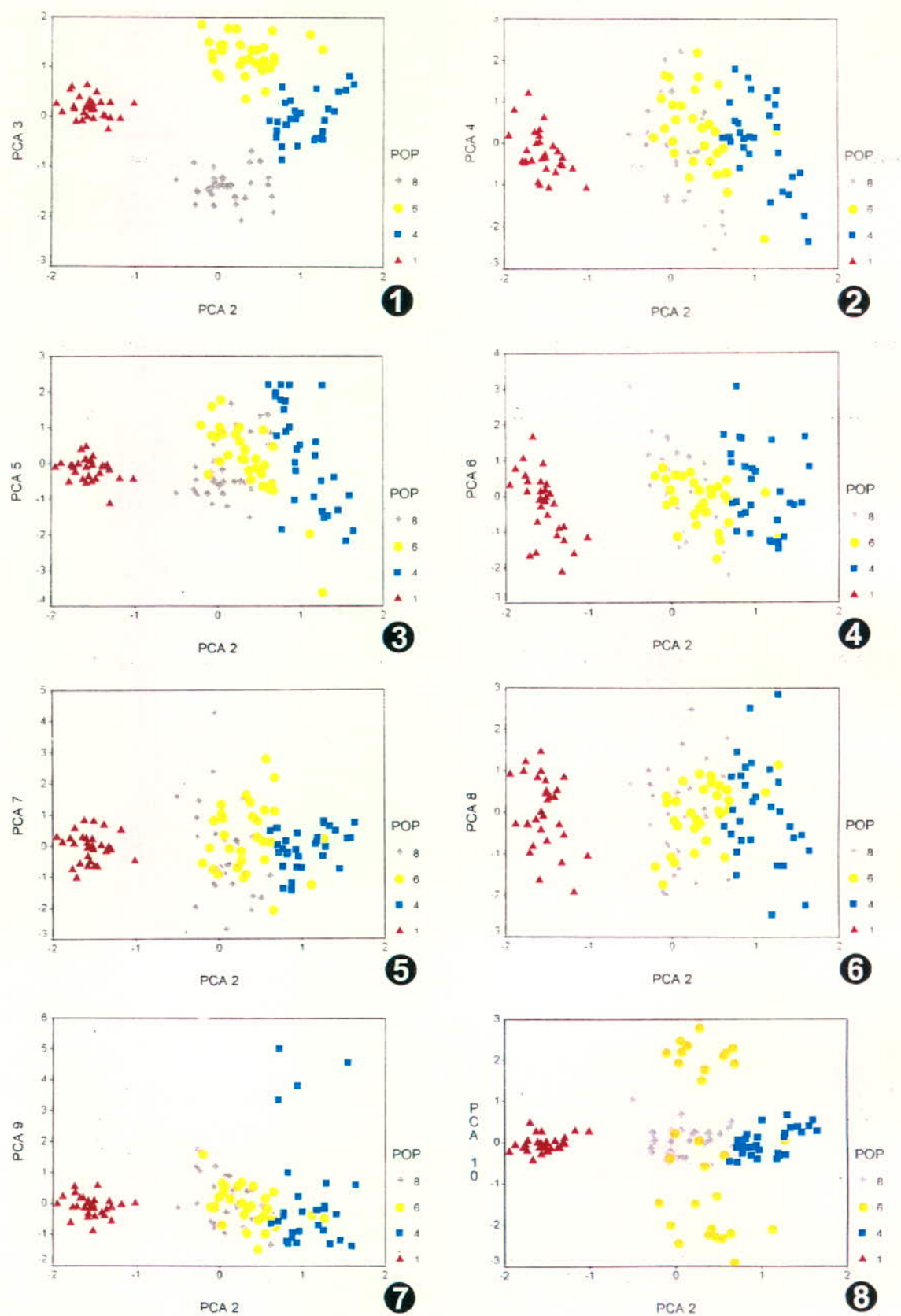
แผนภาพที่ 4.27 กราฟแสดงความสัมพันธ์ระหว่างแกนปัจจัย จากการวิเคราะห์ปัจจัยลักษณะแบบแผนไอล์โซ่ชีزم 6 ระบบของชงโคงด้าในประเทศไทย (●●)



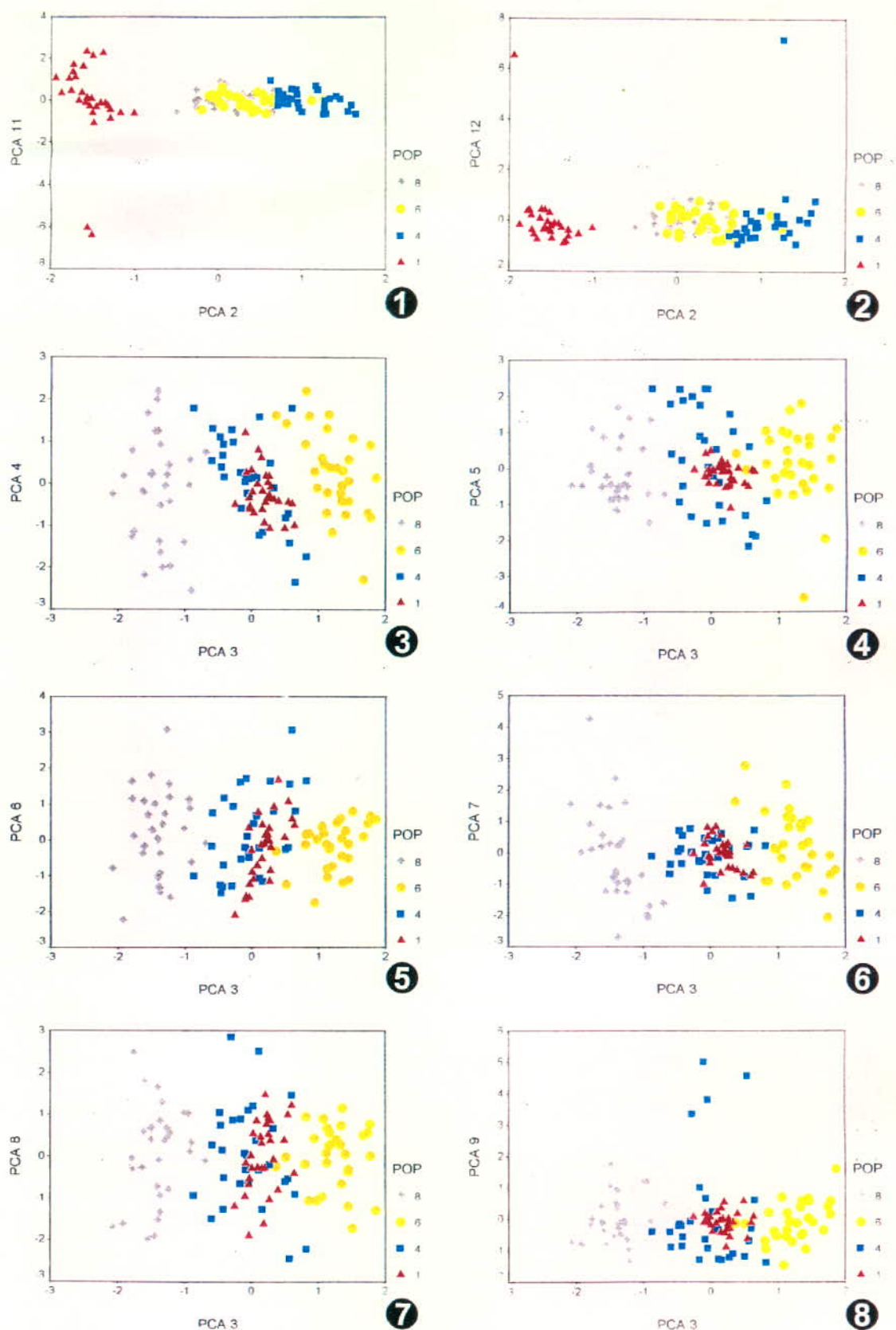
แผนภาพที่ 4.28 กราฟแสดงความสัมพันธ์ระหว่างแกนปัจจัย จากการวิเคราะห์ปัจจัยลักษณะแบบแผน  
ไอโอซีซีเมิร์ 6 ระบบ (1-6) และลักษณะใน ดอก เรณูกับแบบแผนไอโอซีซีเมิร์ 6 ระบบ  
(6-8) ของชงโคงคำในประเทศไทย



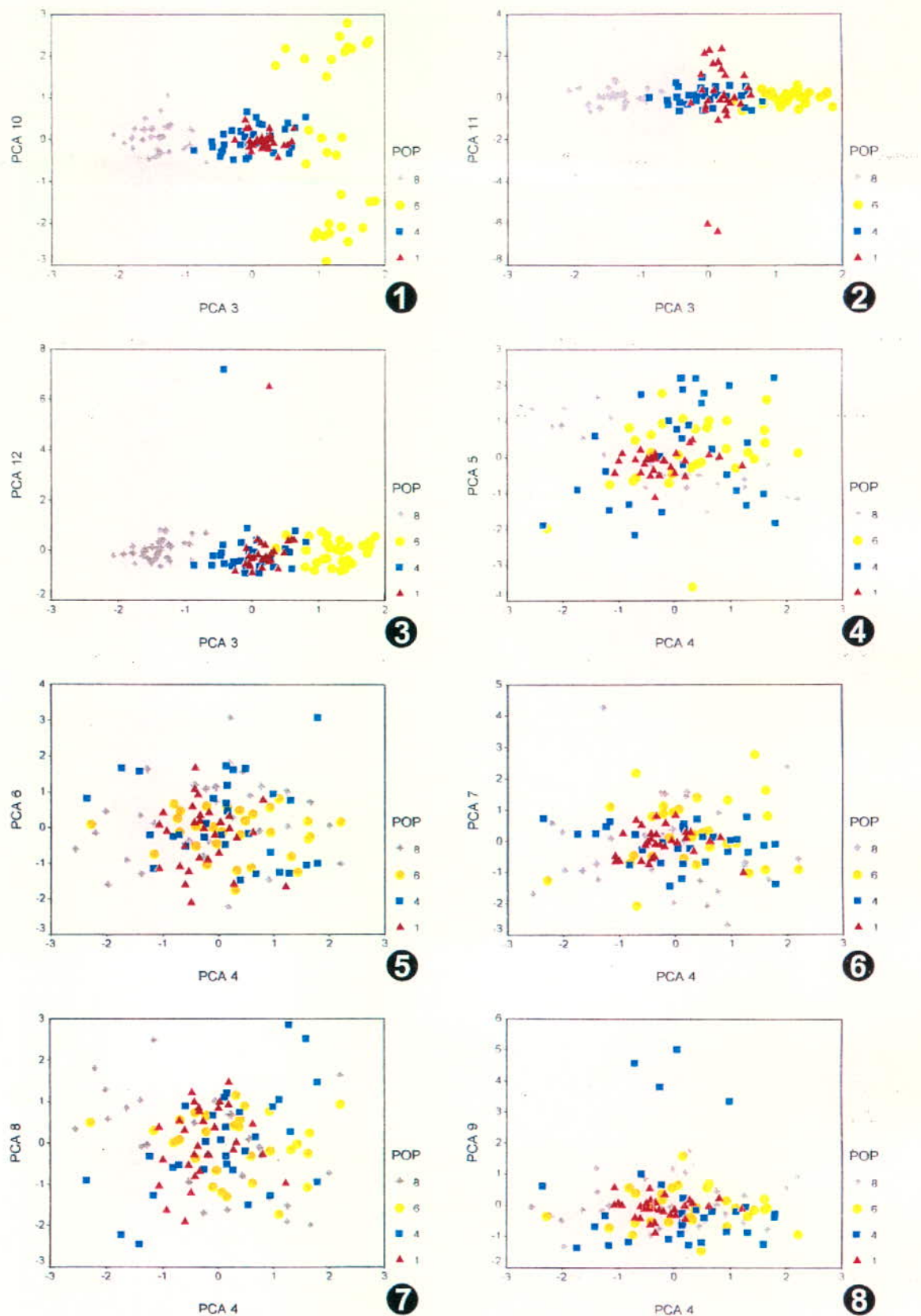
แผนภาพที่ 4.29 กราฟแสดงความสัมพันธ์ระหว่างแกนปัจจัย จากการวิเคราะห์ปัจจัยลักษณะใบ ดอก เรณูและแบบแผนไอกโซไซซ์ม 6 ระบบของชงโคล์ดในประเทศไทย (1-8)



แผนภาพที่ 4.30 กราฟแสดงความสัมพันธ์ระหว่างแกนปัจจัย จากการวิเคราะห์ปัจจัยลักษณะใน ดอก เรณูและแบบแผนไฮโซไฮซ์ม 6 ระบบของชงโคล่าในประเทศไทย (1-8)



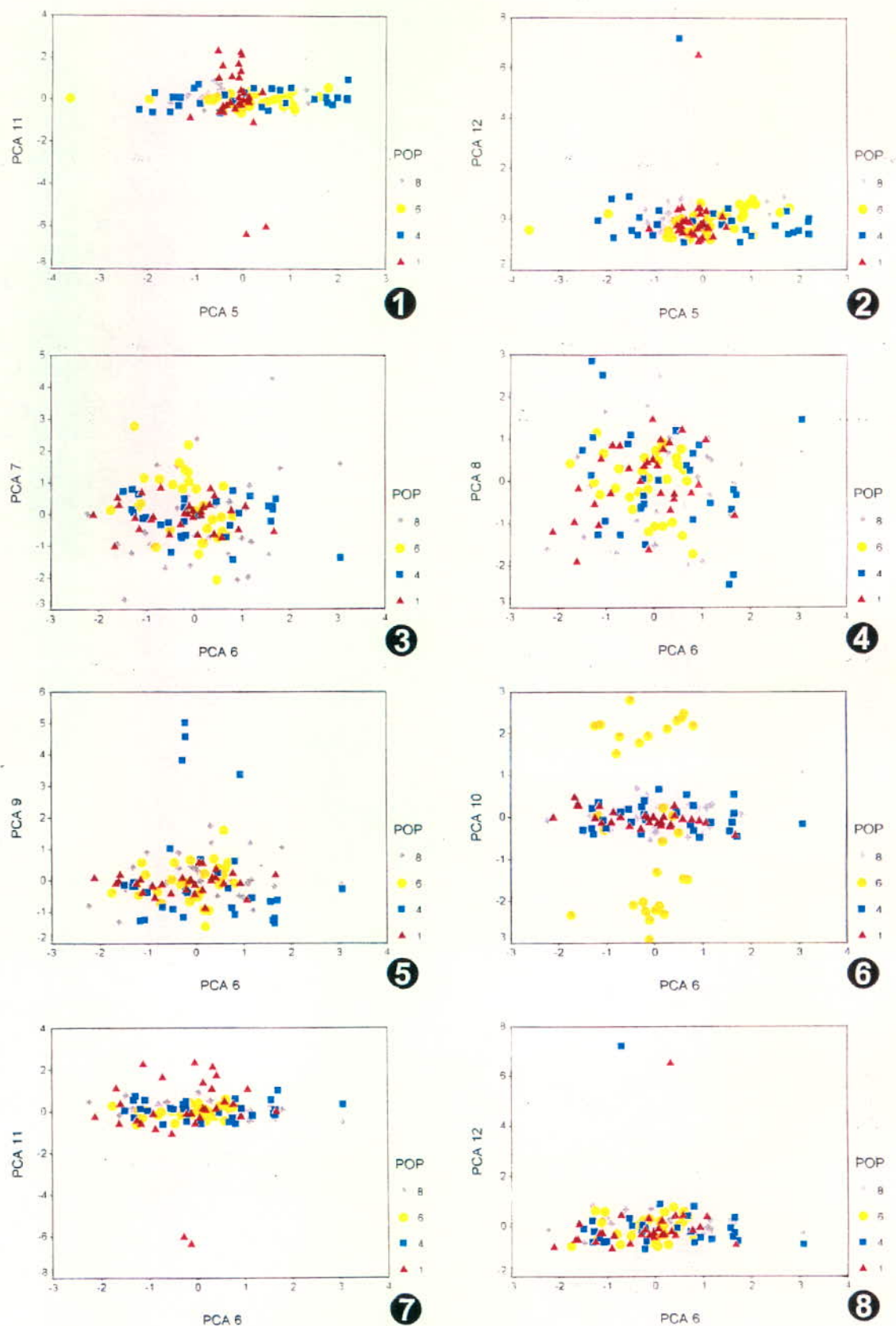
แผนภาพที่ 4.31 กราฟแสดงความสัมพันธ์ระหว่างแกนปัจจัย จากการวิเคราะห์ปัจจัยลักษณะใน ดอกเรณุและแบบแผนไฮโซไซร์ 6 ระบบของชงโคลดาในประเทศไทย (1-8)



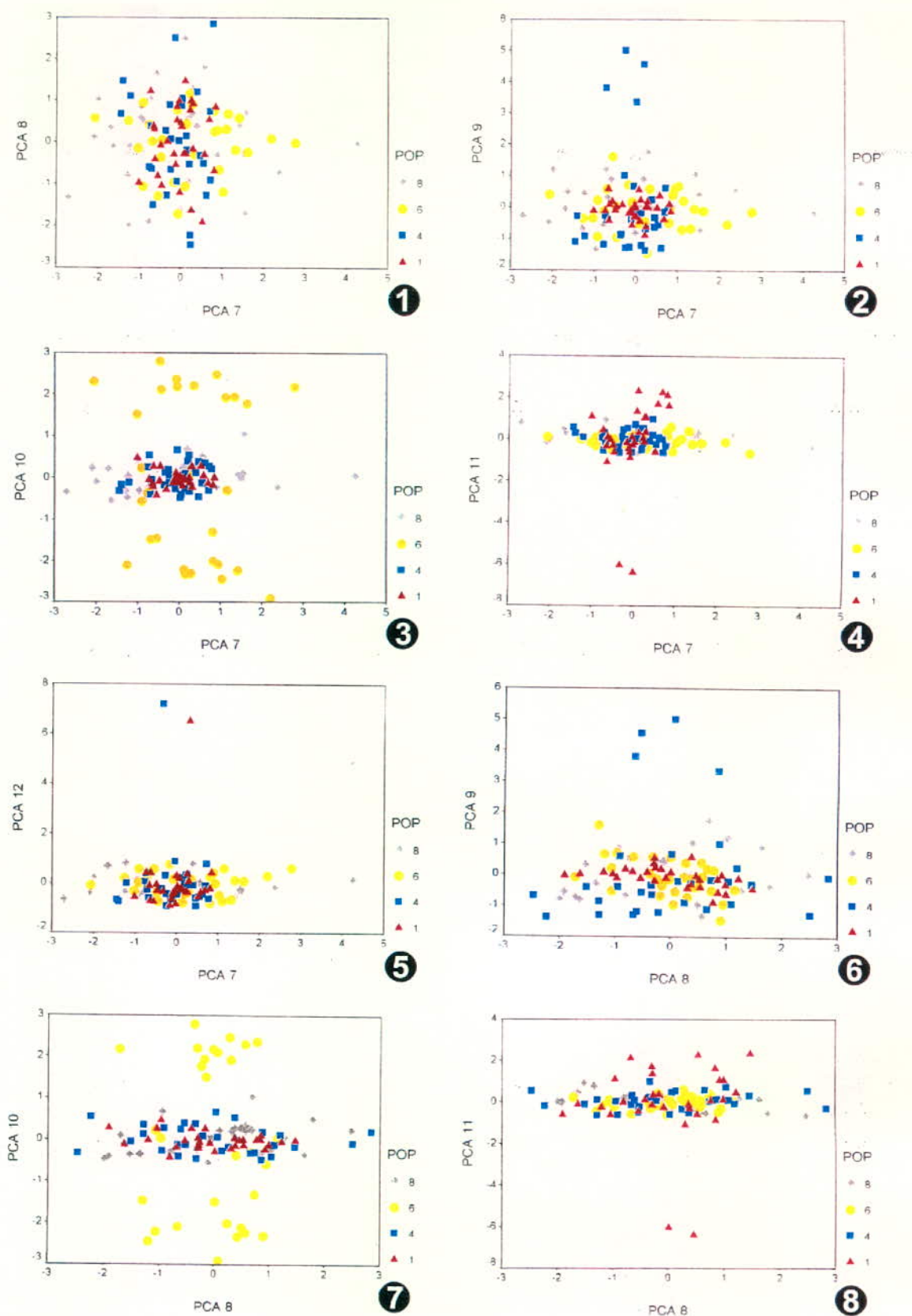
แผนภาพที่ 4.32 กราฟแสดงความสัมพันธ์ระหว่างแกนปัจจัย จากการวิเคราะห์ปัจจัยลักษณะใน ดอก เรณูและแบบแผนไฮโซไฮซ์ม 6 ระบบทของชงโคล์ดในประเทศไทย (1-8)



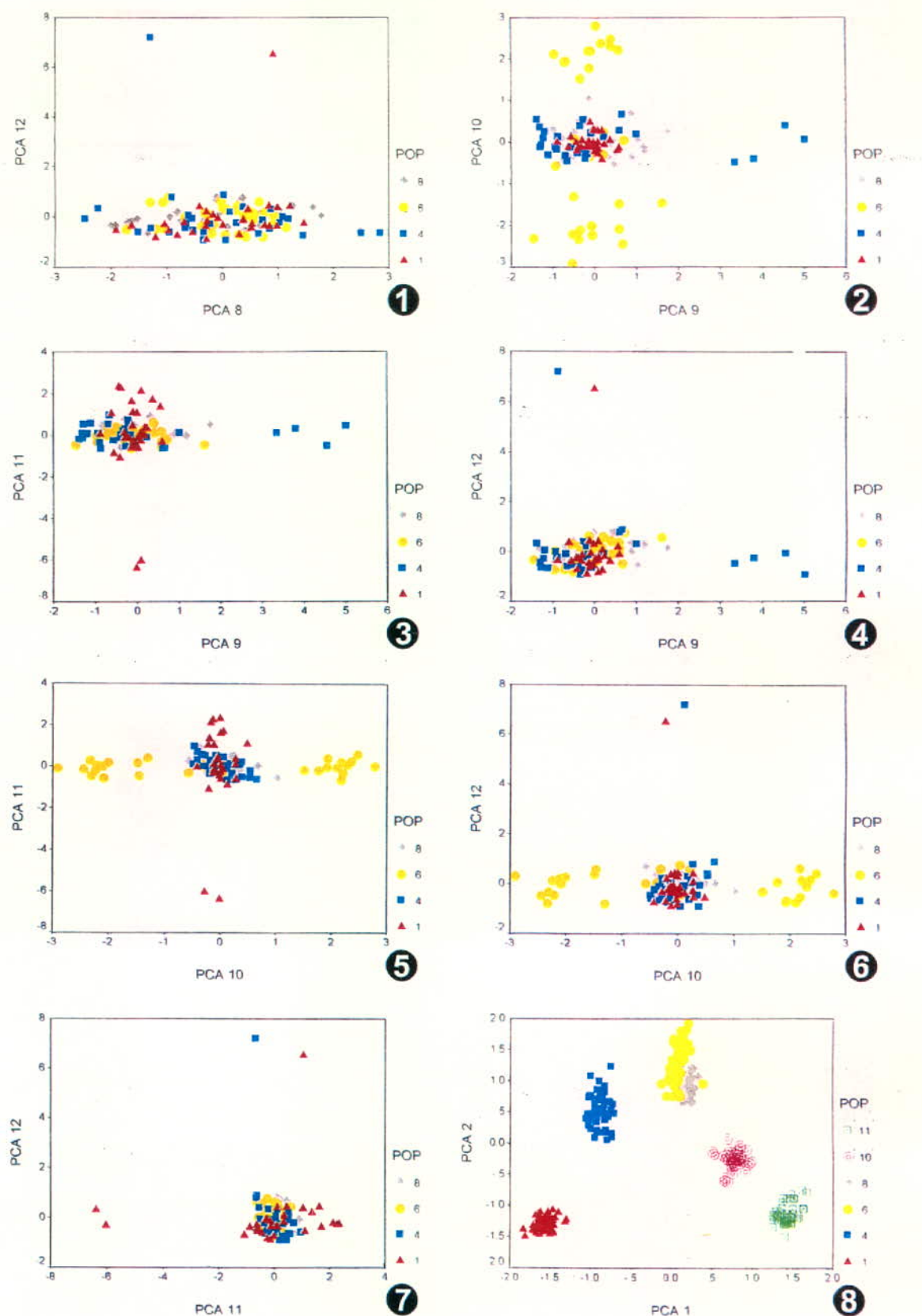
แผนภาพที่ 4.33 กราฟแสดงความสัมพันธ์ระหว่างแกนปัจจัย จากการวิเคราะห์ปัจจัยลักษณะใน ดอก เรณและแบบแผนไฮโซไฮซ์ม 6 ระบบของชงโคล์ดในประเทศไทย (1-8)



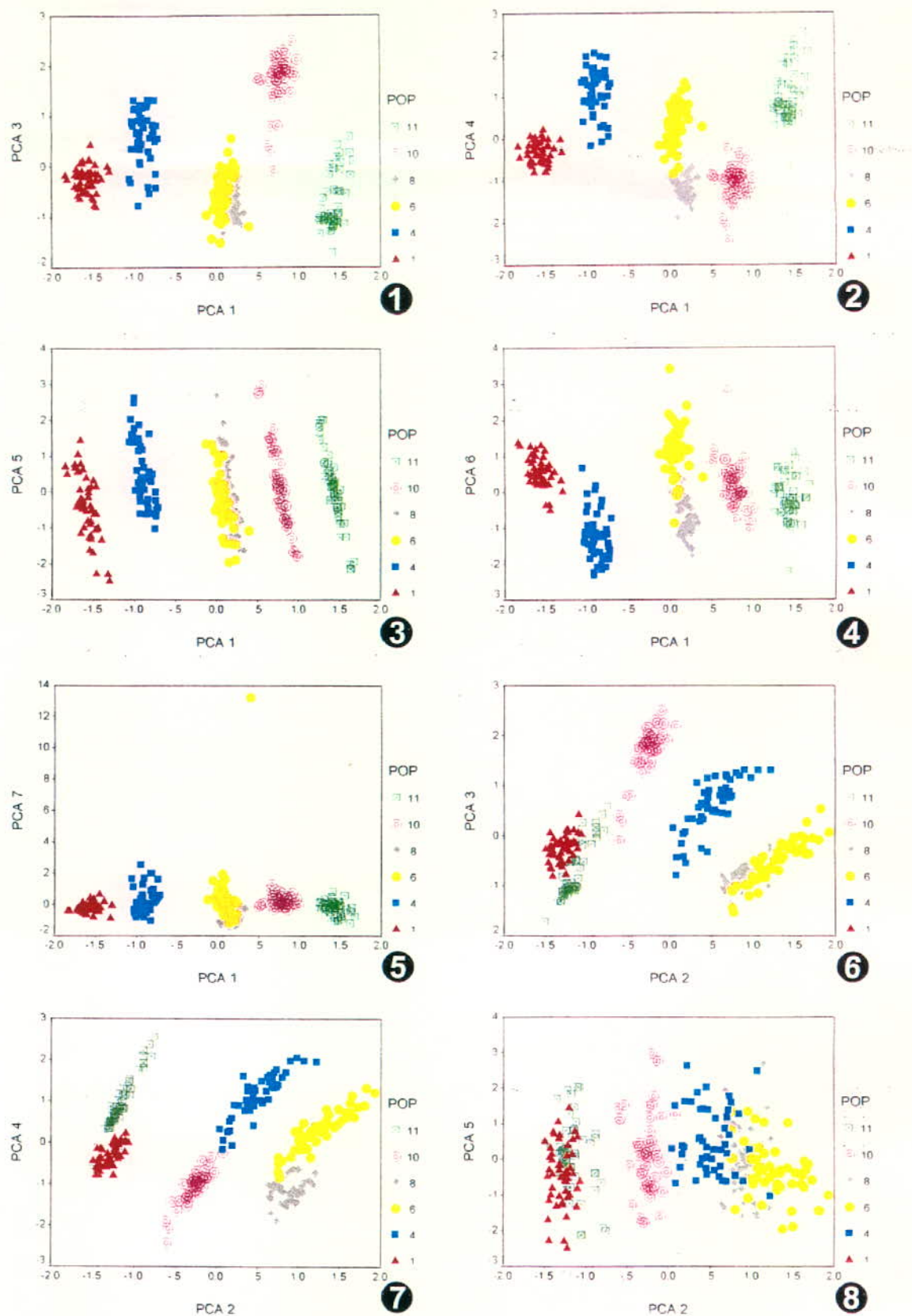
แผนภาพที่ 4.34 กราฟแสดงความสัมพันธ์ระหว่างแกนปัจจัย จากการวิเคราะห์ปัจจัยลักษณะใบ ดอก เรณูและแบบแผนไโอโซไซร์ 6 ระบบของซงโคงคำในประเทศไทย (1-8)



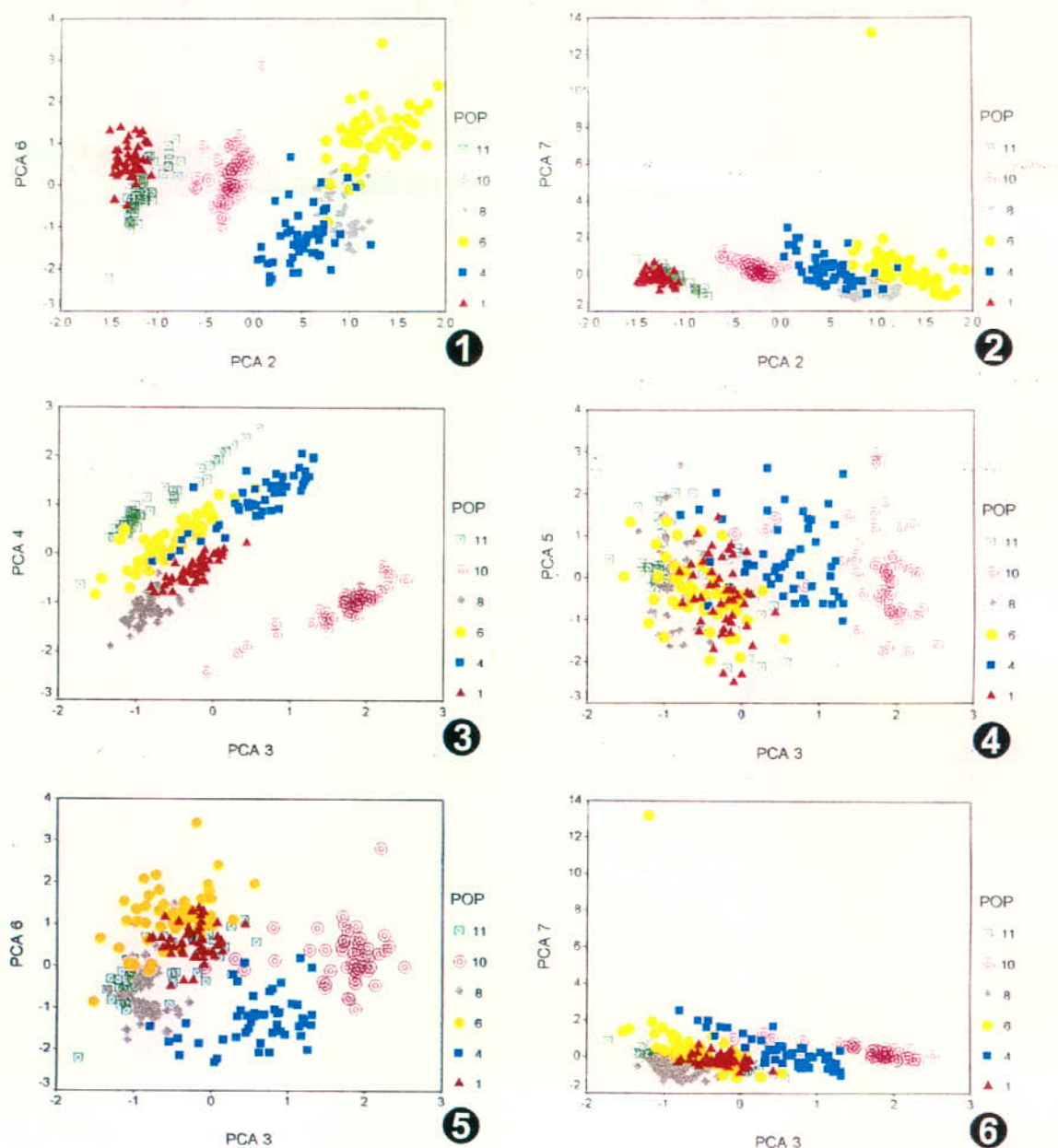
แผนภาพที่ 4.35 กราฟแสดงความสัมพันธ์ระหว่างแกนปัจจัย จากการวิเคราะห์ปัจจัยลักษณะใบ ดอก เรณและแบบแผนไอล์โซ่ชาร์ม 6 ระบบของซงโคดำเนินประเทศไทย (1-8)



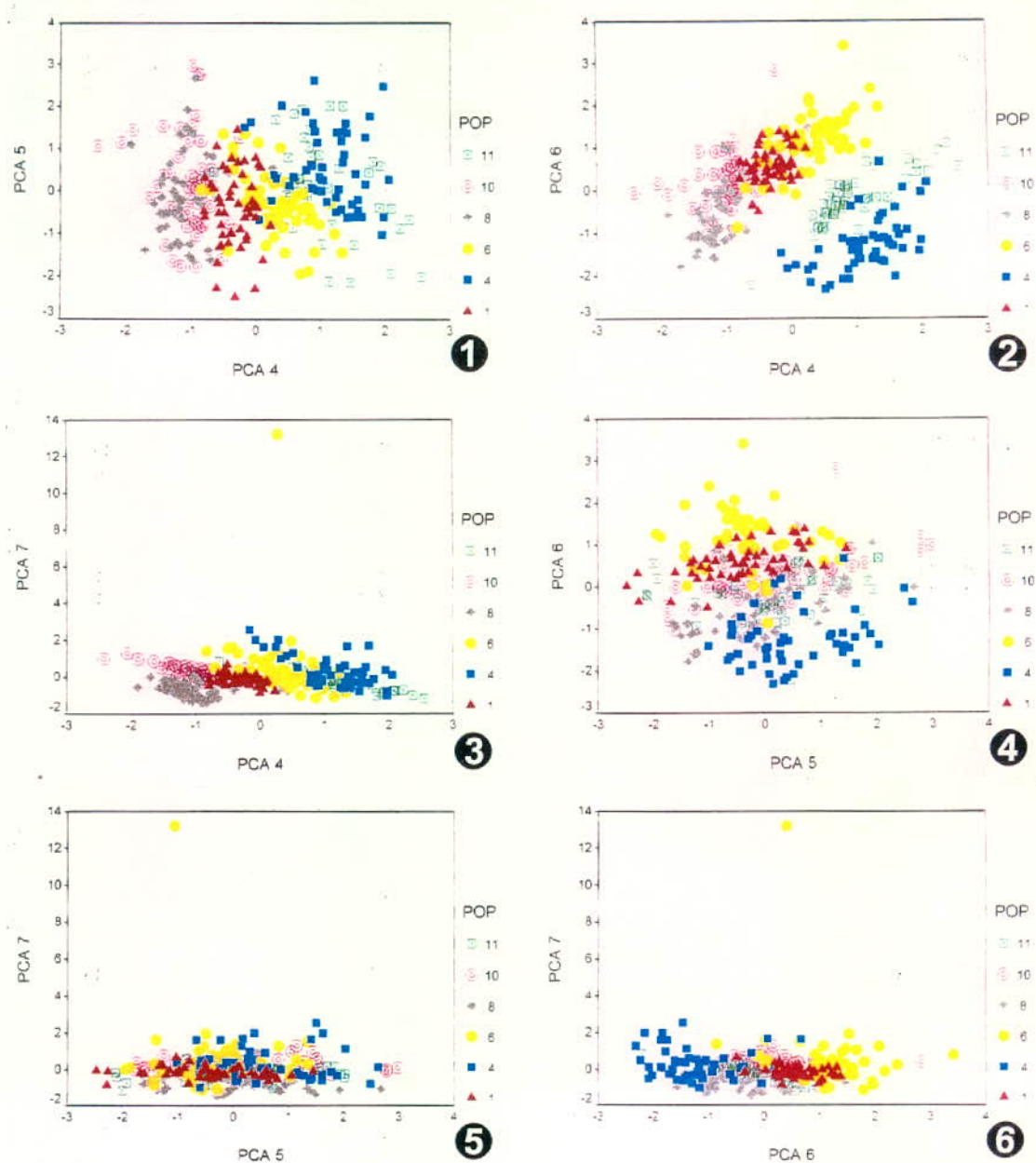
แผนภาพที่ 4.36 กราฟแสดงความสัมพันธ์ระหว่างแกนปัจจัย จากการวิเคราะห์ปัจจัยลักษณะใน ดอก เรณูและแบบแผนไฮโซชีร์ 6 ระบบของชงโคคำในประเทศไทย (1-7) และลักษณะใน ดอก เเรณู ผัก เมล็ด ของชงโคคำ ชงโคและกาหลง (8)



แผนภาพที่ 4.37 กราฟแสดงความสัมพันธ์ระหว่างแกนปัจจัย จากการวิเคราะห์ปัจจัยลักษณะใน ดอก เรณู ผัก เมล็ด ของชงโคงคำ ซงโคงและกาหลง (1-8)

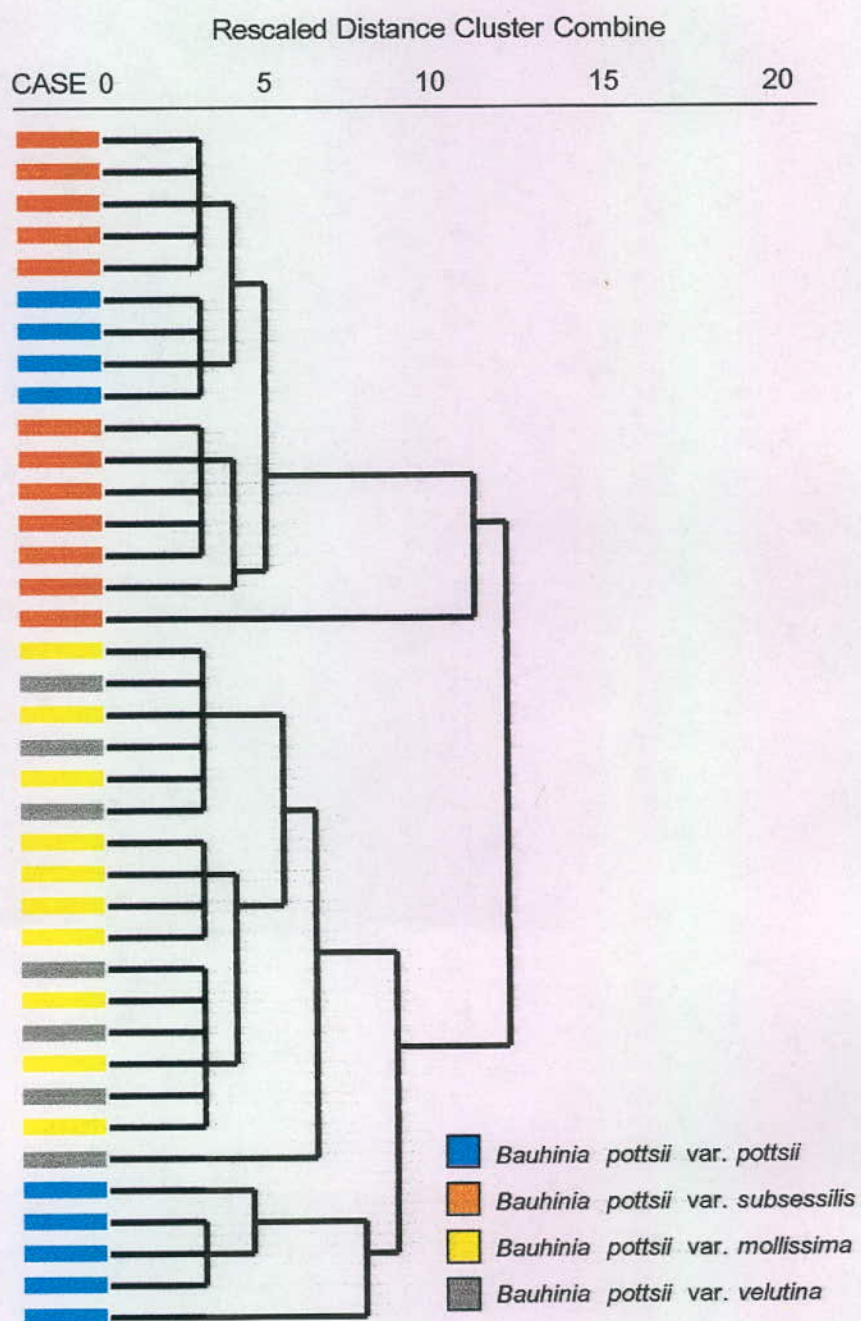


แผนภาพที่ 4.38 กราฟแสดงความสัมพันธ์ระหว่างแกนปัจจัย จากการวิเคราะห์ปัจจัยลักษณะใบ ดอกเรณู ผัก เมล็ด ของชงโคงคำ ชงโคงและกาหลง (1-6)

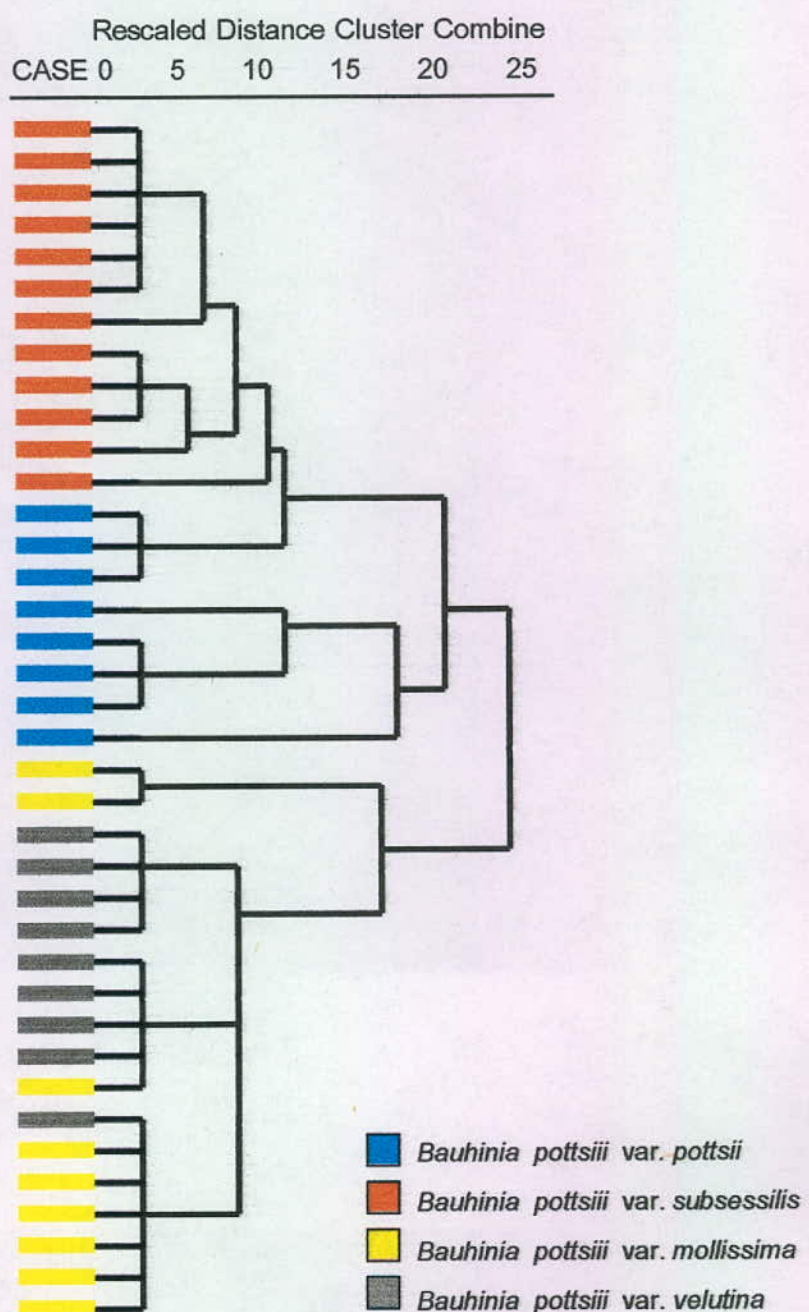


แผนภาพที่ 4.39 กราฟแสดงความสมพันธ์ระหว่างแกนปัจจัย จากการวิเคราะห์ปัจจัยลักษณะใบ ดอก เรณู ผัก เมล็ด ของชงโคง่า ชงโคงะและกาหลง (1-6)

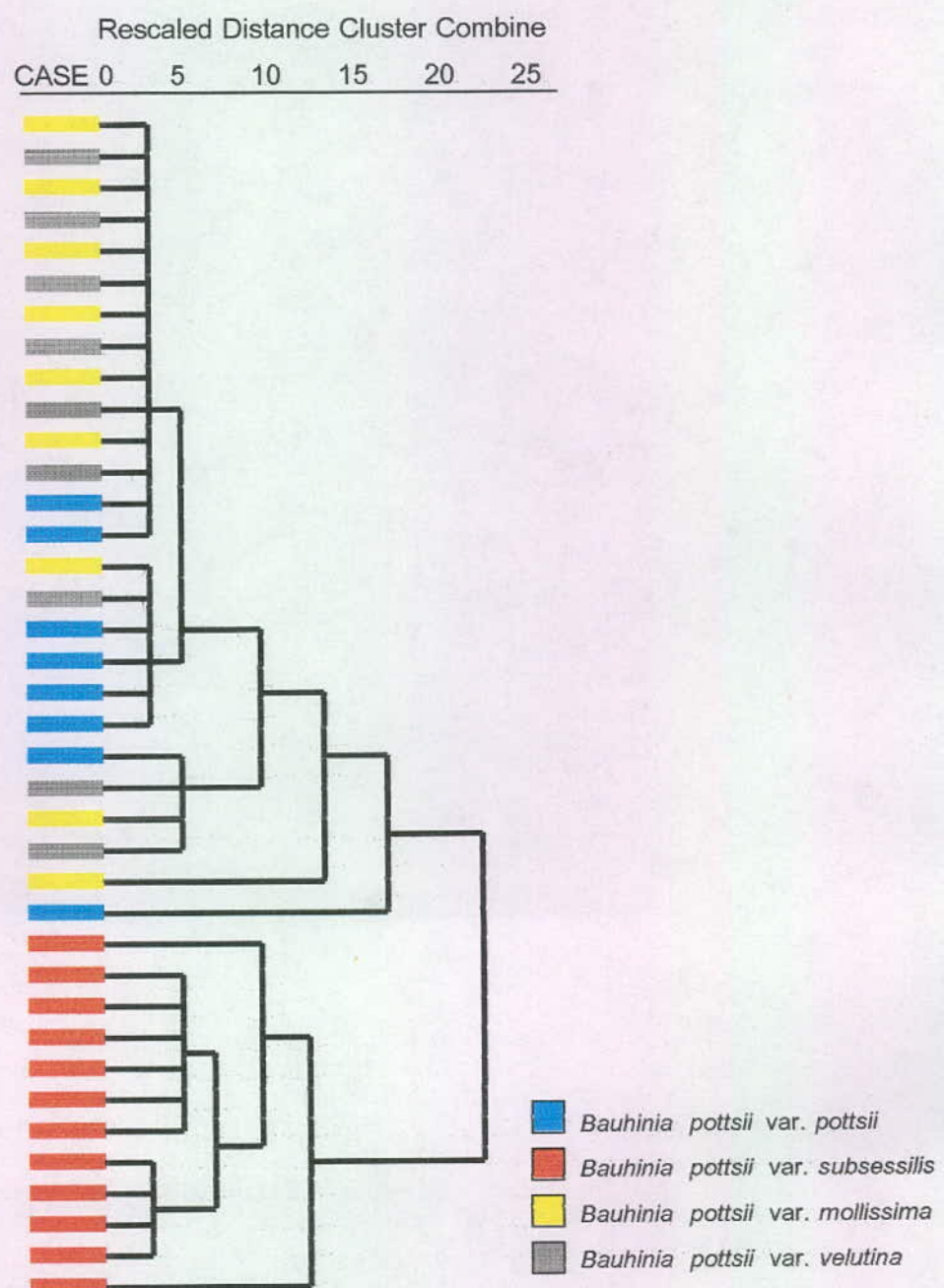
แผนภาพที่ 4.40 เด็นໂດරແກຣມแสดงผลการวิเคราะห์ลักษณะสัณฐานวิทยาของใบชงโคคำในประเทศไทยด้วยเทคนิคการวิเคราะห์จัดกลุ่ม



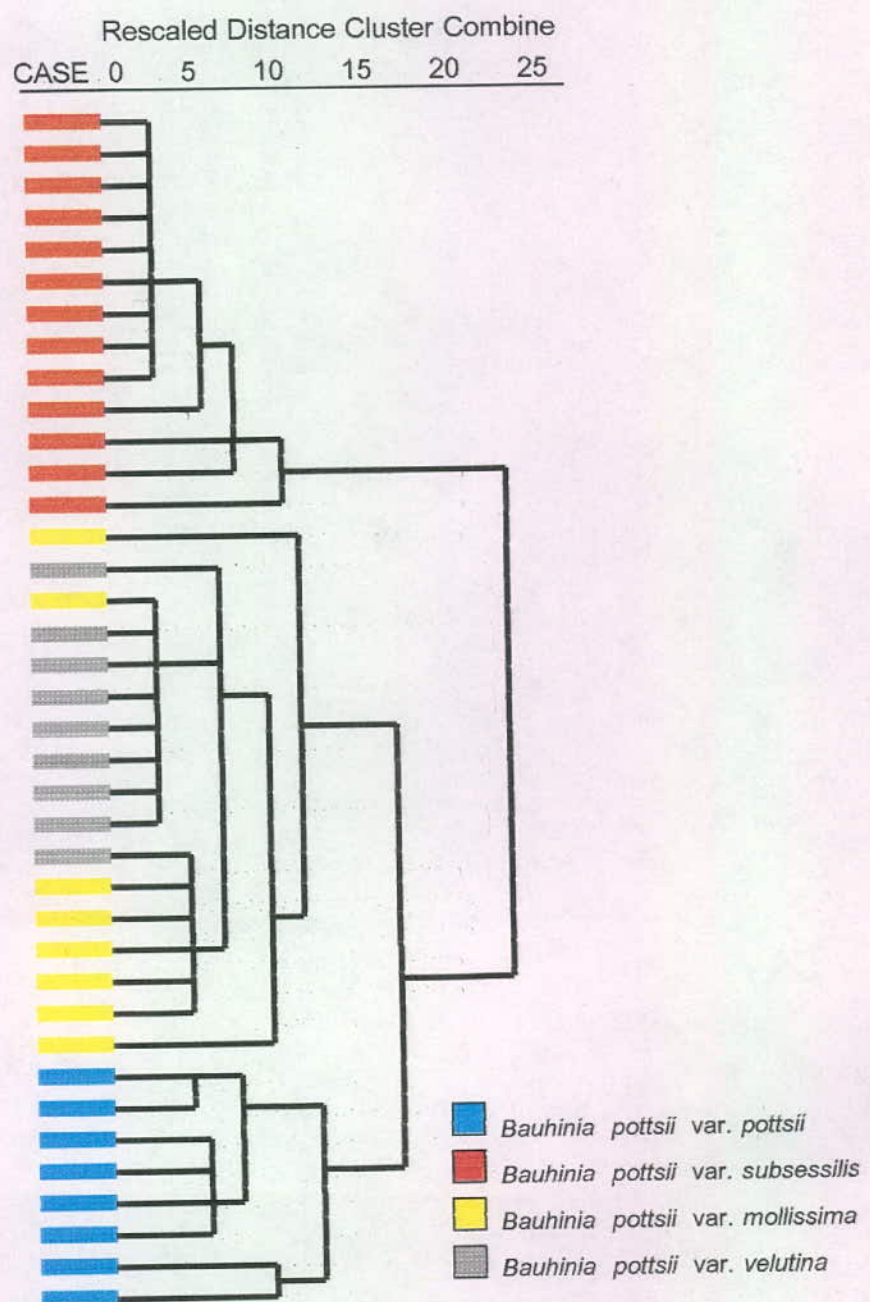
แผนภาพที่ 4.41 เดนโดยограмแสดงผลการวิเคราะห์ลักษณะสัณฐานวิทยาของดอกชงโคคำในประเทศไทยด้วยเทคนิคการวิเคราะห์จัดกลุ่ม



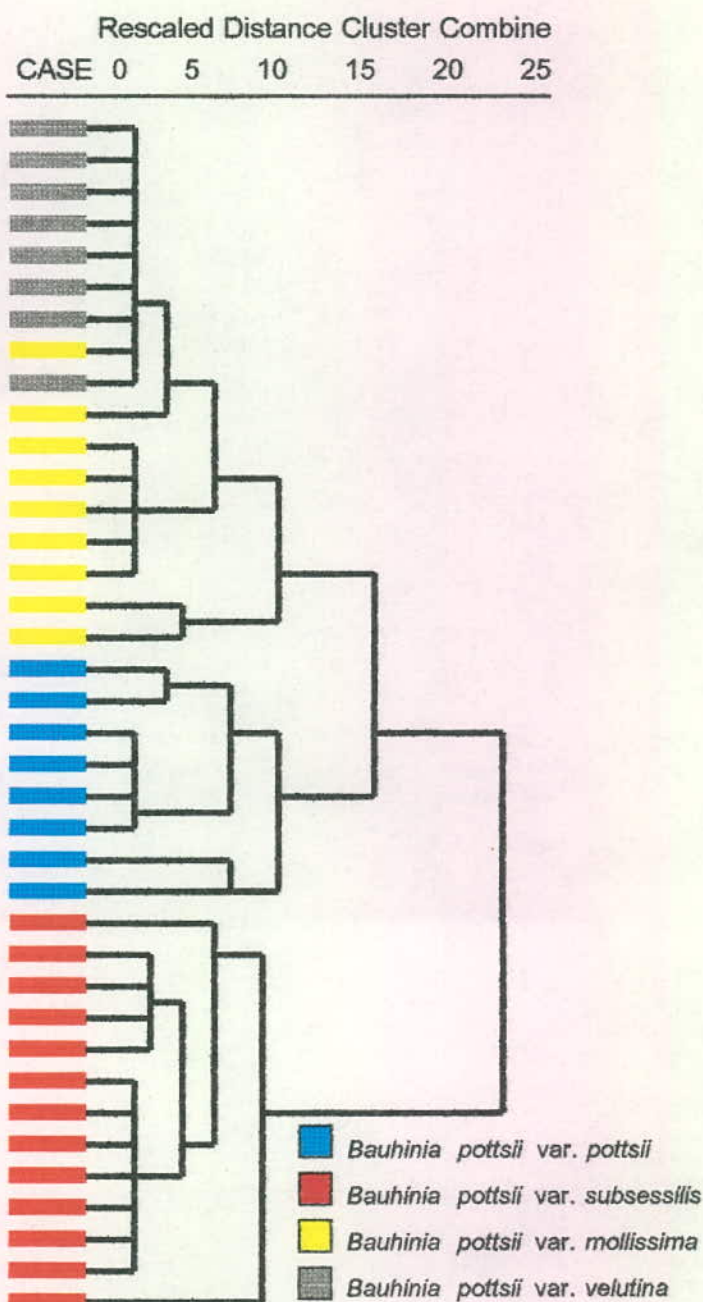
แผนภาพที่ 4.42 เด่นໂຄຣແກຣມแสดงผลการวิเคราะห์ลักษณะสัณฐานวิทยาของเรณูชงโคคำ  
ในประเทศไทยด้วยเทคนิคการวิเคราะห์จัดกลุ่ม



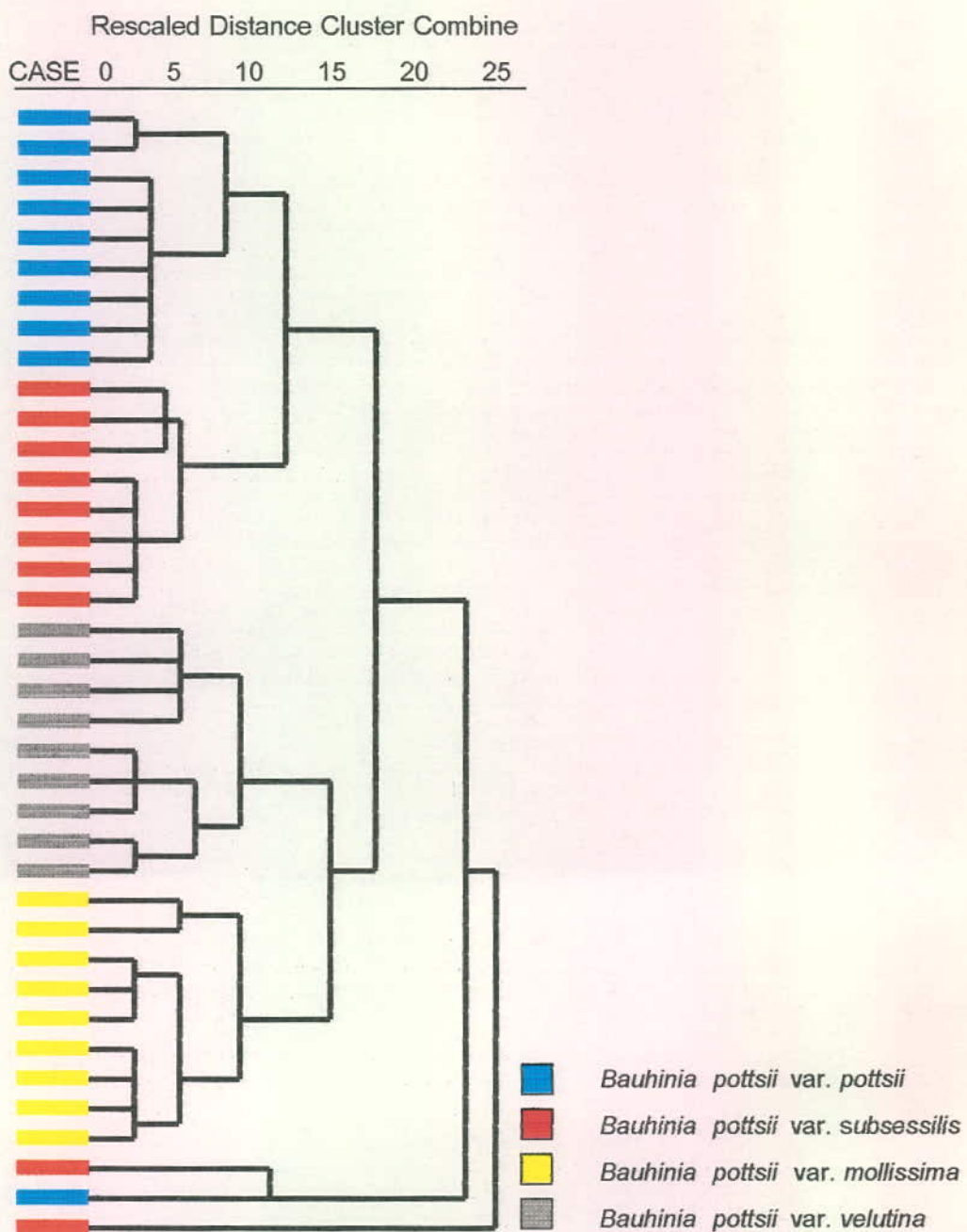
แผนภาพที่ 4.43 เด่นໂດຣແກຣມแสดงผลการวิเคราะห์ลักษณะสัณฐานวิทยาของดอกและเรณูชงโคลค่าในประเทศไทยด้วยเทคนิคการวิเคราะห์จัดกลุ่ม



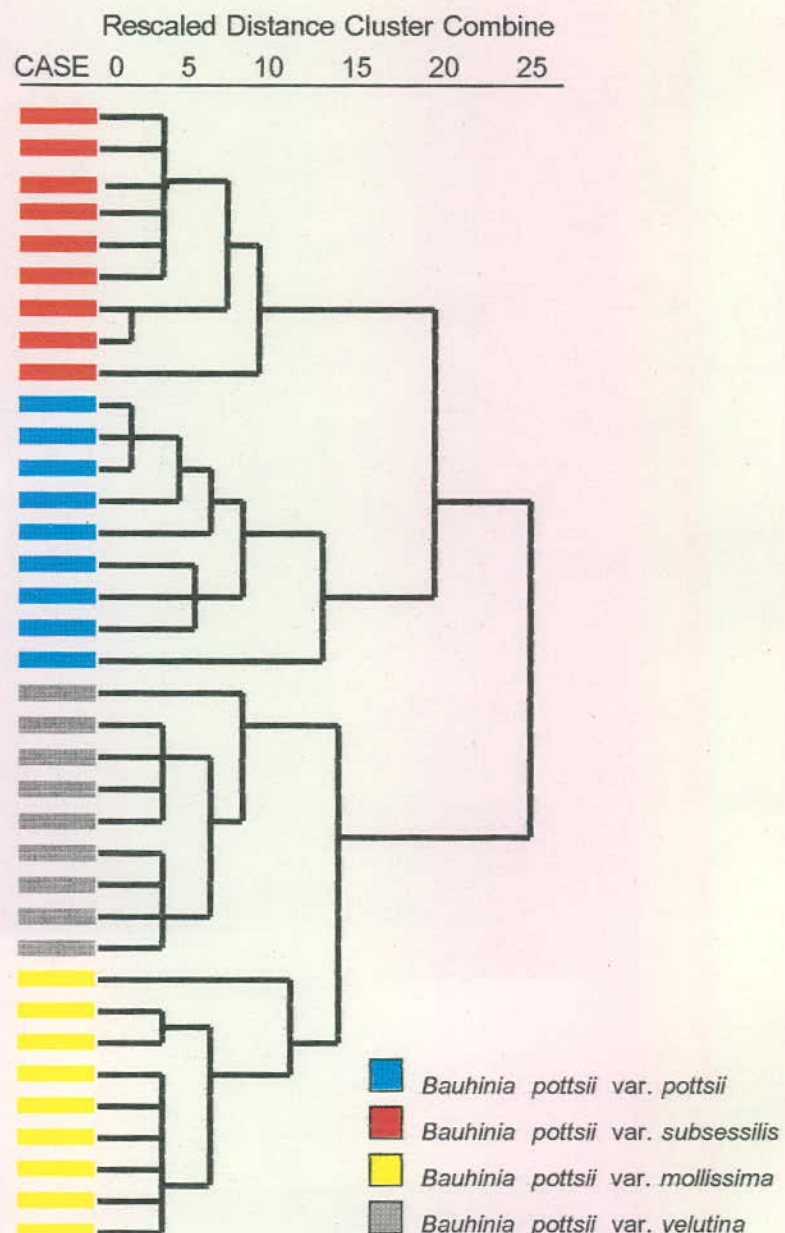
แผนภาพที่ 4.44 เด็นໂຕຣແກຣມแสดงผลการวิเคราะห์ลักษณะสัณฐานวิทยาของใบ ดอก และเรนู ชงโคค่าในประเทศไทยด้วยเทคนิคการวิเคราะห์จัดกลุ่ม



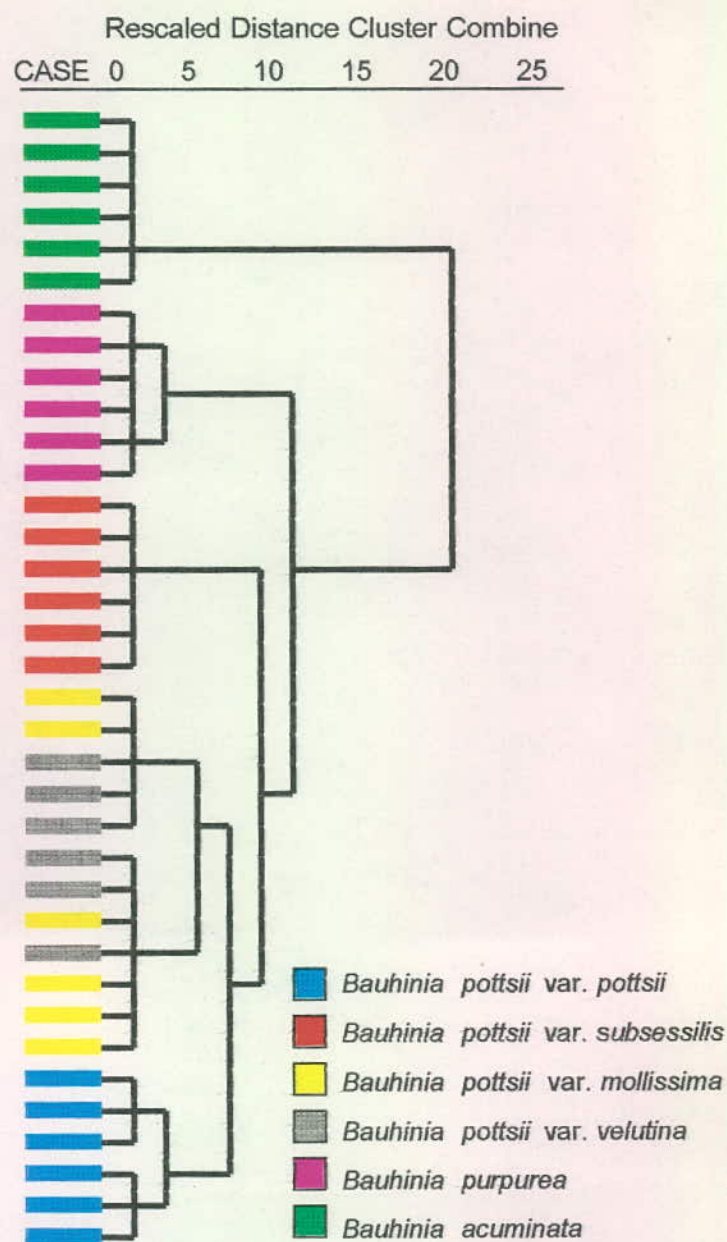
แผนภาพที่ 4.45 เดินโครงการแสดงผลการวิเคราะห์ลักษณะแบบแผนไอโซไซม์ 6 ระบบของชงโคงดำเนินประเทศไทยด้วยเทคนิคการวิเคราะห์จัดกลุ่ม

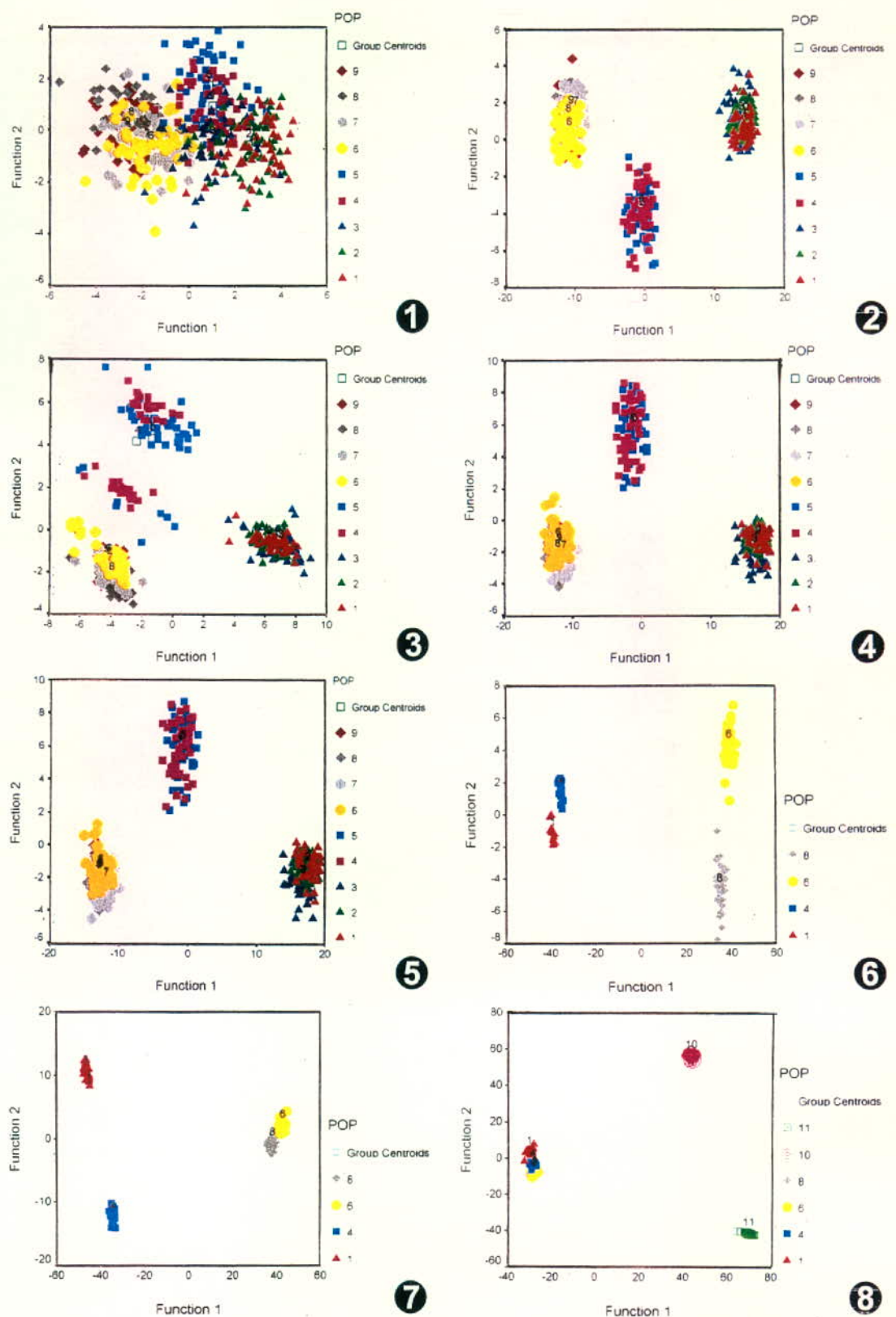


แผนภาพที่ 4.46 เด่นໂຄຣແກຣມแสดงผลการวิเคราะห์ลักษณะสัณฐานวิทยาของใบ ดอก เรณูและแบบแพนไอกโซไซเมิร์ 6 ระบบของซงโคค่าในประเทศไทยด้วยเทคนิคการวิเคราะห์จัดกลุ่ม



แผนภาพที่ 4.47 เด่นໂຄຣແກຣມแสดงผลการวิเคราะห์ลักษณะสัณฐานวิทยาของใบ ดอก เรณู ฝัก และเมล็ดของซงโคต้า ชงโค และกาหลง ด้วยเทคนิคการวิเคราะห์จัดกลุ่ม





แผนภาพที่ 4.48 กราฟแสดงผลการวิเคราะห์จัดจำแนกประชากรชั้นโภคดำเนินประเทศไทย

( ① ลักษณะใบ ② ลักษณะดอก ③ ลักษณะเรณุ ④ ลักษณะดอกและเรณุ  
 ⑤ ลักษณะใบ ดอก และเรณุ ⑥ ลักษณะแบบแผนไอโซไซม์  
 ⑦ ลักษณะใบ ดอก เรณุ และแบบแผนไอโซไซม์ )

และการวิเคราะห์จัดจำแนกประชากรชั้นโภคดำเนิน ชั้นโภค และกาหลง  
 เมื่อใช้ลักษณะใบ ดอก เรณุ ผัก และเมล็ด ( ⑧ )

## บทที่ 5

### อภิปรายผลการวิจัย

การศึกษาชีวานุกรมวิธานของซงโคต้า *Bauhinia pottsii* G. Don ในประเทศไทย ซึ่งจัดจำแนกออกเป็น 5 พันธุ์ (variety) คือ *B. pottsii* var. *pottsii* G. Don, *B. pottsii* var. *subsessilis* (Craib) de Wit, *B. pottsii* var. *mollissima* (Wall. ex Prain) K. & S. S. Larsen, *B. pottsii* var. *velutina* (Wall. ex Benth) K. & S. S. Larsen และ *B. pottsii* var. *decipiens* (Craib) K. & S. S. Larsen (Larsen, Larsen และ Vidal, 1984) นั้น ในการศึกษาครั้งนี้สำรวจพืบชงโคต้าเพียง 4 พันธุ์เท่านั้น (ตารางที่ 4.1) กล่าวคือพบว่า *B. pottsii* var. *subsessilis* มีการกระจายพันธุ์กว้างขวางที่สุด พืบหงในภาคตะวันออกดังเดิมที่วัดระยะไปถึงจังหวัดตราดและภาคใต้ดังเดิมจังหวัดชุมพรลงไปถึงจังหวัดดรัง ในขณะที่ *B. pottsii* var. *pottsii* กันมีการกระจายพันธุ์จำกัดอยู่เฉพาะภาคใต้ตอนล่างดังเดิมจังหวัดระนองลงไปจนถึงจังหวัดปัตตานี (Larsen และ Larsen, 1973) เช่นเดียวกับ *B. pottsii* var. *mollissima* และ *B. pottsii* var. *velutina* ซึ่งพบกระจายพันธุ์เฉพาะในภาคใต้เช่นเดียวกัน โดย *B. pottsii* var. *velutina* มีการกระจายพันธุ์อยู่ในແກບจังหวัดชุมพรและจังหวัดระนองเท่านั้นในขณะที่ *B. pottsii* var. *mollissima* มีการกระจายพันธุ์กว้างขวางกว่าดังเดิมจังหวัดสุราษฎร์ธานีลงไปจนถึงจังหวัดพัทงาและจังหวัดดรัง อย่างไรก็ตามพบว่าโดยทั่วไปแล้ว แหล่งที่อยู่ของ *B. pottsii* var. *mollissima* กับ *B. pottsii* var. *velutina* มีสภาพคล้ายๆ กันกล่าวคือมักจะพบเจริญอยู่บริเวณชายป่าที่มีความชุ่มชื้นและมีความสูงจากระดับน้ำทะเลเดิม 10-200 เมตร ในขณะที่ *B. pottsii* var. *pottsii* กับ *B. pottsii* var. *subsessilis* นั้นพบเจริญในบริเวณชายป่าท่าๆ ไปที่มีความสูงจากระดับน้ำทะเลต่ำกว่า 10-80 เมตรเท่านั้น (de Wit, 1956) สำหรับ *B. pottsii* var. *decipiens* ซึ่งมีรายงานว่าเป็นพืชถิ่นเดียวพบที่อำเภอเมือง จังหวัดตราดและมีเฉพาะ type specimen นั้น (Craib, 1927 ; Larsen และ Larsen, 1973) จากการสำรวจทั่วทั้งภาคตะวันออกและภาคใต้ไม่พบชงโคต้าพันธุ์นี้เลย จึงทำการศึกษาชงโคต้าเพียง 4 พันธุ์เท่านั้น โดยเก็บตัวอย่างประชากรหั้งหมัด 9 ประชากรจากแหล่งที่อยู่ต่างๆ กัน (ตารางที่ 3.1) มาศึกษาด้าน numerical taxonomy เพื่อตรวจสอบสถานะทางอนุกรมวิธานของพืชชนิดนี้โดยใช้ข้อมูลจากการศึกษาด้านสังฐานวิทยาของใบ ดอก เรตโน ฝัก เมล็ด และแบบแผนไอโซไซม์ วิเคราะห์ด้วยเทคนิคการวิเคราะห์ปัจจัย การวิเคราะห์จัดกลุ่ม และการวิเคราะห์จัดจำแนก ได้ผลดังนี้

## 5.1 การศึกษาลักษณะสัณฐานวิทยาของกิ่ง ใน และตอกของชงโคง่า

จากการศึกษาเบรี่ยนเทียบลักษณะสัณฐานวิทยาของชงโคง่า พบว่ากิ่งและลำต้นของชงโคง่าทั้ง 4 พันธุ์ มีรูปร่างลักษณะเหมือนกันกล่าวคือกิ่งอ่อนมีสีเขียวอมน้ำตาล และมีขนสั้นๆสีน้ำตาลแดงปักคลุมเช่นเดียวกัน เพียงแต่กิ่งอ่อนของ *B. pottsii* var. *pottsii* และ *B. pottsii* var. *subsessilis* มักจะมีขนยาวและปักคลุมหนาแน่นกว่า *B. pottsii* var. *mollissima* และ *B. pottsii* var. *velutina* นอกจากนี้ยังพบว่าลักษณะเด่นของกิ่งชงโคง่าทุกพันธุ์ก็คือมีช่องอากาศ (lenticel) กระจายอยู่ทั่วทั้งเปลือกเห็นเด่นชัด (แผนภาพที่ 4.2 )

เมื่อพิจารณาถึงลักษณะวิสัยของชงโคง่าซึ่งจัดว่าเป็นไม้พุ่มหรือไม้กึ่งรอเลือย (Larsen, Larsen และ Vidal, 1984) พบว่าในสภาพธรรมชาติโดยทั่วไป *B. pottsii* var. *pottsii* และ *B. pottsii* var. *subsessilis* มักจะเจริญเป็นไม้พุ่มขนาดกลาง มีความสูงไม่เกิน 6 เมตร (Larsen และ Larsen, 1973) โดยกิ่งก้านจะแตกออกไปประะภะระยะ ไม่มีทรงพุ่มที่แน่นอน (แผนภาพที่ 4.1:①-②) ในขณะที่ *B. pottsii* var. *mollissima* และ *B. pottsii* var. *velutina* นั้น แม้จะไม่มีมือจับแต่มักจะพบว่าสามารถได้หรือเกาะตันไม้ขันหาดใหญ่ขึ้นไปได้สูงมากถึงหลายสิบเมตร (de Wit, 1956) (แผนภาพที่ 4.1:③-④) จึงมีนักพฤกษาสรุปบางคนจัดให้เป็น large lianas (Larsen และ Larsen, 1973) เมื่อพิจารณาลักษณะใบของชงโคง่าทั้ง 4 พันธุ์ พบว่ามีความแปรผันทั้งขนาดและรูปร่างลักษณะทั้งนี้อาจขึ้นอยู่กับสภาพแวดล้อมของแหล่งที่อยู่อาศัย แต่อย่างไรก็ตามพบว่าลักษณะร่วมกันประการหนึ่งของชงโคง่าก็คือใบอ่อนของชงโคง่าทุกพันธุ์จะมีสีแดงเท็นเด่นชัด โดยในของ *B. pottsii* var. *mollissima* กับ *B. pottsii* var. *velutina* นั้นมีความคล้ายคลึงกันมาก และมีความแตกต่างอย่างเด่นชัดจากใบของ *B. pottsii* var. *pottsii* กับ *B. pottsii* var. *subsessilis* ซึ่งมีความคล้ายคลึงกัน เช่น กันกล่าวคือ ในของ *B. pottsii* var. *mollissima* และ *B. pottsii* var. *velutina* มักมีรูปร่างค่อนข้างกลม มีจำนวนเส้นใบประมาณ 9 - 14 เส้น และใบบางใบบริเวณปลายกิ่งมักจะมีคิวทินเคลือบด้านบนใน (Larsen, Larsen และ Vidal, 1984) ทำให้มองเห็นใบเป็นสีขาวนวลเด่นชัด (แผนภาพที่ 4.1:③-④ หรือแผนภาพที่ 4.3:①-③) ในขณะที่ใบของ *B. pottsii* var. *pottsii* และ *B. pottsii* var. *subsessilis* นั้นมีรูปร่างกลมรีคล้ายรูปไข่ มีจำนวนเส้นใบประมาณ 11 - 15 เส้นและไม่พบคิวทินปักคลุมผิวใบเลย (แผนภาพที่ 4.3:①-③) นอกจากนี้ยังพบว่าผิวใบของ *B. pottsii* var. *pottsii* และ *B. pottsii* var. *subsessilis* มีขนสีน้ำตาลหรือน้ำตาลอ่อนแดงปักคลุมโดยทั่วไปและมักจะพนหนาแน่นมาก ที่บริเวณเส้นใบ ในขณะที่ผิวใบของ *B. pottsii* var. *mollissima* และ *B. pottsii* var. *velutina* นั้นมีขนสั้นๆสีขาวใสปักคลุม แต่อย่างไรก็ตามพบว่าผิวใบของชงโคง่าทั้ง 4 พันธุ์มักพนขนแข็งເອນ (strigose) กระจายอยู่ทั่วไป โดยจะพบใน *B. pottsii* var. *pottsii* และ *B. pottsii* var. *subsessilis* มากกว่า *B. pottsii* var. *mollissima* และ *B. pottsii* var. *velutina* เมื่อพิจารณา

ลักษณะสัณฐานวิทยาของดอกพบว่าช่อดอกของชงโคลคำทั้ง 4 พันธุ์เป็นแบบช่อกระจะเหมือนกัน แต่มีจำนวนดอกย่อยต่อช่อดอกแตกต่างกันอย่างเด่นชัดกล่าวคือ *B. pottsii* var. *subsessilis* มีขนาดช่อดอกใหญ่ที่สุด เพราะมีจำนวนดอกย่อยมากถึง 23 - 63 ดอกต่อ 1 ช่อดอก รองลงมาคือ *B. pottsii* var. *pottsii* ซึ่งมีจำนวนดอกย่อย 4 - 35 ดอกต่อ 1 ช่อดอก ซึ่งมากกว่าจำนวนดอกย่อยของ *B. pottsii* var. *mollissima* และ *B. pottsii* var. *velutina* ที่มีเพียง 2 - 7 ดอกและ 3 - 17 ดอกต่อ 1 ช่อดอกตามลำดับ (ตารางที่ 4.5) นอกจากนี้ยังพบว่า รูปร่างลักษณะ สีสัน และขนาดดอกตูมของ *B. pottsii* var. *pottsii* และ *B. pottsii* var. *subsessilis* ก็มีความคล้ายคลึงกันมากกล่าวคือ มีรูปร่างคล้ายทรงกระบอก ปลายเรียวแหลม มีขนสั้นๆ สีม่วงอมแดง หรือสีน้ำตาลอ่อนและมีขนแข็งเอนสีขาวหรือสีน้ำตาลปักคลุมหนาแน่นเช่นเดียวกัน (แผนภาพที่ 4.5:① และ ②) แต่อย่างไรก็ตามพบว่า ดอกตูมของ *B. pottsii* var. *subsessilis* โดยทั่วไปมักจะมีขนาดใหญ่และยาวกว่า ดอกตูมของ *B. pottsii* var. *subsessilis* (ตารางที่ 4.5) สำหรับดอกตูมของ *B. pottsii* var. *mollissima* นั้นแม้จะมีรูปร่างเป็นทรงกระบอกปลายเรียวแหลมเช่นเดียวกันแต่ก็มีความแตกต่างจากดอกตูมของ *B. pottsii* var. *pottsii* และ *B. pottsii* var. *subsessilis* อย่างเด่นชัด กล่าวคือ ดอกตูมมีสีเขียวปักคลุมด้วยขนสั้นสีขาวใสและขนแข็งเอนสีขาวใสหรือสีน้ำตาลหนาแน่น (แผนภาพที่ 4.5:③ และ แผนภาพที่ 4.6:④ - ⑤) ในขณะที่ Larsen, Larsen และ Vidal (1984) รายงานว่า ดอกตูมของ *B. pottsii* var. *mollissima* มีสีน้ำตาลอ่อนซึ่งน่าจะเกิดจากดัวอย่างถูกเก็บไวนานเกินไปสีจึงเปลี่ยนไปจากเดิม ส่วนดอกตูมของ *B. pottsii* var. *velutina* นั้นมีรูปร่างลักษณะแตกต่างไปจากชงโคลคำพันธุ์อ่อนอย่างเด่นชัดคือ ดอกตูมมีรูปร่างคล้ายกระบอกและมีสันตามแนวยาวที่บีบร้าวนะปลายดอก 5 สันอย่างเด่นชัด (Larsen, Larsen และ Vidal, 1984) แต่อย่างไรก็ตามพบว่า สีสันและขนที่ปักคลุมดอกตูมของ *B. pottsii* var. *velutina* ก็มีความคล้ายคลึงกับ *B. pottsii* var. *mollissima* กล่าวคือ มีทั้งขนสั้นสีขาวใสและขนแข็งเอนสีขาวใสหรือสีน้ำตาลปักคลุมหนาแน่น (แผนภาพที่ 4.6:⑥-⑧)

เมื่อพิจารณาลักษณะฐานดอกของชงโคลคำทั้ง 4 พันธุ์พบว่า มีลักษณะเป็นทรงกระบอกและมีความยาวใกล้เคียงกับดอกตูมเช่นเดียวกัน (Larsen, Larsen และ Vidal, 1984) แต่ขนที่ปักคลุมฐานดอกของ *B. pottsii* var. *pottsii* และ *B. pottsii* var. *subsessilis* มักจะมีสีน้ำตาลอ่อนและในขณะที่บนปักคลุมฐานดอกของ *B. pottsii* var. *mollissima* และ *B. pottsii* var. *velutina* มีสีขาวใส

กลีบเลี้ยงของชงโคลคำทุกพันธุ์แยกออกจากกันเป็น 2-5 ส่วนคล้ายกัน และมีขนแข็งเอนสีขาวใสหรือสีน้ำตาลปักคลุมผิวด้านนอกเช่นเดียวกัน แต่ขนสั้นๆ ที่ปักคลุมผิวด้านนอกกลีบเลี้ยงของ *B. pottsii* var. *pottsii* และ *B. pottsii* var. *subsessilis* มักจะมีสีม่วงอมแดงหรือสีน้ำตาลอ่อนและในขณะที่ผิวด้านนอกกลีบเลี้ยงของ *B. pottsii* var. *mollissima*

กับ *B. pottsii* var. *velutina* มีสีขาวใส สำหรับผิวด้านในกลีบเลี้ยงนั้นเป็นว่าเซลล์ของ *B. pottsii* var. *pottsii* มีรูปร่างเป็นสี่เหลี่ยมคล้ายกันและเรียงตัวเป็นระเบียบ (แผนภาพที่ 4.7:②) ในขณะที่ผิวด้านในกลีบเลี้ยงของชงโคคำพันธุ์อื่นๆ มีรูปร่างเป็นหลายเหลี่ยมแต่ละเซลล์รูปร่างไม่ค่อยเหมือนกันและเรียงตัวไม่เป็นระเบียบ (แผนภาพที่ 4.7:①, ③ และ ④) แต่อีกทาง ไร้กีดามพบว่าผิวด้านในกลีบเลี้ยงของ *B. pottsii* var. *mollissima* มีความคล้ายคลึงกับ *B. pottsii* var. *velutina* เพราะนอกจากรูปร่างลักษณะและการเรียงตัวของเซลล์จะคล้ายกันแล้ว ยังมีขนสั้นๆ สีขาวใสกระจายอยู่ประปรายเช่นเดียวกัน ในขณะที่ผิวด้านในกลีบเลี้ยงของ *B. pottsii* var. *pottsii* กับ *B. pottsii* var. *subsessilis* นั้นค่อนข้างเรียบไม่พนวนปักคลุ่มอยู่เลย

กลีบดอกของชงโคคำพันธุ์รูปร่างแตกต่างกัน 2 แบบคือ *B. pottsii* var. *pottsii* กับ *B. pottsii* var. *subsessilis* มีกลีบดอกรูปใบหอก (lanceolate) และมีก้านกลีบดอก สั้นกว่ากลีบดอกมาก (แผนภาพที่ 4.5:② และ ③ และตารางที่ 4.5) ในขณะที่ *B. pottsii* var. *mollissima* กับ *B. pottsii* var. *velutina* มีกลีบดอกรูปช้อน (spatulate) และมีก้านกลีบดอก ยาวเท่ากับหรือมากกว่ากลีบดอก (แผนภาพที่ 4.5:④ และ ⑤ และตารางที่ 4.5) แต่มีอิพิจารณาถึงสีของกลีบดอกกลับพบว่า *B. pottsii* var. *subsessilis* มีสีสันแตกต่างจากชงโคคำพันธุ์อื่น กล่าวคือกลีบดอกมีสีขาวทุกกลีบ โดยกลีบที่ 2 ซึ่งมีขนาดใหญ่ที่สุดนั้นมีแฉ้มสีเหลือง ตรงกลาง ในขณะที่ชงโคคำพันธุ์อื่นๆ คือ *B. pottsii* var. *pottsii*, *B. pottsii* var. *mollissima* และ *B. pottsii* var. *velutina* นั้นมีกลีบดอกสีแดง ขอบสีขาวหรือเหลืองอมขาว กลีบดอกที่ 2 ซึ่งมีขนาดใหญ่ที่สุดมีแฉ้มสีเหลืองตรงกลาง (Larsen, Larsen และ Vidal, 1984 ; de Wit, 1956) อีกทาง ไร้กีดามเมื่อศึกษาลักษณะผิวด้านกลีบดอกของชงโคคำทั้ง 4 พันธุ์ ด้วยกล้องจุลทรรศน์อิเลคตรอนแบบส่องกราด กำลังขยาย 5,000 เท่าและ 7,500 เท่าก็พบว่าผิวกลีบดอกของ *B. pottsii* var. *subsessilis* มีลักษณะเป็นรอยย่นเป็นสันหรือร่องไม่เด่นชัดและไม่เป็นระเบียบ (แผนภาพที่ 4.8:③-④) ซึ่งมีความแตกต่างอย่างชัดเจนกับชงโคคำพันธุ์อื่นคือผิวกลีบดอกของ *B. pottsii* var. *pottsii* กับ *B. pottsii* var. *mollissima* มีลักษณะเป็นสันญูขนาดเล็กเด่นชัดเรียงตัวแน่นกันค่อนข้างเป็นระเบียบ ในขณะที่สันบนผิวกลีบดอกของ *B. pottsii* var. *velutina* นั้นมีลักษณะคงอยู่มากล้าຍกับสมอง (แผนภาพที่ 4.8:① - ② และ ④-⑤)

เกรสรเพศผู้ที่สมบูรณ์ของชงโคคำทั้ง 4 พันธุ์มี 3 อัน ประกอบด้วยอับเรณูซึ่งแตกต่างตามแนวยาวและติดกับก้านชูอับเรณูแบบ versatile เช่นเดียวกันแต่ตำแหน่งที่ติดแตกต่างกันกล่าวคือตำแหน่งที่ก้านชูอับเรณูติดกับอับเรณูทำให้อัตราส่วนของความยาวอับเรณูส่วนที่มีร่องด้านหลังต่อความยาวอับเรณูส่วนที่ไม่มีร่องด้านหลังของ *B. pottsii* var. *pottsii* และ *B. pottsii* var. *subsessilis* เท่ากัน 1.00 - 1.20 และ 1.59 - 1.81 ตามลำดับ ในขณะที่ *B. pottsii* var. *mollissima* กับ *B. pottsii* var. *velutina* มีค่าไอลเคียงกันมากคือ 0.70 - 0.88

4.10:⑦ และ ⑩) เมื่อศึกษาด้วยกล้องจุลทรรศน์อิเลคตรอนแบบส่องการดัดกำลังขยาย 1,000 เท่า พบร่วมกับเกสรเพศเมียของซองโคง้ำหนัก 4 พันธุ์ มีลักษณะเป็นตุ่มนูนขนาดเล็กๆ จำนวนมาก เช่นเดียวกันแต่ตุ่มนูนของเกสรเพศเมียของ *B. pottsii* var. *mollissima* มีลักษณะเรียวยาว กว่าซองโคง้ำหนัก 4 พันธุ์ (แผนภาพที่ 4.10 :①.④.⑦ และ ⑩) สำหรับก้านเกสรเพศเมีย รังไข่ ก้านชูเกสรเพศเมียและอวุลของ *B. pottsii* var. *mollissima* กับ *B. pottsii* var. *velutina* มีลักษณะเหมือนกัน (Larsen, Larsen และ Vidal, 1984) กล่าวคือก้านเกสรเพศเมีย รังไข่ และ ก้านชูเกสรเพศเมียมีสีเขียวมีขันสันๆ สีขาวใสและบนแข็งเอนปกคลุมทั่วไป อวุลมีสีเขียวอ่อน ผิวเรียบมัน จำนวน 3 - 6 อวุลติดอยู่ที่ผนังรังไข่ตามแนวตะเข็บ (แผนภาพที่ 4.10 : ①-③ และ ⑨-⑩) เมื่อศึกษาบนรังไข่ด้วยกล้องจุลทรรศน์อิเลคตรอนแบบส่องการดัดกำลังขยาย 100 เท่า และ 1,000 เท่า กับพบร่วมกันแต่ละเส้นมีผิวค่อนข้างเรียบและมีตุ่มนูนขนาดเล็กๆ กระจายอยู่ทั่วไปใน *B. pottsii* var. *velutina* แต่พบน้อยมากใน *B. pottsii* var. *mollissima* (แผนภาพที่ 4.11:① - ③) สำหรับก้านเกสรเพศเมีย รังไข่ และก้านชูเกสรเพศเมียของ *B. pottsii* var. *pottsii* กับ *B. pottsii* var. *subsessilis* นั้นมีลักษณะหลายอย่างคล้ายกันและมีความแตกต่างอย่างเด่นชัดกับก้านเกสรเพศเมีย รังไข่ และก้านชูเกสรเพศเมียของ *B. pottsii* var. *mollissima* และ *B. pottsii* var. *velutina* กล่าวคือก้านเกสรเพศเมียมีสีแดงอมม่วง มีขันสันๆ สีขาวใสและบนแข็งเอนปกคลุมทั่วไปคล้ายกัน ส่วนก้านชูเกสรเพศเมียของ *B. pottsii* var. *subsessilis* จะมีสีแดงอมม่วงเข้ม ในขณะที่ก้านชูเกสรเพศเมียของ *B. pottsii* var. *pottsii* มีสีเขียวอ่อน แต่ต่างกันมีขันปกคลุมคล้ายกัน สำหรับรังไข่นั้นแม้จะมีขันแข็งเอนปกคลุมหนาแน่น เหมือนกันแต่รังไข่ของ *B. pottsii* var. *subsessilis* นั้นยังมีขันสีม่วงแดงค่อนข้างยาวและนุ่ม ปกคลุมหนาแน่น (แผนภาพที่ 4.10:①) ในขณะที่รังไข่ของ *B. pottsii* var. *pottsii* มีขันสีม่วง แดงสันๆ และนุ่มปกคลุมอย่างหนาแน่นเช่นกัน(แผนภาพที่ 4.10:②) ดังนั้นจะเห็นได้ว่าขันแข็งเอน (strigose) นั้นเป็นลักษณะที่พบทั่วไปในซองโคง้ำหนักพันธุ์ ไม่ได้พบเฉพาะใน *B. pottsii* var. *subsessilis* ตามที่ Larsen, Larsen และ Vidal, 1984 รายงาน ส่วนอวุลของ *B. pottsii* var. *pottsii* และ *B. pottsii* var. *subsessilis* นั้นพบว่ามีลักษณะคล้ายกันซึ่งโคง้ำหนัก 4 พันธุ์ที่ กล่าวมาแล้วคือมีสีเขียวอ่อน ผิวเรียบมันและติดกับผนังไข่ตามแนวตะเข็บเช่นเดียวกัน แต่จะมีจำนวนอวุลแตกต่างกันนั่น กล่าวคือ *B. pottsii* var. *pottsii* พบอวุลประมาณ 3 - 6 อวุล ต่อ 1 รังไข่ ในขณะที่ *B. pottsii* var. *subsessilis* พบอวุลประมาณ 4 - 8 อวุลต่อ 1 รังไข่ (แผนภาพที่ 4.10:①.③) เมื่อศึกษาลักษณะบนรังไข่ด้วยกล้องจุลทรรศน์อิเลคตรอนกำลังขยาย 100 เท่า และ 500 เท่า พบร่วมกันแต่ละเส้นของ *B. pottsii* var. *subsessilis* มีตุ่มนูน ขนาดเล็กๆ จำนวนมากกระจายอยู่ทั่วไปแตกต่างอย่างเด่นชัดจากซองโคง้ำหนัก 4 พันธุ์ซึ่งแม้จะมีตุ่มนูนเช่นเดียวกันแต่มีปริมาณน้อยกว่ามากของย่างเห็นได้ชัด (แผนภาพที่ 4.11 :① - ③)

ผักของชงโคง้ำทุกพันธุ์มีลักษณะแบบส่วนโคนผักแคบแล้วค่อยๆ กว้างออกตรงกลาง ส่วนปลายเรียวแหลมเป็นจะงอย เมื่อผักยังอ่อนมีสีเขียวและเมื่อแก่เดิมที่จะเปลี่ยนเป็นสีน้ำตาลและแตกออกตามแนวยาวติดเมล็ดไปได้ใกล้ๆ ความแตกต่างของผักชงโคง้ำแต่ละพันธุ์ที่เด่นชัดก็คือผักของ ของ *B. pottsii var. mollissima* กับ *B. pottsii var. velutina* ซึ่งมีลักษณะเหมือนกันนั้นมีสันหนาตามแนวยาวของผักเห็นเด่นชัด ในขณะที่ผักของ *B. pottsii var. subsessilis* กับ *B. pottsii var. pottsii* ไม่มีสันหนาตามแนวยาว (แผนภาพที่ 4.12 : ❶, ❷ และ ❸) นอกจากนี้ยังพบว่าการติดผักของชงโคง้ำแต่ละพันธุ์แตกต่างกันอีกด้วย โดย *B. pottsii var. subsessilis* มีการติดผักมากที่สุดเกินทุกๆ ชุดออก ดังนั้นจึงอาจพบผักของ *B. pottsii var. subsessilis* ถึง 10 - 20 ผักต่อต้น ซึ่งส่งผลให้ชงโคง้ำพันธุ์นี้มีการกระจายพันธุ์ได้กว้างขวางกว่าชงโคง้ำพันธุ์อื่น ส่วน *B. pottsii var. mollissima* และ *B. pottsii var. velutina* นั้นมีการติดผักค่อนข้างน้อย ในแต่ละต้นอาจพบผักเพียง 3 - 5 ผักเท่านั้น ในขณะที่ *B. pottsii var. pottsii* นั้นแทบจะไม่พบผักเลย ตลอดช่วงเวลาของการสำรวจนาน 3 ปี สามารถเก็บผักของชงโคง้ำพันธุ์นี้จากทุกประชารณ์ในประเทศไทยเพียง 2 ผักเท่านั้น ซึ่งสอดคล้องกับรายงานของ Backer ที่ไม่เคยพบผักชงโคง้ำพันธุ์นี้ในชวาเลยเช่นกัน (อ้างถึงใน de Wit, 1956) จากการศึกษาพบว่าผักของ *B. pottsii var. pottsii* ไม่มีสันตามแนวยาวซึ่งขัดแย้งกับรายงานของ Larsen, Larsen และ Vidal ที่พบว่าผักของชงโคง้ำพันธุ์นี้มีสันหนาตามแนวยาวด้านบนผัก (Larsen, Larsen และ Vidal, 1984) ทั้งนี้อาจเกิดจากความผิดพลาดของการเก็บตัวอย่างในอดีตก็เป็นได้ สำหรับเมล็ดของชงโคง้ำนั้นพบว่ามีรูปร่างลักษณะคล้ายกันทั้ง 4 พันธุ์ (แผนภาพที่ 4.12: ❶, ❷, ❸ และ ❹) แต่เมื่อนำมาศึกษาลักษณะผิวเมล็ดด้วยกล้องจุลทรรศน์อิเลคตรอน ก็พบว่าผิวเมล็ดของ *B. pottsii var. pottsii* มีรูพรุนขนาดประมาณ 2-6 ไมครอน คล้ายกับผิวเมล็ดของ *B. pottsii var. subsessilis* ในขณะที่ผิวเมล็ดของ *B. pottsii var. mollissima* กับ *B. pottsii var. velutina* ก็มีรูพรุนเช่นกันแต่มีขนาดเล็กกว่าประมาณ 2 - 4 ไมครอน (แผนภาพที่ 4.12 : ❶, ❷, ❸ และ ❹)

เมื่อพิจารณาถึงระยะเวลาอกรดออกพบว่าชงโคง้ำทั้ง 4 พันธุ์ออกดอกในช่วงเวลาใกล้เคียงกัน โดย *B. pottsii var. subsessilis* จะออกดอกก่อนดังแต่เดือนกันยายน (de Wit, 1956) ในขณะที่ชงโคง้ำพันธุ์อื่นๆ จะออกดอกติดหัวก้าวคือเริ่มออกประมาณเดือนตุลาคมหรือพฤษจิกายนจนถึงเดือนเมษายน แต่อย่างไรก็ตามพบว่าช่วงเวลาติดผักของชงโคง้ำทุกพันธุ์ก็อยู่ในช่วงใกล้เคียงกันคือเดือนกุมภาพันธ์เมษายน แม้ว่าชงโคง้ำจะมีทรงพุ่มที่ระเกะระกะแต่ก็มีดอกที่สวยงามสะดุกดتا จึงมีการนำชงโคง้ำมาตกแต่งเป็นไม้ประดับในสวน (de Wit, 1956) แต่ก็ไม่เป็นที่นิยมนัก เพราะมีกลิ่นไม่ค่อยหอมและกลิ่นดอกร่วงง่าย นอกจากนี้ยังพบว่ามีการนำไปปลูกของชงโคง้ำมาใช้เป็นเชือกสำหรับผูกมัดสิ่งของอีกด้วย (de Wit, 1956)

เมื่อพิจารณาถึงการกระจายพันธุ์พบว่า *B. pottsii* var. *subsessilis* มีการกระจายพันธุ์อย่างกว้างขวางทั่วภาคตะวันออกและภาคใต้ของไทยและยังพบในแทนประเทศไทยรวมทั้งประเทศมาเลเซีย (de Wit, 1956 ; Larsen และ Larsen, 1973) ส่วน *B. pottsii* var. *pottsii* นั้นแม้จะมีการกระจายพันธุ์จำกัดเฉพาะภาคใต้ของไทย แต่ก็มีการกระจายพันธุ์กว้างขวางในด้านประเทศไทยเช่นกันกล่าวคือพบตั้งแต่ทางตอนใต้ของประเทศไทยไปทางมหาสมุทรใต้รวมทั้งเกาะสุมาตรา เกาะบอร์เนียว และเกาะชวาอีกด้วย (Larsen และ Larsen, 1973) รวมทั้งเกาะสุมาตรา เกาะบอร์เนียว และพม่า เท่านั้น (Larsen, Larsen และ Vidal, 1984)

จะเห็นได้ว่าเมื่อพิจารณาลักษณะสัณฐานวิทยาทั้งหมดของกิง ใบและดอกซึ่งโคง้ำตั้ง 4 พันธุ์แล้ว *B. pottsii* var. *subsessilis* มีลักษณะหลายประการที่แตกต่างจากซึ่งโคง้ำตั้งอื่นๆอย่างเด่นชัด ในขณะที่ *B. pottsii* var. *mollissima* กับ *B. pottsii* var. *velutina* ก็มีลักษณะต่างๆหลายประการคล้ายกันมากแสดงถึงความสัมพันธ์ทางพันธุกรรมที่ใกล้เคียงกันของซึ่งโคง้ำตั้งสองพันธุ์นี้ ในขณะที่ *B. pottsii* var. *pottsii* นั้นมีลักษณะหลายประการที่คล้ายกับ *B. pottsii* var. *subsessilis* และ *B. pottsii* var. *mollissima* กับ *B. pottsii* var. *velutina* จึงเป็นเสมือนตัวบ่งชี้ถึงความแปรผันของการแสดงออกของลักษณะทางพันธุกรรมซึ่งบอกให้ทราบถึงความสัมพันธ์ของซึ่งโคง้ำตั้งแต่ละพันธุ์ได้ดังนั้นเมื่อพิจารณาจากลักษณะสัณฐานวิทยาของกิง ใบ และดอก น่าจะสามารถจัดจำแนกซึ่งโคง้ำตั้งในประเทศไทยออกเป็น 3 พันธุ์ ดังนี้

### รูปวิธานจำแนกพันธุ์ซึ่งโคง้ำตั้งในประเทศไทย โดยใช้ลักษณะสัณฐานวิทยา

- 1 กลีบดอกสีขาว..... var. *subsessilis*
- 1' กลีบดอกสีแดง ขอบสีขาว..... 2
- 2 กลีบดอกรูปใบหอก ก้านกลีบดอกสั้นกว่ากลีบดอก
  - ยอดเกสรเพศเมียเด่นชัด ดอกคุณมคล้ายทรงกระบอกปลายเรียวแหลม  
ฝักไม่มีสัน..... var. *pottsii*
  - 2' กลีบดอกรูปช้อน ก้านกลีบดอกยาวหรือเท่ากับกลีบดอก
    - ยอดเกสรเพศเมียไม่เด่นชัด ดอกคุณมคล้ายทรงกระบอกปลายเรียวแหลม  
หรือคล้ายทรงของปลายมีสัน 5 สัน ฝักมีสันเด่นชัด..... var. *velutina*  
(var. *mollissima*)

## 5.2 การศึกษาลักษณะสัณฐานวิทยาของเรณูชงโคงคำ

จากการศึกษาเปรียบเทียบลักษณะสัณฐานวิทยาของเรณูชงโคงคำ 4 พันธุ์ ซึ่งเก็บรวบรวมจากภาคตะวันออกและภาคใต้ของประเทศไทย (ตารางที่ 3.1) รวมทั้งสิ้น 450 ตัวอย่าง พบว่าเรณูชงโคงคำทุกพันธุ์อยู่รวมกันเป็นกลุ่ม โดยแต่ละกลุ่มประกอบด้วย 4 เรณู เกาะเรียงตัวเป็นรูปพีระมิด (tetrahedral tetrad) ซึ่งเป็นรูปแบบที่พบในพืชสกุล *Bauhinia* เพียง 2 ชนิดเท่านั้นคือ *B. pottsii* และ *B. phoenicea* (Schmitz, 1973) จากพืชสกุล *Bauhinia* ซึ่งมีมากกว่า 200 ชนิดทั่วโลก (Larsen และ Larsen, 1974; Ferguson และ Banks, 1994)

อย่างไรก็ตามพบว่าเรณูชงโคงคำแต่ละพันธุ์มีความแปรผันทั้งรูปร่าง ลักษณะ ขนาดและความยาวของซ่องเปิดอย่างเด่นชัด (Ferguson และ Banks, 1994) กล่าว คือเรณูชง *B. pottsii* var. *subsessilis* มีรูปร่างกลมแบน ซึ่งแตกต่างอย่างเด่นชัดกับเรณูชง ชงโคงคำพันธุ์อื่นๆ คือเรณูชง *B. pottsii* var. *pottsii* มีรูปร่างค่อนข้างกลมรีหรือคล้ายรูปไข่ ในขณะที่เรณูชง *B. pottsii* var. *mollissima* กับ *B. pottsii* var. *velutina* ต่างก็มีรูปร่างคล้ายไข่ ซึ่งมีส่วนปลายค่อนข้างรีเช่นเดียวกัน (แผนภาพที่ 4.13 : ①, ③, ④ และ ⑦)

นอกจากนี้ยังพบว่าความยาวของเรณูในแนว polar axis ของ *B. pottsii* var. *subsessilis* มีค่าน้อยกว่าความกว้างเรณูในแนว equatorial axis ทำให้อัตราส่วน P/E มีค่าเพียง 0.60 - 0.95 ในขณะที่เรณูชงชงโคงคำพันธุ์อื่นๆ มีความยาวเรณูในแนว polar axis มากกว่าความกว้างเรณูในแนว equatorial axis โดยพบว่าอัตราส่วน P/E ของ *B. pottsii* var. *pottsii*, *B. pottsii* var. *mollissima* และ *B. pottsii* var. *velutina* นั้นมีค่าใกล้เคียงกันมากคือเท่ากับ 0.86 - 1.25, 0.85 - 1.20 และ 0.80 - 1.20 ตามลำดับ

เมื่อพิจารณาลักษณะซ่องเปิดเรณูชงโคงคำทั้ง 4 พันธุ์ พบว่าชงโคงคำ ทั้ง 4 พันธุ์มีขั้วแบบ isopolar และมีซ่องเปิดแบบ 3 - colporate เรียงอยู่ในแนวศูนย์สูตรเช่นเดียวกัน (Larsen, 1975) เพียงแต่ซ่องเปิดเรณูชง *B. pottsii* var. *subsessilis* สั้นมาก ประมาณ 1/5 - 1/3 ของความยาวเรณูแนว polar axis เท่านั้น จึงทำให้มีพื้นที่บริเวณขั้วน้ำดี ใหญ่มาก (Ferguson และ Banks, 1994) ในขณะที่ *B. pottsii* var. *pottsii* มีซ่องเปิดค่อนข้างยาวประมาณ 1/3 - 1/2 ของความยาวเรณูแนว polar axis ทำให้มีพื้นที่บริเวณขั้วน้ำดีขนาดปานกลาง ส่วน *B. pottsii* var. *mollissima* และ *B. pottsii* var. *velutina* นั้นมีซ่องเปิดยาวมาก ประมาณ 3/4 - 4/5 ของความยาวเรณูแนว polar axis ดังนั้นพื้นที่บริเวณขั้วน้ำของชงโคงคำ 2 พันธุ์นี้จึงมีขนาดเล็กที่สุด

นอกจากนี้ยังพบว่าบริเวณฐานของเรณูแต่ละเรณูที่เชื่อมติดกันนั้นมีลักษณะเป็นคุ่มบุบขนาดใหญ่เด่นชัดจำนวน 2 ตุ่ม ใน *B. pottsii* var. *pottsii* และอาจพบมากถึง 2 - 4 ตุ่มใน *B. pottsii* var. *mollissima* กับ *B. pottsii* var. *velutina* แต่ไม่พบใน *B. pottsii* var. *subsessilis* เลย (Ferguson และ Banks, 1994)

สำหรับลวดลายผิวของเรณูซึ่งโคง้ำหน้าพนวจว่ามีลักษณะเป็นรูแบบ perforate เมื่อcionกันทั้ง 4 พันธุ์ (Guinet และ Ferguson, 1989) และมี granule ขนาดเล็กๆ จำนวนมากกระจายทั่วไปบริเวณผิวและซ่องเปิดของเรณู (แผนภาพที่ 4.13:②,④,⑥ และ ⑧)

ดังนั้นเมื่อพิจารณาลักษณะรูปร่างของเรณู ลักษณะซ่องเปิด พื้นที่บริเวณข้าว อัตราส่วน P/E รวมทั้งลักษณะ verrucae ก็จะเห็นได้ว่า *B. pottsii* var. *mollissima* กับ *B. pottsii* var. *velutina* น่าจะมีความสัมพันธ์ใกล้ชิดกันมากที่สุด ในขณะที่ *B. pottsii* var. *subsessilis* มีลักษณะที่แตกต่างไปจากกลุ่มมากที่สุด โดยมี *B. pottsii* var. *pottsii* เป็นตัวเชื่อมโยงความแปรผันของลักษณะเรณูของชงโคง้ำหน้าทั้งหมดซึ่งสามารถนำมาใช้ในการจัดทำรูปวิธานจำแนกพันธุ์ซึ่งโคง้ำหน้าในประเทศไทยได้ดังนี้

#### รูปวิธานจำแนกพันธุ์ซึ่งโคง้ำหน้าในประเทศไทยโดยใช้ลักษณะสัณฐานวิทยาของเรณู

1. เรณูมีรูปกลมแบน มีช่องเปิดสั้นมาก พื้นที่บริเวณข้าวมีขนาดใหญ่.....var.*subsessilis*
- 1' เรณูมีรูปกลมรีคล้ายไข่ มีช่องเปิดยาว.....2
2. ช่องเปิดยาวประมาณ 1/3 - 1/2 ของความยาวเรณูแนว polar axis  
มีพื้นที่บริเวณข้าวปานกลาง มี 2 verrucae .....var. *pottsii*
- 2' ช่องเปิดยาวประมาณ 3/5 - 4/5 ของความยาวเรณูแนว polar axis  
มีพื้นที่บริเวณข้าวขนาดเล็ก มี 2-4 verrucae .....var. *velutina*  
(var. *mollissima*)

#### 5.3 การศึกษาแบบแผนไอกโซไซเมร์ของชงโคง้ำ

จากการศึกษาแบบแผนไอกโซไซเมร์ของชงโคง้ำรวมทั้งสิ้น 20 ระบบ (ตารางที่ 3.4) พบลักษณะแบบแผนไอกโซไซเมร์ที่มีลักษณะเป็น polymorphism ในชงโคง้ำพันธุ์ต่างๆรวมทั้งสิ้น 6 ระบบคือ ACP, EST, GOT, MDH, PER และ SKDH โดยไอกโซไซเมร์แต่ละระบบต่างกันรูปแบบเฉพาะตัวในชงโคง้ำแต่ละพันธุ์แตกต่างกัน ทั้งนี้ เพราะรูปแบบของไอกโซ

ไซม์มีความเกี่ยวข้องกับลักษณะพันธุกรรมของพืชกล่าวคือการแสดงออกของยีนหรืออัลลิล (allele) ที่แตกต่างกันจะทำให้อิโซไซม์มีรูปแบบแตกต่างกันในพืชแต่ละชนิดหรือแต่ละพันธุ์ (Conlelin และ Smith, 1971)

เมื่อเปรียบเทียบแบบแผนไอกไซม์ ACP, GOT, MDH และ SKDH ของชงโคงคำทั้ง 4 พันธุ์ (แผนภาพที่ 4.14, 4.16, 4.17 และ 4.19) พบว่า *B. pottsii* var. *pottsii* กับ *B. pottsii* var. *subsessilis* และ *B. pottsii* var. *mollissima* กับ *B. pottsii* var. *velutina* ต่างก็มีรูปแบบไอกไซม์ทั้ง 4 ระบบเหมือนกัน แสดงว่า *B. pottsii* var. *pottsii* น่าจะมีลักษณะทางพันธุกรรมบางประการใกล้ชิดกับ *B. pottsii* var. *subsessilis* เช่นเดียวกับ *B. pottsii* var. *mollissima* ก็น่าจะมีความสัมพันธ์ใกล้ชิดกับ *B. pottsii* var. *velutina* ทั้งนี้ เพราะความเหมือนกันของแบบไอกไซม์สามารถนำมาใช้ประมาณความสัมพันธ์ทางพันธุกรรมของพืชได้ (Johnson และ Thein, 1970)

สาเหตุของความคล้ายคลึงกันของรูปแบบไอกไซม์ของชงโคงคำตั้งกล่าวนี้ นอกจากเกี่ยวข้องกับพันธุกรรมแล้ว อาจเกี่ยวข้องกับสภาพแวดล้อมก็ได้ ทั้งนี้ เพราะ *B. pottsii* var. *pottsii* กับ *B. pottsii* var. *subsessilis* มีการเจริญอยู่ในแหล่งที่อยู่คล้ายกันเช่นเดียวกับ *B. pottsii* var. *mollissima* ก็มีแหล่งที่อยู่คล้ายกับ *B. pottsii* var. *velutina* เช่นเดียวกัน ทั้งนี้ เนื่องจากพบว่ารูปแบบไอกไซม์ของพืชบางชนิดเปลี่ยนแปลงได้ตามสภาพแวดล้อมเช่น แอปเปิล เป็นต้น (Bournival และ Karban, 1987) แต่อย่างไรก็ตามพบว่าไอกไซม์ของพืชหลายชนิดไม่เปลี่ยนแปลงตามสภาพแวดล้อมเช่น อ้อย และ ถั่วเหลือง (Ruiz และ Maribona, 1983 ; Wagner และ McDonald, 1982)

เมื่อพิจารณาแบบไอกไซม์แต่ละระบบที่พบในชงโคงคำแต่ละพันธุ์จะเห็นว่า อาจมีความเข้มของแคนส์แตกต่างกัน (ตารางที่ 4.4) เช่น แคนไอกไซม์ ACP และ GOT ของ *B. pottsii* var. *pottsii* และ *B. pottsii* var. *subsessilis* มีความเข้มของแคนส์มากกว่า *B. pottsii* var. *mollissima* และ *B. pottsii* var. *velutina* ในขณะที่แคนไอกไซม์ MDH ของ *B. pottsii* var. *mollissima* และ *B. pottsii* var. *velutina* มีความเข้มมากกว่า *B. pottsii* var. *pottsii* และ *B. pottsii* var. *subsessilis* สำหรับแคนไอกไซม์ SKDH นั้นพบว่าแคนไอกไซม์ของ *B. pottsii* var. *pottsii* มีความเข้มมากกว่าชงโคงคำพันธุ์อื่นๆ ทั้งนี้อาจเนื่องมาจากการแสดงออกของยีนแตกต่างกันส่งผลให้อิโซไซม์มีโครงสร้างปริมาณและกิจกรรมแตกต่างกัน (Conlelin และ Smith ; 1971) โดยแคนส์ที่มีความเข้มมากแสดงว่ามีปริมาณไอกไซม์และกิจกรรมของไอกไซม์มากกว่าแคนส์ที่มีความเข้มน้อย นอกจากนี้ยังพบว่าสารบางชนิดที่มีอยู่ในสารสกัดหรือใบพืช เช่น แทนนิน (tannin) หรือฟีโนอล (phenol) อาจทำให้เห็นแคนส์เป็นปืนหรือเป็นแคนหนาๆ ได้ ทั้งนี้ เพราะสารเหล่านี้จะถูกออกซิได้โดยเอนไซม์ phenol oxidase ได้สาร

กับ *B. pottsii* var. *velutina* นั้นเหมือนกันมากและมีความแตกต่างจากชงโคล์พันธุ์อื่น จึงแยกเป็นกลุ่มออกจากอย่างเด่นชัด ในขณะที่รูปร่างลักษณะในของ *B. pottsii* var. *pottsii* กับ *B. pottsii* var. *subsessilis* นั้นมีความแตกต่างกันไม่มากนัก จึงมีการแยกกลุ่มออกจากกันไม่เด่นชัดนัก สำหรับดั้วยาเปรนแนปจัยที่ 2 ซึ่งเป็นข้อมูลเชิงปริมาณที่บอกขนาดของใบและรอยเว้าปลายใบของชงโคล์ตั้ง 4 พันธุ์นั้นมีความแตกต่างยังไม่มากพอที่จะจำแนกชงโคล์ตั้ง 4 พันธุ์ออกจากกันได้ ดังนั้นผลจากการวิเคราะห์ปัจจัยลักษณะในจึงบอกได้ว่าขนาดของใบชงโคล์ตั้งมีความแปรผันระหว่างกลุ่มไม่มากพอที่จะแยกชงโคล์พันธุ์ต่างๆออกจากกันได้ แต่รูปร่างลักษณะในนั้นมีความแปรผันระหว่างประชากรเพียงพอที่จะใช้จำแนกประชากรชงโคล์ต้าออกจากกันได้

เมื่อนำข้อมูลลักษณะสัณฐานวิทยาของใบมาวิเคราะห์จัดกลุ่มก็ให้ผลสอดคล้องกับการวิเคราะห์ปัจจัย กล่าวคือ *B. pottsii* var. *mollissima* กับ *B. pottsii* var. *velutina* มีการกระจายปะปนอยู่ในกลุ่มเดียวกัน ไม่สามารถแยกออกจากกันได้อย่างเด่นชัด แสดงว่าประชากรมีความสัมพันธ์ระหว่างกลุ่มมากหรือมีความแปรผันระหว่างกลุ่มน้อย จึงอยู่รวมเป็นกลุ่มเดียวกัน (Small, Compton และ Brookes, 1981) ส่วน *B. pottsii* var. *pottsii* และ *B. pottsii* var. *subsessilis* นั้นมีการจัดกลุ่มแยกออกจากไป แม้จะไม่มีการกระจายปะปนกันมากนักแต่ก็แยกออกจากกันไม่เด่นชัดนัก (แผนภาพที่ 4.40) แสดงว่าลักษณะในของชงโคล์ตั้ง 2 พันธุ์นี้ยังมีความแปรผันไม่มากพอที่จะแยกออกเป็นคนละกลุ่มได้อย่างเด่นชัด

เมื่อนำข้อมูลลักษณะสัณฐานวิทยาของใบมาวิเคราะห์จัดจำแนกก็พบว่ามีเพียงสมการที่ 1 เท่านั้นที่มีค่าไオเกนมากกว่า 1 มีค่าสหสัมพันธ์ค่อนโนนิคอลยกกำลังสองมากกว่า 0.5 และมีค่าวิลค์แอลดาน้อยกว่า 0.5 (ตาราง 4.9) ซึ่งถือว่าเป็นสมการที่ดีเหมาะสมสำหรับนำมาใช้ในการจัดจำแนก (Norusis, 1985) โดยดั้วยาเปรที่มีความสำคัญในการจัดจำแนกของสมการที่ 1 คือ LBF (ตารางที่ 4.11) ซึ่งพบว่าประชากรชงโคล์ตั้ง 4 พันธุ์มีการกระจายแยกออกจากกันไม่เด่นชัดนัก (แผนภาพที่ 4.48 : ①) และเมื่อพิจารณาเบอร์เซ็นต์การทำนายกลุ่มประชากรจากสมการที่ได้จากการวิเคราะห์จัดจำแนกก็พบว่าเท่ากับ 47.80 เปอร์เซ็นต์ (ตารางที่ 4.12) ซึ่งเป็นค่าที่ต่ำกว่าค่าต่ำสุดที่สามารถยอมรับได้คือ 75 เปอร์เซ็นต์ (Baumt และ Bailey, 1984 ; Chemicleski และ Chinnappa, 1988) ดังนั้nlักษณะสัณฐานวิทยาของใบชงโคล์ต้าเพียงอย่างเดียวจึงไม่เหมาะสมที่จะนำมาใช้ในการจัดจำแนกประชากรชงโคล์ต้า

#### 5.4.2 การศึกษาลักษณะสัณฐานวิทยาของดอกชงโคงคำ

การศึกษาลักษณะสัณฐานวิทยาของดอกชงโคงคำรวมทั้งสิ้น 41 ลักษณะ (ตารางที่ 3.5 และตารางที่ 3.6) พบว่าลักษณะเหล่านี้มีความแปรผันทั้งภายในประชากรและระหว่างประชากร แต่อย่างไรก็ตามเมื่อพิจารณาจากค่าต่ำสุด ค่าเฉลี่ย ค่าสูงสุด และค่าเบี่ยงเบนมาตรฐานของลักษณะดอกชงเป็นข้อมูลต่อเนื่อง (ตารางที่ 4.5) จะเห็นว่าลักษณะดอกที่มีความแตกต่างกันอย่างเด่นชัดของชงโคงคำแต่ละพันธุ์คือความยาวก้านกลีบดอก (LPCL 1-5) ของ *B. pottsii* var. *mollissima* กับ *B. pottsii* var. *velutina* มีความยาวใกล้เคียงกันมากและมีความยาวมากกว่าก้านกลีบดอกของ *B. pottsii* var. *pottsii* และ *B. pottsii* var. *subsessilis* อย่างเด่นชัด ส่วนจำนวนดอกดูมต่อ 1 ช่อดอกพบว่า *B. pottsii* var. *subsessilis* มีจำนวนมากที่สุดประมาณ 23 - 63 ดอกต่อ 1 ช่อดอก รองลงมาคือ *B. pottsii* var. *pottsii* มีประมาณ 4 - 35 ดอกต่อ 1 ช่อดอก สำหรับ *B. pottsii* var. *velutina* กับ *B. pottsii* var. *mollissima* นั้นมีจำนวนดอกดูมต่อ 1 ช่อดอกใกล้เคียงกันประมาณ 2-17 ดอกต่อ 1 ช่อดอก ซึ่งถือว่ามีจำนวนน้อยที่สุดในชงโคงคำทั้ง 4 พันธุ์

เมื่อนำลักษณะสัณฐานวิทยาของดอกทั้ง 41 ลักษณะมาวิเคราะห์ปัจจัยพนวณมีแกนปัจจัยที่มีค่าไオเกนมากกว่า 1 จำนวน 5 แกน สามารถอธิบายความแปรปรวนของข้อมูลได้ถึง 86.105 เปอร์เซ็นต์ (ตารางที่ 4.13) แสดงว่าแกนปัจจัยทั้ง 5 แกนเป็นตัวแทนของตัวแปรทั้งหมดได้ (สุชาติ ประสิทธิรัฐสินธุ์ และ บรรณิการ สุขเกษม, 2533) นอก จากนี้ค่า factor loading และค่า communality ของตัวแปรทุกด้วยมีค่ามากกว่า 0.5 (ตารางที่ 4.14 และตารางที่ 4.15) แสดงให้เห็นว่าทุกแกนปัจจัยมีความหมายเหมือนกันที่จะใช้ในการอธิบายความสัมพันธ์ระหว่างตัวแปรของแต่ละประชากรได้ดี แต่เมื่อนำแกนปัจจัยทั้ง 5 แกนมาแสดงความสัมพันธ์ในรูปกราฟ (แผนภาพที่ 4.20 : ② - ③ และแผนภาพที่ 4.21: ① - ④) ก็พบว่าลักษณะบนแกนปัจจัยที่ 1 และ 2 เท่านั้นที่สามารถจำแนกกลุ่มประชากรชงโคงคำได้ดี ส่วนแกนปัจจัยอื่นๆ นั้นไม่สามารถจำแนกประชากรชงโคงคำออกได้อย่างเด่นชัด ดังนั้nlักษณะดอกที่เหมาะสมในการจำแนกชงโคงคำก็คือ ลักษณะตัวแปรบนแกนปัจจัยที่ 1 และ 2 นั้นเอง ซึ่งแสดงให้เห็นว่า *B. pottsii* var. *mollissima* กับ *B. pottsii* var. *velutina* มีลักษณะ LPCL 1-5, RBR, RAF, NBU, LPE 4-5, SPE, SSTI, HOV, RBU, CFI, CAN, CBU, CSTI และ CSTY คล้ายคลึงกันมากจึงถูกจัดให้อยู่กลุ่มเดียวกัน แต่มีความแตกต่างจาก *B. pottsii* var. *pottsii* และ *B. pottsii* var. *subsessilis* ซึ่งมีลักษณะดังกล่าวที่คล้ายคลึงกันเช่นกัน อย่างเด่นชัด จึงถูกจัดแยกกลุ่มออกจาก *LAN 1-3, LRE, LGY, LBU, LCA, LOV และ CPE* ของ *B. pottsii* var. *pottsii* กับ *B. pottsii* var. *subsessilis* ก็มีความแตกต่างกันด้วย จึงทำให้ประชากรชงโคงคำทั้ง 4 พันธุ์ถูกจัดออกเป็น 3 กลุ่ม ดังแผนภาพที่

4.20 : ② ส่วนลักษณะ WPE 1-5, LPE 1-3, LFI 1-3, LSTY และ WCA ของชงโคง้ำทั้ง 4 พันธุ์ มีความแตกต่างกันไม่มากนักหรืออาจกล่าวได้ว่ามีความแปรผันระหว่างประชากรน้อยจึงไม่สามารถจำแนกประชากรชงโคง้ำแต่ละพันธุ์ออกจากกันได้อย่างเด่นชัด

เมื่อนำข้อมูลลักษณะดอกมาวิเคราะห์การจัดกลุ่มพบว่าได้ผลสอดคล้องกับการวิเคราะห์ปัจจัย กล่าวคือชงโคง้ำทั้ง 4 พันธุ์ ถูกจัดเป็น 3 กลุ่มคือกลุ่มที่ 1 *B. pottsii* var. *pottsii* ซึ่งมีความสัมพันธ์ใกล้ชิดกับ กลุ่มที่ 2 *B. pottsii* var. *subsessilis* มากกว่า กลุ่มที่ 3 คือ *B. pottsii* var. *mollissima* กับ *B. pottsii* var. *velutina* ซึ่งแยกออกจากอย่างเด่นชัด(แผนภาพที่ 4.41) แสดงให้เห็นว่าลักษณะสัณฐานวิทยาของดอกชงโคง้ำสามารถที่ใช้ในการจัดจำแนกประชากรชงโคง้ำได้ โดยพบว่าลักษณะดอกของ *B. pottsii* var. *mollissima* กับ *B. pottsii* var. *velutina* มีความแปรผันระหว่างประชากรน้อยมากหรือมีความสัมพันธ์ใกล้ชิดกันมากจึงถูกจัดเป็นกลุ่มเดียวกัน (Small, Crompton และ Brookes, 1981) ในขณะที่ลักษณะสัณฐานวิทยาของดอก *B. pottsii* var. *pottsii* กับ *B. pottsii* var. *subsessilis* มีความแปรผันระหว่างประชากรมากเพียงพอจึงถูกจัดแยกออกเป็นคนละกลุ่มอย่างเด่นชัด

เมื่อนำข้อมูลลักษณะสัณฐานวิทยาของดอกมาวิเคราะห์จัดจำแนกพบว่าได้สมการที่มีค่าไオเกนมากกว่า 1 จำนวน 3 สมการ สามารถอธิบายความผันแปรสะสมได้ถึง 99.50 เปอร์เซ็นต์ และมีค่าสหสัมพันธ์ค่าโนนิคอลอยกกำลังสองมากกว่า 0.5 นอกจากนี้ยังมีค่าวิลค์แลมดาต่ำกว่า 0.5 อีกด้วย (ตารางที่ 4.16) ดังนั้นสมการทั้ง 3 นี้จึงเป็นสมการที่ดีเหมาะสมในการจัดจำแนก (Norusis, 1985) โดยตัวแปรที่มีความสำคัญในการจัดจำแนกมีเพียง 11 ลักษณะคือ RAF, WCA, LAN 1, LGY, LPCL 3 และ 5, RBR, LPE 2 และ 5, LCA และ LFI 2 (ตารางที่ 4.18) ซึ่งพบว่าสามารถจำแนกชงโคง้ำออกเป็น 3 กลุ่มอย่างเด่นชัดสอดคล้องกับการวิเคราะห์ปัจจัยและการวิเคราะห์จัดกลุ่มกล่าวคือ กลุ่มที่ 1 คือ *B. pottsii* var. *subsessilis* กลุ่มที่ 2 คือ *B. pottsii* var. *pottsii* และกลุ่มที่ 3 คือ *B. pottsii* var. *mollissima* กับ *B. pottsii* var. *velutina* (แผนภาพที่ 4.48 : ② ) ซึ่งมีความแปรผันของลักษณะสัณฐานวิทยาของดอกระหว่างประชากรน้อยมากจึงไม่สามารถแยกออกจากกันได้ (Small, Crompton และ Brookes, 1981) และเมื่อพิจารณาเปอร์เซ็นต์การทำนายกลุ่มประชากรจากสมการที่ได้จากการวิเคราะห์จัดจำแนกพบว่ามีค่าเท่ากับ 75.60 เปอร์เซ็นต์ (ตารางที่ 4.19) ซึ่งใกล้เคียงกับค่าต่ำสุดที่สามารถยอมรับได้คือ 75 เปอร์เซ็นต์ขึ้นไป (Baum และ Bailey, 1984 ; Chemiclewski และ Chinnappa, 1988) ดังนั้nlักษณะสัณฐานวิทยาของดอกจึงเป็นลักษณะที่เหมาะสมที่จะนำมาใช้ในการจัดจำแนกประชากรชงโคง้ำได้ (Larsen, Larsen และ Vidal, 1984)

### 5.4.3 การศึกษาลักษณะสัณฐานวิทยาของเรณูชงโคล์ด

จากการศึกษาลักษณะสัณฐานวิทยาของเรณูชงโคล์ดรวมทั้งสิ้น 11 ลักษณะ (ตารางที่ 3.5 และตารางที่ 3.6) พบว่ามีลักษณะความแปรผันของลักษณะต่างๆ หลายประการ ทั้งภายในประชากรและระหว่างประชากร เมื่อพิจารณาจากค่าต่ำสุด ค่าเฉลี่ย ค่าสูงสุดและค่าเบี่ยงเบนมาตรฐานของลักษณะเหล่านี้ (ตารางที่ 4.5) พบว่าลักษณะสัณฐานวิทยาของเรณูชงโคล์ดที่มีความแตกต่างกันอย่างเด่นชัด ได้แก่ รูปร่างลักษณะและขนาดของเรณุ กล่าวคือเรณุของ *B. pottsii var. subsessilis* ซึ่งมีรูปกลมแบนจะมีเส้นผ่านศูนย์กลางแนว polar axis สั้นกว่าแนว equatorial axis ในขณะที่เรณุของ *B. pottsii var. pottsii*, *B. pottsii var. mollissima* และ *B. pottsii var. velutina* นั้นมีรูปกลมรีคล้ายไข่และมีเส้นผ่านศูนย์กลางแนว polar axis ยาวกว่าแนว equatorial axis นอกจากนี้ยังพบว่าซ่องเปิดเรณุของ *B. pottsii var. mollissima*, *B. pottsii var. velutina* และ *B. pottsii var. pottsii* มีความยาวมากกว่าซ่องเปิดเรณุของ *B. pottsii var. subsessilis* อย่างเด่นชัด ส่งผลให้ *B. pottsii var. subsessilis* มีพื้นที่บริเวณข้างมากกว่าชงโคล์ดพันธุ์อื่นๆ ทั้งหมด (แผนภาพที่ 4.13 : ①, ③, ④ และ ⑦)

เมื่อนำลักษณะสัณฐานวิทยาของเรณุทั้ง 11 ลักษณะมาวิเคราะห์ปัจจัย พบว่ามีแgn ปัจจัยที่มีค่าไถ่ไว้มากกว่า 1 จำนวน 2 แgn สามารถอธิบายความแปรปรวนของข้อมูลได้ถึง 86.389 เปอร์เซ็นต์ (ตารางที่ 4.20) แสดงว่าแgn ปัจจัยทั้ง 2 แgn เป็นตัวแทนของตัวแปรทั้งหมดได้ (สุชาติ ประสิทธิ์รัตน์สินธุ และบรรณิการ สุขุม, 2533) ซึ่งเมื่อหมุนแgn ปัจจัยแล้วทำให้ค่า factor loading ของทุกดัชน์แปรเมื่อค่า 0.5 (ตารางที่ 4.22) แสดงให้เห็นว่าตัวแปรในทุกแgn ปัจจัยมีความสัมพันธ์กันเหมาะสมที่จะนำไปใช้ในการอธิบายความสัมพันธ์ของประชากรได้ ดังแผนภาพที่ 4.21 : ① จะเห็นได้ว่า *B. pottsii var. pottsii*, *B. pottsii var. mollissima* และ *B. pottsii var. velutina* มีลักษณะ DAP, PAP, TAP, PFI, LAP NVR, DEA, WAP และ SPO คล้ายคลึงกันมากหรือมีความแปรผันระหว่างประชากรน้อยมากจึงอยู่รวมกันเป็นกลุ่มเดียวหรือไม่สามารถแยกประชากรกลุ่มนั้นกับกลุ่มใดออกมายได้อย่างชัดเจน (Small, Crompton และ Brookes, 1981) ในขณะ *B. pottsii var. subsessilis* มีลักษณะเฉพาะตัวที่แตกต่างออกไปจึงถูกจัดออกเป็นอีกกลุ่มนึงอย่างเดียว

ผลการวิเคราะห์จัดกลุ่มเมื่อใช้ข้อมูลจากลักษณะสัณฐานวิทยาของเรณุก็ให้ผลสอดคล้องกับการวิเคราะห์ปัจจัยเช่นเดียวกัน กล่าวคือเรณุของ *B. pottsii var. subsessilis* มีความแตกต่างจากเรณุของชงโคล์ดพันธุ์อื่นๆ อย่างเด่นชัด จึงถูกแยกออกเป็นกลุ่มนึงอย่างชัดเจน ในขณะที่ *B. pottsii var. mollissima*, *B. pottsii var. velutina* และ *B. pottsii var.*

*B. pottsii* นั้นมีเรณูที่คล้ายกัน จึงมีการกระจายปะปนกันในสามารถแยกออกจากกันได้อย่างเด่นชัด แสดงให้เห็นว่าเรณูของชงโคง่า 3 พันธุ์นี้มีความสัมพันธ์ใกล้ชิดกันมาก

เมื่อนำข้อมูลลักษณะสัณฐานวิทยาของเรณูมาวิเคราะห์จัดจำแนกพบว่ามีสมการที่มีค่าไオเกนมากกว่า 1 จำนวน 2 สมการ สามารถอธิบายความผันแปรระสมได้ 96.1 เปอร์เซ็นต์ มีค่าสาหรับสัมพันธ์ค่าโนนิคอลยกกำลังสองมากกว่า 0.5 และมีค่าวิลค์แอลมาต่ากว่า 0.5 (ตารางที่ 4.23) แสดงว่าสามารถจัดจำแนกทั้งสองสมการนี้มีความเหมะสมที่จะนำมาใช้ในการจัดจำแนกได้ดี (Norusis, 1985) โดยด้วยที่มีความสำคัญในการจัดจำแนกมีเพียง 8 ลักษณะคือ DAP, PFI, LAP, SPO, DPA, WAP, DEA และ NVR (ตารางที่ 4.25) ซึ่งพบว่าสามารถจัดจำแนกชงโคง่าออกเป็น 3 กลุ่ม อย่างเด่นชัด สอดคล้องกับการวิเคราะห์จัดกลุ่มกล่าวคือกลุ่ม *B. pottsii* var. *subsessilis* มีลักษณะเรณูแตกต่างจากชงโคง่าอื่นๆอย่างเด่นชัด ส่วนกลุ่ม *B. pottsii* var. *mollissima* และ *B. pottsii* var. *velutina* มีลักษณะเรณูคล้ายกันมาก จึงรวมเป็นกลุ่มเดียวกัน สำหรับ *B. pottsii* var. *pottsii* แม้จะแยกกลุ่มออกมาค่อนข้างเด่นชัด แต่ก็ยังมีบางส่วนที่กราดกระจายออกไปมีความคล้ายคลึงกันกับ *B. pottsii* var. *mollissima* และ *B. pottsii* var. *velutina* (แผนภาพที่ 4.48 : ③) แต่อย่างไรก็ตามเมื่อพิจารณาเปอร์เซ็นต์การทำงานกลุ่มประชากรจากสมการที่ได้จากการวิเคราะห์จัดจำแนกพบว่าเท่ากัน 68.90 เปอร์เซ็นต์ (ตารางที่ 4.26) ซึ่งมีค่าน้อยกว่าค่าต่ำสุดที่สามารถยอมรับได้คือ 75 เปอร์เซ็นต์ขึ้นไป (Baum และ Bailey, 1984; Chemiclewski และ Chinappa, 1988) แสดงให้เห็นว่าการใช้ลักษณะสัณฐานวิทยาของเรณูเพียงอย่างเดียวจังไม่เหมาะสมที่จะนำมาใช้ในการจัดจำแนกประชากรชงโคง่าได้เพียงพอ

#### 5.4.4 การศึกษาลักษณะสัณฐานวิทยาของดอกและเรณูของชงโคง่า

จากการศึกษาลักษณะสัณฐานวิทยาของดอกและเรณูของชงโคง่าซึ่งจัดเป็น reproductive character รวมทั้งสิ้น 52 ลักษณะ (ตารางที่ 3.5 และตารางที่ 3.6) พบว่าเมื่อนำมาวิเคราะห์ปัจจัย ได้แกนปัจจัยที่มีค่าไอเกนมากกว่า 1 จำนวน 6 แกน สามารถอธิบายความแปรปรวนของข้อมูลได้ 86.584 เปอร์เซ็นต์ (ตารางที่ 4.27) แสดงว่าแกนปัจจัยทั้ง 6 แกนเป็นดัชนีแทนของคุณภาพทั้งหมดได้ (สุชาติ ประสิทธิ์วัชสินธุ์และกรณีการ์ สุขเกษม, 2533) และสามารถอธิบายความแปรปรวนของข้อมูลได้มากกว่าการวิเคราะห์ปัจจัยโดยใช้ลักษณะดอกหรือลักษณะเรณูเพียงอย่างเดียว เมื่อพิจารณาค่า factor loading ภายหลังการหมุนแกนปัจจัยและค่า communality ของดัชนีทุกดัชนีพบว่ามีค่ามากกว่า 0.5 (ตารางที่ 4.28 และตารางที่ 4.29) แสดงว่าดัชนีเปรียบเท่ากับความสัมพันธ์เพียงพอที่จะนำไปใช้อธิบายความสัมพันธ์ระหว่างประชากรได้ เมื่อพิจารณาความสัมพันธ์ระหว่างแกน

ปัจจัย 1 - 6 (แผนภาพที่ 4.21:① - ③ , แผนภาพที่ 4.22 : ① - ③ และแผนภาพที่ 4.23:① - ③) จะเห็นว่าลักษณะที่เหมาะสมในการจำแนกประชากรชงโคง้ำค้อคือลักษณะของตัวแปรบนแกนปัจจัยที่ 1 ซึ่งประกอบด้วยลักษณะสัณฐานวิทยาของดอก (LPCL 1-5, LCA, LAN 1-3, NBU, LOV, LGY, LBU, LRE, RAF, HOV และ CPE ) และลักษณะสัณฐานวิทยาของเรณู (PAP, TAP, DAP, PFI, LAP, WAP, DEA และ NVR) ส่วนลักษณะของตัวแปรบนแกนปัจจัยที่ 2 ก็ประกอบด้วยลักษณะสัณฐานวิทยาของดอก (LPE 1-5, SPE, SSTI, RBR, CSTY, SCTI, CAN, CBU และ CFI) กับลักษณะสัณฐานวิทยาของเรณู (SPO) เช่นเดียวกัน ซึ่งลักษณะดังกล่าวที่สอดคล้องกับการศึกษาลักษณะสัณฐานวิทยาของดอกหรือเรณูเพียงอย่างเดียวดังที่ได้กล่าวมาแล้วทำให้สามารถจำแนกชงโคง้ำค้อออกเป็น 3 กลุ่มได้อย่างเด่นชัดเช่นเดียวกัน

ผลการวิเคราะห์จัดกลุ่มพบว่าสอดคล้องกับการวิเคราะห์ปัจจัยกล่าวคือชงโคง้ำค้อถูกจัดเป็น 3 กลุ่ม โดยกลุ่มที่ 1 คือ *B. pottsii* var. *subsessilis* แยกออกจากอย่างเด่นชัดแสดงว่ามีลักษณะสัณฐานวิทยาของดอกและเรณูแตกต่างจากชงโคง้ำค้อพันธุ์อื่นๆอย่างเด่นชัด ส่วนกลุ่มที่ 2 คือ *B. pottsii* var. *mollissima* กับ *B. pottsii* var. *velutina* นั้นมีความแปรผันของลักษณะดอกและเรณูระหว่างประชากรน้อยมากจึงถูกจัดเป็นกลุ่มเดียวกัน สำหรับกลุ่มที่ 3 คือ *B. pottsii* var. *pottsii* นั้นมีพิจารณาจากเดนโดยรวมจะเห็นว่ามีความสัมพันธ์ใกล้ชิดกับ *B. pottsii* var. *mollissima* และ *B. pottsii* var. *velutina* มากกว่า *B. pottsii* var. *subsessilis* (แผนภาพที่ 4.43) ซึ่งสอดคล้องกับการวิเคราะห์จัดกลุ่มโดยใช้ลักษณะสัณฐานวิทยาของเรณูเพียงอย่างเดียว ในขณะที่การวิเคราะห์จัดกลุ่มโดยใช้ลักษณะดอกเพียงอย่างเดียวันนพบว่า *B. pottsii* var. *pottsii* มีความสัมพันธ์ใกล้ชิดกับ *B. pottsii* var. *subsessilis* มากกว่า *B. pottsii* var. *mollissima* และ *B. pottsii* var. *velutina* (แผนภาพที่ 4.41) แสดงให้เห็นว่าลักษณะสัณฐานวิทยาของเรณูของชงโคง้ำค้อเป็น reproductive character ที่มีความสำคัญในการนำมาใช้วิเคราะห์จัดกลุ่ม ทั้งนี้อาจจะเนื่องมาจากลักษณะบางอย่างของดอก เช่น จำนวนดอก จำนวนขอวูลต่อดอก มีความสัมพันธ์กับสิ่งแวดล้อมอย่างเด่นชัด ในขณะที่ลักษณะสัณฐานวิทยาของเรณูนั้นไม่แสดงว่ามีความสัมพันธ์ใดๆกับสิ่งแวดล้อมเลย (Vogler, Peretz และ Stephenson, 1998) ดังนั้นความแปรผันของลักษณะสัณฐานวิทยาของเรณูในแต่ละประชากรจึงมีความแปรปรวนน้อยเมื่อสภาพแวดล้อมเปลี่ยนไปในขณะที่ลักษณะสัณฐานวิทยาของดอกจะมีความแปรปรวนตามสภาพแวดล้อมได้มากกว่า

เมื่อพิจารณาผลการวิเคราะห์จัดจำแนกจากการวิเคราะห์ลักษณะสัณฐานวิทยาของดอกและเรณูรวมทั้งสิ้น 52 ลักษณะ พบว่าได้สมการที่มีค่าไオเกนมากกว่า 1 จำนวน 3 สมการ สามารถอธิบายความผันแปรสะสมได้ถึง 99.00 เปอร์เซ็นต์ มีค่าสหสัมพันธ์ค่าโนนิคอลยกกำลังสองมากกว่า 0.5 และมีค่าวิลค์แอลมาต่าต่ำกว่า 0.5 ทั้ง 3 สมการ (ตารางที่

4.30) แสดงว่าสมการจัดจำแนกทั้งสามสมการมีความเหมือนกันในการจัดจำแนกได้ดี (Norusis, 1985) โดยพบว่าตัวแปรที่มีความสำคัญในการจัดจำแนกมีเพียง 16 ลักษณะ ประกอบด้วยลักษณะสัณฐานวิทยาของดอก 9 ลักษณะคือ RAF, LPCL 2, 3 และ 4 , LAN 1, LGY, LPE 5, RBR และ WCA กับลักษณะเรณู 7 ลักษณะคือ DAP, LAP, NVR, WAP, DEA, SPO และ DPA (ตารางที่ 4.32) ซึ่งมีความสอดคล้องกับการวิเคราะห์จัดจำแนกโดยใช้ลักษณะสัณฐานวิทยาของดอกเพียงอย่างเดียว(ตารางที่ 4.18) หรือลักษณะสัณฐานวิทยาของเรณูเพียงอย่างเดียว (ตารางที่ 4.25) โดยพบว่ามีลักษณะสัณฐานวิทยาของดอกและเรณูที่ถูกจัดออกไปไม่นำมาใช้ในการวิเคราะห์เพียง 4 ลักษณะคือ LPCL 5, LPE 2 , LFI 2 และ PFI แต่อย่างไรก็ตามพบว่าสมการจัดจำแนกที่ยังคงจำแนกชงโคงคำอกรเป็น 3 กลุ่มแยกจากกันอย่างเด่นชัด เช่นเดิม (แผนภาพที่ 4.48 : ①) โดยมีเปอร์เซ็นต์การทำนายกลุ่มประชากรจากสมการที่ได้จากการวิเคราะห์จัดจำแนกเท่ากับ 83.1 เปอร์เซ็นต์ (ตารางที่ 4.33) ซึ่งมีค่าสูงกว่าค่าต่ำสุดที่สามารถยอมรับได้คือ 75 เปอร์เซ็นต์ขึ้นไป (Baum และ Bailey, 1984 ; Chemiclewski และ Chinnapa, 1988) และยังมีค่าสูงกว่าเปอร์เซ็นต์การทำนายกลุ่มประชากรจากสมการที่ได้จากการวิเคราะห์จัดจำแนกโดยใช้ลักษณะสัณฐานวิทยาของดอกเพียงอย่างเดียว (ตารางที่ 4.19) หรือใช้ลักษณะสัณฐานวิทยาของเรณูเพียงอย่างเดียว (ตารางที่ 4.26) อย่างเห็นได้ชัด แสดงให้เห็นว่าในการจัดจำแนกประชากรชงโคงคำนั้นควรใช้ทั้งลักษณะสัณฐานวิทยาของดอกและเรณูร่วมกันหรืออาจกล่าวได้ว่า reproductive character เป็นลักษณะที่มีความสำคัญและเหมาะสมต่อการนำไปใช้ในการวิเคราะห์จัดจำแนกประชากรของชงโคงคำ

#### 5.4.5 การศึกษาลักษณะสัณฐานวิทยาของใบ ดอก และเรณูของชงโคงคำ

การศึกษาลักษณะสัณฐานวิทยาของใบซึ่งเป็น vegetative character ร่วมกับลักษณะสัณฐานวิทยาของดอกและเรณูซึ่งเป็น reproductive character รวมทั้งสิ้น 59 ลักษณะ (ตารางที่ 3.5 และตารางที่ 3.6) พบว่าเมื่อนำวิเคราะห์ปัจจัยได้แกนปัจจัยที่มีค่าไオเกนมากกว่า 1 จำนวน 7 แกน สามารถอธิบายความแปรปรวนของข้อมูลได้ 86.411 เปอร์เซ็นต์(ตารางที่4.34)ซึ่งเป็นค่าที่ใกล้เคียงกับการวิเคราะห์ปัจจัยโดยใช้เฉพาะลักษณะ reproductive character เพียงอย่างเดียว (ตารางที่ 4.27) และมากกว่าการวิเคราะห์ปัจจัยโดยใช้เฉพาะลักษณะ vegetative character เพียงอย่างเดียว (ตารางที่ 4.6) เมื่อพิจารณาค่า factor loading ของตัวแปรทุกแกนปัจจัยพบว่ามีค่ามากกว่า 0.5 ยกเว้นลักษณะสันของดอก ตูม (RBU) เท่านั้นที่มีค่าเพียง 0.472 แสดงว่าลักษณะนี้ไม่เหมาะสมที่จะนำมาใช้ในการจัดจำแนก (Pranom Chantaranothai, 1989) แต่อย่างไรก็ตามเมื่อหมุนแกนปัจจัยแล้วพบว่าทุกตัวแปรมีค่า factor loading มากกว่า 0.5 (ตารางที่ 4.36) และค่า communality ก็มากกว่า 0.5 เช่นกัน (ตารางที่ 4.35) แสดงว่าลักษณะตัวแปรในแกนปัจจัยมีความสัมพันธ์เพียงพอที่จะนำไปใช้ใน

การพิจารณาความแปรปรวนของประชากรได้ (ต่อศักดิ์ ลีลานันท์, 2535) เมื่อพิจารณาความสัมพันธ์ระหว่างแกนปัจจัยที่ 1 - 7 (แผนภาพที่ 4.23 : ④ - ⑧ , แผนภาพที่ 4.24 : ① - ③ , 4.25 : ① - ⑧ ) จะเห็นว่าลักษณะที่เหมาะสมในการจัดจำแนกประชากรชงโคล์คีอลักษณะของด้าแปรบนแกนปัจจัย 1 ซึ่งประกอบด้วยลักษณะใน 2 ลักษณะคือ HLE และ HUE ลักษณะดอก 17 ลักษณะคือ LAN 1-3, LPCL 1-5, LCA, NBU, LGY, LOV, LBU, LRE, RAF, HOV และ CPE รวมกับลักษณะเรณู 8 ลักษณะคือ DAP, LAP, PFI, WAP, DEA, PAP, TAP และ NVR ส่วนด้านแปรบนแกนปัจจัยที่ 2 ประกอบด้วยลักษณะดอกเป็นส่วนใหญ่คือ LPE 1-5, SPE, SSTI, RBR, CFI, CSTY, CBU, CSTI และ CAN สำหรับลักษณะใบและลักษณะเรณูนั้นมีเพียงอย่างละ 1 ลักษณะเท่านั้นคือ NSV และ SPO ตามลำดับ ซึ่งลักษณะดังกล่าวนี้สอดคล้องกับการศึกษาลักษณะสัณฐานวิทยาของใบหรือดอกหรือเรณูอย่างโดยย่างหนึ่งเพียงอย่างเดียว ดังที่ได้กล่าวมาแล้วทำให้สามารถจำแนกชงโคล์ออกเป็น 3 กลุ่มได้เช่นเดียวกัน

ผลการวิเคราะห์จัดกลุ่มพบว่าสอดคล้องกับการวิเคราะห์ปัจจัยกล่าวคือสามารถจัดกลุ่มชงโคล์ออกเป็น 3 กลุ่มอย่างเด่นชัดโดย *B. pottsii* var. *subsessilis* มีการจัดกลุ่มแยกออกจากชงโคล์พันธุ์อื่นๆแสดงว่ามีความแปรผันของลักษณะสัณฐานวิทยาของใบดอกและเรณูระหว่างประชากรสูงมากกว่าชงโคล์ทุกพันธุ์ ส่วน *B. pottsii* var. *mollissima* กับ *B. pottsii* var. *velutina* นั้นมีความแปรผันของลักษณะสัณฐานวิทยาของใบ ดอก และเรณูของประชากรชงโคล์ 2 พันธุ์นี้มีความสัมพันธ์ใกล้ชิดกันมากจึงถูกจัดรวมเป็นกลุ่มเดียวกัน (Small, Crompton และ Brookes, 1981) สำหรับ *B. pottsii* var. *pottsii* นั้นเมื่อพิจารณาจากเดินโดยограмจะเห็นว่าถูกจัดออกเป็นอีกกลุ่มหนึ่งอย่างเด่นชัดและมีความสัมพันธ์ใกล้ชิดกับ *B. pottsii* var. *mollissima* และ *B. pottsii* var. *velutina* มากกว่า *B. pottsii* var. *subsessilis* (แผนภาพที่ 4.33) ซึ่งสอดคล้องกับการวิเคราะห์จัดกลุ่มโดยใช้ลักษณะสัณฐานวิทยาของเรณูและการใช้ลักษณะ reproductive character เพียงอย่างเดียว แสดงให้เห็นว่าลักษณะ vegetative character ของชงโคล์มีความสำคัญในการจัดกลุ่มประชากรชงโคล์น้อยกว่าลักษณะ reproductive character ทั้งนี้อาจจะเป็นเพราะลักษณะ vegetative character มีความแปรปรวนเนื่องจากสภาพแวดล้อมมากกว่าลักษณะ reproductive character ดังเช่นการศึกษาของ Newell (1989) (อ้างถึงใน รสริน พลวัฒน์, 2539) ซึ่งพบว่าในสภาพป่าค่อนข้างทึบและมีความชื้นสูงน้ำพืชที่อยู่ในร่มเงาจะสามารถปรับดัวทำให้มีก้านใบยาวขึ้นเพื่อรับแสงสว่างให้เพียงพอกับความต้องการได้ ในขณะที่ Vogler, Peretz และ Stephenson (1998)รายงานว่าลักษณะของเรณูซึ่งเป็น reproductive character นั้นไม่มีความสัมพันธ์กับสิ่งแวดล้อมเลย แต่อย่างไรก็ตามพบว่ามีการศึกษาที่แสดงว่าขนาดเรณูนั้นเปลี่ยนแปลงได้ในสภาพแวดล้อมต่างกันโดยพบว่าพืชที่เจริญในที่มีน้ำมากจะมีขนาดเรณูใหญ่กว่าพืชที่เจริญในที่

แท้ก็แล้งหรือใกล้กฎหมาย (Edwards, Dave และ Ambruster, 1991) นอกจานี้ยังพบว่าเรณูของ *Carallia brachiata* Merr. ซึ่งเจริญอยู่ในป่าบกจะมีขนาดเล็กกว่าพืชชนิดเดียวกันที่เจริญในอยู่ป่าชายเลน (สมิต บุญเสริมสุข, 2530) แสดงให้เห็นว่าสภาพแวดล้อมมีผลต่อการแสดงออกของพืชแต่ละชนิดแตกต่างกันหรือพืชชนิดเดียวกันเมื่อยู่ในสภาพแวดล้อมต่างกันก็อาจทำให้มีลักษณะต่างๆแปรผันไปจากเดิมได้ (Esau, 1977) ดังนั้นในการวิเคราะห์จัดกลุ่มจึงควรใช้ลักษณะต่างๆของตัวแปรที่เหมาะสมให้ครอบคลุมมากที่สุด เพื่อให้ผลการจัดกลุ่มมีความถูกต้องไม่เบี่ยงเบนจากความเป็นจริง (สุชาติ ประสิทธิ์รัตน์ และกรณีการ สุขเกษม, 2533)

๕

เมื่อพิจารณาผลการวิเคราะห์จัดจำแนกจาก การวิเคราะห์ลักษณะสัณฐานวิทยาของใบ ดอก และเรณู รวมทั้งสิ้น 59 ลักษณะ พบร่วมกัน 59 ลักษณะ ที่มีค่าไオเกนมากกว่า 1 จำนวน 3 สมการ สามารถอธิบายของความผันแปรระดับสูงของตัวแปรได้ถึง 98.9 เปอร์เซ็นต์ มีค่าสัมพันธ์ค่อนข้าง密切กับลักษณะของตัวแปรที่มีค่ากว่า 0.5 และมีค่าวิสัยและต่ำกว่า 0.5 ทั้ง 3 สมการ (ตารางที่ 4.37) แสดงว่าสมการจัดจำแนกเหล่านี้สามารถอธิบายความผันแปรของตัวแปรในแต่ละประชากรได้ดีและตัวแปรมีความสัมพันธ์กับสมการสูง (สุชาติ ประสิทธิ์รัตน์ และกรณีการ สุขเกษม, 2533) มีความเหมาะสมที่จะนำมาใช้ในการจัดจำแนกได้ดี เพราะมีความแปรผันระหว่างกลุ่มมากกว่าความแปรผันภายในกลุ่ม (Norberts, 1985) ซึ่งพบว่าสมการจัดจำแนกสามารถจำแนกประชากรชั้นต่ำอยู่กับชั้นต่ำเดียวกับการวิเคราะห์จัดจำแนกโดยใช้ลักษณะ reproductive character เพียงอย่างเดียว โดยพบว่าตัวแปรที่มีความสำคัญในการจัดจำแนกมีเพียง 20 ลักษณะ (ตารางที่ 4.39) ประกอบด้วยลักษณะใน 4 ลักษณะคือ NSV, LBF, LLE และ WLE ลักษณะดอก 9 ลักษณะคือ RAF, LPCL 3-4, LAN 1, LGY, LPE 5, RBR, WPE 4 และ WCA รวมทั้งลักษณะเรณู 7 ลักษณะคือ DAP, LAP, NVR, WAP, DEA, SPO และ DPA ซึ่งสอดคล้องกับลักษณะที่ใช้ในการวิเคราะห์จัดจำแนกโดยใช้ลักษณะ vegetative character เพียงอย่างเดียว (ตารางที่ 4.11) และใช้ลักษณะ reproductive character เพียงอย่างเดียว (ตารางที่ 4.32) กล่าวคือประชากรกลุ่มที่ 1 ได้แก่ *B. pottsii* var. *subsessilis* ประชากรกลุ่มที่ 2 ได้แก่ *B. pottsii* var. *pottsii* และประชากรกลุ่มที่ 3 ประกอบด้วย *B. pottsii* var. *mollissima* กับ *B. pottsii* var. *velutina* (แผนภาพที่ 4.48:๑) โดยมีเปอร์เซ็นต์การทำนายกลุ่มประชากรที่ได้จากการวิเคราะห์จัดจำแนกเท่ากับ 84.90 เปอร์เซ็นต์ (ตารางที่ 4.40) ซึ่งมีค่าสูงกว่าค่าต่ำสุดที่สามารถยอมรับได้คือ 75 เปอร์เซ็นต์ขึ้นไป (Baum และ Bailey, 1984 ; Chemicewski และ Chinnapa, 1988) และสูงกว่าเปอร์เซ็นต์การทำนายกลุ่มประชากรจากสมการที่ได้จากการวิเคราะห์จัดจำแนกโดยใช้ลักษณะ reproductive character เพียงอย่างเดียว (ตารางที่ 4.33) แสดงว่าการจำแนกประชากรชั้นต่ำควรใช้ทั้งลักษณะ vegetative character และ reproductive character ร่วมกัน

#### 5.4.6 การศึกษาลักษณะแบบแผนไอโซไซเมของชงโคงคำ

จากการศึกษาแบบแผนไอโซไซเมของชงโคงคำรวมทั้งสิ้น 20 ระบบพันแบบแผนไอโซไซเมที่มีลักษณะเป็น polymorphism เพียง 6 ระบบ โดยแต่ละระบบด่างก็มีแบบแผนเฉพาะตัวในชงโคงคำแต่ละพันธุ์ (แผนภาพที่ 4.14 – 4.19) เมื่อนำค่า Rf ของแผนไอโซไซเมแต่ละระบบที่พบในชงโคงคำแต่ละพันธุ์ รวมทั้งสิ้น 36 ลักษณะ มาวิเคราะห์ปัจจัยพนวณมีแกนปัจจัยที่มีค่าไอเกนมากกว่า 1 จำนวน 7 แกน สามารถอธิบายความแปรปรวนของข้อมูลได้ 75.197 เปอร์เซ็นต์ (ตารางที่ 4.41) และแสดงว่าแกนปัจจัยเหล่านี้เป็นตัวแทนของตัวแปรทั้งหมดได้ (สุชาติ ประสิทธิรัฐสินธุ์ และ กรณิการ สุขเกษม, 2533) ตัวแปรในแกนปัจจัยส่วนใหญ่มีค่า factor loading มากกว่า 0.5 ยกเว้นตัวแปร SHDH 2 , EST10, PER 2, 6, 7, 8, 10, 12 และ 15 ซึ่งไม่เหมาะสมที่จะนำมาใช้ในการจัดจำแนก (Pranom Chantaranothai, 1989) สำหรับค่า communality ของตัวแปรในแต่ละแกนปัจจัยส่วนใหญ่มีค่ามากกว่า 0.5 ยกเว้นตัวแปร EST 2 ,PER 2, 8, 12 และ 15 และแสดงว่าตัวแปรเหล่านี้มีความสัมพันธ์กันภายในแกนปัจจัยค่อนข้างน้อยไม่เหมาะสมที่จะนำไปใช้ในการจัดจำแนก (สุชาติ ประสิทธิรัฐสินธุ์และ กรณิการ สุขเกษม, 2533)

เมื่อพิจารณาความสัมพันธ์ระหว่างแกนปัจจัย 1-7 (แผนภาพที่ 4.26 : ① - ⑦, แผนภาพที่ 4.27: ① - ⑦ และแผนภาพที่ 4.28: ① - ⑦) พนวณแบบแผนไอโซไซเมระบบ acid phosphatase(ACP) glutamate oxaloacetate transaminase (GOT) malate dehydrogenase (MDH) และ shikimate dehydrogenase (SKDH) สามารถจำแนกประชากรชงโคงคำออกเป็น 2 กลุ่มอย่างเด่นชัดคือกลุ่มที่ 1 ประกอบด้วย *B. pottsii* var. *pottsii* กับ *B. pottsii* var. *subsessilis* และกลุ่มที่ 2 ประกอบด้วย *B. pottsii* var. *mollissima* กับ *B. pottsii* var. *velutina* ในขณะที่แบบแผนไอโซไซเมของ esterase (EST) และ peroxidase (PER) นั้นมีความแปรผันในชงโคงคำแต่ละพันธุ์แตกต่างกันมากกล่าวคือลักษณะ EST 1, 2, 4, 7 และ PER 3 ของ *B. pottsii* var. *mollissima* กับ *B. pottsii* var. *velutina* แตกต่างกันอย่างเด่นชัด แต่ *B. pottsii* var. *pottsii* กับ *B. pottsii* var. *subsessilis* กลับคล้ายคลึงกัน (แผนภาพที่ 4.26 : ① ) ในขณะที่ลักษณะ EST 3, 5, 6, 8, 9 และ PER 11, 13, 14, 16 ของ *B. pottsii* var. *pottsii* กับ *B. pottsii* var. *subsessilis* แตกต่างกันอย่างเด่นชัด แต่ *B. pottsii* var. *mollissima* กับ *B. pottsii* var. *velutina* กลับคล้ายคลึงกัน (แผนภาพที่ 4.26 : ② ) สำหรับลักษณะ EST 10 และ PER 4-7, 10, 12, 15 นั้น พนวณว่าไม่สามารถจำแนกประชากรชงโคงคำแต่ละพันธุ์ออกจากกันได้

เมื่อนำมาวิเคราะห์จัดกลุ่มพบว่าสามารถจัดกลุ่มซึ่งโคล่าออกเป็น 4 กลุ่มอย่างเด่นชัด โดยกลุ่มที่ 1 คือ *B. pottsii* var. *pottsii* จะมีความสัมพันธ์ใกล้ชิดกับกลุ่มที่ 2 คือ *B. pottsii* var. *subsessilis* ในขณะที่กลุ่มที่ 3 คือ *B. pottsii* var. *mollissima* ก็มีความสัมพันธ์ใกล้ชิดกับกลุ่มที่ 4 คือ *B. pottsii* var. *velutina* (แผนภาพที่ 4.45)

เมื่อพิจารณาผลการวิเคราะห์จัดจำแนกลักษณะแบบไอโซไซม์ทั้ง 6 ระบบรวมทั้งสิ้น 36 ลักษณะพบว่าได้สมการที่มีค่าไอเกนมากกว่า 1 จำนวน 3 สมการสามารถอธิบายความผันแปรระดับสูงถึง 100 เปอร์เซ็นต์ มีค่าสหสัมพันธ์ค่าโนนิคอลยกกำลังสองมากกว่า 0.5 และมีค่าวิลล์แลมดาต่ำกว่า 0.5 ทั้ง 3 สมการ (ตารางที่ 4.44) แสดงว่าด้วยประมีความสัมพันธ์กับสมการและมีความแปรผันระหว่างกลุ่มมากกว่าภายในกลุ่ม (สุชาติ ประสิทธิ์รัฐสินธุ์ และกรณีการ สุขเกษตร , 2533) สมการทั้ง 3 จึงเหมาะสมที่จะใช้ในการจัดจำแนกประชากรได้ดี (Norusis, 1985) โดยพบว่าด้วยประมีความสำคัญในการจัดจำแนกมีเพียง 12 ลักษณะ ประกอบด้วยลักษณะของไอโซไซม์ ACP 1-2, GOT 3, MDH 2, SKDH 1, EST 1, 3, 5, 6, 8 และ PER 7, 10 (ตารางที่ 4.46) ทำให้สามารถจัดจำแนกซึ่งโคล่าออกเป็น 4 กลุ่มสอดคล้องกับการวิเคราะห์จัดกลุ่ม (แผนภาพที่ 4.48 : ① ) กล่าวคือ *B. pottsii* var. *pottsii* มีลักษณะแบบแผนไอโซไซม์ที่คล้ายคลึงกับ *B. pottsii* var. *subsessilis* มากกว่า *B. pottsii* var. *mollissima* กับ *B. pottsii* var. *velutina* ซึ่งมีความคล้ายคลึงกันเข่นเดียวกันสอดคล้องกับการศึกษาด้านสัณฐานวิทยาของใบและดอกซึ่งพบว่า *B. pottsii* var. *pottsii* มีลักษณะคล้ายกับ *B. pottsii* var. *subsessilis* มากกว่า *B. pottsii* var. *mollissima* กับ *B. pottsii* var. *velutina* ซึ่งมีความคล้ายคลึงกันเข่นกัน ดังนั้นจึงอาจกล่าวได้ว่าความผันแปรของ electrophoretic pattern สามารถใช้เปรียบเทียบกับความคล้ายคลึงทางสัณฐานวิทยาของหน่วยอนุกรมวิธานที่คล้ายกันได้ (Crawford, 1983) ดังเช่นการศึกษาความแปรผันของแบบแผนไอโซไซม์ของ *Salicornia europaea* L. พบว่ามีความสัมพันธ์อย่างเด่นชัดกับลักษณะสัณฐานวิทยา (Wolff และ Jefferies, 1986)

เมื่อพิจารณาถึงเปอร์เซ็นต์การทำนายกลุ่มประชากรจากสมการที่ได้จากการวิเคราะห์จัดจำแนกพบว่ามีค่าสูงถึง 100 เปอร์เซ็นต์ (ตารางที่ 4.47) แสดงว่าแบบแผนไอโซไซม์ ACP, EST, GOT, MDH, PER และ SKDH มีความแปรผันระหว่างประชากรมากเพียงพอที่จะจัดจำแนกประชากรซึ่งโคล่าทั้ง 4 พันธุ์ออกจากกันได้

#### 5.4.7 การศึกษาลักษณะสัณฐานวิทยาของใบ ดอก เรตโนและแบบแผน ไอโซไซม์ของชงโคงคำ

จากการศึกษาลักษณะทางสัณฐานวิทยาของใบ ดอก เรตโน และแบบแผน 'ไอโซไซม์ 6 ระบบที่พนในชงโคงคำรวมทั้งสิ้น 95 ลักษณะ (ตารางที่ 3.5 , ตารางที่ 4.4) เมื่อนำมาวิเคราะห์ปัจจัย พบร่วมกันปัจจัยที่มีค่าไอเกนมากกว่า 1 จำนวน 2 แกน สามารถอธิบายความแปรปรวนของข้อมูลได้ 84.386 เปอร์เซ็นต์ (ตารางที่ 4.48) แสดงว่าแกนปัจจัยเหล่านี้สามารถแทนด้วยรากทั้งหมดได้ (สุชาติ ประสิกธีรรูสินธุ์ และกรรณิการ์ สุขเกษตร, 2533) ตัวแปรส่วนใหญ่มีค่า factor loading และค่า communality มากกว่า 0.5 แสดงว่ามีความหมายส่วนที่จะนำไปใช้อธิบายความสัมพันธ์ของประชากรได้ (ตารางที่ 4.49 และตารางที่ 4.50) เมื่อพิจารณาความสัมพันธ์ระหว่างแกนปัจจัยที่ 1-12 (แผนภาพที่ 4.28 :① - ⑩ ถึงแผนภาพที่ 4.36:①-⑦) พบร่วมกันปัจจัยของลักษณะสัณฐานวิทยาของใบหรือดอกหรือเรตโนอย่างโดยย่างหนึ่งหรือรวมกันก็ได้ กล่าวคือลักษณะตัวแปรบนแกนปัจจัยที่ 1-3 เก้านั้นที่มีบทบาทสำคัญในการแยกประชากรชงโคงคำออกจากกันเป็นกลุ่ม ในขณะที่ตัวแปรบนแกนปัจจัยที่ 4-12 ไม่เหมาะสมที่จะนำมาใช้ในการจัดจำแนก จากแผนภาพที่ 4.28:①-⑦ จะเห็นได้ว่าลักษณะบนแกนปัจจัยที่ 1 ประกอบด้วยลักษณะสัณฐานวิทยาของใบ ดอก และเรตโน 26 ลักษณะคือ LPCL 1-5 , LPE 1,3-5, TRA, DPA, NBU, WCA, SPE, SSTI, SPO, HOV, HLE, HUE, RBR, NSV, CBU, CFI, CSTI, CSTY และ CAN ร่วมกับลักษณะแบบแผน 'ไอโซไซม์ 10 ลักษณะคือ ACP 1-2, GOT 1-3, MDH 1-2, SKDH 1, PER 9 สามารถจำแนกประชากรชงโคงคำออกเป็น 3 กลุ่ม คือ กลุ่ม 1 *B. pottsii* var. *pottsii* กลุ่ม 2 *B. pottsii* var. *subsessilis* และกลุ่ม 3 ประกอบด้วย *B. pottsii* var. *mollissima* กับ *B. pottsii* var. *velutina* เช่นเดียวกับลักษณะ LAP, PFI, DAP, WAP, LAN 1-3, LGY, LOV, LCA, DEA, TAP, PAP, NVR, RAF, CPE, EST 3, 5, 6, 8-10 และ PER 2-3, 8 บนแกนปัจจัยที่ 2 สามารถจำแนกชงโคงคำออกเป็น 3 กลุ่มคล้ายกับแกนปัจจัยที่ 1 เช่นเดียวกัน ส่วนลักษณะ RBU, MDH 3, EST 1, 2 4, 7 และ PER 2-3, 8 บนแกนปัจจัยที่ 3 พบร่วมกันได้อย่างเด่นชัด แต่แยก *B. pottsii* var. *mollissima* กับ *B. pottsii* var. *velutina* ออกจากกันได้ยาก *B. pottsii* var. *pottsii* กับ *B. pottsii* var. *subsessilis* ออกจากกันไม่ได้

เมื่อนำข้อมูลมาวิเคราะห์จัดกลุ่มก็พบว่าได้ผลสอดคล้องกับการวิเคราะห์ปัจจัย สามารถจัดกลุ่มชงโคงคำออกเป็น 3 กลุ่มอย่างเด่นชัดเช่นเดียวกัน โดย *B. pottsii* var. *mollissima* กับ *B. pottsii* var. *velutina* ถูกจัดเป็นกลุ่มเดียวกันแยกออกจาก *B. pottsii* var. *pottsii* กับ *B. pottsii* var. *subsessilis* ซึ่งมีความสัมพันธ์ใกล้ชิดกันมากกว่าอย่างเด่นชัด (แผนภาพที่ 4.46)

ผลการวิเคราะห์จัดจำแนกพูนว่าสอดคล้องกับการวิเคราะห์ปัจจัยและการวิเคราะห์จัดกลุ่ม โดยสมการจัดจำแนกที่มีค่า F ไอกอนมากกว่า 1 จำนวน 3 สมการ สามารถอธิบายความผันแปรสะสมของตัวแปรได้ถึง 100 เปอร์เซ็นต์ (ตารางที่ 4.51) มีค่าสหสัมพันธ์ค่าโนนิคอลยอกกำลังสองมากกว่า 0.5 และมีค่าวิลเด็มดาต้ากว่า 0.5 ทั้งสาม 3 สมการ แสดงว่าสมการทั้งหมดสามารถอธิบายความผันแปรของตัวแปรในแต่ละประชากรได้ดีและตัวแปรมีความสัมพันธ์กับสมการสูง (สุชาติ ประสิทธิรัตน์สินธุ และกรณีการ สุขเกษม, 2533) จึงหมายที่จะนำมาใช้ในการจัดจำแนก : เนื่องจากมีความผันแปรระหว่างกลุ่มมากกว่าความแปรผันภายในกลุ่ม (Norusis, 1985) ดังนั้นเมื่อพิจารณาแผนภาพที่ 4.48 : ⑦ จะเห็นว่าซองโคง้ำถูกจำแนกออกเป็น 3 กลุ่มอย่างเด่นชัดโดย *B. pottsii* var. *mollissima* กับ *B. pottsii* var. *velutina* ยังมีความแปรผันของลักษณะสัณฐานวิทยาของใน ดอก เรณู และแบบแผนไฮโซ่ไซม์ระหว่างประชากรน้อยมากจนไม่สามารถแยกออกจากกันได้อย่างชัดเจน (Small , Crompton และ Brookes, 1981) ในขณะที่ *B. pottsii* var. *pottsii* กับ *B. pottsii* var. *subsessilis* นั้นมีความแปรผันของลักษณะต่างๆที่เป็น vegetative character และ reproductive character รวมทั้งลักษณะแบบแผนไฮโซ่ไซม์ระหว่างประชากรมากเพียงพอ จึงถูกจำแนกแยกออกจากกันอย่างเด่นชัด โดยตัวแปรที่มีความสำคัญในการจัดจำแนกมีทั้งหมด 19 ลักษณะประกอบด้วยลักษณะสัณฐานวิทยาของดอก 3 ลักษณะ คือ LAN 2, LPCL 3 และ RAF ลักษณะสัณฐานวิทยาของเรณู 2 ลักษณะคือ NVR และ PFI รวมทั้งลักษณะแบบแผนไฮโซ่ไซม์ทั้ง 6 ระบบอีก 14 ลักษณะคือ ACP 1-2, EST 1 และ 8, GOT 1-3, MDH 2-3, PER 7, 10, 11, 14 และ SKDH 1 (ตารางที่ 4.53) เมื่อพิจารณาเบอร์เซ็นต์การทำนายกลุ่มประชากรที่ได้จากการวิเคราะห์จัดจำแนกพูนว่ามีค่าสูงถึง 100 เปอร์เซ็นต์ (ตารางที่ 4.54) ในขณะที่ค่าต่ำสุดที่สามารถยอมรับได้คือ 75 เปอร์เซ็นต์ (Baum และ Bailey, 1984; Chemiclewski และ Chinnapa, 1988) แสดงว่าความผันแปรของลักษณะสัณฐานวิทยาของใน ดอก เรณู และแบบแผนไฮโซ่ไซม์ของซองโคง้ำมีมากเพียงพอที่จะจำแนกประชากรซึ่งโคง้ำในประเทศไทยออกได้เป็น 3 กลุ่มเท่านั้น ดังนั้นจึงสามารถนำผลจากการศึกษา numerical taxonomy โดยการวิเคราะห์ลักษณะสัณฐานวิทยาของใน ดอก เรณู และแบบแผนไฮโซ่ไซม์ มาจัดทำเป็นรูปวิธานเพื่อใช้ในการจัดจำแนกซองโคง้ำได้ดังนี้

# รูปวิธานจำแนกพันธุ์ชงโคง้ำในประเทศไทย

## โดยใช้ลักษณะสัณฐานวิทยาของดอกและเรณูที่เป็นข้อมูลเชิงปริมาณ



# รูปวิธีการจำแนกพันธุ์ชุงโคลคำในประเทศไทย โดยใช้ลักษณะแบบแผนไอโซไซม์ที่เป็นข้อมูลเชิงปริมาณ

1. ค่า Rf ของแคนบไอโซไซม์ ACP = 0.60  
 (หรือ ค่า Rf ของแคนบไอโซไซม์ GOT 3 แคน = 0.14, 0.20 และ 0.25 ตามลำดับ  
 หรือ ค่า Rf ของแคนบไอโซไซม์ MDH 3 แคน = 0.43, 0.50 และ 0.37 ตามลำดับ  
 หรือ ค่า Rf ของแคนบไอโซไซม์ SKDH 2 แคน = 0.38, 0.43 ตามลำดับ).....  
*B. pottsii* var. *velutina*  
 (*B. pottsii* var. *mollissima*)

1' ค่า Rf ของแคนบไอโซไซม์ ACP = 0.65  
 (หรือ ค่า Rf ของแคนบไอโซไซม์ GOT 1 แคน = 0.26)  
 หรือ ค่า Rf ของแคนบไอโซไซม์ MDH 1 แคน = 0.57)  
 หรือ ค่า Rf ของแคนบไอโซไซม์ SKDH 1 แคน = 0.43).....2

2 ค่า Rf ของแคนบไอโซไซม์ EST 4 และ 9 = 0.31 และ 0.67 ตามลำดับ  
 (หรือ ค่า Rf ของแคนบไอโซไซม์ PER 12 และ 16 = 0.48 และ 0.59 ตามลำดับ).....  
*B. pottsii* var. *pottsii*

2' ค่า Rf ของแคนบไอโซไซม์ EST 3, 5, 8 และ 10 = 0.24, 0.36, 0.60 และ 0.71 ตามลำดับ  
 (หรือ ไม่มีแคนบไอโซไซม์ PER 12 และ 16).....  
*B. pottsii* var. *subsessilis*

## 5.5 การศึกษาเปรียบเทียบสถานะทางอนุกรมวิธานของชงโคคำกับชงโคลและกาหลง

### 5.5.1 การศึกษาลักษณะสัณฐานวิทยาของชงโคลและกาหลง

จากการศึกษาเปรียบเทียบลักษณะสัณฐานวิทยาของกิง ใน ดอก เรณุ ฝัก และเมล็ดของชงโคล (*Bauhinia purpurea*) และกาหลง (*Bauhinia acuminata*) โดยใช้กล้องจุลทรรศน์แบบสเตรอริโอและกล้องจุลทรรศน์อิเลคตรอนแบบส่องการดูเมื่อเปรียบเทียบกับลักษณะสัณฐานวิทยาของชงโคลคำ พบว่าพีชทั้ง 3 ชนิดนี้มีความแตกต่างกันอย่างเด่นชัดหลายประการทั้งลักษณะวิสัย กิง ล่าดัน ใน ดอก เรณุ ฝัก และเมล็ด (แผนภาพที่ 4.1-4.13, 4.19.2, ตารางที่ 4.5 และตารางที่ 5.1) สอดคล้องกับการศึกษาของ Larsen, Larsen และ Vidal (1984) ซึ่งกำหนดให้สถานะทางอนุกรมวิธานของพีชทั้งสามชนิดนี้อยู่ในระดับชนิด (species) (de Wit, 1956; Larsen และ Larsen, 1973; Larsen, 1975) ดังนั้นจึงควรจัดจำแนกชงโคลคำออกเป็นกลุ่มย่อยในระดับพันธุ์ (variety) 3 พันธุ์ คือ 1. *Bauhinia pottsii* var. *pottsii* 2. *Bauhinia pottsii* var. *subsessilis* และ 3. *Bauhinia pottsii* var. *velutina* (ซึ่งรวมกับ *Bauhinia pottsii* var. *mollissima*)

จากการศึกษาเปรียบเทียบลักษณะสัณฐานวิทยาของชงโคลคำ ชงโคล และกาหลงในครั้งนี้นอกจากจะช่วยให้สามารถกำหนดสถานะทางอนุกรมวิธานของพีชกลุ่มนี้ได้แล้ว ยังพบว่าลักษณะสัณฐานวิทยานางประการของพีชกลุ่มนี้ขัดแย้งกับรายงานของ Larsen, Larsen และ Vidal (1984) ซึ่งกล่าวว่ายอดเกสรเพศเมียของกาหลงมีขนาดเล็กและมีรูปร่วงแบบกันปิด (peltate) เช่นเดียวกับยอดเกสรเพศเมียของ *Bauhinia pottsii* var. *pottsii* แต่จากการศึกษาครั้งนี้พบว่ายอดเกสรเพศเมียของกาหลงนั้นมีขนาดใหญ่กว่าเด่นชัด ส่วนปลายสุดแบบเป็นแอ่งตรงกลาง มีความแตกต่างอย่างเด่นชัดกับยอดเกสรเพศเมียของ *B. pottsii* var. *pottsii* ซึ่งมีลักษณะเป็นตุ่มกลม ความผิดพลาดนี้เชื่อว่าอาจเกิดจากการบรรยายลักษณะจาก การศึกษาด้วยอย่างพันธุ์ไม้แห้งซึ่งเก็บไว้นานจนรูปร่วงและขนาดเปลี่ยนแปลงไปจากเดิม นอกจากนี้ยังพบวาระงไข่ของกาหลง ชงโคลและชงโคลคำยังมีลักษณะเด่นที่ตรงกับประการหนึ่งคือต่างกับคลุมด้วยขนแข็งเอน (strigose) เช่นเดียวกัน เพียงแต่ขนแข็งเอนที่พบนั้นมีขนาด สีสัน และความหนาแน่นแตกต่างกัน แต่ Larsen, Larsen และ Vidal (1984) ไม่ได้รายงานลักษณะนี้ไว้

ตารางที่ 5.1 เปรียบเทียบลักษณะสัณฐานวิทยาของใบ ดอก เรตุ ฝัก และเมล็ด  
ที่เป็นข้อมูลเชิงคุณภาพของชงโคล่า ชงโคล และกาหลง

ลักษณะ	<i>Bauhinia pottsii</i>			<i>B. purpurea</i>	<i>B. acuminata</i>
	var. <i>pottsii</i>	var. <i>subsessilis</i>	var. <i>velutina</i> (var. <i>mollissima</i> )		
<b>ลำต้น</b>					
HAB	ไม่กึ่งรอเลือย	ไม่กึ่งรอเลือย	ไม่กึ่งรอเลือย	ไม่ยืนดัน	ไม้พุ่ม
LEN	กลมรี	กลมรี	กลมรี	เป็นขี้ด牙	กลมรี
<b>ใบ</b>					
TLE	มน	มน	มน	มน	แหลม
HUE	ขนประปราย	ขนกำมะหยี่	ขนสั้นนุ่ม (มี cutin เคลือบ)	เกลี้ยง	เกลี้ยง
HLE	ขนกำมะหยี่สีสนิม	ขนกำมะหยี่สีสนิม	ขนสั้นนุ่ม	ขนประปราย	ขนสั้นนุ่ม
<b>ดอก</b>					
SPE	รูปใบหอก	รูปใบหอก	รูปช้อน	รูปใบหอกแคบ	รูปขอบขนาน
CPE	สีแดงขอบขาว มีแต้มสีเหลือง	สีขาว มีแต้มสีเหลือง	สีแดงขอบขาว มีแต้มสีเหลือง	สีชมพู	สีขาว
	กลางกลับดอกที่ 2	กลางกลับดอกที่ 2	กลางกลับดอกที่ 2		
CAN	สีน้ำตาลอ่อน	สีน้ำตาลอ่อน	สีเขียวอ่อน	สีน้ำตาลอ่อน	สีเหลือง
CFI	สีแดง	สีแดง	สีเขียวอ่อน	สีชมพู	สีขาว
SSTI	กลม เด่นชัด	กลมเด่นชัด	ไม่เด่นชัด	แบน เด่นชัด	แบน เด่นชัด
CSTI	สีน้ำตาลอ่อน	สีน้ำตาลอ่อน	สีเขียวอ่อน	สีน้ำตาลอ่อน	สีเขียวอ่อน
CSTY	สีแดง	สีแดง	สีเขียวอ่อน	สีชมพูหรือขาว	สีขาว
HOV	ขนกำมะหยี่ และขนแข็งเอน	ขนยาวนุ่ม และขนแข็งเอน	ขนสั้นนุ่ม และขนแข็งเอน	ขนกำมะหยี่ และขนแข็งเอน	เรียบเกลี้ยง และขนแข็งเอน
	หนาแน่น	หนาแน่น	หนาแน่น	หนาแน่น	ปะป้าย
TBU	ไม่มี free calyx-teeth	ไม่มี free calyx-teeth	ไม่มี free calyx-teeth	ไม่มี free calyx-teeth	มี free calyx-teeth
RBU	ไม่มีสัน	ไม่มีสัน	มี/ไม่มีสันเด่นชัด	มีสันเด่นชัด	ไม่มีสัน
CBU	สีเขียว อ่อนน้ำตาลอแดง	สีเขียว อ่อนน้ำตาลอแดง	สีเขียว	สีเขียว	สีเขียว

ตารางที่ 5.1 (ต่อ)

ลักษณะ	<i>Bauhinia pottsii</i>			<i>B. purpurea</i>	<i>B. acuminata</i>
	var. <i>pottsii</i>	var. <i>subsessilis</i>	var. <i>velutina</i> (var. <i>mollissima</i> )		
<b>เรณู</b>					
TPO	tetrad	tetrad	tetrad	monad	monad
SPO	กลมรีคล้ายไข่	กลมแบน	กลมรีคล้ายไข่	คล้ายรักน้ำ	กลม
TAP	tricolporate	tricolporate	tricolporate	tricolporoidate	ไม่มีช่องเปิด
ESC	perforate	perforate	perforate	striato reticulate	reticulate
<b>ฝัก</b>					
SPOD	ขอบไม่นาน กว้าง : ยาว = 1 : 7	ขอบไม่นาน กว้าง : ยาว = 1 : 7	ขอบไม่นาน กว้าง : ยาว = 1 : 7	ขอบนาน กว้าง : ยาว = 1:11	ขอบนาน กว้าง : ยาว = 1 : 6
RPOD	ขอบค้านบน ไม่มีสัน	ขอบค้านบน ไม่มีสัน	ขอบค้านบน มีสัน	ขอบค้านบน ไม่มีสัน	ขอบค้านบน มีสัน
<b>เมล็ด</b>					
SSEE	กลม	กลม	กลม	กลมรี	รูปไต่

### 5.5.2 การศึกษา numerical taxonomy ของชงโค ชางโโค และกาหลง

การศึกษาเบรียบเทียบสถานะทางอนุกรมวิธานของชงโค ชางโโค และกาหลงนั้นมีการใช้หัวข้อมูลเชิงคุณภาพและข้อมูลเชิงปริมาณ จากการศึกษาหัวลักษณะกึ่งสำดัน ใน ดอก เรนู ผัก และเมล็ด (ตารางที่ 3.5 และตารางที่ 3.6) รวมทั้งสิ้น 74 ลักษณะ เมื่อนำมาศึกษาด้วยเทคนิควิเคราะห์ปัจจัย พบร่วมกันปัจจัยที่มีค่าโอลเกนมากกว่า 1 จำนวน 7 แกนสามารถอธิบายความแปรปรวนของข้อมูลได้ถึง 92.276 เปอร์เซ็นต์ (ตารางที่ 4.5) แสดงว่าแกนปัจจัยทั้ง 7 แกนเป็นตัวแทนของตัวแปรทั้งหมดได้ (สุชาติ ประสิทธิ์รัตนธิรัตน์ และกรณิการ์ สุขเกษม, 2533) ตัวแปรทุกด้านในแกนปัจจัยมีค่า communalities และค่า factor loading หากกว่า 0.5 แสดงว่าตัวแปรในแกนปัจจัยมีความสัมพันธ์กันเหมาะสมที่จะนำไปใช้อธิบายความผันแปรของประชากรได้ดี

เมื่อพิจารณาความสัมพันธ์ระหว่างแกนปัจจัยที่ 1-7 (แผนภาพที่ 4.36 : ①, แผนภาพที่ 4.37 : ① - ③, แผนภาพที่ 4.38-4.39 : ① - ⑥ ) พบร่วมกันปัจจัยที่ 1 ซึ่งประกอบด้วยลักษณะสัณฐานวิทยาของใบ, ดอก, เรนู, ผัก และเมล็ดรวมทั้งสิ้น 39 ลักษณะ (ตารางที่ 4.57) สามารถจำแนกประชากรชงโค ชางโโค และกาหลง ออกเป็น 5 กลุ่ม ได้แก่กลุ่มที่ 1 *B. pottsii* var. *subsessilis* กลุ่มที่ 2 *B. pottsii* var. *pottsii* กลุ่มที่ 3 ประกอบด้วย *B. pottsii* var. *mollissima* กับ *B. pottsii* var. *velutina* กลุ่มที่ 4 *B. purpurea* และกลุ่มที่ 5 *B. acuminata* (แผนภาพที่ 4.36 : ①) ส่วนลักษณะตัวแปรบนแกนปัจจัยอื่นๆนั้น จำแนกประชากรชงโค ชางโโค และกาหลงออกจากกันได้ไม่เด่นชัดหรือไม่สามารถจำแนกออกจากกันได้เลย

เมื่อนำมาวิเคราะห์จัดกลุ่มก็พบว่าให้ผลสอดคล้องกับการวิเคราะห์ปัจจัยกล่าวคือมีการจัดกลุ่มประชากรออกเป็น 5 กลุ่ม (แผนภาพที่ 4.47) แต่เด่นโดยограмของการจัดกลุ่มนั้นแสดงให้เห็นถึงความสัมพันธ์ของประชากรทั้ง 5 กลุ่มว่ากาหลง (*B. acuminata*) นั้นมีลักษณะแตกต่างจากชงโคและชงโคต่อไปยังเด่นชัด จึงถูกจัดกลุ่มแยกออกจากไปเพียงกลุ่มเดียว ต่างหาก ในขณะที่ชงโค (*B. purpurea*) ซึ่งมีความใกล้ชิดกับชงโค (*B. pottsii*) มากกว่า กาหลงก็มีการจัดกลุ่มแยกออกจากชงโคต่อไป 4 พันธุ์อย่างเด่นชัดเช่นกัน แสดงว่ากาหลง ชงโคและชงโคต้มีความแตกต่างกันในระดับหน่วยอนุกรมวิธานที่ใกล้เคียงกัน จึงควรมีสถานะทางอนุกรมวิธานเท่าเทียมกันคืออยู่ในระดับชนิด (species) (Larsen, Larsen และ Vidal, 1984) โดยชงโคต้องมีการจัดกลุ่มแยกย่อยออกเป็น 3 พันธุ์ (variety) คือ 1. *B. pottsii* var. *subsessilis* 2. *B. pottsii* var. *pottsii* และ 3. *B. pottsii* var. *velutina* (*B. pottsii* var. *mollissima*)

เมื่อพิจารณาผลการวิเคราะห์จัดจำแนกพบว่าสมการจัดจำแนกที่มีค่าไอเกนมากกว่า 1 มีจำนวน 5 สมการ สามารถอธิบายความแปรผันสะสมของตัวแปรได้สูงถึง 100 เปอร์เซ็นต์ (ตารางที่ 4.58) นอกจากนี้ยังมีค่าสหสัมพันธ์ค่าโนนิคลอยกกำลังมากกว่า 0.5 และมีค่าวิลเดอร์แลมดาต่ำกว่า 0.5 ทั้ง 5 สมการ แสดงว่าสมการเหล่านี้สามารถอธิบายความผันแปรของตัวแปรในแต่ละประชากรได้ดีและตัวแปรมีความสัมพันธ์กับสมการสูง (สุชาติ ประสิทธิรัฐ สินธุ และ บรรณิการ สุขเกษม, 2533) จึงมีความเหมาะสมที่จะนำมาใช้ในการจัดจำแนกได้ดี เพราะมีความแปรผันระหว่างกลุ่มมากกว่าความแปรผันภายในกลุ่ม (Norusis, 1985) ผลการวิเคราะห์จัดจำแนกจึงพบว่ามีการจัดจำแนกประชากรชงโคงคำ ชงโโค และกาหลง ออกเป็น 3 กลุ่มอย่างเด่นชัด (แผนภาพที่ 4.48 : ๓) สอดคล้องกับการวิเคราะห์จัดกลุ่มกล่าวคือกลุ่มที่ 1 กาหลง (*B. acuminata*) และกลุ่มที่ 2 ชงโโค (*B. purpurea*) มีการจัดกลุ่มแยกออกจากกลุ่มที่ 3 ชงโคงคำ (*B. pottsii*) อย่างเด่นชัด โดยประชากรชงโคงคำทั้ง 4 พันธุ์ถูกจัดอยู่รวมกันเป็นกลุ่มเดียว แสดงให้เห็นว่าความแปรผันระหว่างประชากรชงโคงคำทั้ง 4 พันธุ์ ซึ่งถูกจัดจำแนกออกเป็น 3 กลุ่มย่อยนั้นเป็นความแตกต่างหรือความแปรผันในระดับต่ำกว่าชนิด (infraspecific variation) ดังนั้นชงโคงคำในประเทศไทยจึงการจัดจำแนกออกเป็น 3 พันธุ์ (varity) โดยจัดให้ *B. pottsii* var. *velutina* และ *B. pottsii* var. *mollissima* เป็นพันธุ์เดียวกันแยกออกจากพันธุ์ *B. pottsii* var. *pottsii* และ *B. pottsii* var. *subsessilis* อย่างชัดเจน โดยมีค่าเบอร์เซนต์การอ่านนายกุลประชากรที่ได้จากการวิเคราะห์จัดจำแนกสูงถึง 99.3 เปอร์เซ็นต์ (ตารางที่ 4.61) ซึ่งมีค่าสูงกว่าค่าต่ำสุดที่ยอมรับได้คือ 75 เปอร์เซ็นต์ (Baum และ Bailey, 1984; Chemickewski และ Chinnapa, 1988) แสดงว่าการท่านายกุลประชากรถูกต้องเป็นที่ยอมรับ

จะเห็นได้ว่าการใช้เทคนิคการศึกษาด้านชีวานุกรมวิธานโดยใช้ข้อมูลเฉพาะการศึกษาด้านสัณฐานวิทยาของลำต้น ใน ดอก เรณู ฝัก และเมล็ดสามารถกำหนดสถานะทุ่งอนุกรมวิธานของชงโคงคำพันธุ์ต่างๆ ได้อย่างเด่นชัดซึ่งสอดคล้องกับการศึกษาการจัดจำแนกพืชที่มีความซับซ้อนชนิดอื่นๆ อย่างหลายชนิดทั้งในระดับสกุล (Hanks และ Fryxell, 1979; Small, Crompton และ Brookes, 1981) ระดับชนิด ( Baum และ Bailay, 1984; Menadue และ Growden, 1988) และระดับพันธุ์ (Standley, 1987; Labrecque และ Brouillet, 1995) ซึ่งพบว่าสามารถใช้เฉพาะข้อมูลจากการศึกษาด้านสัณฐานวิทยาของลำต้นและใบ (Zona, 1991) หรือใช้เฉพาะลักษณะสัณฐานวิทยาของดอก (Doebley และ Iltis, 1980) หรือใช้เฉพาะลักษณะสัณฐานวิทยาของเรณูเพียงอย่างเดียวในการตรวจสอบหน่วยอนุกรมวิธานของพืชได้ (Robbins, Dickinson และ Rhodes, 1979) นอกจากนี้ยังพบว่าลักษณะลวดลายผิวของเมล็ดก็เป็นลักษณะสำคัญทางอนุกรมวิธาน (Chuang และ Heckard, 1972) ทั้งนี้ เพราะลักษณะลวดลายผิวของเมล็ดค่อนข้างคงตัวจึงสามารถนำมาใช้ในการจัดจำแนกพืชในระดับต่ำกว่าชนิดได้

(Steenis, 1956) เช่นเดียวกับการศึกษาใบโอดิสเทมาติกส์ของโคลงเคลงขน *Melastoma villosum* Lodd. ในประเทศไทย (ต่อศักดิ์ สีลันนท์, 2535) ที่มีการใช้ข้อมูลจากการศึกษาลักษณะสัณฐานวิทยาของลำต้นใบ ดอก เรณู และเมล็ดดาวิเคราะห์ด้วยเทคนิคด้าน numerical taxonomy ทำให้พบว่าประชากรโคลงเคลงขนในประเทศไทยยังมีความแปรผันไม่มากพอที่จะจำแนกเป็นชนิดใหม่หรือพันธุ์ใหม่ได้ ส่วนรสริน พลวัฒน์ (2539) ใช้ข้อมูลจากการศึกษาลักษณะสัณฐานวิทยาและลักษณะกายวิภาคของใบ ลำต้น และโครงสร้างที่ใช้ในการสืบพันธุ์ในการจัดจำแนกประชากรเฟิร์นลินกุรัม *Pyrrosia eberhardtii* (Christ) Ching ในประเทศไทย โดยเทคนิคด้าน numerical taxonomy และพบว่าความแปรผันภายในและระหว่างประชากรเฟิร์นลินกุรัมในประเทศไทยยังไม่มากพอที่จะจัดจำแนกเป็นชนิดใหม่หรือพันธุ์ใหม่ได้ ในขณะที่ปรีชา ประเพา (2533) มีการใช้ข้อมูลด้านสัณฐานวิทยา ด้านศรีร่วงและด้านเซลล์พันธุ์ศาสตร์ ในการจัดจำแนกและบอกสายสัมพันธ์ของถั่วแปบช้าง (*Afgekia senicea* Craib) กับกันภัย (*A. mahidolae* Burt & Chermisirivathana) ได้

จะเห็นได้ว่าการตรวจสอบสถานะทางอนุกรมวิธานของพืชแต่ละชนิดมีการใช้ข้อมูลจากการศึกษาด้านต่างๆ ไม่เหมือนกัน พืชบางชนิดอาจใช้ข้อมูลจากการศึกษาลักษณะสัณฐานวิทยาเพียงอย่างเดียว ก็สามารถกำหนดสถานะทางอนุกรมวิธานได้อย่างชัดเจน ในขณะที่พืชบางชนิดอาจต้องใช้ข้อมูลจากการศึกษาหลายด้านมาพิจารณาประกอบกันจึงจะสามารถกำหนดสถานะหรือหน่วยทางอนุกรมวิธานได้ เช่นเดียวกับการศึกษาชีวนิรภัยวิธานของชงโคล์ในครั้งนี้ซึ่งพนวณาการใช้เฉพาะลักษณะสัณฐานวิทยาของใบ ดอก เรณู ฝัก และเมล็ด ก็สามารถจัดจำแนกง่ายได้ในประเทศไทยออกเป็น 3 พันธุ์อย่างเด่นชัด คือ 1. *Bauhinia pottsii* var. *pottsii* 2. *B. pottsii* var. *subsessilis* 3. *B. pottsii* var. *velutina* (*B. pottsii* var. *mollissima*) และเมื่อพิจารณาร่วมกับลักษณะแบบแผนไอโซไฟน์ 6 ระบบ คือ ACP, EST, GOT, MDH, PER และ SKDH ก็พบว่าได้ผลเช่นเดียวกัน แสดงให้เห็นว่าควรจัดให้ *B. pottsii* var. *mollissima* เป็นพันธุ์เดียวกับ *B. pottsii* var. *velutina* ตามกฎของ International Code of Botanical Nomenclature (Tokyo Code) Electronic version (1997) ข้อที่ 3 ที่กำหนดให้พิจารณาการตั้งชื่อของพืชตามลำดับก่อนหลังของการตีพิมพ์ขึ้นนั้น (priority of publication) ดังนั้น *B. pottsii* var. *velutina* จึงมีลักษณะดังนี้

***Bauhinia pottsii* var. *velutina* (Wall. ex Benth.) K. & S.S. Larsen**

*Phanera velutina* Benth. in Miq., Pl. Jungh. : 262. 1852.

*B. velutina* [Wall. ex] Bak. in Hook. f., Fl. Br. Ind. 2 : 280. 1878; Fischer, Kew Bull. 1927 : 87. Figure 1 : 10-13.

*B. mollissima* [Wall. Cat. No.5782 nom. nud.] Prain, J. Asiat. Soc. Bengal. 66 : 180, 183, 185, 499, 502. 1890. Figure 1 : 9.

*B. pottsii* var. *mollissima* (Wall.ex Prain) K. & S.S. Larsen, in Flora of Thailand 4,1 : 10. Fig.1 : 9.1984.

ชื่อพื้นเมือง ชงโคงคำ

ชื่ออื่นๆ ชงโคง, ชงโคงป้า, ชงโคงไไฟ

#### ลักษณะ

ลักษณะวิสัย เป็นไม้พุ่มหรือไม้กึ่งรกรอเลื้อยที่ไม่มีเมือจับ มีความสูง 3-10 เมตร กิ่งอ่อน มีสีเขียวอมน้ำตาลและมีขนสั้นนุ่มสีน้ำตาลปนคลุมทั่วไป ลำต้น มีสีน้ำตาลอ่อนเขียว หรือน้ำตาลอมดำ เปลือก มีช่องอากาศ 0.10 – 0.20 เซนติเมตร กระจายอยู่ทั่วไป

ใบเดี่ยว เรียงสลับ มีรูปร่างแบบรูปไข่หรือค่อนข้างกลม ขนาด 8.20 – 18.00 x 7.50 – 15.40 เซนติเมตร ปลายใบเว้าลึก 1.10 – 5.10 เซนติเมตรหรือประมาณ 1/3-1/2 ของความยาวใบและแยกออกเป็น 2 แฉก ปลายแฉกโค้งมนห่างกัน 2.80 – 8.00 เซนติเมตร โคนใบเว้ารูปหัวใจ ขอบใบมนุนเล็กน้อย เส้นใบแตกออกจากโคนใบ 9 – 14 เส้น ปลายสุดของเส้นกลางใบยื่นออกจากขอบใบเป็นดิ่งแหลมเล็กน้ำ 0.20–0.30 เซนติเมตร ด้านบนใบมีสีเขียว หรือมีคราบปนคลุมเห็นเป็นสีขาวเด่นชัด มีขนสั้นสีขาวใสปนคลุมทั่วไป มีขนแข็งเอนเล็กน้อย โคนใบมีสีเขียวอมน้ำตาล มีขนสั้นสีน้ำตาลปนคลุมหนาแน่นกว่าบริเวณอื่นๆ ด้านล่างใบเห็นเส้นใบชัดเจน มีขนสั้นสีขาวใสและขนแข็งเอนกระจายทั่วไปโดยเฉพาะบริเวณเส้นใบและโคนใบมีขนหนาแน่นกว่าบริเวณอื่นๆ ก้านใบ ยาวประมาณ 3.00 – 3.50 เซนติเมตร มีสีเขียว มีขนสั้นสีขาวใสและขนแข็งเอนสีขาวปนคลุมปานกลาง โคนก้านใบมีสีน้ำตาล มีขนสั้นสีน้ำตาลปนคลุมหนาแน่น หูใบ มีขนาดเล็กสีเขียว 2 คู่ คู่ที่อยู่ด้านในมีลักษณะเป็นเส้นเล็กๆผิวเรียบ มัน คู่ที่อยู่ด้านนอกคล้ายสามเหลี่ยมปolygonum และมีขนสั้นสีน้ำตาลปนคลุม

ดอก เป็นแบบช่อกระจะ ออกรากีปล่ายกิ่งหรือด้านข้างยาว 3–6 เซนติเมตร ก้านดอกย่อย ยาว 0.80–1.30 เซนติเมตรมีขันสันสีขาวใสปกคลุม ในประดับและใบประดับ ย่อย รูปร่างคล้ายสามเหลี่ยมปลายเรียวแหลม ยาว 0.20 – 0.50 เซนติเมตร มีขันสีขาวใสปกคลุม ดอกดูม มีสีเขียว รูปร่างคล้ายทรงกระบอกปลายเรียวแหลมหรือคล้ายทรงของปลายมีสัน 5 สันเด่นชัด ยาว 2.10 – 4.80 เซนติเมตร มีขันสันสีขาวใสและขันแข็งเอนสีขาวใสปกคลุม หนาแน่น ช่อดอก 1 ช่อประกอบด้วยดอกดูม 2 – 17 ดอก ฐานดอก สีเขียวรูปร่างคล้ายทรงกระบอกยาว 1.60 – 4.00 เซนติเมตร มีขันสันสีขาวใสและขันแข็งเอนสีขาวใสหรือน้ำตาลประปา กลีบเลี้ยง แยกออกจากกันเป็น 2 – 5 ส่วน ยาว 3.40 – 6.10 เซนติเมตร ผิวด้านนอกสีเขียว มีขันสันสีขาวใสและขันแข็งเอนสีขาวใสสีน้ำตาลปกคลุมทั่วไป โดยเฉพาะตรงซอกมีขันหนาแน่นกว่าบริเวณอื่นๆ ผิวด้านในเรียบสีขาวหรือเขียวอ่อน ประกอบด้วยเซลล์มีรูปร่างหลายเหลี่ยมเรียงไม่เป็นระเบียบ มีขันสันขาวใสกระจายทั่วไป กลีบดอก มี 5 กลีบรูปช้อนสีแดง ขอบหยักสีขาวหรือขาวอมเหลือง ขนาด  $0.60 – 2.30 \times 2.70 – 5.00$ ,  $1.20 – 2.90 \times 2.80 – 5.50$ ,  $0.60 – 2.20 \times 2.30 – 5.30$ ,  $0.50 – 1.70 \times 2.50 – 4.40$  และ  $0.50 – 1.70 \times 2.20 – 4.60$  ตามลำดับ มีแผ่นสีเหลืองกลางกลีบที่ 2 ซึ่งเป็นกลีบที่มีขนาดใหญ่ที่สุด ผิวกลีบดอกด้านบนเรียบไม่มีขัน ผิวด้านล่างมีขันสีขาวใสกระจายทั่วไป พับขันแข็งเอนบ้างเล็กน้อย เมื่อใช้กล้องจุลทรรศน์อิเลคตรอนแบบส่องการดักจำลังขยาย 5,000 เท่าและ 7,500 เท่า พนว่า ผิวกลีบดอกประกอบด้วยเซลล์ที่มีสันนูนคงอยู่หรือเรียงเป็นแนวขนาด  $0.30 – 0.50$  ไมครอน ก้านกลีบดอก สีเขียวอ่อน ตรงโคนสีม่วงแดง ยาว 1.30 – 3.70 เซนติเมตร ผิวด้านในมีขันสีขาวใสปกคลุมค่อนข้างมาก

เกรสรเพสผู้ที่สมบูรณ์ มี 3 อัน ก้านชูอับเรณู สีเขียวอ่อน โคนสีแดงอมม่วง ผิวเรียบมันไม่มีขัน ยาว  $2.20 – 5.80$  เซนติเมตร ติดกับอับเรณูแบบ versatile ที่จำแห่งซึ่งทำให้อัดราส่วนของอับเรณูด้านที่มีร่องต่อด้านที่ไม่มีร่องเท่ากับ  $0.70 – 0.88$  อับเรณู ค่อนข้างตรงสีเขียวอ่อนยาว  $0.90 – 1.90$  เซนติเมตร และแตกตามแนวยาว เมื่อใช้กล้องจุลทรรศน์อิเลคตรอนแบบส่องการดักจำลังขยาย 1,500 เท่า พนว่าผิวอับเรณูมีลักษณะเป็นคุ่มนูนคล้ายภูเขาปลายมนและมีสันนูน ขนาด  $1.30$  ไมครอนตามแนวยาวเพียงเล็กน้อย ในขณะที่ผิว ก้านชูอับเรณูมีลักษณะเป็นสันตามแนวยาวมีร่องระหว่างสันแต่ละสันกว้าง  $6 – 7$  ไมครอน เกรสรเพสผู้ที่เป็นหมัน มี 2 อัน สีเขียวอ่อนหรือสีขาว ขนาดเล็กกว่า  $0.10 – 0.20$  เซนติเมตร

เกรสรเพสเมีย ประกอบด้วย ยอดเกรสรเพสเมีย เป็นคุ่มนูนขนาดเล็กเห็นไม่เด่นชัด สีเขียวหรือน้ำตาลอ่อนๆ เมื่อใช้กล้องจุลทรรศน์อิเลคตรอนแบบส่องการดักจำลังขยาย 1,000 เท่า พนว่ามีลักษณะเป็นคุ่มนูนปลายมนกว้างประมาณ  $20-30$  ไมครอน ก้านเกรสรเพสเมีย

สีเขียวอ่อนยาว 1.10 – 3.30 เซนติเมตร มีขันสั้นสีขาวใสและขันแข็งเอนปกคลุมทั่วไป รังไข่อยู่เหนือวงกลีบมีสีเขียวอ่อน ยาว 0.70 – 1.90 เซนติเมตร มีร่องตรงกลางตามแนวยาวเด่นชัดปกคลุมด้วยขันสั้นสีขาวใสและขันแข็งเอนสีขาวใสหรือสีน้ำตาลหนาแน่น ก้านชูเกรสรสเมีย มีสีเขียวอ่อนยาว 1.20 – 2.60 เซนติเมตร มีขันสั้นสีขาวใสและขันแข็งเอนกระจายทั่วไป ออวุล มีสีเขียวอ่อน ผิวเรียบมัน จำนวน 1-6 ออวุล ติดอยู่ที่ผนังรังไน่ตามแนวตะเข็บ เมื่อใช้กล้องจุลทรรศน์อิเลคตรอนแบบส่องกราดกำลังขยาย 1,000 เท่า พนวานบนรังไน่มีตุ่มนูนขนาดเล็กปกคลุมทั่วไป

ผัก แบบกว้าง มีสันตามแนวยาวเด่นชัด ปลายแหลมเป็นจะอย ขนาด 2.50 – 3.00 x 12.00 – 18.50 เซนติเมตร ขณะผักยังอ่อนมีสีเขียวและมีขันสั้นสีขาวใสปกคลุมทั่วไป เมื่อผักแก่มีสีน้ำตาลเข้มและแตกออกความยาว เมล็ด มีรูปร่างค่อนข้างกลม แบบ สีน้ำตาลขนาดเล็กผ่านศูนย์กลาง 1.50 – 1.70 เซนติเมตร จำนวน 1 – 5 เมล็ดต่อผัก เมื่อใช้กล้องจุลทรรศน์อิเลคตรอนแบบส่องกราดกำลังขยาย 2,000 เท่า พนวานผิวผักมีขันสั้นๆและขันแข็งเอนปกคลุมทั่วไป ผิวเมล็ดมีรูพรุนขนาดเล็กๆประมาณ 2.00 – 3.60 ไมครอนกระจายทั่วไป

ระยะเวลาอกดอก

ตุลาคม ถึง กุมภาพันธ์

ระยะเวลาติดผัก

มกราคม ถึง เมษายน

การกระจายพันธุ์ในต่างประเทศ

พม่า มาเลเซีย

## บทที่ 6

### สรุปผลและข้อเสนอแนะ

การศึกษาชีวานุกรมวิธานของชงโคล่าในประเทศไทยโดยการสำรวจการกระจายพันธุ์ทั่วประเทศไทย พนร.ชงโคล่าเป็นพืชที่เจริญอยู่บริเวณป่าดิบชื้นที่ความสูงจากระดับน้ำทะเลประมาณ 10-200 เมตร ในปัจจุบันพบชงโคล่าในประเทศไทยเพียง 3 พันธุ์ กระจายพันธุ์อยู่เฉพาะภาคตะวันออกและภาคใต้เท่านั้น กล่าวคือ *B. pottsii* var. *subsessilis* มีการกระจายพันธุ์กิ่ว้างขวางที่สุดทั้งในภาคตะวันออกตั้งแต่จังหวัดระยองไปจนถึงจังหวัดตราด และภาคใต้ตั้งแต่จังหวัดชุมพรลงไปถึงจังหวัดตรัง ส่วน *B. pottsii* var. *pottsii* มีการกระจายพันธุ์เฉพาะภาคใต้เท่านั้นพบตั้งแต่จังหวัดระนองลงไปจนถึงจังหวัดปัตตานี สำหรับ *B. pottsii* var. *mollissima* ซึ่งถูกจัดรวมเป็นพันธุ์เดียวกับ *B. pottsii* var. *velutina* นั้นพบเฉพาะในภาคใต้เช่นกัน แต่มักพบเจริญอยู่ในที่มีความสูงจากระดับน้ำทะเลมาก ๆ ในແຕบจังหวัดชุมพรจนถึงจังหวัดพังงา ส่วน *B. pottsii* var. *decipiens* ซึ่งมีรายงานว่าเคยพบที่อำเภอป่าໄะ จังหวัดตราดนั้น ไม่พบจากการสำรวจครั้งนี้

### ลักษณะสัณฐานวิทยาของกิ่ง ใบ และดอกของชงโคล่า

ชงโคล่าทั้ง 3 พันธุ์มีลักษณะวิสัยโดยทั่วไปเป็นไม้พุ่มหรือไม้กึ่งรอเลือยที่ไม่มีเมือจับลำต้นและกิ่งมีสีน้ำตาลอ่อนตามลำตัว กิ่งอ่อนมักมีขนสั้นนุ่มปกคลุม และมีช่องอากาศกระจายอยู่ทั่วไปเห็นชัดเจน ในมีรูปร่างคล้ายไข่หรือค่อนข้างกลม ปลายแยกเป็น 2 แฉก โคนใบเว้ารูปหัวใจ เส้นใบแตกจากโคนใบ 11-15 เส้น ใบอ่อนมีสีแดงหรือสีน้ำตาลอ่อนแดง ผิวใบมีขนสั้นๆ และขันแข็งเนื่นปกคลุม โดยเฉพาะบริเวณเส้นใบจะมีขนหนาแน่นที่สุด ลักษณะใบที่มีความแปรผันแตกต่างอย่างเด่นชัดของชงโคล่าทั้ง 3 พันธุ์คือ *B. pottsii* var. *velutina* (*B. pottsii* var. *mollissima*) มีใบค่อนข้างกลม มักจะมีความกว้างมากกว่าความยาว ผิวด้านบนใบบางใบมีคิวทินปกคลุมเห็นเป็นลักษณะเด่นชัด ขันที่ปกคลุมผิวใบค่อนข้างสั้นและมีลักษณะเป็นร่องร่อง ลักษณะที่เป็นร่องร่องนี้เป็นลักษณะที่สำคัญในการจัดจำแนกชงโคล่าทั้ง 3 พันธุ์ แต่ในชงโคล่าที่มีลักษณะนี้ ไม่สามารถระบุได้ชัดเจน เนื่องจากมีลักษณะคล้ายกัน แต่ในชงโคล่าที่ไม่มีลักษณะนี้ สามารถระบุได้ชัดเจน เช่น *B. pottsii* var. *subsessilis* มีรูปร่างคล้ายรูปไข่เช่นเดียวกัน แต่ใบของ *B. pottsii* var. *pottsii* มีความยาวน้อยกว่าความกว้างเล็กน้อย มีขนสีน้ำตาลหรือสีม่วงอมแดงปกคลุมใบหนาแน่น ในขณะที่ใบของ *B. pottsii* var. *subsessilis* มักมีความยาวมากกว่าความกว้างเด่นชัด และมีขนสีน้ำตาลปกคลุมใบหนาแน่นเช่นกัน

ลักษณะดอกของชงโคง้ำทึ้ง 3 พันธุ์ แตกต่างกันเด่นชัดทั้งรูปร่างและสีสัน กล่าวคือ *B. pottsii var. pottsii* กับ *B. pottsii var. subsessilis* มีลักษณะดอกโดยทั่วไปคล้ายคลึงกันมากทั้งรูปร่างลักษณะสีสันของดอกดูม รูปร่างลักษณะสีสันของกลีบเลี้ยงและกลีบดอก เกสรเพศเมียและเกสรเพศผู้ แต่มีลักษณะที่แตกต่างกันอย่างเด่นชัดคือกลีบดอก *B. pottsii var. subsessilis* มีสีขาว และมีเด้มสีเหลืองตรงกลางกลีบดอกที่ 2 ในขณะที่กลีบดอก *B. pottsii var. pottsii* มีสีแดงขอบขาวและมีเด้มสีเหลืองตรงกลางกลีบดอกที่ 2 เช่นเดียวกัน สำหรับดอกของ *B. pottsii var. velutina* (*B. pottsii var. mollissima*) นั้นแม้จะมีกลีบดอกสีสันเหมือนกับ *B. pottsii var. pottsii* ทุกประการ แต่ก็มีรูปร่างแบบข้อนడอกต่างกันอย่างเด่นชัด นอกจากนี้รูปร่างลักษณะและสีสันของกลีบเลี้ยง เกสรเพศเมียและเกสรเพศผู้ก็ยังมีความแตกต่างจากชงโคง้ำพันธุ์อื่นๆอย่างชัดเจนอีกด้วย

ลักษณะฝักมีรูปร่างแบบปลายแหลมเป็นจะงอยคล้ายกัน แต่ฝักของ *B. pottsii var. velutina* (*B. pottsii var. mollissima*) มีสันหนาตามแนวยาวด้านบน ในขณะที่ *B. pottsii var. pottsii* และ *B. pottsii var. subsessilis* ไม่มีสันที่ฝัก

ดังนั้นจะเห็นได้ว่าลักษณะรูปร่างใบ ลักษณะขันและคิวทินที่ปักกลุ่มผิวใบ ลักษณะรูปร่างของดอกดูม กลีบเลี้ยง กลีบดอก เกสรเพศผู้ เกสรเพศเมีย และรูปร่างฝัก สามารถนำมาใช้ในการจัดจำแนก *B. pottsii var. velutina* (*B. pottsii var. mollissima*) แยกออกจากชงโคง้ำพันธุ์อื่นๆได้อย่างเด่นชัด ในขณะที่ *B. pottsii var. pottsii* กับ *B. pottsii var. subsessilis* นั้นสามารถจำแนกออกจากกันได้โดยใช้ลักษณะสีสันของกลีบดอก กลีบเลี้ยง รูปร่างลักษณะของเกสรเพศผู้ และเกสรเพศเมีย

### ลักษณะสัณฐานวิทยาของเรตุชงโคง้ำ

เรตุชงโคง้ำคือตัวที่พบในประเทศไทยอยู่เป็นกลุ่ม กลุ่มละ 4 เรตุชเรียงตัวเกาะกันอยู่คล้ายรูปพีระมิด มีขั้วแบบ isopolar มีช่องเปิดแบบ 3-corporate ลวดลายผิวมีลักษณะเป็นแบบ perforate และมักพบ granule กระจายอยู่ทั่วไป ลักษณะเรตุชงโคง้ำมีความแปรผันทั้งด้านรูปร่าง ขนาด ช่องเปิดและพื้นที่บริเวณขั้ว ทำให้สามารถจำแนกชงโคง้ำออกเป็น 3 พันธุ์เช่นเดียวกับการใช้ลักษณะสัณฐานวิทยาของกิง ใน และดอก โดยเรตุชของ *B. pottsii var. subsessilis* มีลักษณะแตกต่างจากชงโคง้ำพันธุ์อื่นๆอย่างเด่นชัด กล่าวคือมีรูปกลมแบน ค่า P/E ประมาณ

0.60-0.95 มีช่องเปิดสั้นมาก ทำให้มีพื้นที่บริเวณข้างน้ำด้วยรูปแบบ verrucae เลย ส่วน *B. pottsii* var. *pottsii* มีรูปร่างกลมรีคล้ายรูปไข่ ค่า P/E ประมาณ 0.86-1.25 มีช่องเปิดค่อนข้างยาวประมาณครึ่งหนึ่งของความยาวเรณูแนว polar axis จึงทำให้มีพื้นที่บริเวณข้างน้ำด้านกลางและมักพบ *verrucae* 2 ตุ่มเด่นชัด สำหรับ *B. pottsii* var. *velutina* (*B. pottsii* var. *mollissima*) นั้นมีรูปไข่ค่อนข้างรี ค่า P/E ประมาณ 0.80-1.20 มีช่องเปิดยาวมากถึง 4/5 ของความยาวเรณูแนว polar axis จึงทำให้มีพื้นที่บริเวณข้างน้อยที่สุดและมักพบ *verrucae* 2-4 ตุ่มเด่นชัด ดังนั้นลักษณะสำคัญของเรณูที่สามารถนำมาใช้ในการจัดจำแนกซึ่งโคคำคือ รูปร่างเรณู ลักษณะช่องเปิดพื้นที่บริเวณน้ำ ค่า polar field index และจำนวน *verrucae*

### แบบแผนไอโซไซม์ของชงโคคำ

จากการศึกษาแบบแผนไอโซไซม์ที่มีลักษณะเป็น polymorphism 6 ระบบพบว่าแบบแผนไอโซไซม์ ACP, GOT, MDH และ SKDH ของ *B. pottsii* var. *pottsii* เหมือนกับ *B. pottsii* var. *subsessilis* และ *B. pottsii* var. *velutina* เมื่อเทียบกับ *B. pottsii* var. *mollissima* ในขณะที่แบบแผนไอโซไซม์ EST กับ PER ของชงโคคำทั้ง 4 พันธุ์แตกต่างกันอย่างชัดเจน แสดงว่าลักษณะแบบแผนไอโซไซม์ 6 ระบบที่พบในชงโคคำแต่ละพันธุ์มีความแปรผันระหว่างประชากรมากเพียงพอที่จะใช้ในการจำแนกซึ่งโคคำแต่ละพันธุ์ออกจากกันได้อย่างเด่นชัด

### การศึกษา numerical taxonomy ของชงโคคำ

การศึกษาชีวนิการวิธานของชงโคคำในประเทศไทยด้วยเทคนิคการวิเคราะห์นี้จัดการวิเคราะห์จัดกลุ่ม และการวิเคราะห์จัดจำแนก โดยใช้ข้อมูลจากลักษณะสัณฐานวิทยาของในตอก และเรณู อย่างโดยอย่างหนึ่งเพียงอย่างเดียวหรือใช้ข้อมูลทั้งหมดรวมกันพบว่าได้ผลสอดคล้องกันทั้ง 3 เทคนิค กล่าวคือสามารถจัดจำแนกซึ่งโคคำออกเป็น 3 กลุ่ม คือกลุ่มที่ 1 *B. pottsii* var. *pottsii* กลุ่มที่ 2 *B. pottsii* var. *subsessilis* และกลุ่มที่ 3 *B. pottsii* var. *velutina* (*B. pottsii* var. *mollissima*)

ลักษณะสัณฐานวิทยาของในที่มีความสำคัญในการจัดจำแนกซึ่งโคคำมี 4 ลักษณะ LBF, NSV, WLE และ LLE แต่พบว่าการใช้ลักษณะสัณฐานวิทยาของในเพียงอย่างเดียวไม่สามารถจัดจำแนกประชากรชงโคคำได้อย่างเด่นชัดและยังมีเบอร์เซ็นต์การทำนายกลุ่มประชากร

จากการวิเคราะห์จัดจำแนกค่อนข้างต่ำมากเพียง 47.80 เปอร์เซ็นต์เท่านั้น ดังนั้นจึงไม่ควรใช้ลักษณะสัณฐานวิทยาของใบซึ่งเป็น vegetative character เพียงอย่างเดียวมาใช้ในการทำนายกลุ่มประชากรชงโคงคำในประเทศไทย

ลักษณะสัณฐานวิทยาของดอกที่มีความสำคัญในการจัดจำแนกชงโคงคำมี 11 ลักษณะ คือ RAF, WCA, LAN 1, LGY, LPCL 3 และ 5, RBR, LPE 2 และ 5, LCA และ LFI 2 สามารถใช้ในการจัดจำแนกประชากรชงโคงคำเป็น 3 กลุ่มอย่างเด่นชัด โดยมีเปอร์เซ็นต์การทำนายกลุ่มประชากรจากสมการวิเคราะห์จัดจำแนก 75.60 เปอร์เซ็นต์ ซึ่งสูงกว่าค่าต่ำสุดที่สามารถถอยยอมรับได้ ดังนั้nlักษณะสัณฐานวิทยาของดอกจึงเหมาะสมที่จะนำมาใช้ในการจำแนกประชากรของชงโคงคำในประเทศไทยได้

ลักษณะสัณฐานวิทยาของเรณูที่มีความสำคัญในการจัดจำแนกชงโคงคำมี 8 ลักษณะ คือ DAP, PFI, LAP, SPO, DPA, WAP, DEA และ NVR สามารถจำแนกชงโคงคำออกเป็น 3 กลุ่มได้เช่นเดียวกัน แต่มีเปอร์เซ็นต์การทำนายกลุ่มประชากรจากสมการวิเคราะห์จัดจำแนกเท่ากับ 68.90 เปอร์เซ็นต์ซึ่งน้อยกว่าค่าต่ำสุดที่สามารถถอยยอมรับได้ ดังนั้nlักษณะสัณฐานวิทยาของเรณูเพียงอย่างเดียวจึงยังไม่เหมาะสมที่จะใช้ในการจำแนกประชากรชงโคงคำในประเทศไทย

เมื่อใช้ทั้งลักษณะสัณฐานวิทยาของดอกและเรณูร่วมกันในการจัดจำแนกชงโคงคำพบว่าลักษณะที่มีความสำคัญในการจัดจำแนกประกอบด้วยลักษณะสัณฐานวิทยาของดอก 9 ลักษณะ คือ RAF, LPCL 2, 3 และ 4, LAN 1, LGY, LPE 5, PBR และ WCA กับลักษณะสัณฐานวิทยาของเรณู 7 ลักษณะ คือ DAP, LAP, NVR, WAP, DEA, SPO และ DPA สามารถจำแนกชงโคงคำออกเป็น 3 กลุ่มอย่างเด่นชัด โดยมีเปอร์เซ็นต์การทำนายกลุ่มประชากรจากสมการวิเคราะห์จัดจำแนกเท่ากับ 83.10 เปอร์เซ็นต์ ซึ่งมีค่าสูงกว่าค่าต่ำสุดที่สามารถถอยยอมรับได้ ดังนั้นการใช้ลักษณะสัณฐานวิทยาของดอกและเรณูซึ่งเป็น reproductive character จึงมีความเหมาะสมในการใช้จัดจำแนกประชากรชงโคงคำในประเทศไทย

เมื่อใช้ทั้งลักษณะสัณฐานวิทยาของใบ ดอก และเรณูร่วมกันในการจัดจำแนกชงโคงคำ พบร่วมกันที่มีความสำคัญในการจัดจำแนกประกอบด้วยลักษณะสัณฐานวิทยาของใบ 4 ลักษณะ คือ NSV, LBF, LLE และ WLE ลักษณะสัณฐานวิทยาของดอก 9 ลักษณะ คือ RAF, LPCL 3 และ 4, LAN 1, LGY, LPE 5, RBR, WPE 4 และ WCA และลักษณะสัณฐานวิทยาของ

เรณู 7 ลักษณะคือ DAP, LAP, NVR, VAP, DEA, SPO และ DPA สามารถจำแนกซึ่งโคล่าอกเป็น 3 กลุ่มอย่างเด่นชัดเข่นกัน แต่มีเบอร์เซ็นต์การทำนายกลุ่มประชากรจากการวิเคราะห์จำแนกสูงถึง 84.90 เปอร์เซ็นต์ แสดงว่าในการจัดจำแนกประชากรซึ่งโคล่า้นั้น ควรจะใช้ทั้งลักษณะ vegetative character และ reproductive character ร่วมกัน

เมื่อใช้ค่า Rf ของแทนไอโซไซม์ 6 ระบบที่มีลักษณะแบบแผนไอโซไซม์เป็น polymorphism มาจำแนกซึ่งโคล่า พนว่าลักษณะที่มีความสำคัญในการจัดจำแนกมี 12 ลักษณะคือ ACP 1-2, GOT 3, MDH 2, SKDH 1, EST 1, 3, 5, 6, 8 และ PER 7,10 สามารถจำแนกซึ่งโคล่าอกเป็น 4 กลุ่มอย่างเด่นชัด โดยมีเบอร์เซ็นต์การทำนายกลุ่มประชากรจากสมการวิเคราะห์จัดจำแนกสูงสุดถึง 100 เปอร์เซ็นต์ แสดงว่าแบบแผนไอโซไซม์ของซึ่งโคล่าทั้ง 4 กลุ่มมีความแตกต่างกันอย่างชัดเจน

เมื่อใช้ทั้งลักษณะสัณฐานวิทยาของใบ ดอก เรณู และแบบแผนไอโซไซม์ทั้งหมดร่วมกันในการจัดจำแนกซึ่งโคล่า กับว่าลักษณะที่มีความสำคัญในการจัดจำแนกประกอบด้วยลักษณะสัณฐานวิทยาของดอก 3 ลักษณะคือ LPCL 3, RAF, LAN 2 ลักษณะสัณฐานวิทยาของเรณู 2 ลักษณะคือ NVR, PFI และลักษณะแบบแผนไอโซไซม์ 14 ลักษณะคือ ACP 1-2, EST 1,8 GOT 1-3, MDH 2-3, PER 7, 10, 11, 14 และ SKDH 2 สามารถจัดจำแนกซึ่งโคล่าอกเป็น 3 กลุ่มเช่นเดิม โดยมีเบอร์เซ็นต์การทำนายกลุ่มประชากรจากการสมการวิเคราะห์จำแนกสูงสุด เช่นกันคือ 100 เปอร์เซ็นต์ แสดงให้เห็นว่าเมื่อใช้ลักษณะที่เป็น vegetative character, reproductive character และแบบแผนไอโซไซม์ 6 ระบบร่วมกันแล้วสามารถจำแนกประชากรซึ่งโคล่าในประเทศไทยออกเป็น 3 พันธุ์

### การเปรียบเทียบสถานะทางอนุกรมวิธานของซึ่งโคล่า ชงโคลและกาหลง

การศึกษาเปรียบเทียบสถานะทางอนุกรมวิธานของซึ่งโคล่า ชงโคลและการหลงโดยใช้ข้อมูลจากการศึกษาลักษณะสัณฐานวิทยาของกิง ใน ดอก เรณู ฝักและเมล็ด รวมทั้งสิ้น 74 ลักษณะ น้ำวิเคราะห์ด้วยเทคนิคการวิเคราะห์ปัจจัย การวิเคราะห์จัดกลุ่ม และการวิเคราะห์จัดจำแนก พนว่าได้ผลลัพธ์คล้ายกัน กล่าวคือสามารถจำแนกประชากรซึ่งโคล่า ชงโคล และกาหลง อยู่ในหน่วยอนุกรมวิธานเดียวกันคือระดับชนิด (species) และซึ่งโคล่าด้วยถูกจัดจำแนกเป็นกลุ่มย่อยในระดับต่ำกว่าชนิดอีก 3 กลุ่ม โดยมีเบอร์เซ็นต์การทำนายกลุ่มประชากรจากสมการวิเคราะห์จัดจำแนกสูงถึง

99.30 เปอร์เซ็นต์ ดังนั้นจึงสรุปได้ว่าซองโคล่าในประเทศไทยควรที่จะจัดจำแนกออกเป็น 3 พันธุ์ คือ 1. *B. pottsii* var. *pottsii* 2. *B. pottsii* var. *subsessilis* และ 3. *B. pottsii* var. *velutina* ส่วน *B. pottsii* var. *mollissima* นั้นจัดรวมเป็นพันธุ์เดียวกับ *B. pottsii* var. *velutina* ตามกฎของ ICBN ข้อที่ 3 ที่กำหนดให้พิจารณาชื่อวิทยาศาสตร์ของพืชตามลำดับก่อนหลังของการตีพิมพ์ชื่อหน้า (priority of publication)

จากการศึกษาชีวานุกรมวิธานของชงโคล่าในประเทศไทยครั้งนี้ทำให้ได้ข้อสรุปว่า ข้อมูลจากการศึกษาด้านสัณฐานวิทยาของลักษณะ reproductive characters เมื่อนำมาวิเคราะห์ด้วย เทคนิคทางสถิติที่เหมาะสม สามารถใช้ในการตรวจสอบสถานะทางอนุกรมวิธานของชงโคล่าทั้งในระดับ ชนิดและระดับต่ำกว่าชนิดได้ สำหรับการศึกษาโดยใช้ข้อมูลด้านไอโซไซน์ในครั้งนี้นั้นพบลักษณะที่เป็น polymorphism เพียง 6 ระบบเท่านั้น ดังนั้นจึงยังไม่สามารถสรุปได้อย่างแน่ชัดว่าแบบแผนไอโซไซน์ของ ชงโคล่าทั้ง 4 พันธุ์มีความแตกต่างกันในระดับใด ทั้งนี้เนื่องจากการศึกษารั้งนี้พบว่าแบบแผนไอโซไซน์ ระบบ EST และ PER นั้นมีความแปรผันค่อนข้างสูงและเป็นลักษณะสำคัญที่แยกชงโคล่าทั้ง 4 พันธุ์ออก จากกันได้ค่อนข้างเด่นชัด ในขณะที่ไอโซไซน์ ACP, GOT, MDH และ SKDH มีแบบแผนค่อนข้างคงที่ และสามารถจำแนกชงโคล่าออกเป็น 2 กลุ่ม ดังนั้นการศึกษาโดยใช้ข้อมูลจากแบบแผนไอโซไซน์ระบบ อีนจุลายูระบบซึ่งยังไม่ได้ทำการทดลองในครั้งนี้ จึงมีความสำคัญที่จะช่วยให้การตรวจสอบสถานะ ทางอนุกรมวิธานของชงโคล่าในครั้งนี้มีความถูกต้องแน่นอนมากยิ่งขึ้น แต่อย่างไรก็ตามพบว่าเมื่อนำข้อมูลจากการศึกษาด้านสัณฐานวิทยาและแบบแผนไอโซไซน์ 6 ระบบมาวิเคราะห์ร่วมกันก็สามารถจำแนก ชงโคล่าออกเป็น 3 กลุ่มเหมือนกับการใช้ลักษณะ reproductive character เพียงอย่างเดียว

#### ข้อเสนอแนะ

การศึกษาชีวานุกรมวิธานของชงโคล่าในครั้งนี้ทำให้เกิดความมั่นใจในการจำแนกพันธุ์ ชงโคล่าได้อย่างชัดเจนดังนั้นควรที่จะนำการศึกษาด้านชีวานุกรมวิธานมาใช้ในการตรวจสอบสถานะทาง อนุกรมวิธานของพืชสกุล *Bauhinia* ที่พบในประเทศไทยอีกหลายชนิด ซึ่งมีลักษณะบางประการ คล้ายคลึงกันมากจนอาจทำให้เกิดความผิดพลาดในการจัดจำแนกได้ เช่น *Bauhinia purpurea* Linn., *B. variegata* Linn. และ *B. blakeana* Dunn. ซึ่งเข้าใจกันว่าเป็นลูกผสมของ *B. purpurea* x *variegata* (Larsen, Larsen และ Vidal, 1984) หรือ *B. viridescens* var. *viridescens* Desv. กับ *B. viridescens* var. *hirsuta* K. & S.S. Larsen ซึ่งมีความแตกต่างกันเพียงแค่การมีหรือไม่มีขนหนาแน่นทึบอ่อน ใน และข้อดоказเท่านั้น (Larsen, Larsen และ Vidal, 1984) และการมีการศึกษาเบรเยนเทียบในระดับ DNA ด้วยเพื่อสนับสนุนผลการศึกษาในครั้งนี้

นอกจากนี้ควรนำเทคนิคการศึกษาด้านชีวานุกรมวิธานมาช่วยตรวจสอบสถานะทาง อนุกรมวิธานของพันธุ์เมืองบ้านกรุงของประเทศไทยที่ยังมีปัญหาในการจัดจำแนกทั้งในระดับบัวงค์ ระดับ สกุล ระดับชนิดและระดับต่ำกว่าชนิดอีกด้วย

## รายการอ้างอิง

### ภาษาไทย

- โภสุມ พีระมาน. 2522. วิธีเครื่องสไลด์เพื่อศึกษาลักษณะเรตโนหรือสปอร์. ใน วิทยาศาสตร์ และ เทคโนโลยีเพื่อการพัฒนาประเทศไทย. บทคัดย่อการประชุมวิชาการ 2522. หน้า 201.  
กรุงเทพ : บริษัท สารมวลชน จำกัด
- ชวนพิศ อรุณรังสิกุล. 2538. การตรวจสอบสายพันธุ์พืชด้วยการใช้ isozyme pattern และ RAPD ใน เอกสารประกอบการฝึกอบรมทางวิชาการฝ่ายปฏิบัติการวิจัยและเรือนปลูกพืชทดลอง มหาวิทยาลัยเกษตรศาสตร์ วิทยาเขตกำแพงแสน นครปฐม
- ต่อศักดิ์ สีลานันท์. 2535. ใบโอซเทมาติกส์ของโคลงเคลงขน (Melastoma villosum Lodd.) ในประเทศไทย. วิทยานิพนธ์ปริญญามหาบัณฑิต ภาควิชาพฤกษาศาสตร์ บัณฑิต วิทยาลัย จุฬาลงกรณ์มหาวิทยาลัย.
- ปรีชา ประเพา. 2533. การศึกษานิเวศน์พันธุศาสตร์ของพืชสกุลถั่วแปบข้าง (Afgekia sp. Craib) ใน ประเทศไทย. วิทยานิพนธ์ปริญญามหาบัณฑิต ภาควิชาพฤกษาศาสตร์ บัณฑิตวิทยาลัย จุฬาลงกรณ์มหาวิทยาลัย.
- รสริน พลวัฒน์. 2539. ใบโอซเทมาติกส์ของประชากรเพรินลินกรัม (Pyrrosia eberhardtii (Christ) Ching) ใน ประเทศไทย. วิทยานิพนธ์ปริญญามหาบัณฑิต ภาควิชาพฤกษาศาสตร์ บัณฑิตวิทยาลัย จุฬาลงกรณ์มหาวิทยาลัย.
- สมิต บุญเสริมสุข. 2530. การศึกษาเรณุของพรมไม้ม่วง Rhizophoraceae ของประเทศไทย. วิทยานิพนธ์ปริญญามหาบัณฑิต มหาวิทยาลัยเกษตรศาสตร์.
- สุจิตรา จางตระกูล และคนอื่น ๆ . 2534. หลักการและเทคนิคพื้นฐานในการศึกษา isozyme analysis กับพรมไม้ม่วง. กรุงเทพ : ศูนย์วิจัยและฝึกอบรม ฝ่ายงานวัฒนวิจัย กองบัญชารุ่ง กรมป่าไม้.
- สุชาติ ประสิทธิ์รัฐสินธุ์ และกรณิการ์ สุขเกษม. 2533. เทคโนโลยีทางสถิติขั้นสูงสำหรับการวิเคราะห์ข้อมูลด้วยไมโครคอมพิวเตอร์และโปรแกรมสำเร็จรูป SPSS PC+ เล่ม 1. กรุงเทพฯ : โรงพิมพ์ภาคพิมพ์. 113 หน้า.
- สุชาติ ประสิทธิ์รัฐสินธุ์ และกรณิการ์ สุขเกษม. 2533. เทคโนโลยีทางสถิติขั้นสูง สำหรับการวิเคราะห์ข้อมูลด้วยไมโครคอมพิวเตอร์และโปรแกรมสำเร็จรูป SPSS PC+ เล่ม 3. กรุงเทพฯ : โรงพิมพ์ภาคพิมพ์. 124 หน้า .

## ການອັນກຖະ

- Aly, M.A.M., Fjellstrom, R.G., Mc Granahan, G.M., and Parfitt, D.E. 1992. Origin of walnut somatic embryos determined by RFLP and isozyme analysis. Hort. Science 27 (1) : 61-63
- Anderson, S.T. 1960. Silicon oil as mounting medium for pollen grains. Geol. Surv. Denmark 4:1-24.
- Andrew, M.T. 1984. Isozyme from avocado cotyledons. J. Hered. 75: 300-302.
- Bassiri, A., and Rouhani, I. 1976. Identification of broad bean cultivars based on isozyme patterns. Euphytica 26 : 279-286.
- Baum, B.R. 1983. Morphometric relationships in *Hordeum vulgare* (Triticeae, Poaceae). II *Hordeum agriocrithon*, *H. distichum*, *H. lagunculiforme*, *H. spontaneum* and *H. vulgare* Can. J. Bot. 61 : 2023-2031.
- Baum, B.R., and Bailey, L.G. 1983. Morphometric relationships in *Hordeum vulgare* (Triticeae, Poaceae). I. *H. spotaneum*. Can.J.Bot. 61 : 2015-2022.
- Baum, B.R., and Bailey, L.G. 1984. Taxonomic studies in wall barley (*Hordeum murinum sensu lato*) and sea barley (*Hordeum marinum sensu lato*) II. Multivariate morphometrics. Can.J.Bot. 62:2754-2764.
- Bournival, B.L., and Korban, S.S. 1987. Electrophoretic analysis of genetic variation in the apple. Scientia Hort. 31: 233-243.
- Casas, A., Caballero, J., Valiente-Banuet, A., Soriano, J.A., And Da'vila P. 1999. Morphological variation and the process of domestication of *Stenocereus stellatus* (Cactaceae) in Central Mexico. Amer. J. Bot. 1999.
- Case, M.A., Mlodzeniec, H. T., Wallace, L.E., and Weldy, T.W. 1998. Conservation genetics and taxonomic status of the rare Kentucky lady's slipper : *Cypripedium kentuckiense* (Orchidaceae) Amer. J. Bot. 85(12) : 1779-1786.
- Chmielewski, J.G., and Chinnappa, C.C. 1988. The genus *Antennaria* (Asteraceae: Inuleae) in North America: multivariate analysis of variation pattern in *Antennaria rosea sensu lato*. Can. J. Bot. 66: 1583-1609

- Chuang, T.I., and Heckard, L.R. 1972. Seed coat morphology in *Cordylanthus* (Scrophulariaceae) and its taxonomic significance. *Amer. J. Bot.* 59:258-265.
- Conkle, M.T. Hodskiss, P.D., Nunnally, L.B., and Hunter, S.C. 1982. *Starch gel electrophoresis of conifer seeds : a laboratory manual.* General Technical Report PSW-64. U.S.D.A. Forest Service pacific Southwest Forest and Range Experiment Station, Berkeley.
- Conlein, M.E., and Smith, H.H. 1971. Peroxidase isozymes : A measure of molecular variation in ten herbaceous species of *Datura*. *Amer. J. Bot.* 58 : 688-696.
- Cousineau, J. C. and Donnelly, D. J., 1992. Genetic analysis of isoenzymes in raspberry. *J. Amer. Soc. Hort. Sci.* 117 (6) : 996-999.
- Craib, W.G. 1925-1931. *Florae Siamensis Enumeratio.* vol.1,3. Bangkok: Siam Society.
- Crawford, D.J. 1983. Phylogenetic and systematic interferences from electrophoretic studies, pp.257-287. *Isozymes in Plant Genetics and Breeding, Part A.* Amsterdam: Elsevier Science Publishers B.V.
- Doebley, J.F.,and Iltis, H.H. 1980. Taxonomy of *Zea* (Graminae). I. A subgeneric classification with key to taxa. *Amer. J. Bot.* 67: 982-993.
- Downie, S.R., and McNeill, J. 1990. A note on the taxonomic status of *Euphrasia randii* (Scrophulariaceae). *Can. J. Bot.* 68: 1531-1535.
- Dunn, G., and Everitt, B.S. 1982. *An introduction to mathematical taxonomy.* Cambridge : the Press Syndicate of the University of Cambridge.
- Edwards, M.E., Dawe, J.C., and Ambruster, W.S. 1991. Pollen size of *Betula* in Northern Alaska and the interpretation of the quaternary vegetation records. *Can. J. Bot.* 69 : 1666-1672.
- Esau, K. 1977. *Anatomy of Seed Plants.* 2<sup>nd</sup> ed. New York: John Wiley & Sons.
- Ferguson, I.K. and Banks, H. 1994. Tetrad pollen in the subfamily Caesalpinoideae (Leguminosae) and its significance. *Review of Palaeobotany and Palynology.* 83 : 31 – 42.
- Fisher, 1927. Contributions to the Flora of Burma. *Kew Bulletin.* p.87 fig. 1: 10-13.
- Giussani, L.M., Martinez, A.J., and Collantes, M.B. 1996. Morphological variation associated with the environment in four dioecious Patagonian *Poa* species : the *Poa rigidifolia* complex *Can. J. Bot.* 74: 762-772.

- Gottlieb, L.D., and Ford, V.S. 1999. The status of *Clarkia australis* (Onagraceae). Amer. J. Bot. 86 (3) : 428-435.
- Green, R.L., Dudeck, A.E., Hannah, L.C., and Smith, R.L. 1981. Isoenzyme Polymorphism in St. augustinegrass. Crop Science 21 : 778-782.
- Guinet, Ph., and Ferguson, I.K. 1989. Structure, evolution, and biology of pollen in Leguminosae. In : C.H. Stirton and J.L. Zarucchi (Editors), Advances in Legume Biology. Monoqr. Syst. Bot. Mo. Bot. Gard. 29:77-103.
- Hanks, S. and Fryxell, P.A. 1979. Palynological studies of *Gaya* and *Herissantai* (Malvaceae). Amer. J. Bot. 66: 494-501.
- Heard, S.B., and Semple, J.C. 1988. The *Solidago rigida* complex (Compositae) : a multivariate morphometric analysis and chromosome number. Can. J. Bot. 66: 1800-1807.
- Johnson, B.L., and Thein, T. 1970. Assessment of evolutionary affinities in *Gossipium* by protein electrophoresis. Amer. J. Bot. 57: 1081-1092.
- Jones, S.B., and Luchsinger, A.E. 1987. Plant Systematics 2nd. Singapore : B & Jo Enterprise Pte Ltd.
- Labrecque, J., and Brouillet, L. 1995 Biosystematique du complexe de L' *Aster novi-belgii* (Asteraceae : Astereae) au Que'bec. Can. J. Bot. 74:162-188.
- Larsen, S.S. 1975. Pollen morphology of Thai species of *Bauhinia* (Caesalpiniaceae). Grana 14 : 114-131
- Larsen, K. and Larsen, S.S. 1973. The Genus *Bauhinia* in Thailand. Natural History Bulletin of Siam Society. 25 : 1-15.
- Larsen, K., Larsen, S.S. and Vidal, J.E. 1984. Leguminosae-Caesalpinoideae. In : Flora of Thailand vol. 4 part 1, pp. 1-11, (eds. T.Smitinand and K. Larsen), Bangkok: The Tistr Press.
- Lawrance, G.H. 1967. Taxonomy of vascular plants. New York : The Macmillan Company.
- Menadue, Y., and Crowd, R.K. 1988. Multivaraite analysis of variation in *Ranunculus decurus* (Hook.Fil.) Melville and *R. concinnus* (Hook.Fil.) Melville (Ranunculaceae). Botany Journal of Linnean Soceity 98 : 71-83.

- Messina, R., Testolin, R., and Morgante, M. 1981. Isozymes for cultivar identification in kiwifruit. Hort. Science 26 (7): 899-902.
- Nelson, A.D., and Elisens, W.J. 1999. Polyploid evolution and Biogeography in *Chelone* (Scrophulariaceae) : morphological and isozyme evidence. Amer. J. Bot. 86 (10) : 1484-1501.
- Norusis, M.J. 1985. SPSS/PC+ tables, advanced statistics. New York : Mc Graw - Hill Book Company.
- Oliver, L.J., and Rejon, M.R. 1980. The relationship between isozymes and ploidy level, its application to biogeographical studies of *Muscari atlanticum* (Liliaceae). Taxon 29 : 27-32.
- Padgett, D.J. 1998. Phenetic distinction between the dwarf yellow water-lilies : *Nuphar microphylla* and *N. pumila* (Nymphaeaceae). Can. J. Bot. 76 : 1755-1762.
- Padgett, D.J., Les, D.H., and Crow, G.E. 1998 Evidence for the hybrid origin of *Nuphar x Rubrodisca* (Nymphaeaceae). Amer. J. Bot. 85 (10) : 1468-1476.
- Palmer, C.L., and Parker, W.H. 1991. Phenotypic variation in Yukon populations of subalpine fir. Can. J. Bot. 69 : 1491-1500.
- Paris, C.A., and Windham, M.D. 1988. A biosystematics investigation of the *Adiantum pedatum* complex in Eastern North America. Systematic Botany. 13 (2) : 240-255.
- Parker, W.H., Maze, J., and Bradfield, G.E. 1981. Implication of morphological and anatomical variation in *Abies basamea* and *A. lasiocarpa* (Pinaceae) from western Canada. Amer. J. Bot. 68 : 843-854.
- Pranom Chantanothai. 1989. The taxonomy of Eugenia L. sensu lato (Myrtaceae) in Thailand. Doctoral dissertation, University of Dublin.
- Praqlowski, J., Nowicke, J.W., Raven, P.H., Skvarla, J.J., and Wagner, W.L. 1987. Onagraceae juss. Onaqreae R.Raimann pro parte. World Pollen and Spore Flora, Stockholm. 55 pp.
- Quiros, C.F. 1980. Identification of alfalfa plants by enzyme electrophoresis. Crop Sci. 20: 262-264.

- Rehfeldt, G.E. 1999. Systematics and genetic structure of *Ponderosae* taxa (Pinaceae) inhabiting the mountain islands of the Southwest. Amer. J. Bot. 86 (5) : 741-752.
- Reyes, L.M. and Collins, W.W. 1992. Genetic control of seven enzyme systems in *Ipomoea* species. J. Amer. Soc. Hort. Sci. 117 (6): 1000-1005.
- Reynold, J.F., and Crawford, D.J. 1980. A quantitative study of variation in the *Chenopodium atrovirens-desiccatum-pratericol* complex. Amer. J. Bot. 67:1380-1390.
- Robbins, R.r., Dickinsons, D.B., and Rhodes, A.M. 1979. Morphometric analysis of pollen from four species of *Ambrosia* (Compositae). Amer. J. Bot. 66: 539-545.
- Ruiz, A., and Maribona, R.H. 1983. Peroxidase isozyme analysis: a massive method of identification of sugar cane varieties. Proc. ISSCT. 19: 625-638.
- Sambrook, J., Fritsh, E.F., and Maniatis, T. 1989. Molecular Cloning, A laboratory Manual, 2 nd. ed. Cold Spring Harbor Laboratory Press. U.S.A. p. 18.47-18.59.
- Schmitz, A. 1973. Contribution palynologique a la taxonomie des Bauhinieae (Caesalpiniaceae). Bull. Jard. Bot. Natl. Belg. 43: 369-423.
- Semple, J.C., Chmielewski, J.G. and Brammall, R.A. 1990. A multivariate morphometric study of *Solidago nemoralis* (Compositae : Asteraceae) and comparison with *S.californica* and *S.sparsiflora*. Can. J. Bot. 68 : 2070-2082.
- Simpson, M.J.A., and Withers, L.A. 1986. Characterization of Plant Genetic Resources using isozyme electrophoresis : a guide to the Literature. IBPGR, Rome. 102 p.
- Skvaral, J.J., Raven, P.H., and Praglowski, J. 1976. Ultrastructural Survey of Onagracerae pollen. In : I.K. Ferguson and J.Muller (Editors), The Evolutionary Significance of the Exine. London: Academic. pp.447-479.
- Small, E., Crompton, C.W., and Brookes, B.S. 1981. The Taxonomic Value of Floral Characters in Tribe Trigonellae (Leguminosae), with special reference to Medicago. National Research Council of Canada. 1576-1598.
- Smouse, P.E., and Saylor, L.C. 1973. Study of the *Pinus rigida-serotina* complex. Ann. Missouri Bot. Gard. 60:192-203.
- Sneath, P.H.A., and Sokal, R.R. 1973. Numerical Taxonomy. San Francisco : W.H. Freeman and Company.

- Solbrig, O.T. 1970. Principle and method of plant biosystematics. London: The Macmillan Company Gollier-Macmillan Limited.
- Speer, W.D. and Hilu, K.W. 1999. Relationships Between Two Infraspecific Taxa of *Pteridium aquilinum* (Dennstaedtiaceae). I. Morphological Evidence. Systematic Botany. 23 (3) : 305-312
- Stace, C.A. 1989. Plant taxonomy and biosystematics. 2 nd. ed. London : Biddles Ltd., Guildford and King' s Lynn.
- Standley, L.A. 1987. Taxonomy of the *Carex lenticularis* complex in eastern North America. Can. J. Bot. 65 : 673-686.
- Steenis, C.G.G.J. 1958. Flora Malaysiana. vol. 5. Netherlands : P. Noodhoff.
- Tanksley, S.D. and Orton, T.J. 1983. Isozymes in Plant Genetics and Breeding, Part A. Amsterdam: Elsevier Sci. Publ. B. V. 516 p.
- Tanksley, S.D., and Rick, C.M. 1980. Genetics of esterases in species of *Lycopersicon*. Theor. Appl. Genet. 56: 209-219.
- Torres, A.M., Soost R.K., and Diedenhofen U. 1978. Leaf isozymes as genetic markers in citrus. Amer. J. Bot. 65 : 869-881.
- Vogler, D.W., Peretz, S., and Stephenson, A.G. 1999. Floral plasticity in an iteroparous plant : the interactive effects of genotype, environment, and ontogeny in *Campanula rapunculoides* (Campanulaceae). Amer. J. Bot. 86 (4) : 482-494.
- Wagner, C.K., and McDonald, M.B. 1982. Rapid laboratory tests useful for differentiation of soybean (*Glycine max*) cultivar. Seed Sci. & Technol. 10: 431-449.
- Warren, J. M. 1994. Isozyme variation in a number of populations of *Theobroma cacao* L. obtained though various sampling regimes. Euphytica 73 : 121-126.
- Werner, D.J. 1992. Catalase polymorphism and inheritance in peach. Hort. Science 27 (1) : 41-43.
- de Wit, H.C.D. 1956. A revision of Malaysian Bauhinieae. Reinwardtia 3: 403-406.
- Wolff, S.L., and Jefferies, R.L. 1987. Morphological and isozyme variation in *Salicornia europaea* (s.l.) (Chenopodiaceae) in northeastern North America. Can. J. Bot. 65 : 1410-1419.
- Zona, S. 1991. A morphometric and taxonomic evaluation of *Haenianthus* (Oleaceae). Can. J. Bot. 69:489-493.

## ภาคผนวก

## ภาคผนวก ก.

ตารางที่ 4.3 ค่าต่ำสุด ค่าเฉลี่ย ค่าสูงสุด และค่าเบี่ยงเบนมาตรฐานของลักษณะสัณฐานวิทยาของใบ ดอก เรโซ้ ผัก แพร์เมล์สุด ของซากโคต้า ชงโค และกาหลง

ลักษณะ (หน่วย) ใบ	ค่าต่ำสุด - ค่าเฉลี่ย - ค่าสูงสุด - ค่าเบี่ยงเบนมาตรฐาน					<i>B. acuminata</i>
	<i>B. pottsii</i>	<i>B. pottsii</i> var. <i>subsessilis</i>	<i>B. pottsii</i> var. <i>mollissima</i>	<i>B. pottsiifl</i>	<i>B. velutina</i>	
WLE (cm)	8.80-10.90-13.70-1.35	4.60-8.55-13.00-1.37	8.70-11.74-15.00-1.32	8.20-11.95-18.00-1.60	10.50-13.13-16.30-1.40	9.50-10.28-12.60-1.40
LLE (cm)	8.20-10.58-14.20-1.31	5.20-8.86-12.20-1.33	8.20-10.88-13.10-1.09	7.50-11.04-15.40-1.41	9.10-13.36-16.80-1.58	9.20-10.49-11.20-1.73
WBF (cm)	3.00-5.08-7.90-0.99	2.20-3.85-6.50-0.82	2.80-4.79-7.00-0.84	3.50-5.41-8.00-1.00	4.60-6.85-4.50-1.04	4.80-7.07-9.70-0.96
LBF (cm)	2.10-4.40-6.20-0.84	1.40-3.22-5.00-0.77	1.10-3.10-4.90-0.71	2.20-3.49-5.10-0.67	2.70-4.84-7.40-0.96	3.10-4.46-6.00-0.65
NSV (ลิตร)	11.00-13.29-15.00-0.92	11.00-13.95-15.00-1.13	11.00-12.05-14.00-0.99	9.00-10.90-11.00-0.44	9.00-11.56-13.00-1.07	9.00-10.04-11.00-1.01
ดอก						
WCA (cm)	0.60-1.12-1.70-0.22	0.70-1.16-1.90-0.15	1.00-1.58-1.80-0.24	0.80-1.20-1.60-0.17	1.30-1.65-2.80-0.24	0.90-1.42-1.80-0.15
LCA (cm)	2.90-4.31-5.50-0.58	2.00-2.67-3.70-0.36	3.40-4.97-6.10-0.58	3.80-4.37-5.00-0.25	2.40-3.21-3.50-0.29	1.80-2.44-3.50-0.36
WPE 1 (cm)	0.70-1.45-2.20-0.28	0.60-1.01-1.50-0.17	0.60-1.45-2.30-0.27	0.60-1.18-1.80-0.27	1.10-1.76-2.20-0.22	1.30-2.30-3.20-0.35
WPE 2 (cm)	1.10-2.16-2.80-0.35	0.80-1.57-2.20-0.22	1.20-2.03-2.80-0.33	1.30-2.01-2.90-0.30	1.10-1.62-2.00-0.18	1.30-2.34-3.20-0.36
WPE 3 (cm)	0.70-1.41-2.00-0.26	0.60-0.99-1.70-0.18	0.90-1.46-2.20-0.28	0.60-1.16-1.90-0.27	1.10-1.79-2.20-0.21	1.30-2.32-3.20-0.36
WPE 4 (cm)	0.40-0.97-1.60-0.20	0.40-0.74-1.30-0.16	0.50-1.01-1.70-0.20	0.40-0.80-1.30-0.23	1.10-1.76-2.20-0.21	1.30-2.29-3.30-0.35
WPE 5 (cm)	0.40-0.97-1.40-0.19	0.30-0.74-1.40-0.16	0.50-1.00-1.70-0.21	0.40-0.80-1.30-0.23	1.10-1.75-2.20-0.19	1.30-2.28-3.20-0.34
LPE 1 (cm)	2.60-4.74-6.40-0.76	2.00-3.81-5.40-0.48	2.70-3.71-5.00-0.46	2.80-3.35-4.00-0.26	4.00-6.12-7.00-0.63	3.00-3.78-5.20-0.59
LPE 2 (cm)	2.60-4.91-6.90-0.85	2.20-3.71-4.80-0.42	2.90-3.93-5.50-0.51	2.80-3.44-4.30-0.26	4.00-5.84-7.00-0.60	3.00-3.85-5.20-0.66
LPE 3 (cm)	3.00-4.68-6.30-0.71	2.10-3.83-5.10-0.47	2.30-3.72-5.30-0.50	2.80-3.35-4.00-0.24	4.20-6.13-7.00-0.63	3.00-3.82-5.20-0.63
LPE 4 (cm)	2.90-4.89-6.90-0.85	2.30-3.96-5.60-0.51	2.50-3.42-4.40-0.42	2.50-3.34-4.00-0.28	3.90-6.29-7.20-0.66	3.00-3.76-5.40-0.62

### ตารางที่ 4.3 (ต่อ)

ลักษณะ	<i>B. pottsii</i> var. <i>pottsii</i>	<i>B. pottsii</i> var. <i>subsessilis</i>	<i>B. pottsii</i> var. <i>mollissima</i>	<i>B. pottsii</i> var. <i>volutillo</i>	<i>B. purpurea</i>	<i>B. acuminata</i>
ค่าต่ำสุด - ค่าเฉลี่ย - ค่าสูงสุด - ค่าเบี่ยงบันนماตรฐาน						
(หน่วย)						
LPE 5 (cm)	2.80-4.92-6.50-0.77	2.40-3.95-5.30-0.50	2.50-3.45-4.60-0.44	2.20-3.33-4.00-0.30	4.30-6.31-7.30-0.64	2.80-3.72-5.40-0.62
LPCL 1 (cm)	0.90-1.53-2.50-0.29	0.10-0.31-0.70-0.13	1.80-2.49-3.70-0.39	1.90-2.42-3.10-0.26	0.50-0.86-1.20-0.17	0.00-0.00-0.00-0.00
LPCL 2 (cm)	0.80-1.45-2.00-0.27	0.10-0.30-0.90-0.12	1.30-2.34-3.60-0.43	1.60-2.44-3.20-0.30	0.50-1.03-1.20-0.16	0.00-0.00-0.00-0.00
LPCL 3 (cm)	1.00-1.52-2.20-0.26	0.10-0.30-0.80-0.12	1.50-2.45-3.50-0.38	1.70-2.41-3.10-0.26	0.50-0.85-1.10-0.14	0.00-0.00-0.00-0.00
LPCL 4 (cm)	0.70-1.33-2.20-0.28	0.10-0.25-0.60-0.12	1.50-2.57-3.60-0.42	1.60-2.30-2.90-0.29	0.10-0.46-0.70-0.12	0.00-0.00-0.00-0.00
LPCL 5(cm)	0.50-1.31-2.20-0.28	0.00-0.24-0.50-0.10	1.50-2.52-3.50-0.39	1.50-2.29-2.80-0.29	0.10-0.46-0.80-0.13	0.00-0.00-0.00-0.00
LAN 1 (cm)	1.00-1.23-1.80-0.14	0.40-0.83-1.20-0.13	1.00-1.41-1.90-0.14	0.90-1.20-1.40-0.13	0.60-0.74-0.90-0.08	0.14-0.44-0.50-0.05
LAN 2 (cm)	0.80-1.21-1.90-0.18	0.40-0.81-1.10-0.11	1.00-1.40-1.90-0.14	1.00-1.20-1.50-0.12	0.60-0.74-0.90-0.07	0.40-0.45-0.50-0.05
LAN 3 (cm)	0.80-1.23-1.80-0.17	0.30-0.82-1.20-0.12	1.00-1.41-1.90-0.14	1.00-1.20-1.50-0.13	0.60-0.75-0.90-0.08	0.40-0.45-0.50-0.05
LFI 1 (cm)	2.30-4.96-6.90-0.96	2.20-4.19-5.60-0.57	2.20-4.53-5.70-0.62	3.10-4.19-5.10-0.40	3.70-4.76-5.50-0.37	1.60-2.27-2.40-0.24
LFI 2 (cm)	2.30-4.88-6.50-0.94	2.10-4.13-5.50-0.58	2.60-4.52-5.80-0.57	2.80-4.16-5.00-0.38	3.70-4.76-5.30-0.35	1.80-2.30-2.70-0.21
LFI 3.(cm)	2.30-4.88-6.90-0.94	2.00-4.00-5.50-0.55	2.70-4.51-5.50-0.52	2.80-4.18-5.10-0.38	3.80-4.76-5.50-0.37	1.80-2.29-2.70-0.22
RAF	1.00-1.10-1.20-0.05	1.59-1.72-1.81-0.04	0.70-0.79-0.88-0.05	0.70-0.75-0.80-0.02	1.88-1.99-2.21-0.07	0.20-0.25-0.28-0.02
LSTY(cm)	1.20-3.30-4.60-0.69	1.20-2.58-3.50-0.35	1.60-2.65-3.30-0.39	1.10-2.53-3.30-0.35	1.20-1.76-2.10-0.19	1.00-1.70-2.0-0.19
LOV (cm)	0.70-1.26-1.80-0.19	0.50-0.85-1.50-0.15	0.70-1.29-1.90-0.20	0.80-1.23-1.50-0.12	0.90-1.09-1.30-0.08	0.60-0.91-1.10-0.09
LGY (cm)	1.10-2.15-2.60-0.30	0.80-1.26-1.80-0.19	1.20-2.03-2.60-0.24	1.00-1.58-2.10-0.28	1.30-1.96-2.30-0.22	0.80-1.04-1.70-0.23
LRE (cm)	2.10-2.99-4.20-0.46	1.30-2.11-3.20-0.38	1.80-2.96-4.00-0.57	1.60-2.62-4.00-0.40	1.10-1.34-1.60-0.12	0.30-0.48-0.70-0.09
NBU (กรอก)	4.00-18.14-35.00-5.94	23.00-34.79-63.00-9.85	2.00-4.12-7.00-1.43	3.00-7.26-17.00-3.83	4.00-10.76-15.00-2.40	4.00-6.58-8.00-1.28
LBU (cm)	2.10-3.08-4.50-0.51	1.40-2.24-3.50-0.40	2.20-3.50-4.80-0.59	2.10-3.05-4.60-0.42	2.10-2.61-4.40-0.38	1.40-2.04-3.50-0.50
RBR (cm)	1.00-1.03-1.18-0.03	1.00-1.06-1.22-0.04	1.05-1.19-1.42-0.07	1.04-1.17-1.43-0.07	1.80-2.54-3.10-0.26	3.00-4.29-6.00-0.72

ตารางที่ 4.3 (ต่อ)

ลักษณะ		ค่าคงสูตร - ค่าเฉลี่ย - ค่าสูงสุด - ค่าต่ำเยี่ยมมากที่สุด				
(หน่วย)	<i>B. pottsii</i> var. <i>pottsii</i>	<i>B. pottsii</i> var. <i>subsessilis</i>	<i>B. pottsii</i> var. <i>mollissima</i>	<i>B. pottsii</i> var. <i>velutina</i>	<i>B. purpurea</i>	<i>B. acuminata</i>
NFST	3.00-3.00-3.00-0.00	3.00-3.00-3.00-0.00	3.00-3.00-3.00-0.00	3.00-3.00-3.00-0.00	3.00-3.00-3.00-0.00	10.00-10.0-0.00-10
แรงดึง						
TRA (μ)	97.00-126.66-148.00-12.73	97.00-117.40-133.00-8.34	92.00-114.70-128.00-9.15	82.00-111.94-133.00-12.65		
DPA (μ)	49.00-63.59-74.00-6.40	49.00-58.83-68.00-4.46	46.00-57.50-64.00-4.65	41.00-56.12-67.00-6.22	80.00-81.72-85.00-1.309	85.00-90.50-95.00-1
DEA (μ)	51.00-58.67-82.00-5.35	54.00-68.62-82.00-5.14	50.00-55.65-64.00-3.36	42.00-53.51-68.00-4.02	60.00-61.56-65.00-1.459	85.00-90.50-95.00-1
DAP (μ)	15.00-28.94-56.00-11.67	56.00-90.65-113.00-10.03	8.00-17.61-31.00-5.23	8.00-16.50-31.00-4.93	14.00-15.48-18.00-0.8142	0.00-0.00-0.00-0.0
PFI	0.21-0.49-1.00-0.19	0.92-1.32-1.81-0.13	0.14-0.32-0.60-0.09	0.17-0.31-0.60-0.08	0.17-0.19-0.21-0.01	0.00-0.00-0.00-0.0
WAP(μ)	3.00-7.54-16.00-2.65	8.00-21.73-49.00-7.75	3.00-8.89-16.00-3.47	3.00-8.65-15.00-2.41	12.00-12.46-13.00-0.50	0.00-0.00-0.00-0.0
LAP (μ)	26.00-48.93-67.00-9.96	3.00-11.54-31.00-4.37	22.00-48.15-59.00-6.14	26.00-47.58-58.00-6.87	70.00-74.52-76.00-1.73	0.00-0.00-0.00-0.0
NVR	2.00-2.00-2.00-0.00	0.00-0.00-0.00-0.00	2.00-2.68-4.00-0.35	2.00-2.54-4.00-0.14	0.00-0.00-0.00-0.00	0.00-0.00-0.00-0.00
ผัก						
WPOD(cm)	14.00-14.52-15.00-0.5047	11.00-16.64-22.00-3.36	11.00-14.50-18.00-1.65	12.00-14.70-18.00-1.89	22.00-24.68-26.00-1.00	9.00-9.84-11.00-0.0
LPOD(cm)	3.00-3.05-3.20-7.351E-02	2.70-3.09-3.70-0.3434	2.50-2.70-6.131E-02	2.50-2.56-3.00-0.1594	2.00-2.22-2.50-0.931	1.50-1.58-1.70-8.142f
แมล็ด						
WSEE (cm)	1.60-1.66-1.70-4.986E-02	1.60-1.65-1.70-5.047E-02	1.60-1.67-1.70-4.785E-02	1.60-1.66-1.70-5.014E-02	1.50-1.57-1.60-4.712E-02	1.10-1.18-1.20-4.185f
LSEE (cm)	1.40-1.44-1.50-5.014E-02	1.40-1.44-1.50-4.986E-02	1.40-1.44-1.50-5.014E-02	1.40-1.44-1.50-4.849E-02	1.20-1.27-1.30-4.712E-02	0.60-0.68-0.70-3.88f
NSEE (เมล็ด)	1.00-3.55-4.00-1.64	2.00-6.12-8.00-1.88	1.00-3.32-5.00-1.30	1.00-3.54-6.00-1.43	10.00-11.78-15.00-2.18	9.00-9.70-11.00-0.

ตารางที่ 4.4 ค่าไอกenenของแแกนปัจจัยและค่าความแปรผันจากการวิเคราะห์ปัจจัยของลักษณะสัณฐานวิทยาของใบชงโคลต์ในประเทศไทย.

Factor	Eigenvalue	% of Variance	Cumulative %
1	3.240	46.279	46.279
2	2.661	38.014	84.293

ตารางที่ 4.5 ค่า factor loading ของลักษณะต่างๆของใบในแแกนปัจจัย (ก่อนการหมุนแแกน) และค่า communality จากการวิเคราะห์ปัจจัยลักษณะสัณฐานวิทยาของใบชงโคลต์ในประเทศไทย

Variable	Factor		Communality
	1	2	
WLE	.924	.186	0.889
HLE	.868	-.434	0.942
HUE	.868	-.434	0.942
LLE	.855	.386	0.880
WBF	.778	.357	0.733
NSV	-.704	.462	0.709
LBF	.364	.820	0.805

**ตารางที่ 4.6 ค่า factor loading ของลักษณะต่างๆของใบในแกนปัจจัย (หลังการหมุนแกน)  
จากการวิเคราะห์ปัจจัยลักษณะสัณฐานวิทยาของใบชงโคล์ด์ในประเทศไทย**

Variable	Factor	
	1	2
HLE	.948	.208
HUE	.948	.208
NSV	-.838	-8.267E-02
LBF	-.232	.867
LLE	.423	.838
WBF	.381	.767
WLE	.602	.726

**ตารางที่ 4.7 ค่าสถิติของสมการจัดจำแนกจากการวิเคราะห์ลักษณะสัณฐานวิทยาของใบ  
ชงโคล์ด์ในประเทศไทย เมื่อใช้ข้อมูลจากแกนปัจจัยที่ 1-2 ซึ่งมีค่า F มากกว่า 1**

Function	Eigenvalue	% of	Cumulative	Canonical	Wilks'	Chi-square	df	Sig.
		Variance						
1	4.250	84.5	84.5	.900	.102	1010.790	32	.000
2	.650	12.9	97.4	.628	.535	276.989	21	.000
3	.123	2.4	99.8	.331	.882	55.408	12	.000
4	.009	.2	100.0	.096	.991	4.073	5	.539

ตารางที่ 4.8 ค่าสัมประสิทธิ์ของสมการการจัดจำแนกที่เป็นคะแนนมาตรฐานจากการวิเคราะห์ลักษณะสัณฐานวิทยาของใบชงโคงคำในประเทศไทย เมื่อใช้ข้อมูลจากแกนปัจจัยที่ 1-2

Variable	Function			
	1	2	3	4
LBF	.596	1.279	-.462	-.134
LLE	-.103	-1.253	.480	1.962
NSV	.794	-.034	.626	-.108
WLE	-.827	.895	.452	-1.457

ตารางที่ 4.9 ค่าสัมประสิทธิ์สหสัมพันธ์ระหว่างลักษณะสัณฐานวิทยาของใบชงโคงคำในประเทศไทยที่ใช้ในการวิเคราะห์จัดจำแนกกับสมการจัดจำแนก

Variable	Function			
	1	2	3	4
LBF	.042	.847*	.084	.523
WBFa	-.348	.481*	.357	.050
NSV	.656	-.061	.730*	-.183
WLE	-.507	.499	.692*	.123
LLE	-.338	.425	.560	.626*

\* แสดงว่า ลักษณะนี้มีความสำคัญต่อสมการนี้มาก

a แสดงว่า ลักษณะนี้ไม่นำไปใช้ในการวิเคราะห์จัดจำแนก

**ตารางที่ 4.10 เปอร์เซ็นต์การทำนายกลุ่มประชากรจากสมการที่ได้จากการวิเคราะห์  
จัดจำแนกลักษณะสัณฐานวิทยาของใบชงโคงคำในประเทศไทย เมื่อใช้  
ข้อมูลจากแกนปัจจัยที่ 1-2**

ประชากร	จำนวน	การทำนายกลุ่มประชากร								
		1	2	3	4	5	6	7	8	9
1	50	28 (56%)	15 (30%)	7 (14%)	0 (0%)	0 (0%)	0 (0%)	0 (0%)	0 (0%)	0 (0%)
2	50 %	18 (36%)	20 (40%)	10 (20%)	2 (4%)	0 (0%)	0 (0%)	0 (0%)	0 (0%)	0 (0%)
3	50	1 (2%)	7 (14%)	29 (58%)	7 (14%)	1 (2%)	1 (2%)	1 (2%)	3 (6%)	0 (0%)
4	50	0 (0%)	5 (10%)	9 (18%)	19 (38%)	15 (30%)	1 (2%)	0 (0%)	1 (2%)	0 (0%)
5	50	0 (0%)	3 (6%)	3 (6%)	11 (22%)	30 (60%)	1 (2%)	0 (0%)	2 (4%)	0 (0%)
6	50	0 (0%)	0 (0%)	3 (6%)	0 (0%)	1 (2%)	16 (32%)	12 (24%)	5 (10%)	13 (26%)
7	50	0 (0%)	0 (0%)	4 (8%)	0 (0%)	1 (2%)	11 (22%)	12 (24%)	10 (20%)	12 (24%)
8	50	0 (0%)	0 (0%)	0 (0%)	0 (0%)	0 (0%)	2 (4%)	0 (0%)	31 (62%)	17 (34%)
9	50	0 (0%)	0 (0%)	0 (0%)	0 (0%)	0 (0%)	1 (2%)	0 (0%)	19 (38%)	30 (60%)

ความถูกต้องของการทำนายกลุ่มจากสมการโดยรวม = 47.8 เปอร์เซ็นต์

**ตารางที่ 4.11 ค่าไオเกนของแแกนปัจจัยและค่าความแปรผันจากการวิเคราะห์ปัจจัย  
ลักษณะสัมฐานวิทยาของดอกชงโคงคำในประเทศไทย**

Factor	Eigenvalue	% of Variance	Cumulative %
1	15.300	37.316	37.316
2	8.408	20.508	57.824
3	5.811	14.173	71.997
4	4.215	10.281	82.277
5	1.569	3.827	86.105

**ตารางที่ 4.12 ค่า factor loading ของลักษณะต่างๆ ของดอกในแแกนปัจจัย  
(ก่อนการหมุนแแกน) และค่า communality จากการวิเคราะห์ปัจจัย  
ลักษณะสัมฐานวิทยาของดอกชงโคงคำในประเทศไทย**

Variable	Factor					Communality	
	1	2	3	4	5		
HOV	.978	-.116	-8.021E-02	-3.443E-02	-8.659E-02	0.986	
LPCL 5	.972	-3.317E-02	-8.322E-02	2.877E-02	-1.943E-02	0.955	
LPCL 4	.970	-3.206E-02	-7.382E-02	2.367E-02	-1.075E-02	0.947	
LPCL 3	.968	2.016E-02		-.130	2.254E-02	-8.406E-02	0.963
LPCL 1	.967	5.553E-03		-.124	4.292E-02	-7.331E-02	0.956
RAF	-.957	2.280E-02		.139	9.489E-02	.125	0.959
LPCL 2	.955	-1.062E-02		-.163	5.541E-02	-.112	0.954
CFI	.889	-.414	4.001E-02		.132	-8.475E-03	0.981
SPE	.889	-.414	4.001E-02		.132	-8.475E-03	0.981
CAN	.889	-.414	4.001E-02		.132	-8.475E-03	0.981
CBU	.889	-.414	4.001E-02		.132	-8.475E-03	0.981
SSTI	.889	-.414	4.001E-02		.132	-8.475E-03	0.981
CSTI	.889	-.414	4.001E-02		.132	-8.475E-03	0.981
CSTY	.889	-.414	4.001E-02		.132	-8.475E-03	0.981

ตารางที่ 4.12 (ต่อ)

Variable	Factor					Communality
	1	2	3	4	5	
NBU	-.886	2.741E-02	3.477E-02	6.428E-02	5.418E-02	0.793
LCA	.883	.283	-1.782E-02	-.117	2.739E-02	0.875
CPE	-.879	-.221	.191	.204	.152	0.922
LAN 2	.834	.188	1.670E-02	-.325	.147	0.859
LAN 1	.824	.234	1.330E-03	-.312	.156	0.855
LAN 3	.822	.205	3.391E-02	-.361	.146	0.870
LBU	.731	.306	-6.813E-03	-.223	.193	0.716
LOV	.724	.366	-.127	-8.544E-02	-6.919E-02	0.686
RBR	.598	-.438	7.883E-02	.199	2.884E-02	0.597
LRE	.568	.490	-4.813E-02	-.308	.180	0.692
LGY	.542	.504	-.173	-.281	.158	0.682
LPE 2	3.858E-02	.916	-3.712E-02	-1.493E-02	-9.356E-02	0.852
LPE 3	-.134	.893	1.560E-02	3.181E-03	-.151	0.839
LPE 1	-.134	.887	-7.686E-03	-1.863E-02	-.177	0.837
LPE 5	-.289	.855	-4.900E-02	-3.411E-02	-.251	0.882
LPE 4	-.297	.831	-7.592E-02	-2.543E-02	-.250	0.848
LSTY	4.193E-02	.723	-.244	2.998E-02	6.831E-03	0.586
LFI 1	.170	.677	-.366	.432	.302	0.900
LFI 2	.199	.671	-.330	.448	.303	0.891
LFI 3	.276	.656	-.356	.399	.283	0.872
WPE 1	.509	.642	.387	7.293E-02	-9.238E-02	0.834
WPE 3	.543	.620	.388	8.691E-02	-1.330E-02	0.838
WPE 5	.413	.575	.523	.206	-9.063E-02	0.825
WPE 2	.567	.575	.138	.152	-.312	0.792
WPE 4	.417	.564	.535	.203	-9.349E-02	0.828
WCA	.505	4.478E-02	.552	.102	.397	0.730
RBU	.450	-.457	-.318	.181	-.524	0.820

ตารางที่ 4.13 ค่า factor loading ของลักษณะต่างๆ ของดอกในแกนปัจจัย  
 (หลังการหมุนแกน) จากการวิเคราะห์ปัจจัยลักษณะสัณฐานวิทยา  
 ของดอกซงโคล์ด้าในประเทศไทย

Variable	Factor				
	1	2	3	4	5
CFI	.948	.253	2.869E-02	-8.795E-02	9.688E-02
SPE	.948	.253	2.869E-02	-8.795E-02	9.688E-02
CAN	.948	.253	2.869E-02	-8.795E-02	9.688E-02
CBU	.948	.253	2.869E-02	-8.795E-02	9.688E-02
SSTI	.948	.253	2.869E-02	-8.795E-02	9.688E-02
CSTI	.948	.253	2.869E-02	-8.795E-02	9.688E-02
CSTY	.948	.253	2.869E-02	-8.795E-02	9.688E-02
HOV	.826	.528	.139	2.415E-02	-7.662E-02
LPCL 5	.797	.521	.176	.128	-2.657E-02
LPCL 2	.795	.495	.171	.163	-.147
LPCL 4	.791	.524	.178	.123	-1.498E-02
LPCL 3	.774	.536	.197	.155	-.112
LPCL 1	.772	.545	.185	.137	-9.952E-02
RBR	.750	3.608E-02	-2.967E-02	-9.951E-02	.148
RAF	-.747	-.592	-.151	-5.613E-02	.155
RBU	.707	-8.207E-02	-.148	-.115	-.527
NBU	-.694	-.526	-.181	-3.336E-02	4.099E-02
LPE 5	-.625	.110	.485	.350	-.348
LPE 4	-.616	9.650E-02	.453	.355	-.358
LAN 3	.399	.807	.213	2.104E-02	.112
LAN 1	.405	.791	.218	8.461E-02	.104
LAN 2	.431	.786	.203	4.231E-02	.108
LRE	8.004E-02	.745	.268	.233	6.105E-02
LGY	6.993E-02	.733	.203	.312	-2.214E-02
CPE	-.533	-.712	-.228	-.138	.244
LUB	.326	.709	.240	.181	.127
LCA	.513	.680	.336	.189	-4.052E-03
LOV	.373	.596	.316	.260	-.154

ตารางที่ 4.13 (ต่อ)

Variable	Factor				
	1	2	3	4	5
WPE 4	.122	.169	.861	.137	.159
WPE 5	.114	.171	.858	.152	.154
WPE 1	.114	.364	.804	.194	6.684E-02
WPE 3	.148	.382	.776	.220	.139
WPE 2	.253	.317	.710	.263	-.232
LPE 3	-.520	.192	.561	.406	-.228
LPE 2	-.407	.329	.559	.472	-.206
LPE 1	-.522	.204	.546	.394	-.262
LFI 1	-5.373E-02	.138	.199	.915	2.352E-02
LFI 2	-2.352E-02	.135	.229	.904	4.575E-02
LFI 3	2.898E-02	.208	.218	.883	1.510E-02
LSTY	-.298	.289	.286	.539	-.202
WCA	.352	.209	.393	-2.714E-02	.638

ตารางที่ 4.14 ค่าสถิติของสมการจัดจำแนกจากการวิเคราะห์ลักษณะสัณฐานวิทยา  
ของดอกชังโคงคำในประเทศไทย เมื่อใช้ข้อมูลจากแกนปัจจัยที่ 1-5  
ซึ่งมีค่าໄอเกนมากกว่า 1

Function	Eigenvalue	% of Variance	Cumulative %	Canonical Correlation		Wilks' Lambda	Chi-square	df	Sig.
				Correlation	Lambda				
1	120.547	94.9	94.9	.996	.000	3496.084	88	.000	
2	4.454	3.5	98.4	.904	.042	1388.750	70	.000	
3	1.469	1.2	99.5	.771	.231	644.057	54	.000	
4	.294	.2	99.7	.476	.569	247.273	40	.000	
5	.134	.1	99.9	.344	.737	134.220	28	.000	
6	.103	.1	99.9	.305	.835	79.101	18	.000	
7	.053	.0	100.0	.225	.921	36.101	10	.000	
8	.031	.0	100.0	.173	.970	13.350	4	.010	

**ตารางที่ 4.15 ค่าสัมประสิทธิ์ของสมการจัดจำแนกที่เป็นคะแนนมาตรฐาน**

จากการวิเคราะห์ลักษณะสัณฐานวิทยาของดอกชงโคลาในประเทศไทย  
เมื่อใช้ข้อมูลจากแกนปัจจัยที่ 1-5

Variable	Function							
	1	2	3	4	5	6	7	8
RBR	-.223	.338	.213	.318	.090	.173	-.085	.244
LPCL 3	-.424	.280	-.330	.359	-.444	.314	.187	.153
LPCL 5	-.147	.320	.301	.188	.457	.016	.204	-.053
RAF	.880	.236	.223	.192	-.090	.289	.054	.003
LAN 1	-.205	-.112	.471	-.353	-.596	.230	.360	.289
LCA	-.179	.053	.150	-.168	.181	.794	-.519	-.367
LFI 2	.169	.047	.018	-.224	-.185	-.209	-.815	.813
LGY	.106	-.580	.443	.617	-.237	-.325	-.083	-.159
LPE 2	.020	-.462	.073	-.267	.463	-.036	-.119	-.740
LPE 5	.179	-.384	-.267	.256	.305	.105	.692	.792
WCA	-.013	.337	.553	-.194	.324	-.607	.213	.176

**ตารางที่ 4.16 ค่าสัมประสิทธิ์สหสัมพันธ์ระหว่างลักษณะสัณฐานวิทยาของดอกชงโคลา**  
ในประเทศไทยที่ใช้ในการวิเคราะห์จัดจำแนกกับสมการจัดจำแนก เมื่อใช้  
ข้อมูลจากแกนปัจจัยที่ 1-5

Variable	Function							
	1	2	3	4	5	6	7	8
RAF	.830*	.253	.230	.142	-.045	.342	.106	.017
LRE <sup>a</sup>	-.046	-.211*	.137	-.138	.147	.168	.000	.061
NBU <sup>a</sup>	-.007	-.086*	-.024	.006	-.052	.033	-.054	-.055
WCA	-.049	.168	.590*	-.243	.464	-.294	.148	.125
LAN 1	-.154	-.209	.517*	-.417	-.464	.317	.318	.196

ตารางที่ 4.16 (ต่อ)

Variable	Function							
	1	2	3	4	5	6	7	8
LAN 2 <sup>a</sup>	-.112	-.149	.389*	-.327	-.318	.214	.255	.146
LAN 3 <sup>a</sup>	-.109	-.090	.366*	-.353	-.295	.212	.280	.073
LOV <sup>a</sup>	-.029	-.184	.201*	-.022	.164	.156	-.028	.187
LGY	-.096	-.514	.477	.624*	-.136	-.147	-.199	-.064
LPCL 3	-.338	.030	.055	.396*	.069	.322	.072	.291
RBR	-.082	.360	.122	.383*	.136	.120	-.106	.143
LPCL 5	-.325	.153	.270	.369*	.237	.189	.024	.163
LPCL 4 <sup>a</sup>	-.270	.095	.191	.329*	.173	.188	.037	.188
LPCL 1 <sup>a</sup>	-.242	.007	.134	.329*	.128	.253	.055	.197
LPCL 2 <sup>a</sup>	-.244	.020	.066	.316*	.141	.237	-.005	.288
LPE 5	.042	-.499	-.009	.056	.531*	.315	.276	.519
LPE 3 <sup>a</sup>	.020	-.394	.167	-.035	.527*	.298	.086	.272
LPE 2	.000	-.459	.200	-.074	.519*	.292	-.003	.157
LPE 4 <sup>a</sup>	.041	-.449	.033	.017	.498*	.316	.164	.414
LPE 1 <sup>a</sup>	.066	-.396	.120	-.019	.497*	.323	.104	.286
WPE 2 <sup>a</sup>	.020	-.203	.142	-.061	.403*	.181	.046	.170
WPE 5 <sup>a</sup>	.000	-.135	.124	-.034	.367*	.110	.111	.281
WPE 4 <sup>a</sup>	-.028	-.152	.109	-.054	.359*	.066	.083	.222
WPE 1 <sup>a</sup>	.011	-.182	.181	-.108	.357*	.141	.096	.190
WPE 3 <sup>a</sup>	-.011	-.186	.231	-.102	.316*	.122	.071	.200
LCA	-.185	-.212	.402	-.125	.374	.588*	-.291	-.031
LBU <sup>a</sup>	-.072	-.118	.177	-.037	.193	.209*	-.035	.091
LFI 2	-.014	-.193	.124	-.021	.125	.061	-.567	.657*
LFI 3 <sup>a</sup>	-.003	-.174	.098	-.008	.135	.057	-.413	.550*
LFI 1 <sup>a</sup>	.001	-.171	.131	-.003	.078	.123	.447	.544*
LSTY <sup>a</sup>	-.066	-.175	.176	.004	.232	.260	-.120	.305*

\* แสดงว่าลักษณะนั้นมีความสำคัญต่อสมการนั้นมาก

a แสดงว่าลักษณะนั้นไม่น่าไปใช้ในการวิเคราะห์จัดจำแนก

**ตารางที่ 4.17 เปอร์เซ็นต์การทำนายกลุ่มประชากรจากสมการที่ได้จากการวิเคราะห์  
จัดจำแนกลักษณะสัมฐานวิทยาของดอกรังโคงคำในประเทศไทย  
เมื่อใช้ข้อมูลจากแกนปัจจัยที่ 1-5**

ประชากร	จำนวน	การทำนายกลุ่มประชากร								
		1	2	3	4	5	6	7	8	9
1	50	41	8	1	0	0	0	0	0	0
		(82%)	(16%)	(2%)	(0%)	(0%)	(0%)	(0%)	(0%)	(0%)
2	50	12	33	5	0	0	0	0	0	0
		(24%)	(66%)	(10%)	(0%)	(0%)	(0%)	(0%)	(0%)	(0%)
3	50	6	8	36	0	0	0	0	0	0
		(12%)	(16%)	(72%)	(0%)	(0%)	(0%)	(0%)	(0%)	(0%)
4	50	0	0	0	33	17	0	0	0	0
		(0%)	(0%)	(0%)	(66%)	(34%)	(0%)	(0%)	(0%)	(0%)
5	50	0	0	0	11	39	0	0	0	0
		(0%)	(0%)	(0%)	(22%)	(78%)	(0%)	(0%)	(0%)	(0%)
6	50	0	0	0	0	0	39	10	0	1
		(0%)	(0%)	(0%)	(0%)	(0%)	(78%)	(20%)	(0%)	(2%)
7	50	0	0	0	0	0	8	38	1	3
		(0%)	(0%)	(0%)	(0%)	(0%)	(16%)	(76%)	(2%)	(6%)
8	50	0	0	0	0	0	1	0	42	7
		(0%)	(0%)	(0%)	(0%)	(0%)	(2%)	(0%)	(84%)	(14%)
9	50	0	0	0	0	0	0	1	10	39
		(0%)	(0%)	(0%)	(0%)	(0%)	(0%)	(2%)	(20%)	(78%)

ความถูกต้องของการทำนายกลุ่มประชากรโดยรวม = 75.6 เปอร์เซ็นต์

ตารางที่ 4.18 ค่าไอเกนของแกนปัจจัยและค่าความแปรผันจากการวิเคราะห์ปัจจัย  
ลักษณะสัณฐานวิทยาของเรณุชงโคงคำในประเทศไทย

Factor	Eigenvalue	% of Variance	Cumulative %
1	7.278	66.168	66.168
2	2.224	20.222	86.389

ตารางที่ 4.19 ค่า factor loading ของลักษณะต่างๆ ของเรณุในแกนปัจจัย  
(ก่อนการหมุนแกน) และค่า communality จากการวิเคราะห์ปัจจัย  
ลักษณะสัณฐานวิทยาของเรณุชงโคงคำในประเทศไทย

Variable	Factor		Communality
	1	2	
DAP	.987	1.944E-02	0.974
PAP	-.978	6.212E-02	0.960
TAP	.978	-6.212E-02	0.960
PFI	.975	-1.469E-02	0.950
LAP	-.945	.287	0.977
NVR	-.921	9.587E-02	0.858
DEA	.835	.219	0.745
WAP	.815	4.228E-02	0.667
SPO	.587	.348	0.465
TRA	2.927E-02	.986	0.974
DPA	2.699E-02	.986	0.973

**ตารางที่ 4.20** ค่า factor loading ของลักษณะต่างๆของเรณู ในแบบนี้จัย  
 (หลังการหมุนแกน) จากการวิเคราะห์ปัจจัยลักษณะสัมฐานวิทยาของเรณู  
 ชงโคงคำในประเทศไทย

Variable	Factor	
	1	2
DAP	.985	5.944E-02
PAP	-.979	2.243E-02
TAP	.979	-2.243E-02
PFI	.974	2.484E-02
LAP	-.956	.249
NVR	-.925	5.843E-02
DEA	.825	.253
WAP	.813	7.531E-02
SPO	.572	.371
TRA	-1.074E-02	.987
DPA	-1.301E-02	.986

**ตารางที่ 4.21** ค่าสถิติของสมการจัดจำแนกจากการวิเคราะห์ลักษณะสัมฐานวิทยาของเรณู  
 ชงโคงคำในประเทศไทย เมื่อใช้ข้อมูลจากแบบนี้จัยที่ 1-2 ซึ่งมีค่าไอกเกน  
 มากกว่า 1

Function	Eigenvalue	% of	Cumulative	Canonical	Wilks'	Chi-square	df	Sig.
		Variance						
1	23.647	77.7	77.7	.980	.002	2682.012	64	.000
2	5.620	18.5	96.1	.921	.056	1270.355	49	.000
3	.642	2.1	98.2	.625	.370	437.767	36	.000
4	.277	.9	99.1	.465	.608	219.192	25	.000
5	.122	.4	99.5	.330	.776	111.636	16	.000
6	.090	.3	99.8	.287	.871	60.897	9	.000
7	.054	.2	100.0	.226	.949	23.093	4	.000
8	.000	.0	100.0	.013	1.000	.071	1	.790

ตารางที่ 4.22 ค่าสัมประสิทธิ์ของสมการจัดจำแนกที่เป็นคะแนนมาตรฐาน จากการวิเคราะห์ลักษณะสัณฐานวิทยาเรณุชงโคง์ด้วยประเทศไทย เมื่อใช้ข้อมูลจากແກນปัจจัยที่ 1-2

Variable	Function							
	1	2	3	4	5	6	7	8
DAP	.535	-.783	.290	.907	-1.944	2.691	-.875	-1.916
DEA	.033	.226	-.324	-.003	1.627	-.512	-.762	.442
DPA	.115	.439	.805	-.756	-.374	-1.563	-.115	-.590
SPO	.237	.911	-.122	-.170	-.064	.199	-.277	.005
LAP	-.224	.042	.053	1.527	.376	.1748	.297	.785
NVR	-.457	.278	-.194	-.297	-.310	.139	.677	-.188
PFI	.072	.640	-.414	.336	1.622	-1.589	1.511	2.310
WAP	.147	-.214	.444	-.448	.128	.725	.029	.456

ตารางที่ 4.23 ค่าสัมประสิทธิ์สหสัมพันธ์ระหว่างลักษณะสัณฐานวิทยาของเรณุชงโคง์ด้วยประเทศไทยที่ใช้ในการวิเคราะห์จัดจำแนกกับสมการจัดจำแนก

Variable	Function							
	1	2	3	4	5	6	7	8
DAP	.822*	-.069	-.034	.123	-.173	.044	.484	-.195
PFI	.741*	-.044	-.120	.125	-.356	-.121	.467	.243
LAP	-.617*	.270	.566	.416	.171	.087	-.121	.004
SPO	.359	.814*	-.260	-.166	.001	.201	-.266	.052
DPA	.013	.265	.856*	.230	.041	-.167	.230	-.248
TRA <sup>a</sup>	.004	.269	.847*	.220	.054	-.151	.224	-.225
WAP	.290	-.154	.487	-.616*	.067	.380	.169	.315
DEA	.284	.046	.079	-.031	.676*	.127	.302	-.588
NVR	-.504	.222	-.094	-.271	-.263	.183	.695*	-.168

\* แสดงว่า ลักษณะนั้นมีความสำคัญต่อสมการนั้นมาก

a แสดงว่า ลักษณะนั้นไม่นำไปใช้ในการวิเคราะห์จัดจำแนก

**ตารางที่ 4.24 เปอร์เซ็นต์การทำนายกลุ่มประชากรจากสมการที่ได้จากการวิเคราะห์  
จัดจำแนกลักษณะสัณฐานวิทยาของเรณูชงโคงคำในประเทศไทย  
เมื่อใช้ข้อมูลจากเกณฑ์จัดยที่ 1-2**

ประชากร	จำนวน	การทำนายกลุ่มประชากร								
		1	2	3	4	5	6	7	8	9
1	50	40	9	1	0	0	0	0	0	0
		(80%)	(18%)	( 2%)	( 0%)	( 0%)	( 0%)	( 0%)	( 0%)	( 0%)
2	50	8	38	4	0	0	0	0	0	0
		(16%)	(76%)	( 8%)	( 0%)	( 0%)	( 0%)	( 0%)	( 0%)	( 0%)
3	50	11	6	33	0	0	0	0	0	0
		(22%)	(12%)	(66%)	( 0%)	( 0%)	( 0%)	( 0%)	( 0%)	( 0%)
4	50	0	0	0	42	6	2	0	0	0
		( 0%)	( 0%)	( 0%)	( 0%)	(12%)	( 4%)	( 0%)	( 0%)	( 0%)
5	50	0	0	0	5	40	1	1	1	2
		( 0%)	( 0%)	( 0%)	( 10%)	(80%)	( 2%)	( 2%)	( 2%)	( 4%)
6	50	0	0	0	0	0	20	7	5	18
		( 0%)	( 0%)	( 0%)	( 0%)	( 0%)	( 40%)	( 14%)	( 10%)	( 36%)
7	50	0	0	0	0	0	1	27	8	14
		( 0%)	( 0%)	( 0%)	( 0%)	( 0%)	( 2%)	( 54%)	( 16%)	( 28%)
8	50	0	0	0	0	0	1	5	35	9
		( 0%)	( 0%)	( 0%)	( 0%)	( 0%)	( 2%)	( 10%)	( 70%)	( 18%)
9	50	0	0	0	0	0	3	7	5	35
		( 0%)	( 0%)	( 0%)	( 0%)	( 0%)	( 6%)	( 14%)	( 10%)	( 70%)

ความถูกต้องของการทำนายกลุ่มจากสมการโดยรวม = 68.9 เปอร์เซ็นต์

ตารางที่ 4.25 ค่าไอเกนของแกนปัจจัยและค่าความแปรผันจากการวิเคราะห์ปัจจัย<sup>ลักษณะสัณฐานวิทยาของดอกและเรณูของชงโคคำในประเทศไทย</sup>

Factor	Eigenvalue	% of Variance	Cumulative %
1	19.963	38.391	38.391
2	11.818	22.727	61.118
3	5.331	10.253	71.370
4	4.028	7.746	79.116
5	2.195	4.222	83.338
6	1.688	3.246	86.584

**ตารางที่ 4.26** ค่า factor loading ของลักษณะต่างๆของดอกและเรณูในແກນບໍ່ຈັຍ  
 (ກ່ອນກາຮົມຸນແກນ) ແລະ ค่า communality ຈາກກາຮົມເວລີເຄຣະທີ່ປ້ອງຈັຍລักษณะ  
 ສັນຫຼານວິທາຂາອງດອກແລະ ເຮັດວຽກຂອງໜຶ່ງໂຄດໍາໃນປະເທດໄທ

Variable	Factor						Communality
	1	2	3	4	5	6	
HOV	.982	-.151	-4.559E-02	-3.218E-02	-2.207E-02	3.397E-02	0.993
RAF	-.974	4.873E-02	.135	5.489E-02	6.021E-02	-3.349E-02	0.977
LPCL 3	.972	-2.035E-02	-1.006E-02	-9.196E-02	3.380E-02	4.400E-02	0.957
LPCL 1	.970	-3.484E-02	-1.129E-02	-8.468E-02	2.466E-02	2.022E-02	0.950
LPCL 5	.968	-7.701E-02	3.224E-02	-4.460E-02	6.553E-02	1.309E-02	0.950
LPCL 4	.964	-7.596E-02	3.662E-02	-3.563E-02	6.406E-02	5.704E-02	0.943
LPCL 2	.958	-5.017E-02	-2.112E-02	-.127	4.706E-02	7.966E-02	0.945
DAP	-.937	-8.922E-02	.222	6.489E-02	.116	-2.173E-02	0.953
PFI	-.932	-8.551E-02	.223	3.039E-02	9.316E-02	-4.840E-02	0.938
PAP	.921	.210	-.251	-6.080E-02	-.128	6.723E-03	0.977
CPE	-.921	-.210	.251	6.080E-02	.128	-6.723E-03	0.977
TAP	-.921	-.210	.251	6.080E-02	.128	-6.723E-03	0.977
LCA	.892	.246	3.190E-02	5.179E-02	9.260E-03	-.114	0.873
NBU	-.891	5.976E-02	2.575E-02	-9.493E-03	3.844E-02	-1.224E-03	0.799
LAP	.859	.227	-.372	9.664E-02	-2.361E-02	.135	0.956
SSTI	.856	-.466	.158	1.024E-03	8.230E-02	5.343E-02	0.984
SPE	.856	-.466	.158	1.024E-03	8.230E-02	5.343E-02	0.984
CAN	.856	-.466	.158	1.024E-03	8.230E-02	5.343E-02	0.984
CBU	.856	-.466	.158	1.024E-03	8.230E-02	5.343E-02	0.984
CFI	.856	-.466	.158	1.024E-03	8.230E-02	5.343E-02	0.984
CSTI	.856	-.466	.158	1.024E-03	8.230E-02	5.343E-02	0.984
CSTY	.856	-.466	.158	1.024E-03	8.230E-02	5.343E-02	0.984
NVR	.851	.215	-.264	-1.913E-02	-.132	1.065E-02	0.858
LAN 2	.845	.166	-.106	.243	1.697E-02	-.194	0.849
LAN 1	.836	.213	-.105	.228	3.253E-02	-.192	0.845
LAN 3	.834	.186	-.118	.271	-3.629E-03	-.211	0.862
DEA	-.792	3.427E-02	.143	.206	.142	5.078E-02	0.713
LOV	.742	.336	-2.205E-02	-6.747E-02	-5.999E-03	-5.422E-02	0.671

ตารางที่ 4.26 (ต่อ)

Variable	Factor						Communality
	1	2	3	4	5	6	
SPO	-.729	.530	-.144	-5.873E-02	-.151	-9.089E-02	0.868
LBU	.727	.268	7.383E-02	.133	.117	-.361	0.767
WAP	-.702	-.192	.223	.203	.228	3.057E-03	0.673
WPE 2	.586	.538	-.218	-4.977E-02	-.173	.272	0.786
LGY	.584	.500	-.209	1.848E-02	1.098E-02	-.241	0.693
LRE	.578	.466	-1.035E-02	.140	8.881E-02	-.383	0.725
RBR	.562	-.482	.207	-2.562E-02	8.005E-02	3.163E-02	0.599
LPE 2	7.522E-02	.906	8.470E-02	-8.705E-02	-4.806E-02	-2.039E-02	0.844
LPE 3	-.100	.887	.119	-7.772E-02	-9.495E-02	1.387E-02	0.826
LPE 1	-9.678E-02	.882	8.914E-02	-9.426E-02	-.116	1.010E-02	0.818
LPE 5	-.244	.865	7.898E-03	-.132	-.170	6.459E-02	0.858
LPE 4	-.254	.838	1.069E-02	-.158	-.152	5.078E-02	0.818
LSTY	7.404E-02	.718	-2.680E-02	-.190	.142	-6.082E-02	0.581
LFI 1	.187	.653	.113	-.346	.535	4.734E-02	0.883
LFI 2	.213	.643	.150	-.340	.518	4.663E-02	0.868
LFI 3	.295	.629	9.547E-02	-.337	.492	3.990E-02	0.850
WPE 1	.515	.598	.376	.168	-.184	9.808E-02	0.836
WPE 3	.545	.577	.372	.224	-9.079E-02	.102	0.837
WPE 5	.411	.532	.472	.241	-.167	.251	0.824
WPE 4	.414	.519	.490	.235	-.184	.231	0.823
RBU	.450	-.468	-.171	-.362	-9.776E-02	.384	0.740
WCA	.457	-7.967E-03	.518	.433	.136	-.164	0.711
DPA	-.123	.422	-.495	.563	.333	.332	0.976
TRA	-.128	.418	-.501	.557	.334	.333	0.974

ตารางที่ 4.27 ค่า factor loading ของลักษณะต่างๆของดอกและเรณูในแกนปัจจัย (หลังการหมุนแกน) จากการวิเคราะห์ปัจจัยลักษณะสัมฐานวิทยาของ ดอกและเรณูของชงโคงคำในประเทศไทย

Variable	Factor					
	1	2	3	4	5	6
PAP	.956	.148	.168	.103	1.944E-02	-2.529E-02
CPE	-.956	-.148	-.168	-.103	-1.944E-02	2.529E-02
TAP	-.956	-.148	-.168	-.103	-1.944E-02	2.529E-02
DAP	-.928	-.257	-.138	-6.416E-02	6.813E-03	4.472E-02
PFI	-.913	-.273	-.148	-6.203E-02	-3.602E-02	4.511E-02
LAP	.909	.145	.148	8.775E-02	.278	-5.140E-02
NVR	.900	.111	.162	7.158E-02	5.571E-02	-1.568E-02
RAF	-.880	-.423	-.134	-5.331E-02	3.733E-02	3.497E-02
HOV	.818	.545	.146	3.731E-02	-6.642E-02	-9.612E-03
LPCL 3	.811	.476	.194	.172	-7.134E-02	-1.108E-02
LPCL 1	.811	.478	.183	.153	-8.225E-02	7.241E-03
LPCL 2	.794	.494	.167	.182	-7.259E-02	-6.041E-02
WAP	-.791	-1.403E-02	-.106	-7.019E-02	.123	.123
LCA	.791	.242	.319	.199	-2.705E-02	.216
LAN 3	.791	.208	.219	2.167E-02	.129	.357
LAN 2	.786	.239	.213	4.480E-02	.117	.336
LAN 1	.785	.207	.223	8.388E-02	.122	.337
DEA	-.774	-.265	-3.621E-02	-4.847E-02	.189	7.134E-02
LPCL 5	.771	.539	.191	.150	-6.998E-02	4.521E-02
LPCL 4	.767	.537	.194	.145	-6.966E-02	5.590E-02
NBU	-.754	-.436	-.184	-3.904E-02	4.963E-02	-4.195E-02
LOV	.712	8.329E-02	.275	.264	-3.688E-02	9.662E-02
LGY	.704	-.185	.145	.256	6.724E-02	.268
LBU	.637	.166	.226	.225	-4.289E-02	.480
LRE	.596	-8.373E-02	.226	.261	2.046E-02	.493

ตารางที่ 4.27 (ต่อ)

Variable	Factor					
	1	2	3	4	5	6
SPO	-.395	-.839	-3.994E-02	5.569E-02	5.239E-02	-2.438E-03
CSTY	.532	.820	9.645E-02	-3.193E-02	-.135	7.065E-03
CSTI	.532	.820	9.645E-02	-3.193E-02	-.135	7.065E-03
SPE	.532	.820	9.645E-02	-3.193E-02	-.135	7.065E-03
SSTI	.532	.820	9.645E-02	-3.193E-02	-.135	7.065E-03
CAN	.532	.820	9.645E-02	-3.193E-02	-.135	7.065E-03
CBU	.532	.820	9.645E-02	-3.193E-02	-.135	7.065E-03
CFI	.532	.820	9.645E-02	-3.193E-02	-.135	7.065E-03
LPE 5	5.141E-03	-.787	.363	.320	2.772E-02	-6.518E-02
LPE 4	-9.804E-03	-.770	.332	.332	7.165E-03	-6.585E-02
RBR	.267	.702	3.537E-02	-5.512E-02	-.174	-1.377E-03
LPE 1	8.883E-02	-.690	.438	.376	9.107E-03	3.729E-02
LPE 3	6.774E-02	-.675	.459	.390	1.701E-02	5.324E-02
LPE 2	.228	-.607	.459	.450	2.641E-02	9.538E-02
WPE 4	.233	-1.748E-02	.864	.131	1.540E-02	6.756E-02
WPE 5	.235	-2.321E-02	.861	.145	4.481E-02	5.602E-02
WPE 1	.404	-9.359E-02	.780	.189	-2.273E-02	.138
WPE 3	.401	-2.546E-02	.769	.221	4.948E-02	.183
WPE 2	.515	-5.673E-02	.654	.264	-2.534E-02	-.138
LFI 1	.144	-.166	.168	.894	6.701E-02	3.764E-02
LFI 2	.152	-.141	.201	.884	4.334E-02	4.450E-02
LFI 3	.248	-.121	.184	.858	5.082E-02	3.846E-02
LSTY	.209	-.458	.200	.528	4.055E-02	7.935E-02
DPA	3.552E-02	-.277	3.779E-02	8.278E-02	.943	3.726E-02
TRA	3.338E-02	-.279	2.891E-02	8.270E-02	.942	3.177E-02
RBU	.365	.481	-.169	-7.177E-02	-.131	-.569
WCA	.111	.452	.491	1.288E-02	1.142E-03	.503

**ตารางที่ 4.28 ค่าสถิติของสมการจัดจำแนกจากการวิเคราะห์ลักษณะสัณฐานวิทยา  
ของดอกและเรณูของชงโคงคำในประเทศไทย เมื่อใช้ข้อมูลจากแกนปัจจัย  
ที่ 1-6 ซึ่งมีค่าໄอยเกนมากกว่า 1**

Function	Eigenvalue	% of	Cumulative	Canonical	Wilks'	Chi-square	df	Sig.
		Variance						
1	159.655	92.3	92.3	.997	.000	4297.892	128	.000
2	9.853	5.7	98.0	.953	.009	2080.795	105	.000
3	1.649	1.0	99.0	.789	.092	1040.005	84	.000
4	.789	.5	99.5	.664	.245	614.730	65	.000
5	.399	.2	99.7	.534	.437	360.887	48	.000
6	.217	.1	99.8	.422	.612	214.200	33	.000
7	.209	.1	99.9	.416	.745	128.379	20	.000
8	.110	.1	100.0	.314	.901	45.421	9	.000

**ตารางที่ 4.29 ค่าสัมประสิทธิ์ของสมการจัดจำแนกที่เป็นคะแนนมาตรฐาน จากการวิเคราะห์ลักษณะสัณฐานวิทยาของดอกและเรณูของช้างโคคำในประเทศไทย เมื่อใช้ข้อมูลจากแกนปัจจัยที่ 1-6**

Variable	Function							
	1	2	3	4	5	6	7	8
DAP	.614	-.244	-.064	.198	.617	-.780	.109	1.317
LAP	.264	.093	-.112	.006	1.310	-.144	-.153	1.669
NVR	-.243	.333	.022	.152	-.176	-.150	-.176	.075
RAF	.868	-.066	.165	.068	.223	.262	.022	-.162
LPCL 2	-.018	-.209	.369	.113	-.153	-.104	.416	.056
LPCL 3	-.383	-.061	-.061	-.089	.169	.528	-.015	-.120
WAP	.024	-.200	.038	-.387	-.323	.305	.212	.704
LAN 1	-.140	.007	.491	-.191	-.270	.007	.148	-.147
DEA	-.037	.009	.136	.218	.007	.598	-.222	.163
LPCL 4	-.126	-.156	.377	.091	.010	-.020	-.253	.089
LGY	.112	.347	.467	.458	.155	-.099	.619	.020
SPO	.118	.606	-.055	-.038	-.338	.107	-.137	.006
LPE 5	.109	.471	-.125	.118	-.052	.159	-.223	.316
RBR	-.217	-.231	.191	.123	.081	.316	0.15	-.023
DPA	-.152	.244	.218	-.786	-.531	-.036	.186	-1.251
WCA	-.070	-.269	.539	.051	-.012	-.219	-.523	.066

ตารางที่ 4.30 ค่าสัมประสิทธิ์สหสัมพันธ์ระหว่างลักษณะสัมฐานวิทยาของดอกและเรตุของชงโคงคำในประเทศไทยที่ใช้ในการวิเคราะห์จัดจำแนกกับสมการจัดจำแนกเมื่อใช้ข้อมูลจากแกนปัจจัยที่ 1-6.

Variable	Function							
	1	2	3	4	5	6	7	8
RAF	.722*	-.074	.170	.014	.114	.406	-.037	-.244
LPCL 5 <sup>a</sup>	-.296*	-.130	.202	.144	.048	.240	.170	.108
LPCL 4	-.269*	-.139	.268	.186	.052	.206	.068	.148
SPO	.159	.523*	-.055	.114	-.401	.101	-.170	.075
LPE 5	.033	.342*	.018	.146	-.065	.237	-.173	.311
NVR	-.186	.285*	.072	.047	-.111	-.125	-.093	.075
LPE 4 <sup>a</sup>	.043	.260*	.022	.122	-.046	.240	-.121	.257
WCA	-.041	-.126	.543*	.064	-.032	-.144	-.527	.126
LAN 1	-.135	.116	.525*	-.220	-.218	.004	.080	-.151
LAN 2 <sup>a</sup>	-.114	.064	.393*	-.184	-.139	.006	.034	-.119
LAN 3 <sup>a</sup>	-.106	.043	.387*	-.233	-.106	.009	-.035	-.143
LCA <sup>a</sup>	-.051	.116	.298*	.067	-.088	.048	-0.045	.131
WPE 3 <sup>a</sup>	-.013	.088	.202*	.099	-.032	.088	-.173	.180
LOV <sup>a</sup>	-.052	.097	.177*	.095	-.100	.117	-.011	.085
LBU <sup>a</sup>	.004	.024	.149*	.027	-.028	.048	-.024	.094
LRE <sup>a</sup>	.022	.096	.123*	-.020	-.067	-.027	-.033	.097
DPA	.013	.187	.217	-.707*	.317	-.050	.137	.105
TRA <sup>a</sup>	.018	.201	.212	-.701*	.313	-.046	.134	.117
LAP	.225	.344	.113	-.486	.698*	.143	-.035	.009
PFI <sup>a</sup>	.259	-.244	-.047	.108	-.327	-.534*	.186	.298
LPCL 3	.293	-.062	.051	.152	.066	.352*	.202	.145
DEA	.109	-.036	.118	-.007	-.051	.309*	-.176	.298
RBR	-.069	-.253	.081	.162	.137	.298*	.031	-.009

ตารางที่ 4.30 (ต่อ)

Variable	Function							
	1	2	3	4	5	6	7	8
LPE 1 <sup>b</sup>	.024	.200	.085	.087	-.059	.277*	-.104	.192
LPE 3 <sup>b</sup>	-.016	.209	.116	.096	-.068	.264*	-.116	.192
LPE 2 <sup>a</sup>	-.034	.193	.134	.101	-.097	.261*	-.056	.147
LPCL 1 <sup>a</sup>	-.207	-.033	.075	.189	.000	.248*	.193	.129
WPE 2 <sup>b</sup>	-.009	.109	.072	.096	-.074	.169*	-.146	.160
LFI 1 <sup>a</sup>	-.084	.074	.074	.078	.020	.169*	.129	.111
LFI 2 <sup>a</sup>	-.116	.112	.058	.088	.023	.154*	.111	.100
LFI 3 <sup>a</sup>	-.085	.046	.049	.109	.026	.130	.082	.114
LGY	-.086	.317	.470	.383	.146	-.026	.630*	.098
LPCL 2	-.261	-.084	-.086	.148	.045	.281	.288*	.157
WPE 5 <sup>a</sup>	-.033	.060	.117	.157	-.035	.114	-.236*	.164
WPE 4 <sup>b</sup>	-.036	.065	.105	.138	-.056	.080	-.217*	.185
WPE 1 <sup>a</sup>	.020	.082	.138	.151	-.099	.104	-.208*	.176
NBU <sup>a</sup>	.036	.040	-.011	-.062	-.071	-.030	.112*	-.012
WAP	.104	-.189	.122	-.390	-.489	.258	.299	.490*
DAP	.310	-.245	.011	.081	-.301	-.387	.108	.411*
LSTY <sup>a</sup>	-.070	.073	.145	.050	-.009	.147	.004	.163*

\* แสดงว่าลักษณะนั้นมีความสำคัญต่อสมการนั้nmak

a แสดงว่าลักษณะนั้นไม่นำไปใช้ในการวิเคราะห์จัดจำแนก

**ตารางที่ 4.31 เปอร์เซ็นต์การทำนายกลุ่มประชากรจากสมการที่ได้จากการวิเคราะห์  
จัดจำแนกกลุ่มและสัณฐานวิทยาของดอกและเรนูของคงค่าในประเทศไทย  
เมื่อใช้ข้อมูลจากเกณฑ์จัยที่ 1-6.**

ประชากร	จำนวน	การทำนายกลุ่มประชากร								
		1	2	3	4	5	6	7	8	9
1	50	38	12	0	0	0	0	0	0	0
		(76%)	(24%)	(0%)	(0%)	(0%)	(0%)	(0%)	(0%)	(0%)
2	50	12	37	1	0	0	0	0	0	0
		(24%)	(74%)	(2%)	(0%)	(0%)	(0%)	(0%)	(0%)	(0%)
3	50	8	8	34	0	0	0	0	0	0
		(16%)	(16%)	(68%)	(0%)	(0%)	(0%)	(0%)	(0%)	(0%)
4	50	0	0	0	43	7	0	0	0	0
		(0%)	(0%)	(0%)	(86%)	(14%)	(0%)	(0%)	(0%)	(0%)
5	50	0	0	0	6	44	0	0	0	0
		(0%)	(0%)	(0%)	(12%)	(88%)	(0%)	(0%)	(0%)	(0%)
6	50	0	0	0	0	0	41	7	2	0
		(0%)	(0%)	(0%)	(0%)	(0%)	(82%)	(14%)	(4%)	(0%)
7	50	0	0	0	0	0	4	46	0	0
		(0%)	(0%)	(0%)	(0%)	(0%)	(8%)	(92%)	(0%)	(0%)
8	50	0	0	0	0	0	1	1	47	1
		(0%)	(0%)	(0%)	(0%)	(0%)	(2%)	(2%)	(94%)	(2%)
9	50	0	0	0	0	0	0	1	5	44
		(0%)	(0%)	(0%)	(0%)	(0%)	(0%)	(2%)	(10%)	(88%)

ความถูกต้องของการทำนายกลุ่มจากสมการโดยรวม = 83.1 เปอร์เซ็นต์

**ตารางที่ 4.32 ค่าไอกenenของแกนปัจจัยและค่าความแปรผันจากการวิเคราะห์ปัจจัย<sup>ลักษณะสังคมฐานวิทยาของใบ ดอก และเรณูของชงโคคำในประเทศไทย</sup>**

Factor	Eigenvalue	% of Variance	Cumulative %
1	21.204	35.939	35.939
2	13.304	22.549	58.488
3	5.458	9.250	67.738
4	4.257	7.215	74.953
5	2.946	4.994	79.947
6	2.175	3.686	83.632
7	1.639	2.779	86.411

**ตารางที่ 4.33 ค่า factor loading ของลักษณะด่างๆของใบ ตอบ และเรณูในแกนปัจจัย (ก่อนการหมุนแกน) และค่า communality จากการวิเคราะห์ปัจจัยลักษณะ สังฐานานิพทยาของใบ ตอบ และเรณูของชงโคงคำในประเทศไทย**

Variable	Factor							Communality
	1	2	3	4	5	6	7	
HLE	.986	-.132	-.3052E-02	-1.236E-02	-2.350E-02	-3.010E-02	3.271E-02	0.993
HOV	.986	-.132	-3.052E-02	-1.236E-02	-2.350E-02	-3.010E-02	3.271E-02	0.993
HUE	.986	-.132	-3.052E-02	-1.263E-02	-2.350E-02	-3.010E-02	3.271E-02	0.993
RAF	-.977	2.809E-02	.120	2.999E-02	3.040E-02	6.843E-02	-4.280E-02	0.978
LPCL 3	.971	-3.240E-03	1.208E-02	4.782E-03	.110	-1.889E-02	4.498E-02	0.957
LPCL 1	.968	-1.773E-02	1.473E-02	-7.877E-04	-.100	-3.446E-02	2.168E-02	0.950
LPCL 5	.967	-6.065E-02	6.542E-02	-1.405E-02	-8.608E-02	6.314E-03	3.600E-03	0.950
LPCL 4	.963	-5.966E-02	7.192E-02	-1.815E-02	-7.872E-02	4.430E-03	-3.960E-03	0.942
LPCL 2	.958	-3.295E-02	-5.571E-03	1.921E-02	-.142	-7.023E-03	7.660E-02	0.945
DAP	-.938	-.112	.203	5.034E-02	1.524E-02	.130	-3.049E-02	0.953
PFI	-.932	-.107	.193	7.877E-02	2.550E-03	.100	-5.189E-02	0.937
PAP	.921	.233	-.235	-5.759E-02	-6.252E-03	-.128	2.294E-02	0.979
CPE	-.921	-.233	.235	5.759E-02	6.252E-03	.128	-2.294E-02	0.979
TAP	-.921	-.233	.235	5.759E-02	6.252E-03	.128	-2.294E-02	0.979
NBU	-.891	4.221E-02	7.418E-04	2.887E-02	-1.488E-02	5.194E-02	5.253E-04	0.799
LCA	.888	.262	5.956E-02	-2.876E-02	3.650E-02	1.098E-02	-.112	0.875
CBU	.862	-.453	.169	3.286E-02	-3.545E-02	6.858E-02	3.583E-02	0.985
CSTI	.862	-.453	.169	3.286E-02	-3.545E-02	6.858E-02	3.583E-02	0.985
CAN	.862	-.453	.169	3.286E-02	-3.545E-02	6.858E-02	3.583E-02	0.985
SPE	.862	-.453	.169	3.286E-02	-3.545E-02	6.858E-02	3.583E-02	0.985
SSTI	.862	-.453	.169	3.286E-02	-3.545E-02	6.858E-02	3.583E-02	0.985
CSTY	.862	-.453	.169	3.286E-02	-3.545E-02	6.858E-02	3.583E-02	0.985
CFI	.862	-.453	.169	3.286E-02	-3.545E-02	6.858E-02	3.583E-02	0.985
LAP	.855	.246	-.261	-.271	1.891E-02	-4.626E-02	.128	0.953
NVR	.849	.236	-.233	-9.265E-02	2.081E-02	-.138	2.388E-02	0.860
LAN 2	.835	.181	2.050E-02	-.256	.130	-4.620E-02	-.192	0.852
LAN 1	.827	.227	1.105E-02	-.239	.119	-1.879E-02	-.196	0.846
LAN 3	.825	.201	4.384E-03	-.263	.166	-4.250E-02	-.202	0.861

ตารางที่ 4.33 (ต่อ)

Variable	Factor							Communality
	1	2	3	4	5	6	7	
DEA	-.794	1.489E-02	.172	-7.947E-02	9.827E-02	.192	2.384E-02	0.714
LOV	.736	.350	-1.853E-0	2.446E-02	-4.797E-02	-7.240E-03	-4.723E-02	0.670
SPO	-.734	.522	-.19	4.678E-02	4.610E-02	-.109	-6.584E-02	0.870
WLE	.734	5.006E-02	-.28	.319	.277	.299	-9.284E-02	0.897
LBU	.718	.279	.13	-9.361E-02	4.046E-02	9.738E-02	-.332	0.742
NSV	-.702	.293	9.614E-0	-4.260E-02	.111	-.134	-.196	0.658
WAP	-.697	-.212	.22	-3.555E-02	7.701E-02	.326	-1.812E-02	0.696
LLE	.601	.117	-.34	.392	.282	.396	-.117	0.895
WPE 2	.577	.547	.16	.184	6.608E-02	-4.693E-02	.310	0.793
LGY	.571	.514	-.12	-.163	-3.658E-02	-.127	-.252	0.714
RBR	.570	-.471	.17	.104	-1.948E-02	9.309E-02	-1.674E-02	0.598
LRE	.566	.474	6.214E-0	-.133	4.667E-02	6.750E-02	-.335	0.686
WBF	.518	.107	-.14	.429	.233	.241	-4.168E-02	0.749
RBU	.472	-.456	-.29	.220	-.208	2.716E-02	.422	0.787
LPE 2	5.833E-02	.906	6.824E-0	9.307E-02	-4.016E-02	-4.491E-02	4.655E-03	0.841
LPE 3	-.117	.883	9.273E-0	.118	-4.838E-03	-6.943E-02	4.669E-02	0.823
LPE 1	-.112	.879	5.582E-0	.124	-6.096E-03	-8.470E-02	4.703E-02	0.814
LPE 5	-.257	.861	-4.791E-0	.139	-6.938E-03	-.108	.112	0.854
LPE 4	-.266	.835	-4.845E-0	.152	-3.387E-02	-9.823E-02	9.660E-02	0.813
LSTY	5.664E-02	.715	1.467E-0	-5.850E-03	-.269	-1.214E-02	-3.524E-02	0.588
LFI 1	.168	.649	.16	4.021E-02	-.566	.269	-4.018E-02	0.872
LFI 2	.198	.642	.17	9.168E-02	-.523	.307	-5.247E-02	0.859
LFI 3	.279	.629	.13	4.997E-02	-.530	.249	-4.525E-20	0.839
WPE 1	.500	.604	.34	.129	.254	-4.908E-02	.122	0.835
WPE 3	.528	.581	.38	4.695E-02	.233	6.247E-03	.111	0.837
WPE 5	.395	.535	.44	.127	.305	-3.079E-03	.252	0.816
WPE 4	.399	.523	.45	.151	.317	-6.295E-03	.237	0.816
WCA	.444	-7.583E-03	.60	-8.576E-02	.285	.139	-.207	0.709
LBF	6.027E-02	.437	-.55	.391	.206	.251	-7.860E-02	0.763
TRA	-.139	.409	-.21	-.722	.139	.361	.276	0.979
DPA	-.133	.413	-.20	-.720	.146	.366	.275	0.981

**ตารางที่ 4.34 ค่า factor loading ของลักษณะต่างๆ ของใบ ดอก และเรณูในแกนปัจจัย (หลังการหมุนแกน) จากการวิเคราะห์ปัจจัยลักษณะสัณฐานวิทยาของใบ ดอก และเรณูของชงโคงคำในประเทศไทย**

Variable	Factor						
	1	2	3	4	5	6	7
PAP	.933	.173	.167	.109	.190	2.658E-02	-4.216E-02
CPE	-.933	-.173	-.167	-.109	-.190	-2.658E-02	4.216E-02
TAP	-.933	-.173	-.167	-.109	-.190	-2.658E-02	4.216E-02
DAP	-.909	-.276	-.134	-6.426E-02	-.163	5.053E-03	5.375E-02
LAP	.897	.158	.147	8.696E-02	.120	.275	-6.265E-02
PFI	-.893	-.292	-.144	-6.098E-02	-.160	-3.807E-02	5.247E-02
NVR	.884	.128	.159	7.643E-02	.163	5.592E-02	-2.989E-02
RAF	-.856	-.447	-.128	-5.214E-02	-.153	2.692E-02	4.736E-02
WAP	-.799	-1.351E-02	-.105	-6.433E-02	-6.547E-02	.150	.127
HLE	.795	.566	.138	3.136E-02	.133	-5.628E-02	-1.518E-02
HOV	.795	.566	.138	3.136E-02	.133	-5.628E-02	-1.518E-02
HUE	.795	.566	.138	3.136E-02	.133	-5.628E-02	-1.518E-02
LAN 3	.795	.214	.219	2.910E-02	7.214E-02	.129	.336
LAN 2	.794	.242	.211	4.871E-02	5.230E-02	.113	.318
LPCL 1	.794	.501	.178	.150	9.907E-02	-7.322E-02	-7.111E-03
LPCL 3	.791	.501	.189	.169	.108	-6.046E-02	-2.746E-02
LAN 1	.787	.214	.222	8.926E-02	8.133E-02	.121	.320
LPCL 2	.771	.520	.162	.178	.111	-6.110E-02	-7.412E-02
LCA	.768	.272	.318	.209	.164	-1.050E-02	.197
DEA	-.757	-.283	-3.448E-02	-5.005E-02	-.124	.185	8.580E-02
LPCL 5	.755	.558	.183	.144	9.116E-02	-6.284E-02	3.510E-02
LPCL 4	.752	.555	.186	.139	8.757E-02	-6.292E-02	4.636E-02
NBU	-.740	-.451	-.177	-3.433E-02	-.108	4.639E-02	-3.832E-02
LGY	.719	-.187	.144	.264	7.075E-02	4.562E-02	.254
LOV	.683	.119	.278	.279	.169	-1.655E-02	7.765E-02
LBU	.610	.206	.235	.255	.138	1.540E-03	.433
LRE	.572	-4.116E-02	.243	.301	.133	6.696E-02	.431

ตารางที่ 4.34 (ต่อ)

Variable	Factor						
	1	2	3	4	5	6	7
SPO	-.389	-.842	-2.750E-02	7.720E-02	1.504E-02	4.761E-02	-8.880E-03
CFI	.515	.832	8.397E-02	-4.850E-02	5.389E-02	-.124	1.327E-02
CSTY	.515	.832	8.397E-02	-4.850E-02	5.389E-02	-.124	1.327E-02
SPE	.515	.832	8.397E-02	-4.850E-02	5.389E-02	-.124	1.327E-02
SSTI	.515	.832	8.397E-02	-4.850E-02	5.389E-02	-.124	1.327E-02
CBU	.515	.832	8.397E-02	-4.850E-02	5.389E-02	-.124	1.327E-02
CSTI	.515	.832	8.397E-02	-4.850E-02	5.389E-02	-.124	1.327E-02
CAN	.515	.832	8.397E-02	-4.850E-02	5.389E-02	-.124	1.327E-02
LPE 5	-7.736E-03	-.754	.383	.350	7.368E-02	4.119E-02	-9.568E-02
LPE 4	-2.491E-02	-.735	.353	.363	7.425E-02	2.320E-02	-9.571E-02
RBR	.250	.704	1.767E-02	-7.587E-02	6.169E-02	-.172	3.530E-02
LPE 1	7.959E-02	-.657	.457	.404	6.156E-02	1.990E-02	8.428E-03
LPE 3	6.055E-02	-.643	.478	.416	4.843E-02	2.648E-02	2.566E-02
NSV	-.470	-.601	8.168E-03	-3.479E-02	-.172	-2.351E-02	.212
LPE 2	.217	-.573	.475	.477	8.493E-02	3.708E-02	6.329E-02
WPE 4	.227	-3.680E-04	.860	.132	6.315E-02	1.164E-02	6.821E-02
WPE 5	.231	-8.186E-03	.857	.143	4.846E-02	3.741E-02	5.867E-02
WPE 1	.392	-6.552E-02	.783	.200	9.501E-02	-1.665E-02	.123
WPE 3	.396	-2.144E-03	.770	.228	5.747E-02	5.159E-02	.170
WPE 2	.483	-1.037E-02	.660	.277	.141	-3.621E-03	-.166
LFI 1	.142	-.144	.167	.894	-3.158E-03	5.984E-02	2.903E-02
LFI 2	.138	-.144	.197	.883	6.277E-02	4.096E-02	4.698E-02
LFI 3	.242	-9.667E-02	.182	.857	3.436E-02	4.435E-02	3.038E-02
LSTY	.214	-.433	.216	.552	-1.918E-02	4.974E-02	2.624E-02
LLE	.395	.208	.132	4.740E-02	.819	-2.273E-02	7.107E-02
LBF	.145	-.394	1.967E-02	.107	.755	1.735E-02	-6.997E-02
WBF	.392	.105	8.390E-02	-4.458E-03	.750	-9.552E-02	-7.128E-02
WLE	.518	.307	.160	-4.647E-03	.709	-3.739E-02	7.100E-02
DPA	4.217E-02	-.280	4.322E-02	8.513E-02	-4.588E-02	.943	3.162E-02
TRA	4.110E-02	-.283	3.437E-02	8.480E-02	-5.084E-02	.941	2.577E-02
RBU	.298	.529	-.169	-7.113E-02	.192	-8.095E-02	-.584
WCA	.137	.434	.478	-1.808E-03	-7.120E-02	-1.593E-02	.518

**ตารางที่ 4.35 ค่าสถิติของสมการจัดจำแนกจากการวิเคราะห์ลักษณะสัณฐานวิทยาของใบ  
ดอก และเรณูของชงโคงคำในประเทศไทย เมื่อใช้ข้อมูลจากแกนปัจจัยที่ 1-7  
ซึ่งมีค่าไอลเกนมากกว่า 1**

Function	Eigenvalue	% of Variance	Cumulative %	Canonical Correlation	Wilks' Lambda	Chi-square	df	Sig.
1	173.085	92.3	92.3	.997	.000	4459.510	160	.000
2	10.593	5.6	97.9	.956	.006	2217.689	133	.000
3	1.785	1.0	98.9	.801	.070	1152.987	108	.000
4	.906	.5	99.4	.690	.196	707.945	85	.000
5	.569	.3	99.7	.602	.374	427.593	64	.000
6	.254	.1	99.8	.450	.587	231.751	45	.000
7	.215	.1	99.9	.421	.736	133.298	28	.000
8	.118	.1	100.0	.325	.894	48.631	13	.000

**ตารางที่ 4.36 ค่าสัมประสิทธิ์ของสมการจัดจำแนกที่เป็นคะแนนมาตรฐานจากการวิเคราะห์  
ลักษณะสัณฐานวิทยาของใบ ดอก และเรณูของชงโคงคำในประเทศไทย  
เมื่อใช้ข้อมูลจากแกนปัจจัยที่ 1-7**

Variable	Function							
	1	2	3	4	5	6	7	8
DAP	.583	-.236	-.039	.249	.474	-.126	-.705	1.089
LAP	.228	.036	-.046	.126	1.155	-.014	.019	1.399
NVR	-.251	.317	.026	.098	-.187	-.197	-.080	.098
RAF	.870	-.093	.149	.022	.072	.130	.281	-.202
WAP	.016	-.223	.048	-.364	-.124	.292	.116	.721
LPCL 3	-.426	-.180	-.312	.050	.038	.384	.306	-.115
LAN 1	-.139	.016	.453	-.269	-.251	.114	-.060	-.103
DEA	-.050	-.024	.093	.176	-.118	.092	.616	.188
LPCL 4	-.120	-.174	.294	.116	-.067	-.123	.028	.131
LGY	.126	.330	.499	.381	-.075	.489	-.281	-.108
SPO	.125	.578	-.022	-.143	-.269	-.126	.148	.055

ตารางที่ 4.36 (ต่อ)

Variable	Function							
	1	2	3	4	5	6	7	8
LPE 5	.137	.453	-.219	.131	-.129	.065	.162	.358
RBR	-.187	-.209	.188	.162	.035	.167	.279	.006
NSV	.096	.105	.218	.305	.246	-.096	-.041	.026
WPE 4	.023	.014	.272	-.075	.216	-.391	.133	-.032
LBF	.217	.421	-.299	.214	-.118	.097	-.097	.112
LLE	-.199	-.433	.367	-.308	.622	-.514	.079	-.124
WLE	-.192	.102	-.254	-.065	-.846	.223	.063	-.162
DPA	-.126	.271	.176	-.780	-.315	.075	-.143	-.1.096
WCA	-.094	-.289	.439	-.009	-.108	-.399	.010	.135

ตารางที่ 4.37 ค่าสัมประสิทธิ์สหสัมพันธ์ระหว่างลักษณะสังคมฐานวิทยาของใบ ดอก และเรตุ ของชงโคล์ดีในประเทศไทยที่ใช้ในการวิเคราะห์จัดจำแนกกับสมการจัดจำแนก

Variable	Function							
	1	2	3	4	5	6	7	8
RAF	.693*	-.114	.154	-.050	-.032	.106	.428	-.271
LPCL 5 <sup>a</sup>	-.285*	-.099	.217	.141	-.013	.233	.169	.094
LPCL 4	-.259*	-.121	.253	.189	-.030	.167	.157	.144
SPO	.154	.496*	-.029	-.010	-.359	-.178	.148	.116
LPE 5	.033	.329*	.043	.088	-.096	-.064	.290	.313
NVR	-.178	.284*	.089	.013	-.083	-.133	-.081	.094
WCA	-.040	-.126	.516*	.019	-.083	-.448	.080	.194
LAN 1	-.129	.111	.493*	-.275	-.193	.081	-.043	-.104
LAN 2 <sup>a</sup>	-.089	.073	.384*	-.182	-.094	.058	-.026	-.066
LAN 3 <sup>a</sup>	-.098	.032	.352*	-.249	-.072	.011	.003	-.091
WPE 3 <sup>a</sup>	-.020	.080	.319*	.016	-.012	-.264	.216	.169
LCA <sup>a</sup>	-.075	.090	.291*	-.023	-.146	-.030	.074	.125
LOV <sup>a</sup>	-.057	.094	.198*	.040	-.127	.005	.124	.087
LBU <sup>a</sup>	-.004	.020	.129*	-.012	-.076	.005	.056	.091
LRE <sup>a</sup>	.013	.087	.109*	-.065	-.090	-.036	-.010	.097
DPA	.013	.172	.213	-.633*	.401	.188	-.083	.075
TRA <sup>a</sup>	.018	.182	.203	-.630*	.395	.193	-.081	.088
NSV	.092	.128	.278	.291*	.199	-.200	.037	-.054
LAP	-.215	.340	.150	-.370	.680*	.142	.213	-.045
WLE	-.083	.025	-.031	-.137	-.364*	-.183	.182	-.227
WBF <sup>a</sup>	-.090	.048	-.085	-.060	-.271*	-.110	.110	-.158
LLE	-.057	.039	-.024	-.117	-.257*	-.226	.137	-.194
LBF	-.006	.196	-.143	-.002	-.208*	-.121	.077	-.028

ตารางที่ 4.37 (ต่อ)

Variable	Function							
	1	2	3	4	5	6	7	8
LGY	-.081	.308	.486	.316	-.061	.527*	-.232	-.028
WPE 4	-.030	.082	.269	.044	.018	-.417*	.249	.173
WPE 5 <sup>a</sup>	-.026	.077	.249	.079	.004	-.351*	.272	.163
LPCL 3	-.282	-.043	.049	.174	.008	.320*	.235	.125
WPE 1 <sup>a</sup>	.011	.078	.240	.052	-.086	-.297*	.237	.173
LPCL 2 <sup>a</sup>	-.234	.022	.073	.146	.066	.255*	.244	.124
LPCL 1 <sup>a</sup>	-.199	-.006	.143	.180	-.038	.232*	.183	.107
LFI <sup>a</sup>	-.071	.087	.128	.053	.027	.136*	.133	.095
NBU <sup>a</sup>	.045	.053	-.023	-.057	-.057	.088*	-.084	-.010
PFI <sup>a</sup>	.250	-.244	-.074	.073	-.274	-.078	-.609*	.277
DAP	.297	-.253	-.017	.039	-.260	-.078	-.442*	.393
DEA	.105	-.043	.105	-.031	-.070	-.014	.340*	.318
LPE 3 <sup>a</sup>	-.023	.196	.184	.037	-.075	-.046	.316*	.194
LPE 1 <sup>a</sup>	.021	.182	.147	.037	-.051	-.029	.315*	.195
LPE 4 <sup>a</sup>	.039	.239	.076	.066	-.047	-.053	.285*	.251
LPE 2 <sup>a</sup>	-.037	.183	.174	.035	-.109	.003	.278*	.151
RBR	-.067	-.240	.067	.185	.045	.158	.267*	-.018
WPE 2 <sup>a</sup>	-.010	.109	.161	.011	-.047	-.184	.266*	.163
LFI 2 <sup>a</sup>	-.106	.127	.116	.056	.028	.098	.133*	.080
LFI 3 <sup>a</sup>	-.065	.068	.090	.096	.025	.098	.110*	.106
WAP	.099	-.192	.064	-.416	-.337	.346	.028	.527*
LSTY <sup>a</sup>	-.039	.083	.167	.046	.016	.073	.132	.183*

\* แสดงว่าลักษณะนั้นมีความสำคัญต่อสมการนั้นมาก

a แสดงว่าลักษณะนั้นไม่น่าไปใช้ในการวิเคราะห์จัดจำแนก

**ตารางที่ 4.38 เปอร์เซ็นต์การทำนายกลุ่มประชากรจากสมการที่ได้จากการวิเคราะห์  
จัดจำแนกกลุ่มนักเรียนฐานวิทยาของใบ ดอก และเรณูของชั้นโสดคำ  
ในประเทศไทย เมื่อใช้ข้อมูลจากแกนปัจจัยที่ 1-7**

ประชากร	จำนวน	การทำนายกลุ่มประชากร								
		1	2	3	4	5	6	7	8	9
1	50	42 (84%)	8 (16%)	0 (0%)						
2	50	12 (24%)	37 (74%)	1 (2%)	0 (0%)	0 (0%)	0 (0%)	0 (0%)	0 (0%)	0 (0%)
3	50	6 (12%)	5 (10%)	39 (78%)	0 (0%)	0 (0%)	0 (0%)	0 (0%)	0 (0%)	0 (0%)
4	50	0 (0%)	0 (0%)	0 (0%)	43 (86%)	7 (14%)	0 (0%)	0 (0%)	0 (0%)	0 (0%)
5	50	0 (0%)	0 (0%)	0 (0%)	5 (10%)	45 (90%)	0 (0%)	0 (0%)	0 (0%)	0 (0%)
6	50	0 (0%)	0 (0%)	0 (0%)	0 (0%)	0 (0%)	43 (86%)	5 (10%)	1 (2%)	1 (2%)
7	50	0 (0%)	0 (0%)	0 (0%)	0 (0%)	0 (0%)	5 (10%)	44 (88%)	0 (0%)	1 (2%)
8	50	0 (0%)	0 (0%)	0 (0%)	0 (0%)	0 (0%)	3 (6%)	1 (2%)	46 (92%)	3 (6%)
9	50	0 (0%)	0 (0%)	0 (0%)	0 (0%)	0 (0%)	7 (0%)	0 (0%)	7 (14%)	43 (86%)

ความถูกต้องของการทำนายกลุ่มประชากรโดยรวม = 84.9 เปอร์เซ็นต์

**ตารางที่ 4.39** ค่าไオเกนของแกนปัจจัยและค่าความแปรผันจากการวิเคราะห์ปัจจัยของลักษณะแบบแผนไอโซไซม์ 6 ระบบของชงโคงคำในประเทศไทย

Factor	Eigenvalue	% of Variance	Cumulative %
1	10.603	29.452	29.452
2	5.850	16.250	45.702
3	5.622	15.616	61.317
4	1.378	3.827	65.145
5	1.235	3.432	68.576
6	1.216	3.379	71.955
7	1.167	3.242	75.197

**ตารางที่ 4.40** ค่า factor loading ของลักษณะแบบแผนไอโซไซม์ในแกนปัจจัย (ก่อนการหมุนแกน) และค่า communality จากการวิเคราะห์ปัจจัยลักษณะแบบแผนไอโซไซม์ 6 ระบบของชงโคงคำในประเทศไทย

Variable	Factor							Communality
	1	2	3	4	5	6	7	
ACP 2	-.976	7.826E-02	-.168	-2.014E-02	4.932E-03	-1.096E-02	2.278E-02	0.989
PER 9	-.967	.103	-.212	-1.340E-02	3.879E-03	-4.246E-03	1.969E-02	0.991
GOT 2	.967	-.108	.210	1.715E-02	-9.026E-03	-6.113E-03	-1.889E-02	0.991
ACP 1	.966	-9.106E-02	.220	1.222E-02	-2.155E-03	4.495E-03	-1.652E-02	0.990
GOT 1	.963	-5.561E-02	.242	2.499E-02	-6.237E-03	1.254E-02	-1.775E-03	0.989
SKDH 1	.959	-2.272E-02	.250	4.046E-03	-1.420E-03	3.320E-03	-1.710E-02	0.984
MDH 2	.956	-3.099E-03	.270	1.040E-02	-3.532E-03	7.520E-03	-1.031E-02	0.987
MDH 1	.955	-1.461E-02	.263	1.051E-02	-6.223E-03	7.341E-04	-1.369E-02	0.982
PER 1	-.841	-.129	-.278	-4.861E-02	3.240E-02	-1.786E-02	-9.229E-03	0.805
PER 13	.636	.281	-.480	-3.915E-02	7.030E-02	-9.800E-02	9.380E-02	0.738
PER 14	.599	.268	-.441	-5.474E-02	6.725E-02	-.112	.156	0.670
GOT 3	.590	.502	.135	-3.017E-02	7.877E-02	-6.133E-02	4.798E-02	0.632
PER 11	.526	.257	-.398	2.494E-02	.221	-.147	-6.939E-02	0.577
SKDH 2	-.488	.359	6.714E-02	-.486	4.514E-02	-.334	-6.871E-02	0.726

ตารางที่ 4.40 (ต่อ)

Variable	Factor							Communality
	1	2	3	4	5	6	7	
EST 9	.154	.928	-.231	-1.388E-02	-4.731E-02	1.540E-02	-8.756E-06	0.941
EST 5	.339	.759	-.317	-3.283E-02	-2.619E-02	1.614E-02	-.100	0.804
EST 4	.572	-.744	-.264	-2.698E-02	1.759E-02	-2.107E-02	-7.435E-02	0.957
EST 7	.572	-.744	-.264	-2.698E-02	1.759E-02	-2.107E-02	-7.435E-02	0.957
PER 3	.390	-.571	-.197	-4.699E-02	-3.918E-02	-4.622E-02	4.609E-02	0.525
EST 1	.394	-.563	-.174	-.137	7.489E-03	-8.186E-02	-8.718E-02	0.536
EST 6	-.523	-.559	.437	4.668E-02	8.043E-02	1.910E-02	5.746E-02	0.788
EST 2	.325	-.503	-.122	-1.644E-02	4.932E-02	1.541E-02	6.581E-02	0.381
PER 8	.336	.414	.333	7.876E-02	3.728E-02	.174	6.565E-02	0.438
PER 2	.307	.378	.353	8.370E-02	5.782E-02	.136	9.705E-02	0.400
PER 16	-4.078E-02	5.608E-02	-.785	-3.005E-03	4.912E-03	3.907E-02	-.162	0.649
EST 8	-.470	-4.769E-02	.719	.242	-.106	-.141	.114	0.842
EST 3	-.289	-.287	.644	-1.723E-02	.204	.204	8.552E-02	0.671
MDH 3	-.295	.456	.568	-.124	-3.012E-02	-6.749E-02	-.137	0.657
PER 12	.115	-.198	-.461	3.355E-02	-.159	9.222E-02	.330	0.409
PER 15	1.715E-02	.253	-.380	.383	.162	.164	-.144	0.429
PER 4	-.198	-.113	.199	-2.486E-02	-.538	.434	-.433	0.757
PER 5	-.135	3.404E-03	-3.847E-02	.504	.514	5.002E-02	-.503	0.794
EST 10	-.411	-.179	.281	.175	.438	-.213	.276	0.623
PER 7	.325	.376	.303	-.403	.340	.485	7.180E-02	0.857
PER 10	.316	.361	.305	.440	-.398	-.449	1.496E-02	0.877
PER 6	-.112	.131	-.379	.380	-.139	.441	.444	0.729

ตารางที่ 4.41 ค่า factor loading ของลักษณะแบบแผนไฮโซไซม์ในแกนปัจจัย  
 (หลังการหมุนแกน) จากการวิเคราะห์ปัจจัยลักษณะแบบแผนไฮโซไซม์  
 6 ระบบของชงโคงคำในประเทศไทย

Variable	Factor						
	1	2	3	4	5	6	7
MHD 2	.966	.173	.135	-5.332E-02	-4.365E-04	-3.913E-02	-6.945E-04
MDH 1	.961	.186	.135	-5.688E-02	-6.446E-03	-3.913E-02	-1.295E-03
SKDH 1	.958	.200	.144	-5.822E-02	1.346E-03	-3.754E-02	-1.574E-03
GOT 1	.958	.230	.130	-3.069E-02	-6.697E-03	-3.415E-02	-1.228E-05
ACP 1	.946	.273	.135	-4.547E-02	-3.223E-03	-3.156E-02	-3.256E-03
PER 9	-.942	-.286	-.137	4.462E-02	5.063E-03	2.955E-02	6.147E-03
GOT 2	.940	.291	.136	-4.656E-02	-1.654E-02	-3.176E-02	-3.881E-03
ACP 2	-.934	-.284	-.184	2.778E-02	4.063E-03	2.004E-02	8.690E-03
PER 1	-.884	-1.692E-02	-.143	1.432E-02	2.856E-02	3.587E-02	8.214E-03
GOT 3	.620	-.314	.354	-5.906E-02	2.817E-02	-3.755E-02	.135
PER 8	.502	-.410	2.570E-02	8.974E-02	9.297E-02	2.482E-02	-6.109E-03
PER 2	.480	-.394	-1.876E-02	8.085E-02	7.604E-02	1.473E-02	4.146E-02
EST 4	.322	.921	6.388E-02	-2.378E-03	6.425E-03	2.616E-02	-3.094E-02
EST 7	.322	.921	6.388E-02	-2.378E-03	6.425E-03	2.616E-02	-3.094E-02
EST 1	.204	.689	4.228E-02	-.122	2.288E-02	-4.837E-02	-2.250E-02
PER 3	.203	.688	2.250E-02	3.548E-02	-2.407E-02	-8.482E-02	1.205E-02
MDH 3	6.815E-03	-.683	-.277	-.321	1.159E-03	-5.464E-02	-8.134E-02
EST 2	.193	.577	-4.303E-02	6.197E-02	4.420E-02	-2.456E-02	5.189E-02
EST 6	-.312	.162	-.812	-6.497E-02	1.147E-02	2.085E-02	3.043E-02
EST 3	1.904E-02	-9.362E-02	-.776	-4.999E-02	.234	3.669E-02	4.100E-02
EST 8	-9.058E-02	-.385	-.771	-5.478E-02	-.293	-2.962E-02	4.397E-02
EST 5	.222	-.435	.749	2.567E-02	2.964E-02	4.397E-02	-3.563E-02
PER 13	.370	.131	.734	9.943E-02	1.345E-02	-3.604E-02	.186
EST 9	.114	-.675	.683	7.439E-02	1.048E-02	-1.076E-02	9.213E-03
PER 14	.352	.115	.681	.110	1.232E-02	-8.620E-02	.223
PER 11	.306	9.735E-02	.632	-3.760E-02	1.537E-02	.164	.214
PER 16	-.377	.248	.631	.122	3.690E-02	.158	-7.949E-02
PER 6	-.177	-7.463E-02	.160	.816	2.176E-02	1.049E-02	-1.173E-02
SKDH 2	-.443	-.423	5.734E-02	-.502	7.741E-02	-.273	.121

ตารางที่ 4.41 (ต่อ)

Variable	Factor						
	1	2	3	4	5	6	7
PER 12	-.101	.358	.248	.405	-2.522E-02	-.206	5.144E-02
PER 10	.450	-.349	5.907E-02	-1.373E-02	-.739	-3.944E-02	9.571E-03
PER 7	.455	-.352	4.448E-02	-2.987E-02	.720	-7.115E-02	8.684E-03
PER 5	-9.191E-02	-2.847E-02	-4.770E-02	-8.647E-02	-1.549E-03	.878	6.009E-02
PER 15	-8.383E-02	-9.286E-02		.361	.273	-2.045E-02	.457
PER 4	-8.617E-02	-5.329E-02		-.246	9.271E-03	-2.345E-03	-2.353E-03
EST 10		-.243	-7.164E-02	-.503	-1.599E-02	-1.105E-02	.143
							.534

ตารางที่ 4.42 ค่าสถิติของสมการจัดจำแนกจากการวิเคราะห์ลักษณะแบบแผนไอลโซไซม์  
6 ระบบของชงโคงด้วยในประเทศไทย เมื่อใช้ข้อมูลจากแกนบังจัยที่ 1-7  
ซึ่งมีค่าไอลเกนมากกว่า 1

Function	Eigenvalue	% of	Cumulative	Canonical	Wilks'	Chi-square	df	Sig.
		Variance						
1	1432.121	98.5	98.5	1.000	.000	1353.548	36	.000
2	11.286	.8	99.3	.958	.007	546.843	22	.000
3	10.224	.7	100.0	.954	.089	268.402	10	.000

ตารางที่ 4.43 ค่าสัมประสิทธิ์ของสมการจัดจำแนกที่เป็นคะแนนมาตรฐานจากการวิเคราะห์ลักษณะแบบแผนไอโซไซม์ 6 ระบบของชงโคง์ดำเนินประเทศไทย เมื่อใช้ข้อมูลจากແກນปัจจัยที่ 1-7

Variable	Function		
	1	2	3
ACP 1	.862	-.446	-.183
ACP 2	-.417	.095	.171
EST 1	.083	-.341	-.196
EST 3	-.116	-.102	.490
EST 5	.208	.434	-.475
EST 6	-.202	-.305	.406
EST 8	-.210	.259	.713
GOT 3	-.045	.507	-.205
MDH 2	.395	.639	.175
PER 10	.410	.473	.153
PER 7	.246	.585	.340
SKDH 1	.043	.191	.468

ตารางที่ 4.44 ค่าสัมประสิทธิ์สหสัมพันธ์ระหว่างลักษณะแบบแผนไอโซไซม์ 6 ระบบ ของชงโคง์ดำเนินประเทศไทยที่ใช้ในการวิเคราะห์จัดจำแนกกับสมการจัดจำแนก เมื่อใช้ข้อมูลจากແກນปัจจัยที่ 1-7

Variable	Function		
	1	2	3
ACP 1	.724*	-.297	.228
ACP 2	-.423*	.169	.141
MDH 2	.423*	.305	.284
GOT 2 <sup>a</sup>	.382*	-.022	.073

ตารางที่ 4.44 (ต่อ)

Variable	Function		
	1	2	3
MDH 1 <sup>a</sup>	.361*	.228	.294
SKDH 1	.344*	.130	.194
GOT 1 <sup>a</sup>	.147*	-.119	.028
MDH 3 <sup>a</sup>	.146*	.109	.087
PER 11 <sup>a</sup>	-.069*	.055	.010
PER 5 <sup>a</sup>	.047*	-.023	-.014
PER 13 <sup>a</sup>	.045*	-.012	-.018
EST 5	.012	.384*	-.353
GOT 3	.023	.235*	-.054
EST 2 <sup>a</sup>	.064	-.224*	.155
EST 1	.013	-.223*	-.065
SKDH 2 <sup>a</sup>	.137	.195*	.108
PER 7	.011	.158*	.055
PER 10	.011	.158*	.055
PER 8 <sup>a</sup>	-.069	.129*	.063
PER 3 <sup>a</sup>	.061	-.085*	.033
PER 6 <sup>a</sup>	.051	-.053*	-.002
PER 4 <sup>a</sup>	.013	-.050*	.016
EST 10 <sup>a</sup>	.029	.042*	-.034
PER 14 <sup>a</sup>	.012	.040*	-.024
EST 8	-.016	.063	.479*
EST 6	-.021	-.260	.399*
EST 3	-.005	-.056	.318*
PER 2 <sup>a</sup>	-.042	.029	.269*
PER 1 <sup>a</sup>	.088	-.176	.180*
PER 15 <sup>a</sup>	-.039	-.027	.110*
PER 12 <sup>a</sup>	.043	-.099	.099*
PER 16 <sup>a</sup>	-.010	.036	-.064*

\* แสดงว่า ลักษณะนั้นมีความสำคัญต่อสมการนั้nmang  
 a แสดงว่า ลักษณะนั้นไม่นำไปใช้ในการวิเคราะห์ด้วยแนว

**ตารางที่ 4.45 เปอร์เซ็นต์การทำนายกลุ่มประชากรจากสมการที่ได้จากการวิเคราะห์  
จัดจำแนกกลุ่มตามแบบแผนไฮไซร์ 6 ระบบของชงโคงดามในประเทศไทย  
เมื่อใช้ข้อมูลจากແກນปัจจัยที่ 1-7**

ประชากร	จำนวน	การทำนายกลุ่มประชากร			
		1	4	6	8
1	30	30	0	0	0
		(100%)	(0%)	(0%)	(0%)
4	30	0	30	0	0
		(0%)	(100%)	(0%)	(0%)
6	30	0	0	30	0
		(0%)	(0%)	(100%)	(0%)
8	30	0	0	0	30
		(0%)	(0%)	(0%)	(100%)

ความถูกต้องของการทำนายกลุ่มจากสมการโดยรวม = 100 เปอร์เซ็นต์

ตารางที่ 4.46 ค่าไอเกนของแกนปัจจัยและค่าความแปรผันจากการวิเคราะห์ปัจจัย  
ลักษณะสัณฐานวิทยาของใบ ดอก เรณู และลักษณะแบบแผนไอโซไซม์  
ของชงโคคำในประเทศไทย

Factor	Eigenvalue	% of Variance	Cumulative %
1	29.918	31.492	31.492
2	22.024	23.184	54.676
3	7.359	7.746	62.422
4	5.525	5.815	68.238
5	4.192	4.412	72.650
6	2.597	2.734	75.384
7	1.700	1.790	77.174
8	1.459	1.536	78.709
9	1.438	1.514	80.223
10	1.339	1.409	81.632
11	1.324	1.394	83.026
12	1.292	1.360	84.386

ตารางที่ 4.47 ค่า factor loading ของลักษณะต่างๆในแผนปัจจัย (ก่อนการหมุนแgn) และค่า communality จากการวิเคราะห์ปัจจัยชั้นนำ  
สัมภารณ์วิทยาของไป ออก เร็ว และแบบแผนไป ใช้ชั้นของซึ่งโคงตัวในประเทศไทย

Variable	Factor												Communalit
	1	2	3	4	5	6	7	8	9	10	11	12	
SPO	.995	-3.808E-02	-4.228E-02	-3.435E-02	-1.773E-03	-1.455E-02	1.783E-02	3.871E-03	-8.122E-03	-1.795E-02	-1.437E-02	2.258E-02	0.996
H0V	.995	-3.808E-02	-4.228E-02	-3.435E-02	-1.773E-03	-1.455E-02	1.783E-02	3.871E-03	-8.122E-03	-1.795E-02	-1.437E-02	2.258E-02	0.996
HLE	.995	-3.808E-02	-4.228E-02	-3.435E-02	-1.773E-03	-1.455E-02	1.783E-02	3.871E-03	-8.122E-03	-1.795E-02	-1.437E-02	2.258E-02	0.996
HUE	.995	-3.808E-02	-4.228E-02	-3.435E-02	-1.773E-03	-1.455E-02	1.783E-02	3.871E-03	-8.122E-03	-1.795E-02	-1.437E-02	2.258E-02	0.996
RAF	-.978	-8.534E-02	.113	5.657E-02	3.085E-02	-7.294E-03	-3.698E-02	9.878E-03	2.521E-02	2.489E-02	4.142E-02	-1.6332E-02	0.984
LPCL 5	.962	4.417E-02	.108	5.122E-02	.107	4.030E-03	-2.983E-02	-2.412E-03	2.443E-02	6.248E-03	-2.940E-02	2.543E-02	0.956
LPCL 1	.959	5.090E-02	2.837E-03	4.748E-02	9.091E-02	-3.385E-02	1.554E-02	2.399E-03	1.658E-02	-1.573E-03	-2.469E-02	-1.066E-02	0.936
LPCL 3	.956	8.866E-02	-2.489E-02	8.320E-02	.112	-1.868E-02	1.396E-03	-2.481E-02	1.653E-02	-2.191E-02	1.857E-02	1.003E-02	0.944
LPCL 4	.946	6.243E-02	9.958E-02	5.678E-02	9.618E-02	-1.692E-04	-4.907E-02	2.123E-02	1.356E-02	8.394E-03	-4.250E-03	2.261E-02	0.925
LPCL 2	.940	2.234E-02	-5.747E-02	7.901E-02	.156	-4.979E-03	1.173E-02	2.242E-03	1.177E-02	-9.059E-03	-2.455E-02	3.614E-02	0.920
ACP 2	-.918	.349	-.153	-8.955E-03	-2.869E-02	3.215E-04	-9.695E-03	-1.602E-02	-6.852E-04	8.626E-03	-2.575E-03	-4.724E-02	0.991
ACP 1	.900	-.375	.195	2.858E-02	3.576E-02	-2.799E-03	2.097E-02	1.462E-02	7.287E-04	-1.459E-02	7.280E-03	4.671E-02	0.994
CBU	.899	-.383	.183	2.657E-02	3.690E-02	-6.943E-03	2.276E-02	1.514E-02	7.034E-04	-1.293E-02	4.509E-03	4.752E-02	0.995
CFI	.899	-.383	.183	2.657E-02	3.690E-02	-6.943E-03	2.276E-02	1.514E-02	7.034E-04	-1.293E-02	4.509E-03	4.752E-02	0.995

ตารางที่ 4.47 (ต่อ)

Variable	Factor												Community
	1	2	3	4	5	6	7	8	9	10	11	12	
SPE	.899	-.383	.183	2.657E-02	3.690E-02	-6.943E-03	2.276E-02	1.514E-02	7.034E-04	-1.293E-02	4.509E-03	4.752E-02	0.995
PER 9	-.899	.383	-.183	-2.657E-02	-3.690E-02	6.943E-03	-2.276E-02	-1.514E-02	-7.034E-04	1.293E-02	-4.509E-03	-4.752E-02	0.995
CSTI	.899	-.383	.183	2.657E-02	3.690E-02	-6.943E-03	2.276E-02	1.514E-02	7.034E-04	-1.293E-02	4.509E-03	4.752E-02	0.995
CSTY	.899	-.383	.183	2.657E-02	3.690E-02	-6.943E-03	2.276E-02	1.514E-02	7.034E-04	-1.293E-02	4.509E-03	4.752E-02	0.995
SSTI	.899	-.383	.183	2.657E-02	3.690E-02	-6.943E-03	2.276E-02	1.514E-02	7.034E-04	-1.293E-02	4.509E-03	4.752E-02	0.995
CAN	.899	-.383	.183	2.657E-02	3.690E-02	-6.943E-03	2.276E-02	1.514E-02	7.034E-04	-1.293E-02	4.509E-03	4.752E-02	0.995
GOT 2	.897	-.389	.179	3.166E-02	1.633E-02	7.103E-04	2.294E-02	2.344E-02	-1.548E-03	-1.148E-02	5.273E-03	3.460E-02	0.992
MDH 2	.897	-.324	.277	5.060E-03	2.113E-02	2.387E-02	2.560E-02	1.438E-02	-8.675E-04	-1.175E-02	1.673E-02	5.474E-02	0.991
SKDH 1	.896	-.341	.248	-6.943E-03	3.735E-02	1.715E-02	2.214E-02	1.648E-02	-1.099E-02	-3.532E-02	-3.192E-03	6.144E-02	0.939
GOT 1	.896	-.356	.231	2.601E-02	1.800E-02	1.183E-02	3.632E-04	1.471E-02	-1.729E-03	-3.569E-03	1.903E-02	2.792E-02	0.986
MDH 1	.896	-.329	.264	1.289E-03	3.399E-02	2.006E-02	3.593E-02	1.910E-02	-1.418E-03	-9.900E-03	1.418E-02	6.435E-02	0.989
LCA	.881	.293	.125	5.411E-02	6.101E-02	1.331E-02	.121	1.285E-02	-4.781E-03	8.273E-03	2.183E-02	.105	0.911
NBU	-.877	-.102	-5.044E-03	1.867E-02	2.084E-02	-2.184E-02	-3.623E-02	-2.702E-02	8.625E-03	-4.109E-03	-6.666E-04	-6.394E-02	0.786
DAP	-.876	-.292	.270	.144	3.753E-02	5.575E-02	2.059E-02	5.158E-02	7.408E-02	-1.892E-02	4.990E-02	1.032E-02	0.962
TAP	.867	.370	-.292	-9.646E-02	-4.600E-02	-1.984E-02	7.850E-03	-1.007E-02	-1.636E-02	-1.944E-02	-3.273E-02	-1.163E-02	0.988
PAP	.867	.370	-.292	-9.646E-02	-4.600E-02	-1.984E-02	7.850E-03	-1.007E-02	-1.636E-02	-1.944E-02	-3.273E-02	-1.163E-02	0.988
CPE	.867	.370	-.292	-9.646E-02	-4.600E-02	-1.984E-02	7.850E-03	-1.007E-02	-1.636E-02	-1.944E-02	-3.273E-02	-1.163E-02	0.988
PFI	-.863	-.314	.276	.147	4.976E-02	6.275E-02	4.621E-03	4.107E-02	4.852E-02	-3.650E-03	5.323E-02	-2.205E-02	0.954
DEA	-.837	-9.843E-03	.157	8.917E-02	-5.495E-02	4.661E-02	5.376E-02	9.571E-02	.118	-5.860E-02	2.379E-02	.110	0.780

ตารางที่ 4.47 (ต่อ)

Variable	Factor												Community
	1	2	3	4	5	6	7	8	9	10	11	12	
PER 1	-.790	.228	-.354	-7.361E-03	9.421E-02	1.872E-02	6.711E-02	-7.991E-02	6.886E-02	.100	1.482E-03	-1.218E-03	0.837
NSV	-.785	.228	.199	-4.284E-02	-.112	-2.346E-02	7.287E-02	-4.062E-03	6.426E-02	.160	6.533E-02	-2.583E-02	0.763
WLE	.775	-4.218E-03	-.336	.147	-.193	.321	.106	2.503E-02	-5.389E-03	.133	4.133E-02	-2.997E-02	0.908
NVR	.765	.353	-.176	-.179	-8.717E-02	-1.205E-02	2.509E-03	.146	-6.785E-02	9.632E-03	-5.413E-02	-5.992E-02	0.813
LAN 2	.752	.408	.171	-.209	-6.275E-02	-.142	3.451E-02	-2.555E-02	1.166E-02	.108	6.124E-02	5.767E-02	0.849
LAN 3	.726	.428	.134	-.284	-8.041E-02	-.173	2.186E-02	-4.658E-02	1.645E-02	8.631E-02	.120	9.548E-02	0.879
LAN 1	.723	.498	.145	-.161	9.589E-03	-.138	2.708E-02	-1.839E-02	-1.039E-03	5.944E-02	9.893E-02	4.027E-02	0.852
PER 13	.715	.297	-.265	-.124	-2.224E-02	-2.108E-02	4.866E-02	4.326E-02	9.575E-02	-.133	4.732E-02	-.117	0.732
WAP	-.708	-.354	.281	2.153E-02	6.530E-02	5.821E-02	7.535E-03	9.400E-02	.132	-5.6118E-02	3.663E-02	-2.349E-02	0.745
LBU	.697	.258	.179	.110	9.244E-02	-.117	.224	-6.163E-02	.243	.192	.148	-.148	0.812
LAP	.675	.584	-.267	-.270	-1.408E-02	-4.994E-02	2.263E-02	-8.230E-02	-9.953E-03	2.310E-02	-4.984E-02	5.410E-02	0.957
PER 14	.674	.289	-.220	-.101	-1.590E-02	-.120	4.735E-02	-2.045E-04	8.033E-02	-.174	2.565E-02	-.132	0.668
LOV	.671	.380	-.120	.138	6.934E-02	8.709E-02	5.073E-02	-3.687E-02	.100	.105	-.206	4.486E-02	0.710
LLE	.660	4.797E-02	-.364	.174	-.162	.493	5.856E-02	8.916E-02	-1.139E-03	.132	9.468E-02	4.514E-02	0.911
EST 6	-.651	-.539	.107	.206	-2.068E-02	2.627E-02	-1.533E-02	-3.256E-02	9.788E-02	9.017E-02	6.637E-02	-.100	0.803
GOT 3	.634	.235	.385	-8.246E-02	-3.417E-02	.120	-2.657E-02	1.450E-02	8.286E-02	-6.032E-02	1.369E-02	-.162	0.665
PER 11	.593	.263	-.221	-5.914E-02	-4.399E-02	.133	8.185E-02	.147	.274	-9.006E-02	9.374E-03	6.734E-02	0.608
WPE 3	.567	.459	.334	.390	-2.244	-3.699E-02	.108	-5.340E-02	-2.253E-02	-8.007E-02	7.446E-02	-7.379E-02	0.880
WBF	.560	-.105	-.469	.172	-.203	.383	1.567E-02	2.540E-02	1.121E-02	.157	4.621E-02	-9.201E-02	0.799

ตารางที่ 4.47 (ต่อ)

Variable	Factor												Community
	1	2	3	4	5	6	7	8	9	10	11	12	
RBR	.556	-.499	3.721E-02	2.369E-02	.142	7.237E-02	-3.512E-02	.137	-.146	-.185	-.123	7.497E-02	0.682
LRE	.552	.434	.180	.108	4.748E-02	-.149	.238	-.112	.291	.240	.183	-.163	0.833
WPE 1	.532	.407	.210	.480	-.251	-7.445E-02	-.115	-3.761E-02	4.054E-03	-3.172E-02	-4.743E-02	-9.257E-02	0.818
EST 10	-.478	-.175	.175	.135	-4.559E-03	-2.309E-02	2.321E-02	.179	.443	-.176	8.433E-02	-6.944E-03	0.575
WPE 4	.430	.363	.300	.422	-.416	3.254E-02	-.130	-3.541E-02	-1.560E-02	-9.020E-02	-5.001E-02	-.101	0.798
EST 9	.333	.842	.217	-.290	-.125	8.215E-02	-1.443E-02	-6.861E-04	-2.565E-02	1.830E-02	2.758E-02	-3.123E-02	0.976
LPE 2	-6.807E-02	.765	.113	.476	7.708E-02	-.154	8.730E-02	6.071E-02	-6.263E-03	5.999E-02	-4.361E-02	6.971E-02	0.881
DPA	-.290	.755	7.356E-02	-.335	7.465E-02	-2.499E-03	9.978E-02	8.656E-02	.119	1.944E-02	-1.771E-02	.159	0.835
TRA	-.325	.735	6.172E-02	-.340	7.278E-02	5.365E-03	.101	-9.540E-02	.118	5.115E-02	-1.285E-02	.171	0.836
LPE 1	-.289	.702	4.550E-02	.435	7.380E-02	-.124	.145	6.474E-02	-2.583E-03	-1.050E-02	4.030E-02	.174	0.845
LPE 3	-.279	.700	6.842E-02	.454	4.542E-02	-.142	8.625E-02	-1.424E-02	5.212E-02	6.214E-02	-2.080E-02	.213	0.861
EST 5	.497	.679	7.435E-02	-.244	-.120	-8.294E-03	-5.222E-02	5.868E-03	-4.625E-02	-6.868E-02	-.123	-.146	0.833
LGY	.522	.650	5.479E-02	-.242	1.628E-02	.115	-8.246E-03	-1.143E-02	2.798E-02	.128	-8.476E-02	-5.899E-02	0.797
LFI 3	.193	.635	3.816E-02	.197	.557	.183	-.119	-4.102E-02	-6.731E-02	6.684E-02	5.538E-02	-.118	0.866
RBU	.482	-.602	-.542	.239	9.782E-02	-.115	2.452E-02	-9.278E-03	1.325E-02	-4.057E-02	-6.458E-02	2.443E-02	0.976
EST 4	.482	-.602	-.542	.239	9.782E-02	-.115	2.452E-02	-9.278E-03	1.325E-02	-4.057E-02	-6.458E-02	2.443E-02	0.976
EST 7	.482	-.602	-.542	.239	9.782E-02	-.115	2.452E-02	-9.278E-03	1.325E-02	-4.057E-02	-6.458E-02	2.443E-02	0.976
LPE 5	-.491	.586	-.179	.404	-7.800E-02	-2.029E-02	.166	2.770E-02	-8.548E-02	-8.000E-02	3.445E-02	.154	0.854

ตารางที่ 4.47 (ต่อ)

Variable	Community												
	1	2	3	4	5	6	7	8	9	10	11	12	
LPE 4	-.482	.559	-.178	.391	-4.429E-02	-2.043E-02	.232	3.626E-02	-7.957E-02	-.109	1.268E-02	.132	0.823
LSTY	-4.641E-02	.478	4.222E-02	.287	.444	-8.988E-02	.120	.304	-.108	.-258	.122	1.409E-02	0.719
EST 3	-.400	-.433	.422	.109	.192	.102	-.141	-.169	.128	4.046E-02	9.138E-02	-4.880E-02	0.662
EST 1	.332	-.417	-.414	.194	8.464E-02	7.588E-02	.155	-.140	3.987E-02	8.712E-02	-.111	-3.338E-02	0.573
EST 2	.271	-.359	-.309	.208	-7.691E-02	-6.926E-02	7.925E-02	-.126	.211	.218	.235	-.154	0.544
WCA	.443	4.035E-02	.679	9.901E-02	-.134	3.520E-02	6.505E-02	2.311E-02	7.087E-02	.133	5.377E-02	-2.898E-02	0.720
MDH 3	-.279	.220	.655	4.838E-03	-6.976E-02	.283	.197	5.092E-03	-8.457E-02	-7.753E-03	-7.493E-02	.243	0.751
PER 16	7.125E-02	.369	-.654	-6.584E-02	8.456E-02	-6.438E-02	-.165	1.752E-02	-2.938E-02	-7.648E-02	-.164	-.249	0.708
EST 8	-.565	-.268	.586	2.044E-02	4.538E-02	-8.382E-04	5.200E-02	.237	-6.969E-02	.116	9.167E-03	-1.858E-02	0.814
LBF	2.917E-02	.217	-.584	.178	-8.714E-02	.579	-8.879E-02	.107	7.938E-02	3.251E-02	.195	-1.535E-02	0.828
PER 12	.119	-2.764E-02	-.489	-7.846E-02	-.154	-4.017E-02	6.989E-03	-3.395E-02	-7.234E-02	3.116E-02	.347	.311	0.510
PER 2	.316	.105	.484	3.184E-02	-.113	9.387E-02	-.170	3.738E-02	-6.276E-02	-9.340E-02	2.543E-02	8.847E-03	0.412
PER 8	.316	7.912E-02	.457	-.234	.106	.163	-.138	-2.678E-02	-4.901E-03	-3.853E-02	.155	9.299E-02	0.462
PER 3	.323	-.401	-.406	.191	.108	1.769E-04	.151	4.716E-02	6.076E-02	.124	.161	.227	0.600
WPE 2	.534	.355	3.257E-02	.577	-.128	-.105	-.169	1.888E-02	-6.791E-02	-.153	1.209E-02	-2.322E-02	0.831
WPE 5	.396	.437	.255	.473	-.428	2.031E-02	-.166	2.705E-02	-3.757E-02	-3.534E-02	-6.689E-02	-6.190E-02	0.859

ตารางที่ 4.47 (ต่อ)

Variable	Factor												Community
	1	2	3	4	5	6	7	8	9	10	11	12	
LFI 1	.148	.593	.131	.194	.611	.158	-.153	-3.762E-02	-1.433E-02	3.075E-02	3.114E-02	-.119	0.868
LFI 2	.279	.573	.146	.208	.573	.209	-.130	-3.622E-02	-4.172E-03	.111	-7.537E-02	-7.123E-02	0.885
SKDH 2	-.430	.334	.138	-.133	-3.935E-02	.288	.444	-.115	-4.757E-02	.321	-.183	4.558E-02	0.770
PER 15	.105	.312	-.230	-.176	7.720E-02	.144	-.368	.346	.103	-6.745E-02	3.486E-02	.286	0.573
PER 7	.325	.107	.454	-8.636E-02	1.178E-02	.153	-.196	-.586	.152	-.230	.140	.143	0.853
PER 10	.310	5.662E-02	.431	-.225	-2.437E-02	-8.663E-03	.237	.562	-.150	.296	-1.752E-03	-.157	0.843
PER 4	-.191	-5.958E-02	9.925E-02	.169	-1.831E-03	-4.679E-03	-.143	-.233	-.530	.489	-.109	.171	0.713
PER 5	-.114	6.453E-02	-1.226E-02	4.919E-02	-8.414E-02	-6.940E-02	-.399	.184	.520	.289	-.419	.284	0.834
PER 6	-5.542E-02	.258	-.251	-.129	-3.186E-02	-.218	-.366	.185	-.153	-2.499E-02	.561	3.106E-02	0.707

ตารางที่ 4.48 ค่า factor loading ของลักษณะต่างๆ ของน้ำปั้นจั่ง (หลังการทดสอบ) จากการวิเคราะห์บivariate ที่มีส่วนร่วมวิเคราะห์โดย ดร. ดรุณี และแบบแผนโดย ดร.ไชย์รุ่งเรือง ศาสตราจารย์เก้าไวย

Variable	Factor											
	1	2	3	4	5	6	7	8	9	10	11	12
ACP 1	.960	.236	-7.116E-02	6.681E-02	-3.313E-02	2.671E-02	6.300E-02	1.294E-03	-2.591E-02	9.319E-03	3.884E-03	-1.588E-02
CBU	.960	.237	-8.384E-02	5.946E-02	-3.781E-02	2.610E-02	6.146E-02	1.435E-03	-2.585E-02	7.278E-03	2.975E-03	-1.448E-02
CFI	.960	.237	-8.384E-02	5.946E-02	-3.781E-02	2.610E-02	6.146E-02	1.435E-03	-2.585E-02	7.278E-03	2.975E-03	-1.448E-02
SPE	.960	.237	-8.384E-02	5.946E-02	-3.781E-02	2.610E-02	6.146E-02	1.435E-03	-2.585E-02	7.278E-03	2.975E-03	-1.448E-02
PER 9	-.960	-.237	8.384E-02	-5.946E-02	3.781E-02	-2.610E-02	-6.146E-02	-1.435E-03	2.585E-02	-7.278E-03	-2.975E-03	1.448E-02
CSTI	.960	.237	-8.384E-02	5.946E-02	-3.781E-02	2.610E-02	6.146E-02	1.435E-03	-2.585E-02	7.278E-03	2.975E-03	-1.448E-02
CSTY	.960	.237	-8.384E-02	5.946E-02	-3.781E-02	2.610E-02	6.146E-02	1.435E-03	-2.585E-02	7.278E-03	2.975E-03	-1.448E-02
SSTI	.960	.237	-8.384E-02	5.946E-02	-3.781E-02	2.610E-02	6.146E-02	1.435E-03	-2.585E-02	7.278E-03	2.975E-03	-1.448E-02
CAN	.960	.237	-8.384E-02	5.946E-02	-3.781E-02	2.610E-02	6.146E-02	1.435E-03	-2.585E-02	7.278E-03	2.975E-03	-1.448E-02
SKDH 1	.959	.246	3.181E-03	6.217E-02	-2.448E-02	1.480E-02	4.166E-02	8.541E-03	-3.974E-02	1.668E-02	7.212E-03	-2.053E-02
MDH 2	.957	.240	2.996E-02	8.532E-02	-2.333E-02	2.572E-02	7.607E-02	9.144E-03	-3.542E-02	1.295E-02	1.725E-03	-1.929E-02
MDH 1	.957	.242	1.809E-02	6.956E-02	-1.954E-02	2.342E-02	7.380E-02	2.155E-02	-3.749E-02	7.414E-03	1.815E-03	-1.814E-02
GOT 2	.957	.234	-8.604E-02	7.009E-02	-5.270E-02	3.978E-02	6.079E-02	-9.262E-03	-2.644E-02	-3.357E-03	5.181E-03	-1.871E-02
GOT 1	.957	.231	-2.826E-02	8.899E-02	-3.109E-02	3.486E-02	7.423E-02	-2.319E-02	-1.639E-02	9.190E-03	-3.096E-03	-1.579E-02
ACP 2	-.945	-.285	8.390E-02	-5.770E-02	3.652E-02	-4.213E-02	-5.544E-02	6.501E-03	1.497E-02	-1.004E-02	-1.299E-03	4.896E-03
PER1	-.843	-.214	-.142	.214	.7200E-02	3.787E-02	2.951E-02	5.856E-02	-2.011E-02	2.655E-02	-2.429E-02	3.606E-02

ตารางที่ 4.48 (ต่อ)

Variable	Factor											
	1	2	3	4	5	6	7	8	9	10	11	12
SPO	.770	.609	-.106	.108	2.197E-02	8.714E-02	4.637E-02	-5.354E-05	7.528E-03	1.086E-02	1.880E-02	-9.080E-03
HOV	.770	.609	-.106	.108	2.197E-02	8.714E-02	4.637E-02	-5.354E-05	7.528E-03	1.086E-02	1.880E-02	-9.080E-03
HLE	.770	.609	-.106	.108	2.197E-02	8.714E-02	4.637E-02	-5.354E-05	7.528E-03	1.086E-02	1.880E-02	-9.080E-03
HUE	.770	.609	-.106	.108	2.197E-02	8.714E-02	4.637E-02	-5.354E-05	7.528E-03	1.086E-02	1.880E-02	-9.080E-03
LPC1_5	.767	.538	-7.979E-03	.179	.189	4.581E-02	7.822E-02	4.913E-03	-1.569E-02	3.173E-02	7.113E-03	4.303E-02
LPC1_4	.744	.536	-2.682E-03	.192	.191	5.459E-02	7.250E-02	3.358E-03	2.199E-02	1.625E-02	7.765E-03	4.165E-02
LPE_5	-.725	-2.605E-04	-2.676E-02	.367	.190	5.761E-02	-5.923E-02	.377	-2.167E-02	-3.801E-02	-6.610E-03	-8.034E-02
LPC1_1	.719	.589	-9.479E-02	.163	.160	4.701E-02	8.608E-02	2.689E-03	-1.289E-02	2.138E-03	2.664E-02	4.431E-03
RBR	.717	3.616E-02	-.244	-9.974E-02	-1.495E-02	5.484E-02	-.294	-9.110E-03	-3.763E-02	-5.161E-02	2.301E-02	-4.523E-02
LPC1_2	.713	.562	-.158	.123	.207	7.945E-02	5.087E-02	4.404E-02	-8.597E-03	2.170E-02	1.857E-02	1.518E-02
LPE_4	-.703	-2.971E-02	-4.244E-02	.332	.199	3.979E-02	-5.923E-02	.386	-7.396E-02	-6.053E-02	3.061E-02	-.117
LPC1_3	.694	.599	-.111	.183	.201	7.227E-02	8.524E-02	2.989E-02	1.713E-02	4.748E-02	3.041E-02	-1.132E-02
NSV	-.681	-.389	.312	-1.736E-02	-5.818E-02	-9.820E-02	.166	3.900E-02	-1.922E-02	-7.003E-02	4.283E-02	3.280E-02
TRA	-.654	.372	.377	-.168	.161	-7.449E-02	8.085E-02	.194	-2.809E-02	.104	3.409E-02	.108
DPA	-.641	.408	.368	-.149	.172	-7.949E-02	6.512E-02	.189	-2.665E-02	.103	6.028E-02	9.843E-02
NBU	-.625	-.592	-2.353E-03	-.149	-6.036E-02	-.108	-5.583E-02	-6.254E-02	-4.718E-03	6.299E-03	-8.827E-03	-6.652E-03
LPE_1	-.539	8.518E-02	.107	.443	.388	-8.368E-02	7.182E-02	.414	-5.995E-03	-6.818E-02	1.030E-02	1.481E-02
LPE_3	-.532	8.561E-02	.105	.473	.368	-.103	.115	.397	-3.933E-02	1.355E-03	-5.430E-02	.121
WCA	.525	1.027E-02	.474	.340	2.827E-02	5.285E-02	.290	1.444E-02	-.104	-6.478E-02	-2.805E-02	1.937E-02

ตารางที่ 4.48 (ต่อ)

Variable	Factor												
	1	2	3	4	5	6	7	8	9	10	11	12	
GOT 3	.479	.388	.387	.229	.142	3.526E-02	.125	-.151	-6.868E-02	1.733E-02	.134	-3.132E-02	
LAP	.111	.957	6.151E-02	2.739E-02	.110	4.650E-02	4.233E-02	4.154E-02	3.685E-02	6.643E-02	1.226E-02	3.530E-02	
TAP	.366	.891	-.106	.138	8.572E-02	.137	1.782E-02	-1.759E-03	4.427E-02	1.239E-02	3.257E-02	-6.638E-04	
PAP	.366	.891	-.106	.138	8.572E-02	.137	1.782E-02	-1.759E-03	4.427E-02	1.239E-02	3.257E-02	-6.638E-04	
CPE	.366	.891	-.106	.138	8.572E-02	.137	1.782E-02	-1.759E-03	4.427E-02	1.239E-02	3.257E-02	-6.638E-04	
PFI	-.393	-.876	.105	-9.155E-02	-3.826E-02	-8.234E-02	-8.023E-03	1.586E-03	-4.898E-02	-2.749E-02	2.344E-02	-1.022E-02	
DAP	-.416	-.867	.112	-8.821E-02	-4.939E-02	-8.571E-02	-1.078E-02	3.895E-02	-5.345E-02	-2.405E-02	4.884E-02	8.121E-03	
EST 6	-.193	-.828	-.159	-9.168E-02	-.160	-4.172E-03	9.491E-02	-.100	-3.584E-02	-2.538E-03	-1.715E-02	5.889E-03	
NVR	.334	.802	3.366E-02	.109	4.047E-02	.109	-2.600E-02	-5.294E-02	5.972E-02	-.150	3.661E-02	8.198E-03	
EST 5	2.171E-02	.777	.368	.224	.122	4.369E-02	-1.881E-02	-.146	3.547E-02	-2.334E-02	5.376E-02	-7.081E-03	
WAP	-.251	-.773	.131	-.172	-7.091E-02	-9.553E-02	-1.658E-02	-2.466E-02	-4.926E-02	-3.504E-02	.134	3.254E-02	
LAN 3	.358	.750	.300	9.584E-02	1.669E-02	-.108	.215	8.668E-02	.148	3.422E-02	-2.233E-02	2.444E-02	
LGY	6.723E-02	.750	.359	8.970E-02	.236	8.925E-02	.114	-6.948E-02	-6.288E-02	-2.133E-02	-2.809E-02	8.522E-02	
PER 13	.295	.739	-9.823E-02	8.100E-02	6.897E-02	.114	4.619E-02	-5.177E-02	6.030E-02	6.001E-04	.229	-5.942E-02	
LAN 1	..	.336	.734	.277	..	.175	.168	-.984E-02	.196	8.080E-02	.112	3.885E-03	-2.649E-03
EST 3	7.521E-02	-.733	.128	-.106	8.353E-02	-.8.699E-02	.119	-.135	-3.656E-02	.204	-2.929E-02	3.288E-02	
EST 8	-8.404E-02	-.732	.383	-5.622E-02	-1.945E-02	-.195	2.693E-02	1.185E-02	-4.899E-02	-.275	-5.893E-02	7.260E-03	
LAN 2	.401	.717	.285	.148	6.069E-02	-9.112E-02	.215	6.387E-02	8.063E-02	-7.515E-03	-3.663E-02	3.460E-02	

ตารางที่ 4.48 (ต่อ)

Variable	Factor											
	1	2	3	4	5	6	7	8	9	10	11	12
EST 9	-.132	.711	.612	.201	.170	1.889E-02	8.656E-02	-1.205E-02	2.751E-02	4.158E-03	1.736E-02	-4.033E-03
RAF	-.663	-.710	9.644E-02	-.122	-2.865E-02	-.117	-2.587E-02	-5.506E-03	1.523E-02	-1.265E-02	-1.396E-02	2.005E-02
PER 14	.277	.703	-.110	.118	6.275E-02	-4.326E-03	4.412E-02	-5.707E-02	5.170E-02	2.571E-02	.227	-8.345E-02
LOV	.278	.647	-.111	.268	.250	6.046E-03	8.352E-02	3.682E-02	-9.149E-02	1.823E-02	-4.427E-02	.221
LCA	.580	.636	.120	.234	.218	6.676E-02	.123	.179	-4.160E-02	-6.654E-03	1.208E-02	-2.312E-02
DEA	-.573	-.608	.170	-3.017E-02	-6.647E-02	-4.837E-02	-4.568E-02	.154	-4.152E-02	-2.782E-02	.111	7.221E-02
PER 11	.254	.583	-3.758E-02	6.238E-02	5.844E-02	.262	4.888E-02	.109	-1.427E-02	-1.126E-02	.306	.136
EST 10	-.205	-.536	3.8888E-02	1.770E-02	4.676E-02	-5.768E-02	8.863E-02	6.104E-02	-6.324E-03	2.591E-03	.445	.170
PER 16	-.363	.531	-.385	-3.268E-02	.159	6.920E-02	-.187	-.261	6.868E-02	-2.886E-02	7.043E-02	3.283E-02
RBU	.518	7.050E-02	-.813	-9.384E-02	-.111	.115	-8.213E-02	1.215E-02	1.250E-02	7.585E-03	1.253E-02	3.994E-03
EST 4	.518	7.050E-02	-.813	-9.384E-02	-.111	.115	-8.213E-02	1.215E-02	1.250E-02	7.585E-03	1.253E-02	3.994E-03
EST 7	.518	7.050E-02	-.813	-9.384E-02	-.111	.115	-8.213E-02	1.215E-02	1.250E-02	7.585E-03	1.253E-02	3.994E-03
MDH 3	-9.457E-02	-.282	.687	.126	6.365E-02	6.647E-03	-2.829E-02	.281	-.282	-6.324E-05	-9.493E-02	-3.225E-02
EST 1	.329	5.707E-02	-.594	-.113	-4.883E-02	.213	5.764E-02	-4.420E-03	-.193	4.360E-02	-6.526E-02	-3.298E-02
PER 3	.350	2.513E-02	-.548	-.157	-5.266E-02	.227	.123	.267	7.926E-02	5.069E-02	-5.549E-02	2.363E-03
PER 8	.381	8.959E-02	.504	-4.901E-02	.140	-3.120E-04	2.524E-02	-1.973E-02	.106	.145	5.182E-03	-1.450E-03
EST 2	.257	-1.033E-02	-.497	1.038E-02	-.146	.198	.392	-7.473E-02	9.420E-02	3.821E-02	2.427E-02	-2.875E-02
PER 2	.354	4.801E-02	.425	.300	5.201E-02	-1.945E-02	-5.298E-02	3.651E-02	5.009E-02	-6.288E-03	5.428E-03	

ตารางที่ 4.48 (ต่อ)

Variable	Factor											
	1	2	3	4	5	6	7	8	9	10	11	12
WPE 5	.129	.279	.194	.840	2.366E-02	.112	1.451E-02	-2.206E-02	-1.994E-02	-7.884E-03	-4.614E-02	6.675E-02
WPE 4	.201	.257	.210	.793	-5.983E-03	9.006E-02	3.647E02	-5.615E-02	-5.757E-02	5.031E-02	-1.871E-03	4.493E-03
WPE 1	.241	.356	7.293E-02	.770	.147	2.267E-02	.100	-1.194E-02	-2.714E-02	2.808E-02	-1.954E-02	3.462E-02
WPE 2	.246	.340	-.120	.750	.241	3.848E-02	-4.771E-02	6.662E-02	9.593E-02	4.472E-02	1.568E-02	-9.530E-03
WPE 3	.290	.373	.240	.737	.178	1.681E-02	.122	1.408E-02	4.025E-02	7.496E-02	8.516E-03	-4.890E-02
LPE 2	-.392	.227	.124	.561	.459	-.114	.122	.297	-4.842E-02	-.109	-3.787E-02	6.085E-02
LFI 1	-7.544E-02	.237	.181	.116	.866	1.384E-02	4.559E-02	-4.637E-02	1.598E-02	7.647E-02	-1.853E-02	4.682E-03
LFI 2	3.595E-02	.305	.182	.139	.840	6.663E-02	5.314E-02	-2.883E-02	-8.302E-02	5.068E-02	-8.428E-02	8.567E-02
LFI 3	-9.950E-02	.326	.141	.129	.832	8.720E-02	5.277E-02	-2.714E-02	3.036E-02	5.193E-02	-6.437E-02	-3.624E-02
LSTY	-.181	9.121E-02	4.618E-02	.188	.619	-.131	-.138	.286	.114	-.209	.230	-.174
LBF	-.254	.202	-.227	3.274E-02	.123	.790	-8.509E-02	-5.662E-03	.118	3.983E-02	9.406E-02	1.741E-02
LLE	.373	.447	-.193	.134	1.944E-02	.713	2.208E-02	6.215E-02	-2.038E-02	4.274E-02	-3.398E-02	-5.965E-03
WBF	.315	.360	-.366	9.866E-02	-8.864E-02	.634	4.684E-02	-9.460E-02	-2.642E-02	-3.944E-02	-5.244E-02	-1.151E-02
WLE	.472	.522	-.253	.162	-5.436E-02	.548	8.993E-02	8.635E-03	-6.293E-02	-5.240E-02	-4.357E-02	-4.255E-02
LRE	.221	.488	.126	.267	.245	-4.206E-02	.616	6.150E-02	-4.870E-02	-2.130E-02	.107	-9.929E-03
LBG	.437	.465	5.728E-02	.222	.234	-2.077E-02	.525	4.800E-02	-5.938E-02	-4.701E-02	.110	-2.501E-02

ตารางที่ 4.48 (ต่อ)

Variable	Factor											
	1	2	3	4	5	6	7	8	9	10	11	12
PER 6	.230	.184	7.151E-03	5.054E-03	2.906E-02	1.263E-02	-3.215E-02	-1.126E-02	.781	-1.932E-02	1.907E-02	-7.822E-02
SKDH 2	-.467	-3.579E-02	.359	-7.328E-02	5.247E-03	3.064E-02	-.165	.222	-.473	7.639E-02	.173	-.282
PER 12	-4.557E-02	.243	-.278	-.140	-.234	.232	2.041E-03	.286	.374	.114	-6.968E-02	-5.814E-02
PER 7	.336	9.844E-02	.409	.132	7.957E-02	-5.942E-02	.111	-2.773E-02	-3.961E-02	.720	1.199E-02	-5.076E-02
PER 10	.351	.130	.443	-3.505E-02	1.532E-02	-3.461E-02	.147	.1.949E-02	-1.163E-02	-.693	-2.319E-02	2.553E-02
PER 4	-8.435E-02	-.202	8.738E-03	6.213E-02	3.670E-02	-2.712E-02	-2.071E-02	3.082E-02	3.849E-03	-1.875E-02	-.811	-2.349E-04
PER 5	-.118	-4.431E-02	-1.034E-02	7.408E-02	-3.728E-02	-2.418E-02	-2.230E-03	-2.319E-02	-5.588E-02	-5.920E-03	2.704E-02	.898
PER 15	-8.725E-02	.306	.114	-8.954E-02	.158	.214	-.306	8.743E-02	.343	-2.895E-02	.141	.374

**ตารางที่ 4.49 ค่าสถิติของสมการจัดจำแนกจากการวิเคราะห์ลักษณะสัณฐานวิทยา  
ของใบ ดอก เรณู และลักษณะแบบแผนໄอโซไซม์ของชงโคงคำในประเทศไทย  
เมื่อใช้ข้อมูลจากแกนปัจจัยที่ 1-12 ซึ่งมีค่าໄอเกนมากกว่า 1**

Function	Eigenvalue	% of	Cumulative	Canonical	Wilks'	Chi-square	df	Sig.
		Variance						
1	1714.343	95.2	95.2	1.000	.000	1564.567	57	.000
2	70.058	3.9	99.1	.993	.001	763.975	36	.000
3	16.171	.9	100.0	.970	.058	305.649	17	.000

**ตารางที่ 4.50 ค่าสัมประสิทธิ์ของสมการจัดจำแนกที่เป็นคะแนนมาตรฐานจากการวิเคราะห์  
ลักษณะสัณฐานวิทยาของใบ ดอก เรณู และลักษณะแบบแผนໄอโซไซม์  
ของชงโคงคำในประเทศไทย เมื่อใช้ข้อมูลจากแกนปัจจัยที่ 1-12**

Variable	Function		
	1	2	3
ACP 1	.725	.302	-.518
ACP 2	-.384	-.085	.133
EST 1	.010	.131	-.301
EST 8	-.218	.285	.344
GOT 1	.182	.015	.363
GOT 2	-.039	-.275	-.375
GOT 3	-.193	.131	.316
LAN 2	.230	-.042	.491
LPCL 3	.101	-.562	.094
MDH 2	.467	.172	.673
MDH 3	-.260	.232	.152
NVR	.171	-.217	.361
PER 10	.477	.060	.662
PER 11	.265	-.439	-.037
PER 14	.128	-.356	-.018
PER 7	.300	.135	.797
PFI	-.240	.506	.075
RAF	-.376	.915	-.009
SKDH 1	.160	.176	.472

ตารางที่ 4.51 ค่าสัมประสิทธิ์สหสัมพันธ์ระหว่างลักษณะสังคมฐานวิทยาของใน ดอก  
เรณู และลักษณะแบบแผนไฮโซใช้มีของชงโคงคำในประเทศไทย  
ที่ใช้ในการวิเคราะห์จัดจำแนกกับสมการจัดจำแนก

Variable	Function		
	1	2	3
ACP 1	.659*	.321	-.251
ACP 2	-.386*	-.085	.181
MDH 2	.385*	.211	.269
MDH 1 <sup>a</sup>	.346*	.186	.241
GOT 2	.335*	.159	-.194
SKDH 1	.313*	.165	.116
GOT 1	.199*	.102	.011
WCA <sup>a</sup>	-.165*	-.044	.026
DPA <sup>a</sup>	.156*	-.076	.053
LOV <sup>a</sup>	-.155*	-.153	.010
WBF <sup>a</sup>	.151*	.071	-.059
LRE <sup>a</sup>	-.146*	-.099	.024
LLE <sup>a</sup>	.143*	.015	-.118
TRA <sup>a</sup>	.143*	-.066	.059
PER 1 <sup>a</sup>	.137*	.126	.019
WLE <sup>a</sup>	.134*	-.011	-.094
LBU <sup>a</sup>	-.133*	-.053	.049
EST 6 <sup>a</sup>	.124*	.124	-.056
NSV <sup>a</sup>	-.123*	.033	-.076
LBF <sup>a</sup>	.122*	-.045	-.103
LPE 3 <sup>a</sup>	-.115*	-.044	.093
PER 6 <sup>a</sup>	.101*	.050	-.008
PER 3 <sup>a</sup>	.091*	.014	.032
EST 10 <sup>a</sup>	.017*	.013	.000
PER 15 <sup>a</sup>	-.011*	.009	.000

ตารางที่ 4.51 (ต่อ)

Variable	Function		
	1	2	3
RAF	-.189	.500*	-.058
PFI	-.063	.321*	-.048
DAP <sup>a</sup>	-.051	.252*	.001
PER 13 <sup>a</sup>	.153	-.218	-.060
LAP <sup>a</sup>	.158	-.216*	.040
EST 8	-.017	.171*	.119
PER 4 <sup>a</sup>	-.069	.158*	.009
NVR	.029	-.151*	.090
NBU <sup>a</sup>	.122	-.150*	-.138
LPCL 3	.068	-.144*	.034
PER 12 <sup>a</sup>	.068	.121*	-.015
EST 5 <sup>a</sup>	-.101	-.112*	.063
PER 14	.019	-.110*	.019
WPE 5 <sup>a</sup>	-.014	-.100*	-.076
LPCL 1 <sup>a</sup>	-.050	-.096*	.014
LPE 5 <sup>a</sup>	-.057	-.084*	.056
PER 11	.015	-.083*	.015
PER 2 <sup>a</sup>	-.049	.077*	.039
PER 5 <sup>a</sup>	.052	.070*	-.014
WPE 1 <sup>a</sup>	.061	.063*	-.008
EST 3 <sup>a</sup>	.040	.050*	.032
LPCL 5 <sup>a</sup>	.037	-.044*	-.024
LPCL 2 <sup>a</sup>	-.012	-.023*	.016
LAN 1 <sup>a</sup>	-.039	-.146	.257*
LAN 2	.031	-.108	.227*
MDH 3	-.007	.056	.215*
LGY <sup>a</sup>	.027	-.192	.202*
EST 1	.012	-.005	-.193*

ตารางที่ 4.51 (ต่อ)

Variable	Function		
	1	2	3
LFI 1 <sup>a</sup>	-.003	.048	.189*
GOT 3	.022	-.030	.185*
EST 2 <sup>a</sup>	.130	-.011	-.180*
LSTY <sup>a</sup>	-.105	.002	.178*
LAN 3 <sup>a</sup>	.015	-.153	.174*
LPE 4 <sup>a</sup>	-.117	.017	.169*
LFI 2 <sup>a</sup>	.005	-.018	.157*
LPE 2 <sup>a</sup>	-.031	-.057	.142*
SKDH 2 <sup>a</sup>	.116	-.055	.139*
PER 7	.010	.013	.137*
PER 10	.010	.013	.137*
RBR <sup>a</sup>	.074	.107	.129*
LCA <sup>a</sup>	.037	-.116	.125*
LPCL 4 <sup>a</sup>	-.057	-.037	-.117*
LPE 1 <sup>a</sup>	-.077	.045	.115*
WPE 4 <sup>a</sup>	-.013	-.017	.112*
PER 8 <sup>a</sup>	-.056	.057	.102*
PER 16 <sup>a</sup>	-.073	.041	-.102*
LFI 3 <sup>a</sup>	-.051	.074	.101*
DEA <sup>a</sup>	.001	-.049	.068*
WAP <sup>a</sup>	-.026	.057	.059*
WPE 2 <sup>a</sup>	.046	.027	.059*
WPE 3 <sup>a</sup>	-.031	-.020	-.048*

\* แสดงว่า ลักษณะนั้นมีความสำคัญต่อสมการนั้นมาก  
 a แสดงว่า ลักษณะนั้นไม่นำไปใช้ในการวิเคราะห์จัดจำแนก

ตารางที่ 4.52 เบอร์เช็นด์การทำนายกลุ่มประชากรจากสมการที่ได้จากการวิเคราะห์  
จัดจำแนกลักษณะสัณฐานวิทยาของใบ ดอก เรณู และลักษณะแบบแผน  
ไอโซไซม์ของชงโคงคำในประเทศไทย เมื่อใช้ข้อมูลจากแกนปัจจัยที่ 1-12

ประชากร	จำนวน	การทำนายกลุ่มประชากร			
		1	4	6	8
1	30	30	0	0	0
		(100%)	(0%)	(0%)	(0%)
4	30	0	30	0	0
		(0%)	(100%)	(0%)	(0%)
6	30	0	0	30	0
		(0%)	(0%)	(100%)	(0%)
8	30	0	0	0	30
		(0%)	(0%)	(0%)	(100%)

ความถูกต้องของการทำนายกลุ่มจากสมการโดยรวม = 100 เบอร์เช็นด์

**ตารางที่ 4.53 ค่าไอเกนของแกนปัจจัยและค่าความแปรผันจากการวิเคราะห์ปัจจัย  
ลักษณะสัมฐานวิทยาของใบ ดอก เรณู และฝักของชงโคคำ ชงโค<sup>๑</sup> และกาหลง**

Factor	Eigenvalue	% of Variance	Cumulative %
1	29.073	39.288	39.288
2	20.252	27.367	66.655
3	9.500	12.838	79.493
4	4.952	6.691	86.185
5	1.998	2.700	88.885
6	1.364	1.843	90.728
7	1.145	1.548	92.276

**ตารางที่ 4.54 ค่า factor loading ของลักษณะต่างๆของใบ ดอก เรณู และฝัก<sup>๒</sup>  
ในแกนปัจจัย (ก่อนการหมุนแกน) และค่า communality จากการ  
วิเคราะห์ปัจจัยลักษณะสัมฐานวิทยาของใบ ดอก เรณู และฝักของ  
ชงโคคำ ชงโค และกาหลง**

Variable	Factor							Communality
	1	2	3	4	5	6	7	
HAB	.994	-3.300E-02	3.354E-02	4.402E-02	-8.031E-03	1.626E-03	-4.834E-02	0.994
SSEE	.994	-3.300E-02	3.354E-02	4.402E-02	-8.031E-03	1.626E-03	-4.834E-02	0.994
ESC	.994	-3.300E-02	3.354E-02	4.402E-02	-8.031E-03	1.626E-03	-4.834E-02	0.994
RBR	.967	-1.079E-02	-9.683E-03	6.596E-02	3.943E-02	-1.974E-02	-4.707E-02	0.943
WSEE	.949	9.413E-02	.201	-.131	1.114E-02	2.823E-02	3.084E-02	0.969
CAN	.940	.282	-3.325E-02	-.150	8.988E-02	-1.114E-02	-8.538E-04	0.995
SSTI	.940	.282	-3.325E-02	-.150	8.988E-02	-1.114E-02	-8.538E-04	0.995
SPE	.940	.282	-3.325E-02	-.150	8.988E-02	-1.114E-02	-8.538E-04	0.995
SPOD	.940	.282	-3.325E-02	-.150	8.988E-02	-1.114E-02	-8.538E-04	0.995
CSTY	.940	.282	-3.325E-02	-.150	8.988E-02	-1.114E-02	-8.538E-04	0.995
CFI	.940	.282	-3.325E-02	-.150	8.988E-02	-1.114E-02	-8.538E-04	0.995
CPE	.927	.320	7.379E-03	.103	-8.723E-02	1.616E-02	-.109	0.991
LSEE	-.918	.121	.226	-.132	3.361E-02	-1.591E-03	5.024E-02	0.929
TPO	-.916	-6.296E-02	-.369	8.590E-03	-5.864E-03	-1.443E-02	4.790E-02	0.990

ตารางที่ 4.54 (ต่อ)

Variable	Factor							Communality
	1	2	3	4	5	6	7	
WPE 4	.913	8.815E-02	.185	.228	.142	1.307E-02	4.342E-02	0.951
TRA	-.911	-.100	-.315	.202	-4.523E-02	3.580E-02	1.069E-02	0.984
WPE 5	.911	9.076E-02	.191	.246	.134	-4.868E-03	5.987E-02	0.957
WPOD	-.899	-.248	.115	7.569E-02	-.117	-1.918E-02	-4.124E-04	0.903
NANT	.878	-.147	-.398	.199	-2.388E-02	-1.492E-02	-3.848E-02	0.992
TBU	.878	-.147	-.398	.199	-2.388E-02	-1.492E-02	-3.848E-02	0.992
TLE	.878	-.147	-.398	.199	-2.388E-02	-1.492E-02	-3.848E-02	0.992
DEA	.868	-.333	.285	-1.083E-02	3.758E-02	1.882E-02	4.703E-03	0.947
SPO	.866	.486	-4.194E-02	-7.460E-02	1.535E-02	1.630E-03	-5.147E-02	0.996
HLE	.866	.486	-4.194E-02	-7.460E-02	1.535E-02	1.630E-03	-5.147E-02	0.996
HUE	.866	.486	-4.194E-02	-7.460E-02	1.535E-02	1.630E-03	-5.147E-02	0.996
HOV	.866	.486	-4.194E-02	-7.460E-02	1.535E-02	1.630E-03	-5.147E-02	0.996
LRE	-.861	.303	-.103	.222	5.071E-02	3.974E-02	4.385E-02	0.899
CSTI	.828	.436	.138	-.286	.128	-7.754E-03	1.645E-02	0.993
WPE 3	.806	.208	.108	.414	.225	-7.737E-03	9.937E-02	0.936
WPE 1	.804	.200	.101	.425	.177	-2.492E-02	.118	0.924
DPA	.781	-.198	-.206	.434	-.106	9.158E-02	-.126	0.915
LAN 1	-.766	.496	-.168	.190	5.547E-02	.131	2.235E-03	0.917
LAN 2	-.757	.502	-.165	.172	6.183E-02	.148	2.630E-03	0.907
LAN 3	-.753	.502	-.165	.173	6.014E-02	.161	1.204E-03	0.906
LSTY	-.721	4.714E-03	-.105	.458	-6.058E-02	-.134	-3.202E-02	0.764
WBF	.701	.388	.157	-7.603E-02	-.321	1.799E-02	.231	0.829
NSEE	.699	2.226E-02	.553	5.305E-02	-9.659E-02	3.209E-02	-.126	0.824
LFI 1	-.688	.251	.507	.120	2.587E-02	-.123	-3.338E-02	0.825
LLE	.663	.407	2.964E-02	5.108E-03	-.402	8.855E-02	.390	0.928
LFI 3	-.659	.339	.519	.115	-1.181E-02	-.106	-2.064E-02	0.844
LFI 2	-.645	.346	.516	.114	2.203E-02	-.108	-1.454E-02	0.827
NVR	-.602	.569	-.375	.212	-.136	4.043E-02	7.172E-02	0.898
NSV	-.599	-.472	.226	.187	-1.156E-02	.216	.250	0.777
WAP	-.534	-.511	.409	-.302	.189	-4.101E-02	.194	0.879
TAP	-.451	.809	.275	-2.305E-02	-.143	4.148E-02	-.109	0.968

ตารางที่ 4.54 (ต่อ)

Variable	Factor							Communality
	1	2	3	4	5	6	7	
PAP	-.451	.809	.275	-2.305E-02	-.143	4.148E-02	-.109	0.968
NBU	-.355	-.799	.215	2.519E-02	-3.230E-02	-5.893E-02	-1.954E-02	0.816
DAP	-.516	-.778	.120	-.121	.166	-3.906E-02	.183	0.963
PFI	-.586	-.738	5.726E-02	-.104	.158	-4.390E-02	.186	0.963
LPCL 2	-.596	.735	-.153	-.112	2.270E-02	-.148	-2.487E-03	0.955
LPCL 3	-.623	.719	-.214	-5.651E-02	3.024E-02	-9.479E-02	3.608E-03	0.965
LPCL 1	-.622	.718	-.223	-7.041E-02	3.986E-02	-7.953E-02	1.333E-02	0.965
LCA	-.569	.713	-.147	.183	.127	4.525E-02	5.074E-02	0.908
LOV	-.328	.697	3.049E-02	.238	-.103	-2.809E-02	-6.927E-02	0.668
CBU	.518	.692	-.130	-.410	.216	-2.786E-02	7.639E-02	0.985
LPCL 5	-.607	.686	-.343	-4.945E-02	7.330E-02	-7.498E-02	4.165E-02	0.972
LPCL 4	-.604	.681	-.342	-4.355E-02	7.497E-02	-7.964E-02	5.809E-02	0.963
RPOD	-.399	.629	-.499	-.324	.211	-4.229E-02	.124	0.969
LAP	-.376	.618	.614	-6.782E-02	-.112	9.804E-02	-.123	0.942
LBU	-.464	.604	-2.975E-02	.238	.182	6.311E-02	8.446E-02	0.683
WLE	.567	.591	5.214E-02	-7.113E-02	-.342	8.967E-02	.333	0.915
LGY	-.558	.563	.363	.249	-2.206E-02	.108	-6.420E-02	0.839
LPE 5	.143	3.092E-02	.934	.198	-3.188E-03	-6.303E-02	-4.630E-02	0.938
LPE 4	.166	2.775E-02	.929	.184	4.129E-03	-5.660E-02	-6.868E-02	0.933
LPE 1	.178	.125	.915	.212	7.496E-02	-3.118E-02	-2.652E-02	0.937
LPE 3	.192	.123	.915	.210	.113	-4.789E-02	-1.471E-02	0.949
LPE 2	.136	.220	.856	.340	.128	-6.672E-02	-9.265E-03	0.936
RAF	-.320	-.306	.847	-.244	5.283E-02	2.935E-02	4.681E-02	0.980
LEN	-.363	.239	.813	-.319	5.562E-02	2.276E-02	-6.226E-03	0.955
WPE 2	.303	.249	-.304	.660	.148	-.276	.133	0.798
RBU	3.221E-02	.463	.421	-.604	-.124	-.294	-8.641E-02	0.867
LBF	.466	.157	.370	.104	-.581	1.847E-02	.352	0.851
WCA	.372	.361	.293	7.700E-03	.518	.267	.388	0.845
LPOD	-5.541E-02	5.618E-02	.155	-.138	3.168E-02	.718	-.235	0.621

ตารางที่ 4.55 ค่า factor loading ของลักษณะต่างๆ ของใบ ดอก เรณู และฝัก  
ในแกนปัจจัย (หลังการหมุนแกน) จากการวิเคราะห์ปัจจัยลักษณะ  
สัณฐานวิทยาของใบ ดอก เรณู และฝัก ของชงโคงคำ ชงโคง และกาหลง

Variable	Factor						
	1	2	3	4	5	6	7
SPO	.990	-6.338E-02	1.666E-02	5.847E-02	8.834E-02	-6.719E-03	4.113E-03
HLE	.990	-6.338E-02	1.666E-02	5.847E-02	8.834E-02	-6.719E-03	4.113E-03
HUE	.990	-6.338E-02	1.666E-02	5.847E-02	8.834E-02	-6.719E-03	4.113E-03
HOV	.990	-6.338E-02	1.666E-02	5.847E-02	8.834E-02	-6.719E-03	4.113E-03
CAN	.953	-.278	-1.696E-02	2.169E-02	4.226E-02	8.343E-02	-2.188E-02
SSTI	.953	-.278	-1.696E-02	2.169E-02	4.226E-02	8.343E-02	-2.188E-02
SPE	.953	-.278	-1.696E-02	2.169E-02	4.226E-02	8.343E-02	-2.188E-02
SPOD	.953	-.278	-1.696E-02	2.169E-02	4.226E-02	8.343E-02	-2.188E-02
CSTY	.953	-.278	-1.696E-02	2.169E-02	4.226E-02	8.343E-02	-2.188E-02
CFI	.953	-.278	-1.696E-02	2.169E-02	4.226E-02	8.343E-02	-2.188E-02
CSTI	.952	-.130	.128	-.175	3.672E-02	.146	2.133E-03
CPE	.921	-.223	8.636E-02	.224	.138	-.125	2.627E-02
WPOD	-.897	.263	8.012E-02	-.113	-1.669E-02	-9.471E-02	6.411E-03
PFI	-.871	-.311	-7.220E-02	-.145	-.153	.228	-8.282E-02
CBU	.869	.271	-.127	-.288	-3.442E-02	.231	-4.127E-02
DAP	-.835	-.391	-2.083E-02	-.160	-.153	.239	-7.300E-02
TRA	-.815	.469	-.275	.114	-7.353E-02	-6.931E-02	9.637E-03
NSV	-.814	-7.716E-02	.159	7.841E-02	.117	.210	.140
HAB	.794	-.557	5.475E-02	.208	8.030E-02	-2.627E-02	-5.104E-03
SSEE	.794	-.557	5.475E-02	.208	8.030E-02	-2.627E-02	-5.104E-03
ESC	.794	-.557	5.475E-02	.208	8.030E-02	-2.627E-02	-5.104E-03
RBR	.788	-.513	2.722E-02	.235	3.851E-02	-6.178E-03	-3.200E-02
TPO	-.780	.497	-.349	1.526E-02	-9.803E-02	-2.063E-02	-4.497E-02
WPE 4	.763	-.406	.263	.339	5.440E-02	.126	-2.936E-02
WPE 5	.757	-.402	.273	.351	6.927E-02	.127	-5.197E-02
NBU	-.736	-.498	.111	-4.628E-02	-9.594E-02	-4.526E-02	-3.061E-02
WBF	.734	-9.630E-02	.140	-4.119E-02	.508	-6.043E-04	-3.482E-02
WSEE	-.726	.541	.152	-.341	-6.057E-02	4.830E-02	6.318E-02
WLE	.725	.158	4.994E-02	-3.948E-02	.596	6.827E-02	-1.934E-03

ตารางที่ 4.55 (ต่อ)

Variable	Factor						
	1	2	3	4	5	6	7
WPE 3	.720	-.213	.256	.512	2.788E-02	.188	-8.780E-02
WPE 1	.708	-.219	.249	.518	7.209E-02	.165	-.109
WAP	-.699	-.222	.239	-.421	-.121	.300	-4.019E-02
LSEE	-.687	.544	.182	-.345	-6.235E-02	7.148E-02	2.969E-02
LLE	.687	-3.593E-02	1.801E-02	6.275E-02	.668	6.317E-02	-2.895E-02
LSTY	-.643	.455	2.246E-02	.304	-4.892E-02	-.163	-.146
NANT	.641	-.512	-.329	.445	4.056E-02	-7.993E-02	-6.734E-02
TLE	.641	-.512	-.329	.445	4.056E-02	-7.993E-02	-6.734E-02
TBU	.641	-.512	-.329	.445	4.056E-02	-7.993E-02	-6.734E-02
NSEE	.549	-.428	.549	2.257E-02	.131	-.104	9.635E-02
LPCL 3	-.102	.949	-.127	-.169	-4.659E-02	-1.776E-02	-8.732E-02
LPCL 1	-9.945E-02	.947	-.140	-.176	-4.727E-02	6.691E-05	-7.578E-02
LCA	-9.541E-02	.940	-7.317E-03	7.683E-02	-4.201E-02	9.051E-02	1.112E-02
LPCL 5	-.100	.933	-.252	-.117	-6.666E-02	3.301E-02	-9.281E-02
LPCL 2	-6.618E-02	.932	-7.680E-02	-.240	-4.646E-02	-2.945E-02	-.127
LPCL 4	-.102	.928	-.251	-.110	-5.852E-02	4.425E-02	-.103
LAN 1	-.376	.867	-6.265E-02	7.146E-02	-4.805E-02	2.580E-02	.111
LAN 2	-.363	.865	-6.485E-02	5.703E-02	-4.936E-02	3.643E-02	.127
LAN 3	-.360	.863	-6.556E-02	6.062E-02	-4.623E-02	3.756E-02	.141
NVR	-.200	.863	-.243	.134	4.403E-02	-.184	3.405E-02
TAP	4.858E-02	.861	.344	-.241	.114	-.144	.114
PAP	4.858E-02	.861	.344	-.241	.114	-.144	.114
LBU	-8.189E-02	.787	.106	.134	-4.760E-02	.158	1.734E-02
DEA	.520	-.776	.237	.101	5.616E-02	6.465E-02	1.823E-02
LOV	7.033E-02	.770	.174	9.092E-02	9.051E-02	-.150	-8.705E-03
RPOD	8.910E-02	.769	-.476	-.273	-.132	.211	-8.624E-02
LRE	-.568	.753	-1.432E-02	7.185E-02	-5.616E-02	2.927E-02	1.509E-02
LGY	-.209	.742	.468	1.156E-02	4.867E-02	-4.589E-02	.144
LFI 2	-.385	.572	.564	-.172	-1.575E-02	-1.223E-02	-5.359E-02
LFI 3	-.403	.572	.565	-.177	4.879E-03	-3.757E-02	-4.776E-02

ตารางที่ 4.55 (ต่อ)

Variable	Factor						
	1	2	3	4	5	6	7
LPE 3	.152	-9.668E-02	.953	-2.451E-03	3.018E-02	8.802E-02	4.537E-03
LPE 1	.139	-8.918E-02	.950	-5.382E-03	5.329E-02	5.930E-02	2.551E-02
LPE 5	5.649E-02	-.156	.950	-3.546E-02	8.263E-02	-1.019E-02	7.331E-03
LPE 2	.146	3.708E-02	.945	.116	2.586E-02	7.854E-02	-2.916E-02
LPE4	7.871E-02	-.171	.944	-4.180E-02	6.531E-02	-1.866E-02	2.020E-02
LEN	-.172	.242	.713	-.574	3.191E-03	.118	.119
RAF	-.446	-.225	.693	-.465	-7.200E-03	.150	.102
LAP	-4.663E-03	.613	.629	-.332	.108	-9.382E-02	.198
LFI	-.469	.519	.549	-.167	-4.733E-02	-2.915E-02	-6.289E-02
RBU	.334	.226	.317	-.749	4.851E-02	-.119	-.163
WPE 2	.317	.169	-5.691E-02	.716	-7.291E-03	3.613E-02	-.390
DPA	.491	-.502	-9.978E-02	.605	8.518E-02	-.185	6.025E-02
LBF	.347	-.180	.328	2.473E-02	.761	-8.638E-02	-5.605E-02
WCA	.479	8.429E-02	.315	7.019E-02	-1.025E-02	.698	.131
LPOD	5.127E-03	4.452E-02	8.280E-02	-9.933E-02	-4.301E-02	4.943E-02	773.

ตารางที่ 4.56 ค่าสถิติของสมการจัดจำแนกจากการวิเคราะห์ลักษณะสัมฐานวิทยาของ  
ใบ ดอก เรตโน และฝักของชงโคน้ำ ชงโคน และกาหลง เมื่อใช้ข้อมูลจาก  
แกนปัจจัยที่ 1-7 ซึ่งมีค่าໄโอเกนมากกว่า 1

Function	Eigenvalue	% of	Cumulative	Canonical	Wilks'	Chi-square	df	Sig.
		Variance						
1	1691.960	63.7	63.7	1.000	.000	6270.082	105	.000
2	862.178	32.5	96.2	.999	.000	4147.608	80	.000
3	91.337	3.4	99.6	.995	.000	2217.451	57	.000
4	7.841	.3	99.9	.942	.039	925.436	36	.000
5	1.892	.1	100.0	.809	.346	303.206	17	.000

**ตารางที่ 4.57 ค่าสัมประสิทธิ์ของสมการจัดจำแนกที่เป็นคะแนนมาตรฐาน จากการวิเคราะห์ลักษณะสัณฐานวิทยาของใบ ตอก เรณูและผัก ของชงโคงโค และกาหลง เมื่อใช้ข้อมูลจากແກນปื้นจัยที่ 1-7**

Variable	Function				
	1	2	3	4	5
DAP	.128	2.300	.385	-.380	.338
DPA	3.317	-.968	-.547	.315	.310
LAN 3	.044	-.124	.194	-.064	.295
LAP	.355	3.431	1.273	.027	.095
LBF	.051	.139	-.298	.475	-.383
LCA	-.190	.115	.198	-.109	.163
LFI 1	.001	-.068	-.288	.191	.132
LGY	.080	.007	-.038	.385	.380
LLE	.171	-.187	.481	-.337	.283
LPCL 2	-.018	-.033	.431	-.339	-.582
LPCL 5	-.005	-.079	.144	-.233	.408
LPE 4	.040	.098	-.145	.268	-.589
NSV	-.082	.039	-.229	.147	.001
NVR	-.075	-.105	.189	.255	.018
RAF	-.038	.526	-.632	.082	.033
RBR	.264	-.018	-.010	-.216	.041
TRA	-3.606	-1.809	-.483	.313	-.157
WAP	-.051	.088	-.054	-.324	.038
WCA	.205	.044	-.030	-.159	.479
WPE 1	-.196	-.167	.134	.209	.206
WSEE	-.225	.293	-.080	-.104	.013

ตารางที่ 4.58 ค่าสัมประสิทธิ์สหสมพันธ์ระหว่างลักษณะสัมฐานวิทยาของใบ ดอก เรณู และผักของชงโคล่า ชงโคล และกากหลังที่ใช้ในการวิเคราะห์จัดจำแนก กับสมการจัดจำแนก

Variable	Function				
	1	2	3	4	5
WSEE	-.128*	.089	.046	.003	.033
RBR	.091*	-.032	-.008	-.040	.010
LSTY <sup>a</sup>	-.080*	.040	-.019	.065	.076
WPOD <sup>a</sup>	.065*	-.063	-.015	.052	-.064
WLE <sup>a</sup>	.061*	.038	.051	.019	.024
NSEE	.041	.056*	-.053	-.029	-.014
RAF	-.042	.370	-.540*	.071	.053
DAP	-.064	.028	-.426*	-.366	.181
LPCL 5	-.068	-.013	.326*	-.204	.188
LPCL 1 <sup>a</sup>	-.065	.001	.285*	-.190	.038
LPCL 2	-.052	.012	.284*	-.156	-.151
LPCL 4 <sup>a</sup>	-.030	-.037	.264*	-.220	.132
LPCL 3 <sup>a</sup>	-.030	.009	.211*	-.156	.009
DEA <sup>a</sup>	.084	.047	-.186*	-.098	.091
LPOD <sup>a</sup>	-.094	.072	-.129*	.088	-.076
LEN <sup>a</sup>	-.031	.055	-.073*	.056	-.020
LLE	.024	-.004	.060*	.020	-.011
NBU <sup>a</sup>	.000	.033	-.046*	-.033	-.105
LAP	-.030	.158	.347	.610*	.082
TRA	-.204	-.053	-.045	.458*	.240
DPA	.065	-.065	-.068	.455*	.243
PFI <sup>a</sup>	-.043	-.026	-.374	-.386*	.137
LGY	-.024	.033	.115	.310*	.276
LPE 4	.018	.054	-.028	.259*	-.125

ตารางที่ 4.58 (ต่อ)

Variable	Function				
	1	2	3	4	5
LPE 5 <sup>a</sup>	-.017	.047	-.012	.248*	-.107
NVR	-.049	-.022	.206	.240*	.049
LPE 3 <sup>a</sup>	-.009	.001	.028	.234*	.077
WAP	-.029	.046	-.153	-.224*	.123
LPE 1 <sup>a</sup>	-.010	.034	-.016	.218*	.044
LPE 2 <sup>a</sup>	.008	.025	.016	.205*	.054
WPE 4 <sup>a</sup>	.094	.015	.007	.166*	.109
LFI 2 <sup>a</sup>	-.008	.038	.081	.149*	.045
WPE 5 <sup>a</sup>	.055	.035	.070	.137*	.110
LFI 1	-.024	.036	.026	.134*	.038
LFI 3 <sup>a</sup>	.001	.037	.028	.097*	.011
WBF <sup>a</sup>	.027	.044	.023	.083*	-.025
WCA	.016	.014	.040	-.075	.539*
LAN 3	-.053	.003	.156	.176	.418*
LAN 2 <sup>a</sup>	-.015	-.013	.124	.126	.336*
LAN 1 <sup>a</sup>	-.050	-.021	.128	.176	.321*
LCA	-.035	.001	.185	.073	.283*
WPE 1	.036	-.012	.027	.126	.226*
WPE 3 <sup>a</sup>	.042	.014	.081	.117	.216*
NSV	-.025	.014	-.097	.144	.208*
LBF	.017	.009	.012	.131	-.173*
LBU <sup>a</sup>	-.052	-.032	.046	.005	.169*
LRE <sup>a</sup>	-.050	.006	.056	.003	.152*
LOV <sup>a</sup>	-.013	-.026	.076	.087	.117*
WPE 2 <sup>a</sup>	.051	-.029	.090	.046	.105*
LSEE <sup>a</sup>	.009	-.050	.026	-.039	.101*

\* แสดงว่า ลักษณะนี้มีความสำคัญต่อสมการนั้นมาก

a แสดงว่า ลักษณะนี้ไม่นำไปใช้ในการวิเคราะห์จัดจำแนก

**ตารางที่ 4.59 เปอร์เซ็นต์การทำนายกลุ่มประชากรจากสมการที่ได้จากการวิเคราะห์  
จัดจำแนกลักษณะสัณฐานวิทยาใบ ดอก เรณูและฝัก ของชงโคงคำ ชงโคง  
และการหลง เมื่อใช้ข้อมูลจากแกนปัจจัยที่ 1-7**

ประชากร	จำนวน	การทำนายกลุ่มประชากร					
		1	4	6	8	10	11
1	50	50	0	0	0	0	0
		(100%)	(0%)	( 0%)	( 0%)	( 0%)	( 0%)
4	50	0	50	0	0	0	0
		(0%)	(100%)	( 0%)	( 0%)	( 0%)	( 0%)
6	50	0	0	49	1	0	0
		(0%)	(0%)	(98%)	( 2%)	( 0%)	( 0%)
8	50	0	0	1	49	0	0
		( 0%)	( 0%)	( 2%)	( 98%)	(0%)	( 0%)
10	50	0	0	0	0	50	0
		( 0%)	( 0%)	( 0%)	( 0%)	(100%)	( 0%)
11	50	0	0	0	0	0	50
		( 0%)	( 0%)	( 0%)	( 0%)	( 0%)	( 100%)

ความถูกต้องของการทำนายกลุ่มจากสมการโดยรวม = 99.3 เปอร์เซ็นต์

## ภาคผนวก ข.

### การเตรียมสารเคมีสำหรับการศึกษาไอลเซิร์ฟของชงโอดำ

#### 1. การเตรียมสารละลายสำหรับทำ polyacrylamide gel

##### 1.1 30% acrylamide mix

ละลาย acrylamide 29 กรัม กับ N, N' Methylene bis-acrylamide ในน้ำกลั่น 60 มิลลิลิตร อุ่นที่ 37°C จนละลายหมดแล้ว ปรับปริมาตรเป็น 100 มิลลิลิตร นำมากรองด้วย nalgene filter เก็บไว้ในขวดสีชาที่อุณหภูมิห้อง

##### 1.2 1.0 M Tris-HCl pH 6.8

ซึ่ง Tris 121.14 กรัม ละลายในน้ำกลั่น 500 มิลลิลิตร ปรับ pH เป็น 6.8 ด้วย HCl และเติมน้ำกลั่นจนมีปริมาตร 1000 มิลลิลิตร

##### 1.3 1.5 M Tris-HCl pH 8.8

ซึ่ง Tris 181.71 กรัม ละลายในน้ำกลั่น 500 มิลลิลิตร ปรับ pH เป็น 8.8 ด้วย HCl และเติมน้ำกลั่นจนมีปริมาตร 1000 มิลลิลิตร

##### 1.4 10% ammoniumpersulfate

ซึ่ง ammoniumpersulfate 1 กรัม ละลายน้ำจันมีปริมาณ 10 มิลลิลิตร เก็บไว้ในถ้วยเย็นที่ 4°C

#### 2. การเตรียมสารละลาย Tris - glycine electrophoresis buffer pH 8.3 สำหรับการ跑 gel

ซึ่ง Tris 6 กรัม glycine 28.8 กรัม ละลายในน้ำกลั่น 500 มิลลิลิตร จนละลายหมด ปรับ pH เป็น 8.3 เติมน้ำจันครบ 100 มิลลิลิตร เก็บเป็น stock ไว้ เมื่อจะใช้ก็นำมาผสมกับน้ำกลั่นในอัตราส่วน 1:9

#### 3. การเตรียมสารละลาย extraction buffer สำหรับสกัดไอลเซิร์ฟ

##### 3.1 0.2 M Tris-HCl pH 7.5

ซึ่ง Tris 3.016 กรัม ละลายในน้ำกลั่น 30 มิลลิลิตร คนจนละลายหมด เติมกลีเซอรอล 47.10 มิลลิลิตร คนให้เข้ากัน และปรับ pH เป็น 7.5 โดยใช้ HCl จากนั้นเติมน้ำกลั่นจนครบ 100 มิลลิลิตร

##### 3.2 0.1 M Tris-HCl pH 8.2

ซึ่ง Tris 12.11 กรัม ละลายในน้ำกลั่น 500 มิลลิลิตร คนจนละลายหมด ปรับ pH เป็น 8.2 โดยใช้ HCl และเติมน้ำกลั่นถึง 1000 มิลลิลิตร

**3.3 100 mM DTT**

ชั้ง DTT 771 มิลลิกรัม ละลายในน้ำ 50 มิลลิลิตร คุณจะละลาย  
หมด เก็บไว้ในตู้เย็นอุณหภูมิ 0°C

**3.4 45 mM EDTA**

ชั้ง EDTA 838 มิลลิกรัม ละลายในน้ำ 50 มิลลิลิตร คุณจะ  
ละลายหมด เก็บไว้ในตู้เย็น

**3.5 2% mercaptoethanol**

ใช้ปีเปตดูด mercaptoethanol 0.2 มิลลิลิตร ละลายในน้ำกลั่น 5  
มิลลิลิตร คุณให้เข้ากัน แล้วปรับปริมาตรเป็น 10 มิลลิลิตร

**3.6 3% Tween 80**

ใช้ปีเปตดูด Tween 80 มา 2.92 มิลลิลิตร ละลายในน้ำกลั่น 20  
มิลลิลิตร คุณให้เข้ากันแล้วปรับปริมาตรเป็น 100 มิลลิลิตร

**3.7 0.5% Triton X-100**

ใช้ปีเปตดูด Triton X-100 มา 0.5 มิลลิลิตร ละลายในน้ำกลั่น 50  
มิลลิลิตร คุณให้เข้ากัน แล้วปรับปริมาตรเป็น 100 มิลลิลิตร

**3.8 10% sucrose**

ชั้ง sucrose 5 กรัม ละลายในน้ำกลั่น 20 มิลลิลิตร คุณจะละลาย  
หมด แล้วปรับปริมาตรเป็น 50 มิลลิลิตร

**4. การเตรียมสารละลาย BPB-Tris-glycine เพื่อใช้เป็น dye marker**

ชั้ง Tris 60 มิลลิกรัม ละลายในน้ำ 5 มิลลิลิตร คุณจะละลายหมดเดิม glycine  
288 มิลลิกรัม คุณจะละลายเป็นเนื้อเดียว ปรับ pH เป็น 8.3 แล้วเติมน้ำกลั่นจนถึง 10  
มิลลิลิตร จากนั้นเดิม BPB 100 มิลลิกรัมลงไป คุณให้ละลายหมด แล้วเติมน้ำกลั่นจนถึง  
100 มิลลิลิตร

**5. การเตรียมสารละลายสีย้อมโปรตีน (staining solution)**

ละลาย Coomassie brilliant blue R-250 0.25% ในเมทานอล 45% และ  
กรดอะซิติก 7%

6. สารเคมีที่ใช้ในการย้อมสีจำเพาะไฮโซไซม์ที่ศึกษาในชงโคล์ด้า

6.1 Acid phosphatase (ACP) E.C. 3.1.3.2 แนว Tanksley และ Orton (1983)

0.2 M Na-acetate buffer, pH 5.0	50 ml
1 $\alpha$ -Naphthyl acid phosphate	1 ml
0.5 M $MgCl_2$	0.5 ml
Fast black K salt	50 mg

6.2 Glutamate oxaloacetate transaminase (GOT) E.C. 2.6.1.1 แนว ชวนพิศ อรุณรังสิตกุล (2538)

0.1 M Phosphate buffer, pH 8.0	50 ml
$\alpha$ -Ketoglutaric acid	50 mg
Aspartic acid	100 mg
Pyridoxal-5-phosphate	5 mg
Fast blue BB salt	75 mg

6.3  $\alpha$ -Esterase ( $\alpha$ -EST) E.C. 3.1.1.1 แนว Tanksley และ Rick (1980)

0.1 M Phosphate buffer, pH 6.0	50 ml
1% $\alpha$ -Naphthyl acetate solution	1 ml
Fast blue BB salt	75 mg

6.4 Malate dehydrogenase (MDH) E.C. 1.1.1.37 แนว Conkle และคณะ (1982)

0.05 M Tris-HCl, pH 8.0	75 ml
Malic acid solution, pH 7.0	5 ml
10 mg/ml NAD	1 ml
10 mg/ml NBT	1 ml
5 mg/ml PMS	0.5 ml

6.5 Peroxidase (PER) E.C. 1.11.1.7 ແນວ շանພຶດ ອຮູດຮັງສີກຸລ  
(2538)

Stock A

3-Amino-9-ethylcarbazole	42 mg
$\beta$ -Naphthol	29 mg
Acetone	20 ml

Stock B

Tris (hydroxymethyl) aminomethane	120 mg
Acetic acid	0.13 ml
H <sub>2</sub> O	80 ml

Stock C

30% H <sub>2</sub> O <sub>2</sub>	0.1 ml
H <sub>2</sub> O	0.9 ml

6.6 Shikimate dehydrogenase (SKDH) E.C. 1.1.1.25 ແນວ

Conkle ແລະຄອບເຂ (1982)

0.05 M Tris-HCl, pH 8.0	75 ml
Shikimic acid	50 mg
10 mg/ml NADP	1 ml
10 mg/ml NBT	1 ml
5 mg/ml PMS	1 ml

## ภาคผนวก ค.

### แผนภาพที่ 4.40

เดนโตรแกรมแสดงผลการวิเคราะห์ลักษณะสัณฐานวิทยาของใบชงโคงคำในประเทศไทย  
ด้วยเทคนิคการวิเคราะห์จัดกลุ่ม

#### Cluster

#### Average Linkage (Between Groups)

#### Dendrogram

HIERARCHICAL CLUSTER ANALYSIS

Dendrogram using Average Linkage (Between Groups)

Rescaled Distance Cluster Combine

CASE Label	Num	2	5	10	15	20	25
70	70	--					
134	134	--					
60	60	--					
132	132	--					
31	31	--					
88	88	--					
94	94	--					
55	55	--					
83	83	--	I				
129	129	--	I				
37	37	--	I				
61	61	--	I				
13	13	--	I				
42	42	--	I				
21	21	--	I				
72	72	--	I				
92	92	--	I				
50	50	--	I				
89	89	--	I				
133	133	--	I				
64	64	--	I				
100	100	--	I				
68	68	--	I				
69	69	--	I				
39	39	--	I				
136	136	--	I				
67	67	--	I				
79	79	--	I				
87	87	--	I				
17	17	--	I				
73	73	--	I				
32	32	--	I				
59	59	--	I				
11	11	--	I				
119	119	--	I				
54	54	--	I				
137	137	--	I				
46	46	--	I				
10	10	--	I				
48	48	--	I				
76	76	--	I				
138	138	--	I				
26	26	--	I				
74	74	--	I				
147	147	--	I				
142	142	--	I				
139	139	--	I				
121	121	--	I				
75	75	--	I				
127	127	--	I				
58	58	--	I				
125	125	--	I				
130	130	--	I				
31	31	--	I				
110	110	--	I				
112	112	--	I				
122	122	--	I				
33	33	--	I				
95	95	--	I				
111	111	--	I				
148	148	--	I				
149	149	--	I				
78	78	--	I				
198	198	--	I				
248	248	--	I				
193	193	--	I				
226	226	--	I				
166	166	--	I				
187	187	--	I				
189	189	--	I				
205	205	--	I				
237	237	--	I				
195	195	--	I				
185	185	--	I				
187	187	--	I				
224	224	--	I				
234	234	--	I				
182	182	--	I				
200	200	--	I				
214	214	--	I				
205	205	--	I				
209	209	--	I				
186	186	--	I				
153	153	--	I				
151	151	--	I				
156	156	--	I				
154	154	--	I				
159	159	--	I				
152	152	--	I				
169	169	--	I				
235	235	--	I				
196	196	--	I				
221	221	--	I				
206	206	--	I				
183	183	--	I				
235	235	--	I				
243	243	--	I				
184	184	--	I				
177	177	--	I				
181	181	--	I				
228	228	--	I				
185	185	--	I				
163	163	--	I				
247	247	--	I				
224	224	--	I				
234	234	--	I				
182	182	--	I				
200	200	--	I				
214	214	--	I				
205	205	--	I				
237	237	--	I				
195	195	--	I				
185	185	--	I				
187	187	--	I				
224	224	--	I				
234	234	--	I				
182	182	--	I				
200	200	--	I				
214	214	--	I				
205	205	--	I				
237	237	--	I				
195	195	--	I				
185	185	--	I				
187	187	--	I				
224	224	--	I				
234	234	--	I				
182	182	--	I				
200	200	--	I				
214	214	--	I				
205	205	--	I				
237	237	--	I				
195	195	--	I				
185	185	--	I				
187	187	--	I				
224	224	--	I				
234	234	--	I				
182	182	--	I				
200	200	--	I				
214	214	--	I				
205	205	--	I				
237	237	--	I				
195	195	--	I				
185	185	--	I				
187	187	--	I				
224	224	--	I				
234	234	--	I				
182	182	--	I				
200	200	--	I				
214	214	--	I				
205	205	--	I				
237	237	--	I				
195	195	--	I				
185	185	--	I				
187	187	--	I				
224	224	--	I				
234	234	--	I				
182	182	--	I				

## แผนภาพที่ 4.41

เดนโคร์แกรมแสดงผลการวิเคราะห์ลักษณะสัณฐานวิทยาของต่ออกรช์โคงคำในประเทศไทย

### ด้วยเทคนิคการวิเคราะห์จัดกลุ่ม

#### Cluster

#### Average Linkage (Between Groups)

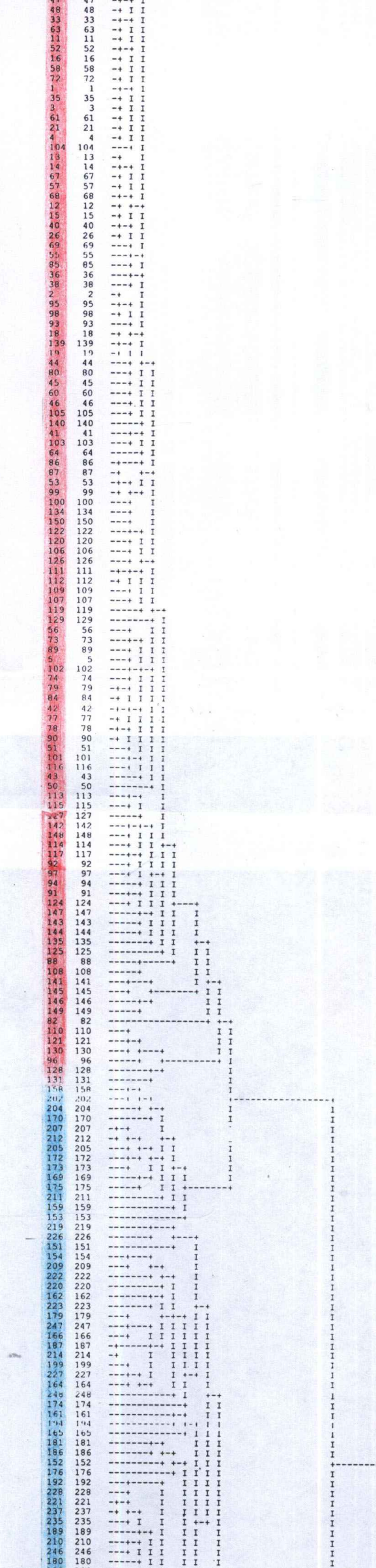
#### Dendrogram

#### HIERARCHICAL CLUSTER ANALYSIS

#### Dendrogram using Average Linkage (Between Groups)

#### Rescaled Distance Cluster Combine

CASE	0	5	10	15	20	25
Label	Num					



-----

-----

-----

-----

-----

-----

-----

-----

-----

-----

-----

-----

-----

-----

-----

-----

-----

-----

-----

-----

-----

-----

-----

-----

-----

-----

-----

-----

-----

-----

-----

-----

-----

-----

-----

-----

-----

-----

-----

-----

-----

-----

-----

-----

-----

-----

-----

-----

-----

-----

-----

*Bauhinia pottsii* var. *pottsii*

*Bauhinia pottsii* var. *subsessilis*

*Bauhinia pottsii* var. *mollissima*

*Bauhinia pottsii* var. *velutina*

## แผนภาพที่ 4.42

เดนโตรแกรมแสดงผลการวิเคราะห์ลักษณะสัณฐานวิทยาของเรณูชงโคคำในประเทศไทย

ด้วยเทคนิคการวิเคราะห์จัดกลุ่ม

### Cluster

#### Average Linkage (Between Groups)

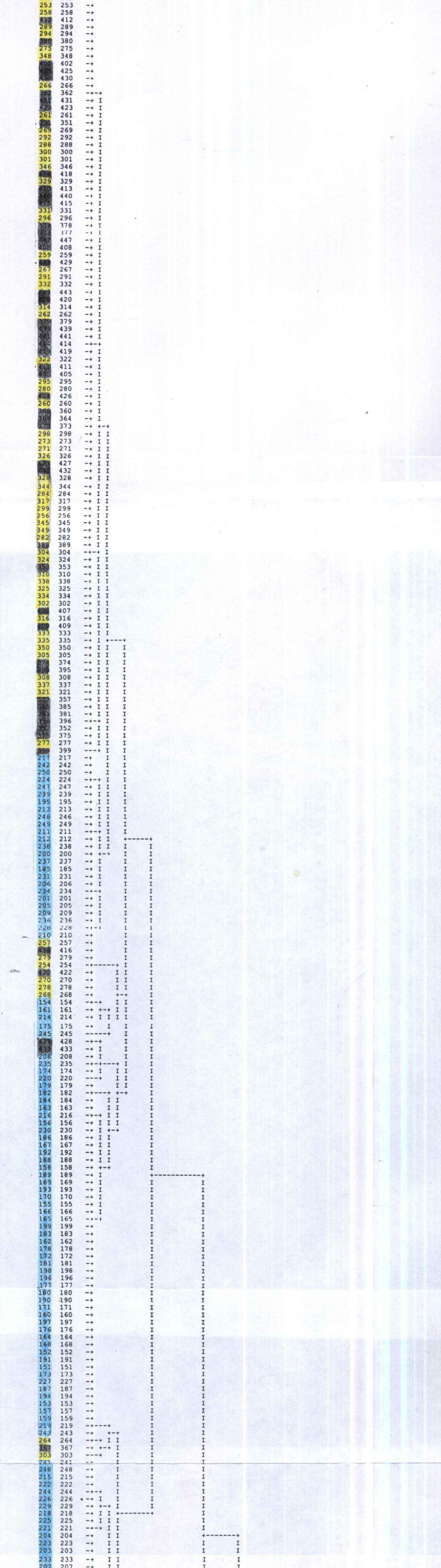
#### Dendrogram

\*\*\*\*\* HIERARCHICAL CLUSTER ANALYSIS \*\*\*\*\*

Dendrogram using Average Linkage (Between Groups)

Rescaled Distance Cluster Combine

CASE	Label	Num	0	5	10	15	20	25
------	-------	-----	---	---	----	----	----	----



■ *Bauhinia pottsii* var. *pottsii*

■ *Bauhinia pottsii* var. *sessilis*

■ *Bauhinia pottsii* var. *mollissima*

■ *Bauhinia pottsii* var. *velutina*

### แผนภาพที่ 4.43

เดนโครограмแสดงผลการวิเคราะห์ลักษณะสัณฐานวิทยาของดอกและเรณูชงโคลดา  
ในประเทศไทยด้วยเทคนิคการวิเคราะห์จัดกลุ่ม

#### Cluster

#### Average Linkage (Between Groups)

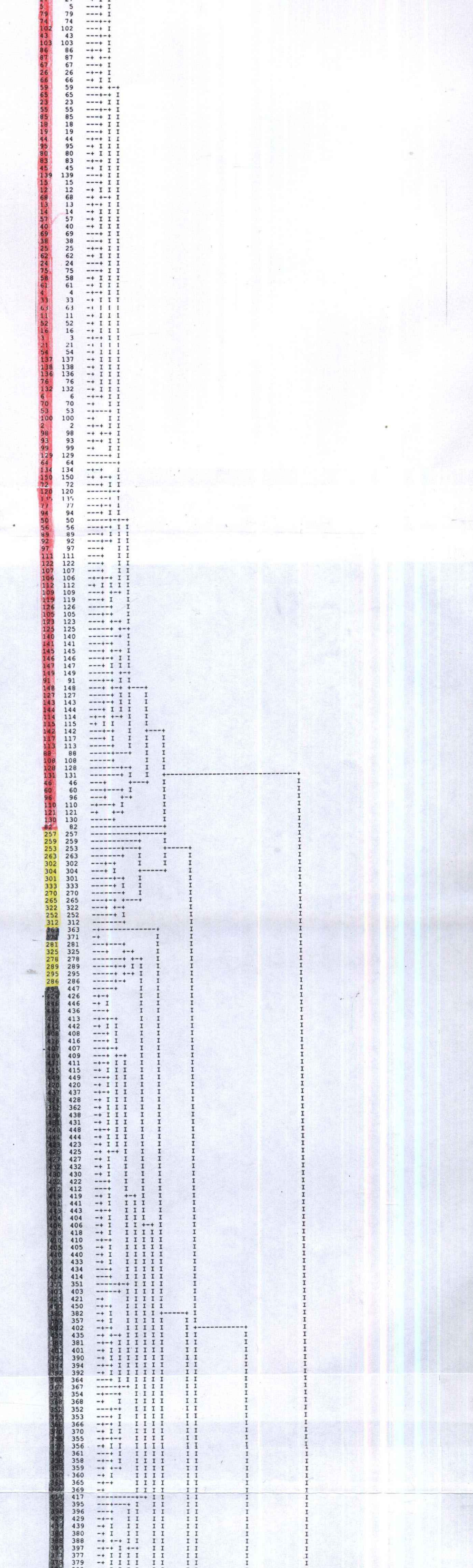
#### Dendrogram

\*\*\*\*\* HIERARCHICAL CLUSTER ANALYSIS \*\*\*\*\*

Dendrogram using Average Linkage (Between Groups)

Rescaled Distance Cluster Combine

CASE	Num	0	5	10	15	20	25
------	-----	---	---	----	----	----	----



■ *Bauhinia pottsii* var. *pottsii*

■ *Bauhinia pottsii* var. *subsessilis*

■ *Bauhinia pottsii* var. *mollissima*

■ *Bauhinia pottsii* var. *velutina*

### แผนภาพที่ 4.44

เดนโกรแกรมแสดงผลการวิเคราะห์ลักษณะสัณฐานวิทยาของใบ ดอก และเรณูชงโคคำ  
ในประเทศไทยด้วยเทคนิคการวิเคราะห์จัดกลุ่ม

#### Cluster

#### Average Linkage (Between Groups)

#### Dendrogram

#### \*\*\*\*\* HIERARCHICAL CLUSTER ANALYSIS \*\*\*\*\*

#### Dendrogram using Average Linkage (Between Groups)

#### Rescaled Distance Cluster Combine

CASE	0	5	10	15	20	25
Label						

406	406	-+				
418	418	-+				
440	440	-++				
430	430	-+-				
444	444	-+-				
428	428	-++				
438	438	-+ I				
404	404	-+ I				
448	448	-+ I				
362	362	-++				
420	420	-+ I				
425	425	-+ I				
357	357	-++				
402	402	-++				
407	407	-++				
446	446	-++				
400	400	-++				
433	433	-++				
434	434	-++ I				
419	419	-+ I I				
443	443	-++ I				
441	441	-+ I I				
410	410	-+ I				
415	415	-+ I				
449	449	-+ I +				
401	401	-+ I I				
414	414	-+ I I				
426	426	-++ I I				
442	442	-+ I I -+				
413	413	-+ I +				
408	408	-+ I I				
416	416	-+ I I				
411	411	-+ I +				
430	430	-+ I				
417	417	-+ + +				
351	351	-+ + + I				
353	353	-+ + + I				
355	355	-+ + + I I I				
450	450	-+ I I I I				
359	359	-+ I I I I				
369	369	-+ I I I I				
366	366	-+ + + I I				
370	370	-+ I I I I				
356	356	-+ + + + I				
435	435	-+ I I I				
359	359	-+ I I I				
351	351	-+ I I I				
367	367	-+ + + I				
360	360	-+ + + I				
365	365	-+ I I I				
382	382	-+ + + I				
392	392	-+ + I I I I				
381	381	-+ + I I I I				
394	394	-+ + I I I I				
383	383	-+ I I I I				
364	364	-+ I I I I				
381	381	-+ + I I I I				
395	395	-+ + + I I I I				
356	356	-+ + + I I I I				
378	378	-+ + + I I I I				
445	445	-+ I I I I I				
377	377	-+ I I I I I				
398	398	-+ + I I I I				
379	379	-+ + I I I I				
429	429	-+ I I I I I -				
436	436	-+ + + I I I I				
375	375	-+ + + I I I I				
399	399	-+ + + I I I I				
373	373	-+ + + I I I I				
389	389	-+ I I I I I				
424	424	-+ + I I I I I				
395	395	-+ + + + I				
385	385	-+ + + + I				
289	289	-+ + + + I				
295	295	-+ + + + I				
310	310	-+ + + I I I				
341	341	-+ + + I I I				
286	286	-+ + + I I I				
381	381	-+ + + I I I				
325	325	-+ + + I I I				
276	276	-+ + + I I I				
278	278	-+ + + I I I				
363	363	-+ + + I				
371	371	-+ + + I				
251	251	-+ + + + I				
330	330	-+ + + + I				
287	287	-+ + + + I				
290	290	-+ + + + I				
309	309	-+ + + + I				
339	339	-+ + + + I				
350	350	-+ + + + I				
307	307	-+ + + + I				
336	336	-+ + + + I				
282	282	-+ + + + I				
319	319	-+ + + + I				
327	327	-+ + + + I				
108	108	-+ + + + I				
328	328	-+ + + + I				
277	277	-+ + + + I				
285	285	-+ + + + I				
264	264	-+ + + + I				
284	284	-+ + + + I				
313	313	-+ + + + I				
340	340	-+ + + + I				
343	343	-+ + + + I				
283	283	-+ + + + I				
317	317	-+ + + + I				
258	258	-+ + + + I				
297	297	-+ + + + I				
372	372	-+ + + + I				
385	385	-+ + + + I				
289	289	-+ + + + I				
295	295	-+ + + + I				
310	310	-+ + + + I				
341	341	-+ + + + I				
286	286	-+ + + + I				
381	381	-+ + + + I				
315	315	-+ + + + I				
299	299	-+ + + + I				
296	296	-+ + + + I				
344	344	-+ + + + I				
292	292	-+ + + + I				
337	337	-+ + + + I				
349	349	-+ + + + I				
315	315	-+ + + + I				
288	288	-+ + + + I				
386	386	-+ + + + I				
400	400	-+ + + + I				
391	391	-+ + + + I				
383	383	-+ + + + I				
447	447	-+ + + + I				
357	357	-+ + + + I				
325	325	-+ + + + I				
287	287	-+ + + + I				
290	290	-+ + + + I				
309	309	-+ + + + I				
339	339	-+ + + + I				
350	350	-+ + + + I				
307	307	-+ + + + I				
336	336	-+ + + + I				
282	282	-+ + + + I				
319	319	-+ + + + I				
327	327	-+ + + + I				
108	108	-+ + + + I				
328	328	-+ + + + I				
277	277	-+ + + + I				
285	285	-+ + + + I				
264	264	-+ + + + I				
284	284	-+ + + + I				
313	313	-+ + + + I				
340	340	-+ + + + I				
343	343	-+ + + + I				
283	283	-+ + + + I				
317	317	-+ + + + I				
258	258	-+ + + + I				
297	297	-+ + + + I				
372	372	-+ + + + I				
385	385</					

### แผนภาพที่ 4.45

**เดนโกราฟร์มแสดงผลการวิเคราะห์ลักษณะแบบแผนไอลซีэм் 6 ระบบของชงโคง์ดำเนินประเทศไทย  
ด้วยเทคนิคการวิเคราะห์จัดกลุ่ม**

**Cluster****Average Linkage (Between Groups)****Dendrogram**

\*\*\*\*\* HIERARCHICAL CLUSTER ANALYSIS \*\*\*\*\*

Dendrogram using Average Linkage (Between Groups)

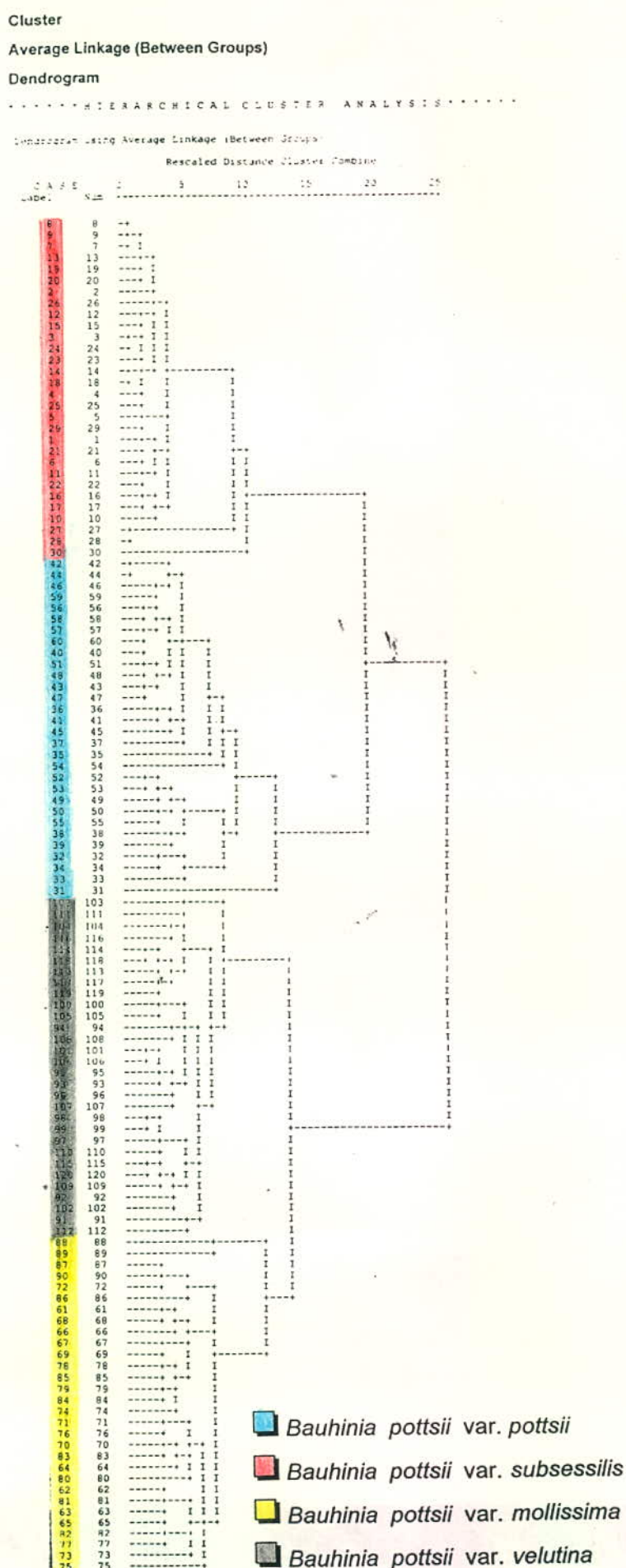
Rescaled Distance Cluster Combine

Label	Case Num	0	5	10	15	20	25
32	32	+++					
33	33	+++					
34	34		I				
35	35	++		I			
38	38	++		I			
39	39		++		I		
37	37	++	I		I		
49	49		++		I		
54	54		++		I		
43	43		++		I		
46	46		++		I		
55	55	++		I			
56	56	++		I			
45	45	++		I			
50	50		++		I		
44	44	++	I		I		
42	42	++	I		I		
40	40	++	I		I		
41	41	++	I		I		
36	36	++	I		I		
48	48		++		I		
51	51	++	I		I		
52	52		++		I		
47	47		++		I		
57	57	++		I			
58	58	++		I			
60	60		++		I		
53	53		++		I		
59	59	++		I		I	
6	6	++		I		I	
11	11		++		I		
22	22	++	I		I		
5	5		++		I		
29	29		++	I	I		
10	10		++	I	I		
16	16		++		I		
17	17		++		I		
14	14	++		I		I	
16	16		++		I		
4	4	++		I		I	
25	25		++		I		
12	12		++	I	I		
15	15		++	I	I		
23	23	++	I	I			
24	24		++		I		
3	3	++	I		I		
1	1		++		I		
21	21		++		I		
19	19		++		I		
20	20		++		I		
2	2		++		I		
13	13		++		I		
9	9		++		I		
7	7	++		I			
26	26	++		I		I	
103	103		++		I		
108	108		++		I		
116	116		++		I		
114	114		++	I	I		
118	118		++	I	I		
94	94		++	I	I		
107	107		++	I	I		
113	113		++	I	I		
100	100		++		I		
101	101	++	I	I	I		
106	106		++		I		
119	119		++	I	I		
93	93		++		I		
95	95		++		I		
109	109		++		I		
120	120		++		I		
115	115		++		I		
92	92		++		I		
102	102		++		I		
104	104		++		I		
111	111		++		I		
96	96		++	I	I		
105	105		++	I	I		
91	91		++	I	I		
112	112		++	I	I		
98	98		++		I		
99	99	++	I	I	I		
97	97		++		I		
110	110		++		I		
14	14		++		I		
61	61		++		I		
66	66		++		I		
75	75		++		I		
79	79		++		I		
84	84	++	I		I		
88	88		++		I		
69	69		++	I	I		
74	74	++	I	I	I		
67	67	++	I	I	I		
78	78		++	I	I		
85	85		++		I		
68	68		++		I		
80	80		++		I		
89	89		++		I		
70	70		++	I	I		
93	93	++	I	I	I		
71	71		++	I	I		
76	76		++		I		
65	65		++		I		
82	82		++	I	I		
81	81	++		I			
86	86		++		I		
62	62		++	I	I		
63	63	++		I			
87	87		++	I	I		
90	90		++		I		
72	72		++		I		
77	77		++		I		
64	64		++		I		
73	73		++		I		
30	30		++		I		
31	31		++		I		
27	27		++		I		
28	28		++		I		

-  **Bauhinia pottsii var. pottsii**
-  **Bauhinia pottsii var. subsessilis**
-  **Bauhinia pottsii var. mollissima**
-  **Bauhinia pottsii var. velutina**

### แผนภาพที่ 4.46

เดนrogramแสดงผลการวิเคราะห์ลักษณะสัณฐานวิทยาของใบ ดอก เรณู  
และแบบแผนไออกไซซ์ม 6 ระบบของชงโคง์ด้วยเทคนิคการวิเคราะห์จัดกลุ่ม



### แผนภาพที่ 4.47

денโตรแกรมแสดงผลการวิเคราะห์ลักษณะสัณฐานวิทยาของใบ ดอก เรนจ์ ฝักและเมล็ด  
ของชงโค ชงโค และกาหลง ด้วยเทคนิคการวิเคราะห์จัดกลุ่ม

#### Cluster

#### Average Linkage (Between Groups)

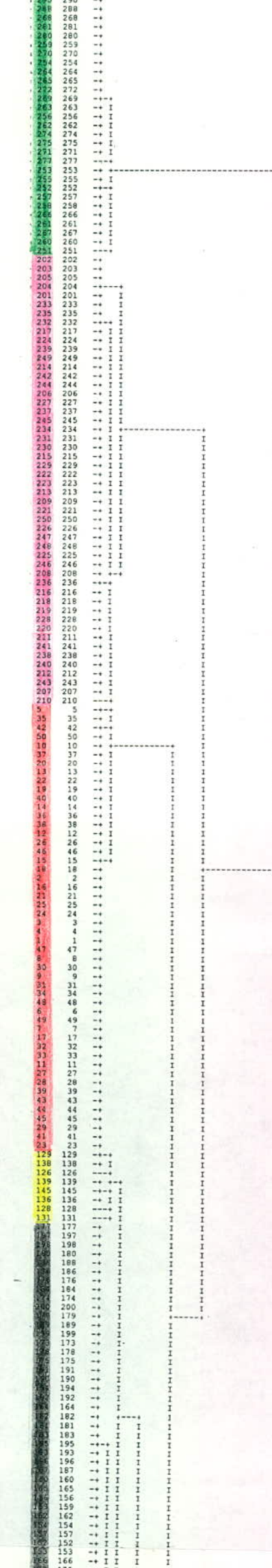
#### Dendrogram

\*\*\*\*\* HIERARCHICAL CLUSTER ANALYSIS \*\*\*\*\*

Dendrogram using Average Linkage (Between Groups)

Rescaled Distance Cluster Combine

CASE	0	5	10	15	20	25
Label	Num					



## ประวัติผู้วิจัย

ว่าที่ร้อยตรีสุพจน์ แสงมณี เกิดวันที่ 19 มีนาคม พ.ศ. 2503 ที่อำเภอปากพนัง จังหวัดนครศรีธรรมราช สำเร็จการศึกษาปริญญาตรีการศึกษابัณฑิต สาขาวิชาวิทยา คณะศึกษาศาสตร์ มหาวิทยาลัยศรีนครินทรวิโรฒ วิทยาเขตบางแสэн ในปีการศึกษา 2523 และปริญญาโทวิทยาศาสตร์มหาบัณฑิต สาขาวัสดุวิทยา ภาควิชาชีววิทยา คณะวิทยาศาสตร์ จุฬาลงกรณ์มหาวิทยาลัย ในปีการศึกษา 2530 และเข้าศึกษาต่อในหลักสูตรวิทยาศาสตร์ดุษฎีบัณฑิต สาขาวิชาชีววิทยาศาสตร์ชีวภาพ คณะวิทยาศาสตร์ จุฬาลงกรณ์มหาวิทยาลัย เมื่อ พ.ศ. 2538 ปัจจุบันรับราชการที่โรงเรียนเตรียมอุดมศึกษาน้อมเกล้า กรุงเทพมหานคร